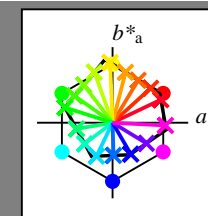


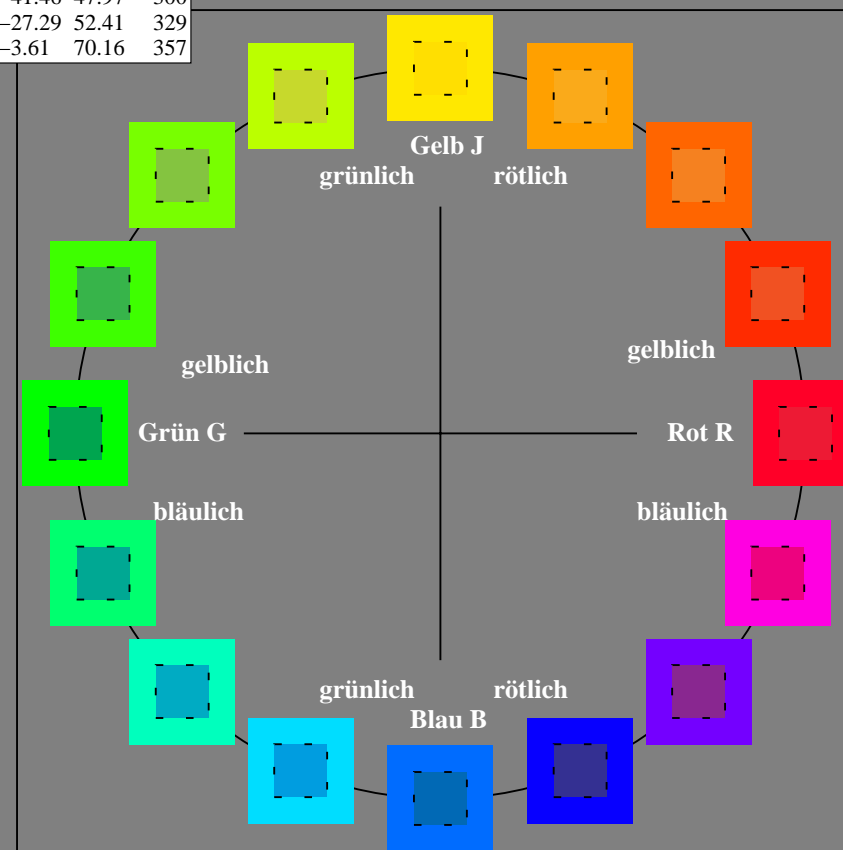
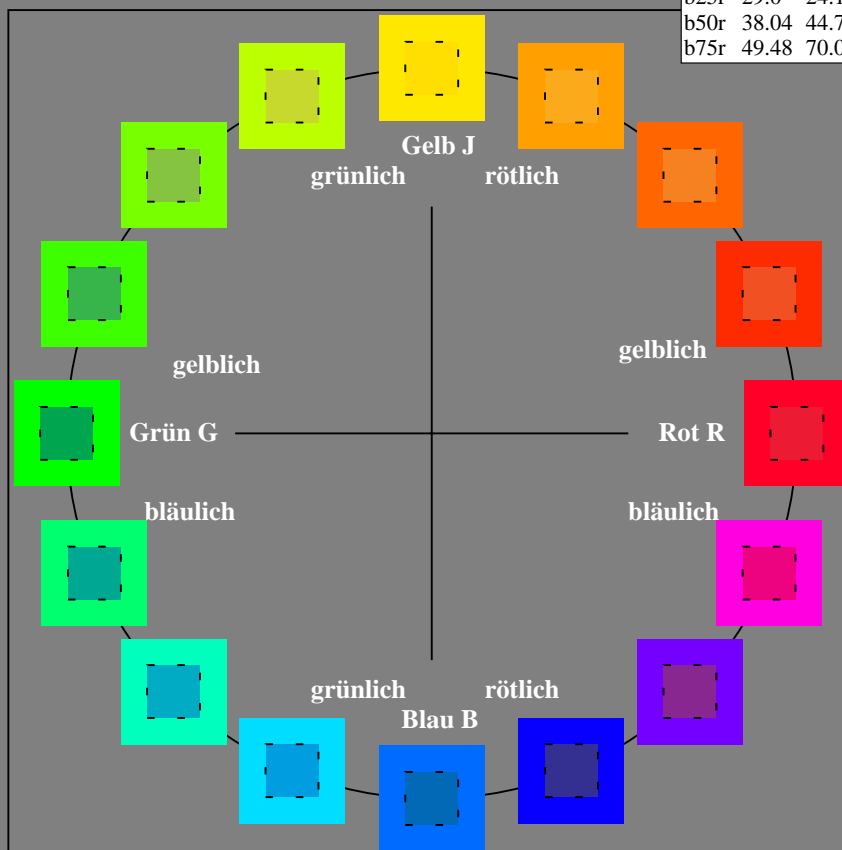
Ein und Ausgabe:
Farbmetrisches Drucker-Reflektiv-System ORS20_95a
Daten für jede Farbe:
 $lab^{*}ch^{*}$ und $lab^{*}icu^{*}$
Elementar-Bunttontext:
 $u^{*} = 16$ Buntttöne $r00j$, $r25j$, ..., $b75r$
Kontrastreduzierungsfaktor:
 $c_R = 0.96$

ORS20_95a; adaptierte CIELAB-Daten					
	$L^{*}=L^{*}_a$	a^{*}_a	b^{*}_a	$C^{*}_{ab,a}$	$h^{*}_{ab,a}$
r00j	48.88	63.91	30.45	70.79	25
r25j	55.85	50.36	45.65	67.97	42
r50j	65.45	33.86	56.12	65.54	59
r75j	75.19	17.13	66.73	68.89	76
j00g	87.03	-3.21	79.64	79.7	92
j25g	80.72	-24.03	66.82	71.01	110
j50g	70.64	-38.01	49.96	62.78	127
j75g	61.93	-50.08	35.41	61.34	145
g00b	52.8	-62.76	20.12	65.91	162
g25b	55.7	-47.65	-8.05	48.34	190
g50b	57.82	-36.91	-27.79	46.22	217
g75b	55.5	-21.19	-44.16	49.0	244
b00r	41.6	1.31	-43.27	43.3	272
b25r	29.0	24.11	-41.46	47.97	300
b50r	38.04	44.73	-27.29	52.41	329
b75r	49.48	70.07	-3.61	70.16	357



%Umfang
 $u^{*}_{rel} = 83$
%Regularität
 $g^{*}_{H,rel} = 72$
 $g^{*}_{C,rel} = 57$

ORS20_95a; adaptierte CIELAB-Daten					
	$L^{*}=L^{*}_a$	a^{*}_a	b^{*}_a	$C^{*}_{ab,a}$	$h^{*}_{ab,a}$
O _{Ma}	48.75	62.56	37.91	73.15	31
Y _{Ma}	90.92	-9.88	83.88	84.46	97
L _{Ma}	52.69	-62.9	19.95	66.0	162
C _{Ma}	59.61	-27.85	-44.43	52.45	238
V _{Ma}	28.39	22.72	-42.42	48.13	298
M _{Ma}	49.58	71.08	-9.19	71.67	353
N _{Ma}	20.0	0.0	0.0	0.0	0
W _{Ma}	95.0	0.0	0.0	0.0	0
R _{CIE}	39.92	58.74	27.99	65.07	25
J _{CIE}	81.26	-2.88	71.56	71.62	92
G _{CIE}	52.23	-42.41	13.6	44.55	162
B _{CIE}	30.57	1.41	-46.46	46.49	272



Ein und Ausgabe: Farbmetrisches Drucker-Reflektiv-System ORS20_95a für relativen CIELAB-Buntton $h^* = lab^*h^* = h_{ab}/360 = 25/360 = 0.071$ $u^* = r00j$

Daten für jede Farbe:

lab^*ch^* und lab^*icu^*

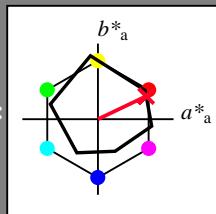
Elementar-Bunttontext:

$u^* = r00j$

Kontrastreduzierungsfaktor:

$c_R = 0.96$

Dreiecks-Helligkeit t^*



ORS20_95a; adaptierte CIELAB-Daten

	$L^*=L_a^*$	a_a^*	b_a^*	$C_{ab,a}^*$	$h_{ab,a}^*$
O _{Ma}	48.75	62.56	37.91	73.15	31
Y _{Ma}	90.92	-9.88	83.88	84.46	97
L _{Ma}	52.69	-62.9	19.95	66.0	162
C _{Ma}	59.61	-27.85	-44.43	52.45	238
V _{Ma}	28.39	22.72	-42.42	48.13	298
M _{Ma}	49.58	71.08	-9.19	71.67	353
N _{Ma}	20.0	0.0	0.0	0.0	0
W _{Ma}	95.0	0.0	0.0	0.0	0
R _{CIE}	39.92	58.74	27.99	65.07	25
J _{CIE}	81.26	-2.88	71.56	71.62	92
G _{CIE}	52.23	-42.41	13.6	44.55	162
B _{CIE}	30.57	1.41	-46.46	46.49	272

Daten für Maximalfarbe (Ma):

LAB^*LAB^*Ma : 49 64 30

LAB^*LCH^*Ma : 49 71 25

lab^*rgb^*Ma : 1.0 0.0 0.0

lab^*olv^*Ma : 1.0 0.0 0.16

Dreiecks-Helligkeit t^*

%Umfang

$u^*_{rel} = 83$

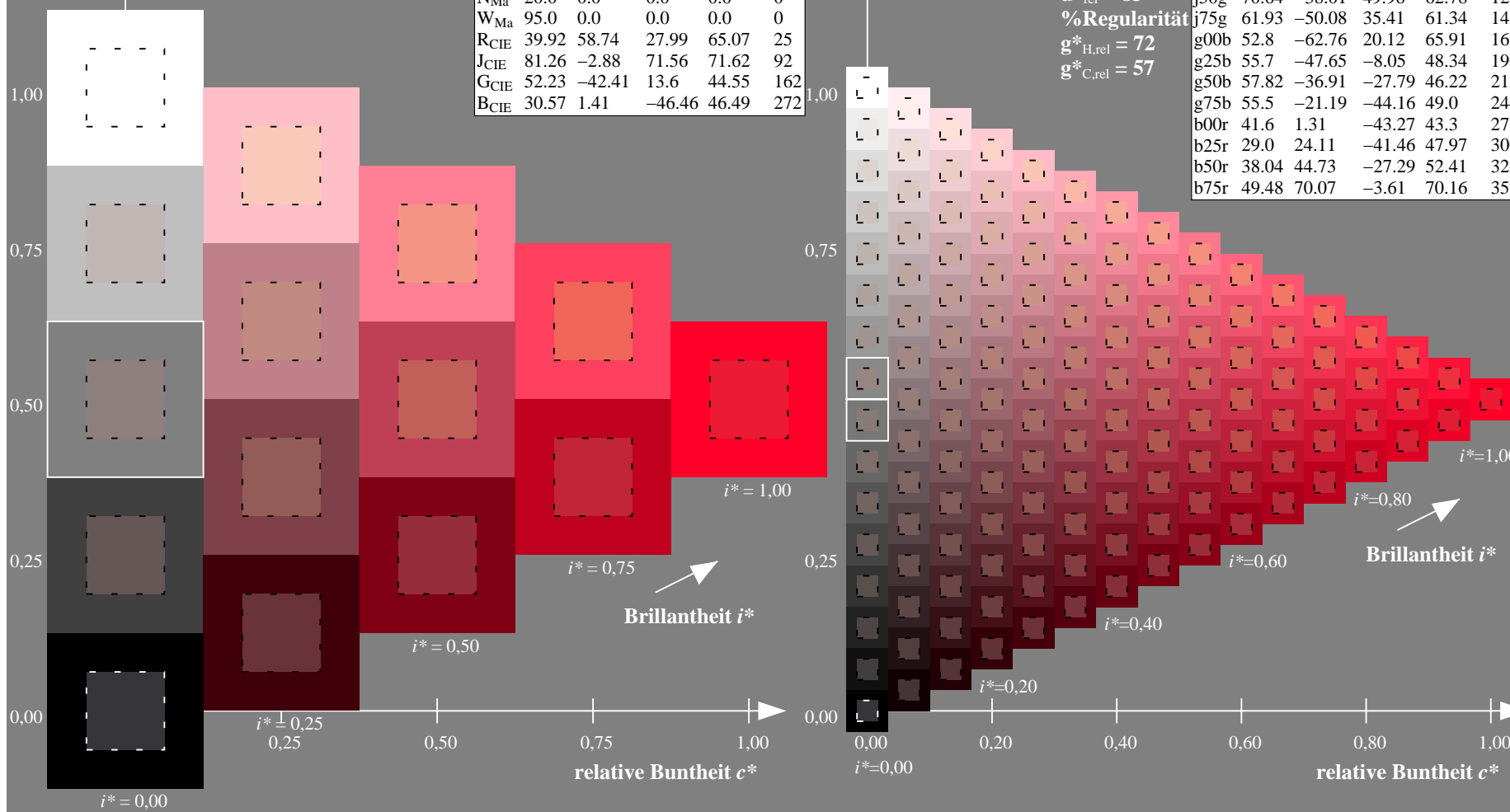
%Regularität

$g^*_{H,rel} = 72$

$g^*_{C,rel} = 57$

ORS20_95a; adaptierte CIELAB-Daten

	$L^*=L_a^*$	a_a^*	b_a^*	$C_{ab,a}^*$	$h_{ab,a}^*$
r00j	48.88	63.91	30.45	70.79	25
r25j	55.85	50.36	45.65	67.97	42
r50j	65.45	33.86	56.12	65.54	59
r75j	75.19	17.13	66.73	68.89	76
j00g	87.03	-3.21	79.64	79.7	92
j25g	80.72	-24.03	66.82	71.01	110
j50g	70.64	-38.01	49.96	62.78	127
j75g	61.93	-50.08	35.41	61.34	145
g00b	52.8	-62.76	20.12	65.91	162
g25b	55.7	-47.65	-8.05	48.34	190
g50b	57.82	-36.91	-27.79	46.22	217
g75b	55.5	-21.19	-44.16	49.0	244
b00r	41.6	1.31	-43.27	43.3	272
b25r	29.0	24.11	-41.46	47.97	300
b50r	38.04	44.73	-27.29	52.41	329
b75r	49.48	70.07	-3.61	70.16	357



Ein und Ausgabe: Farbmimetrisches Drucker-Reflektiv-System ORS20_95a für relativen CIELAB-Buntton $h^* = lab^*h^* = h_{ab}/360 = 42/360 = 0.117$ $u^* = r25j$

Daten für jede Farbe:

lab^*ch^* und lab^*icu^*

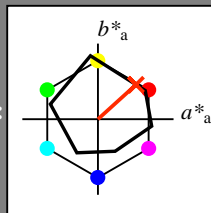
Elementar-Bunttontext:

$u^* = r25j$

Kontrastreduzierungsfaktor:

$c_R = 0.96$

Dreiecks-Helligkeit t^*



ORS20_95a; adaptierte CIELAB-Daten

	$L^*=L^*_a$	a^*_a	b^*_a	$C^*_{ab,a}$	$h^*_{ab,a}$
O _{Ma}	48.75	62.56	37.91	73.15	31
Y _{Ma}	90.92	-9.88	83.88	84.46	97
L _{Ma}	52.69	-62.9	19.95	66.0	162
C _{Ma}	59.61	-27.85	-44.43	52.45	238
V _{Ma}	28.39	22.72	-42.42	48.13	298
M _{Ma}	49.58	71.08	-9.19	71.67	353
N _{Ma}	20.0	0.0	0.0	0.0	0
W _{Ma}	95.0	0.0	0.0	0.0	0
R _{CIE}	39.92	58.74	27.99	65.07	25
J _{CIE}	81.26	-2.88	71.56	71.62	92
G _{CIE}	52.23	-42.41	13.6	44.55	162
B _{CIE}	30.57	1.41	-46.46	46.49	272

Daten für Maximalfarbe (Ma):

$LAB^*LAB^*_{Ma}$: 56 50 46

$LAB^*LCH^*_{Ma}$: 56 68 42

$lab^*rgb^*_{Ma}$: 1.0 0.25 0.0

$lab^*olv^*_{Ma}$: 1.0 0.17 0.0

Dreiecks-Helligkeit t^*

%Umfang

$u^*_{rel} = 83$

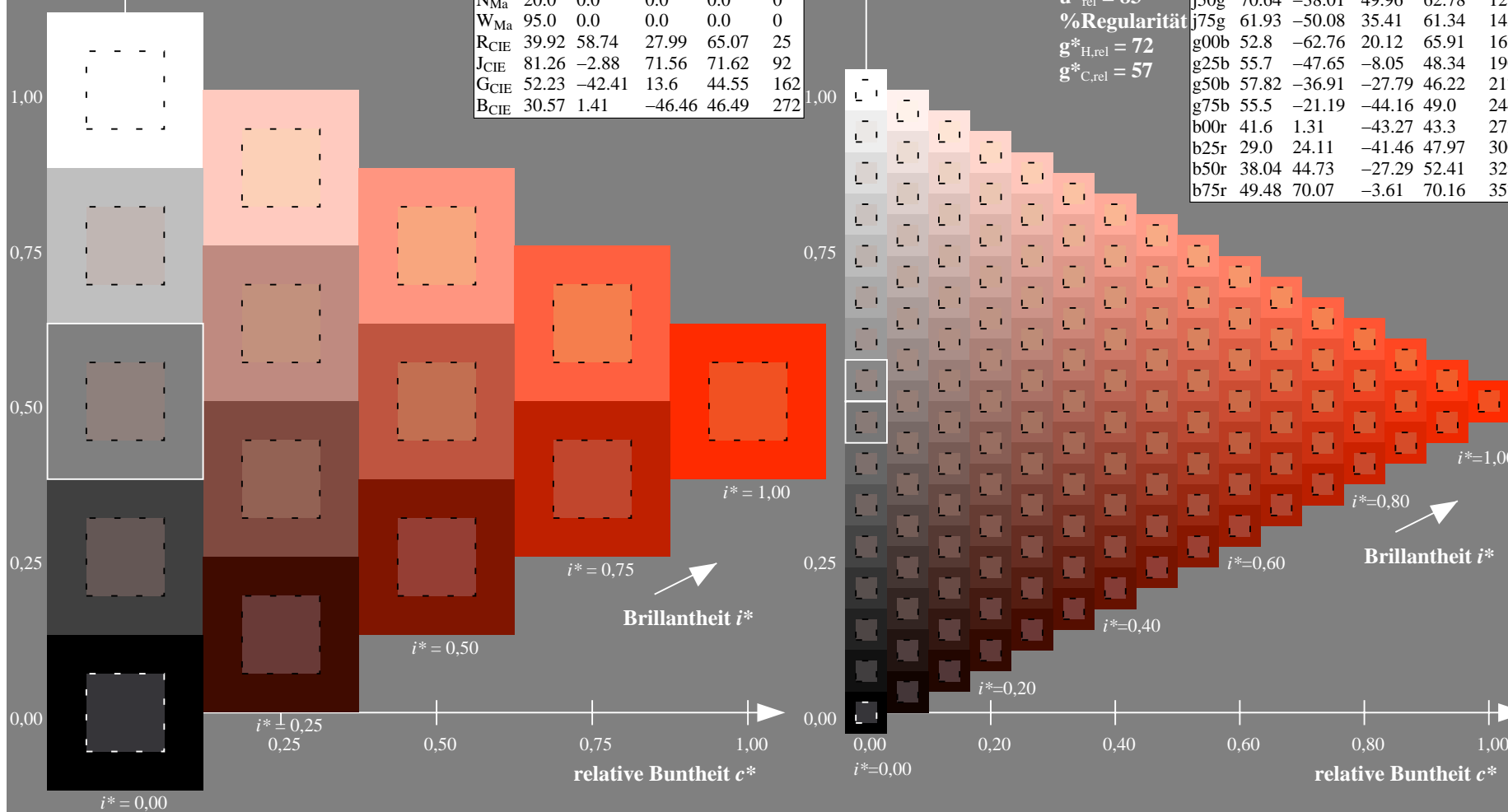
%Regularität

$g^*_{H,rel} = 72$

$g^*_{C,rel} = 57$

ORS20_95a; adaptierte CIELAB-Daten

	$L^*=L^*_a$	a^*_a	b^*_a	$C^*_{ab,a}$	$h^*_{ab,a}$
r00j	48.88	63.91	30.45	70.79	25
r25j	55.85	50.36	45.65	67.97	42
r50j	65.45	33.86	56.12	65.54	59
r75j	75.19	17.13	66.73	68.89	76
j00g	87.03	-3.21	79.64	79.7	92
j25g	80.72	-24.03	66.82	71.01	110
j50g	70.64	-38.01	49.96	62.78	127
j75g	61.93	-50.08	35.41	61.34	145
g00b	52.8	-62.76	20.12	65.91	162
g25b	55.7	-47.65	-8.05	48.34	190
g50b	57.82	-36.91	-27.79	46.22	217
g75b	55.5	-21.19	-44.16	49.0	244
b00r	41.6	1.31	-43.27	43.3	272
b25r	29.0	24.11	-41.46	47.97	300
b50r	38.04	44.73	-27.29	52.41	329
b75r	49.48	70.07	-3.61	70.16	357



Ein und Ausgabe: Farbmetrisches Drucker-Reflektiv-System ORS20_95a für relativen CIELAB-Buntton $h^* = lab^*h^* = h_{ab}/360 = 59/360 = 0.164$ $u^* = r50j$

Daten für jede Farbe:

lab^*ch^* und lab^*icu^*

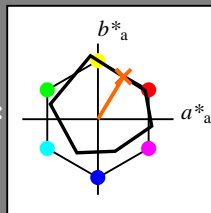
Elementar-Bunttontext:

$u^* = r50j$

Kontrastreduzierungsfaktor:

$c_R = 0.96$

Dreiecks-Helligkeit i^*



ORS20_95a; adaptierte CIELAB-Daten

	$L^*=L^*_a$	a^*_a	b^*_a	$C^*_{ab,a}$	$h^*_{ab,a}$
O _{Ma}	48.75	62.56	37.91	73.15	31
Y _{Ma}	90.92	-9.88	83.88	84.46	97
L _{Ma}	52.69	-62.9	19.95	66.0	162
C _{Ma}	59.61	-27.85	-44.43	52.45	238
V _{Ma}	28.39	22.72	-42.42	48.13	298
M _{Ma}	49.58	71.08	-9.19	71.67	353
N _{Ma}	20.0	0.0	0.0	0.0	0
W _{Ma}	95.0	0.0	0.0	0.0	0
R _{CIE}	39.92	58.74	27.99	65.07	25
J _{CIE}	81.26	-2.88	71.56	71.62	92
G _{CIE}	52.23	-42.41	13.6	44.55	162
B _{CIE}	30.57	1.41	-46.46	46.49	272

Daten für Maximalfarbe (Ma):

$LAB^*LAB^*_{Ma}$: 65 34 56

$LAB^*LCH^*_{Ma}$: 65 66 59

$lab^*rgb^*_{Ma}$: 1.0 0.5 0.0

$lab^*olv^*_{Ma}$: 1.0 0.4 0.0

Dreiecks-Helligkeit i^*

%Umfang

$u^*_{rel} = 83$

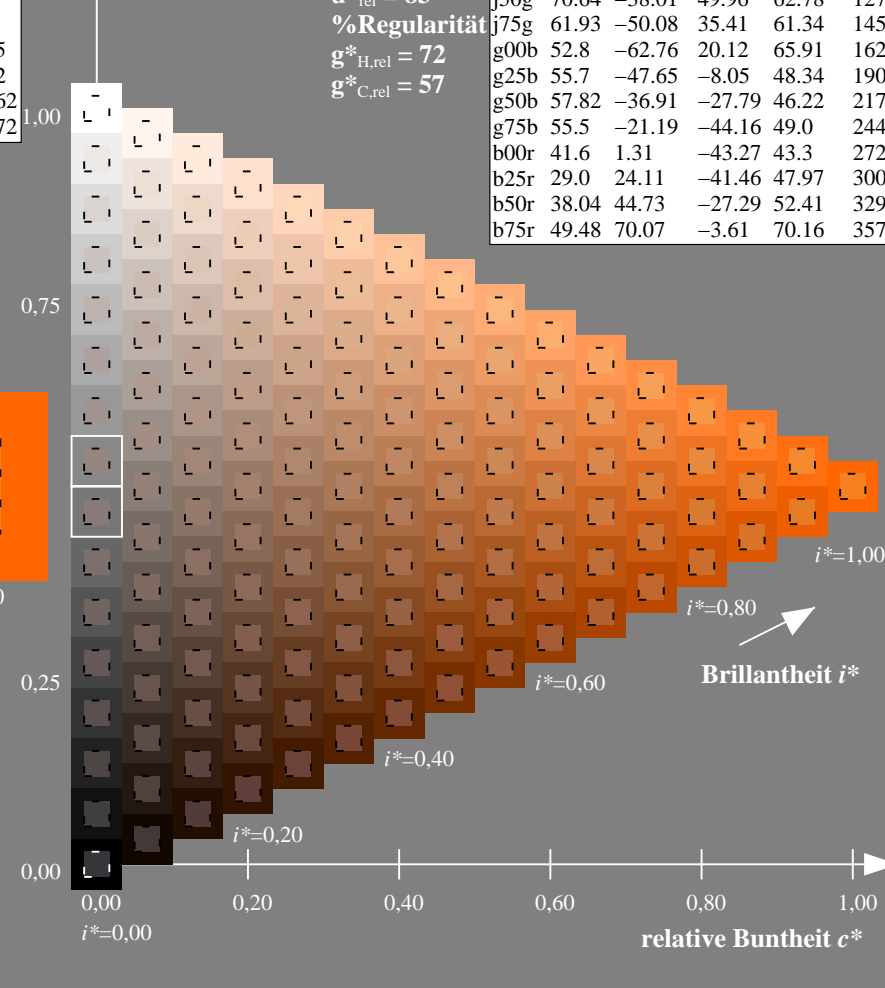
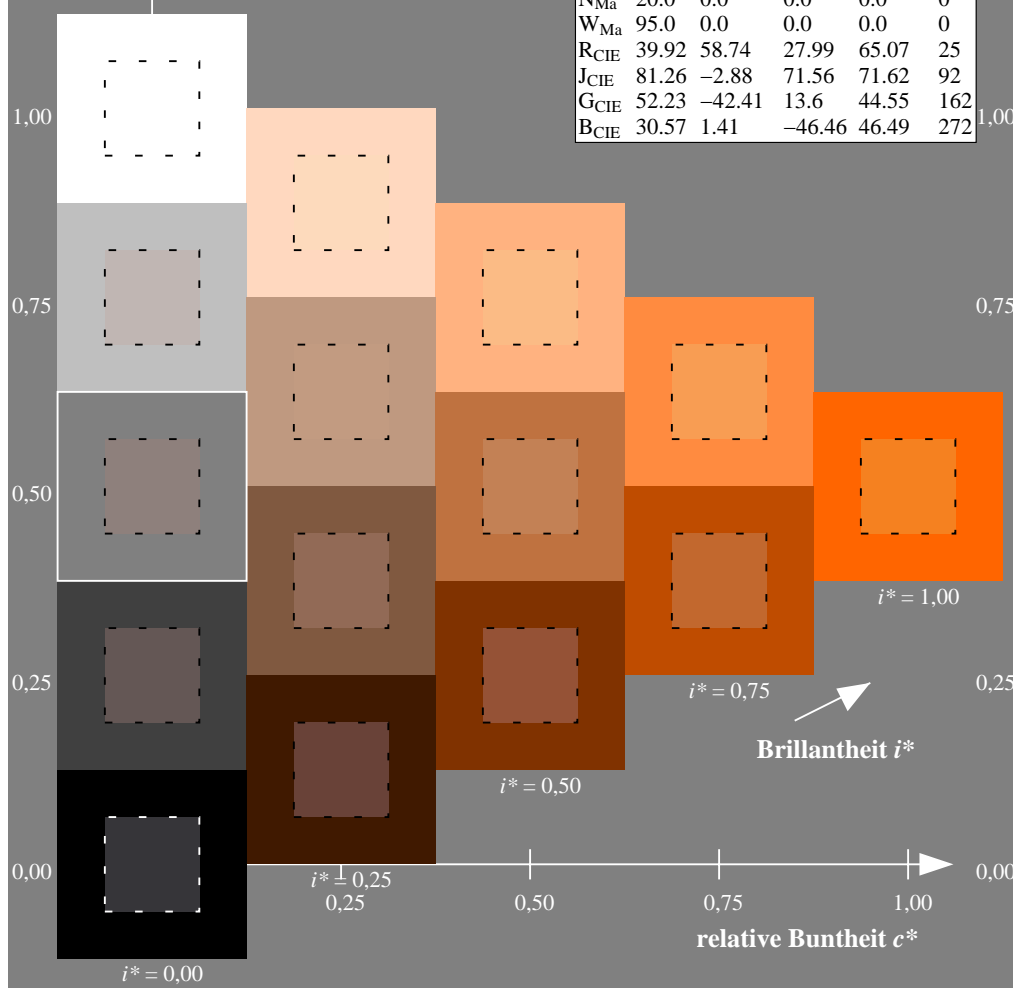
%Regularität

$g^*_{H,rel} = 72$

$g^*_{C,rel} = 57$

ORS20_95a; adaptierte CIELAB-Daten

	$L^*=L^*_a$	a^*_a	b^*_a	$C^*_{ab,a}$	$h^*_{ab,a}$
r00j	48.88	63.91	30.45	70.79	25
r25j	55.85	50.36	45.65	67.97	42
r50j	65.45	33.86	56.12	65.54	59
r75j	75.19	17.13	66.73	68.89	76
j00g	87.03	-3.21	79.64	79.7	92
j25g	80.72	-24.03	66.82	71.01	110
j50g	70.64	-38.01	49.96	62.78	127
j75g	61.93	-50.08	35.41	61.34	145
g00b	52.8	-62.76	20.12	65.91	162
g25b	55.7	-47.65	-8.05	48.34	190
g50b	57.82	-36.91	-27.79	46.22	217
g75b	55.5	-21.19	-44.16	49.0	244
b00r	41.6	1.31	-43.27	43.3	272
b25r	29.0	24.11	-41.46	47.97	300
b50r	38.04	44.73	-27.29	52.41	329
b75r	49.48	70.07	-3.61	70.16	357



Ein und Ausgabe: Farbmetrisches Drucker-Reflektiv-System ORS20_95a für relativen CIELAB-Buntton $h^* = lab^*h^* = h_{ab}/360 = 76/360 = 0.21$ $u^* = r75j$

Daten für jede Farbe:

lab^*ch^* und lab^*icu^*

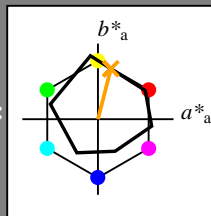
Elementar-Bunttontext:

$u^* = r75j$

Kontrastreduzierungsfaktor:

$c_R = 0.96$

Dreiecks-Helligkeit i^*



ORS20_95a; adaptierte CIELAB-Daten

	$L^*=L_a^*$	a_a^*	b_a^*	$C_{ab,a}^*$	$h_{ab,a}^*$
O _{Ma}	48.75	62.56	37.91	73.15	31
Y _{Ma}	90.92	-9.88	83.88	84.46	97
L _{Ma}	52.69	-62.9	19.95	66.0	162
C _{Ma}	59.61	-27.85	-44.43	52.45	238
V _{Ma}	28.39	22.72	-42.42	48.13	298
M _{Ma}	49.58	71.08	-9.19	71.67	353
N _{Ma}	20.0	0.0	0.0	0.0	0
W _{Ma}	95.0	0.0	0.0	0.0	0
R _{CIE}	39.92	58.74	27.99	65.07	25
J _{CIE}	81.26	-2.88	71.56	71.62	92
G _{CIE}	52.23	-42.41	13.6	44.55	162
B _{CIE}	30.57	1.41	-46.46	46.49	272

Daten für Maximalfarbe (Ma):

LAB^*LAB^*Ma : 75 17 67

LAB^*LCH^*Ma : 75 69 76

lab^*rgb^*Ma : 1.0 0.75 0.0

lab^*olv^*Ma : 1.0 0.63 0.0

Dreiecks-Helligkeit i^*

%Umfang

$u^*_{rel} = 83$

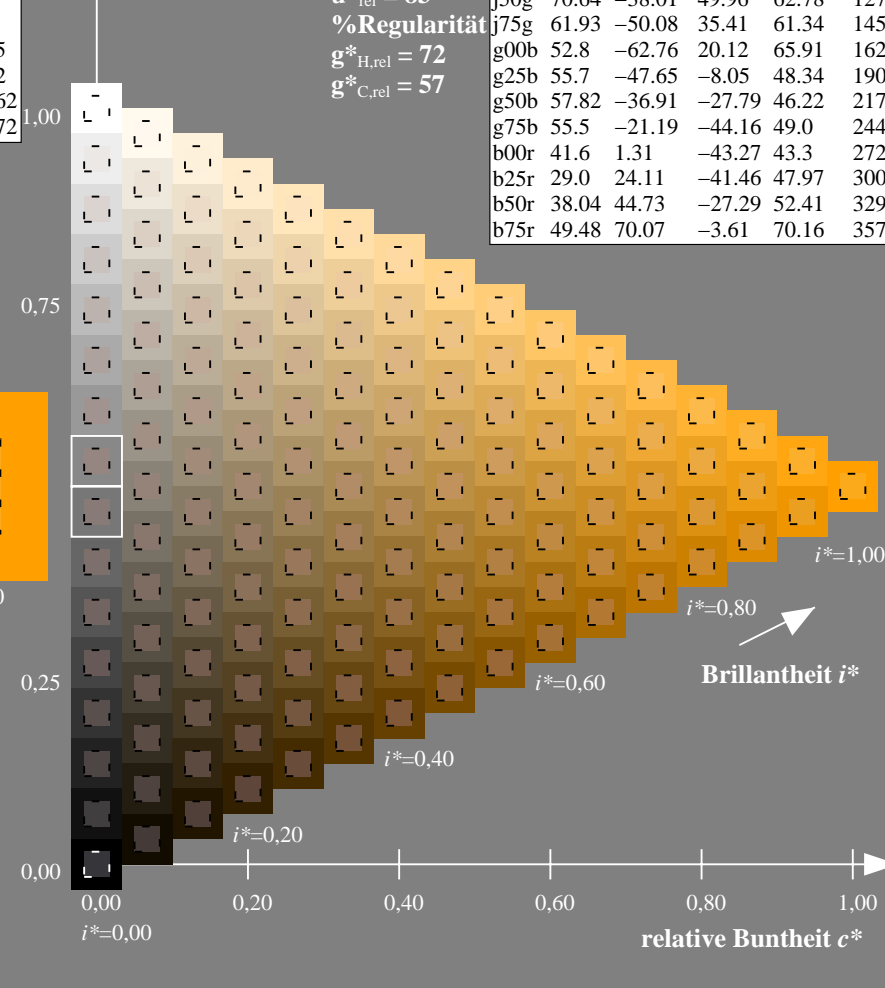
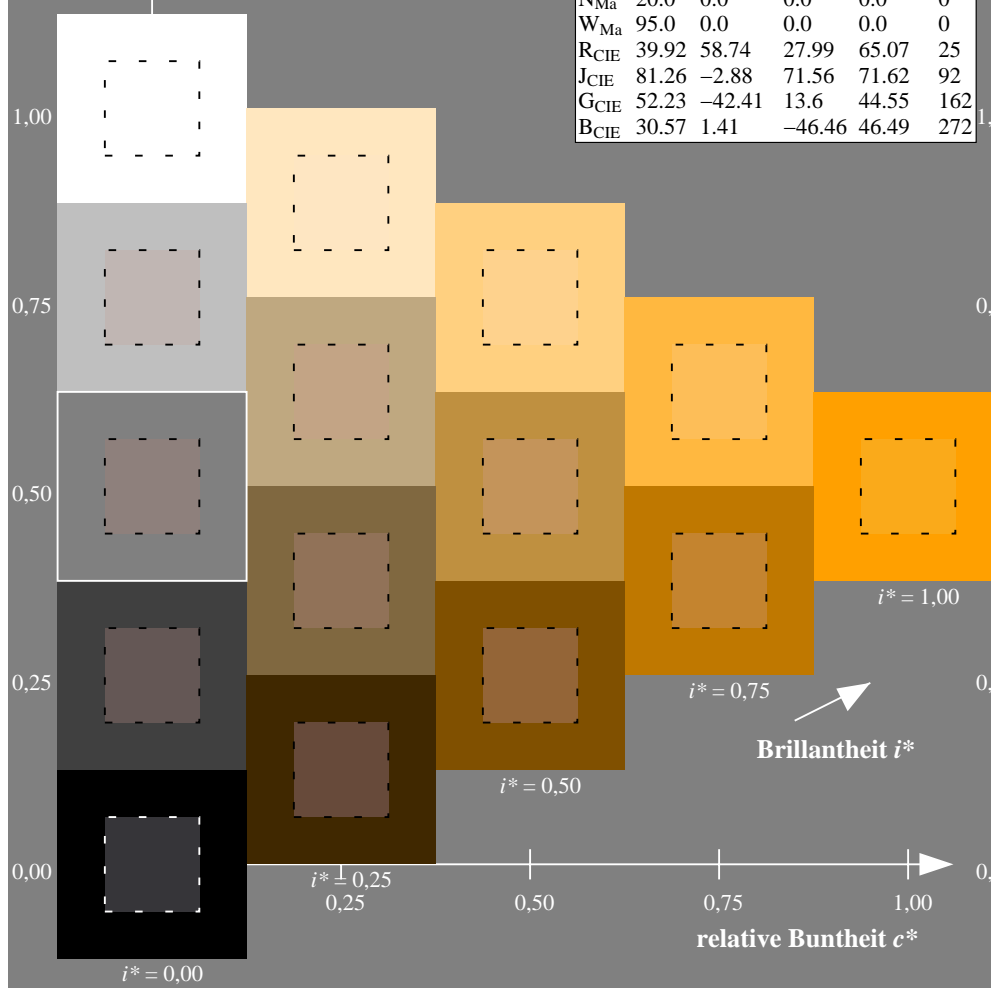
%Regularität

$g^*_{H,rel} = 72$

$g^*_{C,rel} = 57$

ORS20_95a; adaptierte CIELAB-Daten

	$L^*=L_a^*$	a_a^*	b_a^*	$C_{ab,a}^*$	$h_{ab,a}^*$
r00j	48.88	63.91	30.45	70.79	25
r25j	55.85	50.36	45.65	67.97	42
r50j	65.45	33.86	56.12	65.54	59
r75j	75.19	17.13	66.73	68.89	76
j00g	87.03	-3.21	79.64	79.7	92
j25g	80.72	-24.03	66.82	71.01	110
j50g	70.64	-38.01	49.96	62.78	127
j75g	61.93	-50.08	35.41	61.34	145
g00b	52.8	-62.76	20.12	65.91	162
g25b	55.7	-47.65	-8.05	48.34	190
g50b	57.82	-36.91	-27.79	46.22	217
g75b	55.5	-21.19	-44.16	49.0	244
b00r	41.6	1.31	-43.27	43.3	272
b25r	29.0	24.11	-41.46	47.97	300
b50r	38.04	44.73	-27.29	52.41	329
b75r	49.48	70.07	-3.61	70.16	357



Ein und Ausgabe: Farbmetrisches Drucker-Reflektiv-System ORS20_95a für relativen CIELAB-Buntton $h^* = lab^*h^* = h_{ab}/360 = 92/360 = 0.256$ $u^* = j00g$

Daten für jede Farbe:

lab^*ch^* und lab^*icu^*

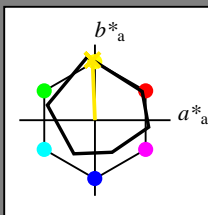
Elementar-Bunttontext:

$u^* = j00g$

Kontrastreduzierungsfaktor:

$c_R = 0.96$

Dreiecks-Helligkeit i^*



ORS20_95a; adaptierte CIELAB-Daten

	$L^*=L^*_a$	a^*_a	b^*_a	$C^*_{ab,a}$	$h^*_{ab,a}$
O _{Ma}	48.75	62.56	37.91	73.15	31
Y _{Ma}	90.92	-9.88	83.88	84.46	97
L _{Ma}	52.69	-62.9	19.95	66.0	162
C _{Ma}	59.61	-27.85	-44.43	52.45	238
V _{Ma}	28.39	22.72	-42.42	48.13	298
M _{Ma}	49.58	71.08	-9.19	71.67	353
N _{Ma}	20.0	0.0	0.0	0.0	0
W _{Ma}	95.0	0.0	0.0	0.0	0
R _{CIE}	39.92	58.74	27.99	65.07	25
J _{CIE}	81.26	-2.88	71.56	71.62	92
G _{CIE}	52.23	-42.41	13.6	44.55	162
B _{CIE}	30.57	1.41	-46.46	46.49	272

Daten für Maximalfarbe (Ma):

$LAB^*LAB^*_{Ma}$: 87 -2 80

$LAB^*LCH^*_{Ma}$: 87 80 92

$lab^*rgb^*_{Ma}$: 1.0 1.0 0.0

$lab^*olv^*_{Ma}$: 1.0 0.91 0.0

Dreiecks-Helligkeit i^*

%Umfang

$u^*_{rel} = 83$

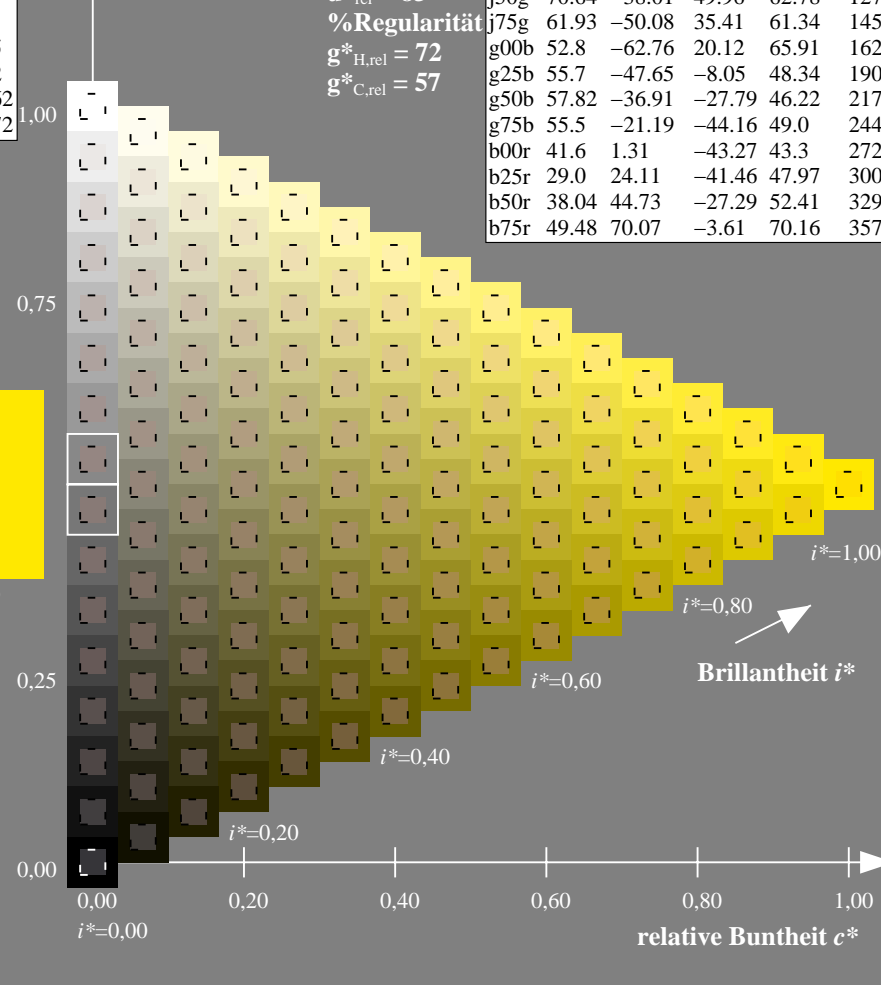
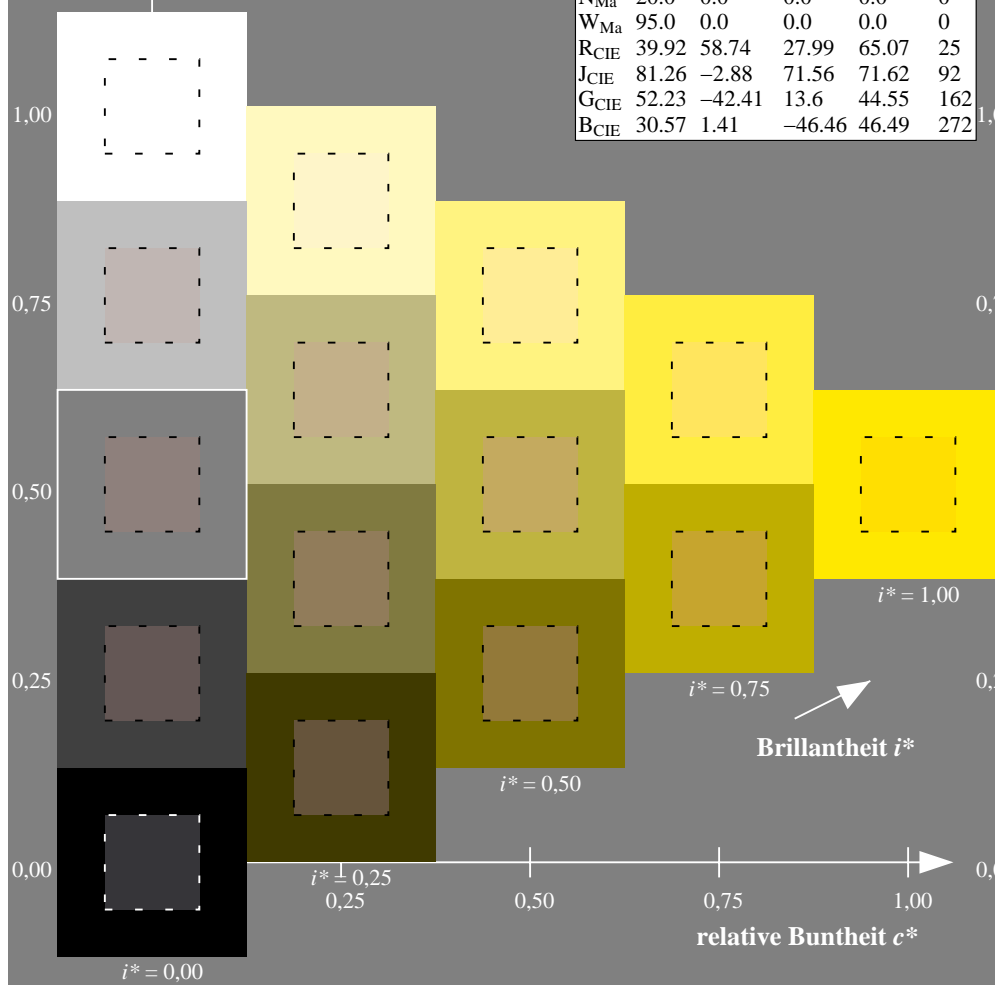
%Regularität

$g^*_{H,rel} = 72$

$g^*_{C,rel} = 57$

ORS20_95a; adaptierte CIELAB-Daten

	$L^*=L^*_a$	a^*_a	b^*_a	$C^*_{ab,a}$	$h^*_{ab,a}$
r00j	48.88	63.91	30.45	70.79	25
r25j	55.85	50.36	45.65	67.97	42
r50j	65.45	33.86	56.12	65.54	59
r75j	75.19	17.13	66.73	68.89	76
j00g	87.03	-3.21	79.64	79.7	92
j25g	80.72	-24.03	66.82	71.01	110
j50g	70.64	-38.01	49.96	62.78	127
j75g	61.93	-50.08	35.41	61.34	145
g00b	52.8	-62.76	20.12	65.91	162
g25b	55.7	-47.65	-8.05	48.34	190
g50b	57.82	-36.91	-27.79	46.22	217
g75b	55.5	-21.19	-44.16	49.0	244
b00r	41.6	1.31	-43.27	43.3	272
b25r	29.0	24.11	-41.46	47.97	300
b50r	38.04	44.73	-27.29	52.41	329
b75r	49.48	70.07	-3.61	70.16	357



Ein und Ausgabe: Farbmetrisches Drucker-Reflektiv-System ORS20_95a für relativen CIELAB-Buntton $h^* = lab^*h^* = h_{ab}/360 = 110/360 = 0.305$ $u^* = j25g$

Daten für jede Farbe:

lab^*ch^* und lab^*icu^*

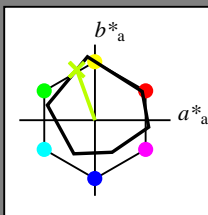
Elementar-Bunttontext:

$u^* = j25g$

Kontrastreduzierungsfaktor:

$c_R = 0.96$

Dreiecks-Helligkeit i^*



ORS20_95a; adaptierte CIELAB-Daten

	$L^*=L_a^*$	a_a^*	b_a^*	$C^*_{ab,a}$	$h^*_{ab,a}$
O _{Ma}	48.75	62.56	37.91	73.15	31
Y _{Ma}	90.92	-9.88	83.88	84.46	97
L _{Ma}	52.69	-62.9	19.95	66.0	162
C _{Ma}	59.61	-27.85	-44.43	52.45	238
V _{Ma}	28.39	22.72	-42.42	48.13	298
M _{Ma}	49.58	71.08	-9.19	71.67	353
N _{Ma}	20.0	0.0	0.0	0.0	0
W _{Ma}	95.0	0.0	0.0	0.0	0
R _{CIE}	39.92	58.74	27.99	65.07	25
J _{CIE}	81.26	-2.88	71.56	71.62	92
G _{CIE}	52.23	-42.41	13.6	44.55	162
B _{CIE}	30.57	1.41	-46.46	46.49	272

Daten für Maximalfarbe (Ma):

$LAB^*LAB^*_{Ma}$: 81 -23 67

$LAB^*LCH^*_{Ma}$: 81 71 110

$lab^*rgb^*_{Ma}$: 0.75 1.0 0.0

$lab^*olv^*_{Ma}$: 0.73 1.0 0.0

Dreiecks-Helligkeit i^*

%Umfang

$u^*_{rel} = 83$

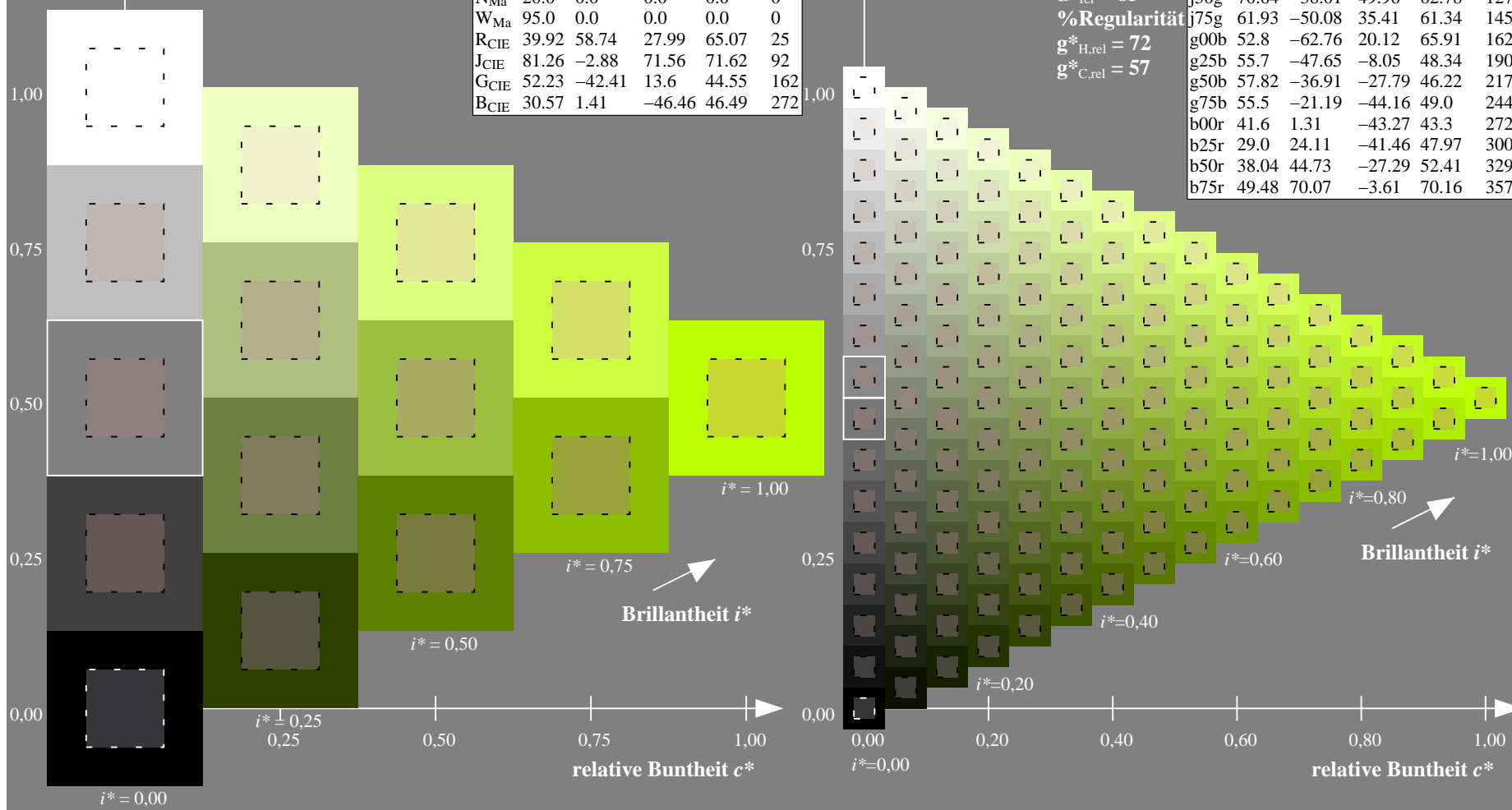
%Regularität

$g^*_{H,rel} = 72$

$g^*_{C,rel} = 57$

ORS20_95a; adaptierte CIELAB-Daten

	$L^*=L_a^*$	a_a^*	b_a^*	$C^*_{ab,a}$	$h^*_{ab,a}$
r00j	48.88	63.91	30.45	70.79	25
r25j	55.85	50.36	45.65	67.97	42
r50j	65.45	33.86	56.12	65.54	59
r75j	75.19	17.13	66.73	68.89	76
j00g	87.03	-3.21	79.64	79.7	92
j25g	80.72	-24.03	66.82	71.01	110
j50g	70.64	-38.01	49.96	62.78	127
j75g	61.93	-50.08	35.41	61.34	145
g00b	52.8	-62.76	20.12	65.91	162
g25b	55.7	-47.65	-8.05	48.34	190
g50b	57.82	-36.91	-27.79	46.22	217
g75b	55.5	-21.19	-44.16	49.0	244
b00r	41.6	1.31	-43.27	43.3	272
b25r	29.0	24.11	-41.46	47.97	300
b50r	38.04	44.73	-27.29	52.41	329
b75r	49.48	70.07	-3.61	70.16	357



Ein und Ausgabe: Farbmetrisches Drucker-Reflektiv-System ORS20_95a für relativen CIELAB-Buntton $h^* = lab^*h^* = h_{ab}/360 = 127/360 = 0.354$ $u^* = j50g$

Daten für jede Farbe:

lab^*ch^* und lab^*icu^*

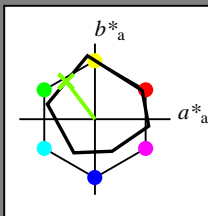
Elementar-Bunttontext:

$u^* = j50g$

Kontrastreduzierungsfaktor:

$c_R = 0.96$

Dreiecks-Helligkeit i^*



ORS20_95a; adaptierte CIELAB-Daten

	$L^*=L^*_a$	a^*_a	b^*_a	$C^*_{ab,a}$	$h^*_{ab,a}$
O _{Ma}	48.75	62.56	37.91	73.15	31
Y _{Ma}	90.92	-9.88	83.88	84.46	97
L _{Ma}	52.69	-62.9	19.95	66.0	162
C _{Ma}	59.61	-27.85	-44.43	52.45	238
V _{Ma}	28.39	22.72	-42.42	48.13	298
M _{Ma}	49.58	71.08	-9.19	71.67	353
N _{Ma}	20.0	0.0	0.0	0.0	0
W _{Ma}	95.0	0.0	0.0	0.0	0
R _{CIE}	39.92	58.74	27.99	65.07	25
J _{CIE}	81.26	-2.88	71.56	71.62	92
G _{CIE}	52.23	-42.41	13.6	44.55	162
B _{CIE}	30.57	1.41	-46.46	46.49	272

Daten für Maximalfarbe (Ma):

$LAB^*LAB^*_{Ma}$: 71 -37 50

$LAB^*LCH^*_{Ma}$: 71 63 127

$lab^*rgb^*_{Ma}$: 0.5 1.0 0.0

$lab^*olv^*_{Ma}$: 0.47 1.0 0.0

Dreiecks-Helligkeit i^*

%Umfang

$u^*_{rel} = 83$

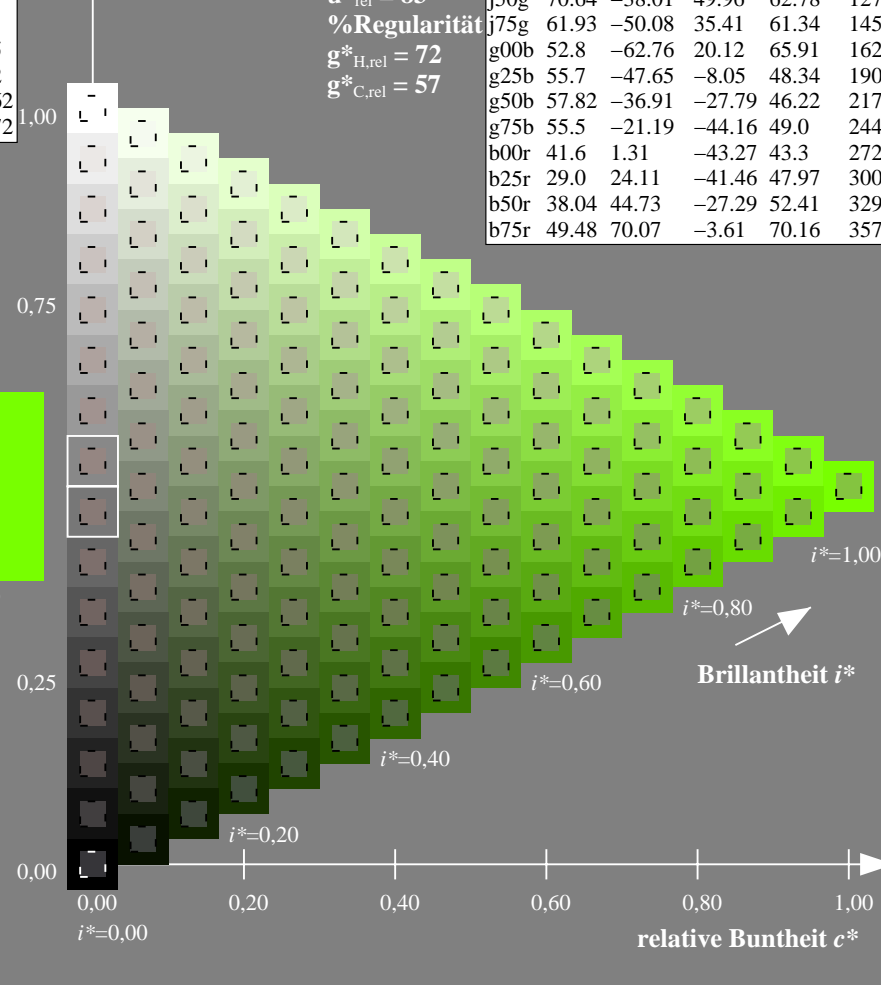
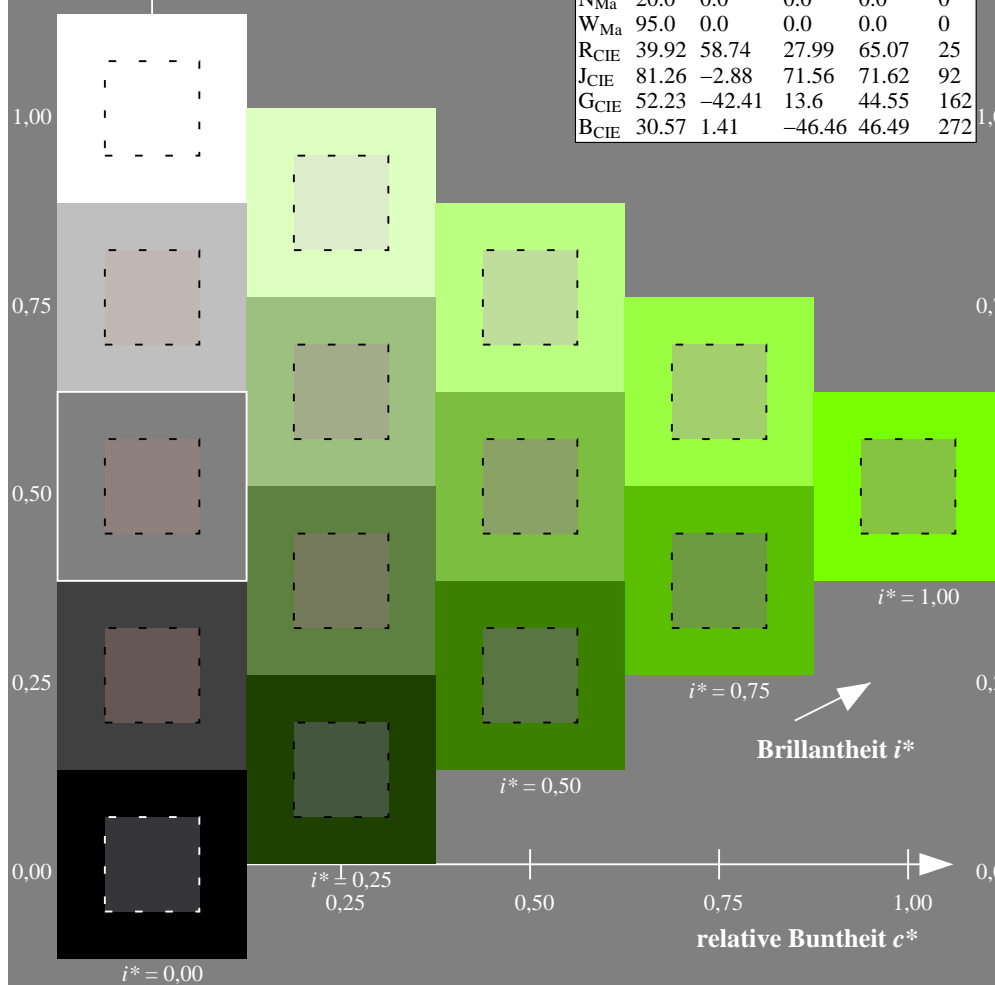
%Regularität

$g^*_{H,rel} = 72$

$g^*_{C,rel} = 57$

ORS20_95a; adaptierte CIELAB-Daten

	$L^*=L^*_a$	a^*_a	b^*_a	$C^*_{ab,a}$	$h^*_{ab,a}$
r00j	48.88	63.91	30.45	70.79	25
r25j	55.85	50.36	45.65	67.97	42
r50j	65.45	33.86	56.12	65.54	59
r75j	75.19	17.13	66.73	68.89	76
j00g	87.03	-3.21	79.64	79.7	92
j25g	80.72	-24.03	66.82	71.01	110
j50g	70.64	-38.01	49.96	62.78	127
j75g	61.93	-50.08	35.41	61.34	145
g00b	52.8	-62.76	20.12	65.91	162
g25b	55.7	-47.65	-8.05	48.34	190
g50b	57.82	-36.91	-27.79	46.22	217
g75b	55.5	-21.19	-44.16	49.0	244
b00r	41.6	1.31	-43.27	43.3	272
b25r	29.0	24.11	-41.46	47.97	300
b50r	38.04	44.73	-27.29	52.41	329
b75r	49.48	70.07	-3.61	70.16	357



Ein und Ausgabe: Farbmetrisches Drucker-Reflektiv-System ORS20_95a für relativen CIELAB-Buntton $h^* = lab^*h^* = h_{ab}/360 = 145/360 = 0.402$ $u^* = j75g$

Daten für jede Farbe:

lab^*ch^* und lab^*icu^*

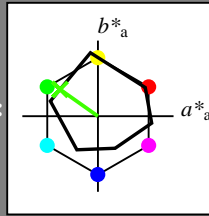
Elementar-Bunttontext:

$u^* = j75g$

Kontrastreduzierungsfaktor:

$c_R = 0.96$

Dreiecks-Helligkeit i^*



ORS20_95a; adaptierte CIELAB-Daten					
	$L^*=L^*_a$	a^*_a	b^*_a	$C^*_{ab,a}$	$h^*_{ab,a}$
O _{Ma}	48.75	62.56	37.91	73.15	31
Y _{Ma}	90.92	-9.88	83.88	84.46	97
L _{Ma}	52.69	-62.9	19.95	66.0	162
C _{Ma}	59.61	-27.85	-44.43	52.45	238
V _{Ma}	28.39	22.72	-42.42	48.13	298
M _{Ma}	49.58	71.08	-9.19	71.67	353
N _{Ma}	20.0	0.0	0.0	0.0	0
W _{Ma}	95.0	0.0	0.0	0.0	0
R _{CIE}	39.92	58.74	27.99	65.07	25
J _{CIE}	81.26	-2.88	71.56	71.62	92
G _{CIE}	52.23	-42.41	13.6	44.55	162
B _{CIE}	30.57	1.41	-46.46	46.49	272

Daten für Maximalfarbe (Ma):

$LAB^*LAB^*_{Ma}$: 62 -49 35

$LAB^*LCH^*_{Ma}$: 62 61 145

$lab^*rgb^*_{Ma}$: 0.25 1.0 0.0

$lab^*olv^*_{Ma}$: 0.24 1.0 0.0

Dreiecks-Helligkeit i^*

%Umfang

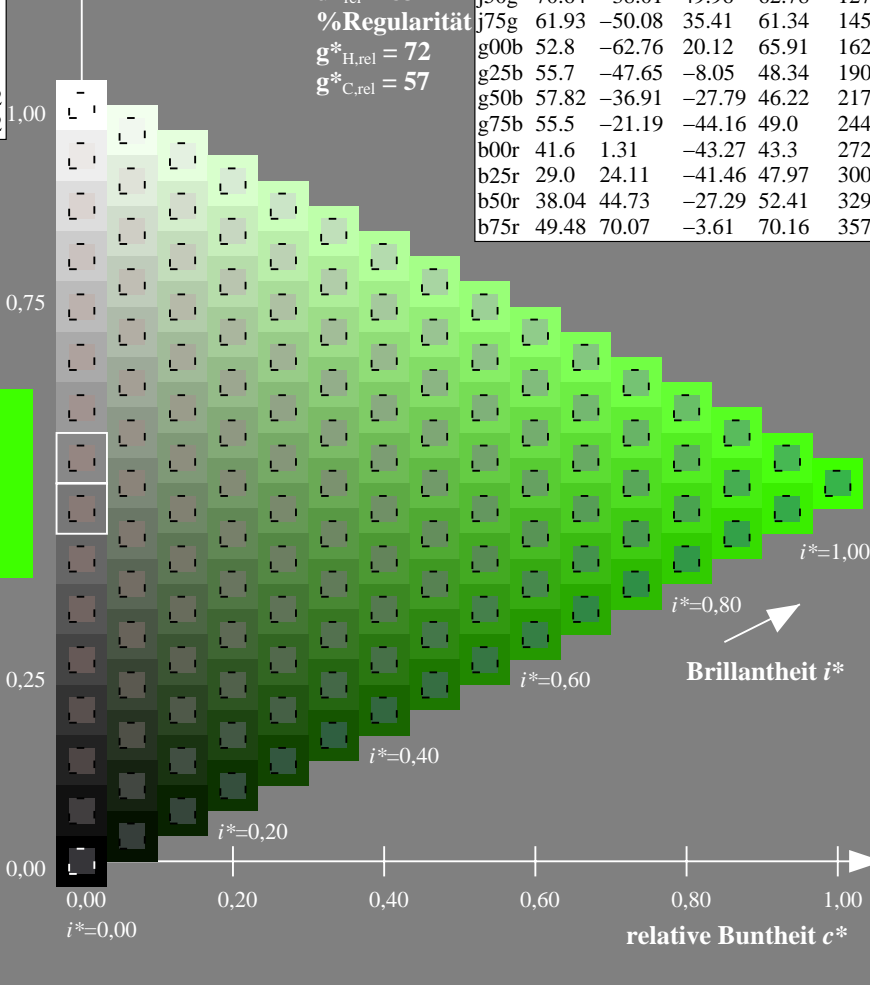
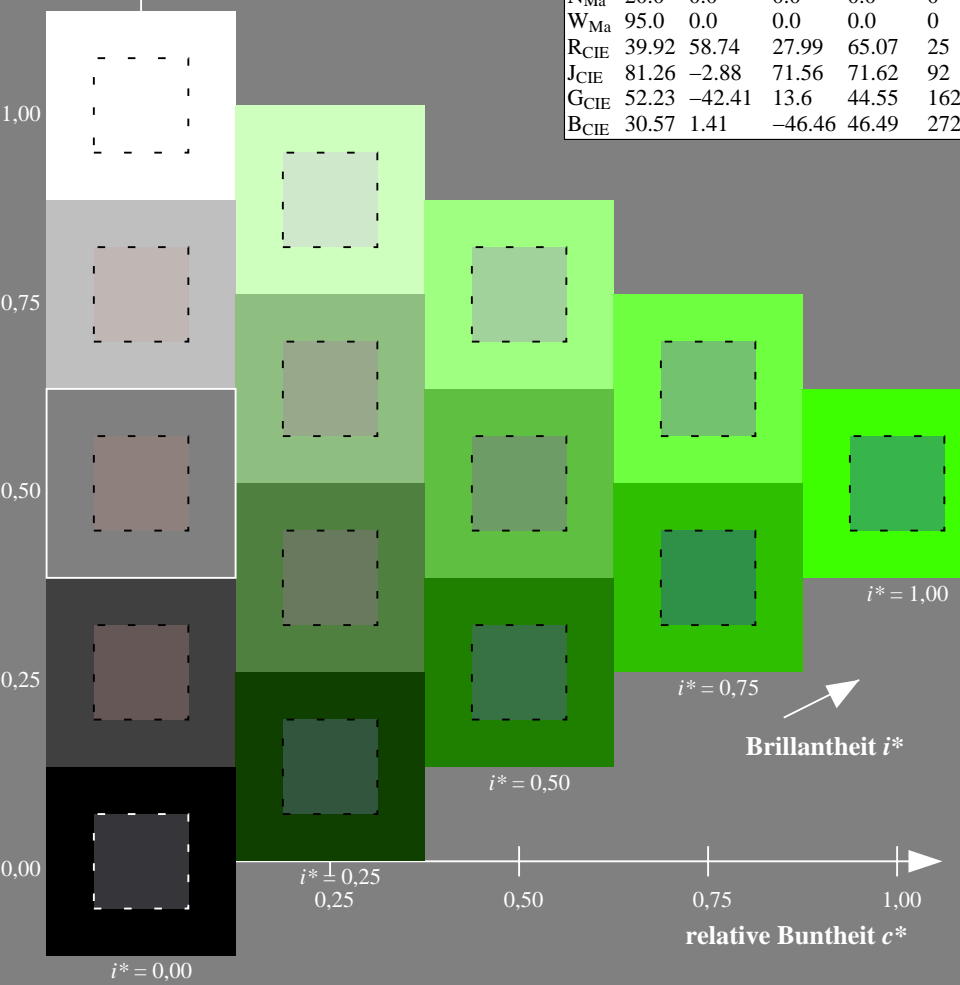
$u^*_{rel} = 83$

%Regularität

$g^*_{H,rel} = 72$

$g^*_{C,rel} = 57$

ORS20_95a; adaptierte CIELAB-Daten					
	$L^*=L^*_a$	a^*_a	b^*_a	$C^*_{ab,a}$	$h^*_{ab,a}$
r00j	48.88	63.91	30.45	70.79	25
r25j	55.85	50.36	45.65	67.97	42
r50j	65.45	33.86	56.12	65.54	59
r75j	75.19	17.13	66.73	68.89	76
j00g	87.03	-3.21	79.64	79.7	92
j25g	80.72	-24.03	66.82	71.01	110
j50g	70.64	-38.01	49.96	62.78	127
j75g	61.93	-50.08	35.41	61.34	145
g00b	52.8	-62.76	20.12	65.91	162
g25b	55.7	-47.65	-8.05	48.34	190
g50b	57.82	-36.91	-27.79	46.22	217
g75b	55.5	-21.19	-44.16	49.0	244
b00r	41.6	1.31	-43.27	43.3	272
b25r	29.0	24.11	-41.46	47.97	300
b50r	38.04	44.73	-27.29	52.41	329
b75r	49.48	70.07	-3.61	70.16	357



Ein und Ausgabe: Farbmetrisches Drucker-Reflektiv-System ORS20_95a für relativen CIELAB-Buntton $h^* = lab^*h^* = h_{ab}/360 = 162/360 = 0.451$ $u^* = g00b$

Daten für jede Farbe:

lab^*ch^* und lab^*icu^*

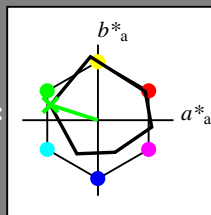
Elementar-Bunttontext:

$u^* = g00b$

Kontrastreduzierungsfaktor:

$c_R = 0.96$

Dreiecks-Helligkeit i^*



ORS20_95a; adaptierte CIELAB-Daten

	$L^*=L^*_a$	a^*_a	b^*_a	$C^*_{ab,a}$	$h^*_{ab,a}$
O _{Ma}	48.75	62.56	37.91	73.15	31
Y _{Ma}	90.92	-9.88	83.88	84.46	97
L _{Ma}	52.69	-62.9	19.95	66.0	162
C _{Ma}	59.61	-27.85	-44.43	52.45	238
V _{Ma}	28.39	22.72	-42.42	48.13	298
M _{Ma}	49.58	71.08	-9.19	71.67	353
N _{Ma}	20.0	0.0	0.0	0.0	0
W _{Ma}	95.0	0.0	0.0	0.0	0
R _{CIE}	39.92	58.74	27.99	65.07	25
J _{CIE}	81.26	-2.88	71.56	71.62	92
G _{CIE}	52.23	-42.41	13.6	44.55	162
B _{CIE}	30.57	1.41	-46.46	46.49	272

Daten für Maximalfarbe (Ma):

$LAB^*LAB^*_{Ma}$: 53 -62 20

$LAB^*LCH^*_{Ma}$: 53 66 162

$lab^*rgb^*_{Ma}$: 0.0 1.0 0.0

$lab^*olv^*_{Ma}$: 0.0 1.0 0.0

Dreiecks-Helligkeit i^*

%Umfang

$u^*_{rel} = 83$

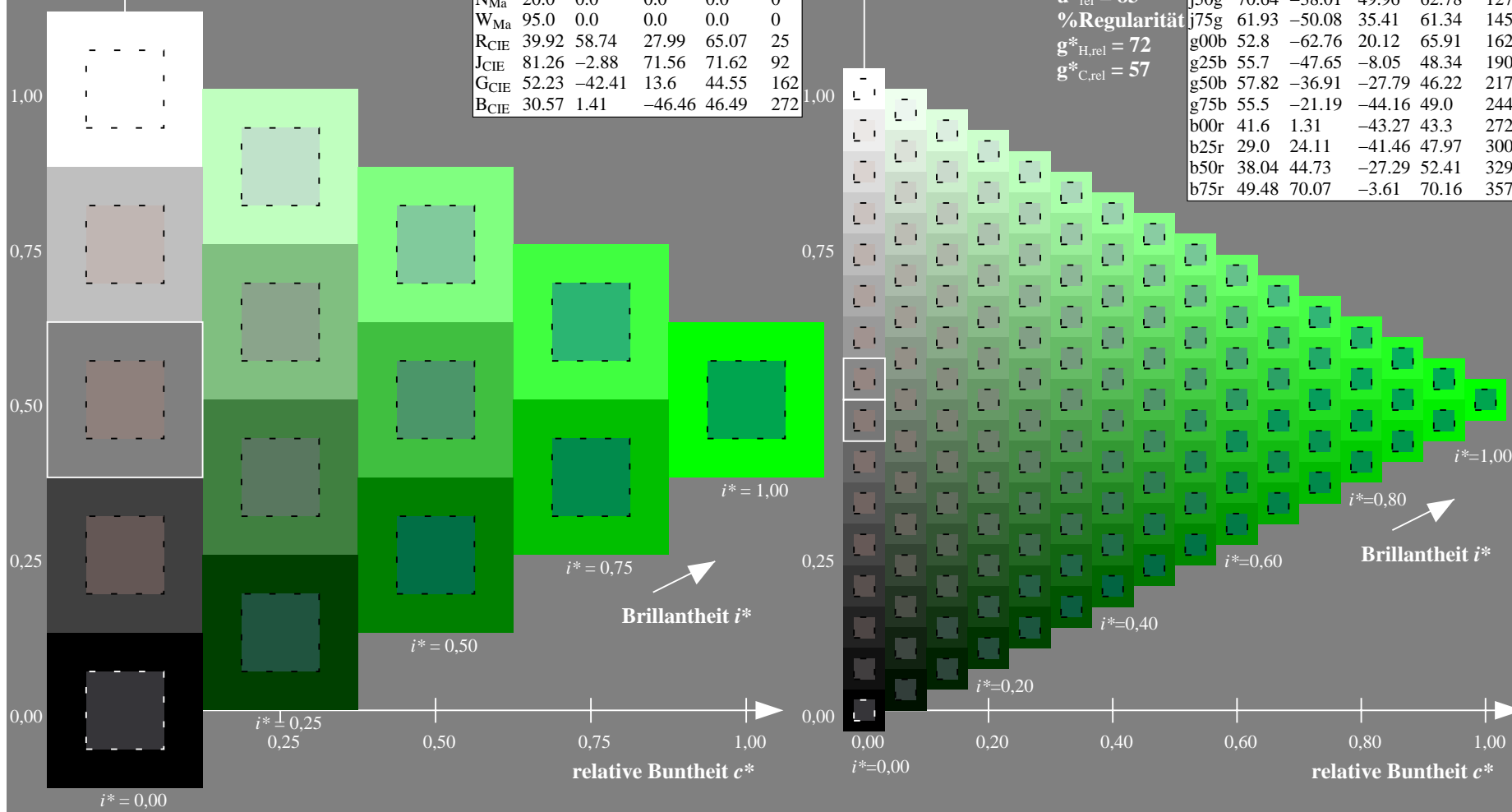
%Regularität

$g^*_{H,rel} = 72$

$g^*_{C,rel} = 57$

ORS20_95a; adaptierte CIELAB-Daten

	$L^*=L^*_a$	a^*_a	b^*_a	$C^*_{ab,a}$	$h^*_{ab,a}$
r00j	48.88	63.91	30.45	70.79	25
r25j	55.85	50.36	45.65	67.97	42
r50j	65.45	33.86	56.12	65.54	59
r75j	75.19	17.13	66.73	68.89	76
j00g	87.03	-3.21	79.64	79.7	92
j25g	80.72	-24.03	66.82	71.01	110
j50g	70.64	-38.01	49.96	62.78	127
j75g	61.93	-50.08	35.41	61.34	145
g00b	52.8	-62.76	20.12	65.91	162
g25b	55.7	-47.65	-8.05	48.34	190
g50b	57.82	-36.91	-27.79	46.22	217
g75b	55.5	-21.19	-44.16	49.0	244
b00r	41.6	1.31	-43.27	43.3	272
b25r	29.0	24.11	-41.46	47.97	300
b50r	38.04	44.73	-27.29	52.41	329
b75r	49.48	70.07	-3.61	70.16	357



Ein und Ausgabe: Farbmetrisches Drucker-Reflektiv-System ORS20_95a für relativen CIELAB-Buntton $h^* = lab^*h^* = h_{ab}/360 = 190/360 = 0.527$ $u^* = g25b$

Daten für jede Farbe:

lab^*ch^* und lab^*icu^*

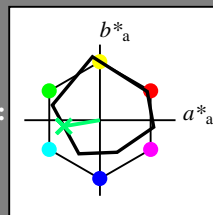
Elementar-Bunttontext:

$u^* = g25b$

Kontrastreduzierungsfaktor:

$c_R = 0.96$

Dreiecks-Helligkeit i^*



ORS20_95a; adaptierte CIELAB-Daten

	$L^*=L_a^*$	a_a^*	b_a^*	$C_{ab,a}^*$	$h_{ab,a}^*$
O _{Ma}	48.75	62.56	37.91	73.15	31
Y _{Ma}	90.92	-9.88	83.88	84.46	97
L _{Ma}	52.69	-62.9	19.95	66.0	162
C _{Ma}	59.61	-27.85	-44.43	52.45	238
V _{Ma}	28.39	22.72	-42.42	48.13	298
M _{Ma}	49.58	71.08	-9.19	71.67	353
N _{Ma}	20.0	0.0	0.0	0.0	0
W _{Ma}	95.0	0.0	0.0	0.0	0
R _{CIE}	39.92	58.74	27.99	65.07	25
J _{CIE}	81.26	-2.88	71.56	71.62	92
G _{CIE}	52.23	-42.41	13.6	44.55	162
B _{CIE}	30.57	1.41	-46.46	46.49	272

Daten für Maximalfarbe (Ma):

$LAB^*LAB^*_{Ma}$: 56 -47 -7

$LAB^*LCH^*_{Ma}$: 56 48 190

$lab^*rgb^*_{Ma}$: 0.0 1.0 0.5

$lab^*olv^*_{Ma}$: 0.0 1.0 0.44

Dreiecks-Helligkeit i^*

%Umfang

$u^*_{rel} = 83$

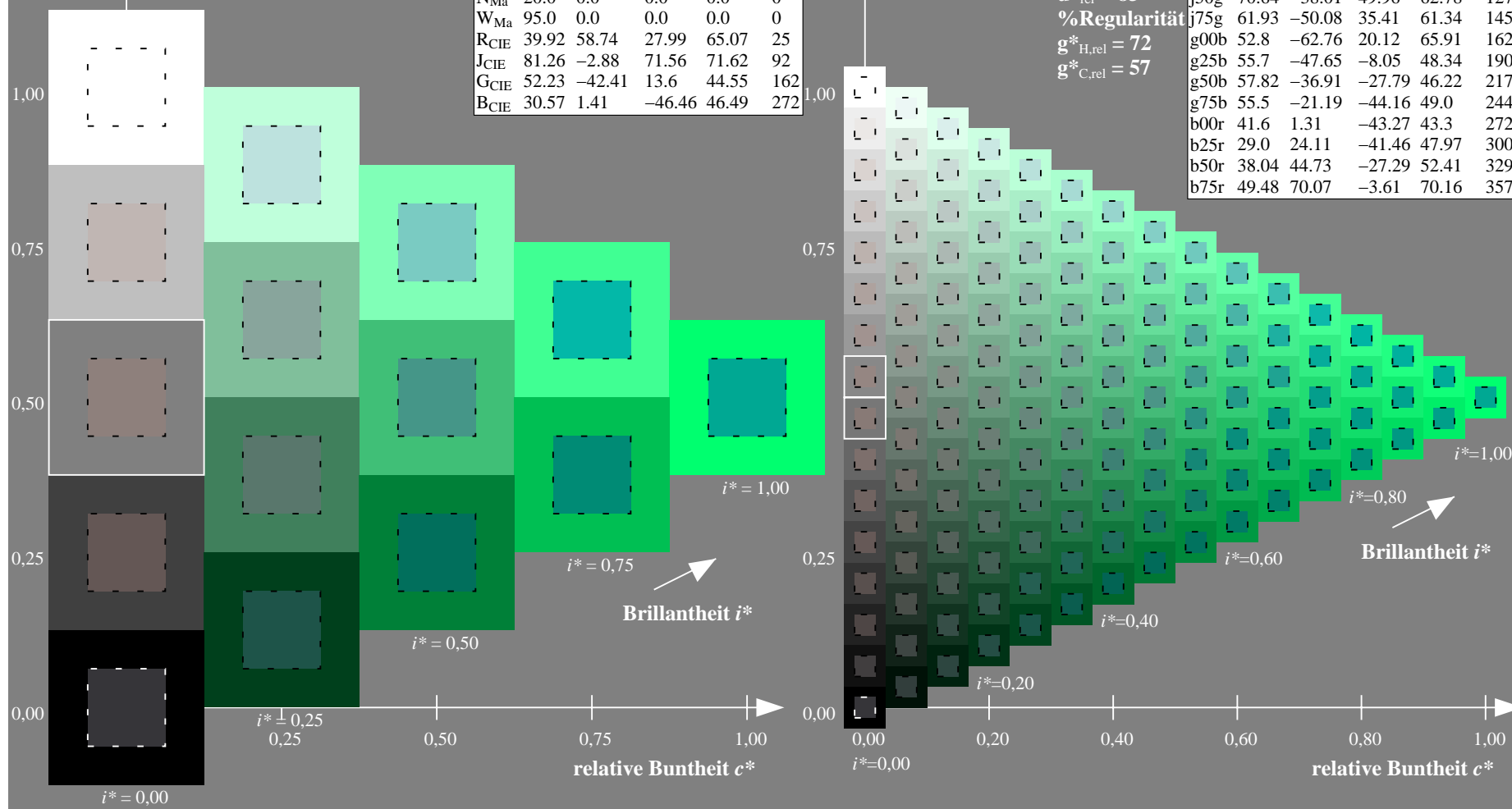
%Regularität

$g^*_{H,rel} = 72$

$g^*_{C,rel} = 57$

ORS20_95a; adaptierte CIELAB-Daten

	$L^*=L_a^*$	a_a^*	b_a^*	$C_{ab,a}^*$	$h_{ab,a}^*$
r00j	48.88	63.91	30.45	70.79	25
r25j	55.85	50.36	45.65	67.97	42
r50j	65.45	33.86	56.12	65.54	59
r75j	75.19	17.13	66.73	68.89	76
j00g	87.03	-3.21	79.64	79.7	92
j25g	80.72	-24.03	66.82	71.01	110
j50g	70.64	-38.01	49.96	62.78	127
j75g	61.93	-50.08	35.41	61.34	145
g00b	52.8	-62.76	20.12	65.91	162
g25b	55.7	-47.65	-8.05	48.34	190
g50b	57.82	-36.91	-27.79	46.22	217
g75b	55.5	-21.19	-44.16	49.0	244
b00r	41.6	1.31	-43.27	43.3	272
b25r	29.0	24.11	-41.46	47.97	300
b50r	38.04	44.73	-27.29	52.41	329
b75r	49.48	70.07	-3.61	70.16	357



Ein und Ausgabe: Farbmétrisches Drucker-Reflektiv-System ORS20_95a für relativen CIELAB-Buntton $h^* = lab^*h^* = h_{ab}/360 = 217/360 = 0.603$ $u^* = g50b$

Daten für jede Farbe:

*lab*tch** und *lab*icu**

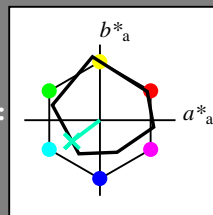
Elementar-Bunttontext:

$$u^* = g50b$$

Kontrastreduzierungsfaktor:

 $c_R = 0.96$

Dreiecks-Helligkeit t^*



ORS20 95a; adaptierte CIELAB-Daten					
	$L^*-\bar{L}^*_a$	a^*_a	b^*_a	$C^*_{ab,a}$	$h^*_{ab,a}$
O _{Ma}	48.75	62.56	37.91	73.15	31
Y _{Ma}	90.92	-9.88	83.88	84.6	97
L _{Ma}	52.69	-62.9	19.95	66.0	162
C _{Ma}	59.61	-27.85	-44.43	52.45	238
V _{Ma}	28.39	22.72	-42.42	48.13	298
M _{Ma}	49.58	71.08	-9.19	71.67	353
N _{Ma}	20.0	0.0	0.0	0.0	0
W _{Ma}	95.0	0.0	0.0	0.0	0
R _{CIE}	39.92	58.74	27.99	65.07	25
J _{CIE}	81.26	-2.88	71.56	71.62	92
G _{CIE}	52.23	-42.41	13.6	44.55	162
B _{CIE}	30.57	1.41	-46.46	46.49	272

Daten für Maximalfarbe (Ma):

*LAB*LAB*Mo: 58 -36 -27*

LAD*LCU* = 58 46 215

LAB*LCH*Ma: 58 46 2

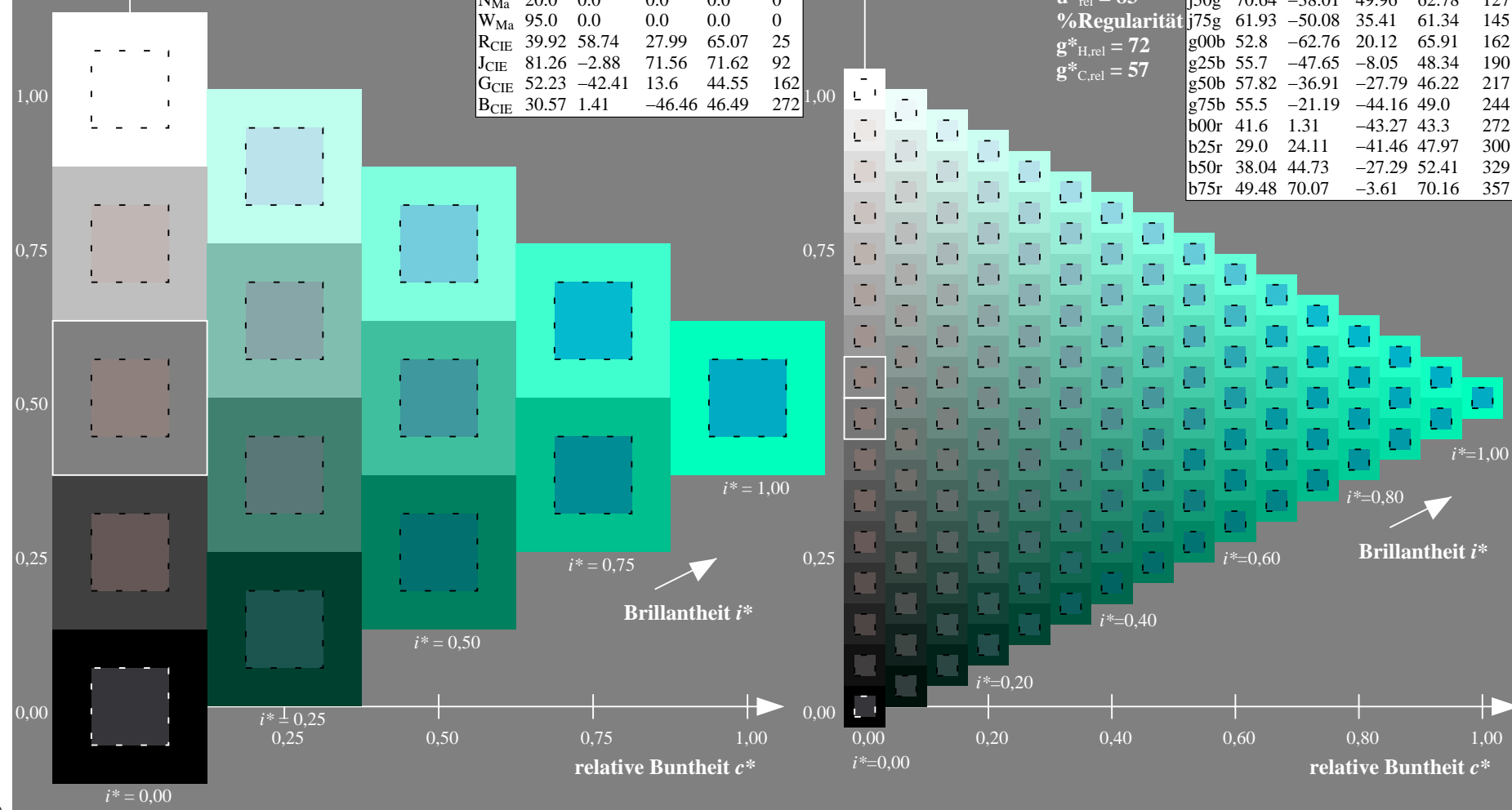
***lab*rgb*Ma: 0.0 1.0 1.0**

*lab*olv**_{Ma}: 0.0 1.0 0.74

Dreiecks-Helligkeit t^*

Exercises 11 through 14

ORS20_95a; adaptierte CIELAB-Daten						
	L^*_a	a^*_a	b^*_a	$C^*_{ab,a}$	$h^*_{ab,a}$	
r00j	48.88	63.91	30.45	70.79	25.00	25
r25j	55.85	50.36	45.65	67.97	42	49
r50j	65.45	33.86	56.12	65.54	59	76
r75j	75.19	17.13	66.73	68.89	76	92
j00g	87.03	-3.21	79.64	79.7	92	110
j25g	80.72	-24.03	66.82	71.01	110	127
j50g	70.64	-38.01	49.96	62.78	127	145
j75g	61.93	-50.08	35.41	61.34	145	162
g00b	52.8	-62.76	20.12	65.91	162	190
g25b	55.7	-47.65	-8.05	48.34	190	217
g50b	57.82	-36.91	-27.79	46.22	217	244
g75b	55.5	-21.19	-44.16	49.0	244	272
b00r	41.6	1.31	-43.27	43.3	272	300
b25r	29.0	24.11	-41.46	47.97	300	329
b50r	38.04	44.73	-27.29	52.41	329	357
b75r	49.48	70.07	-3.61	70.16	357	



Ein und Ausgabe: Farbmetrisches Drucker-Reflektiv-System ORS20_95a für relativen CIELAB-Buntton $h^* = lab^*h^* = h_{ab}/360 = 244/360 = 0.679$ $u^* = g75b$

Daten für jede Farbe:

lab^*ch^* und lab^*icu^*

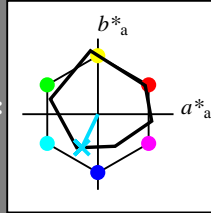
Elementar-Bunttontext:

$u^* = g75b$

Kontrastreduzierungsfaktor:

$c_R = 0.96$

Dreiecks-Helligkeit i^*



ORS20_95a; adaptierte CIELAB-Daten

	$L^*=L^*_a$	a^*_a	b^*_a	$C^*_{ab,a}$	$h^*_{ab,a}$
O _{Ma}	48.75	62.56	37.91	73.15	31
Y _{Ma}	90.92	-9.88	83.88	84.46	97
L _{Ma}	52.69	-62.9	19.95	66.0	162
C _{Ma}	59.61	-27.85	-44.43	52.45	238
V _{Ma}	28.39	22.72	-42.42	48.13	298
M _{Ma}	49.58	71.08	-9.19	71.67	353
N _{Ma}	20.0	0.0	0.0	0.0	0
W _{Ma}	95.0	0.0	0.0	0.0	0
R _{CIE}	39.92	58.74	27.99	65.07	25
J _{CIE}	81.26	-2.88	71.56	71.62	92
G _{CIE}	52.23	-42.41	13.6	44.55	162
B _{CIE}	30.57	1.41	-46.46	46.49	272

Daten für Maximalfarbe (Ma):

$LAB^*LAB^*_{Ma}$: 55 -20 -43

$LAB^*LCH^*_{Ma}$: 55 49 244

$lab^*rgb^*_{Ma}$: 0.0 0.5 1.0

$lab^*olv^*_{Ma}$: 0.0 0.87 1.0

Dreiecks-Helligkeit i^*

%Umfang

$u^*_{rel} = 83$

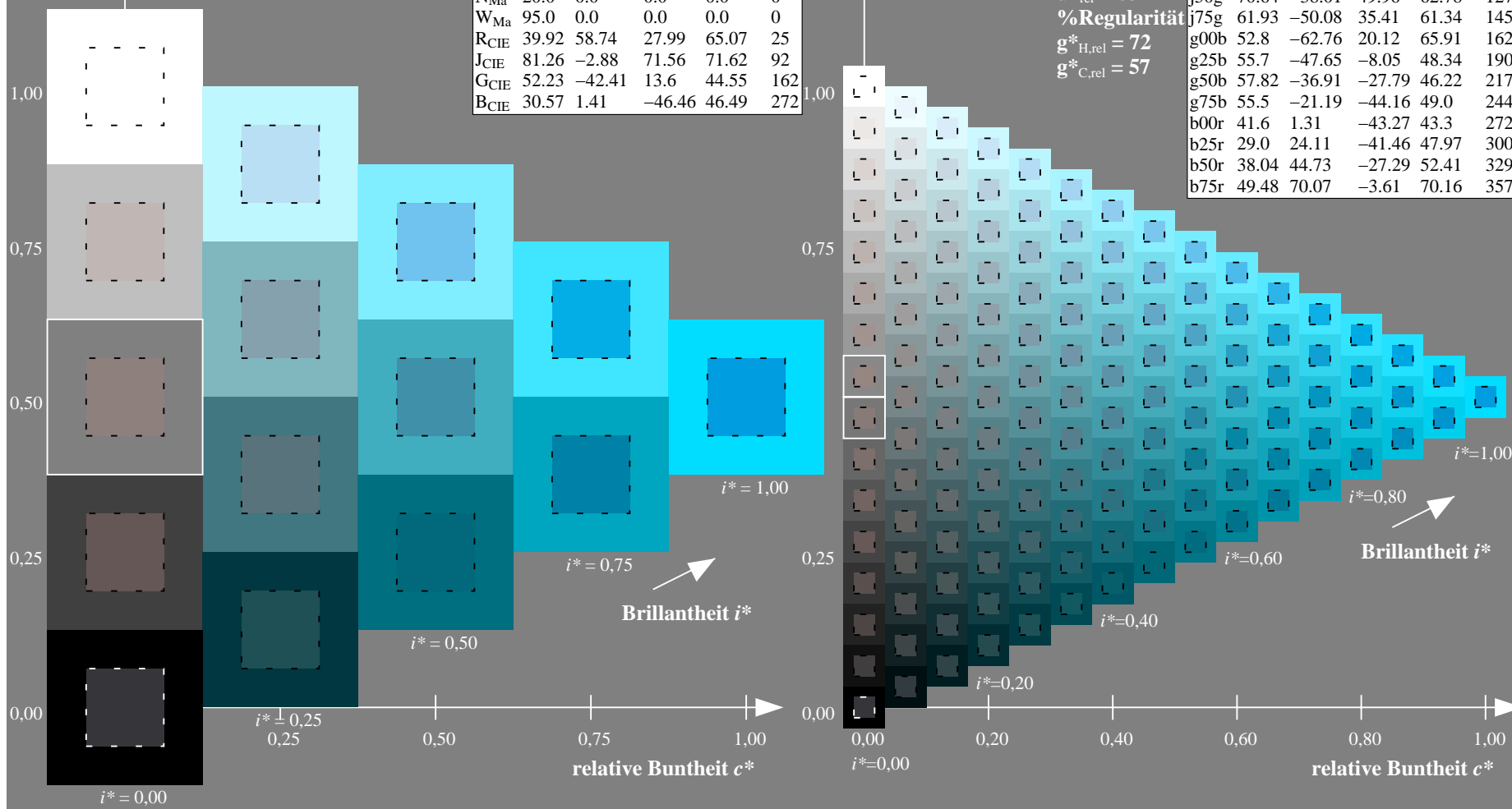
%Regularität

$g^*_{H,rel} = 72$

$g^*_{C,rel} = 57$

ORS20_95a; adaptierte CIELAB-Daten

	$L^*=L^*_a$	a^*_a	b^*_a	$C^*_{ab,a}$	$h^*_{ab,a}$
r00j	48.88	63.91	30.45	70.79	25
r25j	55.85	50.36	45.65	67.97	42
r50j	65.45	33.86	56.12	65.54	59
r75j	75.19	17.13	66.73	68.89	76
j00g	87.03	-3.21	79.64	79.7	92
j25g	80.72	-24.03	66.82	71.01	110
j50g	70.64	-38.01	49.96	62.78	127
j75g	61.93	-50.08	35.41	61.34	145
g00b	52.8	-62.76	20.12	65.91	162
g25b	55.7	-47.65	-8.05	48.34	190
g50b	57.82	-36.91	-27.79	46.22	217
g75b	55.5	-21.19	-44.16	49.0	244
b00r	41.6	1.31	-43.27	43.3	272
b25r	29.0	24.11	-41.46	47.97	300
b50r	38.04	44.73	-27.29	52.41	329
b75r	49.48	70.07	-3.61	70.16	357



Ein und Ausgabe: Farbmatisches Drucker-Reflektiv-System ORS20_95a für relativen CIELAB-Buntton $h^* = lab^*h^* = h_{ab}/360 = 272/360 = 0.755$ $u^* = b00r$

Daten für jede Farbe:

lab^*ch^* und lab^*icu^*

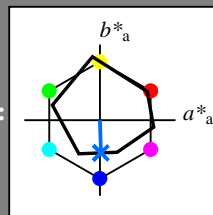
Elementar-Bunttontext:

$u^* = b00r$

Kontrastreduzierungsfaktor:

$c_R = 0.96$

Dreiecks-Helligkeit i^*



ORS20_95a; adaptierte CIELAB-Daten

	$L^*=L_a^*$	a_a^*	b_a^*	$C_{ab,a}^*$	$h_{ab,a}^*$
O _{Ma}	48.75	62.56	37.91	73.15	31
Y _{Ma}	90.92	-9.88	83.88	84.46	97
L _{Ma}	52.69	-62.9	19.95	66.0	162
C _{Ma}	59.61	-27.85	-44.43	52.45	238
V _{Ma}	28.39	22.72	-42.42	48.13	298
M _{Ma}	49.58	71.08	-9.19	71.67	353
N _{Ma}	20.0	0.0	0.0	0.0	0
W _{Ma}	95.0	0.0	0.0	0.0	0
R _{CIE}	39.92	58.74	27.99	65.07	25
J _{CIE}	81.26	-2.88	71.56	71.62	92
G _{CIE}	52.23	-42.41	13.6	44.55	162
B _{CIE}	30.57	1.41	-46.46	46.49	272

Daten für Maximalfarbe (Ma):

$LAB^*LAB^*_{Ma}$: 42 1 -42

$LAB^*LCH^*_{Ma}$: 42 43 272

$lab^*rgb^*_{Ma}$: 0.0 0.0 1.0

$lab^*olv^*_{Ma}$: 0.0 0.42 1.0

Dreiecks-Helligkeit i^*

%Umfang

$u^*_{rel} = 83$

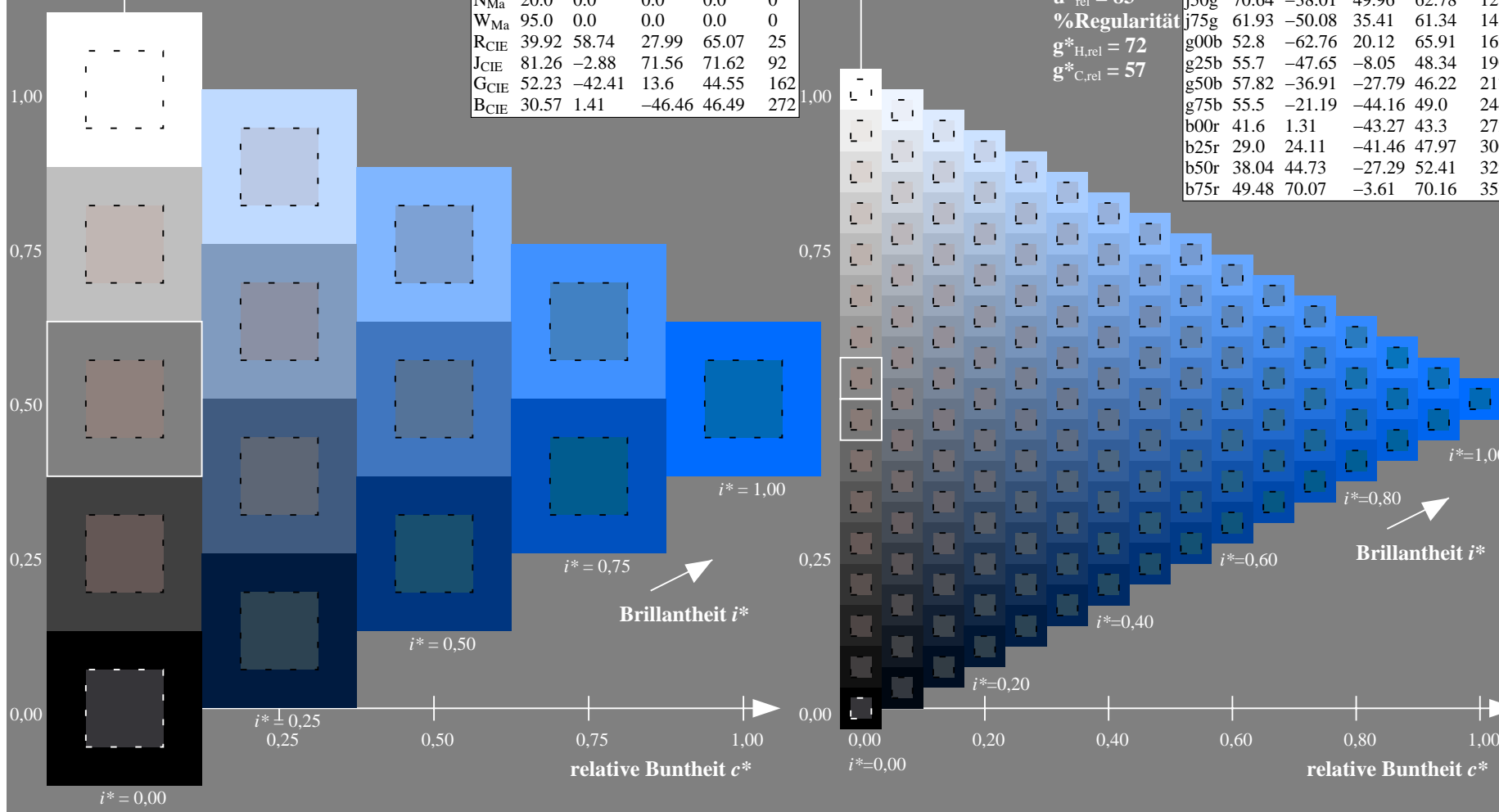
%Regularität

$g^*_{H,rel} = 72$

$g^*_{C,rel} = 57$

ORS20_95a; adaptierte CIELAB-Daten

	$L^*=L_a^*$	a_a^*	b_a^*	$C_{ab,a}^*$	$h_{ab,a}^*$
r00j	48.88	63.91	30.45	70.79	25
r25j	55.85	50.36	45.65	67.97	42
r50j	65.45	33.86	56.12	65.54	59
r75j	75.19	17.13	66.73	68.89	76
j00g	87.03	-3.21	79.64	79.7	92
j25g	80.72	-24.03	66.82	71.01	110
j50g	70.64	-38.01	49.96	62.78	127
j75g	61.93	-50.08	35.41	61.34	145
g00b	52.8	-62.76	20.12	65.91	162
g25b	55.7	-47.65	-8.05	48.34	190
g50b	57.82	-36.91	-27.79	46.22	217
g75b	55.5	-21.19	-44.16	49.0	244
b00r	41.6	1.31	-43.27	43.3	272
b25r	29.0	24.11	-41.46	47.97	300
b50r	38.04	44.73	-27.29	52.41	329
b75r	49.48	70.07	-3.61	70.16	357



Ein und Ausgabe: Farbmetrisches Drucker-Reflektiv-System ORS20_95a für relativen CIELAB-Buntton $h^* = lab^*h^* = h_{ab}/360 = 300/360 = 0.834$ $u^* = b25r$

Daten für jede Farbe:

lab^*ch^* und lab^*icu^*

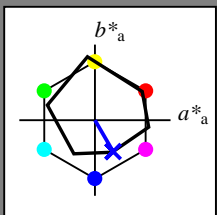
Elementar-Bunttontext:

$u^* = b25r$

Kontrastreduzierungsfaktor:

$c_R = 0.96$

Dreiecks-Helligkeit t^*



ORS20_95a; adaptierte CIELAB-Daten

	$L^*=L^*_a$	a^*_a	b^*_a	$C^*_{ab,a}$	$h^*_{ab,a}$
O _{Ma}	48.75	62.56	37.91	73.15	31
Y _{Ma}	90.92	-9.88	83.88	84.46	97
L _{Ma}	52.69	-62.9	19.95	66.0	162
C _{Ma}	59.61	-27.85	-44.43	52.45	238
V _{Ma}	28.39	22.72	-42.42	48.13	298
M _{Ma}	49.58	71.08	-9.19	71.67	353
N _{Ma}	20.0	0.0	0.0	0.0	0
W _{Ma}	95.0	0.0	0.0	0.0	0
R _{CIE}	39.92	58.74	27.99	65.07	25
J _{CIE}	81.26	-2.88	71.56	71.62	92
G _{CIE}	52.23	-42.41	13.6	44.55	162
B _{CIE}	30.57	1.41	-46.46	46.49	272

Daten für Maximalfarbe (Ma):

$LAB^*LAB^*_{Ma}$: 29 24 -40

$LAB^*LCH^*_{Ma}$: 29 48 300

$lab^*rgb^*_{Ma}$: 0.5 0.0 1.0

$lab^*olv^*_{Ma}$: 0.03 0.0 1.0

Dreiecks-Helligkeit t^*

%Umfang

$u^*_{rel} = 83$

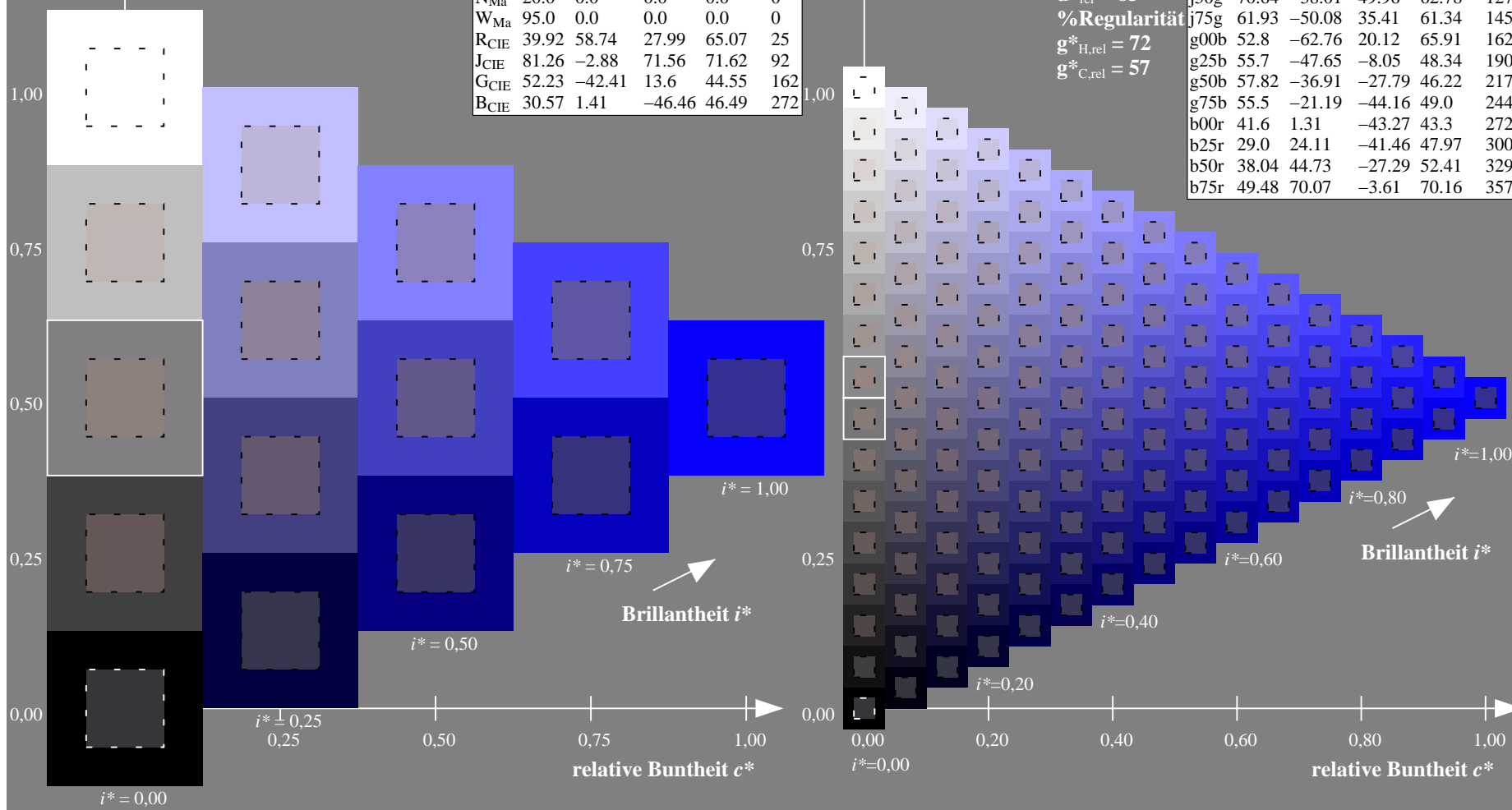
%Regularität

$g^*_{H,rel} = 72$

$g^*_{C,rel} = 57$

ORS20_95a; adaptierte CIELAB-Daten

	$L^*=L^*_a$	a^*_a	b^*_a	$C^*_{ab,a}$	$h^*_{ab,a}$
r00j	48.88	63.91	30.45	70.79	25
r25j	55.85	50.36	45.65	67.97	42
r50j	65.45	33.86	56.12	65.54	59
r75j	75.19	17.13	66.73	68.89	76
j00g	87.03	-3.21	79.64	79.7	92
j25g	80.72	-24.03	66.82	71.01	110
j50g	70.64	-38.01	49.96	62.78	127
j75g	61.93	-50.08	35.41	61.34	145
g00b	52.8	-62.76	20.12	65.91	162
g25b	55.7	-47.65	-8.05	48.34	190
g50b	57.82	-36.91	-27.79	46.22	217
g75b	55.5	-21.19	-44.16	49.0	244
b00r	41.6	1.31	-43.27	43.3	272
b25r	29.0	24.11	-41.46	47.97	300
b50r	38.04	44.73	-27.29	52.41	329
b75r	49.48	70.07	-3.61	70.16	357



Ein und Ausgabe: Farbmatisches Drucker-Reflektiv-System ORS20_95a für relativen CIELAB-Buntton $h^* = lab^*h^* = h_{ab}/360 = 329/360 = 0.913$ $u^* = b50r$

Daten für jede Farbe:

lab^*ch^* und lab^*icu^*

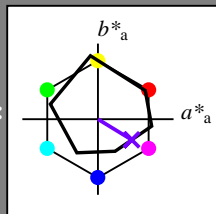
Elementar-Bunttontext:

$u^* = b50r$

Kontrastreduzierungsfaktor:

$c_R = 0.96$

Dreiecks-Helligkeit t^*



ORS20_95a; adaptierte CIELAB-Daten

	$L^*=L_a^*$	a_a^*	b_a^*	$C_{ab,a}^*$	$h_{ab,a}^*$
O _{Ma}	48.75	62.56	37.91	73.15	31
Y _{Ma}	90.92	-9.88	83.88	84.46	97
L _{Ma}	52.69	-62.9	19.95	66.0	162
C _{Ma}	59.61	-27.85	-44.43	52.45	238
V _{Ma}	28.39	22.72	-42.42	48.13	298
M _{Ma}	49.58	71.08	-9.19	71.67	353
N _{Ma}	20.0	0.0	0.0	0.0	0
W _{Ma}	95.0	0.0	0.0	0.0	0
R _{CIE}	39.92	58.74	27.99	65.07	25
J _{CIE}	81.26	-2.88	71.56	71.62	92
G _{CIE}	52.23	-42.41	13.6	44.55	162
B _{CIE}	30.57	1.41	-46.46	46.49	272

Daten für Maximalfarbe (Ma):

$LAB^*LAB^*_{Ma}$: 38 45 -26

$LAB^*LCH^*_{Ma}$: 38 52 329

$lab^*rgb^*_{Ma}$: 1.0 0.0 1.0

$lab^*olv^*_{Ma}$: 0.46 0.0 1.0

Dreiecks-Helligkeit t^*

%Umfang

$u^*_{rel} = 83$

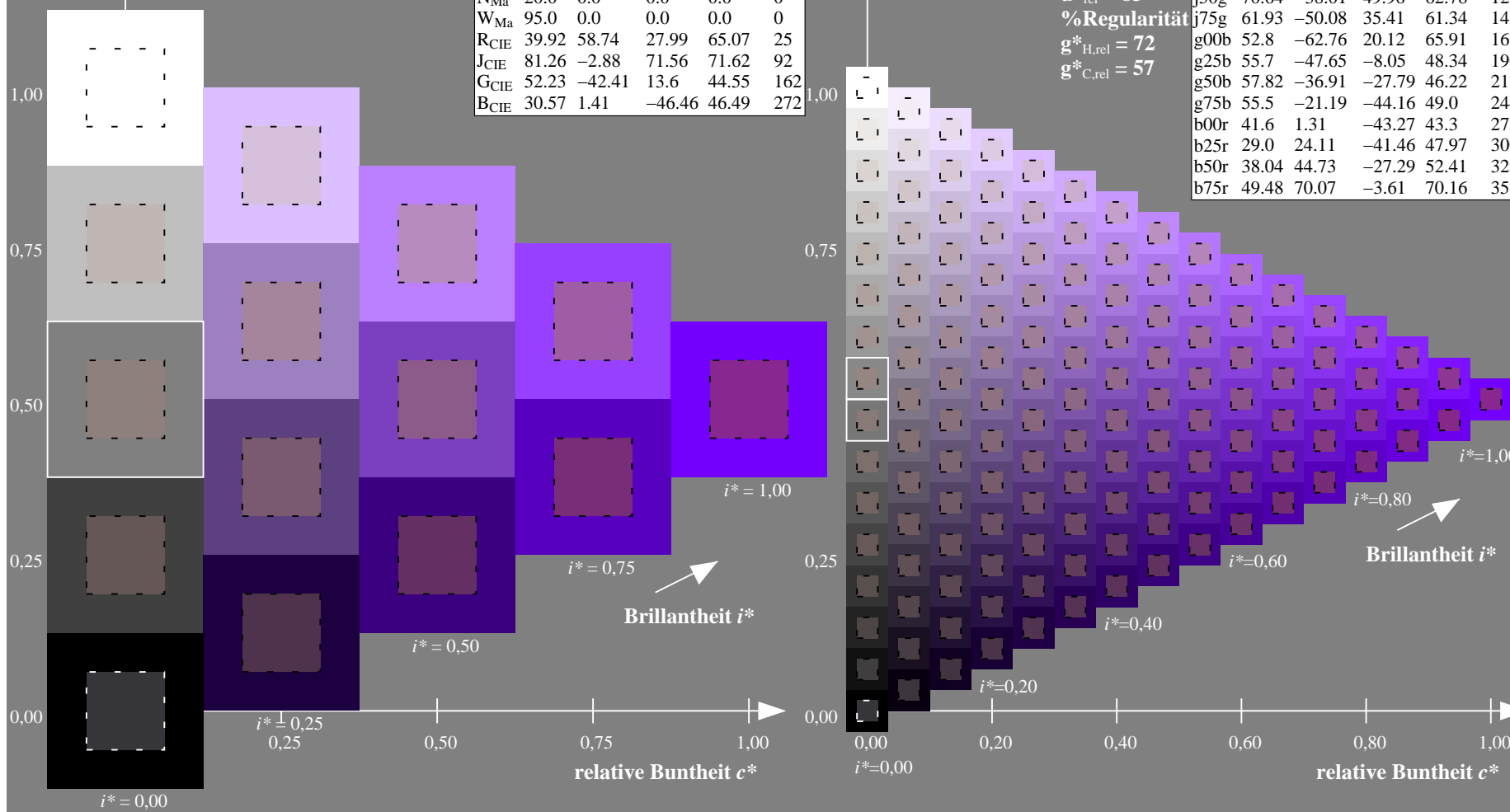
%Regularität

$g^*_{H,rel} = 72$

$g^*_{C,rel} = 57$

ORS20_95a; adaptierte CIELAB-Daten

	$L^*=L_a^*$	a_a^*	b_a^*	$C_{ab,a}^*$	$h_{ab,a}^*$
r00j	48.88	63.91	30.45	70.79	25
r25j	55.85	50.36	45.65	67.97	42
r50j	65.45	33.86	56.12	65.54	59
r75j	75.19	17.13	66.73	68.89	76
j00g	87.03	-3.21	79.64	79.7	92
j25g	80.72	-24.03	66.82	71.01	110
j50g	70.64	-38.01	49.96	62.78	127
j75g	61.93	-50.08	35.41	61.34	145
g00b	52.8	-62.76	20.12	65.91	162
g25b	55.7	-47.65	-8.05	48.34	190
g50b	57.82	-36.91	-27.79	46.22	217
g75b	55.5	-21.19	-44.16	49.0	244
b00r	41.6	1.31	-43.27	43.3	272
b25r	29.0	24.11	-41.46	47.97	300
b50r	38.04	44.73	-27.29	52.41	329
b75r	49.48	70.07	-3.61	70.16	357



Ein und Ausgabe: Farbmimetrisches Drucker-Reflektiv-System ORS20_95a für relativen CIELAB-Buntton $h^* = lab^*h^* = h_{ab}/360 = 357/360 = 0.992$ $u^* = b75r$

Daten für jede Farbe:

lab^*ch^* und lab^*icu^*

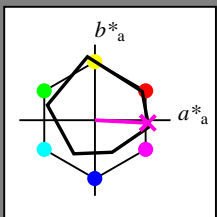
Elementar-Bunttontext:

$u^* = b75r$

Kontrastreduzierungsfaktor:

$c_R = 0.96$

Dreiecks-Helligkeit i^*



ORS20_95a; adaptierte CIELAB-Daten

	$L^*=L_a^*$	a_a^*	b_a^*	$C_{ab,a}^*$	$h_{ab,a}^*$
O _{Ma}	48.75	62.56	37.91	73.15	31
Y _{Ma}	90.92	-9.88	83.88	84.46	97
L _{Ma}	52.69	-62.9	19.95	66.0	162
C _{Ma}	59.61	-27.85	-44.43	52.45	238
V _{Ma}	28.39	22.72	-42.42	48.13	298
M _{Ma}	49.58	71.08	-9.19	71.67	353
N _{Ma}	20.0	0.0	0.0	0.0	0
W _{Ma}	95.0	0.0	0.0	0.0	0
R _{CIE}	39.92	58.74	27.99	65.07	25
J _{CIE}	81.26	-2.88	71.56	71.62	92
G _{CIE}	52.23	-42.41	13.6	44.55	162
B _{CIE}	30.57	1.41	-46.46	46.49	272

Daten für Maximalfarbe (Ma):

$LAB^*LAB^*_{Ma}$: 49 70 -3

$LAB^*LCH^*_{Ma}$: 49 70 357

$lab^*rgb^*_{Ma}$: 1.0 0.0 0.5

$lab^*olv^*_{Ma}$: 1.0 0.0 0.88

Dreiecks-Helligkeit i^*

%Umfang

$u^*_{rel} = 83$

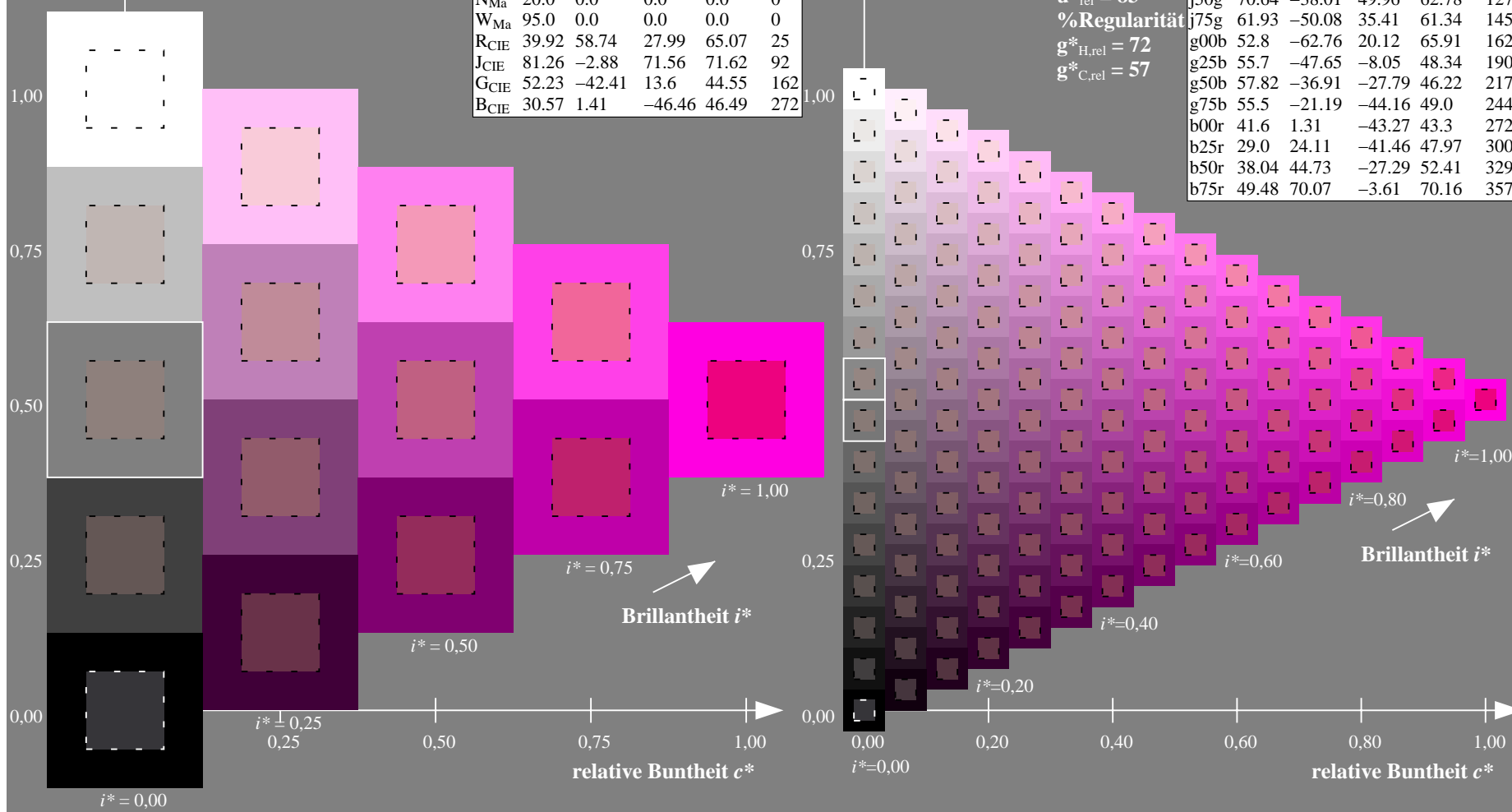
%Regularität

$g^*_{H,rel} = 72$

$g^*_{C,rel} = 57$

ORS20_95a; adaptierte CIELAB-Daten

	$L^*=L_a^*$	a_a^*	b_a^*	$C_{ab,a}^*$	$h_{ab,a}^*$
r00j	48.88	63.91	30.45	70.79	25
r25j	55.85	50.36	45.65	67.97	42
r50j	65.45	33.86	56.12	65.54	59
r75j	75.19	17.13	66.73	68.89	76
j00g	87.03	-3.21	79.64	79.7	92
j25g	80.72	-24.03	66.82	71.01	110
j50g	70.64	-38.01	49.96	62.78	127
j75g	61.93	-50.08	35.41	61.34	145
g00b	52.8	-62.76	20.12	65.91	162
g25b	55.7	-47.65	-8.05	48.34	190
g50b	57.82	-36.91	-27.79	46.22	217
g75b	55.5	-21.19	-44.16	49.0	244
b00r	41.6	1.31	-43.27	43.3	272
b25r	29.0	24.11	-41.46	47.97	300
b50r	38.04	44.73	-27.29	52.41	329
b75r	49.48	70.07	-3.61	70.16	357



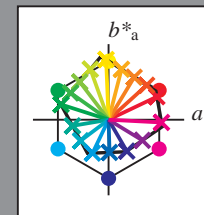
Siehe ähnliche Dateien: <http://www.ps.bam.de/Dg99/>; www.ps.bam.de/Dg99/HTM
Technische Information: <http://www.ps.bam.de> Version 2.1, io=1,1, ColSpx=1



BAM-Registrierung: 20080701-Dg99/10L/L99G00NA.PS/.TXT
Anwendung für Beurteilung und Messung von Drucker- oder Monitorsystemen
BAM-Material: Code=rh4ta

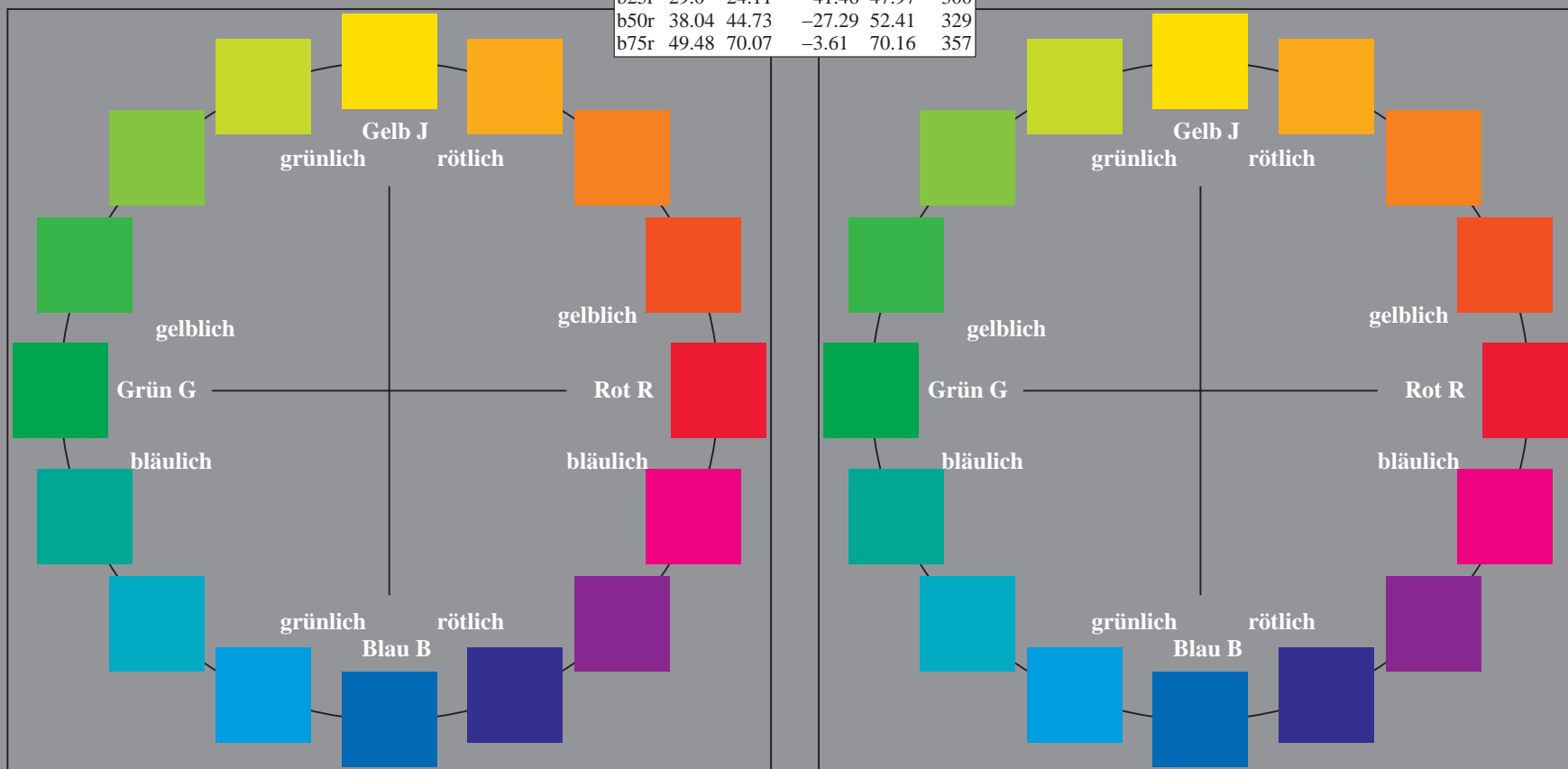
Ein und Ausgabe:
Farbmetrisches Drucker-Reflektiv-System ORS20_95a
Daten für jede Farbe:
 $lab^{*}ch^{*}$ und $lab^{*}icu^{*}$
Elementar-Bunttontext:
 $u^{*} = 16$ Bunttöne $r00j$, $r25j$, ..., $b75r$
Kontrastreduzierungsfaktor:
 $c_R = 0.96$

ORS20_95a; adaptierte CIELAB-Daten					
	$L^{*}=L^{*}_a$	a^{*}_a	b^{*}_a	$C^{*}_{ab,a}$	$h^{*}_{ab,a}$
r00j	48.88	63.91	30.45	70.79	25
r25j	55.85	50.36	45.65	67.97	42
r50j	65.45	33.86	56.12	65.54	59
r75j	75.19	17.13	66.73	68.89	76
j00g	87.03	-3.21	79.64	79.7	92
j25g	80.72	-24.03	66.82	71.01	110
j50g	70.64	-38.01	49.96	62.78	127
j75g	61.93	-50.08	35.41	61.34	145
g00b	52.8	-62.76	20.12	65.91	162
g25b	55.7	-47.65	-8.05	48.34	190
g50b	57.82	-36.91	-27.79	46.22	217
g75b	55.5	-21.19	-44.16	49.0	244
b00r	41.6	1.31	-43.27	43.3	272
b25r	29.0	24.11	-41.46	47.97	300
b50r	38.04	44.73	-27.29	52.41	329
b75r	49.48	70.07	-3.61	70.16	357



%Umfang
 $u^{*}_{rel} = 83$
%Regularität
 $g^{*}_{H,rel} = 72$
 $g^{*}_{C,rel} = 57$

ORS20_95a; adaptierte CIELAB-Daten					
	$L^{*}=L^{*}_a$	a^{*}_a	b^{*}_a	$C^{*}_{ab,a}$	$h^{*}_{ab,a}$
OMa	48.75	62.56	37.91	73.15	31
YMa	90.92	-9.88	83.88	84.46	97
LMa	52.69	-62.9	19.95	66.0	162
CMa	59.61	-27.85	-44.43	52.45	238
VMa	28.39	22.72	-42.42	48.13	298
MMa	49.58	71.08	-9.19	71.67	353
NMa	20.0	0.0	0.0	0.0	0
WMa	95.0	0.0	0.0	0.0	0
RCIE	39.92	58.74	27.99	65.07	25
JCIE	81.26	-2.88	71.56	71.62	92
GCIE	52.23	-42.41	13.6	44.55	162
BCIE	30.57	1.41	-46.46	46.49	272



Ein und Ausgabe: Farbmétrisches Drucker-Reflektiv-System ORS20_95a für relativen CIELAB-Buntton $h^* = lab^*h^* = h_{ab}/360 = 25/360 = 0.071$ $u^* = r00j$

Daten für jede Farbe:

lab^*ch^* und lab^*icu^*

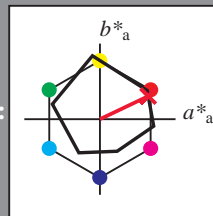
Elementar-Bunttonext:

$u^* = r00j$

Kontrastreduzierungsfaktor:

$c_R = 0.96$

Dreiecks-Helligkeit t^*



ORS20_95a; adaptierte CIELAB-Daten

	$L^*=L_a^*$	a_a^*	b_a^*	$C_{ab,a}^*$	$h_{ab,a}^*$
O _{Ma}	48.75	62.56	37.91	73.15	31
Y _{Ma}	90.92	-9.88	83.88	84.46	97
L _{Ma}	52.69	-62.9	19.95	66.0	162
C _{Ma}	59.61	-27.85	-44.43	52.45	238
V _{Ma}	28.39	22.72	-42.42	48.13	298
M _{Ma}	49.58	71.08	-9.19	71.67	353
N _{Ma}	20.0	0.0	0.0	0.0	0
W _{Ma}	95.0	0.0	0.0	0.0	0
R _{CIE}	39.92	58.74	27.99	65.07	25
J _{CIE}	81.26	-2.88	71.56	71.62	92
G _{CIE}	52.23	-42.41	13.6	44.55	162
B _{CIE}	30.57	1.41	-46.46	46.49	272

Daten für Maximalfarbe (Ma):

$LAB^*LAB^*_{Ma}$: 49 64 30

$LAB^*LCH^*_{Ma}$: 49 71 25

$lab^*rgb^*_{Ma}$: 1.0 0.0 0.0

$lab^*olv^*_{Ma}$: 1.0 0.0 0.16

Dreiecks-Helligkeit t^*

%Umfang

$u^*_{rel} = 83$

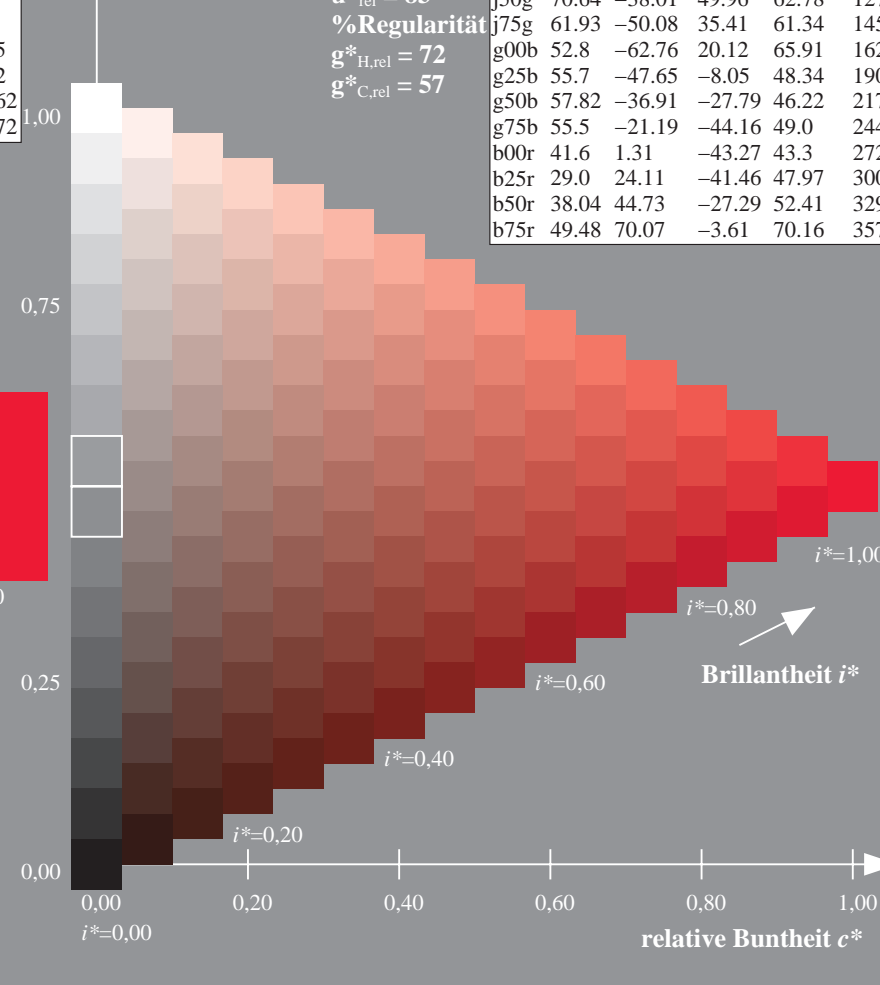
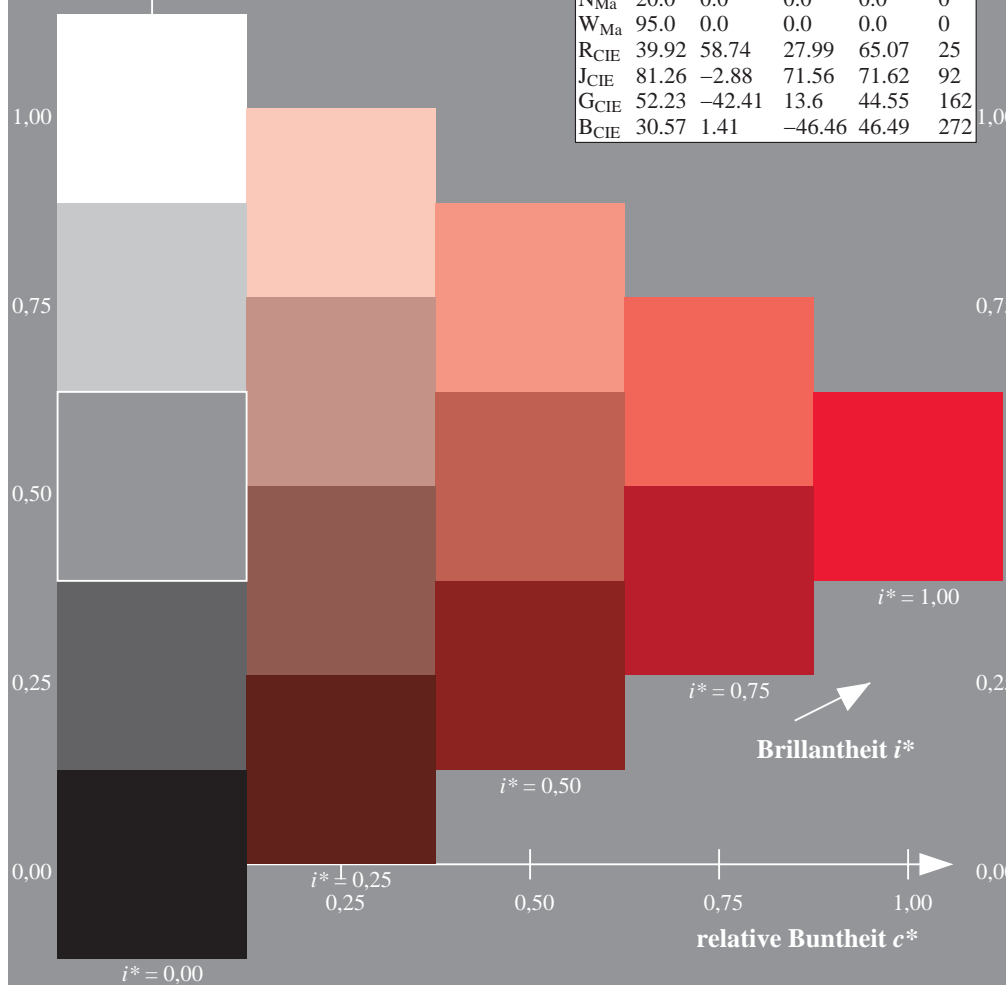
%Regularität

$g^*_{H,rel} = 72$

$g^*_{C,rel} = 57$

ORS20_95a; adaptierte CIELAB-Daten

	$L^*=L_a^*$	a_a^*	b_a^*	$C_{ab,a}^*$	$h_{ab,a}^*$
r00j	48.88	63.91	30.45	70.79	25
r25j	55.85	50.36	45.65	67.97	42
r50j	65.45	33.86	56.12	65.54	59
r75j	75.19	17.13	66.73	68.89	76
j00g	87.03	-3.21	79.64	79.7	92
j25g	80.72	-24.03	66.82	71.01	110
j50g	70.64	-38.01	49.96	62.78	127
j75g	61.93	-50.08	35.41	61.34	145
g00b	52.8	-62.76	20.12	65.91	162
g25b	55.7	-47.65	-8.05	48.34	190
g50b	57.82	-36.91	-27.79	46.22	217
g75b	55.5	-21.19	-44.16	49.0	244
b00r	41.6	1.31	-43.27	43.3	272
b25r	29.0	24.11	-41.46	47.97	300
b50r	38.04	44.73	-27.29	52.41	329
b75r	49.48	70.07	-3.61	70.16	357



Ein und Ausgabe: Farbmetrisches Drucker-Reflektiv-System ORS20_95a für relativen CIELAB-Buntton $h^* = lab^*h^* = h_{ab}/360 = 42/360 = 0.117$ $u^* = r25j$

Daten für jede Farbe:

lab^*ch^* und lab^*icu^*

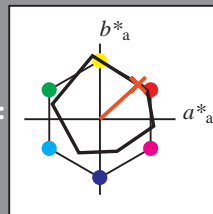
Elementar-Bunttontext:

$u^* = r25j$

Kontrastreduzierungsfaktor:

$c_R = 0.96$

Dreiecks-Helligkeit t^*



ORS20_95a; adaptierte CIELAB-Daten

	$L^*=L_a^*$	a_a^*	b_a^*	$C_{ab,a}^*$	$h_{ab,a}^*$
O _{Ma}	48.75	62.56	37.91	73.15	31
Y _{Ma}	90.92	-9.88	83.88	84.46	97
L _{Ma}	52.69	-62.9	19.95	66.0	162
C _{Ma}	59.61	-27.85	-44.43	52.45	238
V _{Ma}	28.39	22.72	-42.42	48.13	298
M _{Ma}	49.58	71.08	-9.19	71.67	353
N _{Ma}	20.0	0.0	0.0	0.0	0
W _{Ma}	95.0	0.0	0.0	0.0	0
R _{CIE}	39.92	58.74	27.99	65.07	25
J _{CIE}	81.26	-2.88	71.56	71.62	92
G _{CIE}	52.23	-42.41	13.6	44.55	162
B _{CIE}	30.57	1.41	-46.46	46.49	272

Daten für Maximalfarbe (Ma):

$LAB^*LAB^*_{Ma}$: 56 50 46

$LAB^*LCH^*_{Ma}$: 56 68 42

$lab^*rgb^*_{Ma}$: 1.0 0.25 0.0

$lab^*olv^*_{Ma}$: 1.0 0.17 0.0

Dreiecks-Helligkeit t^*

%Umfang

$u^*_{rel} = 83$

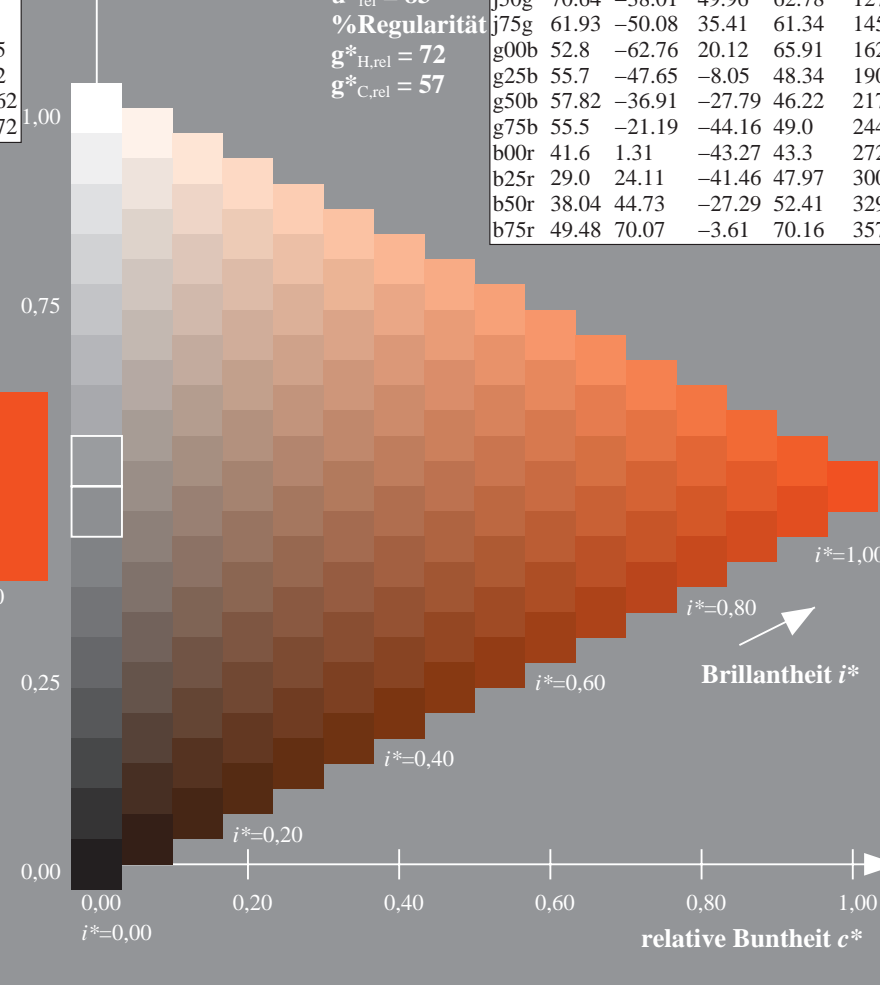
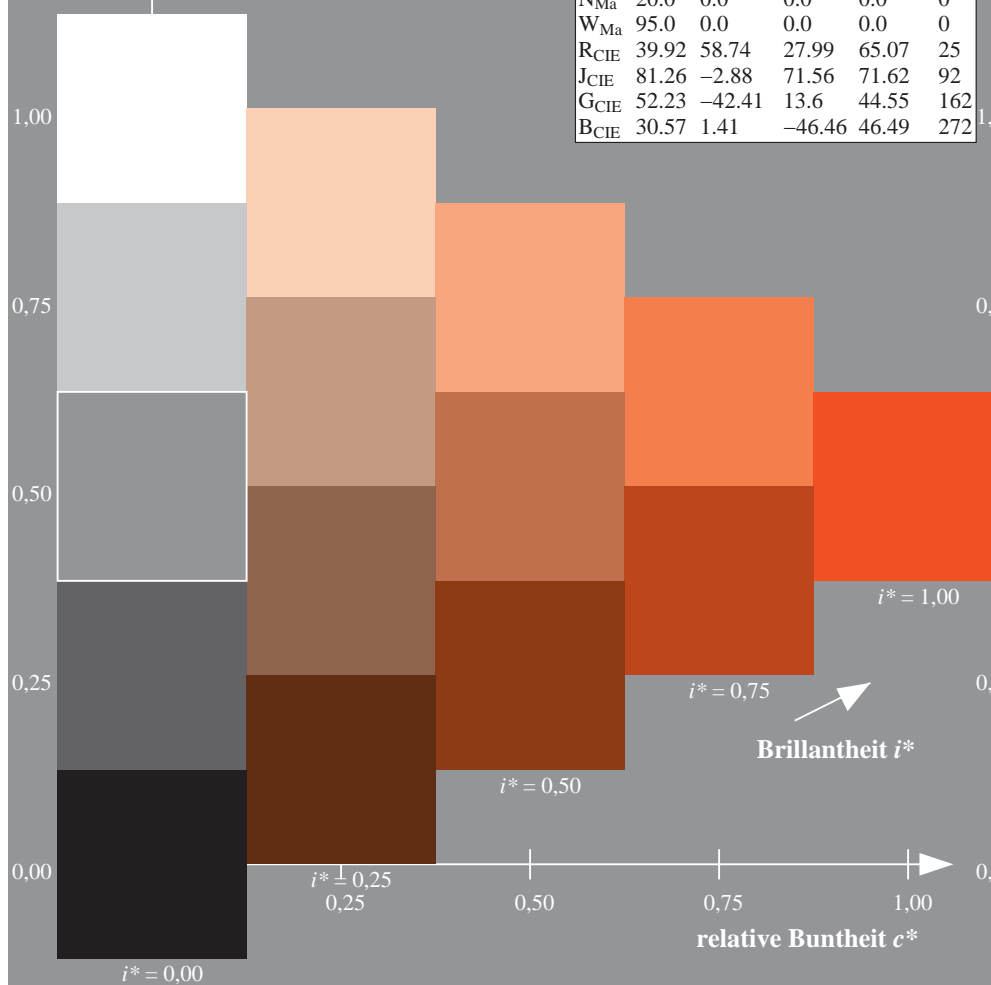
%Regularität

$g^*_{H,rel} = 72$

$g^*_{C,rel} = 57$

ORS20_95a; adaptierte CIELAB-Daten

	$L^*=L_a^*$	a_a^*	b_a^*	$C_{ab,a}^*$	$h_{ab,a}^*$
r00j	48.88	63.91	30.45	70.79	25
r25j	55.85	50.36	45.65	67.97	42
r50j	65.45	33.86	56.12	65.54	59
r75j	75.19	17.13	66.73	68.89	76
j00g	87.03	-3.21	79.64	79.7	92
j25g	80.72	-24.03	66.82	71.01	110
j50g	70.64	-38.01	49.96	62.78	127
j75g	61.93	-50.08	35.41	61.34	145
g00b	52.8	-62.76	20.12	65.91	162
g25b	55.7	-47.65	-8.05	48.34	190
g50b	57.82	-36.91	-27.79	46.22	217
g75b	55.5	-21.19	-44.16	49.0	244
b00r	41.6	1.31	-43.27	43.3	272
b25r	29.0	24.11	-41.46	47.97	300
b50r	38.04	44.73	-27.29	52.41	329
b75r	49.48	70.07	-3.61	70.16	357



Ein und Ausgabe: Farbmetrisches Drucker-Reflektiv-System ORS20_95a für relativen CIELAB-Buntton $h^* = lab^*h^* = h_{ab}/360 = 59/360 = 0.164$ $u^* = r50j$

Daten für jede Farbe:

lab^*ch^* und lab^*icu^*

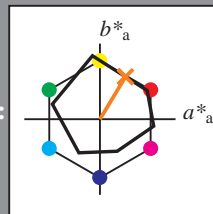
Elementar-Bunttontext:

$u^* = r50j$

Kontrastreduzierungsfaktor:

$c_R = 0.96$

Dreiecks-Helligkeit i^*



ORS20_95a; adaptierte CIELAB-Daten

	$L^*=L_a^*$	a_a^*	b_a^*	$C_{ab,a}^*$	$h_{ab,a}^*$
O _{Ma}	48.75	62.56	37.91	73.15	31
Y _{Ma}	90.92	-9.88	83.88	84.46	97
L _{Ma}	52.69	-62.9	19.95	66.0	162
C _{Ma}	59.61	-27.85	-44.43	52.45	238
V _{Ma}	28.39	22.72	-42.42	48.13	298
M _{Ma}	49.58	71.08	-9.19	71.67	353
N _{Ma}	20.0	0.0	0.0	0.0	0
W _{Ma}	95.0	0.0	0.0	0.0	0
R _{CIE}	39.92	58.74	27.99	65.07	25
J _{CIE}	81.26	-2.88	71.56	71.62	92
G _{CIE}	52.23	-42.41	13.6	44.55	162
B _{CIE}	30.57	1.41	-46.46	46.49	272

Daten für Maximalfarbe (Ma):

$LAB^*LAB^*_{Ma}$: 65 34 56

$LAB^*LCH^*_{Ma}$: 65 66 59

$lab^*rgb^*_{Ma}$: 1.0 0.5 0.0

$lab^*olv^*_{Ma}$: 1.0 0.4 0.0

Dreiecks-Helligkeit i^*

%Umfang

$u^*_{rel} = 83$

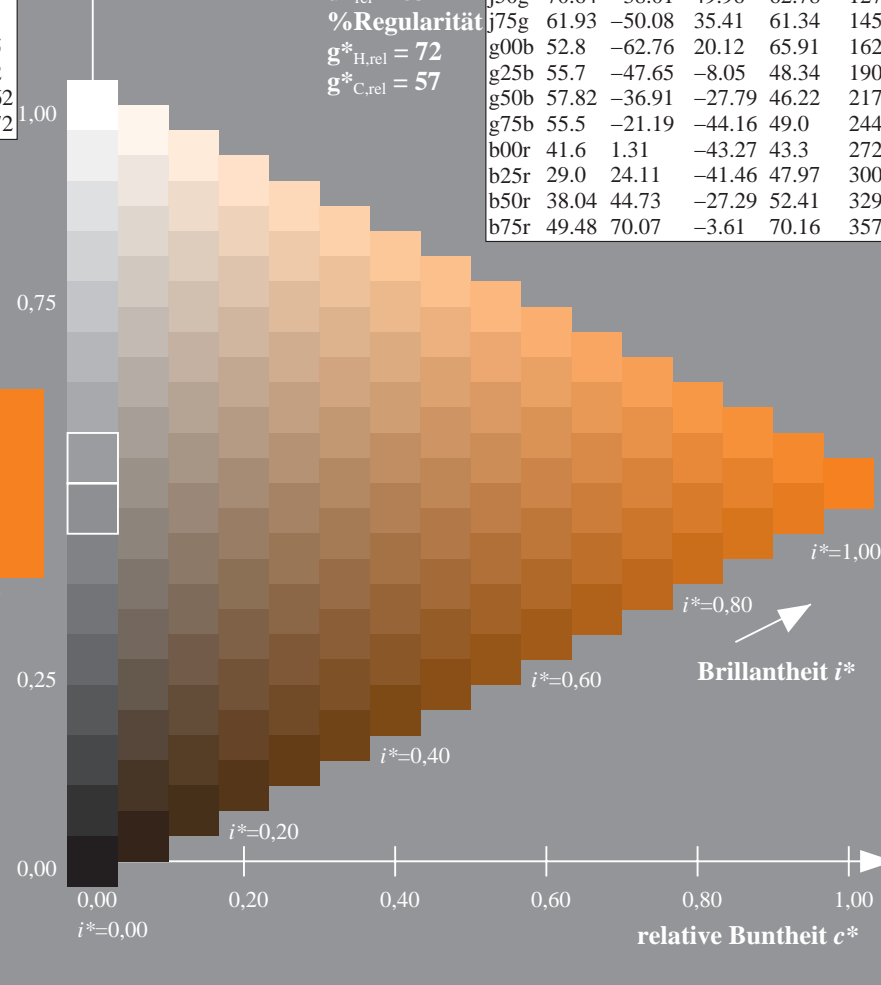
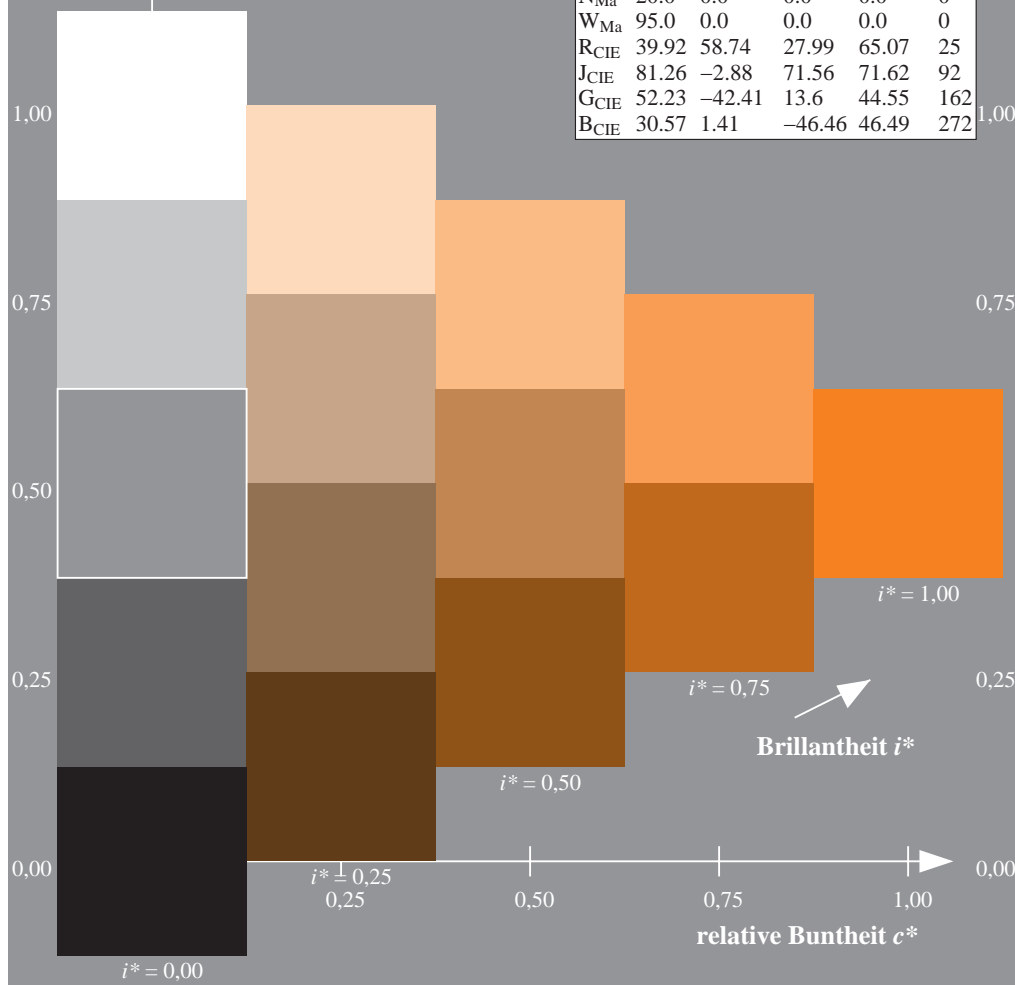
%Regularität

$g^*_{H,rel} = 72$

$g^*_{C,rel} = 57$

ORS20_95a; adaptierte CIELAB-Daten

	$L^*=L_a^*$	a_a^*	b_a^*	$C_{ab,a}^*$	$h_{ab,a}^*$
r00j	48.88	63.91	30.45	70.79	25
r25j	55.85	50.36	45.65	67.97	42
r50j	65.45	33.86	56.12	65.54	59
r75j	75.19	17.13	66.73	68.89	76
j00g	87.03	-3.21	79.64	79.7	92
j25g	80.72	-24.03	66.82	71.01	110
j50g	70.64	-38.01	49.96	62.78	127
j75g	61.93	-50.08	35.41	61.34	145
g00b	52.8	-62.76	20.12	65.91	162
g25b	55.7	-47.65	-8.05	48.34	190
g50b	57.82	-36.91	-27.79	46.22	217
g75b	55.5	-21.19	-44.16	49.0	244
b00r	41.6	1.31	-43.27	43.3	272
b25r	29.0	24.11	-41.46	47.97	300
b50r	38.04	44.73	-27.29	52.41	329
b75r	49.48	70.07	-3.61	70.16	357



Ein und Ausgabe: Farbmetrisches Drucker-Reflektiv-System ORS20_95a für relativen CIELAB-Buntton $h^* = lab^*h^* = h_{ab}/360 = 76/360 = 0.21$ $u^* = r75j$

Daten für jede Farbe:

lab^*ch^* und lab^*icu^*

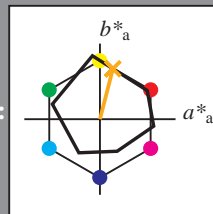
Elementar-Bunttontext:

$u^* = r75j$

Kontrastreduzierungsfaktor:

$c_R = 0.96$

Dreiecks-Helligkeit i^*



ORS20_95a; adaptierte CIELAB-Daten

	$L^*=L^*_a$	a^*_a	b^*_a	$C^*_{ab,a}$	$h^*_{ab,a}$
O _{Ma}	48.75	62.56	37.91	73.15	31
Y _{Ma}	90.92	-9.88	83.88	84.46	97
L _{Ma}	52.69	-62.9	19.95	66.0	162
C _{Ma}	59.61	-27.85	-44.43	52.45	238
V _{Ma}	28.39	22.72	-42.42	48.13	298
M _{Ma}	49.58	71.08	-9.19	71.67	353
N _{Ma}	20.0	0.0	0.0	0.0	0
W _{Ma}	95.0	0.0	0.0	0.0	0
R _{CIE}	39.92	58.74	27.99	65.07	25
J _{CIE}	81.26	-2.88	71.56	71.62	92
G _{CIE}	52.23	-42.41	13.6	44.55	162
B _{CIE}	30.57	1.41	-46.46	46.49	272

Daten für Maximalfarbe (Ma):

$LAB^*LAB^*_{Ma}$: 75 17 67

$LAB^*LCH^*_{Ma}$: 75 69 76

$lab^*rgb^*_{Ma}$: 1.0 0.75 0.0

$lab^*olv^*_{Ma}$: 1.0 0.63 0.0

Dreiecks-Helligkeit i^*

%Umfang

$u^*_{rel} = 83$

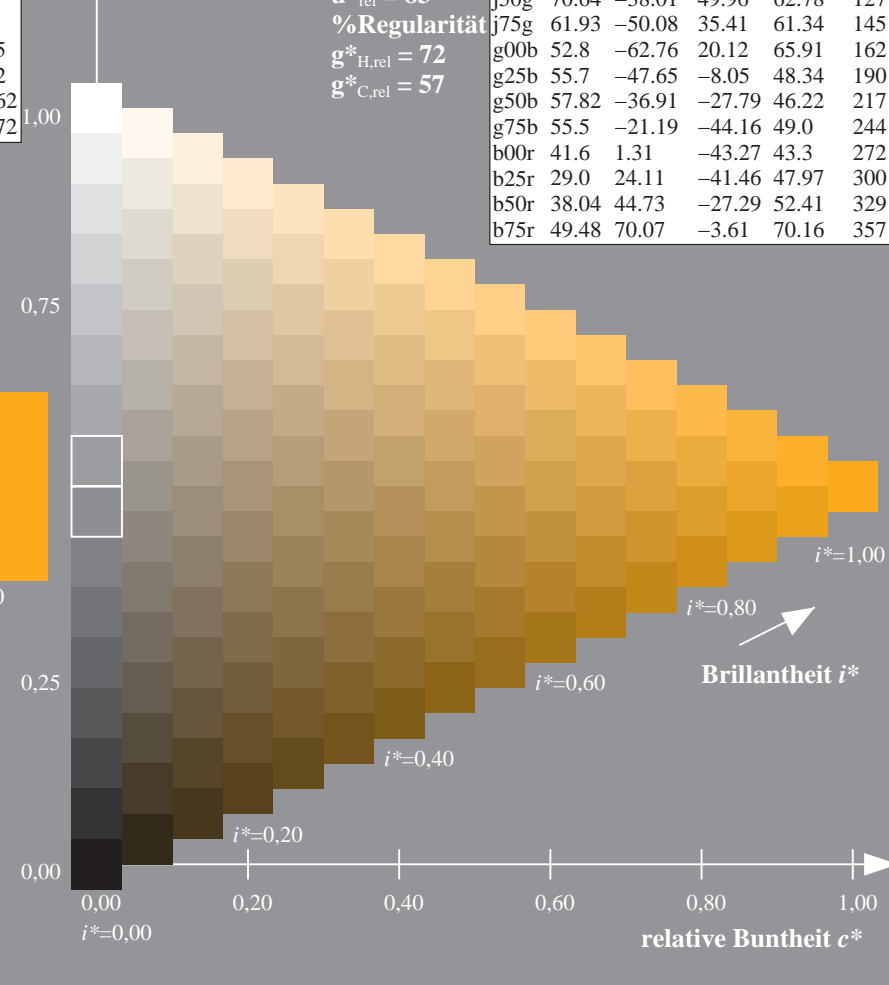
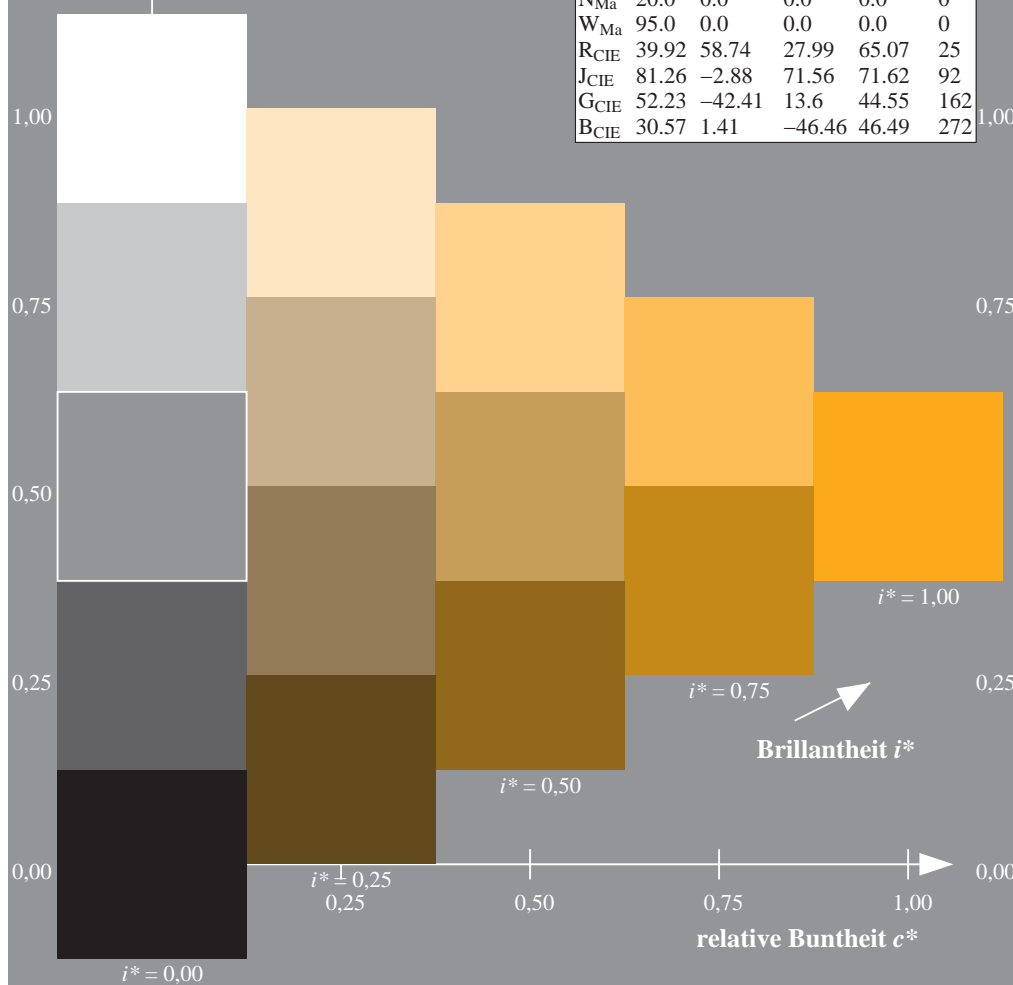
%Regularität

$g^*_{H,rel} = 72$

$g^*_{C,rel} = 57$

ORS20_95a; adaptierte CIELAB-Daten

	$L^*=L^*_a$	a^*_a	b^*_a	$C^*_{ab,a}$	$h^*_{ab,a}$
r00j	48.88	63.91	30.45	70.79	25
r25j	55.85	50.36	45.65	67.97	42
r50j	65.45	33.86	56.12	65.54	59
r75j	75.19	17.13	66.73	68.89	76
j00g	87.03	-3.21	79.64	79.7	92
j25g	80.72	-24.03	66.82	71.01	110
j50g	70.64	-38.01	49.96	62.78	127
j75g	61.93	-50.08	35.41	61.34	145
g00b	52.8	-62.76	20.12	65.91	162
g25b	55.7	-47.65	-8.05	48.34	190
g50b	57.82	-36.91	-27.79	46.22	217
g75b	55.5	-21.19	-44.16	49.0	244
b00r	41.6	1.31	-43.27	43.3	272
b25r	29.0	24.11	-41.46	47.97	300
b50r	38.04	44.73	-27.29	52.41	329
b75r	49.48	70.07	-3.61	70.16	357



Ein und Ausgabe: Farbmetrisches Drucker-Reflektiv-System ORS20_95a für relativen CIELAB-Buntton $h^* = lab^*h^* = h_{ab}/360 = 92/360 = 0.256$ $u^* = j00g$

Daten für jede Farbe:

lab^*ch^* und lab^*icu^*

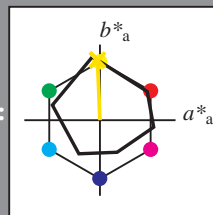
Elementar-Bunttontext:

$u^* = j00g$

Kontrastreduzierungsfaktor:

$c_R = 0.96$

Dreiecks-Helligkeit i^*



ORS20_95a; adaptierte CIELAB-Daten

	$L^*=L^*_a$	a^*_a	b^*_a	$C^*_{ab,a}$	$h^*_{ab,a}$
O _{Ma}	48.75	62.56	37.91	73.15	31
Y _{Ma}	90.92	-9.88	83.88	84.46	97
L _{Ma}	52.69	-62.9	19.95	66.0	162
C _{Ma}	59.61	-27.85	-44.43	52.45	238
V _{Ma}	28.39	22.72	-42.42	48.13	298
M _{Ma}	49.58	71.08	-9.19	71.67	353
N _{Ma}	20.0	0.0	0.0	0.0	0
W _{Ma}	95.0	0.0	0.0	0.0	0
R _{CIE}	39.92	58.74	27.99	65.07	25
J _{CIE}	81.26	-2.88	71.56	71.62	92
G _{CIE}	52.23	-42.41	13.6	44.55	162
B _{CIE}	30.57	1.41	-46.46	46.49	272

Daten für Maximalfarbe (Ma):

$LAB^*LAB^*_{Ma}$: 87 -2 80

$LAB^*LCH^*_{Ma}$: 87 80 92

$lab^*rgb^*_{Ma}$: 1.0 1.0 0.0

$lab^*olv^*_{Ma}$: 1.0 0.91 0.0

Dreiecks-Helligkeit i^*

%Umfang

$u^*_{rel} = 83$

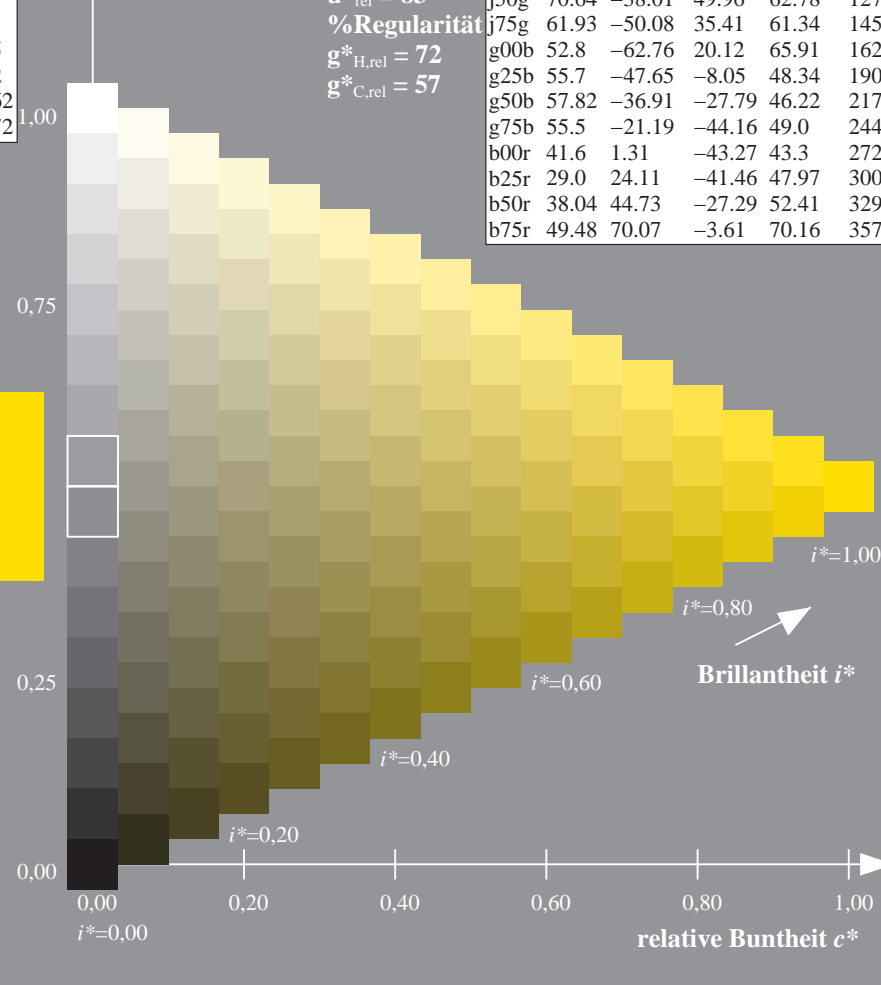
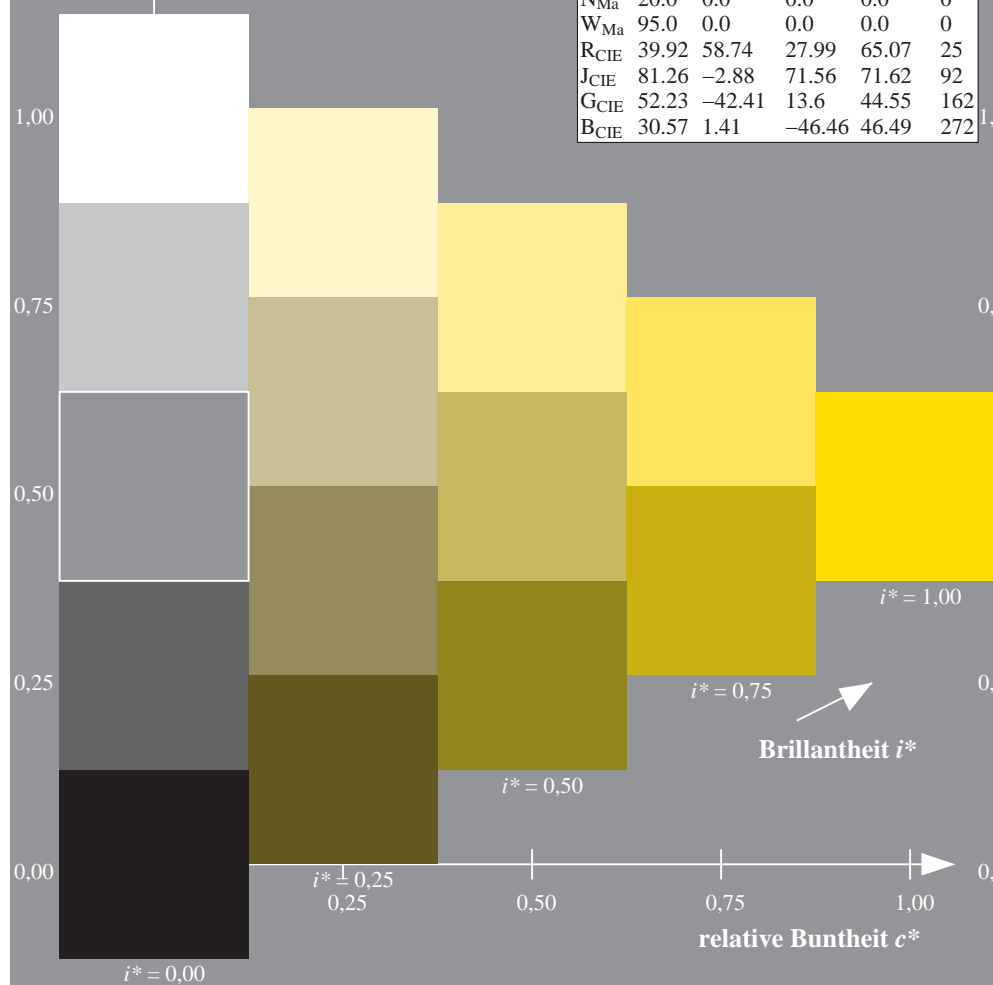
%Regularität

$g^*_{H,rel} = 72$

$g^*_{C,rel} = 57$

ORS20_95a; adaptierte CIELAB-Daten

	$L^*=L^*_a$	a^*_a	b^*_a	$C^*_{ab,a}$	$h^*_{ab,a}$
r00j	48.88	63.91	30.45	70.79	25
r25j	55.85	50.36	45.65	67.97	42
r50j	65.45	33.86	56.12	65.54	59
r75j	75.19	17.13	66.73	68.89	76
j00g	87.03	-3.21	79.64	79.7	92
j25g	80.72	-24.03	66.82	71.01	110
j50g	70.64	-38.01	49.96	62.78	127
j75g	61.93	-50.08	35.41	61.34	145
g00b	52.8	-62.76	20.12	65.91	162
g25b	55.7	-47.65	-8.05	48.34	190
g50b	57.82	-36.91	-27.79	46.22	217
g75b	55.5	-21.19	-44.16	49.0	244
b00r	41.6	1.31	-43.27	43.3	272
b25r	29.0	24.11	-41.46	47.97	300
b50r	38.04	44.73	-27.29	52.41	329
b75r	49.48	70.07	-3.61	70.16	357



Daten für jede Farbe:

*lab*tch** und *lab*icu**

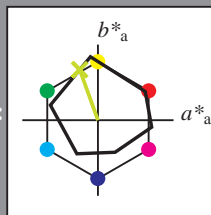
Elementar-Bunttontext:

$$u^* = j25g$$

Kontrastreduzierungsfaktor:

$$c_R = 0.96$$

Dreiecks-Helligkeit t^*



ORS20 95a; adaptierte CIELAB-Daten					
	L^*_{a*}	a^*_{a*}	b^*_{a*}	$C^*_{ab,a}$	$h^*_{ab,a}$
O _{Ma}	48.75	62.56	37.91	73.15	31
Y _{Ma}	90.92	-9.88	83.88	84.6	97
L _{Ma}	52.69	-62.9	19.95	66.0	162
C _{Ma}	59.61	-27.85	-44.43	52.45	238
V _{Ma}	28.39	22.72	-42.42	48.13	298
M _{Ma}	49.58	71.08	-9.19	71.67	353
N _{Ma}	20.0	0.0	0.0	0.0	0
W _{Ma}	95.0	0.0	0.0	0.0	0
R _{CIE}	39.92	58.74	27.99	65.07	25
J _{CIE}	81.26	-2.88	71.56	71.62	92
G _{CIE}	52.23	-42.41	13.6	44.55	162
B _{CIE}	30.57	1.41	-46.46	46.49	272

Daten für Maximalfarbe (Ma):

$LAB^*LAB^*_{Ma}: 81 \quad -23 \quad 67$

*LAB*LCH**Ma: 81 71 110

lab*rgb*Ma: 0.75 1.0 0.0

*lab*olv*_Ma: 0.73 1.0 0.0*

Dreiecks-Helligkeit 4*

Dreiecks-Helligkeit t^*

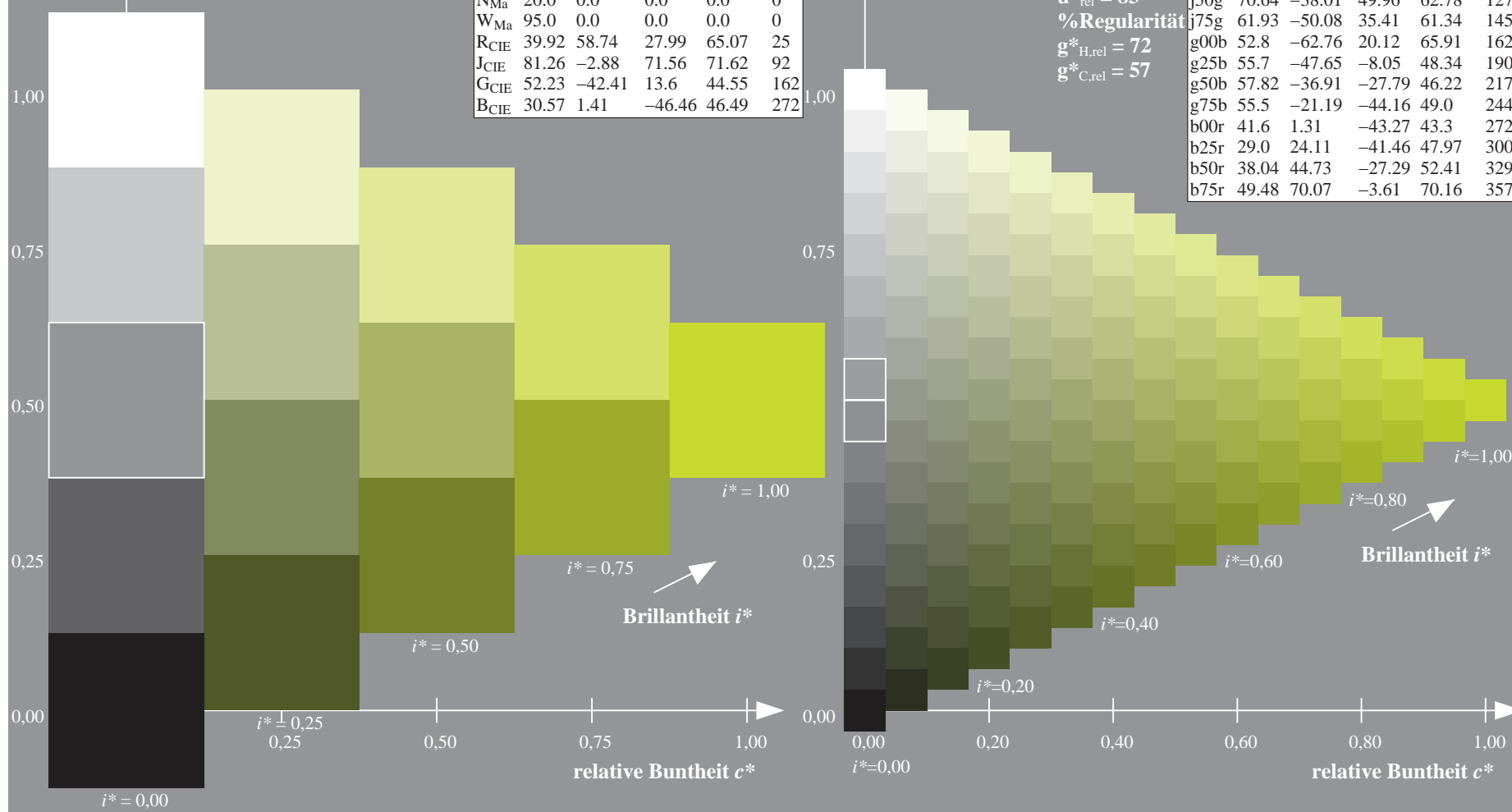
Drinking Water:

ORS20_95a; adaptierte CIELAB-Daten						
	L^*_a	a^*_a	b^*_a	$C^*_{ab,a}$	$h^*_{ab,a}$	
r00j	48.88	63.91	30.45	70.79	25	
r25j	55.85	50.36	45.65	67.97	42	
r50j	65.45	33.86	56.12	65.54	59	
r75j	75.19	17.13	66.73	68.89	76	
j00g	87.03	-3.21	79.64	79.7	92	
j25g	80.72	-24.03	66.82	71.01	110	
j50g	70.64	-38.01	49.96	62.78	127	
j75g	61.93	-50.08	35.41	61.34	145	
g00b	52.8	-62.76	20.12	65.91	162	
g25b	55.7	-47.65	-8.05	48.34	190	
g50b	57.82	-36.91	-27.79	46.22	217	
g75b	55.5	-21.19	-44.16	49.0	244	
b00r	41.6	1.31	-43.27	43.3	272	
b25r	29.0	24.11	-41.46	47.97	300	
b50r	38.04	44.73	-27.29	52.41	329	
b75r	49.48	70.07	-3.61	70.16	357	

%Umfang

$$u_{\text{rel}}^* = 83$$

%Regular

$$g^*_{H,rel} = 72$$
$$g^*_{C,rel} = 57$$


BAM-Prüfvorlage Dg99; Farbmatrik-Systeme, Seite 25/180
Farbreihen, 8 Datentabellen für 16 Bunntöne *r00j* bis *b75r*

Eingabe: 000n / w / nnn0 / www set...
Ausgabe: ->cmyn5* setcmykcolor

BAM-Registrierung: 20080701-Dg99/10L/L99G00NA.PS/.TXTBAM-Material: Code=rha4ta

Ein und Ausgabe: Farbmetrisches Drucker-Reflektiv-System ORS20_95a für relativen CIELAB-Buntton $h^* = lab^*h^* = h_{ab}/360 = 127/360 = 0.354$ $u^* = j50g$

Daten für jede Farbe:

lab^*ch^* und lab^*icu^*

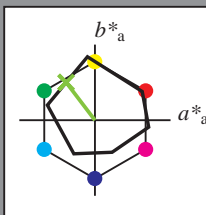
Elementar-Bunttontext:

$u^* = j50g$

Kontrastreduzierungsfaktor:

$c_R = 0.96$

Dreiecks-Helligkeit i^*



ORS20_95a; adaptierte CIELAB-Daten					
	$L^*=L^*_a$	a^*_a	b^*_a	$C^*_{ab,a}$	$h^*_{ab,a}$
O _{Ma}	48.75	62.56	37.91	73.15	31
Y _{Ma}	90.92	-9.88	83.88	84.46	97
L _{Ma}	52.69	-62.9	19.95	66.0	162
C _{Ma}	59.61	-27.85	-44.43	52.45	238
V _{Ma}	28.39	22.72	-42.42	48.13	298
M _{Ma}	49.58	71.08	-9.19	71.67	353
N _{Ma}	20.0	0.0	0.0	0.0	0
W _{Ma}	95.0	0.0	0.0	0.0	0
R _{CIE}	39.92	58.74	27.99	65.07	25
J _{CIE}	81.26	-2.88	71.56	71.62	92
G _{CIE}	52.23	-42.41	13.6	44.55	162
B _{CIE}	30.57	1.41	-46.46	46.49	272

Daten für Maximalfarbe (Ma):

$LAB^*LAB^*_{Ma}$: 71 -37 50

$LAB^*LCH^*_{Ma}$: 71 63 127

$lab^*rgb^*_{Ma}$: 0.5 1.0 0.0

$lab^*olv^*_{Ma}$: 0.47 1.0 0.0

Dreiecks-Helligkeit i^*

%Umfang

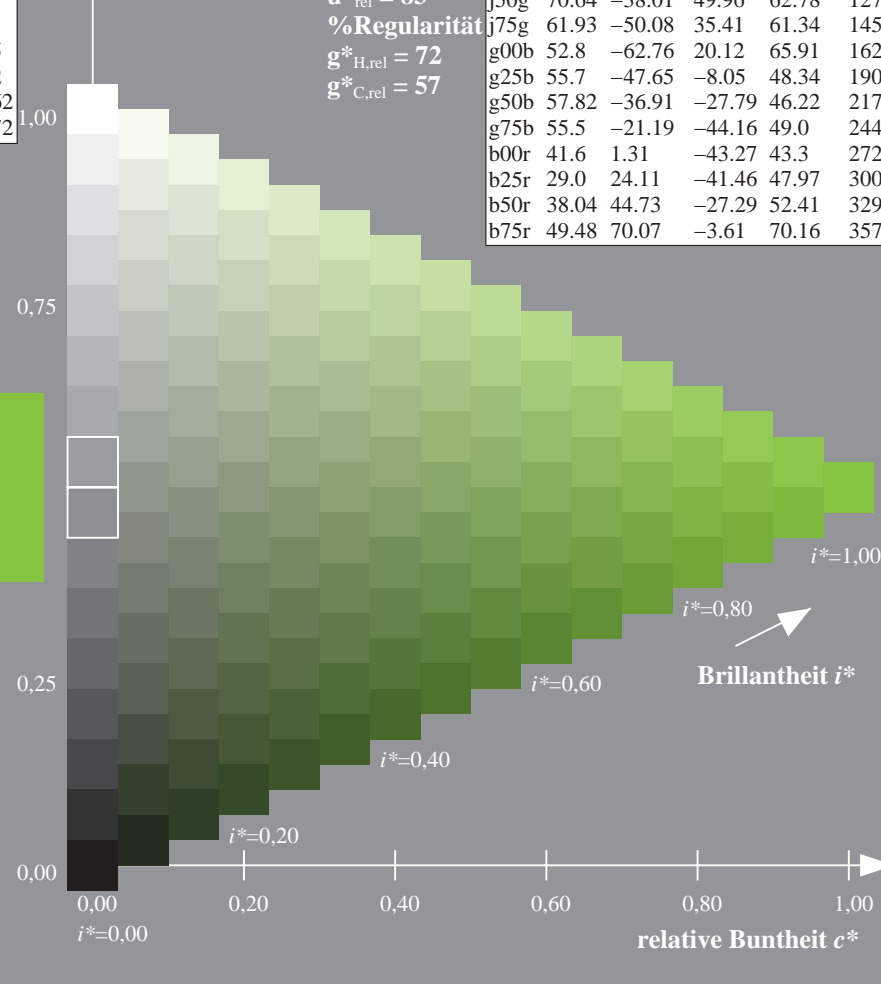
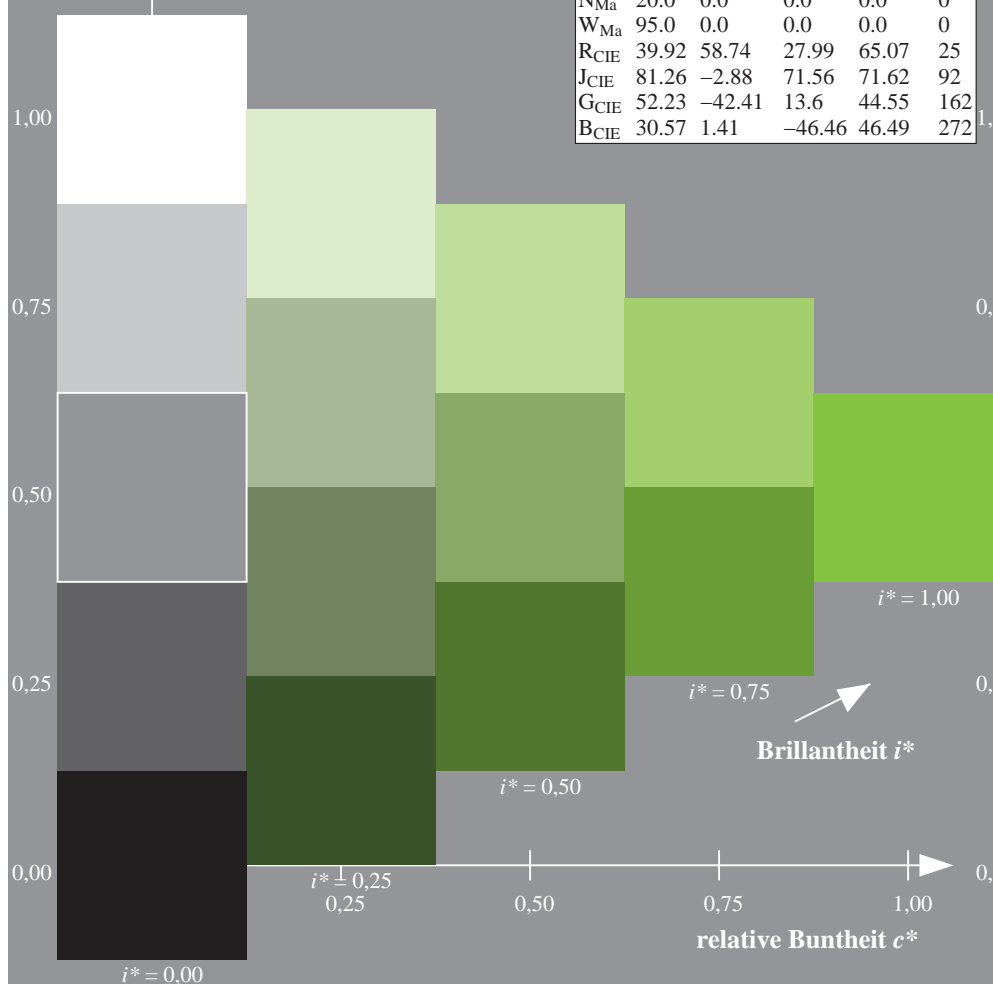
$u^*_{rel} = 83$

%Regularität

$g^*_{H,rel} = 72$

$g^*_{C,rel} = 57$

ORS20_95a; adaptierte CIELAB-Daten					
	$L^*=L^*_a$	a^*_a	b^*_a	$C^*_{ab,a}$	$h^*_{ab,a}$
r00j	48.88	63.91	30.45	70.79	25
r25j	55.85	50.36	45.65	67.97	42
r50j	65.45	33.86	56.12	65.54	59
r75j	75.19	17.13	66.73	68.89	76
j00g	87.03	-3.21	79.64	79.7	92
j25g	80.72	-24.03	66.82	71.01	110
j50g	70.64	-38.01	49.96	62.78	127
j75g	61.93	-50.08	35.41	61.34	145
g00b	52.8	-62.76	20.12	65.91	162
g25b	55.7	-47.65	-8.05	48.34	190
g50b	57.82	-36.91	-27.79	46.22	217
g75b	55.5	-21.19	-44.16	49.0	244
b00r	41.6	1.31	-43.27	43.3	272
b25r	29.0	24.11	-41.46	47.97	300
b50r	38.04	44.73	-27.29	52.41	329
b75r	49.48	70.07	-3.61	70.16	357



Ein und Ausgabe: Farbmetrisches Drucker-Reflektiv-System ORS20_95a für relativen CIELAB-Buntton $h^* = lab^*h^* = h_{ab}/360 = 145/360 = 0.402$ $u^* = j75g$

Daten für jede Farbe:

lab^*ch^* und lab^*icu^*

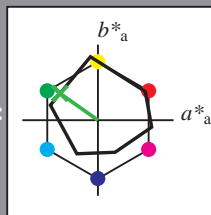
Elementar-Bunttontext:

$u^* = j75g$

Kontrastreduzierungsfaktor:

$c_R = 0.96$

Dreiecks-Helligkeit t^*



ORS20_95a; adaptierte CIELAB-Daten

	$L^*=L^*_a$	a^*_a	b^*_a	$C^*_{ab,a}$	$h^*_{ab,a}$
O _{Ma}	48.75	62.56	37.91	73.15	31
Y _{Ma}	90.92	-9.88	83.88	84.46	97
L _{Ma}	52.69	-62.9	19.95	66.0	162
C _{Ma}	59.61	-27.85	-44.43	52.45	238
V _{Ma}	28.39	22.72	-42.42	48.13	298
M _{Ma}	49.58	71.08	-9.19	71.67	353
N _{Ma}	20.0	0.0	0.0	0.0	0
W _{Ma}	95.0	0.0	0.0	0.0	0
R _{CIE}	39.92	58.74	27.99	65.07	25
J _{CIE}	81.26	-2.88	71.56	71.62	92
G _{CIE}	52.23	-42.41	13.6	44.55	162
B _{CIE}	30.57	1.41	-46.46	46.49	272

Daten für Maximalfarbe (Ma):

$LAB^*LAB^*_{Ma}$: 62 -49 35

$LAB^*LCH^*_{Ma}$: 62 61 145

$lab^*rgb^*_{Ma}$: 0.25 1.0 0.0

$lab^*olv^*_{Ma}$: 0.24 1.0 0.0

Dreiecks-Helligkeit t^*

%Umfang

$u^*_{rel} = 83$

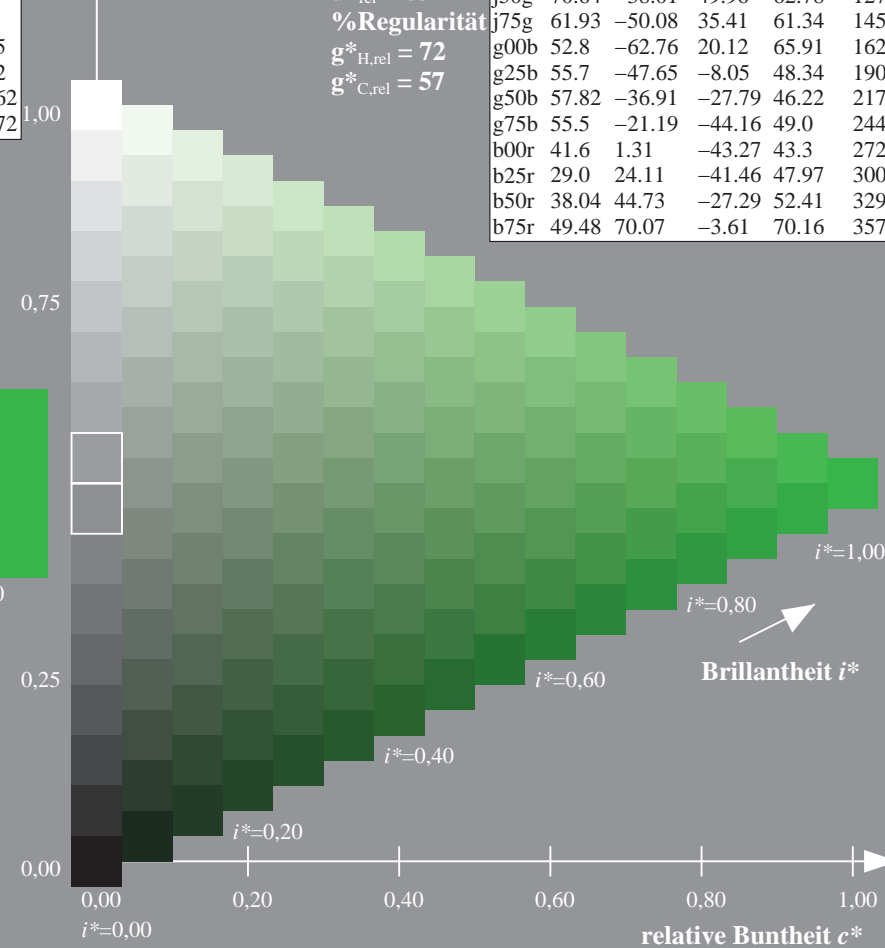
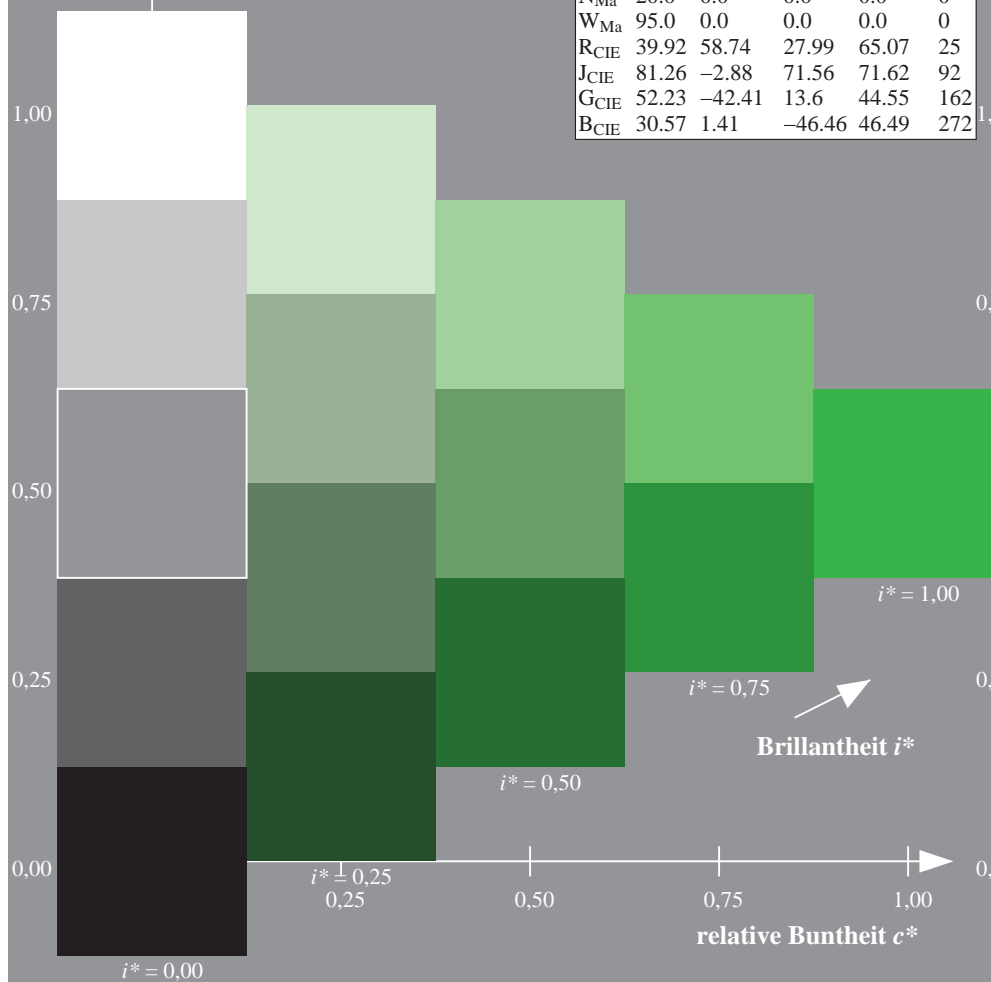
%Regularität

$g^*_{H,rel} = 72$

$g^*_{C,rel} = 57$

ORS20_95a; adaptierte CIELAB-Daten

	$L^*=L^*_a$	a^*_a	b^*_a	$C^*_{ab,a}$	$h^*_{ab,a}$
r00j	48.88	63.91	30.45	70.79	25
r25j	55.85	50.36	45.65	67.97	42
r50j	65.45	33.86	56.12	65.54	59
r75j	75.19	17.13	66.73	68.89	76
j00g	87.03	-3.21	79.64	79.7	92
j25g	80.72	-24.03	66.82	71.01	110
j50g	70.64	-38.01	49.96	62.78	127
j75g	61.93	-50.08	35.41	61.34	145
g00b	52.8	-62.76	20.12	65.91	162
g25b	55.7	-47.65	-8.05	48.34	190
g50b	57.82	-36.91	-27.79	46.22	217
g75b	55.5	-21.19	-44.16	49.0	244
b00r	41.6	1.31	-43.27	43.3	272
b25r	29.0	24.11	-41.46	47.97	300
b50r	38.04	44.73	-27.29	52.41	329
b75r	49.48	70.07	-3.61	70.16	357



Ein und Ausgabe: Farbmetrisches Drucker-Reflektiv-System ORS20_95a für relativen CIELAB-Buntton $h^* = lab^*h^* = h_{ab}/360 = 162/360 = 0.451$ $u^* = g00b$

Daten für jede Farbe:

lab^*ch^* und lab^*icu^*

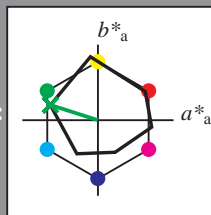
Elementar-Bunttontext:

$u^* = g00b$

Kontrastreduzierungsfaktor:

$c_R = 0.96$

Dreiecks-Helligkeit t^*



ORS20_95a; adaptierte CIELAB-Daten

	$L^*=L^*_a$	a^*_a	b^*_a	$C^*_{ab,a}$	$h^*_{ab,a}$
O _{Ma}	48.75	62.56	37.91	73.15	31
Y _{Ma}	90.92	-9.88	83.88	84.46	97
L _{Ma}	52.69	-62.9	19.95	66.0	162
C _{Ma}	59.61	-27.85	-44.43	52.45	238
V _{Ma}	28.39	22.72	-42.42	48.13	298
M _{Ma}	49.58	71.08	-9.19	71.67	353
N _{Ma}	20.0	0.0	0.0	0.0	0
W _{Ma}	95.0	0.0	0.0	0.0	0
R _{CIE}	39.92	58.74	27.99	65.07	25
J _{CIE}	81.26	-2.88	71.56	71.62	92
G _{CIE}	52.23	-42.41	13.6	44.55	162
B _{CIE}	30.57	1.41	-46.46	46.49	272

Daten für Maximalfarbe (Ma):

$LAB^*LAB^*_{Ma}$: 53 -62 20

$LAB^*LCH^*_{Ma}$: 53 66 162

$lab^*rgb^*_{Ma}$: 0.0 1.0 0.0

$lab^*olv^*_{Ma}$: 0.0 1.0 0.0

Dreiecks-Helligkeit t^*

ORS20_95a; adaptierte CIELAB-Daten

	$L^*=L^*_a$	a^*_a	b^*_a	$C^*_{ab,a}$	$h^*_{ab,a}$
r00j	48.88	63.91	30.45	70.79	25
r25j	55.85	50.36	45.65	67.97	42
r50j	65.45	33.86	56.12	65.54	59
r75j	75.19	17.13	66.73	68.89	76
j00g	87.03	-3.21	79.64	79.7	92
j25g	80.72	-24.03	66.82	71.01	110
j50g	70.64	-38.01	49.96	62.78	127
j75g	61.93	-50.08	35.41	61.34	145
g00b	52.8	-62.76	20.12	65.91	162
g25b	55.7	-47.65	-8.05	48.34	190
g50b	57.82	-36.91	-27.79	46.22	217
g75b	55.5	-21.19	-44.16	49.0	244
b00r	41.6	1.31	-43.27	43.3	272
b25r	29.0	24.11	-41.46	47.97	300
b50r	38.04	44.73	-27.29	52.41	329
b75r	49.48	70.07	-3.61	70.16	357

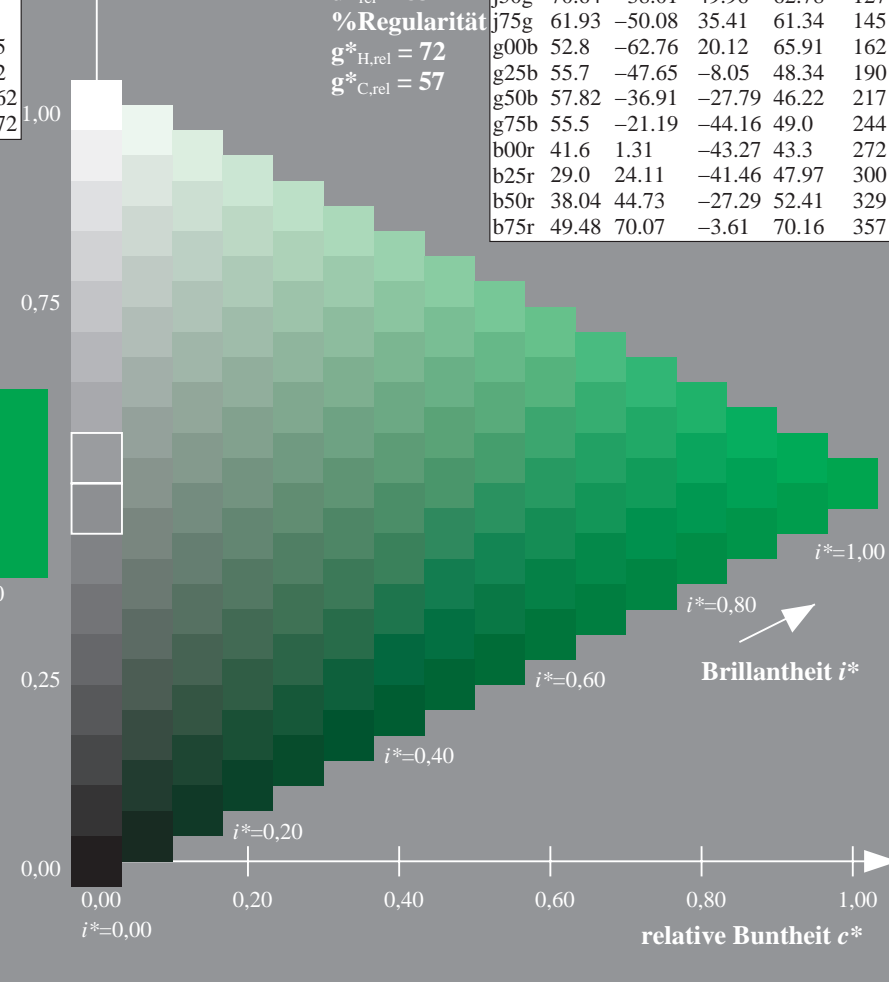
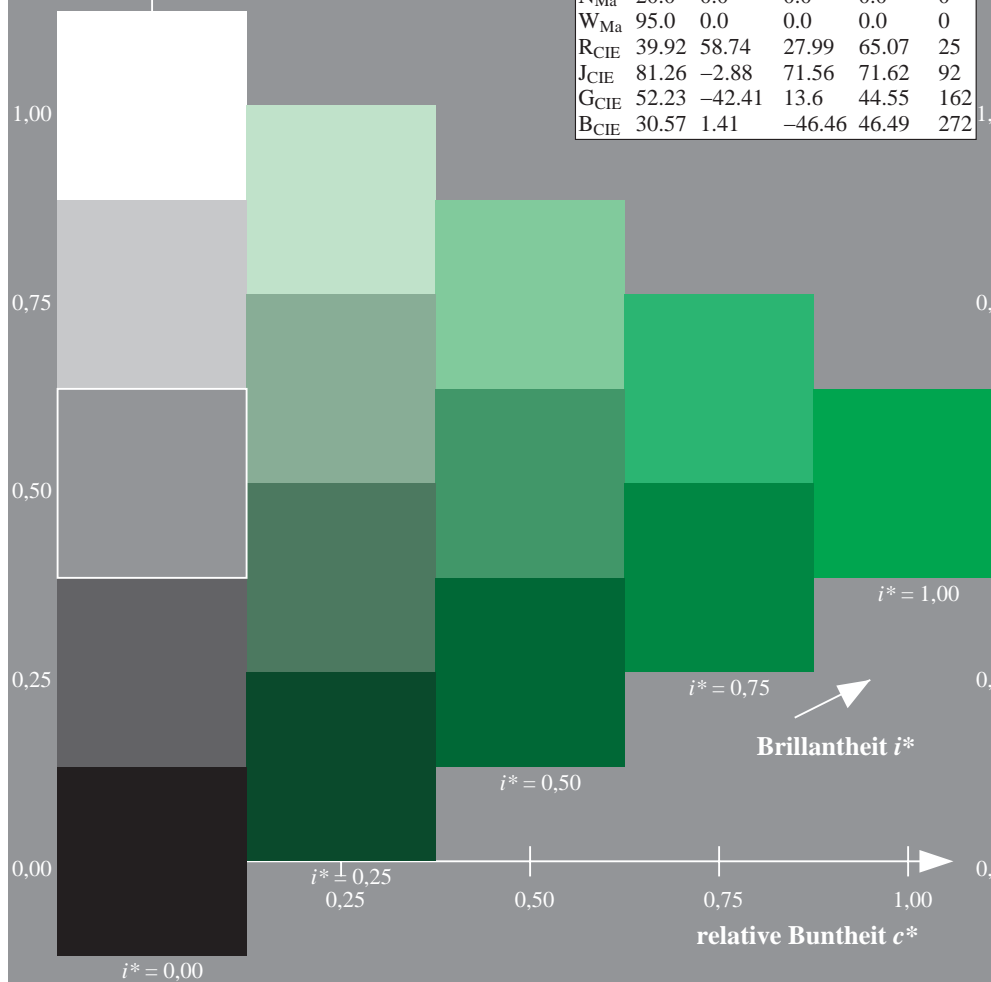
%Umfang

$u^*_{rel} = 83$

%Regularität

$g^*_{H,rel} = 72$

$g^*_{C,rel} = 57$



Ein und Ausgabe: Farbmetrisches Drucker-Reflektiv-System ORS20_95a für relativen CIELAB-Buntton $h^* = lab^*h^* = h_{ab}/360 = 190/360 = 0.527$ $u^* = g25b$

Daten für jede Farbe:

lab^*ch^* und lab^*icu^*

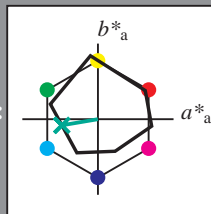
Elementar-Bunttontext:

$u^* = g25b$

Kontrastreduzierungsfaktor:

$c_R = 0.96$

Dreiecks-Helligkeit i^*



ORS20_95a; adaptierte CIELAB-Daten

	$L^*=L_a^*$	a_a^*	b_a^*	$C^*_{ab,a}$	$h^*_{ab,a}$
O _{Ma}	48.75	62.56	37.91	73.15	31
Y _{Ma}	90.92	-9.88	83.88	84.46	97
L _{Ma}	52.69	-62.9	19.95	66.0	162
C _{Ma}	59.61	-27.85	-44.43	52.45	238
V _{Ma}	28.39	22.72	-42.42	48.13	298
M _{Ma}	49.58	71.08	-9.19	71.67	353
N _{Ma}	20.0	0.0	0.0	0.0	0
W _{Ma}	95.0	0.0	0.0	0.0	0
R _{CIE}	39.92	58.74	27.99	65.07	25
J _{CIE}	81.26	-2.88	71.56	71.62	92
G _{CIE}	52.23	-42.41	13.6	44.55	162
B _{CIE}	30.57	1.41	-46.46	46.49	272

Daten für Maximalfarbe (Ma):

$LAB^*LAB^*_{Ma}$: 56 -47 -7

$LAB^*LCH^*_{Ma}$: 56 48 190

$lab^*rgb^*_{Ma}$: 0.0 1.0 0.5

$lab^*olv^*_{Ma}$: 0.0 1.0 0.44

Dreiecks-Helligkeit i^*

%Umfang

$u^*_{rel} = 83$

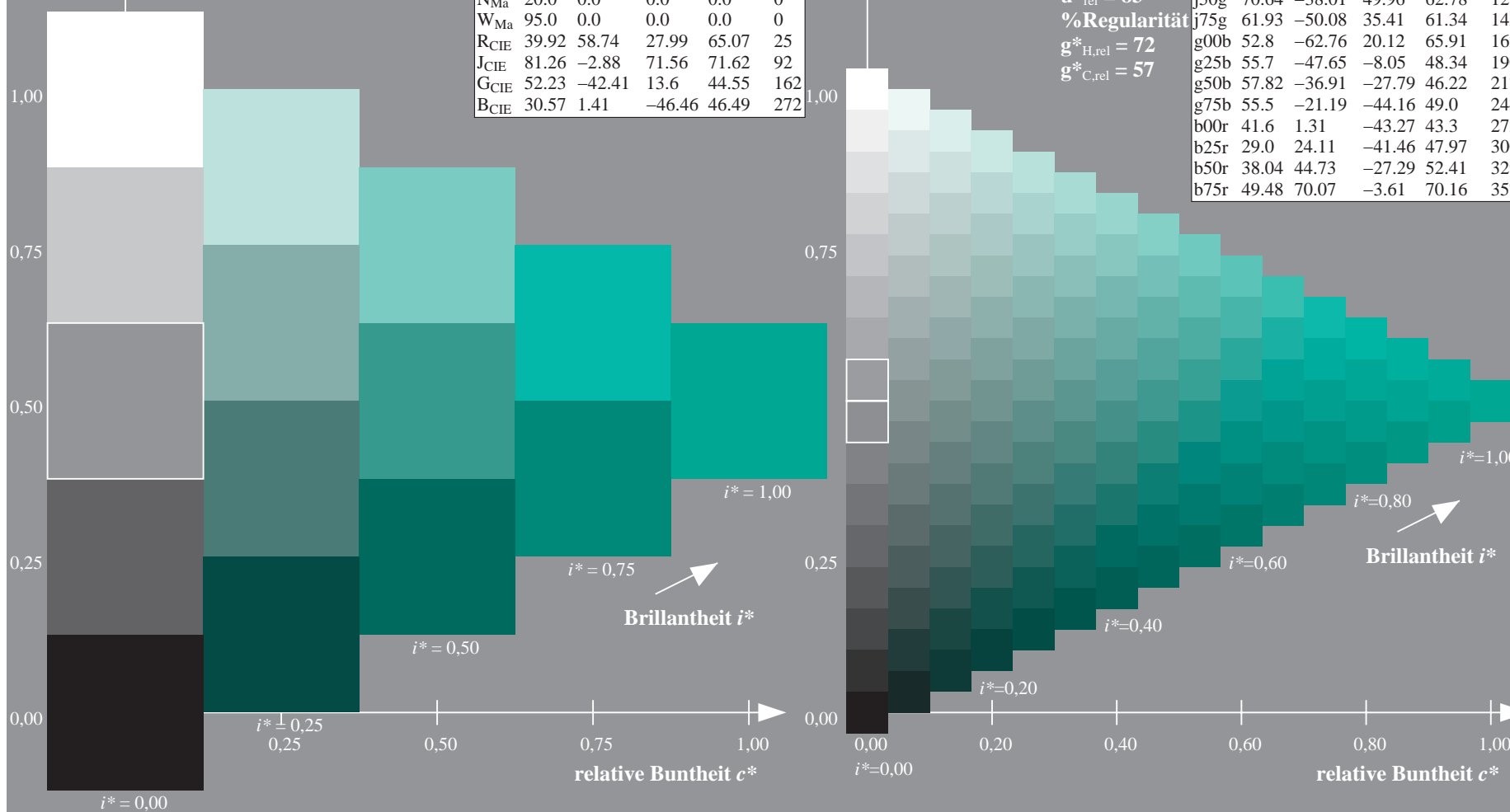
%Regularität

$g^*_{H,rel} = 72$

$g^*_{C,rel} = 57$

ORS20_95a; adaptierte CIELAB-Daten

	$L^*=L_a^*$	a_a^*	b_a^*	$C^*_{ab,a}$	$h^*_{ab,a}$
r00j	48.88	63.91	30.45	70.79	25
r25j	55.85	50.36	45.65	67.97	42
r50j	65.45	33.86	56.12	65.54	59
r75j	75.19	17.13	66.73	68.89	76
j00g	87.03	-3.21	79.64	79.7	92
j25g	80.72	-24.03	66.82	71.01	110
j50g	70.64	-38.01	49.96	62.78	127
j75g	61.93	-50.08	35.41	61.34	145
g00b	52.8	-62.76	20.12	65.91	162
g25b	55.7	-47.65	-8.05	48.34	190
g50b	57.82	-36.91	-27.79	46.22	217
g75b	55.5	-21.19	-44.16	49.0	244
b00r	41.6	1.31	-43.27	43.3	272
b25r	29.0	24.11	-41.46	47.97	300
b50r	38.04	44.73	-27.29	52.41	329
b75r	49.48	70.07	-3.61	70.16	357



Ein und Ausgabe: Farbmetrisches Drucker-Reflektiv-System ORS20_95a für relativen CIELAB-Buntton $h^* = lab^*h^* = h_{ab}/360 = 217/360 = 0.603$ $u^* = g50b$

Daten für jede Farbe:

lab^*ch^* und lab^*icu^*

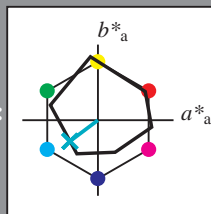
Elementar-Bunttontext:

$u^* = g50b$

Kontrastreduzierungsfaktor:

$c_R = 0.96$

Dreiecks-Helligkeit i^*



ORS20_95a; adaptierte CIELAB-Daten

	$L^* = L^*_a$	a^*_a	b^*_a	$C^*_{ab,a}$	$h^*_{ab,a}$
O _{Ma}	48.75	62.56	37.91	73.15	31
Y _{Ma}	90.92	-9.88	83.88	84.46	97
L _{Ma}	52.69	-62.9	19.95	66.0	162
C _{Ma}	59.61	-27.85	-44.43	52.45	238
V _{Ma}	28.39	22.72	-42.42	48.13	298
M _{Ma}	49.58	71.08	-9.19	71.67	353
N _{Ma}	20.0	0.0	0.0	0.0	0
W _{Ma}	95.0	0.0	0.0	0.0	0
R _{CIE}	39.92	58.74	27.99	65.07	25
J _{CIE}	81.26	-2.88	71.56	71.62	92
G _{CIE}	52.23	-42.41	13.6	44.55	162
B _{CIE}	30.57	1.41	-46.46	46.49	272

Daten für Maximalfarbe (Ma):

$LAB^*LAB^*_{Ma}$: 58 -36 -27

$LAB^*LCH^*_{Ma}$: 58 46 217

$lab^*rgb^*_{Ma}$: 0.0 1.0 1.0

$lab^*olv^*_{Ma}$: 0.0 1.0 0.74

Dreiecks-Helligkeit i^*

%Umfang

$u^*_{rel} = 83$

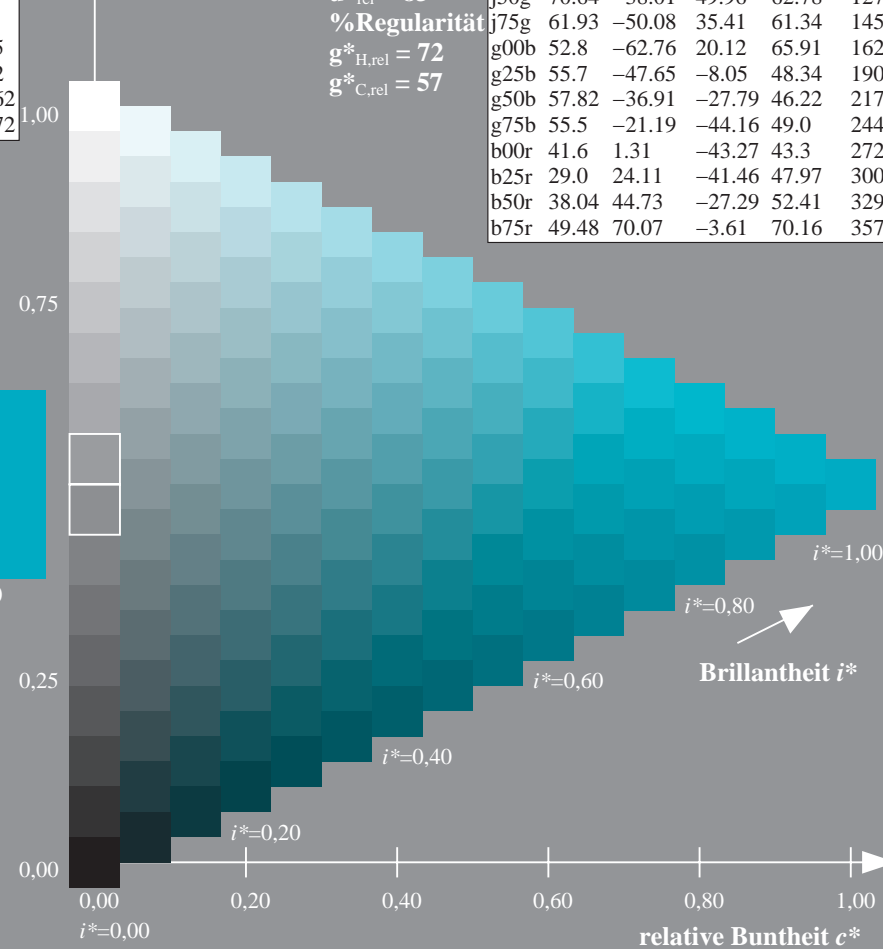
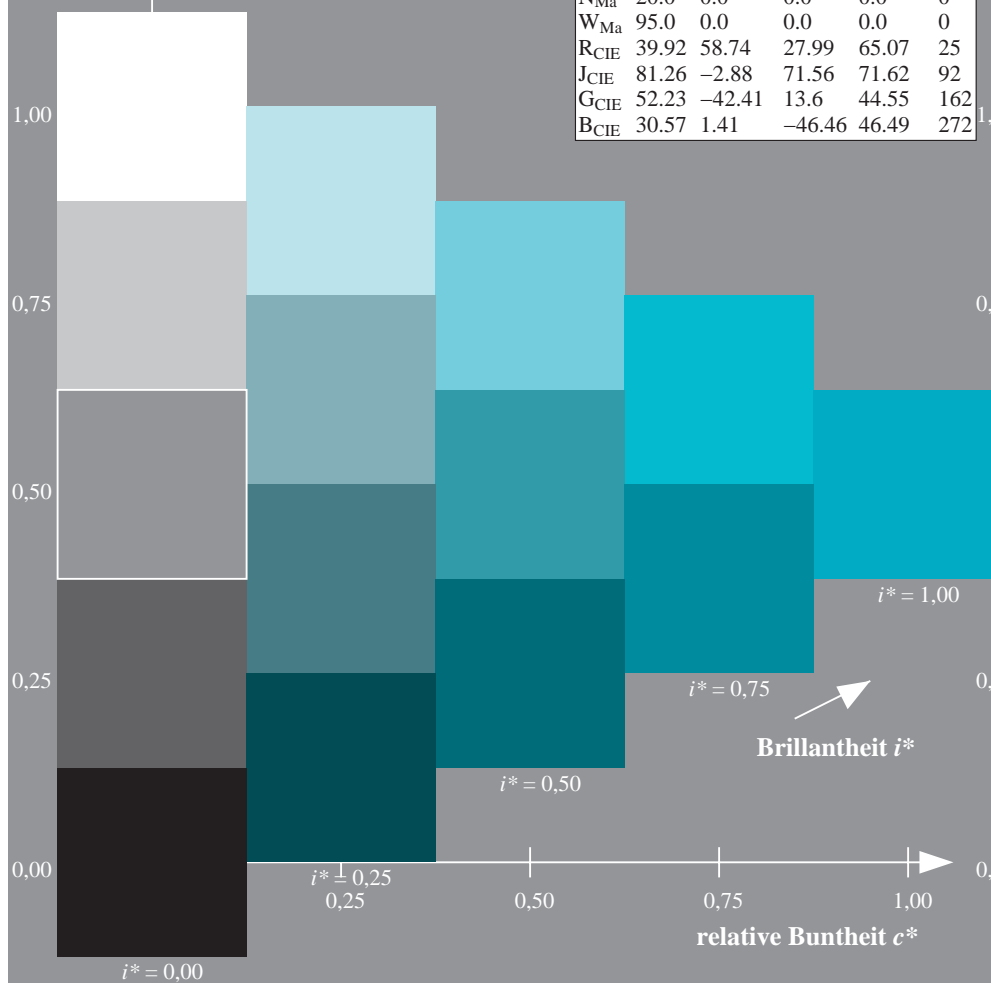
%Regularität

$g^*_{H,rel} = 72$

$g^*_{C,rel} = 57$

ORS20_95a; adaptierte CIELAB-Daten

	$L^* = L^*_a$	a^*_a	b^*_a	$C^*_{ab,a}$	$h^*_{ab,a}$
r00j	48.88	63.91	30.45	70.79	25
r25j	55.85	50.36	45.65	67.97	42
r50j	65.45	33.86	56.12	65.54	59
r75j	75.19	17.13	66.73	68.89	76
j00g	87.03	-3.21	79.64	79.7	92
j25g	80.72	-24.03	66.82	71.01	110
j50g	70.64	-38.01	49.96	62.78	127
j75g	61.93	-50.08	35.41	61.34	145
g00b	52.8	-62.76	20.12	65.91	162
g25b	55.7	-47.65	-8.05	48.34	190
g50b	57.82	-36.91	-27.79	46.22	217
g75b	55.5	-21.19	-44.16	49.0	244
b00r	41.6	1.31	-43.27	43.3	272
b25r	29.0	24.11	-41.46	47.97	300
b50r	38.04	44.73	-27.29	52.41	329
b75r	49.48	70.07	-3.61	70.16	357



Ein und Ausgabe: Farbmétrisches Drucker-Reflektiv-System ORS20_95a für relativen CIELAB-Buntton $h^* = \text{lab}^*h^* = h_{ab}/360 = 244/360 = 0.679$ $u^* = g75b$

Daten für jede Farbe:

*lab*tch** und *lab*icu**

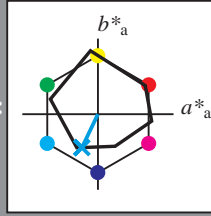
Elementar-Bunttontext:

$$u^* = g75b$$

Kontrastreduzierungsfaktor:

 $c_R = 0.96$

Dreiecks-Helligkeit t^*



ORS20 95a; adaptierte CIELAB-Daten					
	L^*_a	a^*_a	b^*_a	$C^*_{ab,a}$	$h^*_{ab,a}$
O _{Ma}	48.75	62.56	37.91	73.15	31
Y _{Ma}	90.92	-9.88	83.88	84.46	97
L _{Ma}	52.69	-62.9	19.95	66.0	162
C _{Ma}	59.61	-27.85	-44.43	52.45	238
V _{Ma}	28.39	22.72	-42.42	48.13	298
M _{Ma}	49.58	71.08	-9.19	71.67	353
N _{Ma}	20.0	0.0	0.0	0.0	0
W _{Ma}	95.0	0.0	0.0	0.0	0
R _{CIE}	39.92	58.74	27.99	65.07	25
J _{CIE}	81.26	-2.88	71.56	71.62	92
G _{CIE}	52.23	-42.41	13.6	44.55	162
B _{CIE}	30.57	1.41	-46.46	46.49	272

Daten für Maximalfarbe (Ma):

LAB*LAB*Ma: 55 -20 -43

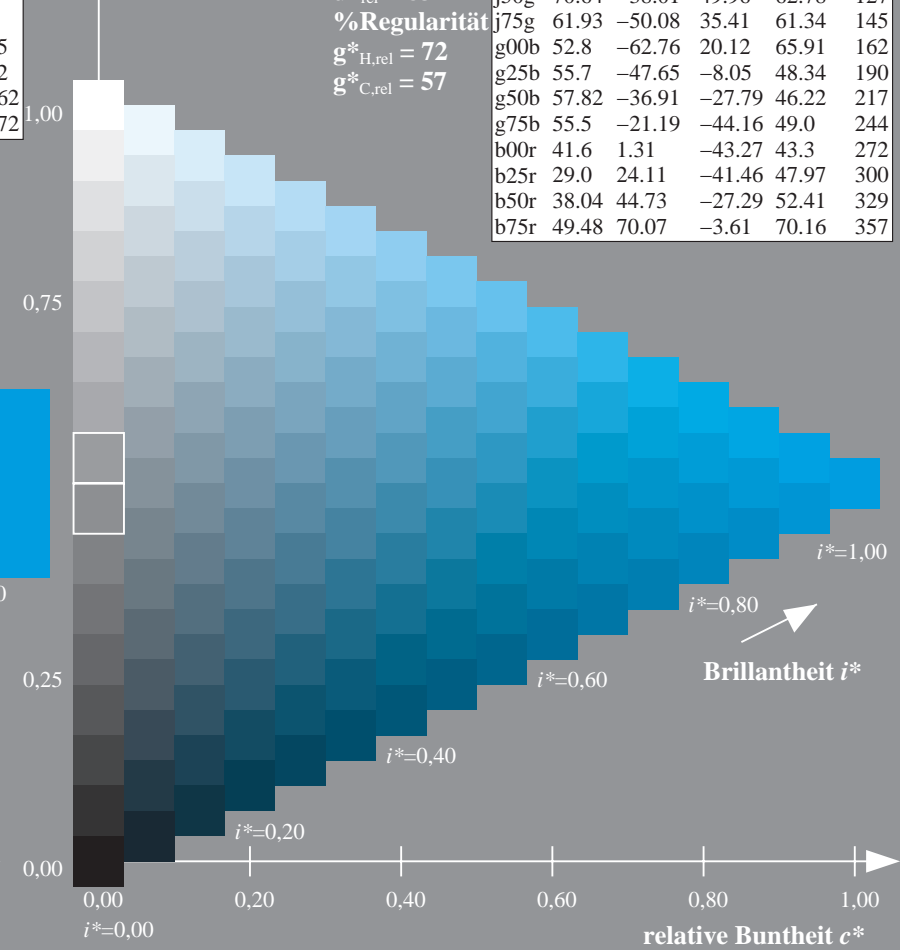
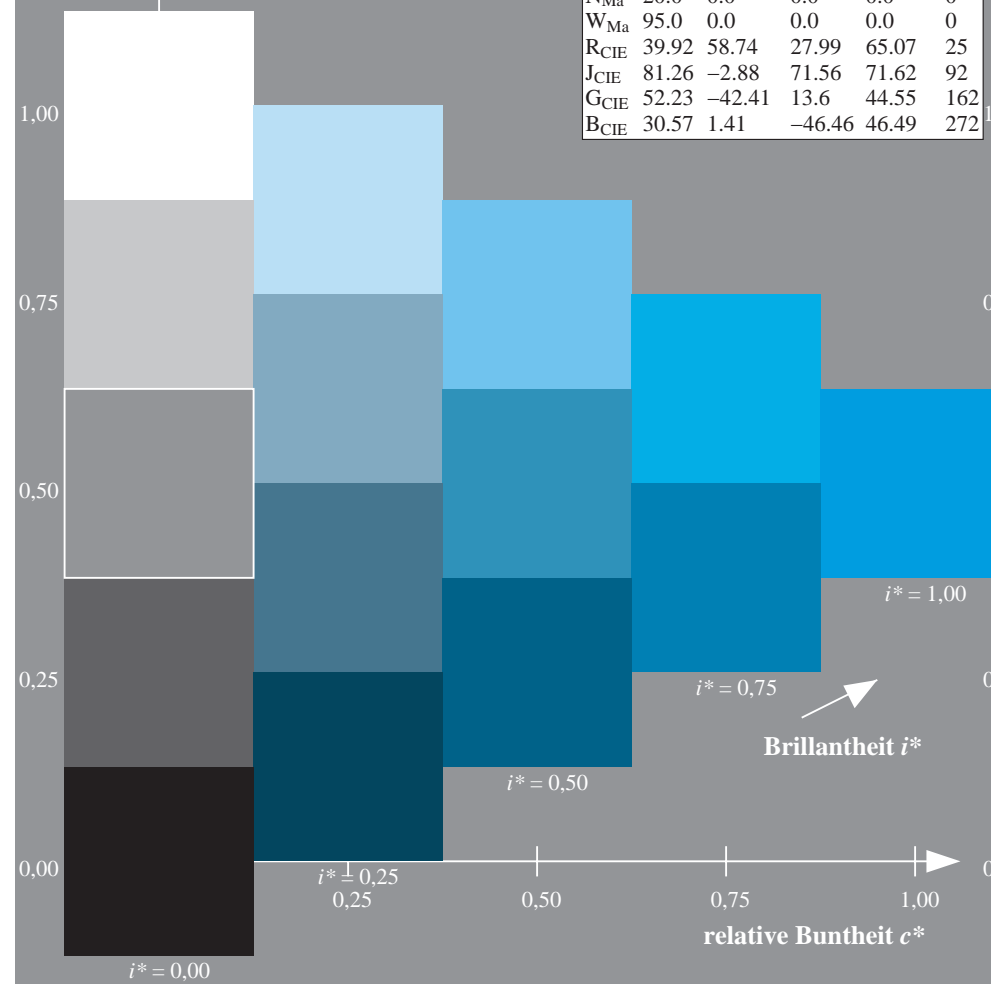
*LAB*LCH**_{Ma}: 55 49 244

*lab*rgb**_{Ma}: 0.0 0.5 1.0

*lab*olv**Ma: 0.0 0.87 1.0

Dreiecks-Helligkeit t^*

ORS20_95a; adaptierte CIELAB-Daten						
	L^*_a	a^*_a	b^*_a	$C^*_{ab,a}$	$h^*_{ab,a}$	
r00j	48.88	63.91	30.45	70.79		25
r25j	55.85	50.36	45.65	67.97		42
r50j	65.45	33.86	56.12	65.54		59
r75j	75.19	17.13	66.73	68.89		76
j00g	87.03	-3.21	79.64	79.7		92
j25g	80.72	-24.03	66.82	71.01		110
j50g	70.64	-38.01	49.96	62.78		127
j75g	61.93	-50.08	35.41	61.34		145
g00b	52.8	-62.76	20.12	65.91		162
g25b	55.7	-47.65	-8.05	48.34		190
g50b	57.82	-36.91	-27.79	46.22		217
g75b	55.5	-21.19	-44.16	49.0		244
b00r	41.6	1.31	-43.27	43.3		272
b25r	29.0	24.11	-41.46	47.97		300
b50r	38.04	44.73	-27.29	52.41		329
b75r	49.48	70.07	-3.61	70.16		357



Ein und Ausgabe: Farbmétrisches Drucker-Reflektiv-System ORS20_95a für relativen CIELAB-Buntton $h^* = lab^*h^* = h_{ab}/360 = 272/360 = 0.755$ $u^* = b00r$

Daten für jede Farbe:

lab^*ch^* und lab^*icu^*

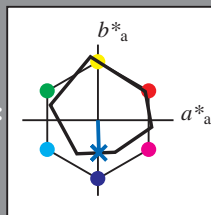
Elementar-Bunttontext:

$u^* = b00r$

Kontrastreduzierungsfaktor:

$c_R = 0.96$

Dreiecks-Helligkeit t^*



ORS20_95a; adaptierte CIELAB-Daten

	$L^*=L_a^*$	a_a^*	b_a^*	$C_{ab,a}^*$	$h_{ab,a}^*$
O _{Ma}	48.75	62.56	37.91	73.15	31
Y _{Ma}	90.92	-9.88	83.88	84.46	97
L _{Ma}	52.69	-62.9	19.95	66.0	162
C _{Ma}	59.61	-27.85	-44.43	52.45	238
V _{Ma}	28.39	22.72	-42.42	48.13	298
M _{Ma}	49.58	71.08	-9.19	71.67	353
N _{Ma}	20.0	0.0	0.0	0.0	0
W _{Ma}	95.0	0.0	0.0	0.0	0
R _{CIE}	39.92	58.74	27.99	65.07	25
J _{CIE}	81.26	-2.88	71.56	71.62	92
G _{CIE}	52.23	-42.41	13.6	44.55	162
B _{CIE}	30.57	1.41	-46.46	46.49	272

Daten für Maximalfarbe (Ma):

$LAB^*LAB^*_{Ma}$: 42 1 -42

$LAB^*LCH^*_{Ma}$: 42 43 272

$lab^*rgb^*_{Ma}$: 0.0 0.0 1.0

$lab^*olv^*_{Ma}$: 0.0 0.42 1.0

Dreiecks-Helligkeit t^*

%Umfang

$u^*_{rel} = 83$

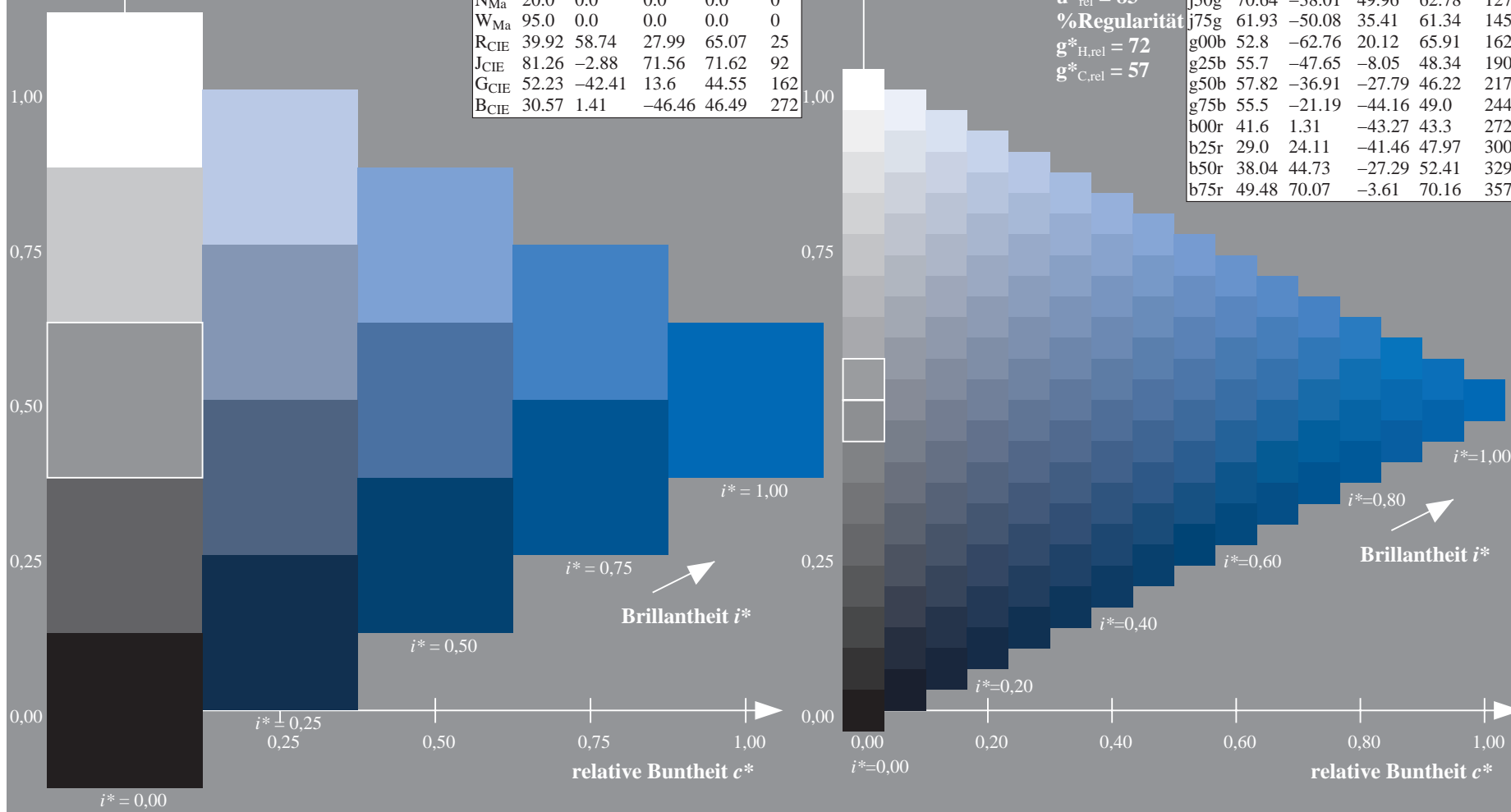
%Regularität

$g^*_{H,rel} = 72$

$g^*_{C,rel} = 57$

ORS20_95a; adaptierte CIELAB-Daten

	$L^*=L_a^*$	a_a^*	b_a^*	$C_{ab,a}^*$	$h_{ab,a}^*$
r00j	48.88	63.91	30.45	70.79	25
r25j	55.85	50.36	45.65	67.97	42
r50j	65.45	33.86	56.12	65.54	59
r75j	75.19	17.13	66.73	68.89	76
j00g	87.03	-3.21	79.64	79.7	92
j25g	80.72	-24.03	66.82	71.01	110
j50g	70.64	-38.01	49.96	62.78	127
j75g	61.93	-50.08	35.41	61.34	145
g00b	52.8	-62.76	20.12	65.91	162
g25b	55.7	-47.65	-8.05	48.34	190
g50b	57.82	-36.91	-27.79	46.22	217
g75b	55.5	-21.19	-44.16	49.0	244
b00r	41.6	1.31	-43.27	43.3	272
b25r	29.0	24.11	-41.46	47.97	300
b50r	38.04	44.73	-27.29	52.41	329
b75r	49.48	70.07	-3.61	70.16	357



Ein und Ausgabe: Farbmetrisches Drucker-Reflektiv-System ORS20_95a für relativen CIELAB-Buntton $h^* = lab^*h^* = h_{ab}/360 = 300/360 = 0.834$ $u^* = b25r$

Daten für jede Farbe:

lab^*ch^* und lab^*icu^*

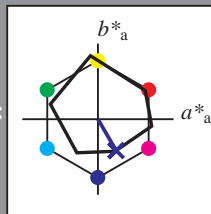
Elementar-Bunttontext:

$u^* = b25r$

Kontrastreduzierungsfaktor:

$c_R = 0.96$

Dreiecks-Helligkeit t^*



ORS20_95a; adaptierte CIELAB-Daten

	$L^*=L_a^*$	a_a^*	b_a^*	$C_{ab,a}^*$	$h_{ab,a}^*$
O _{Ma}	48.75	62.56	37.91	73.15	31
Y _{Ma}	90.92	-9.88	83.88	84.46	97
L _{Ma}	52.69	-62.9	19.95	66.0	162
C _{Ma}	59.61	-27.85	-44.43	52.45	238
V _{Ma}	28.39	22.72	-42.42	48.13	298
M _{Ma}	49.58	71.08	-9.19	71.67	353
N _{Ma}	20.0	0.0	0.0	0.0	0
W _{Ma}	95.0	0.0	0.0	0.0	0
R _{CIE}	39.92	58.74	27.99	65.07	25
J _{CIE}	81.26	-2.88	71.56	71.62	92
G _{CIE}	52.23	-42.41	13.6	44.55	162
B _{CIE}	30.57	1.41	-46.46	46.49	272

Daten für Maximalfarbe (Ma):

$LAB^*LAB^*_{Ma}$: 29 24 -40

$LAB^*LCH^*_{Ma}$: 29 48 300

$lab^*rgb^*_{Ma}$: 0.5 0.0 1.0

$lab^*olv^*_{Ma}$: 0.03 0.0 1.0

Dreiecks-Helligkeit t^*

ORS20_95a; adaptierte CIELAB-Daten

	$L^*=L_a^*$	a_a^*	b_a^*	$C_{ab,a}^*$	$h_{ab,a}^*$
r00j	48.88	63.91	30.45	70.79	25
r25j	55.85	50.36	45.65	67.97	42
r50j	65.45	33.86	56.12	65.54	59
r75j	75.19	17.13	66.73	68.89	76
j00g	87.03	-3.21	79.64	79.7	92
j25g	80.72	-24.03	66.82	71.01	110
j50g	70.64	-38.01	49.96	62.78	127
j75g	61.93	-50.08	35.41	61.34	145
g00b	52.8	-62.76	20.12	65.91	162
g25b	55.7	-47.65	-8.05	48.34	190
g50b	57.82	-36.91	-27.79	46.22	217
g75b	55.5	-21.19	-44.16	49.0	244
b00r	41.6	1.31	-43.27	43.3	272
b25r	29.0	24.11	-41.46	47.97	300
b50r	38.04	44.73	-27.29	52.41	329
b75r	49.48	70.07	-3.61	70.16	357

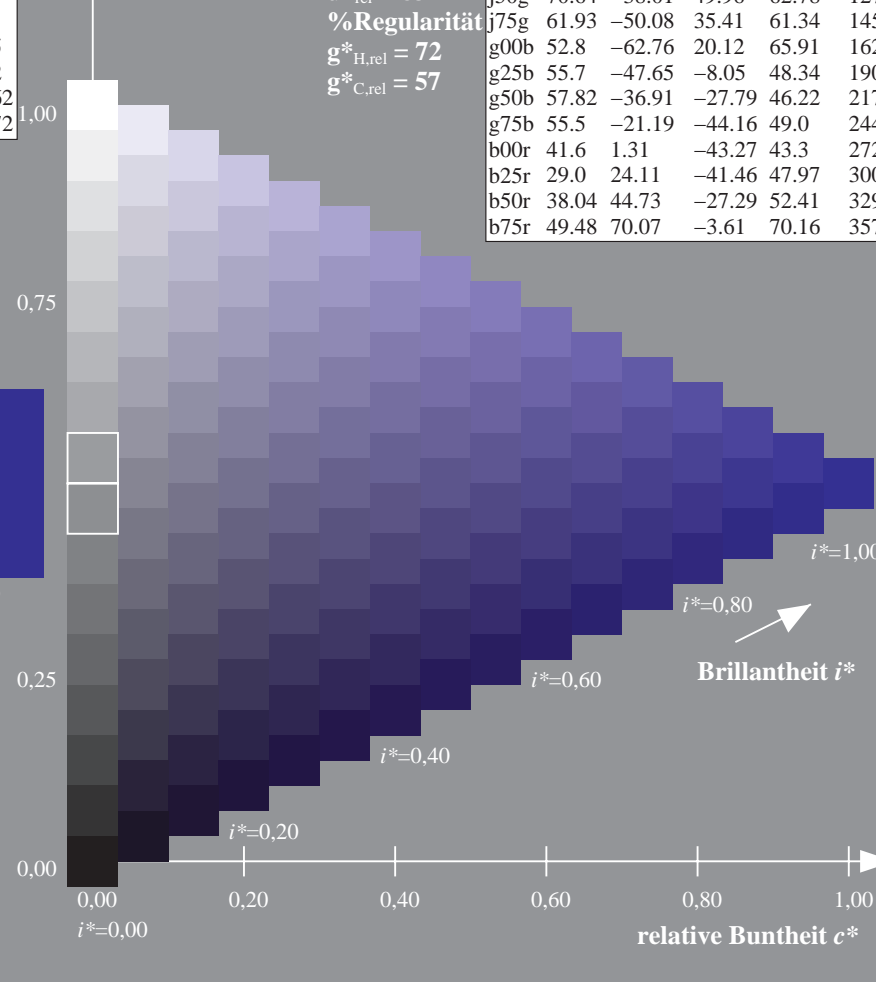
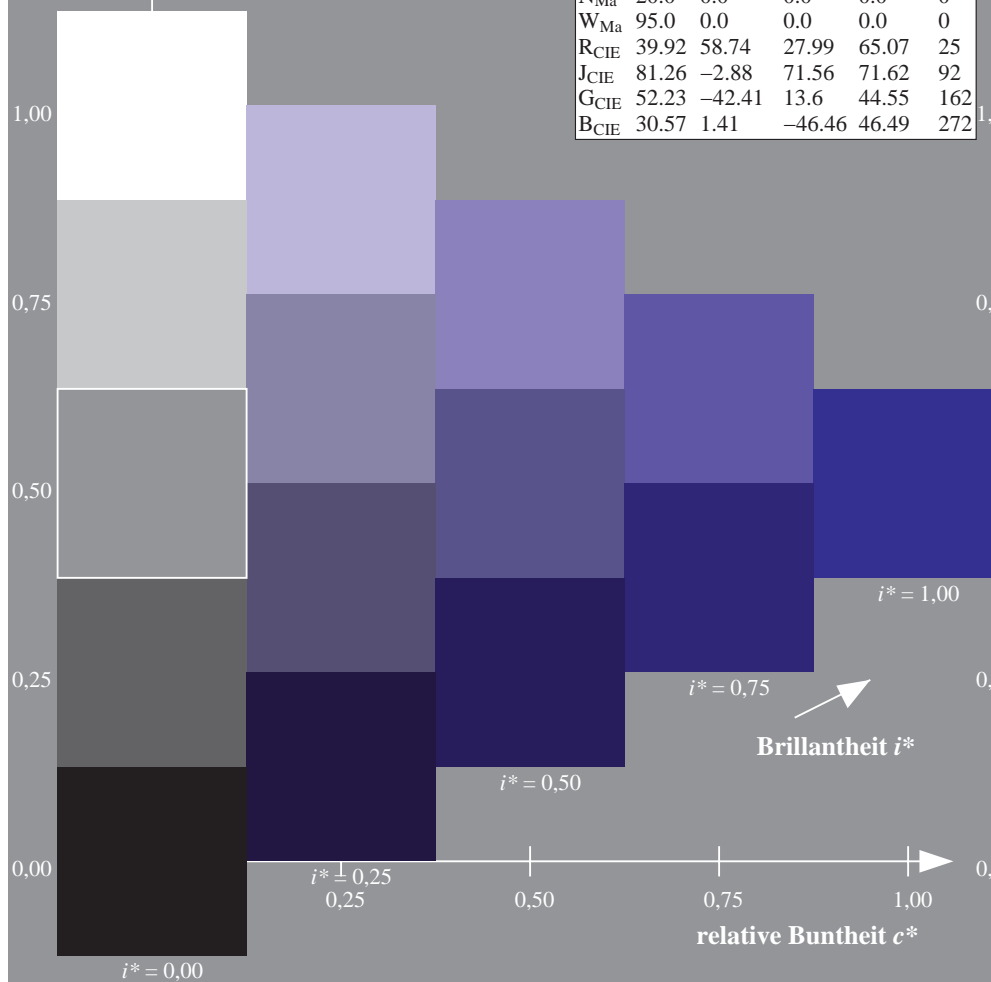
%Umfang

$u^*_{rel} = 83$

%Regelartigkeit

$g^*_{H,rel} = 72$

$g^*_{C,rel} = 57$



Ein und Ausgabe: Farbmatisches Drucker-Reflektiv-System ORS20_95a für relativen CIELAB-Buntton $h^* = lab^*h^* = h_{ab}/360 = 329/360 = 0.913$ $u^* = b50r$

Daten für jede Farbe:

lab^*ch^* und lab^*icu^*

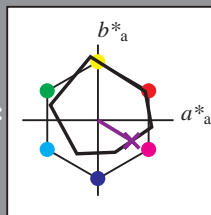
Elementar-Bunttontext:

$u^* = b50r$

Kontrastreduzierungsfaktor:

$c_R = 0.96$

Dreiecks-Helligkeit t^*



ORS20_95a; adaptierte CIELAB-Daten

	$L^*=L_a^*$	a_a^*	b_a^*	$C_{ab,a}^*$	$h_{ab,a}^*$
O _{Ma}	48.75	62.56	37.91	73.15	31
Y _{Ma}	90.92	-9.88	83.88	84.46	97
L _{Ma}	52.69	-62.9	19.95	66.0	162
C _{Ma}	59.61	-27.85	-44.43	52.45	238
V _{Ma}	28.39	22.72	-42.42	48.13	298
M _{Ma}	49.58	71.08	-9.19	71.67	353
N _{Ma}	20.0	0.0	0.0	0.0	0
W _{Ma}	95.0	0.0	0.0	0.0	0
R _{CIE}	39.92	58.74	27.99	65.07	25
J _{CIE}	81.26	-2.88	71.56	71.62	92
G _{CIE}	52.23	-42.41	13.6	44.55	162
B _{CIE}	30.57	1.41	-46.46	46.49	272

Daten für Maximalfarbe (Ma):

$LAB^*LAB^*_{Ma}$: 38 45 -26

$LAB^*LCH^*_{Ma}$: 38 52 329

$lab^*rgb^*_{Ma}$: 1.0 0.0 1.0

$lab^*olv^*_{Ma}$: 0.46 0.0 1.0

Dreiecks-Helligkeit t^*

%Umfang

$u^*_{rel} = 83$

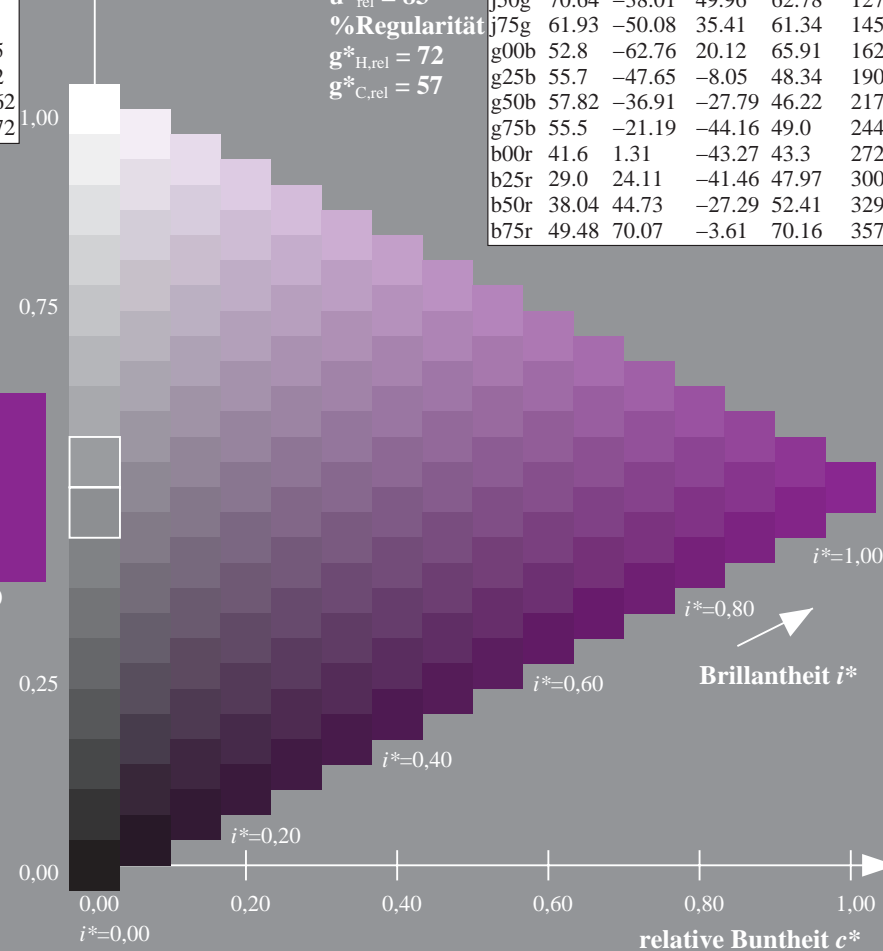
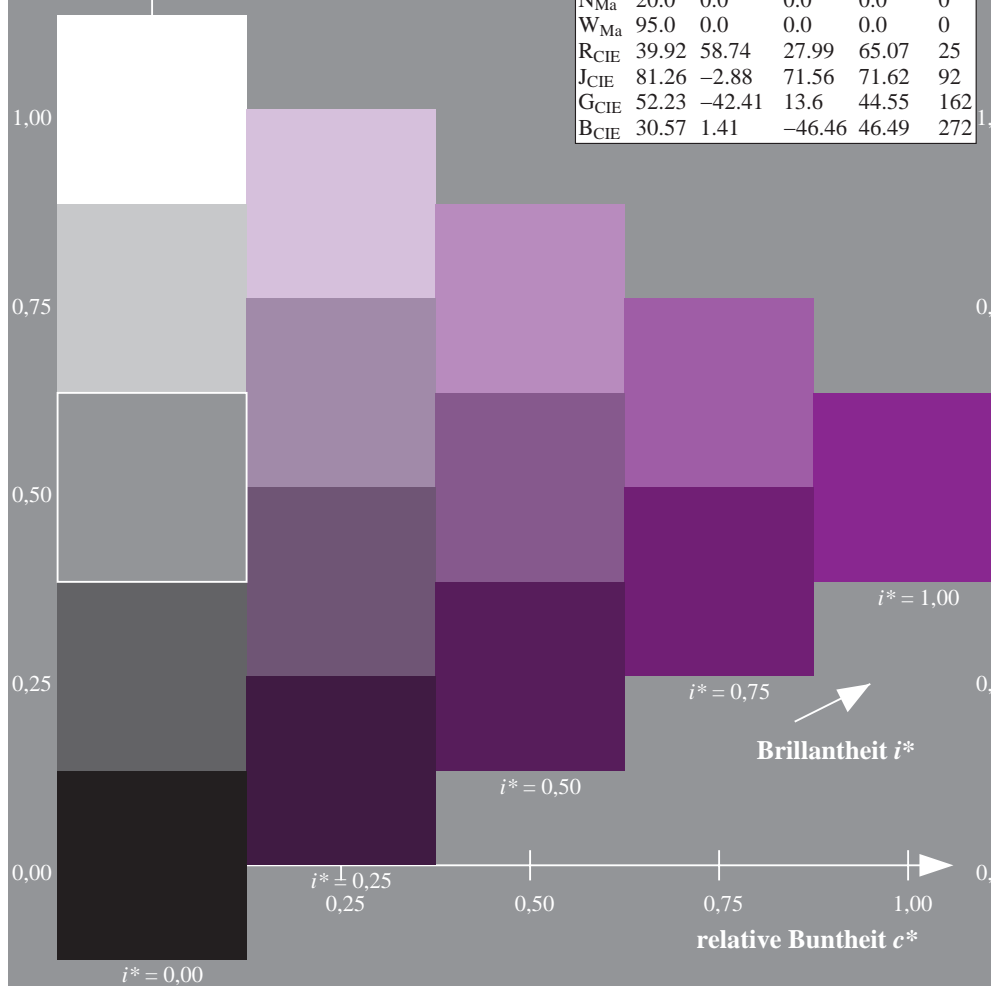
%Regelartigkeit

$g^*_{H,rel} = 72$

$g^*_{C,rel} = 57$

ORS20_95a; adaptierte CIELAB-Daten

	$L^*=L_a^*$	a_a^*	b_a^*	$C_{ab,a}^*$	$h_{ab,a}^*$
r00j	48.88	63.91	30.45	70.79	25
r25j	55.85	50.36	45.65	67.97	42
r50j	65.45	33.86	56.12	65.54	59
r75j	75.19	17.13	66.73	68.89	76
j00g	87.03	-3.21	79.64	79.7	92
j25g	80.72	-24.03	66.82	71.01	110
j50g	70.64	-38.01	49.96	62.78	127
j75g	61.93	-50.08	35.41	61.34	145
g00b	52.8	-62.76	20.12	65.91	162
g25b	55.7	-47.65	-8.05	48.34	190
g50b	57.82	-36.91	-27.79	46.22	217
g75b	55.5	-21.19	-44.16	49.0	244
b00r	41.6	1.31	-43.27	43.3	272
b25r	29.0	24.11	-41.46	47.97	300
b50r	38.04	44.73	-27.29	52.41	329
b75r	49.48	70.07	-3.61	70.16	357



Daten für jede Farbe:

*lab*tch** und *lab*icu**

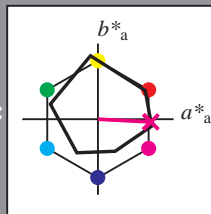
Elementar-Bunttontext:

$$u^* = b75r$$

Kontrastreduzierungsfaktor:

 $c_R = 0.96$

Dreiecks-Helligkeit t^*



ORS20 95a; adaptierte CIELAB-Daten						
	$L^*_{a,b}$	$a^*_{a,b}$	$b^*_{a,b}$	$C^*_{a,b}$	$h^*_{a,b}$	
O _{Ma}	48.75	62.56	37.91	73.15	31	
Y _{Ma}	90.92	-9.88	83.88	84.46	97	
L _{Ma}	52.69	-62.9	19.95	66.0	162	
C _{Ma}	59.61	-27.85	-44.43	52.45	238	
V _{Ma}	28.39	22.72	-42.42	48.13	298	
M _{Ma}	49.58	71.08	-9.19	71.67	353	
N _{Ma}	20.0	0.0	0.0	0.0	0	
W _{Ma}	95.0	0.0	0.0	0.0	0	
R _{CIE}	39.92	58.74	27.99	65.07	25	
J _{CIE}	81.26	-2.88	71.56	71.62	92	
G _{CIE}	52.23	-42.41	13.6	44.55	162	
B _{CIE}	30.57	1.41	-46.46	46.49	272	

Daten für Maximalfarbe (Ma):

LAB*LAB*Mo: 49 70 -3

LAB*LCU* : 40 70 357

LAB*LCH*Ma: 49 70 3

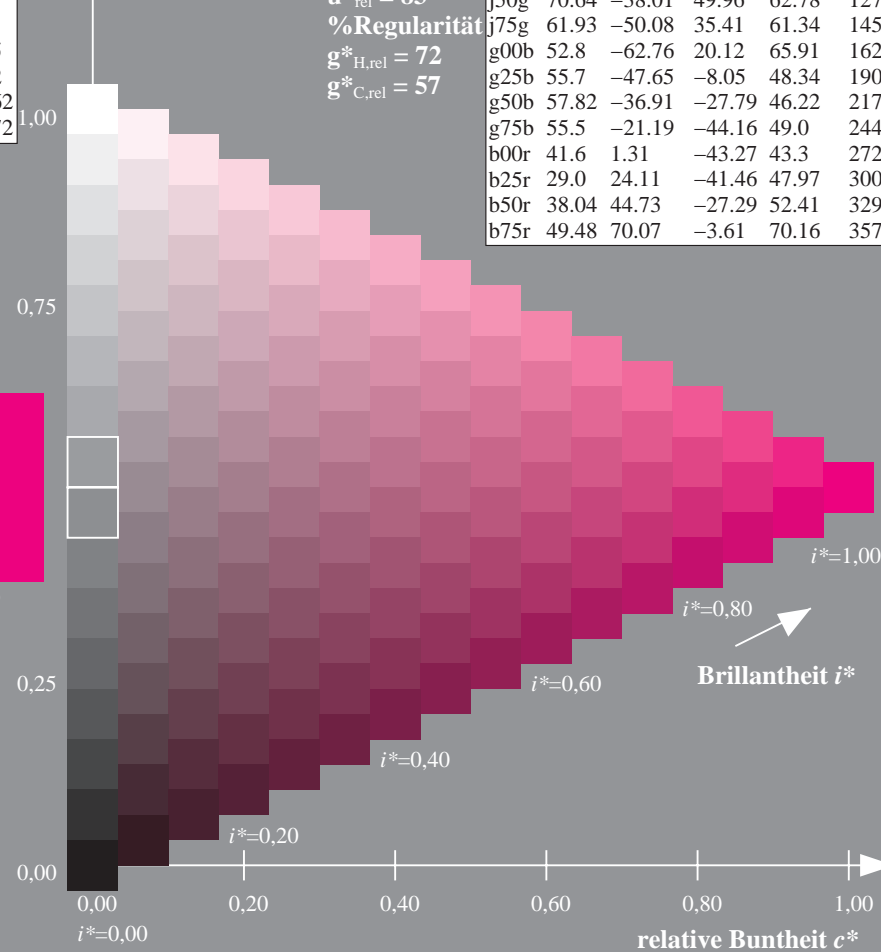
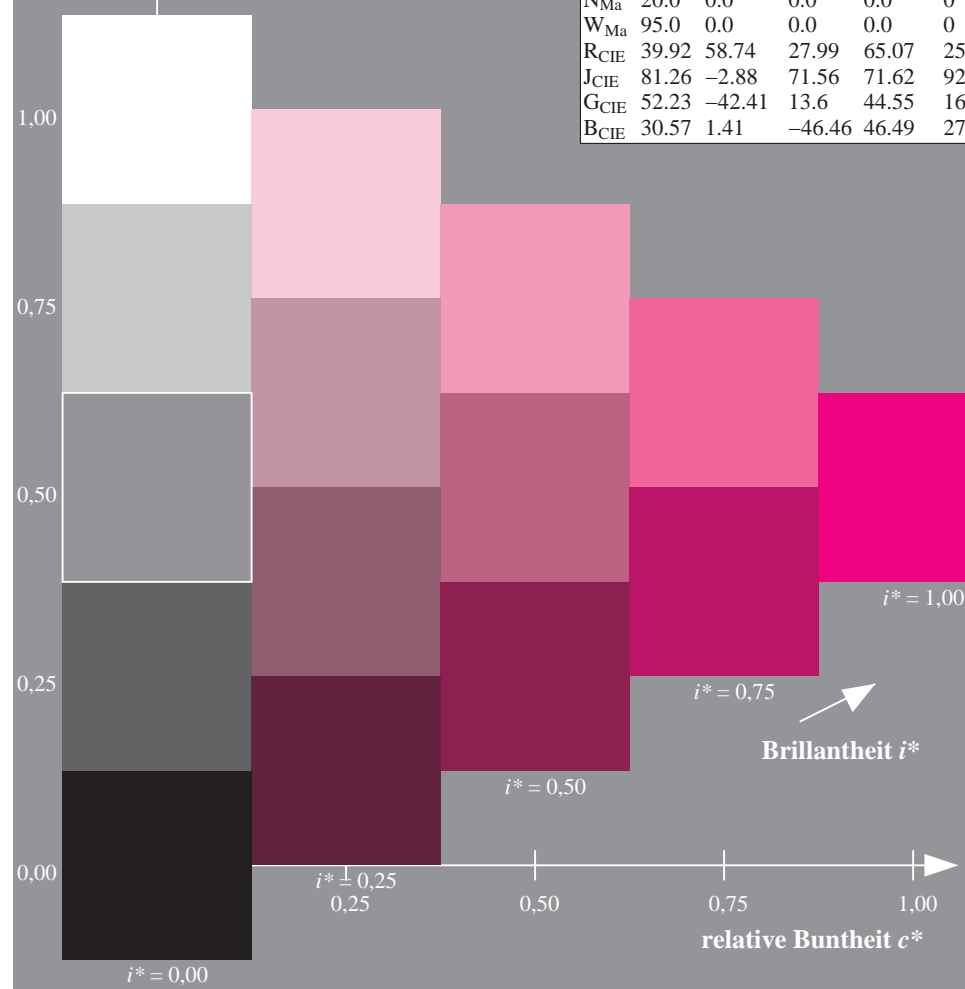
*lab*rgb*_Ma: 1.0 0.0 0.5*

lab*olv*Ma: 1.0 0.0 0.88

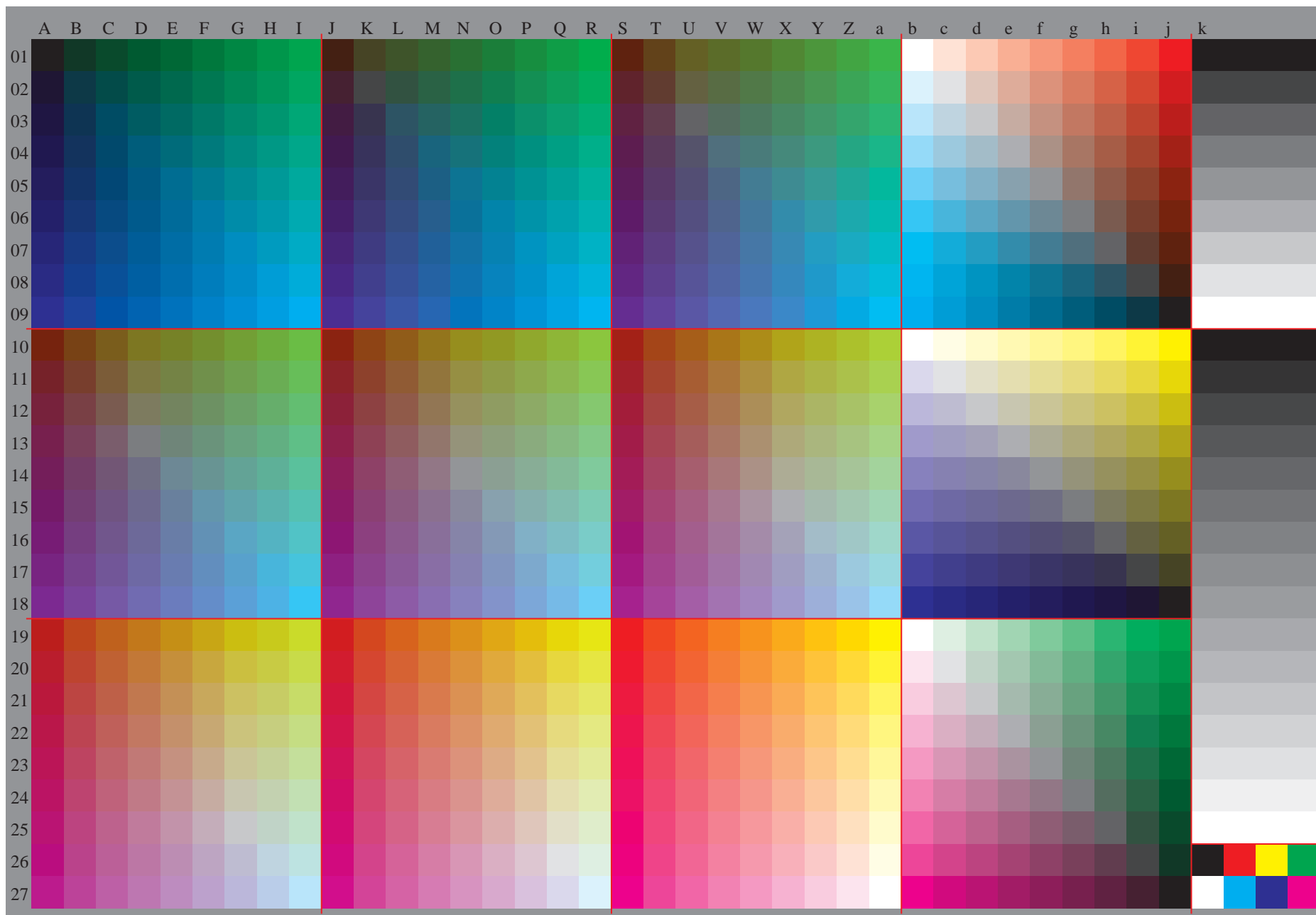
Dreiecks-Helligkeit t^*

Exercises Highlight:

ORS20_95a; adaptierte CIELAB-Daten					
	L^*_a	a^*_a	b^*_a	$C^*_{ab,a}$	$h^*_{ab,a}$
r00j	48.88	63.91	30.45	70.79	25
r25j	55.85	50.36	45.65	67.97	42
r50j	65.45	33.86	56.12	65.54	59
r75j	75.19	17.13	66.73	68.89	76
j00g	87.03	-3.21	79.64	79.7	92
j25g	80.72	-24.03	66.82	71.01	110
j50g	70.64	-38.01	49.96	62.78	127
j75g	61.93	-50.08	35.41	61.34	145
g00b	52.8	-62.76	20.12	65.91	162
g25b	55.7	-47.65	-8.05	48.34	190
g50b	57.82	-36.91	-27.79	46.22	217
g75b	55.5	-21.19	-44.16	49.0	244
b00r	41.6	1.31	-43.27	43.3	272
b25r	29.0	24.11	-41.46	47.97	300
b50r	38.04	44.73	-27.29	52.41	329
b75r	49.48	70.07	-3.61	70.16	357

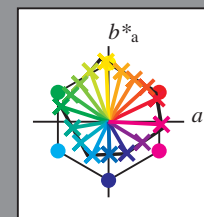


Siehe ähnliche Dateien: <http://www.ps.bam.de/Dg99/>; www.ps.bam.de/Dg99/10L/L99G00NA.PS/.TXT
Technische Information: [http://www.ps.bam.de/Version 2.1, io=1,1, ColSpX=1](http://www.ps.bam.de/Version%202.1%2C%20ColSpX%3D1)



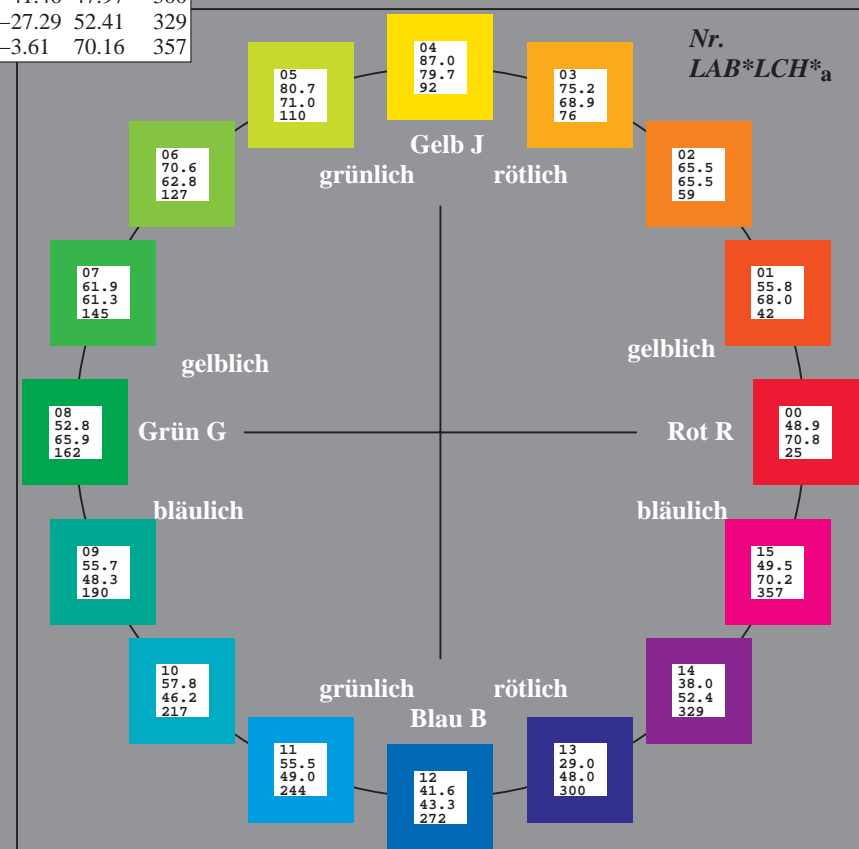
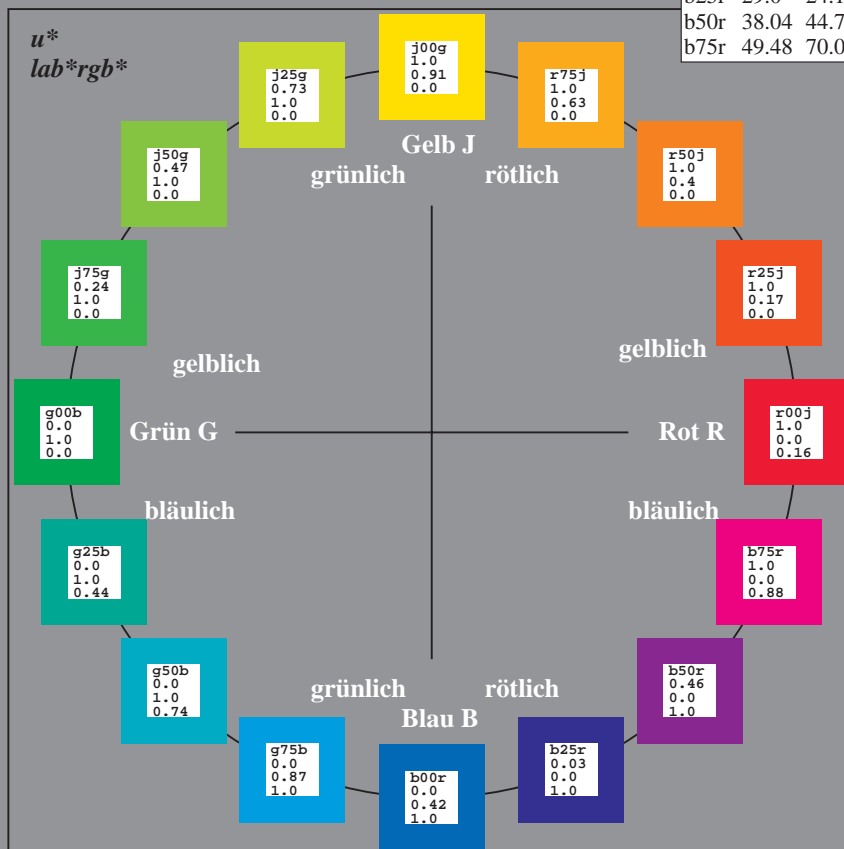
Ein und Ausgabe:
Farbmetrisches Drucker-Reflektiv-System ORS20_95a
Daten für jede Farbe:
*lab*_{tch}** und *lab*_{icu}**
Elementar-Bunttontext:
*u** = 16 Buntttöne *r00j*, *r25j*, ..., *b75r*
Kontrastreduzierungsfaktor:
 $c_R = 0.96$

ORS20_95a; adaptierte CIELAB-Daten					
	$L^*=L^*_a$	a^*_a	b^*_a	$C^*_{ab,a}$	$h^*_{ab,a}$
r00j	48.88	63.91	30.45	70.79	25
r25j	55.85	50.36	45.65	67.97	42
r50j	65.45	33.86	56.12	65.54	59
r75j	75.19	17.13	66.73	68.89	76
j00g	87.03	-3.21	79.64	79.7	92
j25g	80.72	-24.03	66.82	71.01	110
j50g	70.64	-38.01	49.96	62.78	127
j75g	61.93	-50.08	35.41	61.34	145
g00b	52.8	-62.76	20.12	65.91	162
g25b	55.7	-47.65	-8.05	48.34	190
g50b	57.82	-36.91	-27.79	46.22	217
g75b	55.5	-21.19	-44.16	49.0	244
b00r	41.6	1.31	-43.27	43.3	272
b25r	29.0	24.11	-41.46	47.97	300
b50r	38.04	44.73	-27.29	52.41	329
b75r	49.48	70.07	-3.61	70.16	357



%Umfang
 $u^*_{rel} = 83$
%Regularität
 $g^*_{H,rel} = 72$
 $g^*_{C,rel} = 57$

ORS20_95a; adaptierte CIELAB-Daten					
	$L^*=L^*_a$	a^*_a	b^*_a	$C^*_{ab,a}$	$h^*_{ab,a}$
OMa	48.75	62.56	37.91	73.15	31
YMa	90.92	-9.88	83.88	84.46	97
LMa	52.69	-62.9	19.95	66.0	162
CMa	59.61	-27.85	-44.43	52.45	238
VMa	28.39	22.72	-42.42	48.13	298
MMa	49.58	71.08	-9.19	71.67	353
NMa	20.0	0.0	0.0	0.0	0
WMa	95.0	0.0	0.0	0.0	0
RCIE	39.92	58.74	27.99	65.07	25
JCIE	81.26	-2.88	71.56	71.62	92
GCIE	52.23	-42.41	13.6	44.55	162
BCIE	30.57	1.41	-46.46	46.49	272



Ein und Ausgabe: Farbmetrisches Drucker-Reflektiv-System ORS20_95a für relativen CIELAB-Buntton $h^* = lab^*h^* = h_{ab}/360 = 25/360 = 0.071$ $u^* = r00j$
Daten für jede Farbe: lab^*ch^* und lab^*icu^*

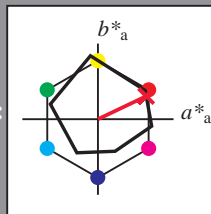
Elementar-Bunttontext:

$u^* = r00j$

Kontrastreduzierungsfaktor:

$c_R = 0.96$

Dreiecks-Helligkeit i^*



ORS20_95a; adaptierte CIELAB-Daten					
	$L^*=L^*_a$	a^*_a	b^*_a	$C^*_{ab,a}$	$h^*_{ab,a}$
O _{Ma}	48.75	62.56	37.91	73.15	31
Y _{Ma}	90.92	-9.88	83.88	84.46	97
L _{Ma}	52.69	-62.9	19.95	66.0	162
C _{Ma}	59.61	-27.85	-44.43	52.45	238
V _{Ma}	28.39	22.72	-42.42	48.13	298
M _{Ma}	49.58	71.08	-9.19	71.67	353
N _{Ma}	20.0	0.0	0.0	0.0	0
W _{Ma}	95.0	0.0	0.0	0.0	0
R _{CIE}	39.92	58.74	27.99	65.07	25
J _{CIE}	81.26	-2.88	71.56	71.62	92
G _{CIE}	52.23	-42.41	13.6	44.55	162
B _{CIE}	30.57	1.41	-46.46	46.49	272

Daten für Maximalfarbe (Ma):

$LAB^*LAB^*_{Ma}$: 49 64 30

$LAB^*LCH^*_{Ma}$: 49 71 25

$lab^*rgb^*_{Ma}$: 1.0 0.0 0.0

$lab^*olv^*_{Ma}$: 1.0 0.0 0.16

Dreiecks-Helligkeit i^*

%Umfang

$u^*_{rel} = 83$

%Regularität

$g^*_{H,rel} = 72$

$g^*_{C,rel} = 57$

ORS20_95a; adaptierte CIELAB-Daten					
	$L^*=L^*_a$	a^*_a	b^*_a	$C^*_{ab,a}$	$h^*_{ab,a}$
r00j	48.88	63.91	30.45	70.79	25
r25j	55.85	50.36	45.65	67.97	42
r50j	65.45	33.86	56.12	65.54	59
r75j	75.19	17.13	66.73	68.89	76
j00g	87.03	-3.21	79.64	79.7	92
j25g	80.72	-24.03	66.82	71.01	110
j50g	70.64	-38.01	49.96	62.78	127
j75g	61.93	-50.08	35.41	61.34	145
g00b	52.8	-62.76	20.12	65.91	162
g25b	55.7	-47.65	-8.05	48.34	190
g50b	57.82	-36.91	-27.79	46.22	217
g75b	55.5	-21.19	-44.16	49.0	244
b00r	41.6	1.31	-43.27	43.3	272
b25r	29.0	24.11	-41.46	47.97	300
b50r	38.04	44.73	-27.29	52.41	329
b75r	49.48	70.07	-3.61	70.16	357

lab^*rgb^*

$i^* = 1.00$

Brillantheit i^*

$i^* = 0.80$

$i^* = 0.60$

$i^* = 0.40$

$i^* = 0.20$

$i^* = 0.00$

Ein und Ausgabe: Farbmetrisches Drucker-Reflektiv-System ORS20_95a für relativen CIELAB-Buntton $h^* = lab^*h^* = h_{ab}/360 = 42/360 = 0.117$ $u^* = r25j$
Daten für jede Farbe: lab^*ch^* und lab^*icu^*

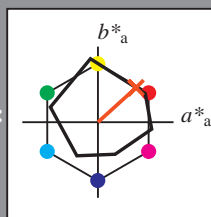
Elementar-Bunttontext:

$u^* = r25j$

Kontrastreduzierungsfaktor:

$c_R = 0.96$

Dreiecks-Helligkeit t^*



ORS20_95a; adaptierte CIELAB-Daten					
	$L^*=L^*_a$	a^*_a	b^*_a	$C^*_{ab,a}$	$h^*_{ab,a}$
O _{Ma}	48.75	62.56	37.91	73.15	31
Y _{Ma}	90.92	-9.88	83.88	84.46	97
L _{Ma}	52.69	-62.9	19.95	66.0	162
C _{Ma}	59.61	-27.85	-44.43	52.45	238
V _{Ma}	28.39	22.72	-42.42	48.13	298
M _{Ma}	49.58	71.08	-9.19	71.67	353
N _{Ma}	20.0	0.0	0.0	0.0	0
W _{Ma}	95.0	0.0	0.0	0.0	0
R _{CIE}	39.92	58.74	27.99	65.07	25
J _{CIE}	81.26	-2.88	71.56	71.62	92
G _{CIE}	52.23	-42.41	13.6	44.55	162
B _{CIE}	30.57	1.41	-46.46	46.49	272

Daten für Maximalfarbe (Ma):

$LAB^*LAB^*_{Ma}$: 56 50 46

$LAB^*LCH^*_{Ma}$: 56 68 42

$lab^*rgb^*_{Ma}$: 1.0 0.25 0.0

$lab^*olv^*_{Ma}$: 1.0 0.17 0.0

Dreiecks-Helligkeit t^*

%Umfang

$u^*_{rel} = 83$

%Regularität

$g^*_{H,rel} = 72$

$g^*_{C,rel} = 57$

ORS20_95a; adaptierte CIELAB-Daten					
	$L^*=L^*_a$	a^*_a	b^*_a	$C^*_{ab,a}$	$h^*_{ab,a}$
r00j	48.88	63.91	30.45	70.79	25
r25j	55.85	50.36	45.65	67.97	42
r50j	65.45	33.86	56.12	65.54	59
r75j	75.19	17.13	66.73	68.89	76
j00g	87.03	-3.21	79.64	79.7	92
j25g	80.72	-24.03	66.82	71.01	110
j50g	70.64	-38.01	49.96	62.78	127
j75g	61.93	-50.08	35.41	61.34	145
g00b	52.8	-62.76	20.12	65.91	162
g25b	55.7	-47.65	-8.05	48.34	190
g50b	57.82	-36.91	-27.79	46.22	217
g75b	55.5	-21.19	-44.16	49.0	244
b00r	41.6	1.31	-43.27	43.3	272
b25r	29.0	24.11	-41.46	47.97	300
b50r	38.04	44.73	-27.29	52.41	329
b75r	49.48	70.07	-3.61	70.16	357

lab^*rgb^*

$i^* = 1.00$

Brillantheit i^*

$i^* = 0.80$

$i^* = 0.60$

$i^* = 0.40$

$i^* = 0.20$

$i^* = 0.00$

Ein und Ausgabe: Farbmetrisches Drucker-Reflektiv-System ORS20_95a für relativen CIELAB-Buntton $h^* = lab^*h^* = h_{ab}/360 = 59/360 = 0.164$ $u^* = r50j$
Daten für jede Farbe: lab^*ch^* und lab^*icu^*

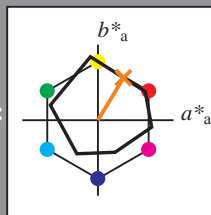
Elementar-Bunttontext:

$u^* = r50j$

Kontrastreduzierungsfaktor:

$c_R = 0.96$

Dreiecks-Helligkeit t^*



ORS20_95a; adaptierte CIELAB-Daten					
	$L^*=L^*_a$	a^*_a	b^*_a	$C^*_{ab,a}$	$h^*_{ab,a}$
O _{Ma}	48.75	62.56	37.91	73.15	31
Y _{Ma}	90.92	-9.88	83.88	84.46	97
L _{Ma}	52.69	-62.9	19.95	66.0	162
C _{Ma}	59.61	-27.85	-44.43	52.45	238
V _{Ma}	28.39	22.72	-42.42	48.13	298
M _{Ma}	49.58	71.08	-9.19	71.67	353
N _{Ma}	20.0	0.0	0.0	0.0	0
W _{Ma}	95.0	0.0	0.0	0.0	0
R _{CIE}	39.92	58.74	27.99	65.07	25
J _{CIE}	81.26	-2.88	71.56	71.62	92
G _{CIE}	52.23	-42.41	13.6	44.55	162
B _{CIE}	30.57	1.41	-46.46	46.49	272

Daten für Maximalfarbe (Ma):

$LAB^*LAB^*_{Ma}$: 65 34 56

$LAB^*LCH^*_{Ma}$: 65 66 59

$lab^*rgb^*_{Ma}$: 1.0 0.5 0.0

$lab^*olv^*_{Ma}$: 1.0 0.4 0.0

Dreiecks-Helligkeit t^*

%Umfang

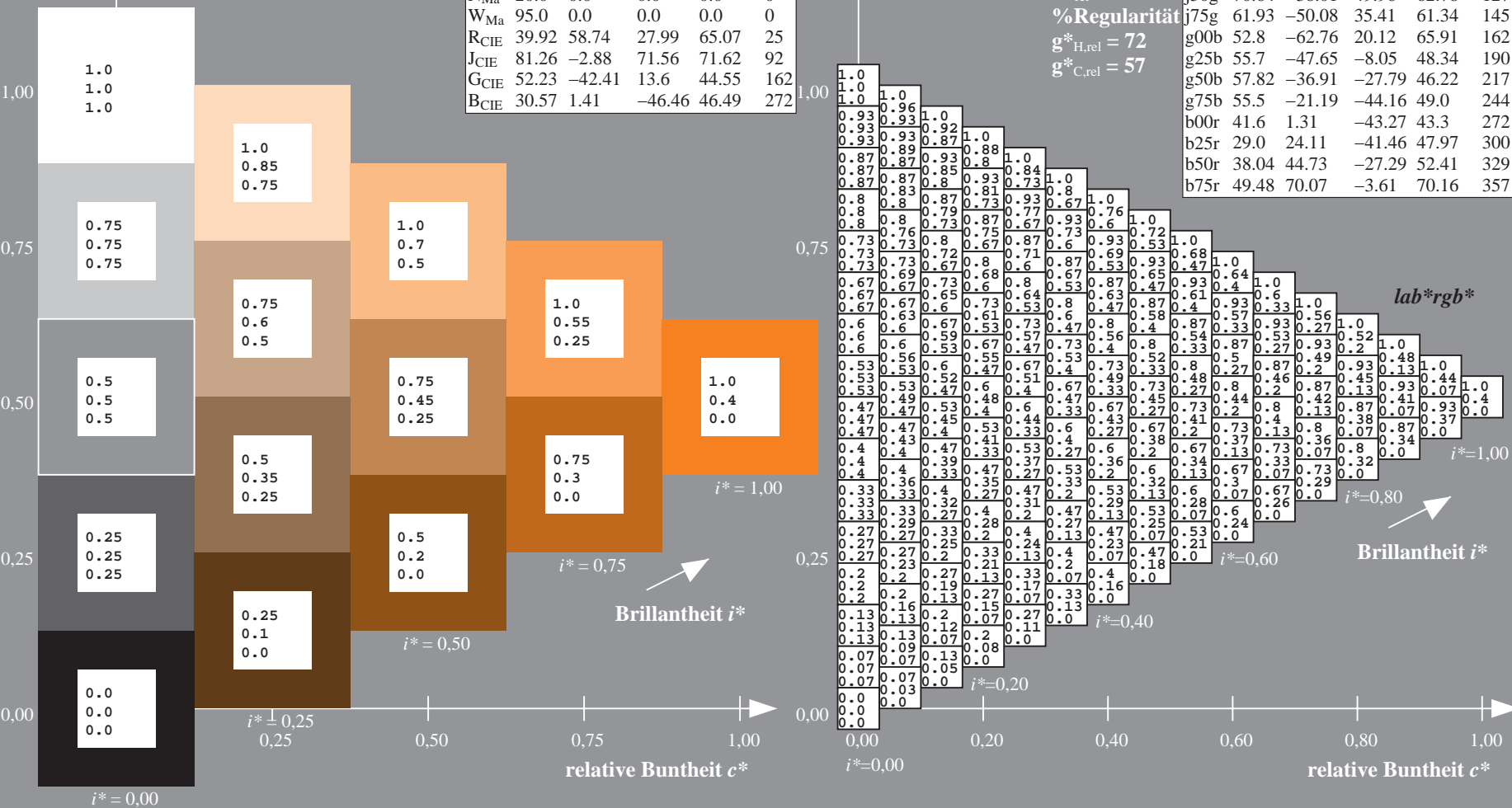
$u^*_{rel} = 83$

%Regularität

$g^*_{H,rel} = 72$

$g^*_{C,rel} = 57$

ORS20_95a; adaptierte CIELAB-Daten					
	$L^*=L^*_a$	a^*_a	b^*_a	$C^*_{ab,a}$	$h^*_{ab,a}$
r00j	48.88	63.91	30.45	70.79	25
r25j	55.85	50.36	45.65	67.97	42
r50j	65.45	33.86	56.12	65.54	59
r75j	75.19	17.13	66.73	68.89	76
j00g	87.03	-3.21	79.64	79.7	92
j25g	80.72	-24.03	66.82	71.01	110
j50g	70.64	-38.01	49.96	62.78	127
j75g	61.93	-50.08	35.41	61.34	145
g00b	52.8	-62.76	20.12	65.91	162
g25b	55.7	-47.65	-8.05	48.34	190
g50b	57.82	-36.91	-27.79	46.22	217
g75b	55.5	-21.19	-44.16	49.0	244
b00r	41.6	1.31	-43.27	43.3	272
b25r	29.0	24.11	-41.46	47.97	300
b50r	38.04	44.73	-27.29	52.41	329
b75r	49.48	70.07	-3.61	70.16	357



Ein und Ausgabe: Farbmetrisches Drucker-Reflektiv-System ORS20_95a für relativen CIELAB-Buntton $h^* = lab^*h^* = h_{ab}/360 = 76/360 = 0.21$ $u^* = r75j$
Daten für jede Farbe: lab^*ch^* und lab^*icu^*

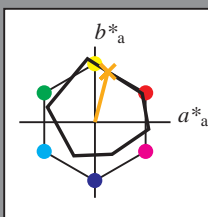
Elementar-Bunttontext:

$u^* = r75j$

Kontrastreduzierungsfaktor:

$c_R = 0.96$

Dreiecks-Helligkeit t^*



ORS20_95a; adaptierte CIELAB-Daten					
	$L^*=L_a^*$	a_a^*	b_a^*	$C^*_{ab,a}$	$h^*_{ab,a}$
O _{Ma}	48.75	62.56	37.91	73.15	31
Y _{Ma}	90.92	-9.88	83.88	84.46	97
L _{Ma}	52.69	-62.9	19.95	66.0	162
C _{Ma}	59.61	-27.85	-44.43	52.45	238
V _{Ma}	28.39	22.72	-42.42	48.13	298
M _{Ma}	49.58	71.08	-9.19	71.67	353
N _{Ma}	20.0	0.0	0.0	0.0	0
W _{Ma}	95.0	0.0	0.0	0.0	0
R _{CIE}	39.92	58.74	27.99	65.07	25
J _{CIE}	81.26	-2.88	71.56	71.62	92
G _{CIE}	52.23	-42.41	13.6	44.55	162
B _{CIE}	30.57	1.41	-46.46	46.49	272

Daten für Maximalfarbe (Ma):

$LAB^*LAB^*_{Ma}$: 75 17 67

$LAB^*LCH^*_{Ma}$: 75 69 76

$lab^*rgb^*_{Ma}$: 1.0 0.75 0.0

$lab^*olv^*_{Ma}$: 1.0 0.63 0.0

Dreiecks-Helligkeit t^*

%Umfang

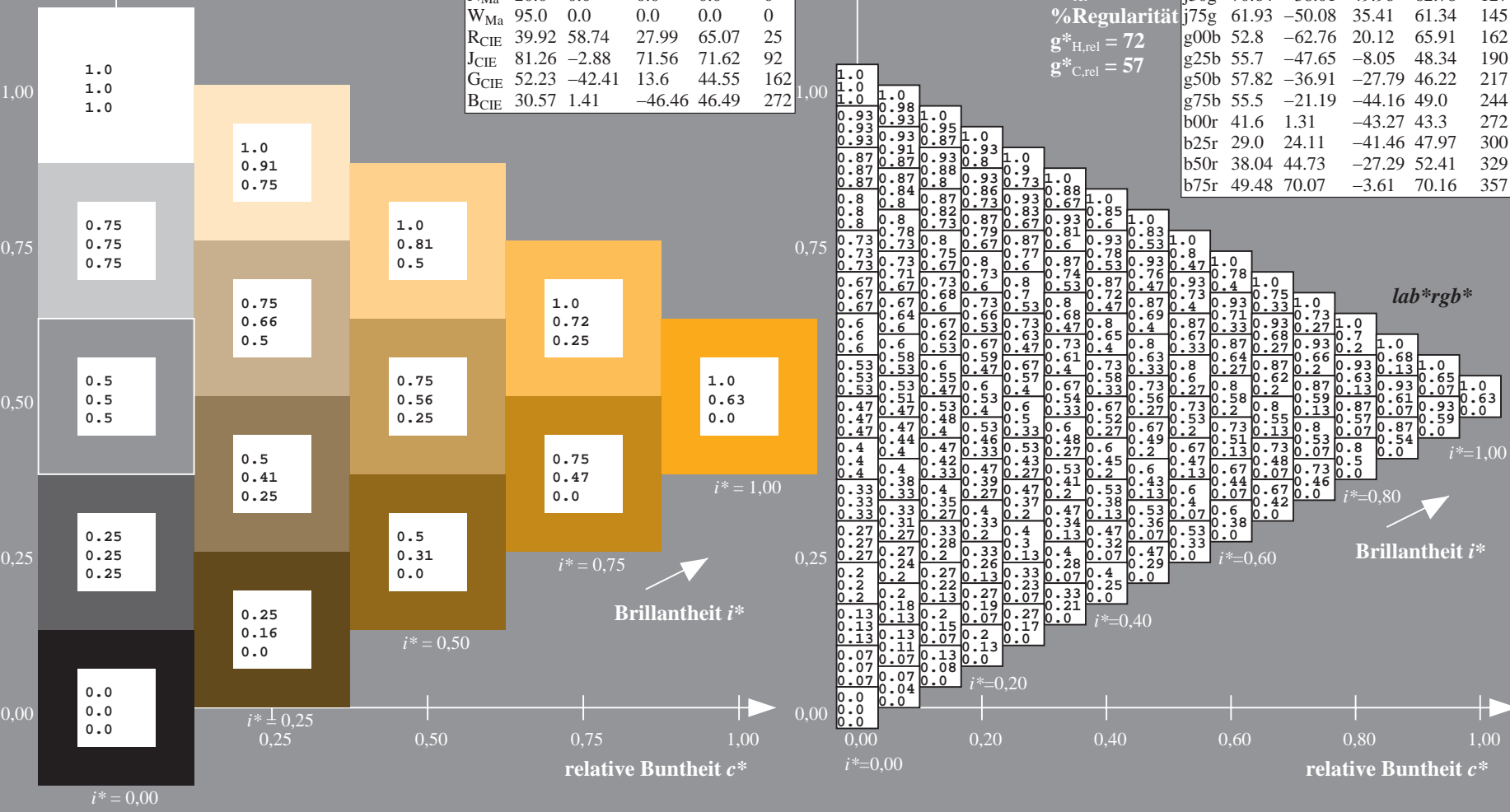
$u^*_{rel} = 83$

%Regularität

$g^*_{H,rel} = 72$

$g^*_{C,rel} = 57$

ORS20_95a; adaptierte CIELAB-Daten					
	$L^*=L_a^*$	a_a^*	b_a^*	$C^*_{ab,a}$	$h^*_{ab,a}$
r00j	48.88	63.91	30.45	70.79	25
r25j	55.85	50.36	45.65	67.97	42
r50j	65.45	33.86	56.12	65.54	59
r75j	75.19	17.13	66.73	68.89	76
j00g	87.03	-3.21	79.64	79.7	92
j25g	80.72	-24.03	66.82	71.01	110
j50g	70.64	-38.01	49.96	62.78	127
j75g	61.93	-50.08	35.41	61.34	145
g00b	52.8	-62.76	20.12	65.91	162
g25b	55.7	-47.65	-8.05	48.34	190
g50b	57.82	-36.91	-27.79	46.22	217
g75b	55.5	-21.19	-44.16	49.0	244
b00r	41.6	1.31	-43.27	43.3	272
b25r	29.0	24.11	-41.46	47.97	300
b50r	38.04	44.73	-27.29	52.41	329
b75r	49.48	70.07	-3.61	70.16	357



Ein und Ausgabe: Farbmetrisches Drucker-Reflektiv-System ORS20_95a für relativen CIELAB-Buntton $h^* = lab^*h^* = h_{ab}/360 = 92/360 = 0.256$ $u^* = j00g$
Daten für jede Farbe: lab^*ch^* und lab^*icu^*

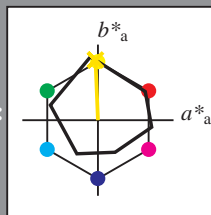
Elementar-Bunttontext:

$u^* = j00g$

Kontrastreduzierungsfaktor:

$c_R = 0.96$

Dreiecks-Helligkeit t^*



ORS20_95a; adaptierte CIELAB-Daten					
	$L^*=L^*_a$	a^*_a	b^*_a	$C^*_{ab,a}$	$h^*_{ab,a}$
O _{Ma}	48.75	62.56	37.91	73.15	31
Y _{Ma}	90.92	-9.88	83.88	84.46	97
L _{Ma}	52.69	-62.9	19.95	66.0	162
C _{Ma}	59.61	-27.85	-44.43	52.45	238
V _{Ma}	28.39	22.72	-42.42	48.13	298
M _{Ma}	49.58	71.08	-9.19	71.67	353
N _{Ma}	20.0	0.0	0.0	0.0	0
W _{Ma}	95.0	0.0	0.0	0.0	0
R _{CIE}	39.92	58.74	27.99	65.07	25
J _{CIE}	81.26	-2.88	71.56	71.62	92
G _{CIE}	52.23	-42.41	13.6	44.55	162
B _{CIE}	30.57	1.41	-46.46	46.49	272

Daten für Maximalfarbe (Ma):

$LAB^*LAB^*_{Ma}$: 87 -2 80

$LAB^*LCH^*_{Ma}$: 87 80 92

$lab^*rgb^*_{Ma}$: 1.0 1.0 0.0

$lab^*olv^*_{Ma}$: 1.0 0.91 0.0

Dreiecks-Helligkeit t^*

%Umfang

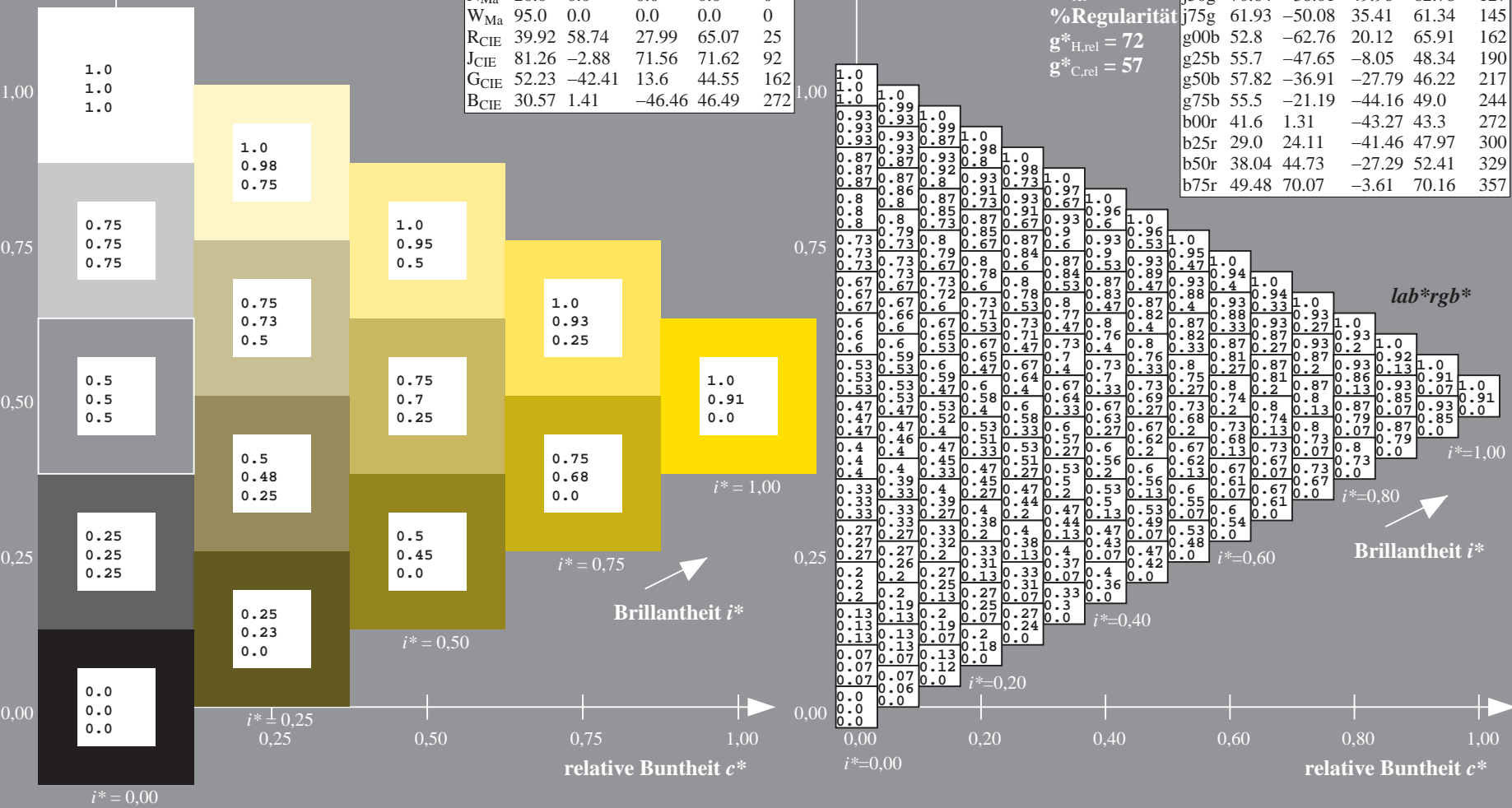
$u^*_{rel} = 83$

%Regularität

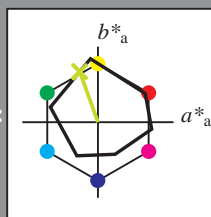
$g^*_{H,rel} = 72$

$g^*_{C,rel} = 57$

ORS20_95a; adaptierte CIELAB-Daten					
	$L^*=L^*_a$	a^*_a	b^*_a	$C^*_{ab,a}$	$h^*_{ab,a}$
r00j	48.88	63.91	30.45	70.79	25
r25j	55.85	50.36	45.65	67.97	42
r50j	65.45	33.86	56.12	65.54	59
r75j	75.19	17.13	66.73	68.89	76
j00g	87.03	-3.21	79.64	79.7	92
j25g	80.72	-24.03	66.82	71.01	110
j50g	70.64	-38.01	49.96	62.78	127
j75g	61.93	-50.08	35.41	61.34	145
g00b	52.8	-62.76	20.12	65.91	162
g25b	55.7	-47.65	-8.05	48.34	190
g50b	57.82	-36.91	-27.79	46.22	217
g75b	55.5	-21.19	-44.16	49.0	244
b00r	41.6	1.31	-43.27	43.3	272
b25r	29.0	24.11	-41.46	47.97	300
b50r	38.04	44.73	-27.29	52.41	329
b75r	49.48	70.07	-3.61	70.16	357



Ein und Ausgabe: Farbmetrisches Drucker-Reflektiv-System ORS20_95a für relativen CIELAB-Buntton $h^* = lab^*h^* = h_{ab}/360 = 110/360 = 0.305$ $u^* = j25g$
Daten für jede Farbe:
 lab^*ch^* und lab^*icu^*
Elementar-Bunttonext:
 $u^* = j25g$
Kontrastreduzierungsfaktor:
 $c_R = 0.96$
Dreiecks-Helligkeit i^*



ORS20_95a; adaptierte CIELAB-Daten					
	$L^*=L^*_a$	a^*_a	b^*_a	$C^*_{ab,a}$	$h^*_{ab,a}$
O _{Ma}	48.75	62.56	37.91	73.15	31
Y _{Ma}	90.92	-9.88	83.88	84.46	97
L _{Ma}	52.69	-62.9	19.95	66.0	162
C _{Ma}	59.61	-27.85	-44.43	52.45	238
V _{Ma}	28.39	22.72	-42.42	48.13	298
M _{Ma}	49.58	71.08	-9.19	71.67	353
N _{Ma}	20.0	0.0	0.0	0.0	0
W _{Ma}	95.0	0.0	0.0	0.0	0
R _{CIE}	39.92	58.74	27.99	65.07	25
J _{CIE}	81.26	-2.88	71.56	71.62	92
G _{CIE}	52.23	-42.41	13.6	44.55	162
B _{CIE}	30.57	1.41	-46.46	46.49	272

Daten für Maximalfarbe (Ma):

$LAB^*LAB^*_{Ma}$: 81 -23 67

$LAB^*LCH^*_{Ma}$: 81 71 110

$lab^*rgb^*_{Ma}$: 0.75 1.0 0.0

$lab^*olv^*_{Ma}$: 0.73 1.0 0.0

Dreiecks-Helligkeit i^*

%Umfang

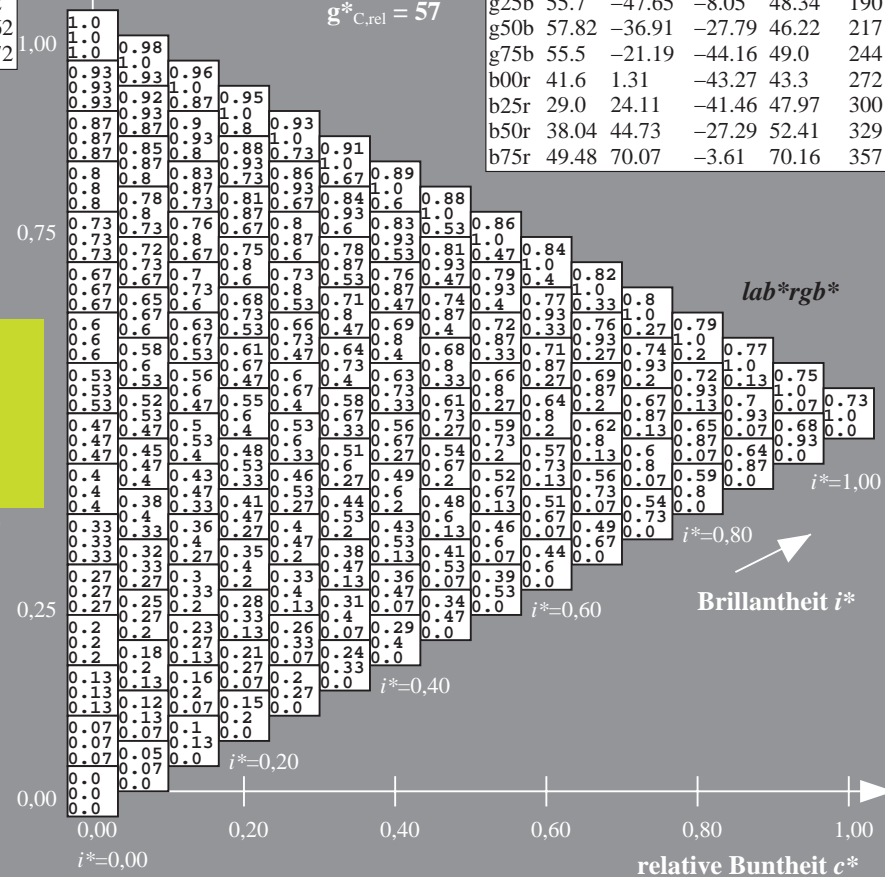
$u^*_{rel} = 83$

%Regularität

$g^*_{H,rel} = 72$

$g^*_{C,rel} = 57$

ORS20_95a; adaptierte CIELAB-Daten					
	$L^*=L^*_a$	a^*_a	b^*_a	$C^*_{ab,a}$	$h^*_{ab,a}$
r00j	48.88	63.91	30.45	70.79	25
r25j	55.85	50.36	45.65	67.97	42
r50j	65.45	33.86	56.12	65.54	59
r75j	75.19	17.13	66.73	68.89	76
j00g	87.03	-3.21	79.64	79.7	92
j25g	80.72	-24.03	66.82	71.01	110
j50g	70.64	-38.01	49.96	62.78	127
j75g	61.93	-50.08	35.41	61.34	145
g00b	52.8	-62.76	20.12	65.91	162
g25b	55.7	-47.65	-8.05	48.34	190
g50b	57.82	-36.91	-27.79	46.22	217
g75b	55.5	-21.19	-44.16	49.0	244
b00r	41.6	1.31	-43.27	43.3	272
b25r	29.0	24.11	-41.46	47.97	300
b50r	38.04	44.73	-27.29	52.41	329
b75r	49.48	70.07	-3.61	70.16	357



lab^*rgb^*

$i^* = 1.00$

Brillantheit i^*

$i^* = 0.80$

$i^* = 0.60$

$i^* = 0.40$

$i^* = 0.20$

$i^* = 0.00$

Ein und Ausgabe: Farbmetrisches Drucker-Reflektiv-System ORS20_95a für relativen CIELAB-Buntton $h^* = lab^*h^* = h_{ab}/360 = 127/360 = 0.354$ $u^* = j50g$
Daten für jede Farbe: lab^*ch^* und lab^*icu^*

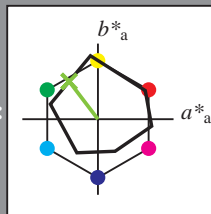
Elementar-Bunttontext:

$u^* = j50g$

Kontrastreduzierungsfaktor:

$c_R = 0.96$

Dreiecks-Helligkeit i^*



ORS20_95a; adaptierte CIELAB-Daten					
	$L^*=L^*_a$	a^*_a	b^*_a	$C^*_{ab,a}$	$h^*_{ab,a}$
O _{Ma}	48.75	62.56	37.91	73.15	31
Y _{Ma}	90.92	-9.88	83.88	84.46	97
L _{Ma}	52.69	-62.9	19.95	66.0	162
C _{Ma}	59.61	-27.85	-44.43	52.45	238
V _{Ma}	28.39	22.72	-42.42	48.13	298
M _{Ma}	49.58	71.08	-9.19	71.67	353
N _{Ma}	20.0	0.0	0.0	0.0	0
W _{Ma}	95.0	0.0	0.0	0.0	0
R _{CIE}	39.92	58.74	27.99	65.07	25
J _{CIE}	81.26	-2.88	71.56	71.62	92
G _{CIE}	52.23	-42.41	13.6	44.55	162
B _{CIE}	30.57	1.41	-46.46	46.49	272

Daten für Maximalfarbe (Ma):

$LAB^*LAB^*_{Ma}$: 71 -37 50

$LAB^*LCH^*_{Ma}$: 71 63 127

$lab^*rgb^*_{Ma}$: 0.5 1.0 0.0

$lab^*olv^*_{Ma}$: 0.47 1.0 0.0

Dreiecks-Helligkeit i^*

%Umfang

$u^*_{rel} = 83$

%Regularität

$g^*_{H,rel} = 72$

$g^*_{C,rel} = 57$

ORS20_95a; adaptierte CIELAB-Daten					
	$L^*=L^*_a$	a^*_a	b^*_a	$C^*_{ab,a}$	$h^*_{ab,a}$
r00j	48.88	63.91	30.45	70.79	25
r25j	55.85	50.36	45.65	67.97	42
r50j	65.45	33.86	56.12	65.54	59
r75j	75.19	17.13	66.73	68.89	76
j00g	87.03	-3.21	79.64	79.7	92
j25g	80.72	-24.03	66.82	71.01	110
j50g	70.64	-38.01	49.96	62.78	127
j75g	61.93	-50.08	35.41	61.34	145
g00b	52.8	-62.76	20.12	65.91	162
g25b	55.7	-47.65	-8.05	48.34	190
g50b	57.82	-36.91	-27.79	46.22	217
g75b	55.5	-21.19	-44.16	49.0	244
b00r	41.6	1.31	-43.27	43.3	272
b25r	29.0	24.11	-41.46	47.97	300
b50r	38.04	44.73	-27.29	52.41	329
b75r	49.48	70.07	-3.61	70.16	357

lab^*rgb^*

$i^* = 1.00$

Brillantheit i^*

$i^* = 0.80$

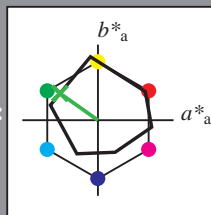
$i^* = 0.60$

$i^* = 0.40$

$i^* = 0.20$

$i^* = 0.00$

Ein und Ausgabe: Farbmetrisches Drucker-Reflektiv-System ORS20_95a für relativen CIELAB-Buntton $h^* = lab^*h^* = h_{ab}/360 = 145/360 = 0.402$ $u^* = j75g$
Daten für jede Farbe: lab^*ch^* und lab^*icu^*
Elementar-Bunttontext: $u^* = j75g$
Kontrastreduzierungsfaktor: $c_R = 0.96$
Dreiecks-Helligkeit i^*



ORS20_95a; adaptierte CIELAB-Daten					
	$L^*=L^*_a$	a^*_a	b^*_a	$C^*_{ab,a}$	$h^*_{ab,a}$
O _{Ma}	48.75	62.56	37.91	73.15	31
Y _{Ma}	90.92	-9.88	83.88	84.46	97
L _{Ma}	52.69	-62.9	19.95	66.0	162
C _{Ma}	59.61	-27.85	-44.43	52.45	238
V _{Ma}	28.39	22.72	-42.42	48.13	298
M _{Ma}	49.58	71.08	-9.19	71.67	353
N _{Ma}	20.0	0.0	0.0	0.0	0
W _{Ma}	95.0	0.0	0.0	0.0	0
R _{CIE}	39.92	58.74	27.99	65.07	25
J _{CIE}	81.26	-2.88	71.56	71.62	92
G _{CIE}	52.23	-42.41	13.6	44.55	162
B _{CIE}	30.57	1.41	-46.46	46.49	272

Daten für Maximalfarbe (Ma):

$LAB^*LAB^*_{Ma}$: 62 -49 35

$LAB^*LCH^*_{Ma}$: 62 61 145

$lab^*rgb^*_{Ma}$: 0.25 1.0 0.0

$lab^*olv^*_{Ma}$: 0.24 1.0 0.0

Dreiecks-Helligkeit i^*

%Umfang

$u^*_{rel} = 83$

%Regularität

$g^*_{H,rel} = 72$

$g^*_{C,rel} = 57$

ORS20_95a; adaptierte CIELAB-Daten					
	$L^*=L^*_a$	a^*_a	b^*_a	$C^*_{ab,a}$	$h^*_{ab,a}$
r00j	48.88	63.91	30.45	70.79	25
r25j	55.85	50.36	45.65	67.97	42
r50j	65.45	33.86	56.12	65.54	59
r75j	75.19	17.13	66.73	68.89	76
j00g	87.03	-3.21	79.64	79.7	92
j25g	80.72	-24.03	66.82	71.01	110
j50g	70.64	-38.01	49.96	62.78	127
j75g	61.93	-50.08	35.41	61.34	145
g00b	52.8	-62.76	20.12	65.91	162
g25b	55.7	-47.65	-8.05	48.34	190
g50b	57.82	-36.91	-27.79	46.22	217
g75b	55.5	-21.19	-44.16	49.0	244
b00r	41.6	1.31	-43.27	43.3	272
b25r	29.0	24.11	-41.46	47.97	300
b50r	38.04	44.73	-27.29	52.41	329
b75r	49.48	70.07	-3.61	70.16	357

lab^*rgb^*

$i^* = 1.00$

Brillantheit i^*

$i^* = 0.80$

$i^* = 0.60$

$i^* = 0.40$

$i^* = 0.20$

$i^* = 0.00$

100



The diagram illustrates the relationship between Brillantheit (i^*) and relative Buntheit (c^*). The top part shows a 5x5 grid of Brillantheit values (i^*) ranging from 0.0 to 1.0. The bottom part shows a horizontal axis for relative Buntheit (c^*) with tick marks at 0.60, 0.80, and 1.00. An arrow points from the Brillantheit grid to the relative Buntheit axis, indicating that Brillantheit is a function of relative Buntheit.

BAM-Registrierung: 20080701-Dg99/10L/L99G00NA.PS/ .TXTBAM-Material: Code=rh4ta
- Anwendung für Beurteilung und Messung von Drucker- oder Monitorsystemen

Eingabe: 000n / w / nnn0 / www set...
Ausgabe: ->cmyn5* setcmykcolor

Ein und Ausgabe: Farbmetrisches Drucker-Reflektiv-System ORS20_95a für relativen CIELAB-Buntton $h^* = lab^*h^* = h_{ab}/360 = 190/360 = 0.527$ $u^* = g25b$
Daten für jede Farbe: lab^*ch^* und lab^*icu^*

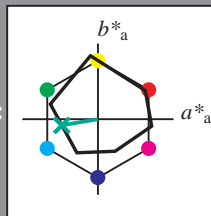
Elementar-Bunttontext:

$u^* = g25b$

Kontrastreduzierungsfaktor:

$c_R = 0.96$

Dreiecks-Helligkeit i^*



ORS20_95a; adaptierte CIELAB-Daten					
	$L^*=L_a^*$	a_a^*	b_a^*	$C^*_{ab,a}$	$h^*_{ab,a}$
O _{Ma}	48.75	62.56	37.91	73.15	31
Y _{Ma}	90.92	-9.88	83.88	84.46	97
L _{Ma}	52.69	-62.9	19.95	66.0	162
C _{Ma}	59.61	-27.85	-44.43	52.45	238
V _{Ma}	28.39	22.72	-42.42	48.13	298
M _{Ma}	49.58	71.08	-9.19	71.67	353
N _{Ma}	20.0	0.0	0.0	0.0	0
W _{Ma}	95.0	0.0	0.0	0.0	0
R _{CIE}	39.92	58.74	27.99	65.07	25
J _{CIE}	81.26	-2.88	71.56	71.62	92
G _{CIE}	52.23	-42.41	13.6	44.55	162
B _{CIE}	30.57	1.41	-46.46	46.49	272

Daten für Maximalfarbe (Ma):

$LAB^*LAB^*_{Ma}$: 56 -47 -7

$LAB^*LCH^*_{Ma}$: 56 48 190

$lab^*rgb^*_{Ma}$: 0.0 1.0 0.5

$lab^*olv^*_{Ma}$: 0.0 1.0 0.44

Dreiecks-Helligkeit i^*

%Umfang

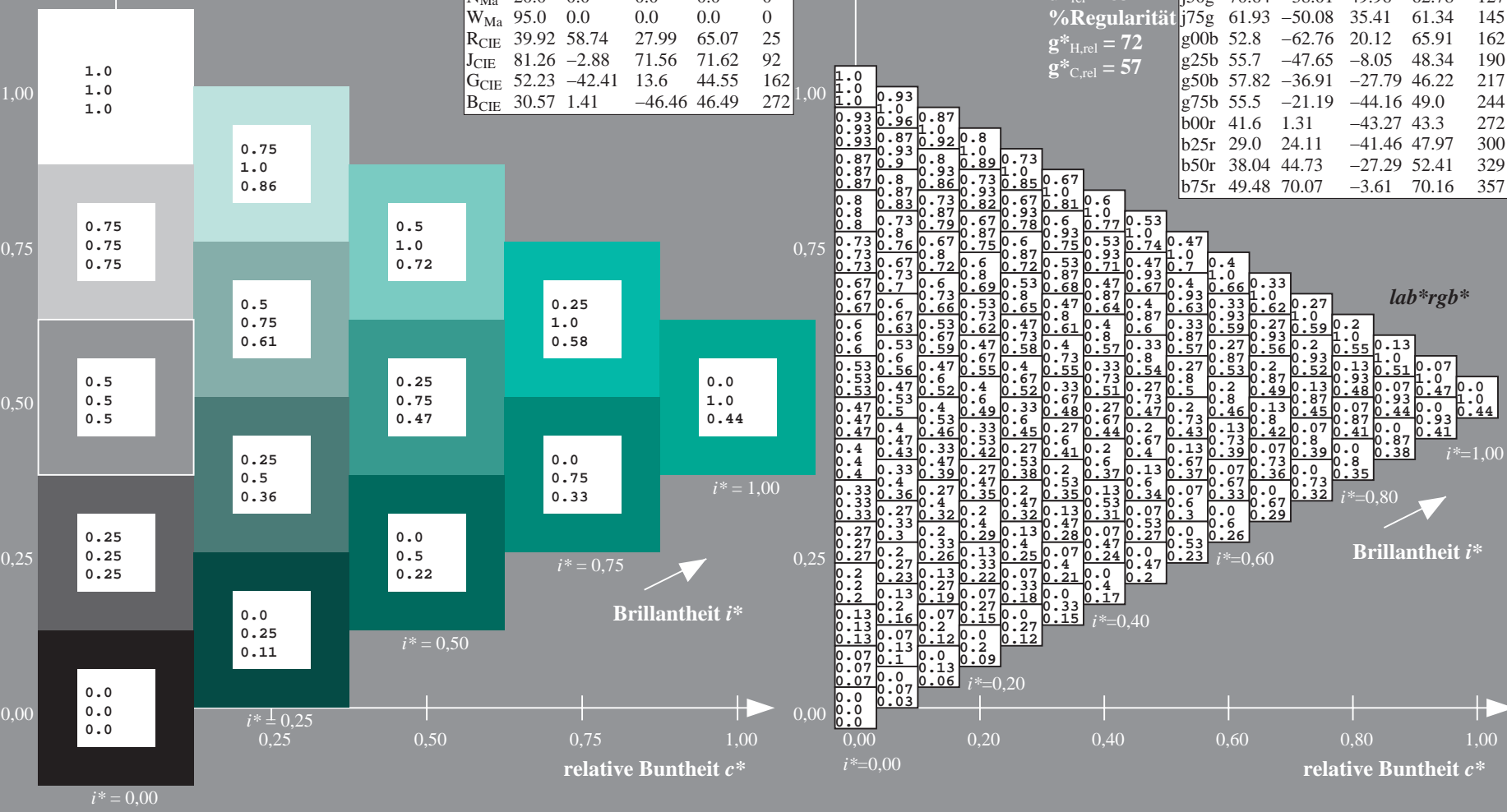
$u^*_{rel} = 83$

%Regularität

$g^*_{H,rel} = 72$

$g^*_{C,rel} = 57$

ORS20_95a; adaptierte CIELAB-Daten					
	$L^*=L_a^*$	a_a^*	b_a^*	$C^*_{ab,a}$	$h^*_{ab,a}$
r00j	48.88	63.91	30.45	70.79	25
r25j	55.85	50.36	45.65	67.97	42
r50j	65.45	33.86	56.12	65.54	59
r75j	75.19	17.13	66.73	68.89	76
j00g	87.03	-3.21	79.64	79.7	92
j25g	80.72	-24.03	66.82	71.01	110
j50g	70.64	-50.08	49.96	62.78	127
j75g	61.93	-38.01	35.41	61.34	145
g00b	52.8	-62.76	20.12	65.91	162
g25b	55.7	-47.65	-8.05	48.34	190
g50b	57.82	-36.91	-27.79	46.22	217
g75b	55.5	-21.19	-44.16	49.0	244
b00r	41.6	1.31	-43.27	43.3	272
b25r	29.0	24.11	-41.46	47.97	300
b50r	38.04	44.73	-27.29	52.41	329
b75r	49.48	70.07	-3.61	70.16	357



Ein und Ausgabe: Farbmetrisches Drucker-Reflektiv-System ORS20_95a für relativen CIELAB-Buntton $h^* = lab^*h^* = h_{ab}/360 = 217/360 = 0.603$ $u^* = g50b$

Daten für jede Farbe:

lab^*ch^* und lab^*icu^*

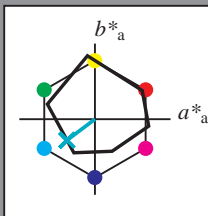
Elementar-Bunttontext:

$u^* = g50b$

Kontrastreduzierungsfaktor:

$c_R = 0.96$

Dreiecks-Helligkeit i^*



ORS20_95a; adaptierte CIELAB-Daten

	$L^*=L^*_a$	a^*_a	b^*_a	$C^*_{ab,a}$	$h^*_{ab,a}$
O _{Ma}	48.75	62.56	37.91	73.15	31
Y _{Ma}	90.92	-9.88	83.88	84.46	97
L _{Ma}	52.69	-62.9	19.95	66.0	162
C _{Ma}	59.61	-27.85	-44.43	52.45	238
V _{Ma}	28.39	22.72	-42.42	48.13	298
M _{Ma}	49.58	71.08	-9.19	71.67	353
N _{Ma}	20.0	0.0	0.0	0.0	0
W _{Ma}	95.0	0.0	0.0	0.0	0
R _{CIE}	39.92	58.74	27.99	65.07	25
J _{CIE}	81.26	-2.88	71.56	71.62	92
G _{CIE}	52.23	-42.41	13.6	44.55	162
B _{CIE}	30.57	1.41	-46.46	46.49	272

Daten für Maximalfarbe (Ma):

$LAB^*LAB^*_{Ma}$: 58 -36 -27

$LAB^*LCH^*_{Ma}$: 58 46 217

$lab^*rgb^*_{Ma}$: 0.0 1.0 1.0

$lab^*olv^*_{Ma}$: 0.0 1.0 0.74

Dreiecks-Helligkeit i^*

%Umfang

$u^*_{rel} = 83$

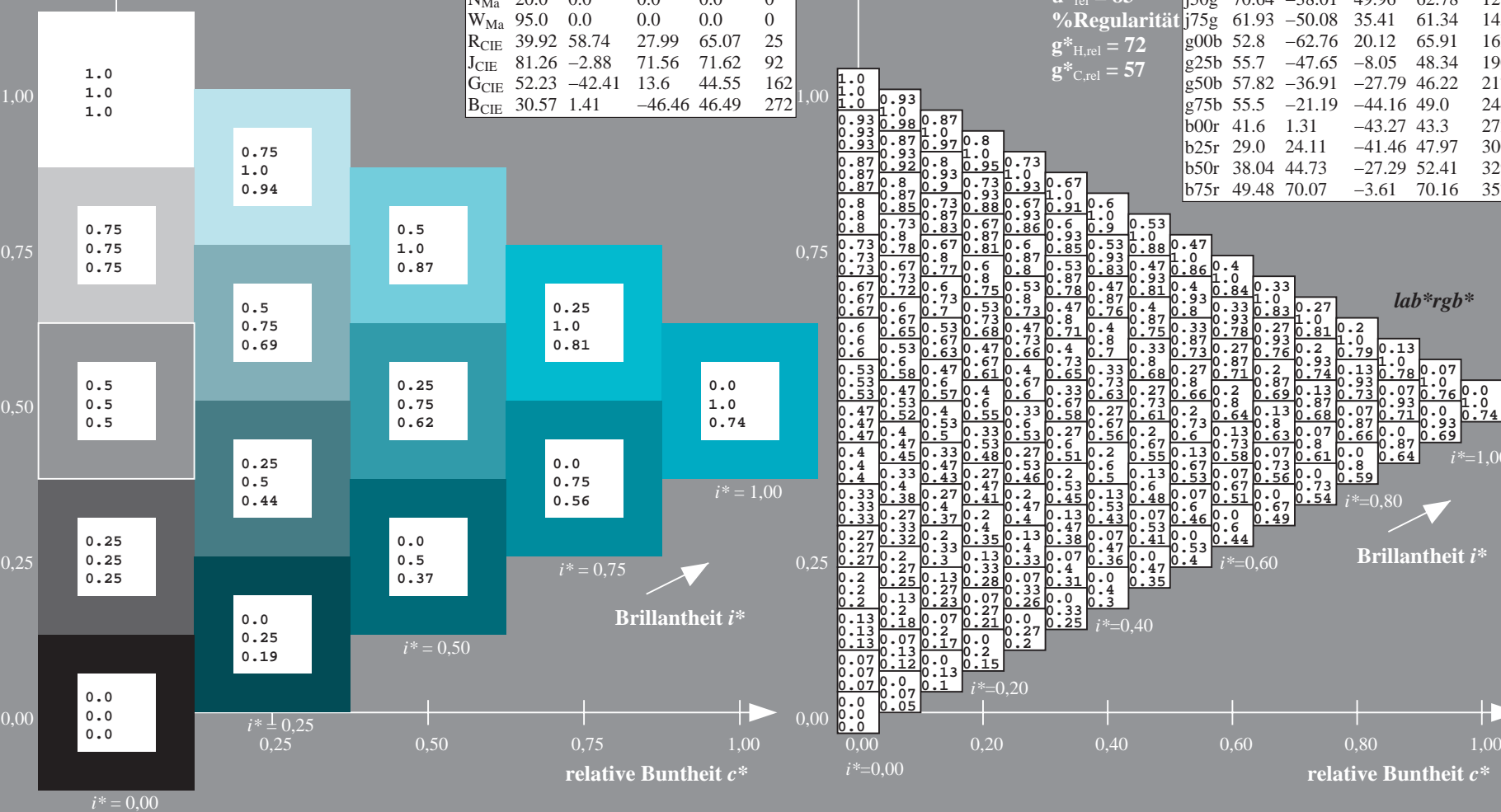
%Regularität

$g^*_{H,rel} = 72$

$g^*_{C,rel} = 57$

ORS20_95a; adaptierte CIELAB-Daten

	$L^*=L^*_a$	a^*_a	b^*_a	$C^*_{ab,a}$	$h^*_{ab,a}$
r00j	48.88	63.91	30.45	70.79	25
r25j	55.85	50.36	45.65	67.97	42
r50j	65.45	33.86	56.12	65.54	59
r75j	75.19	17.13	66.73	68.89	76
j00g	87.03	-3.21	79.64	79.7	92
j25g	80.72	-24.03	66.82	71.01	110
j50g	70.64	-50.08	49.96	62.78	127
j75g	61.93	-38.01	35.41	61.34	145
g00b	52.8	-62.76	20.12	65.91	162
g25b	55.7	-47.65	-8.05	48.34	190
g50b	57.82	-36.91	-27.79	46.22	217
g75b	55.5	-21.19	-44.16	49.0	244
b00r	41.6	1.31	-43.27	43.3	272
b25r	29.0	24.11	-41.46	47.97	300
b50r	38.04	44.73	-27.29	52.41	329
b75r	49.48	70.07	-3.61	70.16	357



Ein und Ausgabe: Farbmetrisches Drucker-Reflektiv-System ORS20_95a für relativen CIELAB-Buntton $h^* = lab^*h^* = h_{ab}/360 = 244/360 = 0.679$ $u^* = g75b$

Daten für jede Farbe:

lab^*ch^* und lab^*icu^*

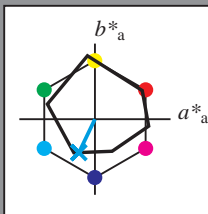
Elementar-Bunttontext:

$u^* = g75b$

Kontrastreduzierungsfaktor:

$c_R = 0.96$

Dreiecks-Helligkeit i^*



ORS20_95a; adaptierte CIELAB-Daten

	$L^*=L_a^*$	a_a^*	b_a^*	$C^*_{ab,a}$	$h^*_{ab,a}$
O _{Ma}	48.75	62.56	37.91	73.15	31
Y _{Ma}	90.92	-9.88	83.88	84.46	97
L _{Ma}	52.69	-62.9	19.95	66.0	162
C _{Ma}	59.61	-27.85	-44.43	52.45	238
V _{Ma}	28.39	22.72	-42.42	48.13	298
M _{Ma}	49.58	71.08	-9.19	71.67	353
N _{Ma}	20.0	0.0	0.0	0.0	0
W _{Ma}	95.0	0.0	0.0	0.0	0
R _{CIE}	39.92	58.74	27.99	65.07	25
J _{CIE}	81.26	-2.88	71.56	71.62	92
G _{CIE}	52.23	-42.41	13.6	44.55	162
B _{CIE}	30.57	1.41	-46.46	46.49	272

Daten für Maximalfarbe (Ma):

$LAB^*LAB^*_{Ma}$: 55 -20 -43

$LAB^*LCH^*_{Ma}$: 55 49 244

$lab^*rgb^*_{Ma}$: 0.0 0.5 1.0

$lab^*olv^*_{Ma}$: 0.0 0.87 1.0

Dreiecks-Helligkeit i^*

%Umfang

$u^*_{rel} = 83$

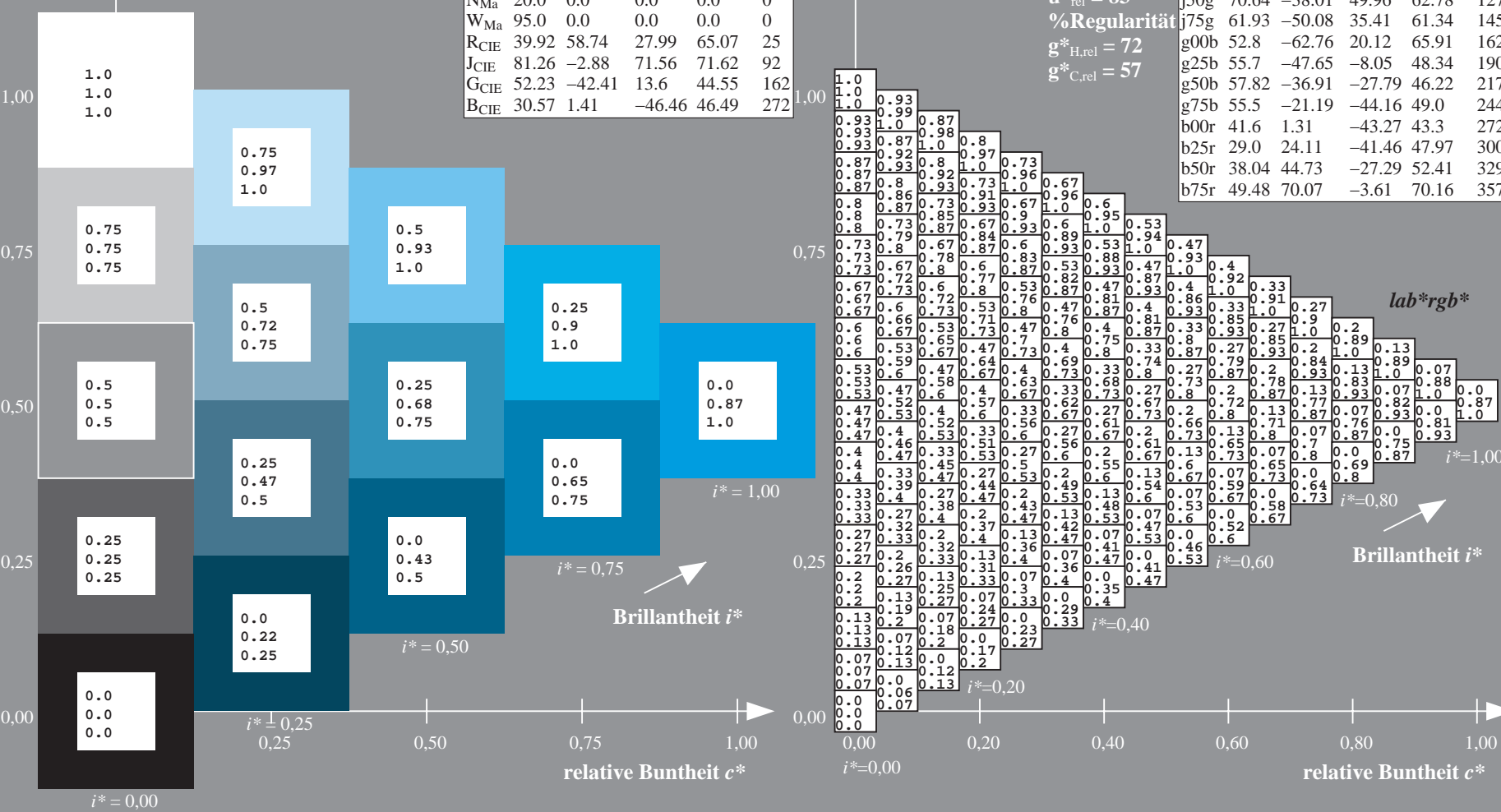
%Regularität

$g^*_{H,rel} = 72$

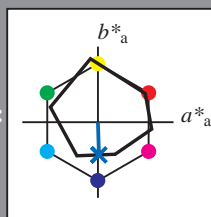
$g^*_{C,rel} = 57$

ORS20_95a; adaptierte CIELAB-Daten

	$L^*=L_a^*$	a_a^*	b_a^*	$C^*_{ab,a}$	$h^*_{ab,a}$
r00j	48.88	63.91	30.45	70.79	25
r25j	55.85	50.36	45.65	67.97	42
r50j	65.45	33.86	56.12	65.54	59
r75j	75.19	17.13	66.73	68.89	76
j00g	87.03	-3.21	79.64	79.7	92
j25g	80.72	-24.03	66.82	71.01	110
j50g	70.64	-38.01	49.96	62.78	127
j75g	61.93	-50.08	35.41	61.34	145
g00b	52.8	-62.76	20.12	65.91	162
g25b	55.7	-47.65	-8.05	48.34	190
g50b	57.82	-36.91	-27.79	46.22	217
g75b	55.5	-21.19	-44.16	49.0	244
b00r	41.6	1.31	-43.27	43.3	272
b25r	29.0	24.11	-41.46	47.97	300
b50r	38.04	44.73	-27.29	52.41	329
b75r	49.48	70.07	-3.61	70.16	357



Ein und Ausgabe: Farbmetrisches Drucker-Reflektiv-System ORS20_95a für relativen CIELAB-Buntton $h^* = lab^*h^* = h_{ab}/360 = 272/360 = 0.755$ $u^* = b00r$
Daten für jede Farbe: lab^*ch^* und lab^*icu^*
Elementar-Bunttontext: $u^* = b00r$
Kontrastreduzierungsfaktor: $c_R = 0.96$
Dreiecks-Helligkeit i^*



ORS20_95a; adaptierte CIELAB-Daten					
	$L^*=L^*_a$	a^*_a	b^*_a	$C^*_{ab,a}$	$h^*_{ab,a}$
O _{Ma}	48.75	62.56	37.91	73.15	31
Y _{Ma}	90.92	-9.88	83.88	84.46	97
L _{Ma}	52.69	-62.9	19.95	66.0	162
C _{Ma}	59.61	-27.85	-44.43	52.45	238
V _{Ma}	28.39	22.72	-42.42	48.13	298
M _{Ma}	49.58	71.08	-9.19	71.67	353
N _{Ma}	20.0	0.0	0.0	0.0	0
W _{Ma}	95.0	0.0	0.0	0.0	0
R _{CIE}	39.92	58.74	27.99	65.07	25
J _{CIE}	81.26	-2.88	71.56	71.62	92
G _{CIE}	52.23	-42.41	13.6	44.55	162
B _{CIE}	30.57	1.41	-46.46	46.49	272

Daten für Maximalfarbe (Ma):

$LAB^*LAB^*_{Ma}$: 42 1 -42

$LAB^*LCH^*_{Ma}$: 42 43 272

$lab^*rgb^*_{Ma}$: 0.0 0.0 1.0

$lab^*olv^*_{Ma}$: 0.0 0.42 1.0

Dreiecks-Helligkeit i^*

%Umfang

$u^*_{rel} = 83$

%Regularität

$g^*_{H,rel} = 72$

$g^*_{C,rel} = 57$

ORS20_95a; adaptierte CIELAB-Daten					
	$L^*=L^*_a$	a^*_a	b^*_a	$C^*_{ab,a}$	$h^*_{ab,a}$
r00j	48.88	63.91	30.45	70.79	25
r25j	55.85	50.36	45.65	67.97	42
r50j	65.45	33.86	56.12	65.54	59
r75j	75.19	17.13	66.73	68.89	76
j00g	87.03	-3.21	79.64	79.7	92
j25g	80.72	-24.03	66.82	71.01	110
j50g	70.64	-38.01	49.96	62.78	127
j75g	61.93	-50.08	35.41	61.34	145
g00b	52.8	-62.76	20.12	65.91	162
g25b	55.7	-47.65	-8.05	48.34	190
g50b	57.82	-36.91	-27.79	46.22	217
g75b	55.5	-21.19	-44.16	49.0	244
b00r	41.6	1.31	-43.27	43.3	272
b25r	29.0	24.11	-41.46	47.97	300
b50r	38.04	44.73	-27.29	52.41	329
b75r	49.48	70.07	-3.61	70.16	357

lab^*rgb^*

$i^*=1.00$

Brillantheit i^*

$i^*=0.80$

$i^*=0.60$

$i^*=0.40$

$i^*=0.20$

$i^*=0.00$

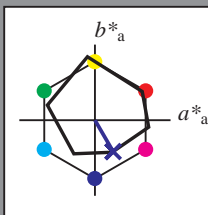
Ein und Ausgabe: Farbmetrisches Drucker-Reflektiv-System ORS20_95a für relativen CIELAB-Buntton $h^* = \text{lab}^*h^* = h_{ab}/360 = 300/360 = 0.834$ $u^* = b25r$

Daten für jede Farbe:
 lab^*tch^* und lab^*icu^*

Elementar-Bunttontext:
 $u^* = b25r$

Kontrastreduzierungsfaktor:
 $c_R = 0.96$

Dreiecks-Helligkeit t^*



ORS20_95a; adaptierte CIELAB-Daten					
	$L^*=L^*_a$	a^*_a	b^*_a	$C^*_{ab,a}$	$h^*_{ab,a}$
O _{Ma}	48.75	62.56	37.91	73.15	31
Y _{Ma}	90.92	-9.88	83.88	84.46	97
L _{Ma}	52.69	-62.9	19.95	66.0	162
C _{Ma}	59.61	-27.85	-44.43	52.45	238
V _{Ma}	28.39	22.72	-42.42	48.13	298
M _{Ma}	49.58	71.08	-9.19	71.67	353
N _{Ma}	20.0	0.0	0.0	0.0	0
W _{Ma}	95.0	0.0	0.0	0.0	0
R _{CIE}	39.92	58.74	27.99	65.07	25
J _{CIE}	81.26	-2.88	71.56	71.62	92
G _{CIE}	52.23	-42.41	13.6	44.55	162
B _{CIE}	30.57	1.41	-46.46	46.49	272

Daten für Maximalfarbe (Ma):

$\text{LAB}^*\text{LAB}^*_{\text{Ma}}$: 29 24 -40

$\text{LAB}^*\text{LCH}^*_{\text{Ma}}$: 29 48 300

$\text{lab}^*\text{rgb}^*_{\text{Ma}}$: 0.5 0.0 1.0

$\text{lab}^*\text{olv}^*_{\text{Ma}}$: 0.03 0.0 1.0

Dreiecks-Helligkeit t^*

%Umfang

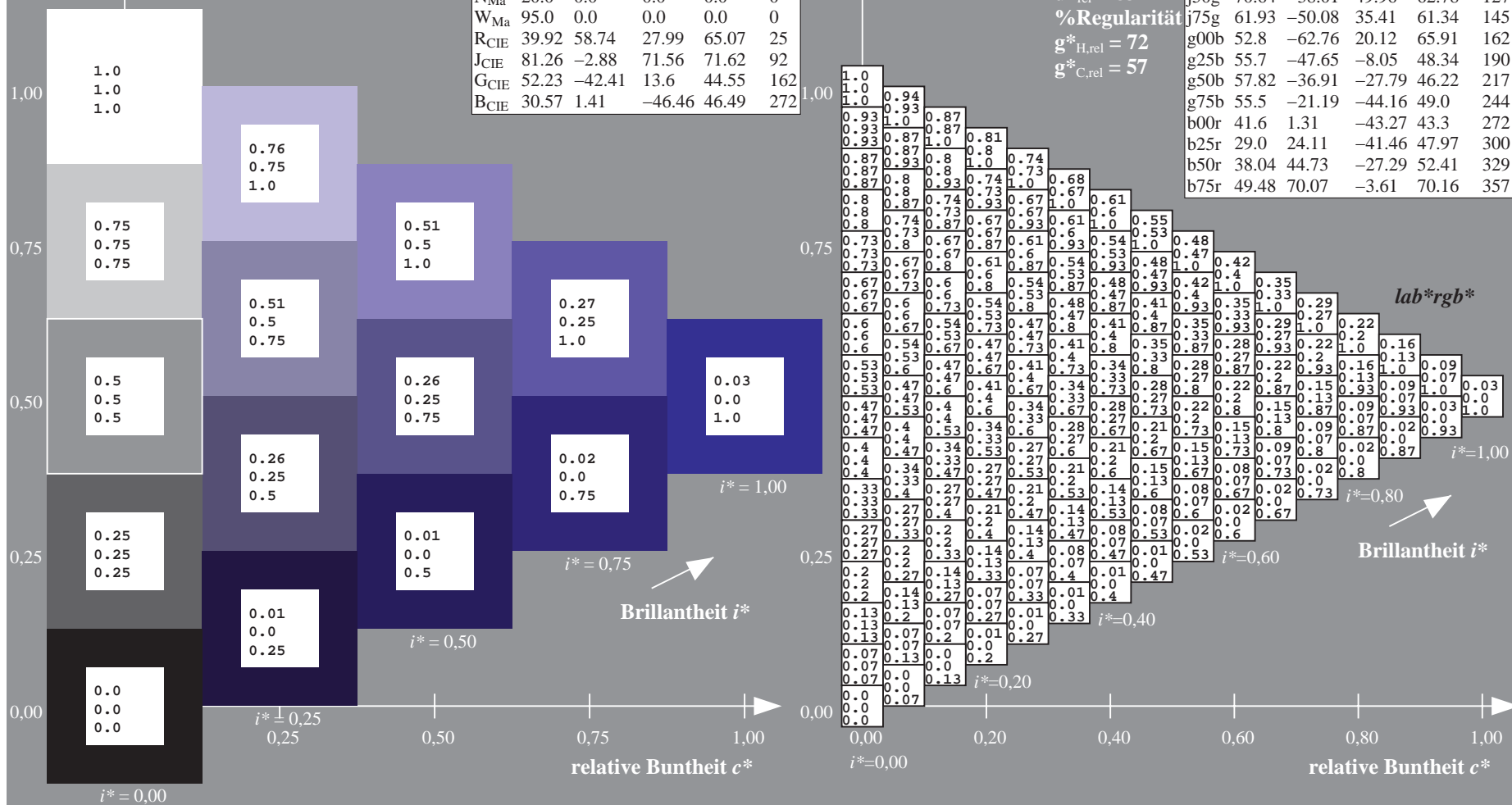
$u^*_{\text{rel}} = 83$

%Regularität

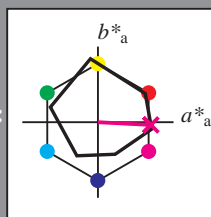
$g^*_{H,\text{rel}} = 72$

$g^*_{C,\text{rel}} = 57$

ORS20_95a; adaptierte CIELAB-Daten					
	$L^*=L^*_a$	a^*_a	b^*_a	$C^*_{ab,a}$	$h^*_{ab,a}$
r00j	48.88	63.91	30.45	70.79	25
r25j	55.85	50.36	45.65	67.97	42
r50j	65.45	33.86	56.12	65.54	59
r75j	75.19	17.13	66.73	68.89	76
j00g	87.03	-3.21	79.64	79.7	92
j25g	80.72	-24.03	66.82	71.01	110
j50g	70.64	-50.08	49.96	62.78	127
j75g	61.93	-38.01	35.41	61.34	145
g00b	52.8	-62.76	20.12	65.91	162
g25b	55.7	-47.65	-8.05	48.34	190
g50b	57.82	-36.91	-27.79	46.22	217
g75b	55.5	-21.19	-44.16	49.0	244
b00r	41.6	1.31	-43.27	43.3	272
b25r	29.0	24.11	-41.46	47.97	300
b50r	38.04	44.73	-27.29	52.41	329
b75r	49.48	70.07	-3.61	70.16	357



Ein und Ausgabe: Farbmimetrisches Drucker-Reflektiv-System ORS20_95a für relativen CIELAB-Buntton $h^* = lab^*h^* = h_{ab}/360 = 357/360 = 0.992$ $u^* = b75r$
Daten für jede Farbe:
 lab^*ch^* und lab^*icu^*
Elementar-Bunttonstext:
 $u^* = b75r$
Kontrastreduzierungsfaktor:
 $c_R = 0.96$
Dreiecks-Helligkeit i^*



ORS20_95a; adaptierte CIELAB-Daten					
	$L^*=L^*_a$	a^*_a	b^*_a	$C^*_{ab,a}$	$h^*_{ab,a}$
O _{Ma}	48.75	62.56	37.91	73.15	31
Y _{Ma}	90.92	-9.88	83.88	84.46	97
L _{Ma}	52.69	-62.9	19.95	66.0	162
C _{Ma}	59.61	-27.85	-44.43	52.45	238
V _{Ma}	28.39	22.72	-42.42	48.13	298
M _{Ma}	49.58	71.08	-9.19	71.67	353
N _{Ma}	20.0	0.0	0.0	0.0	0
W _{Ma}	95.0	0.0	0.0	0.0	0
R _{CIE}	39.92	58.74	27.99	65.07	25
J _{CIE}	81.26	-2.88	71.56	71.62	92
G _{CIE}	52.23	-42.41	13.6	44.55	162
B _{CIE}	30.57	1.41	-46.46	46.49	272

Daten für Maximalfarbe (Ma):

$LAB^*LAB^*_{Ma}$: 49 70 -3

$LAB^*LCH^*_{Ma}$: 49 70 357

$lab^*rgb^*_{Ma}$: 1.0 0.0 0.5

$lab^*olv^*_{Ma}$: 1.0 0.0 0.88

Dreiecks-Helligkeit i^*

%Umfang

$u^*_{rel} = 83$

%Regularität

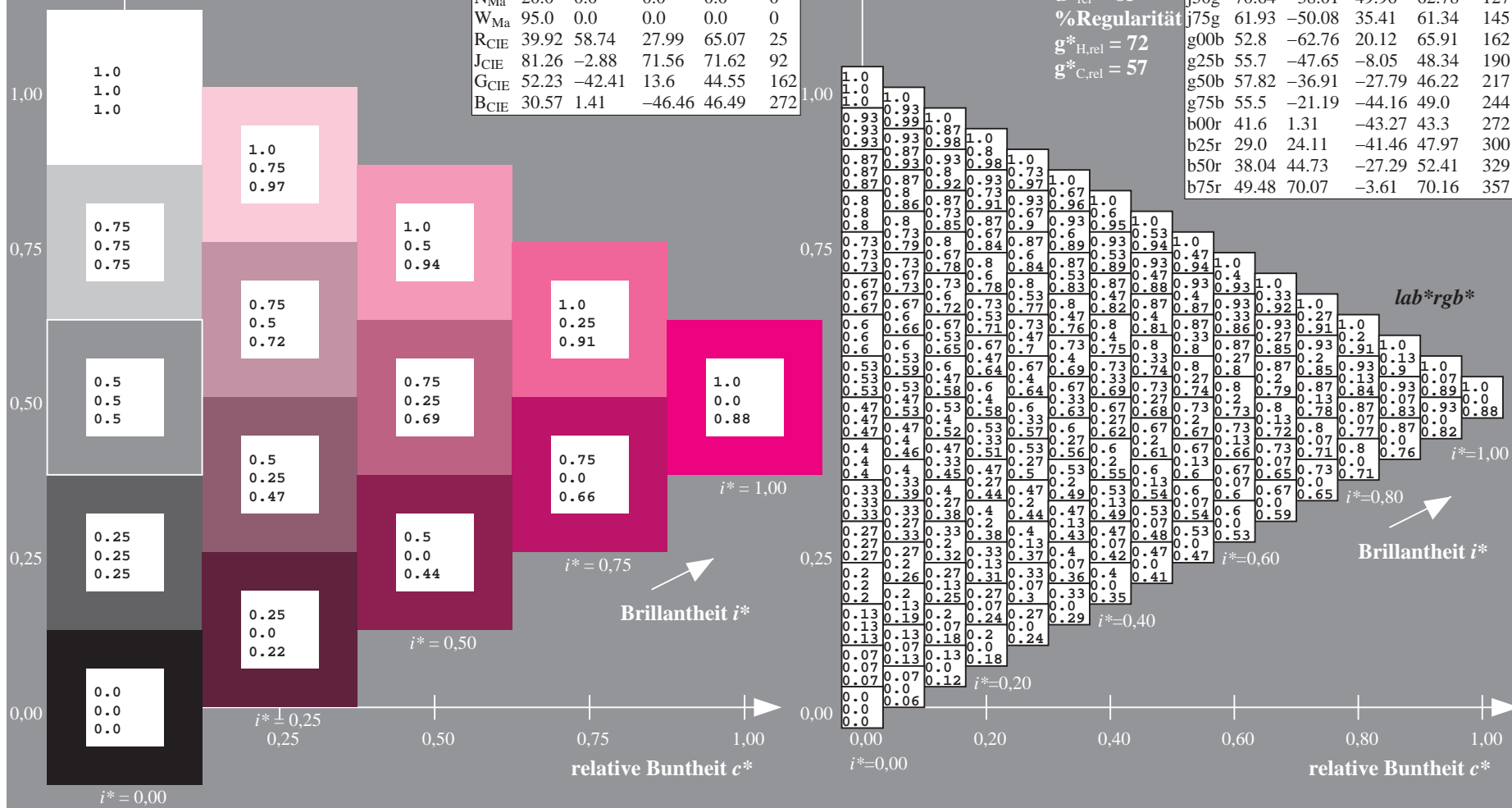
$g^*_{H,rel} = 72$

$g^*_{C,rel} = 57$

ORS20_95a; adaptierte CIELAB-Daten					
	$L^*=L^*_a$	a^*_a	b^*_a	$C^*_{ab,a}$	$h^*_{ab,a}$
r00j	48.88	63.91	30.45	70.79	25
r25j	55.85	50.36	45.65	67.97	42
r50j	65.45	33.86	56.12	65.54	59
r75j	75.19	17.13	66.73	68.89	76
j00g	87.03	-3.21	79.64	79.7	92
j25g	80.72	-24.03	66.82	71.01	110
j50g	70.64	-38.01	49.96	62.78	127
j75g	61.93	-50.08	35.41	61.34	145
g00b	52.8	-62.76	20.12	65.91	162
g25b	55.7	-47.65	-8.05	48.34	190
g50b	57.82	-36.91	-27.79	46.22	217
g75b	55.5	-21.19	-44.16	49.0	244
b00r	41.6	1.31	-43.27	43.3	272
b25r	29.0	24.11	-41.46	47.97	300
b50r	38.04	44.73	-27.29	52.41	329
b75r	49.48	70.07	-3.61	70.16	357

Siehe ähnliche Dateien: <http://www.ps.bam.de/Dg99/>; www.ps.bam.de/Dg99/10L/L99G00NA.PS/.TXT
Technische Information: <http://www.ps.bam.de> Version 2.1, io=1,1, ColSpx=1

BAM-Registrierung: 20080701-Dg99/10L/L99G00NA.PS/.TXTBAM-Material: Code=rh4ta
Anwendung für Beurteilung und Messung von Drucker- oder Monitorsystemen



Siehe ähnliche Dateien: <http://www.ps.bam.de/Dg99/>; www.ps.bam.de/Dg99/10L/L99G00NA.PS/.TXT
Technische Information: <http://www.ps.bam.de/Version2.1,io=1.1,ColSpX=1>

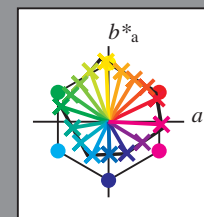
	A	B	C	D	E	F	G	H	I	J	K	L	M	N	O	P	Q	R	S	T	U	V	W	X	Y	Z	a	b	c	d	e	f	g	h	i	j	k	lab*rgb*					
01	0.0	0.0	0.0	0.0	0.0	0.0	0.0	0.0	0.0	0.0	0.13	0.13	0.13	0.13	0.13	0.13	0.13	0.13	0.25	0.25	0.25	0.25	0.25	0.25	0.25	0.25	0.25	1.0	1.0	1.0	1.0	1.0	1.0	1.0	1.0	1.0	1.0	1.0	0.0	0.0	0.0	0.0	
	0.0	0.13	0.25	0.38	0.5	0.63	0.75	0.88	1.0	0.0	0.13	0.25	0.38	0.5	0.63	0.75	0.88	1.0	0.0	0.13	0.25	0.38	0.5	0.63	0.75	0.88	1.0	1.0	0.88	0.75	0.63	0.5	0.38	0.25	0.13	0.0	0.0	0.0	0.0	0.0	0.0	0.0	
	0.0	0.0	0.0	0.0	0.0	0.0	0.0	0.0	0.0	0.0	0.0	0.0	0.0	0.0	0.0	0.0	0.0	0.0	0.0	0.0	0.0	0.0	0.0	0.0	0.0	0.0	0.0	1.0	0.88	0.75	0.63	0.5	0.38	0.25	0.13	0.0	0.0	0.0	0.0	0.0	0.0	0.0	0.0
02	0.0	0.0	0.0	0.0	0.0	0.0	0.0	0.0	0.0	0.0	0.13	0.13	0.13	0.13	0.13	0.13	0.13	0.13	0.25	0.25	0.25	0.25	0.25	0.25	0.25	0.25	0.25	0.88	0.88	0.88	0.88	0.88	0.88	0.88	0.88	0.88	0.13	0.13	0.13	0.13	0.13	0.13	0.13
	0.0	0.13	0.25	0.38	0.5	0.63	0.75	0.88	1.0	0.0	0.13	0.25	0.38	0.5	0.63	0.75	0.88	1.0	0.0	0.13	0.25	0.38	0.5	0.63	0.75	0.88	1.0	1.0	0.88	0.75	0.63	0.5	0.38	0.25	0.13	0.0	0.13	0.13	0.13	0.13	0.13	0.13	0.13
	0.13	0.13	0.13	0.13	0.13	0.13	0.13	0.13	0.13	0.13	0.13	0.13	0.13	0.13	0.13	0.13	0.13	0.13	0.13	0.13	0.13	0.13	0.13	0.13	0.13	0.13	0.13	1.0	0.88	0.75	0.63	0.5	0.38	0.25	0.13	0.0	0.13	0.13	0.13	0.13	0.13	0.13	0.13
03	0.0	0.0	0.0	0.0	0.0	0.0	0.0	0.0	0.0	0.0	0.13	0.13	0.13	0.13	0.13	0.13	0.13	0.13	0.25	0.25	0.25	0.25	0.25	0.25	0.25	0.25	0.25	0.75	0.75	0.75	0.75	0.75	0.75	0.75	0.75	0.75	0.25	0.25	0.25	0.25	0.25	0.25	0.25
	0.0	0.13	0.25	0.38	0.5	0.63	0.75	0.88	1.0	0.0	0.13	0.25	0.38	0.5	0.63	0.75	0.88	1.0	0.0	0.13	0.25	0.38	0.5	0.63	0.75	0.88	1.0	1.0	0.88	0.75	0.63	0.5	0.38	0.25	0.13	0.0	0.25	0.25	0.25	0.25	0.25	0.25	0.25
	0.25	0.25	0.25	0.25	0.25	0.25	0.25	0.25	0.25	0.25	0.25	0.25	0.25	0.25	0.25	0.25	0.25	0.25	0.25	0.25	0.25	0.25	0.25	0.25	0.25	0.25	1.0	0.88	0.75	0.63	0.5	0.38	0.25	0.13	0.0	0.25	0.25	0.25	0.25	0.25	0.25	0.25	0.25
04	0.0	0.0	0.0	0.0	0.0	0.0	0.0	0.0	0.0	0.0	0.13	0.13	0.13	0.13	0.13	0.13	0.13	0.13	0.25	0.25	0.25	0.25	0.25	0.25	0.25	0.25	0.25	0.63	0.63	0.63	0.63	0.63	0.63	0.63	0.63	0.63	0.38	0.38	0.38	0.38	0.38	0.38	0.38
	0.0	0.13	0.25	0.38	0.5	0.63	0.75	0.88	1.0	0.0	0.13	0.25	0.38	0.5	0.63	0.75	0.88	1.0	0.0	0.13	0.25	0.38	0.5	0.63	0.75	0.88	1.0	1.0	0.88	0.75	0.63	0.5	0.38	0.25	0.13	0.0	0.38	0.38	0.38	0.38	0.38	0.38	0.38
	0.38	0.38	0.38	0.38	0.38	0.38	0.38	0.38	0.38	0.38	0.38	0.38	0.38	0.38	0.38	0.38	0.38	0.38	0.38	0.38	0.38	0.38	0.38	0.38	0.38	0.38	0.38	1.0	0.88	0.75	0.63	0.5	0.38	0.25	0.13	0.0	0.38	0.38	0.38	0.38	0.38	0.38	0.38
05	0.0	0.0	0.0	0.0	0.0	0.0	0.0	0.0	0.0	0.0	0.13	0.13	0.13	0.13	0.13	0.13	0.13	0.13	0.25	0.25	0.25	0.25	0.25	0.25	0.25	0.25	0.25	0.5	0.5	0.5	0.5	0.5	0.5	0.5	0.5	0.5	0.5	0.5	0.5	0.5	0.5	0.5	0.5
	0.0	0.13	0.25	0.38	0.5	0.63	0.75	0.88	1.0	0.0	0.13	0.25	0.38	0.5	0.63	0.75	0.88	1.0	0.0	0.13	0.25	0.38	0.5	0.63	0.75	0.88	1.0	1.0	0.88	0.75	0.63	0.5	0.38	0.25	0.13	0.0	0.5	0.5	0.5	0.5	0.5	0.5	0.5
	0.5	0.5	0.5	0.5	0.5	0.5	0.5	0.5	0.5	0.5	0.5	0.5	0.5	0.5	0.5	0.5	0.5	0.5	0.5	0.5	0.5	0.5	0.5	0.5	0.5	0.5	0.5	1.0	0.88	0.75	0.63	0.5	0.38	0.25	0.13	0.0	0.5	0.5	0.5	0.5	0.5	0.5	0.5
06	0.0	0.0	0.0	0.0	0.0	0.0	0.0	0.0	0.0	0.0	0.13	0.13	0.13	0.13	0.13	0.13	0.13	0.13	0.25	0.25	0.25	0.25	0.25	0.25	0.25	0.25	0.25	0.38	0.38	0.38	0.38	0.38	0.38	0.38	0.38	0.38	0.63	0.63	0.63	0.63	0.63	0.63	0.63
	0.0	0.13	0.25	0.38	0.5	0.63	0.75	0.88	1.0	0.0	0.13	0.25	0.38	0.5	0.63	0.75	0.88	1.0	0.0	0.13	0.25	0.38	0.5	0.63	0.75	0.88	1.0	1.0	0.88	0.75	0.63	0.5	0.38	0.25	0.13	0.0	0.63	0.63	0.63	0.63	0.63	0.63	0.63
	0.63	0.63	0.63	0.63	0.63	0.63	0.63	0.63	0.63	0.63	0.63	0.63	0.63	0.63	0.63	0.63	0.63	0.63	0.63	0.63	0.63	0.63	0.63	0.63	0.63	0.63	0.63	1.0	0.88	0.75	0.63	0.5	0.38	0.25	0.13	0.0	0.63	0.63	0.63	0.63	0.63	0.63	0.63
07	0.0	0.0	0.0	0.0	0.0	0.0	0.0	0.0	0.0	0.0	0.13	0.13	0.13	0.13	0.13	0.13	0.13	0.13	0.25	0.25	0.25	0.25	0.25	0.25	0.25	0.25	0.25	0.25	0.25	0.25	0.25	0.25	0.25	0.25	0.25	0.25	0.75	0.75	0.75	0.75	0.75	0.75	0.75
	0.0	0.13	0.25	0.38	0.5	0.63	0.75	0.88	1.0	0.0	0.13	0.25	0.38	0.5	0.63	0.75	0.88	1.0	0.0	0.13	0.25	0.38	0.5	0.63	0.75	0.88	1.0	1.0	0.88	0.75	0.63	0.5	0.38	0.25	0.13	0.0	0.75	0.75	0.75	0.75	0.75	0.75	0.75
	0.75	0.75	0.75	0.75	0.75	0.75	0.75	0.75	0.75	0.75	0.75	0.75	0.75	0.75	0.75	0.75	0.75	0.75	0.75	0.75	0.75	0.75	0.75	0.75	0.75	0.75	0.75	1.0	0.88	0.75	0.63	0.5	0.38	0.25	0.13	0.0	0.75	0.75	0.75	0.75	0.75	0.75	0.75
08	0.0	0.0	0.0	0.0	0.0	0.0	0.0	0.0	0.0	0.0	0.13	0.13	0.13	0.13	0.13	0.13	0.13	0.13	0.25	0.25	0.25	0.25	0.25	0.25	0.25	0.25	0.25	0.13	0.13	0.13	0.13	0.13	0.13	0.13	0.13	0.13	0.88	0.88	0.88	0.88	0.88	0.88	0.88
	0.0	0.13	0.25	0.38	0.5	0.63	0.75	0.88	1.0	0.0	0.13	0.25	0.38	0.5	0.63	0.75	0.88	1.0	0.0	0.13	0.25	0.38	0.5	0.63	0.75	0.88	1.0	1.0	0.88	0.75	0.63	0.5	0.38	0.25	0.13	0.0	0.88	0.88	0.88	0.88	0.88	0.88	0.88
	0.88	0.88	0.88	0.88	0.88	0.88	0.88	0.88	0.88	0.88	0.88	0.88	0.88	0.88	0.88	0.88	0.88	0.88	0.88	0.88	0.88	0.88	0.88	0.88	0.88	0.88	0.88	1.0	0.88	0.75	0.63	0.5	0.38	0.25	0.13	0.0	0.88	0.88	0.88	0.88	0.88	0.88	0.88
09	0.0	0.0	0.0	0.0	0.0	0.0	0.0	0.0	0.0	0.0	0.13	0.13	0.13	0.13	0.13	0.13	0.13	0.13	0.25	0.25	0.25	0.25	0.25	0.25	0.25	0.25	0.25	0.0	0.0	0.0	0.0	0.0	0.0	0.0	0.0	0.0	1.0	1.0	1.0	1.0	1.0	1.0	1.0
	0.0	0.13	0.25	0.38	0.5	0.63	0.75	0.88	1.0	0.0	0.13	0.25	0.38	0.5	0.63	0.75	0.88	1.0	0.0	0.13	0.25	0.38	0.5	0.63	0.75	0.88	1.0	1.0	0.88	0.75	0.63	0.5	0.38	0.25	0.13	0.0	1.0	1.0	1.0	1.0	1.0	1.0	1.0
	1.0	1.0	1.0	1.0	1.0	1.0	1.0	1.0	1.0	1.0	1.0	1.0	1.0	1.0	1.0	1.0	1.0	1.0	1.0	1.0	1.0	1.0	1.0	1.0	1.0	1.0	1.0	1.0	0.88	0.75	0.63	0.5	0.38	0.25	0.13	0.0	1.0	1.0	1.0	1.0	1.0	1.0	
10	0.38	0.38	0.38	0.38	0.38	0.38	0.38	0.38	0.38	0.38	0.5	0.5	0.5	0.5	0.5	0.5	0.5	0.5	0.63	0.63	0.63	0.63	0.63	0.63	0.63	0.63	0.63	0.63	1.0	1.0	1.0	1.0	1.0	1.0	1.0	1.0	1.0	0.0	0.0	0.0	0.0	0.0	0.0
	0.0	0.13	0.25	0.38	0.5	0.63	0.75	0.88	1.0	0.0	0.13	0.25	0.38	0.5	0.63	0.75	0.88	1.0	0.0	0.13	0.25	0.38	0.5	0.63	0.75	0.88	1.0	1.0	1.0	1.0	1.0	1.0	1.0	1.0	1.0	0.0	0.0	0.0	0.0	0.0	0.0	0.0	0.0
	0.0	0.0	0.0	0.0	0.0	0.0	0.0	0.0	0.0	0.0	0.0	0.0	0.0	0.0	0.0	0.0	0.0	0.0	0.0	0.0	0.0	0.0	0.0	0.0	0.0	0.0	0.0	1.0	0.88	0.75	0.63	0.5	0.38	0.25	0.13	0.0	0.0	0.0	0.0	0.0	0.0	0.0	0.0
11	0.38	0.38	0.38	0.38	0.38	0.38	0.38	0.38	0.38	0.38	0.5	0.5	0.5	0.5	0.5	0.5	0.5	0.5	0.63	0.63	0.63	0.63																					

BAM-Registrierung: 20080701-Dg99/10L/L99G00NA.PS/.TXT
Anwendung für Beurteilung und Messung von Drucker- oder Monitorsystemen

BAM-Material: Code=th4ta

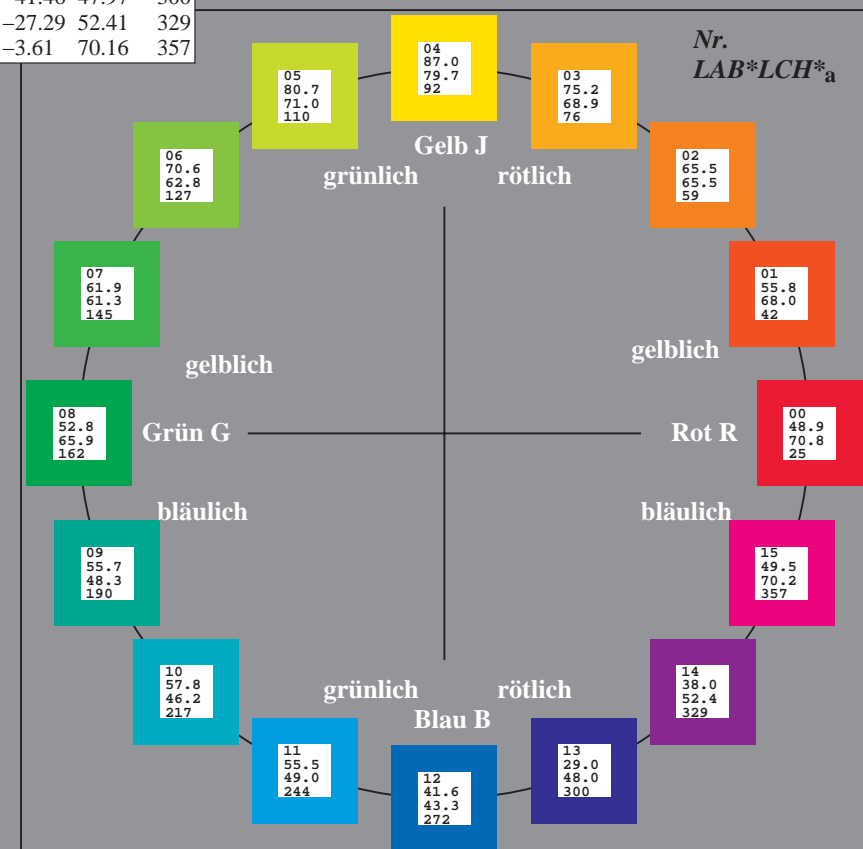
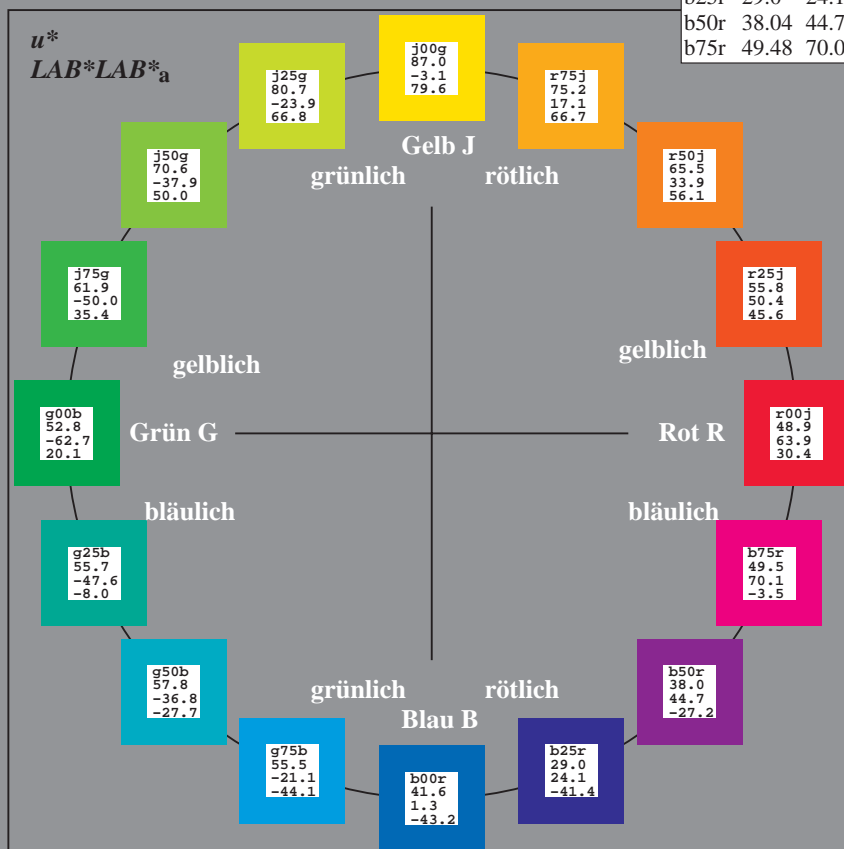
Ein und Ausgabe:
Farbmetrisches Drucker-Reflektiv-System ORS20_95a
Daten für jede Farbe:
*lab*₁ch* und lab*₁icu**
Elementar-Bunttontext:
u = 16 Buntttöne r00j, r25j, ..., b75r*
Kontrastreduzierungsfaktor:
 $c_R = 0.96$

ORS20_95a; adaptierte CIELAB-Daten					
	L^*_a	a^*_a	b^*_a	$C^*_{ab,a}$	$h^*_{ab,a}$
r00j	48.88	63.91	30.45	70.79	25
r25j	55.85	50.36	45.65	67.97	42
r50j	65.45	33.86	56.12	65.54	59
r75j	75.19	17.13	66.73	68.89	76
j00g	87.03	-3.21	79.64	79.7	92
j25g	80.72	-24.03	66.82	71.01	110
j50g	70.64	-38.01	49.96	62.78	127
j75g	61.93	-50.08	35.41	61.34	145
g00b	52.8	-62.76	20.12	65.91	162
g25b	55.7	-47.65	-8.05	48.34	190
g50b	57.82	-36.91	-27.79	46.22	217
g75b	55.5	-21.19	-44.16	49.0	244
b00r	41.6	1.31	-43.27	43.3	272
b25r	29.0	24.11	-41.46	47.97	300
b50r	38.04	44.73	-27.29	52.41	329
b75r	49.48	70.07	-3.61	70.16	357



%Umfang
 $u^*_{rel} = 83$
%Regularität
 $g^*_{H,rel} = 72$
 $g^*_{C,rel} = 57$

ORS20_95a; adaptierte CIELAB-Daten					
	L^*_a	a^*_a	b^*_a	$C^*_{ab,a}$	$h^*_{ab,a}$
OMa	48.75	62.56	37.91	73.15	31
YMa	90.92	-9.88	83.88	84.46	97
LMa	52.69	-62.9	19.95	66.0	162
CMa	59.61	-27.85	-44.43	52.45	238
VMa	28.39	22.72	-42.42	48.13	298
MMa	49.58	71.08	-9.19	71.67	353
NMa	20.0	0.0	0.0	0.0	0
WMa	95.0	0.0	0.0	0.0	0
RCIE	39.92	58.74	27.99	65.07	25
JCIE	81.26	-2.88	71.56	71.62	92
GCIE	52.23	-42.41	13.6	44.55	162
BCIE	30.57	1.41	-46.46	46.49	272



Ein und Ausgabe: Farbmetrisches Drucker-Reflektiv-System ORS20_95a für relativen CIELAB-Buntton $h^* = lab^*h^* = h_{ab}/360 = 25/360 = 0.071$ $u^* = r00j$

Daten für jede Farbe:

lab^*ch^* und lab^*icu^*

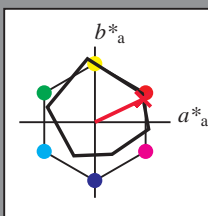
Elementar-Bunttontext:

$u^* = r00j$

Kontrastreduzierungsfaktor:

$c_R = 0.96$

Dreiecks-Helligkeit i^*



ORS20_95a; adaptierte CIELAB-Daten					
	$L^*=L_a^*$	a_a^*	b_a^*	$C^*_{ab,a}$	$h^*_{ab,a}$
O _{Ma}	48.75	62.56	37.91	73.15	31
Y _{Ma}	90.92	-9.88	83.88	84.46	97
L _{Ma}	52.69	-62.9	19.95	66.0	162
C _{Ma}	59.61	-27.85	-44.43	52.45	238
V _{Ma}	28.39	22.72	-42.42	48.13	298
M _{Ma}	49.58	71.08	-9.19	71.67	353
N _{Ma}	20.0	0.0	0.0	0.0	0
W _{Ma}	95.0	0.0	0.0	0.0	0
R _{CIE}	39.92	58.74	27.99	65.07	25
J _{CIE}	81.26	-2.88	71.56	71.62	92
G _{CIE}	52.23	-42.41	13.6	44.55	162
B _{CIE}	30.57	1.41	-46.46	46.49	272

Daten für Maximalfarbe (Ma):

$LAB^*LAB^*_{Ma}$: 49 64 30

$LAB^*LCH^*_{Ma}$: 49 71 25

$lab^*rgb^*_{Ma}$: 1.0 0.0 0.0

$lab^*olv^*_{Ma}$: 1.0 0.0 0.16

Dreiecks-Helligkeit i^*

%Umfang

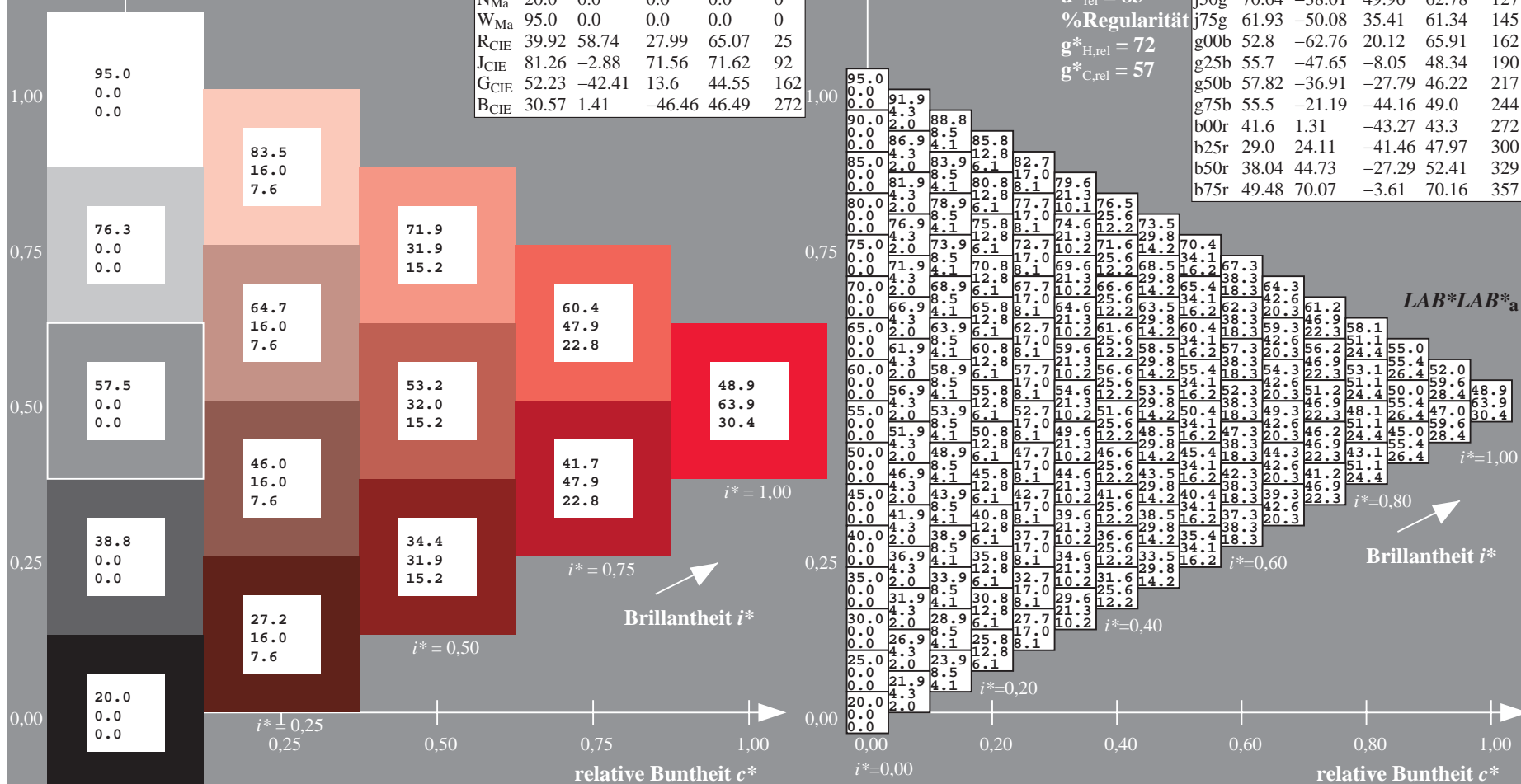
$u^*_{rel} = 83$

%Regularität

$g^*_{H,rel} = 72$

$g^*_{C,rel} = 57$

ORS20_95a; adaptierte CIELAB-Daten					
	$L^*=L_a^*$	a_a^*	b_a^*	$C^*_{ab,a}$	$h^*_{ab,a}$
r00j	48.88	63.91	30.45	70.79	25
r25j	55.85	50.36	45.65	67.97	42
r50j	65.45	33.86	56.12	65.54	59
r75j	75.19	17.13	66.73	68.89	76
j00g	87.03	-3.21	79.64	79.7	92
j25g	80.72	-24.03	66.82	71.01	110
j50g	70.64	-38.01	49.96	62.78	127
j75g	61.93	-50.08	35.41	61.34	145
g00b	52.8	-62.76	20.12	65.91	162
g25b	55.7	-47.65	-8.05	48.34	190
g50b	57.82	-36.91	-27.79	46.22	217
g75b	55.5	-21.19	-44.16	49.0	244
b00r	41.6	1.31	-43.27	43.3	272
b25r	29.0	24.11	-41.46	47.97	300
b50r	38.04	44.73	-27.29	52.41	329
b75r	49.48	70.07	-3.61	70.16	357



100



Figure 1: A 3D visualization of the color space defined by relative Buntheit c^* (horizontal axis, 0.00 to 1.00), Brillantheit i^* (depth axis, 0.00 to 1.00), and %Regularität (vertical axis, 0.00 to 1.00). The plot shows a series of colored cubes representing different color samples. The cubes are arranged in a grid-like structure, with colors ranging from dark purple/blue at the bottom-left to bright yellow at the top-right. The vertical axis is labeled '%Regularität' and has values 0.00, 0.25, 0.50, 0.75, and 1.00. The horizontal axis is labeled 'relative Buntheit c^* ' and has values 0.00, 0.20, 0.40, 0.60, 0.80, and 1.00. The depth axis is labeled 'Brillantheit i^* ' and has values 0.00, 0.25, 0.50, 0.75, and 1.00. A color bar on the right side of the plot indicates the %Regularität values, ranging from 0.00 (dark purple) to 1.00 (bright yellow). The plot also includes a legend for the color samples, showing the color name, the relative Buntheit c^* value, and the Brillantheit i^* value. The legend is located in the top right corner of the plot area.

Eingabe: 000n / w / nnn0 / www set...
Ausgabe: ->cmyn5* setcmykcolor

BAM-Registrierung: 20080701-Dg99/10L/L99G00NA.PS/ .TXTBAM-Material: Code=rh4ta
- Anwendung für Beurteilung und Messung von Drucker- oder Monitorsystemen

Ein und Ausgabe: Farbmetrisches Drucker-Reflektiv-System ORS20_95a für relativen CIELAB-Buntton $h^* = lab^*h^* = h_{ab}/360 = 59/360 = 0.164$ $u^* = r50j$

Daten für jede Farbe:

lab^*tch^* und lab^*icu^*

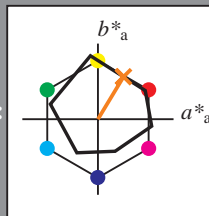
Elementar-Bunttontext:

$u^* = r50j$

Kontrastreduzierungsfaktor:

$c_R = 0.96$

Dreiecks-Helligkeit t^*



ORS20_95a; adaptierte CIELAB-Daten					
	$L^*=L^*_a$	a^*_a	b^*_a	$C^*_{ab,a}$	$h^*_{ab,a}$
O _{Ma}	48.75	62.56	37.91	73.15	31
Y _{Ma}	90.92	-9.88	83.88	84.46	97
L _{Ma}	52.69	-62.9	19.95	66.0	162
C _{Ma}	59.61	-27.85	-44.43	52.45	238
V _{Ma}	28.39	22.72	-42.42	48.13	298
M _{Ma}	49.58	71.08	-9.19	71.67	353
N _{Ma}	20.0	0.0	0.0	0.0	0
W _{Ma}	95.0	0.0	0.0	0.0	0
R _{CIE}	39.92	58.74	27.99	65.07	25
J _{CIE}	81.26	-2.88	71.56	71.62	92
G _{CIE}	52.23	-42.41	13.6	44.55	162
B _{CIE}	30.57	1.41	-46.46	46.49	272

Daten für Maximalfarbe (Ma):

$LAB^*LAB^*_{Ma}$: 65 34 56

$LAB^*LCH^*_{Ma}$: 65 66 59

$lab^*rgb^*_{Ma}$: 1.0 0.5 0.0

$lab^*olv^*_{Ma}$: 1.0 0.4 0.0

Dreiecks-Helligkeit t^*

%Umfang

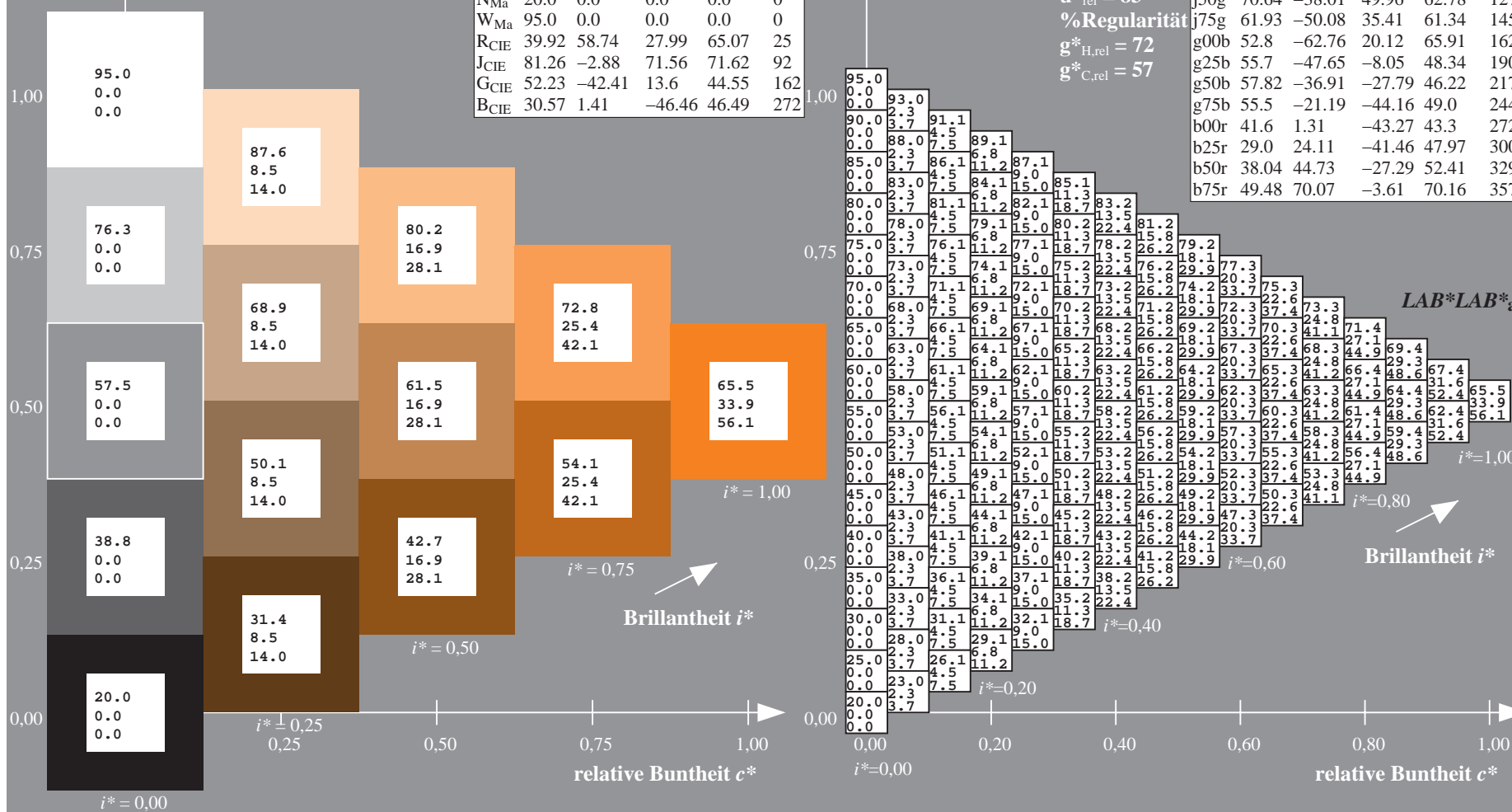
$u^*_{rel} = 83$

%Regularität

$g^*_{H,rel} = 72$

$g^*_{C,rel} = 57$

ORS20_95a; adaptierte CIELAB-Daten					
	$L^*=L^*_a$	a^*_a	b^*_a	$C^*_{ab,a}$	$h^*_{ab,a}$
r00j	48.88	63.91	30.45	70.79	25
r25j	55.85	50.36	45.65	67.97	42
r50j	65.45	33.86	56.12	65.54	59
r75j	75.19	17.13	66.73	68.89	76
j00g	87.03	-3.21	79.64	79.7	92
j25g	80.72	-24.03	66.82	71.01	110
j50g	70.64	-38.01	49.96	62.78	127
j75g	61.93	-50.08	35.41	61.34	145
g00b	52.8	-62.76	20.12	65.91	162
g25b	55.7	-47.65	-8.05	48.34	190
g50b	57.82	-36.91	-27.79	46.22	217
g75b	55.5	-21.19	-44.16	49.0	244
b00r	41.6	1.31	-43.27	43.3	272
b25r	29.0	24.11	-41.46	47.97	300
b50r	38.04	44.73	-27.29	52.41	329
b75r	49.48	70.07	-3.61	70.16	357



Stress Management:



Figure 1 illustrates the color space defined by relative luminance (Y), relative chroma (c^*), and relative hue (h^*). The visualization shows a series of color patches arranged in a grid, with a color bar on the right indicating the corresponding color values. The color bar is labeled "relative Buntheit c^* " and ranges from 0.00 to 1.00. The color patches are arranged in a grid that is 10 units wide and 10 units high. The color bar shows a gradient from dark blue at the bottom to light yellow at the top. The color patches are arranged in a grid that is 10 units wide and 10 units high. The color bar shows a gradient from dark blue at the bottom to light yellow at the top.

Eingabe: 000n / w / nnn0 / www set...
Ausgabe: ->cmyn5* setcmykcolor

BAM-Registrierung: 20080701-Dg99/10L/L99G00NA.PS/ .TXTBAM-Material: Code=rh4ta
- Anwendung für Beurteilung und Messung von Drucker- oder Monitorsystemen

Ein und Ausgabe: Farbmetrisches Drucker-Reflektiv-System ORS20_95a für relativen CIELAB-Buntton $h^* = lab^*h^* = h_{ab}/360 = 92/360 = 0.256$ $u^* = j00g$

Daten für jede Farbe:

lab^*ch^* und lab^*icu^*

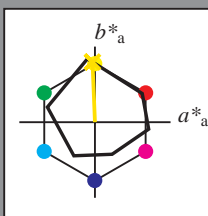
Elementar-Bunttontext:

$u^* = j00g$

Kontrastreduzierungsfaktor:

$c_R = 0.96$

Dreiecks-Helligkeit i^*



ORS20_95a; adaptierte CIELAB-Daten					
	$L^*=L^*_a$	a^*_a	b^*_a	$C^*_{ab,a}$	$h^*_{ab,a}$
O _{Ma}	48.75	62.56	37.91	73.15	31
Y _{Ma}	90.92	-9.88	83.88	84.46	97
L _{Ma}	52.69	-62.9	19.95	66.0	162
C _{Ma}	59.61	-27.85	-44.43	52.45	238
V _{Ma}	28.39	22.72	-42.42	48.13	298
M _{Ma}	49.58	71.08	-9.19	71.67	353
N _{Ma}	20.0	0.0	0.0	0.0	0
W _{Ma}	95.0	0.0	0.0	0.0	0
R _{CIE}	39.92	58.74	27.99	65.07	25
J _{CIE}	81.26	-2.88	71.56	71.62	92
G _{CIE}	52.23	-42.41	13.6	44.55	162
B _{CIE}	30.57	1.41	-46.46	46.49	272

Daten für Maximalfarbe (Ma):

$LAB^*LAB^*_Ma$: 87 -2 80

$LAB^*LCH^*_Ma$: 87 80 92

$lab^*rgb^*_Ma$: 1.0 1.0 0.0

$lab^*olv^*_Ma$: 1.0 0.91 0.0

Dreiecks-Helligkeit i^*

%Umfang

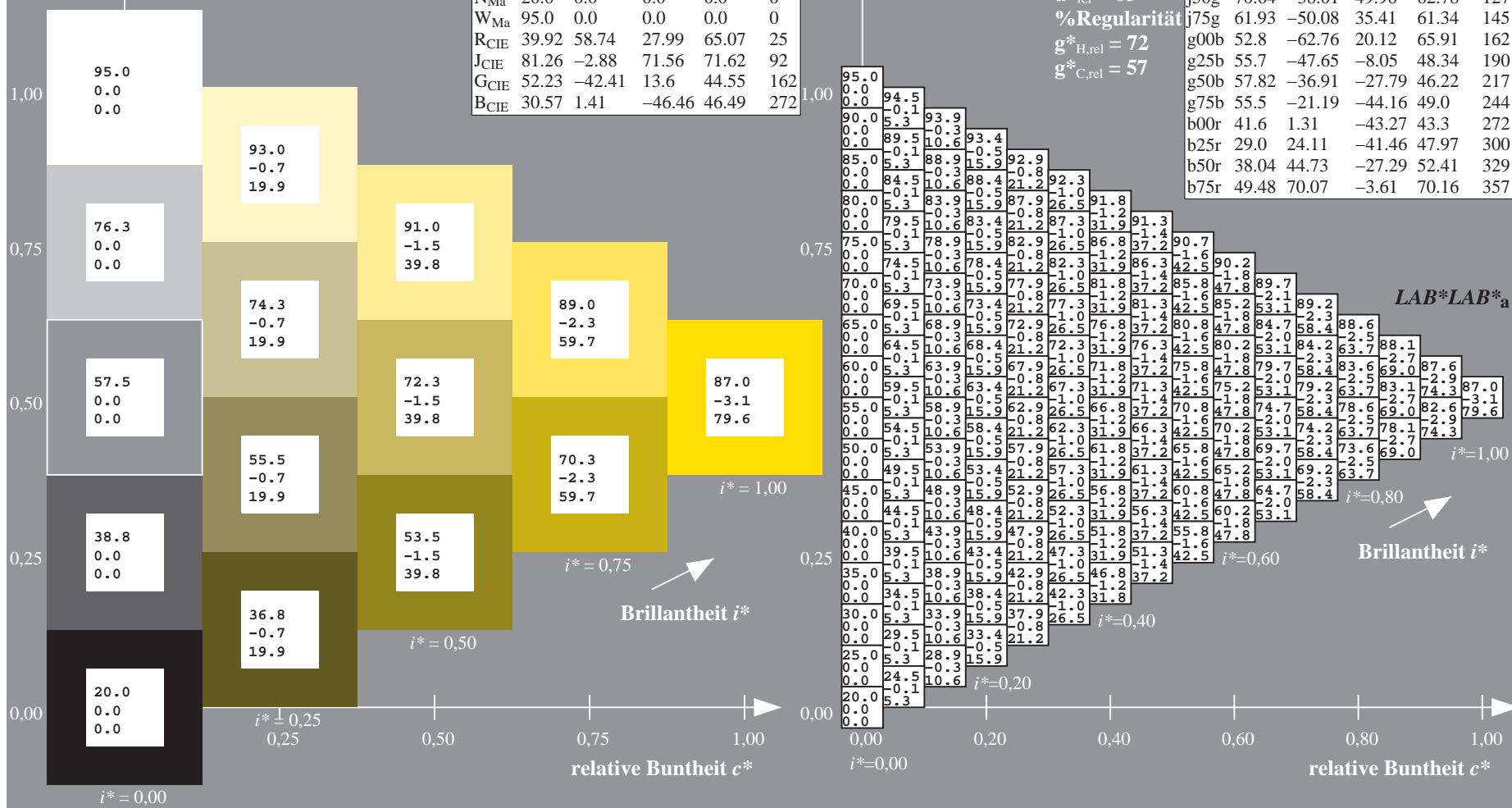
$u^*_{rel} = 83$

%Regularität

$g^*_{H,rel} = 72$

$g^*_{C,rel} = 57$

ORS20_95a; adaptierte CIELAB-Daten					
	$L^*=L^*_a$	a^*_a	b^*_a	$C^*_{ab,a}$	$h^*_{ab,a}$
r00j	48.88	63.91	30.45	70.79	25
r25j	55.85	50.36	45.65	67.97	42
r50j	65.45	33.86	56.12	65.54	59
r75j	75.19	17.13	66.73	68.89	76
j00g	87.03	-3.21	79.64	79.7	92
j25g	80.72	-24.03	66.82	71.01	110
j50g	70.64	-38.01	49.96	62.78	127
j75g	61.93	-50.08	35.41	61.34	145
g00b	52.8	-62.76	20.12	65.91	162
g25b	55.7	-47.65	-8.05	48.34	190
g50b	57.82	-36.91	-27.79	46.22	217
g75b	55.5	-21.19	-44.16	49.0	244
b00r	41.6	1.31	-43.27	43.3	272
b25r	29.0	24.11	-41.46	47.97	300
b50r	38.04	44.73	-27.29	52.41	329
b75r	49.48	70.07	-3.61	70.16	357



Ein und Ausgabe: Farbmetrisches Drucker-Reflektiv-System ORS20_95a für relativen CIELAB-Buntton $h^* = lab^*h^* = h_{ab}/360 = 110/360 = 0.305$ $u^* = j25g$

Daten für jede Farbe:

lab^*ch^* und lab^*icu^*

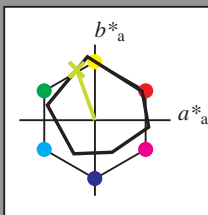
Elementar-Bunttontext:

$u^* = j25g$

Kontrastreduzierungsfaktor:

$c_R = 0.96$

Dreiecks-Helligkeit i^*



ORS20_95a; adaptierte CIELAB-Daten					
	$L^*=L^*_a$	a^*_a	b^*_a	$C^*_{ab,a}$	$h^*_{ab,a}$
O _{Ma}	48.75	62.56	37.91	73.15	31
Y _{Ma}	90.92	-9.88	83.88	84.46	97
L _{Ma}	52.69	-62.9	19.95	66.0	162
C _{Ma}	59.61	-27.85	-44.43	52.45	238
V _{Ma}	28.39	22.72	-42.42	48.13	298
M _{Ma}	49.58	71.08	-9.19	71.67	353
N _{Ma}	20.0	0.0	0.0	0.0	0
W _{Ma}	95.0	0.0	0.0	0.0	0
R _{CIE}	39.92	58.74	27.99	65.07	25
J _{CIE}	81.26	-2.88	71.56	71.62	92
G _{CIE}	52.23	-42.41	13.6	44.55	162
B _{CIE}	30.57	1.41	-46.46	46.49	272

Daten für Maximalfarbe (Ma):

$LAB^*LAB^*_{Ma}$: 81 -23 67

$LAB^*LCH^*_{Ma}$: 81 71 110

$lab^*rgb^*_{Ma}$: 0.75 1.0 0.0

$lab^*olv^*_{Ma}$: 0.73 1.0 0.0

Dreiecks-Helligkeit i^*

%Umfang

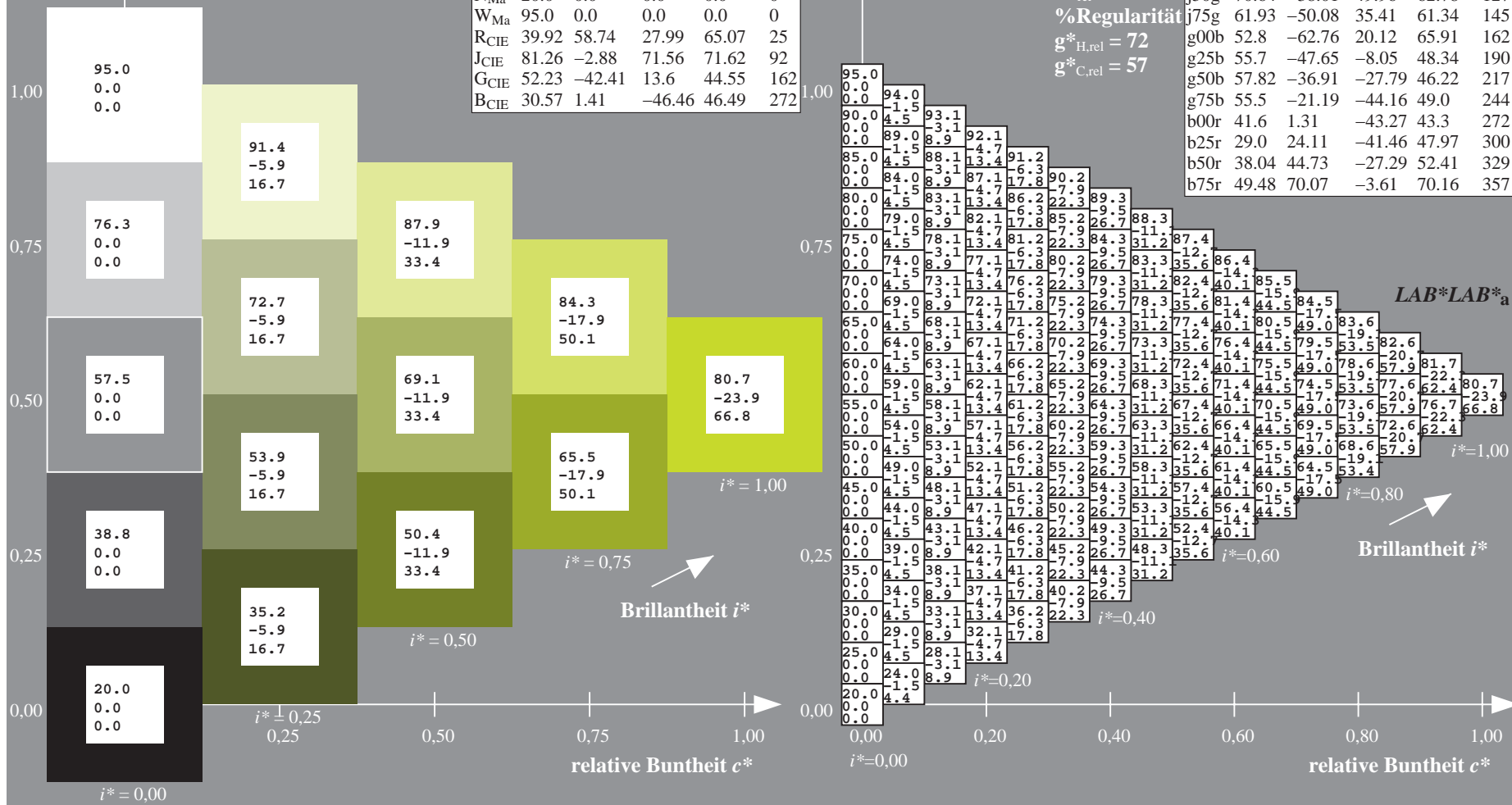
$u^*_{rel} = 83$

%Regularität

$g^*_{H,rel} = 72$

$g^*_{C,rel} = 57$

ORS20_95a; adaptierte CIELAB-Daten					
	$L^*=L^*_a$	a^*_a	b^*_a	$C^*_{ab,a}$	$h^*_{ab,a}$
r00j	48.88	63.91	30.45	70.79	25
r25j	55.85	50.36	45.65	67.97	42
r50j	65.45	33.86	56.12	65.54	59
r75j	75.19	17.13	66.73	68.89	76
j00g	87.03	-3.21	79.64	79.7	92
j25g	80.72	-24.03	66.82	71.01	110
j50g	70.64	-38.01	49.96	62.78	127
j75g	61.93	-50.08	35.41	61.34	145
g00b	52.8	-62.76	20.12	65.91	162
g25b	55.7	-47.65	-8.05	48.34	190
g50b	57.82	-36.91	-27.79	46.22	217
g75b	55.5	-21.19	-44.16	49.0	244
b00r	41.6	1.31	-43.27	43.3	272
b25r	29.0	24.11	-41.46	47.97	300
b50r	38.04	44.73	-27.29	52.41	329
b75r	49.48	70.07	-3.61	70.16	357



Ein und Ausgabe: Farbmetrisches Drucker-Reflektiv-System ORS20_95a für relativen CIELAB-Buntton $h^* = lab^*h^* = h_{ab}/360 = 127/360 = 0.354$ $u^* = j50g$

Daten für jede Farbe:

lab^*ch^* und lab^*icu^*

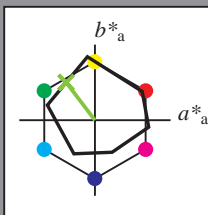
Elementar-Bunttontext:

$u^* = j50g$

Kontrastreduzierungsfaktor:

$c_R = 0.96$

Dreiecks-Helligkeit i^*



ORS20_95a; adaptierte CIELAB-Daten					
	$L^*=L^*_a$	a^*_a	b^*_a	$C^*_{ab,a}$	$h^*_{ab,a}$
O _{Ma}	48.75	62.56	37.91	73.15	31
Y _{Ma}	90.92	-9.88	83.88	84.46	97
L _{Ma}	52.69	-62.9	19.95	66.0	162
C _{Ma}	59.61	-27.85	-44.43	52.45	238
V _{Ma}	28.39	22.72	-42.42	48.13	298
M _{Ma}	49.58	71.08	-9.19	71.67	353
N _{Ma}	20.0	0.0	0.0	0.0	0
W _{Ma}	95.0	0.0	0.0	0.0	0
R _{CIE}	39.92	58.74	27.99	65.07	25
J _{CIE}	81.26	-2.88	71.56	71.62	92
G _{CIE}	52.23	-42.41	13.6	44.55	162
B _{CIE}	30.57	1.41	-46.46	46.49	272

Daten für Maximalfarbe (Ma):

$LAB^*LAB^*_{Ma}$: 71 -37 50

$LAB^*LCH^*_{Ma}$: 71 63 127

$lab^*rgb^*_{Ma}$: 0.5 1.0 0.0

$lab^*olv^*_{Ma}$: 0.47 1.0 0.0

Dreiecks-Helligkeit i^*

%Umfang

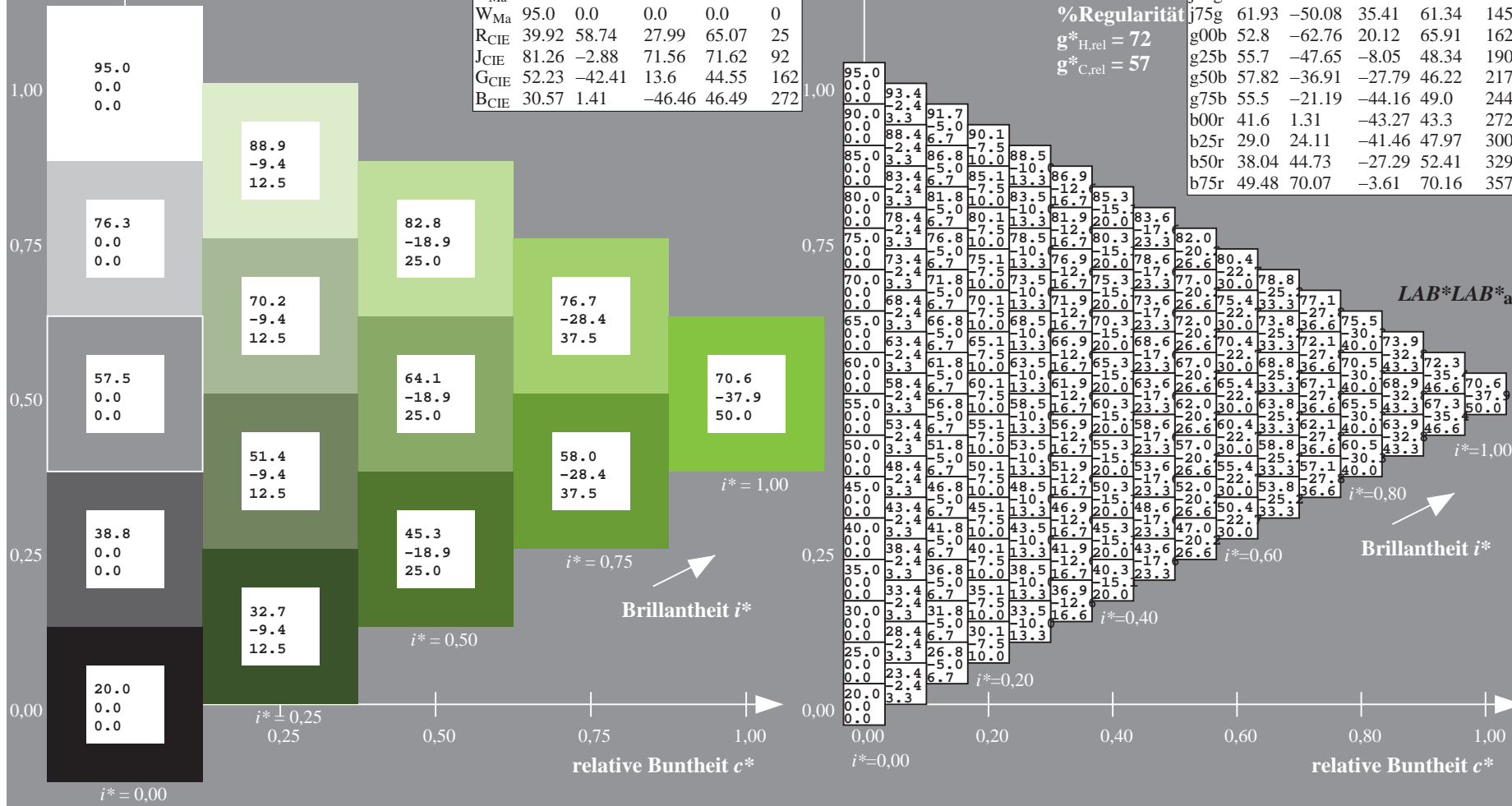
$u^*_{rel} = 83$

%Regularität

$g^*_{H,rel} = 72$

$g^*_{C,rel} = 57$

ORS20_95a; adaptierte CIELAB-Daten					
	$L^*=L^*_a$	a^*_a	b^*_a	$C^*_{ab,a}$	$h^*_{ab,a}$
r00j	48.88	63.91	30.45	70.79	25
r25j	55.85	50.36	45.65	67.97	42
r50j	65.45	33.86	56.12	65.54	59
r75j	75.19	17.13	66.73	68.89	76
j00g	87.03	-3.21	79.64	79.7	92
j25g	80.72	-24.03	66.82	71.01	110
j50g	70.64	-38.01	49.96	62.78	127
j75g	61.93	-50.08	35.41	61.34	145
g00b	52.8	-62.76	20.12	65.91	162
g25b	55.7	-47.65	-8.05	48.34	190
g50b	57.82	-36.91	-27.79	46.22	217
g75b	55.5	-21.19	-44.16	49.0	244
b00r	41.6	1.31	-43.27	43.3	272
b25r	29.0	24.11	-41.46	47.97	300
b50r	38.04	44.73	-27.29	52.41	329
b75r	49.48	70.07	-3.61	70.16	357



Ein und Ausgabe: Farbmetrisches Drucker-Reflektiv-System ORS20_95a für relativen CIELAB-Buntton $h^* = lab^*h^* = h_{ab}/360 = 145/360 = 0.402$ $u^* = j75g$

Daten für jede Farbe:

lab^*ch^* und lab^*icu^*

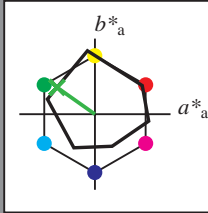
Elementar-Bunttontext:

$u^* = j75g$

Kontrastreduzierungsfaktor:

$c_R = 0.96$

Dreiecks-Helligkeit i^*



ORS20_95a; adaptierte CIELAB-Daten

	$L^*=L^*_a$	a^*_a	b^*_a	$C^*_{ab,a}$	$h^*_{ab,a}$
O _{Ma}	48.75	62.56	37.91	73.15	31
Y _{Ma}	90.92	-9.88	83.88	84.46	97
L _{Ma}	52.69	-62.9	19.95	66.0	162
C _{Ma}	59.61	-27.85	-44.43	52.45	238
V _{Ma}	28.39	22.72	-42.42	48.13	298
M _{Ma}	49.58	71.08	-9.19	71.67	353
N _{Ma}	20.0	0.0	0.0	0.0	0
W _{Ma}	95.0	0.0	0.0	0.0	0
R _{CIE}	39.92	58.74	27.99	65.07	25
J _{CIE}	81.26	-2.88	71.56	71.62	92
G _{CIE}	52.23	-42.41	13.6	44.55	162
B _{CIE}	30.57	1.41	-46.46	46.49	272

Daten für Maximalfarbe (Ma):

$LAB^*LAB^*_{Ma}$: 62 -49 35

$LAB^*LCH^*_{Ma}$: 62 61 145

$lab^*rgb^*_{Ma}$: 0.25 1.0 0.0

$lab^*olv^*_{Ma}$: 0.24 1.0 0.0

Dreiecks-Helligkeit i^*

%Umfang

$u^*_{rel} = 83$

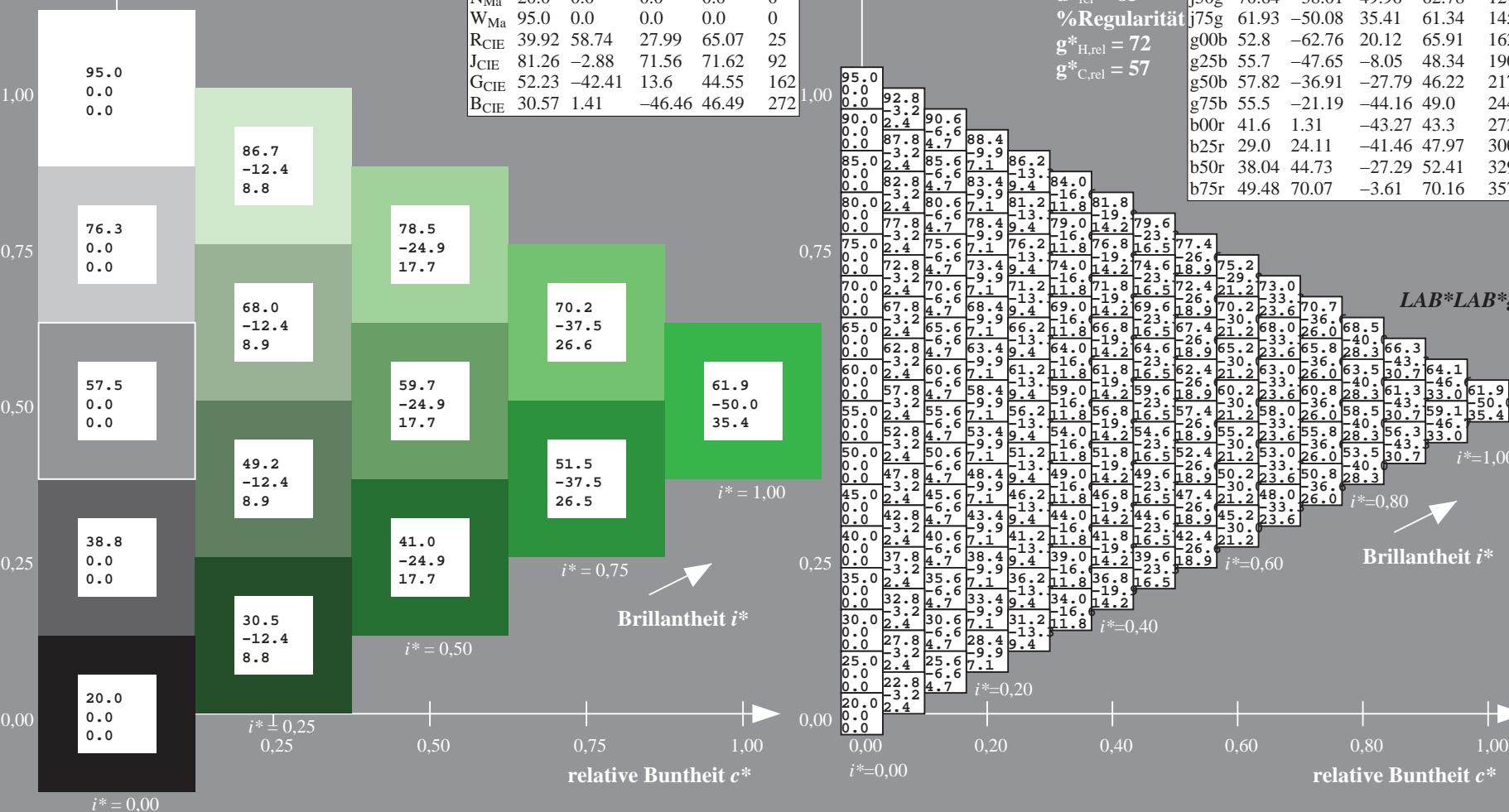
%Regularität

$g^*_{H,rel} = 72$

$g^*_{C,rel} = 57$

ORS20_95a; adaptierte CIELAB-Daten

	$L^*=L^*_a$	a^*_a	b^*_a	$C^*_{ab,a}$	$h^*_{ab,a}$
r00j	48.88	63.91	30.45	70.79	25
r25j	55.85	50.36	45.65	67.97	42
r50j	65.45	33.86	56.12	65.54	59
r75j	75.19	17.13	66.73	68.89	76
j00g	87.03	-3.21	79.64	79.7	92
j25g	80.72	-24.03	66.82	71.01	110
j50g	70.64	-38.01	49.96	62.78	127
j75g	61.93	-50.08	35.41	61.34	145
g00b	52.8	-62.76	20.12	65.91	162
g25b	55.7	-47.65	-8.05	48.34	190
g50b	57.82	-36.91	-27.79	46.22	217
g75b	55.5	-21.19	-44.16	49.0	244
b00r	41.6	1.31	-43.27	43.3	272
b25r	29.0	24.11	-41.46	47.97	300
b50r	38.04	44.73	-27.29	52.41	329
b75r	49.48	70.07	-3.61	70.16	357



100



2125	15415	15161	2182	15125	257
------	-------	-------	------	-------	-----



Farbreihen, 8 Datentabellen für 16 Bunttöne *r00j* bis *b75r*

Ausgabe: $\rightarrow cmy\mathbf{n}5^* setcmykcolor$

Delta

Ein und Ausgabe: Farbmetrisches Drucker-Reflektiv-System ORS20_95a für relativen CIELAB-Buntton $h^* = lab^*h^* = h_{ab}/360 = 190/360 = 0.527$ $u^* = g25b$

Daten für jede Farbe:

lab^*ch^* und lab^*icu^*

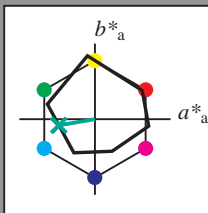
Elementar-Bunttontext:

$u^* = g25b$

Kontrastreduzierungsfaktor:

$c_R = 0.96$

Dreiecks-Helligkeit i^*



ORS20_95a; adaptierte CIELAB-Daten

	$L^*=L_a^*$	a_a^*	b_a^*	$C_{ab,a}^*$	$h_{ab,a}^*$
O _{Ma}	48.75	62.56	37.91	73.15	31
Y _{Ma}	90.92	-9.88	83.88	84.46	97
L _{Ma}	52.69	-62.9	19.95	66.0	162
C _{Ma}	59.61	-27.85	-44.43	52.45	238
V _{Ma}	28.39	22.72	-42.42	48.13	298
M _{Ma}	49.58	71.08	-9.19	71.67	353
N _{Ma}	20.0	0.0	0.0	0.0	0
W _{Ma}	95.0	0.0	0.0	0.0	0
R _{CIE}	39.92	58.74	27.99	65.07	25
J _{CIE}	81.26	-2.88	71.56	71.62	92
G _{CIE}	52.23	-42.41	13.6	44.55	162
B _{CIE}	30.57	1.41	-46.46	46.49	272

Daten für Maximalfarbe (Ma):

$LAB^*LAB^*_{Ma}$: 56 -47 -7

$LAB^*LCH^*_{Ma}$: 56 48 190

$lab^*rgb^*_{Ma}$: 0.0 1.0 0.5

$lab^*olv^*_{Ma}$: 0.0 1.0 0.44

Dreiecks-Helligkeit i^*

%Umfang

$u^*_{rel} = 83$

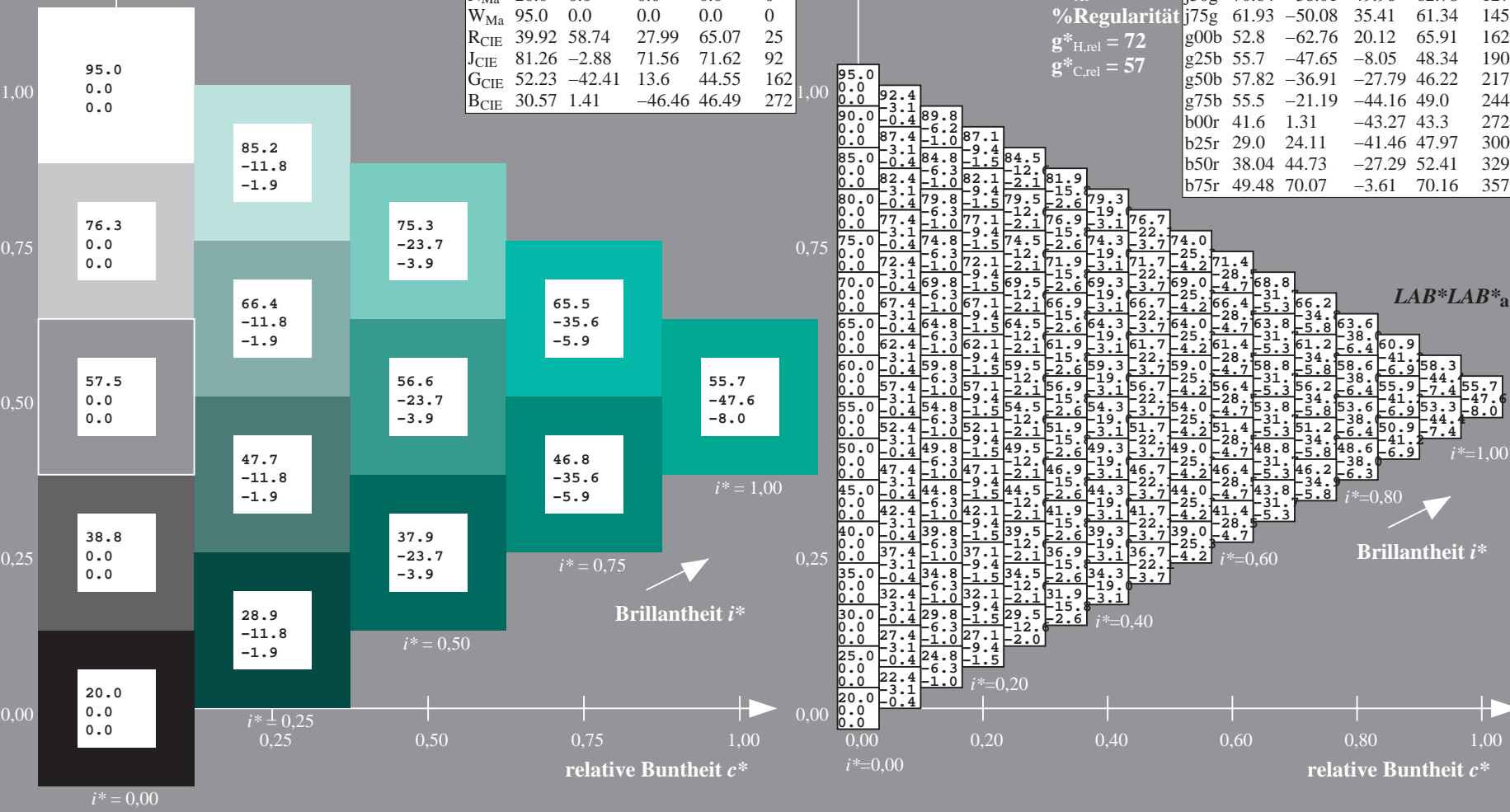
%Regularität

$g^*_{H,rel} = 72$

$g^*_{C,rel} = 57$

ORS20_95a; adaptierte CIELAB-Daten

	$L^*=L_a^*$	a_a^*	b_a^*	$C_{ab,a}^*$	$h_{ab,a}^*$
r00j	48.88	63.91	30.45	70.79	25
r25j	55.85	50.36	45.65	67.97	42
r50j	65.45	33.86	56.12	65.54	59
r75j	75.19	17.13	66.73	68.89	76
j00g	87.03	-3.21	79.64	79.7	92
j25g	80.72	-24.03	66.82	71.01	110
j50g	70.64	-38.01	49.96	62.78	127
j75g	61.93	-50.08	35.41	61.34	145
g00b	52.8	-62.76	20.12	65.91	162
g25b	55.7	-47.65	-8.05	48.34	190
g50b	57.82	-36.91	-27.79	46.22	217
g75b	55.5	-21.19	-44.16	49.0	244
b00r	41.6	1.31	-43.27	43.3	272
b25r	29.0	24.11	-41.46	47.97	300
b50r	38.04	44.73	-27.29	52.41	329
b75r	49.48	70.07	-3.61	70.16	357



100



2122	19418	19161	2182	19126	221
------	-------	-------	------	-------	-----



Ein und Ausgabe: Farbmetrisches Drucker-Reflektiv-System ORS20_95a für relativen CIELAB-Buntton $h^* = lab^*h^* = h_{ab}/360 = 244/360 = 0.679$ $u^* = g75b$

Daten für jede Farbe:

lab^*ch^* und lab^*icu^*

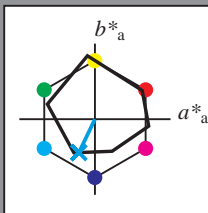
Elementar-Bunttontext:

$u^* = g75b$

Kontrastreduzierungsfaktor:

$c_R = 0.96$

Dreiecks-Helligkeit i^*



ORS20_95a; adaptierte CIELAB-Daten

	$L^*=L^*_a$	a^*_a	b^*_a	$C^*_{ab,a}$	$h^*_{ab,a}$
O _{Ma}	48.75	62.56	37.91	73.15	31
Y _{Ma}	90.92	-9.88	83.88	84.46	97
L _{Ma}	52.69	-62.9	19.95	66.0	162
C _{Ma}	59.61	-27.85	-44.43	52.45	238
V _{Ma}	28.39	22.72	-42.42	48.13	298
M _{Ma}	49.58	71.08	-9.19	71.67	353
N _{Ma}	20.0	0.0	0.0	0.0	0
W _{Ma}	95.0	0.0	0.0	0.0	0
R _{CIE}	39.92	58.74	27.99	65.07	25
J _{CIE}	81.26	-2.88	71.56	71.62	92
G _{CIE}	52.23	-42.41	13.6	44.55	162
B _{CIE}	30.57	1.41	-46.46	46.49	272

Daten für Maximalfarbe (Ma):

$LAB^*LAB^*_{Ma}$: 55 -20 -43

$LAB^*LCH^*_{Ma}$: 55 49 244

$lab^*rgb^*_{Ma}$: 0.0 0.5 1.0

$lab^*olv^*_{Ma}$: 0.0 0.87 1.0

Dreiecks-Helligkeit i^*

%Umfang

$u^*_{rel} = 83$

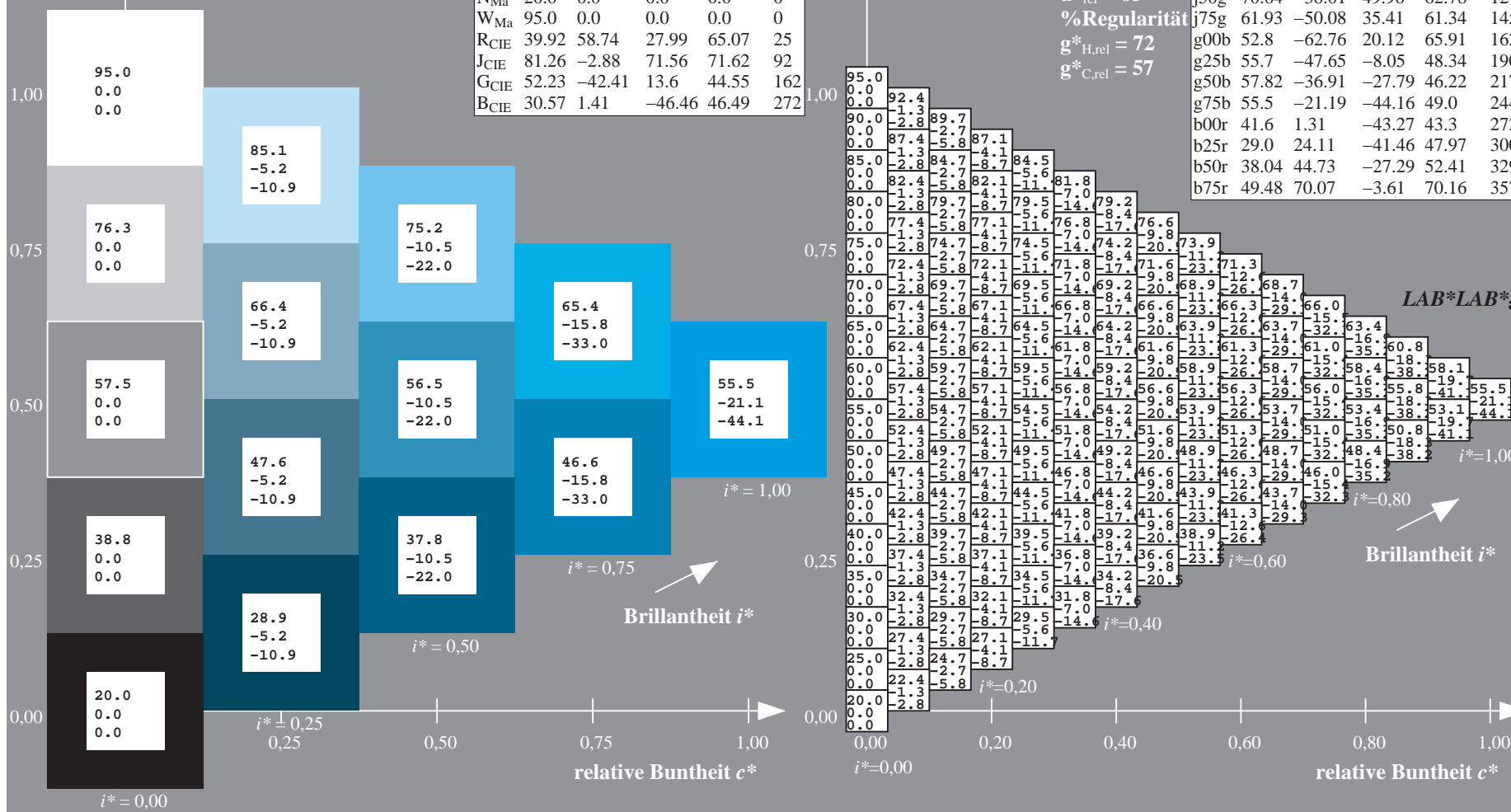
%Regularität

$g^*_{H,rel} = 72$

$g^*_{C,rel} = 57$

ORS20_95a; adaptierte CIELAB-Daten

	$L^*=L^*_a$	a^*_a	b^*_a	$C^*_{ab,a}$	$h^*_{ab,a}$
r00j	48.88	63.91	30.45	70.79	25
r25j	55.85	50.36	45.65	67.97	42
r50j	65.45	33.86	56.12	65.54	59
r75j	75.19	17.13	66.73	68.89	76
j00g	87.03	-3.21	79.64	79.7	92
j25g	80.72	-24.03	66.82	71.01	110
j50g	70.64	-38.01	49.96	62.78	127
j75g	61.93	-50.08	35.41	61.34	145
g00b	52.8	-62.76	20.12	65.91	162
g25b	55.7	-47.65	-8.05	48.34	190
g50b	57.82	-36.91	-27.79	46.22	217
g75b	55.5	-21.19	-44.16	49.0	244
b00r	41.6	1.31	-43.27	43.3	272
b25r	29.0	24.11	-41.46	47.97	300
b50r	38.04	44.73	-27.29	52.41	329
b75r	49.48	70.07	-3.61	70.16	357



Ein und Ausgabe: Farbmetrisches Drucker-Reflektiv-System ORS20_95a für relativen CIELAB-Buntton $h^* = lab^*h^* = h_{ab}/360 = 272/360 = 0.755$ $u^* = b00r$

Daten für jede Farbe:

lab^*ch^* und lab^*icu^*

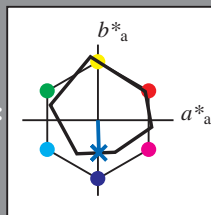
Elementar-Bunttontext:

$u^* = b00r$

Kontrastreduzierungsfaktor:

$c_R = 0.96$

Dreiecks-Helligkeit i^*



ORS20_95a; adaptierte CIELAB-Daten					
	$L^*=L^*_a$	a^*_a	b^*_a	$C^*_{ab,a}$	$h^*_{ab,a}$
O _{Ma}	48.75	62.56	37.91	73.15	31
Y _{Ma}	90.92	-9.88	83.88	84.46	97
L _{Ma}	52.69	-62.9	19.95	66.0	162
C _{Ma}	59.61	-27.85	-44.43	52.45	238
V _{Ma}	28.39	22.72	-42.42	48.13	298
M _{Ma}	49.58	71.08	-9.19	71.67	353
N _{Ma}	20.0	0.0	0.0	0.0	0
W _{Ma}	95.0	0.0	0.0	0.0	0
R _{CIE}	39.92	58.74	27.99	65.07	25
J _{CIE}	81.26	-2.88	71.56	71.62	92
G _{CIE}	52.23	-42.41	13.6	44.55	162
B _{CIE}	30.57	1.41	-46.46	46.49	272

Daten für Maximalfarbe (Ma):

$LAB^*LAB^*_{Ma}$: 42 1 -42

$LAB^*LCH^*_{Ma}$: 42 43 272

$lab^*rgb^*_{Ma}$: 0.0 0.0 1.0

$lab^*olv^*_{Ma}$: 0.0 0.42 1.0

Dreiecks-Helligkeit i^*

%Umfang

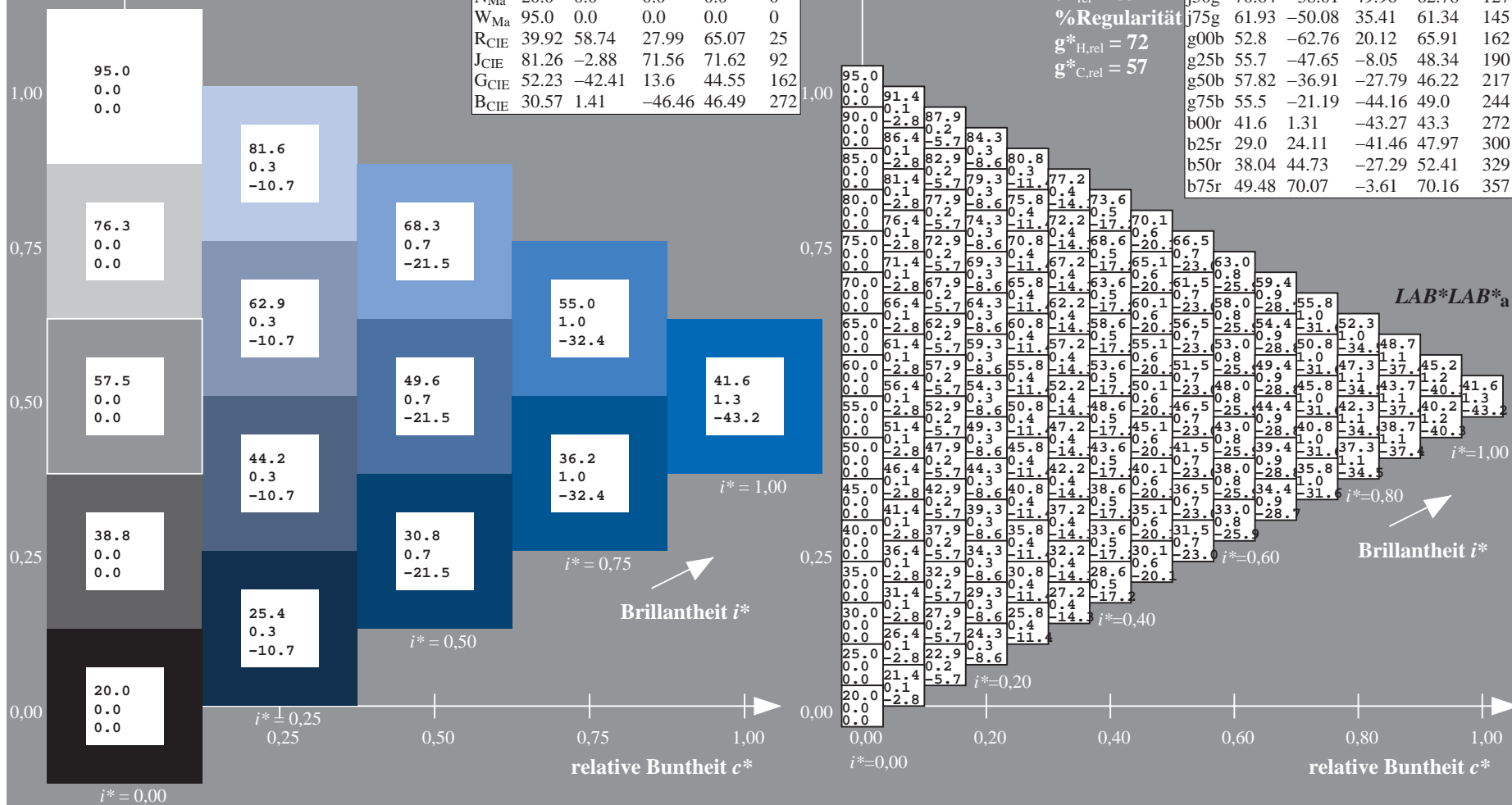
$u^*_{rel} = 83$

%Regularität

$g^*_{H,rel} = 72$

$g^*_{C,rel} = 57$

ORS20_95a; adaptierte CIELAB-Daten					
	$L^*=L^*_a$	a^*_a	b^*_a	$C^*_{ab,a}$	$h^*_{ab,a}$
r00j	48.88	63.91	30.45	70.79	25
r25j	55.85	50.36	45.65	67.97	42
r50j	65.45	33.86	56.12	65.54	59
r75j	75.19	17.13	66.73	68.89	76
j00g	87.03	-3.21	79.64	79.7	92
j25g	80.72	-24.03	66.82	71.01	110
j50g	70.64	-38.01	49.96	62.78	127
j75g	61.93	-50.08	35.41	61.34	145
g00b	52.8	-62.76	20.12	65.91	162
g25b	55.7	-47.65	-8.05	48.34	190
g50b	57.82	-36.91	-27.79	46.22	217
g75b	55.5	-21.19	-44.16	49.0	244
b00r	41.6	1.31	-43.27	43.3	272
b25r	29.0	24.11	-41.46	47.97	300
b50r	38.04	44.73	-27.29	52.41	329
b75r	49.48	70.07	-3.61	70.16	357



Ein und Ausgabe: Farbmetrisches Drucker-Reflektiv-System ORS20_95a für relativen CIELAB-Buntton $h^* = lab^*h^* = h_{ab}/360 = 300/360 = 0.834$ $u^* = b25r$

Daten für jede Farbe:

lab^*ch^* und lab^*icu^*

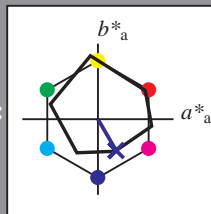
Elementar-Bunttontext:

$u^* = b25r$

Kontrastreduzierungsfaktor:

$c_R = 0.96$

Dreiecks-Helligkeit i^*



ORS20_95a; adaptierte CIELAB-Daten

	$L^*=L^*_a$	a^*_a	b^*_a	$C^*_{ab,a}$	$h^*_{ab,a}$
O _{Ma}	48.75	62.56	37.91	73.15	31
Y _{Ma}	90.92	-9.88	83.88	84.46	97
L _{Ma}	52.69	-62.9	19.95	66.0	162
C _{Ma}	59.61	-27.85	-44.43	52.45	238
V _{Ma}	28.39	22.72	-42.42	48.13	298
M _{Ma}	49.58	71.08	-9.19	71.67	353
N _{Ma}	20.0	0.0	0.0	0.0	0
W _{Ma}	95.0	0.0	0.0	0.0	0
R _{CIE}	39.92	58.74	27.99	65.07	25
J _{CIE}	81.26	-2.88	71.56	71.62	92
G _{CIE}	52.23	-42.41	13.6	44.55	162
B _{CIE}	30.57	1.41	-46.46	46.49	272

Daten für Maximalfarbe (Ma):

$LAB^*LAB^*_{Ma}$: 29 24 -40

$LAB^*LCH^*_{Ma}$: 29 48 300

$lab^*rgb^*_{Ma}$: 0.5 0.0 1.0

$lab^*olv^*_{Ma}$: 0.03 0.0 1.0

Dreiecks-Helligkeit i^*

%Umfang

$u^*_{rel} = 83$

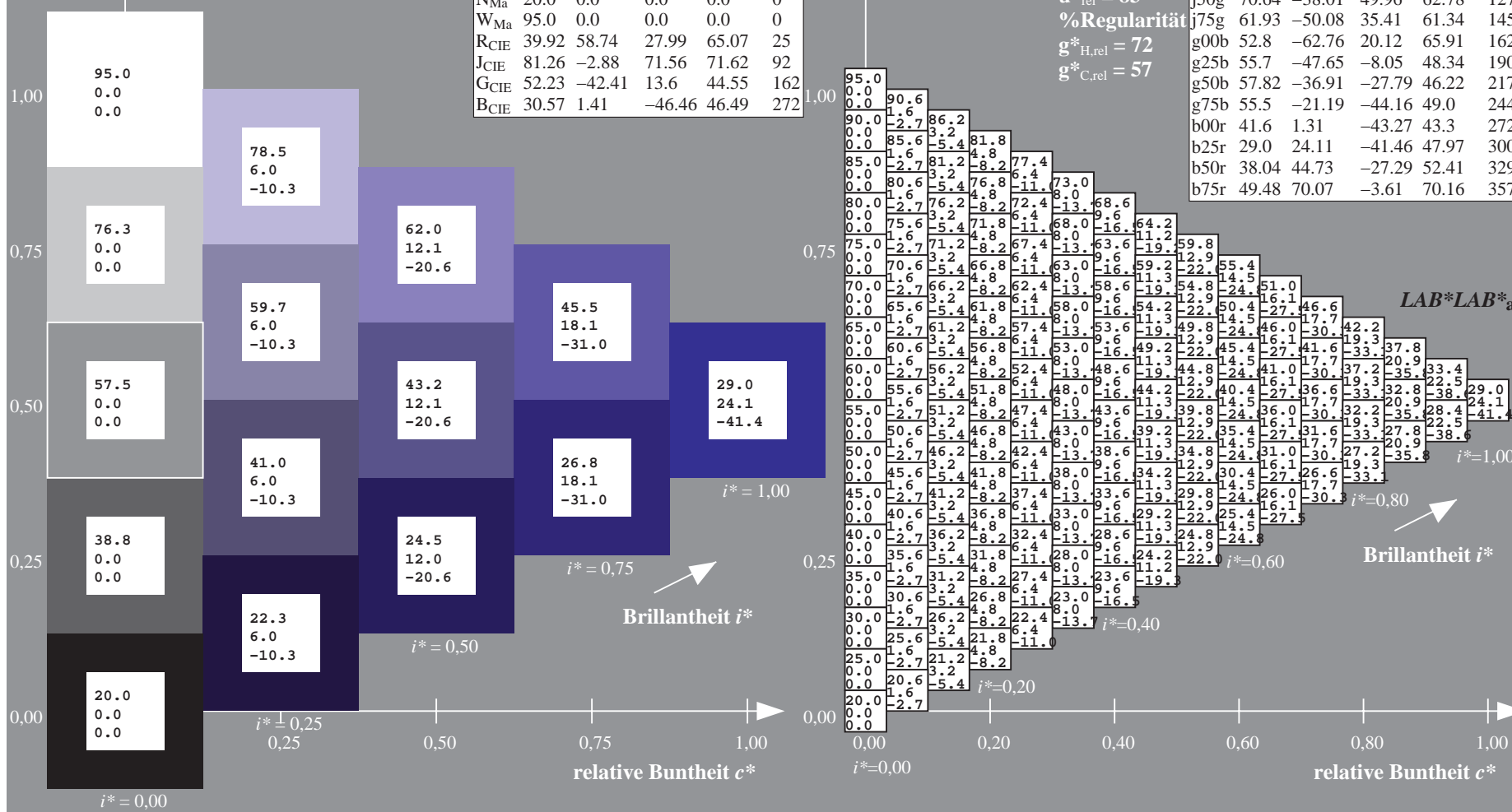
%Regularität

$g^*_{H,rel} = 72$

$g^*_{C,rel} = 57$

ORS20_95a; adaptierte CIELAB-Daten

	$L^*=L^*_a$	a^*_a	b^*_a	$C^*_{ab,a}$	$h^*_{ab,a}$
r00j	48.88	63.91	30.45	70.79	25
r25j	55.85	50.36	45.65	67.97	42
r50j	65.45	33.86	56.12	65.54	59
r75j	75.19	17.13	66.73	68.89	76
j00g	87.03	-3.21	79.64	79.7	92
j25g	80.72	-24.03	66.82	71.01	110
j50g	70.64	-38.01	49.96	62.78	127
j75g	61.93	-50.08	35.41	61.34	145
g00b	52.8	-62.76	20.12	65.91	162
g25b	55.7	-47.65	-8.05	48.34	190
g50b	57.82	-36.91	-27.79	46.22	217
g75b	55.5	-21.19	-44.16	49.0	244
b00r	41.6	1.31	-43.27	43.3	272
b25r	29.0	24.11	-41.46	47.97	300
b50r	38.04	44.73	-27.29	52.41	329
b75r	49.48	70.07	-3.61	70.16	357



Ein und Ausgabe: Farbmetrisches Drucker-Reflektiv-System ORS20_95a für relativen CIELAB-Buntton $h^* = lab^*h^* = h_{ab}/360 = 329/360 = 0.913$ $u^* = b50r$

Daten für jede Farbe:

lab^*ch^* und lab^*icu^*

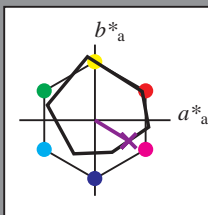
Elementar-Bunttontext:

$u^* = b50r$

Kontrastreduzierungsfaktor:

$c_R = 0.96$

Dreiecks-Helligkeit t^*



ORS20_95a; adaptierte CIELAB-Daten

	$L^*=L^*_a$	a^*_a	b^*_a	$C^*_{ab,a}$	$h^*_{ab,a}$
O _{Ma}	48.75	62.56	37.91	73.15	31
Y _{Ma}	90.92	-9.88	83.88	84.46	97
L _{Ma}	52.69	-62.9	19.95	66.0	162
C _{Ma}	59.61	-27.85	-44.43	52.45	238
V _{Ma}	28.39	22.72	-42.42	48.13	298
M _{Ma}	49.58	71.08	-9.19	71.67	353
N _{Ma}	20.0	0.0	0.0	0.0	0
W _{Ma}	95.0	0.0	0.0	0.0	0
R _{CIE}	39.92	58.74	27.99	65.07	25
J _{CIE}	81.26	-2.88	71.56	71.62	92
G _{CIE}	52.23	-42.41	13.6	44.55	162
B _{CIE}	30.57	1.41	-46.46	46.49	272

Daten für Maximalfarbe (Ma):

$LAB^*LAB^*_{Ma}$: 38 45 -26

$LAB^*LCH^*_{Ma}$: 38 52 329

$lab^*rgb^*_{Ma}$: 1.0 0.0 1.0

$lab^*olv^*_{Ma}$: 0.46 0.0 1.0

Dreiecks-Helligkeit t^*

%Umfang

$u^*_{rel} = 83$

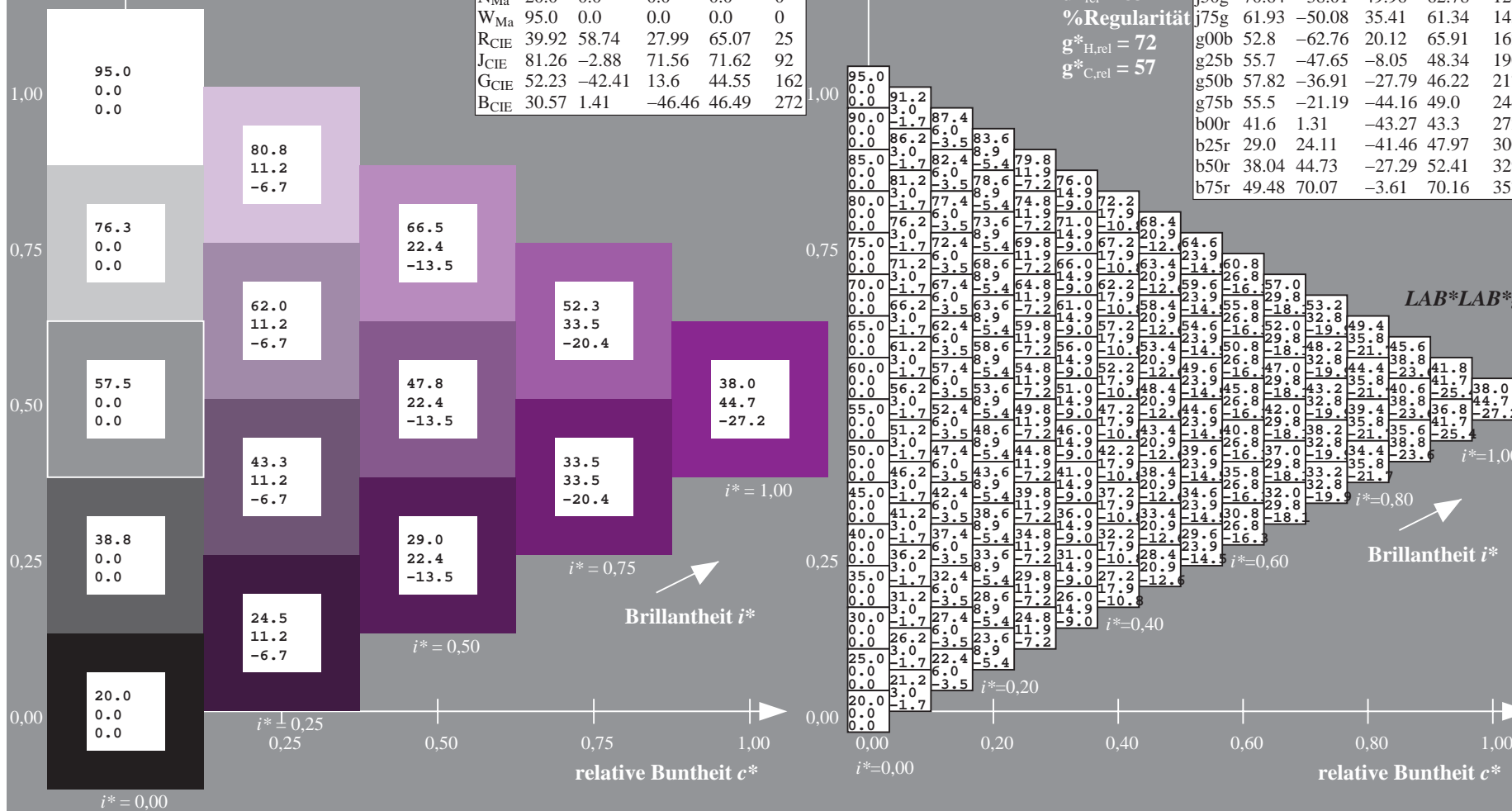
%Regularität

$g^*_{H,rel} = 72$

$g^*_{C,rel} = 57$

ORS20_95a; adaptierte CIELAB-Daten

	$L^*=L^*_a$	a^*_a	b^*_a	$C^*_{ab,a}$	$h^*_{ab,a}$
r00j	48.88	63.91	30.45	70.79	25
r25j	55.85	50.36	45.65	67.97	42
r50j	65.45	33.86	56.12	65.54	59
r75j	75.19	17.13	66.73	68.89	76
j00g	87.03	-3.21	79.64	79.7	92
j25g	80.72	-24.03	66.82	71.01	110
j50g	70.64	-38.01	49.96	62.78	127
j75g	61.93	-50.08	35.41	61.34	145
g00b	52.8	-62.76	20.12	65.91	162
g25b	55.7	-47.65	-8.05	48.34	190
g50b	57.82	-36.91	-27.79	46.22	217
g75b	55.5	-21.19	-44.16	49.0	244
b00r	41.6	1.31	-43.27	43.3	272
b25r	29.0	24.11	-41.46	47.97	300
b50r	38.04	44.73	-27.29	52.41	329
b75r	49.48	70.07	-3.61	70.16	357



Ein und Ausgabe: Farbmetrisches Drucker-Reflektiv-System ORS20_95a für relativen CIELAB-Buntton $h^* = lab^*h^* = h_{ab}/360 = 357/360 = 0.992$ $u^* = b75r$

Daten für jede Farbe:

lab^*ch^* und lab^*icu^*

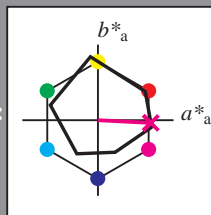
Elementar-Bunttontext:

$u^* = b75r$

Kontrastreduzierungsfaktor:

$c_R = 0.96$

Dreiecks-Helligkeit t^*



ORS20_95a; adaptierte CIELAB-Daten					
	$L^*=L^*_a$	a^*_a	b^*_a	$C^*_{ab,a}$	$h^*_{ab,a}$
O _{Ma}	48.75	62.56	37.91	73.15	31
Y _{Ma}	90.92	-9.88	83.88	84.46	97
L _{Ma}	52.69	-62.9	19.95	66.0	162
C _{Ma}	59.61	-27.85	-44.43	52.45	238
V _{Ma}	28.39	22.72	-42.42	48.13	298
M _{Ma}	49.58	71.08	-9.19	71.67	353
N _{Ma}	20.0	0.0	0.0	0.0	0
W _{Ma}	95.0	0.0	0.0	0.0	0
R _{CIE}	39.92	58.74	27.99	65.07	25
J _{CIE}	81.26	-2.88	71.56	71.62	92
G _{CIE}	52.23	-42.41	13.6	44.55	162
B _{CIE}	30.57	1.41	-46.46	46.49	272

Daten für Maximalfarbe (Ma):

$LAB^*LAB^*_{Ma}$: 49 70 -3

$LAB^*LCH^*_{Ma}$: 49 70 357

$lab^*rgb^*_{Ma}$: 1.0 0.0 0.5

$lab^*olv^*_{Ma}$: 1.0 0.0 0.88

Dreiecks-Helligkeit t^*

%Umfang

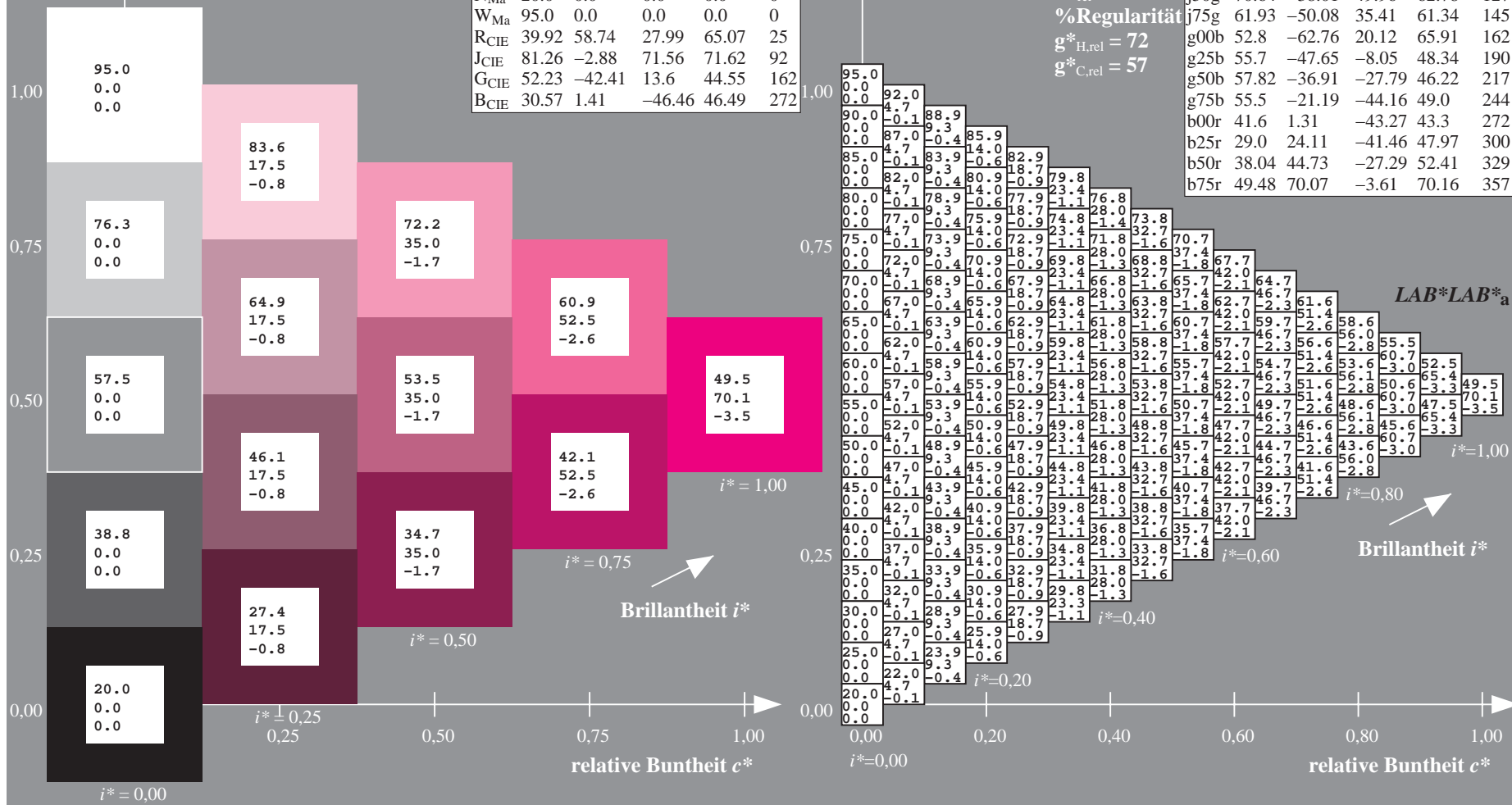
$u^*_{rel} = 83$

%Regularität

$g^*_{H,rel} = 72$

$g^*_{C,rel} = 57$

ORS20_95a; adaptierte CIELAB-Daten					
	$L^*=L^*_a$	a^*_a	b^*_a	$C^*_{ab,a}$	$h^*_{ab,a}$
r00j	48.88	63.91	30.45	70.79	25
r25j	55.85	50.36	45.65	67.97	42
r50j	65.45	33.86	56.12	65.54	59
r75j	75.19	17.13	66.73	68.89	76
j00g	87.03	-3.21	79.64	79.7	92
j25g	80.72	-24.03	66.82	71.01	110
j50g	70.64	-38.01	49.96	62.78	127
j75g	61.93	-50.08	35.41	61.34	145
g00b	52.8	-62.76	20.12	65.91	162
g25b	55.7	-47.65	-8.05	48.34	190
g50b	57.82	-36.91	-27.79	46.22	217
g75b	55.5	-21.19	-44.16	49.0	244
b00r	41.6	1.31	-43.27	43.3	272
b25r	29.0	24.11	-41.46	47.97	300
b50r	38.04	44.73	-27.29	52.41	329
b75r	49.48	70.07	-3.61	70.16	357

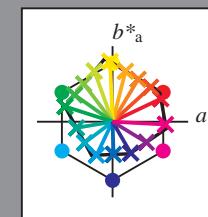


Siehe ähnliche Dateien: <http://www.ps.bam.de/Dg99/>; www.ps.bam.de/Dg99/10L/L99G00NA.PS/.TXT
Technische Information: [http://www.ps.bam.de/Version 2.1, io=1.1, ColSpX=1](http://www.ps.bam.de/Version%202.1,io=1.1,ColSpX=1)

	A	B	C	D	E	F	G	H	I	J	K	L	M	N	O	P	Q	R	S	T	U	V	W	X	Y	Z	a	b	c	d	e	f	g	h	i	j	k	LAB*LAB*a																																																																																																																																																																																																																																																																																																																																																																																																																																																																																																																																																																																																																																																																																																																																																																																																																																																																																																																																																																																																																																																					
01	20.0	24.1	28.2	32.3	36.3	40.4	44.5	48.6	52.7	56.8	60.9	65.0	69.1	73.2	77.3	81.4	85.5	89.6	93.7	97.8	101.9	106.0	110.1	114.2	118.3	122.4	126.5	130.6	134.7	138.8	142.9	147.0	151.1	155.2	159.3	163.4	167.5	171.6	175.7	179.8	183.9	188.0	192.1	196.2	200.3																																																																																																																																																																																																																																																																																																																																																																																																																																																																																																																																																																																																																																																																																																																																																																																																																																																																																																																																																																																																																																														
02	20.0	7.8	-15.6	-23.5	-31.3	-39.2	-47.1	-54.9	-62.7	-70.5	-78.3	-86.1	-93.9	-101.7	-109.5	-117.3	-125.1	-132.9	-140.7	-148.5	-156.3	-164.1	-171.9	-179.7	-187.5	-195.3	-203.1	-210.9	-218.7	-226.5	-234.3	-242.1	-249.9	-257.7	-265.5	-273.3	-281.1	-288.9	-296.7	-304.5	-312.3	-320.1	-327.9	-335.7	-343.5	-351.3	-359.1	-366.9	-374.7	-382.5	-390.3	-398.1	-405.9	-413.7	-421.5	-429.3	-437.1	-444.9	-452.7	-460.5	-468.3	-476.1	-483.9	-491.7	-500.0	-507.8	-515.6	-523.4	-531.2	-539.0	-546.8	-554.6	-562.4	-570.2	-578.0	-585.8	-593.6	-601.4	-609.2	-617.0	-624.8	-632.6	-640.4	-648.2	-656.0	-663.8	-671.6	-679.4	-687.2	-695.0	-702.8	-710.6	-718.4	-726.2	-734.0	-741.8	-749.6	-757.4	-765.2	-773.0	-780.8	-788.6	-796.4	-804.2	-812.0	-819.8	-827.6	-835.4	-843.2	-851.0	-858.8	-866.6	-874.4	-882.2	-890.0	-897.8	-905.6	-913.4	-921.2	-929.0	-936.8	-944.6	-952.4	-960.2	-968.0	-975.8	-983.6	-991.4	-999.2	-1007.0	-1014.8	-1022.6	-1030.4	-1038.2	-1046.0	-1053.8	-1061.6	-1069.4	-1077.2	-1085.0	-1092.8	-1100.6	-1108.4	-1116.2	-1124.0	-1131.8	-1139.6	-1147.4	-1155.2	-1163.0	-1170.8	-1178.6	-1186.4	-1194.2	-1202.0	-1209.8	-1217.6	-1225.4	-1233.2	-1241.0	-1248.8	-1256.6	-1264.4	-1272.2	-1280.0	-1287.8	-1295.6	-1303.4	-1311.2	-1319.0	-1326.8	-1334.6	-1342.4	-1350.2	-1358.0	-1365.8	-1373.6	-1381.4	-1389.2	-1397.0	-1404.8	-1412.6	-1420.4	-1428.2	-1436.0	-1443.8	-1451.6	-1459.4	-1467.2	-1475.0	-1482.8	-1490.6	-1498.4	-1506.2	-1514.0	-1521.8	-1529.6	-1537.4	-1545.2	-1553.0	-1560.8	-1568.6	-1576.4	-1584.2	-1592.0	-1600.0	-1607.8	-1615.6	-1623.4	-1631.2	-1639.0	-1646.8	-1654.6	-1662.4	-1670.2	-1678.0	-1685.8	-1693.6	-1701.4	-1709.2	-1717.0	-1724.8	-1732.6	-1740.4	-1748.2	-1756.0	-1763.8	-1771.6	-1779.4	-1787.2	-1795.0	-1802.8	-1810.6	-1818.4	-1826.2	-1834.0	-1841.8	-1849.6	-1857.4	-1865.2	-1873.0	-1880.8	-1888.6	-1896.4	-1904.2	-1912.0	-1919.8	-1927.6	-1935.4	-1943.2	-1951.0	-1958.8	-1966.6	-1974.4	-1982.2	-1990.0	-1997.8	-2005.6	-2013.4	-2021.2	-2029.0	-2036.8	-2044.6	-2052.4	-2060.2	-2068.0	-2075.8	-2083.6	-2091.4	-2099.2	-2107.0	-2114.8	-2122.6	-2130.4	-2138.2	-2146.0	-2153.8	-2161.6	-2169.4	-2177.2	-2185.0	-2192.8	-2200.6	-2208.4	-2216.2	-2224.0	-2231.8	-2239.6	-2247.4	-2255.2	-2263.0	-2270.8	-2278.6	-2286.4	-2294.2	-2302.0	-2309.8	-2317.6	-2325.4	-2333.2	-2341.0	-2348.8	-2356.6	-2364.4	-2372.2	-2380.0	-2387.8	-2395.6	-2403.4	-2411.2	-2419.0	-2426.8	-2434.6	-2442.4	-2450.2	-2458.0	-2465.8	-2473.6	-2481.4	-2489.2	-2497.0	-2504.8	-2512.6	-2520.4	-2528.2	-2536.0	-2543.8	-2551.6	-2559.4	-2567.2	-2575.0	-2582.8	-2590.6	-2598.4	-2606.2	-2614.0	-2621.8	-2629.6	-2637.4	-2645.2	-2653.0	-2660.8	-2668.6	-2676.4	-2684.2	-2692.0	-2700.0	-2707.8	-2715.6	-2723.4	-2731.2	-2739.0	-2746.8	-2754.6	-2762.4	-2770.2	-2778.0	-2785.8	-2793.6	-2801.4	-2809.2	-2817.0	-2824.8	-2832.6	-2840.4	-2848.2	-2856.0	-2863.8	-2871.6	-2879.4	-2887.2	-2895.0	-2902.8	-2910.6	-2918.4	-2926.2	-2934.0	-2941.8	-2949.6	-2957.4	-2965.2	-2973.0	-2980.8	-2988.6	-2996.4	-3004.2	-3012.0	-3019.8	-3027.6	-3035.4	-3043.2	-3051.0	-3058.8	-3066.6	-3074.4	-3082.2	-3090.0	-3097.8	-3105.6	-3113.4	-3121.2	-3129.0	-3136.8	-3144.6	-3152.4	-3160.2	-3168.0	-3175.8	-3183.6	-3191.4	-3199.2	-3207.0	-3214.8	-3222.6	-3230.4	-3238.2	-3246.0	-3253.8	-3261.6	-3269.4	-3277.2	-3285.0	-3292.8	-3300.6	-3308.4	-3316.2	-3324.0	-3331.8	-3339.6	-3347.4	-3355.2	-3363.0	-3370.8	-3378.6	-3386.4	-3394.2	-3402.0	-3409.8	-3417.6	-3425.4	-3433.2	-3441.0	-3448.8	-3456.6	-3464.4	-3472.2	-3480.0	-3487.8	-3495.6	-3503.4	-3511.2	-3519.0	-3526.8	-3534.6	-3542.4	-3550.2	-3558.0	-3565.8	-3573.6	-3581.4	-3589.2	-3597.0	-3604.8	-3612.6	-3620.4	-3628.2	-3636.0	-3643.8	-3651.6	-3659.4	-3667.2	-3675.0	-3682.8	-3690.6	-3698.4	-3706.2	-3714.0	-3721.8	-3729.6	-3737.4	-3745.2	-3753.0	-3760.8	-3768.6	-3776.4	-3784.2	-3792.0	-3800.0	-3807.8	-3815.6	-3823.4	-3831.2	-3839.0	-3846.8	-3854.6	-3862.4	-3870.2	-3878.0	-3885.8	-3893.6	-3901.4	-3909.2	-3917.0	-3924.8	-3932.6	-3940.4	-3948.2	-3956.0	-3963.8	-3971.6	-3979.4	-3987.2	-3995.0	-4002.8	-4010.6	-4018.4	-4026.2	-4034.0	-4041.8	-4049.6	-4057.4	-4065.2	-4073.0	-4080.8	-4088.6	-4096.4	-4104.2	-4112.0	-4119.8	-4127.6	-4135.4	-4143.2	-4151.0	-4158.8	-4166.6	-4174.4	-4182.2	-4190.0	-4197.8	-4205.6	-4213.4	-4221.2	-4229.0	-4236.8	-4244.6	-4252.4	-4260.2	-4268.0	-4275.8	-4283.6	-4291.4	-4299.2	-4307.0	-4314.8	-4322.6	-4330.4	-4338.2	-4346.0	-4353.8	-4361.6	-4369.4	-4377.2	-4385.0	-4392.8	-4400.6	-4408.4	-4416.2	-4424.0	-4431.8	-4439.6	-4447.4	-4455.2	-4463.0	-4470.8	-4478.6	-4486.4	-4494.2	-4502.0	-4509.8	-4517.6	-4525.4	-4533.2	-4541.0	-4548.8	-4556.6	-4564.4	-4572.2	-4580.0	-4587.8	-4595.6	-4603.4	-4611.2	-4619.0	-4626.8	-4634.6	-4642.4	-4650.2	-4658.0	-4665.8	-4673.6	-4681.4	-4689.2	-4697.0	-4704.8	-4712.6	-4720.4	-4728.2	-4736.0	-4743.8	-4751.6	-4759.4	-4767.2	-4775.0	-4782.8	-4790.6	-4798.4	-4806.2	-4814.0	-4821.8	-4829.6	-4837.4	-4845.2	-4853.0	-4860.8	-4868.6	-4876.4	-4884.2	-4892.0	-4900.0	-4907.8	-4915.6	-4923.4	-4931.2	-4939.0	-4946.8	-4954.6	-4962.4	-4970.2	-4978.0	-4985.8	-4993.6	-5001.4	-5009.2	-5017.0	-5024.8	-5032.6	-5040.4	-5048.2	-5056.0	-5063.8	-5071.6	-5079.4	-5087.2	-5095.0	-5102.8	-5110.6	-5118.4	-5126.2	-5134.0	-5141.8	-5149.6	-5157.4	-5165.2	-5173.0	-5180.8	-5188.6	-5196.4	-5204.2	-5212.0	-5219.8	-5227.6	-5235.4	-5243.2	-5251.0	-5258.8	-5266.6	-5274.4	-5282.2	-5290.0	-5297.8	-5305.6	-5313.4	-5321.2	-5329.0	-5336.8	-5344.6	-5352.4	-5360.2	-5368.0	-5375.8	-5383.6	-5391.4	-5399.2	-5407.0	-5414.8	-5422.6	-5430.4	-5438.2	-5446.0	-5453.8	-5461.6	-5469.4	-5477.2	-5485.0	-5492.8	-5500.6	-5508.4	-5516.2	-5524.0	-5531.8	-5539.6	-5547.4	-5555.2	-5563.0	-5570.8	-5578.6	-5586.4	-5594.2	-5602.0	-5609.8	-5617.6	-5625.4	-5633.2	-5641.0	-5648.8	-5656.6	-5664.4	-5672.2	-5680.0	-5687.8	-5695.6	-5703.4	-5711.2	-5719.0	-5726.8	-5734.6	-5742.4	-5750.2	-5758.0	-5765.8	-5773.6	-5781.4	-5789.2	-5797.0	-5804.8	-5812.6	-5820.4	-5828.2	-5836.0	-5843.8	-5851.6	-5859.4	-5867.2	-5875.0	-5882.8	-5890.6	-5898.4	-5906.2	-5914.0	-5921.8	-5929.6	-5937.4	-5945.2	-5953.0	-5960.8	-5968.6	-5976.4	-5984.2	-5992.0	-6000.0	-6007.8	-6015.6	-6023.4	-6031.2	-6039.0	-6046.8	-6054.6	-6062.4	-6070.2	-6078.0	-6085.8	-6093.6	-6101.4	-6109.2	-6117.0	-6124.8	-6132.6	-6140.4	-6148.2	-6156.0	-6163.8	-6171.6	-6179.4	-6187.2	-6195.0	-6202.8	-6210.6	-6218.4	-6226.2	-6234.0	-6241.8	-6249.6	-6257.4	-6265.2	-6273.0	-6280.8	-6288.6	-6296.4	-6304.2	-6312.0	-6319.8	-6327.6	-6335.4	-6343.2	-6351.0	-6358.8	-6366.6	-6374.4	-6382.2	-6390.0	-6397.8	-6405.6	-6413.4	-6421.2	-6429.0	-6436.8	-6444.6	-6452.4	-6460.2	-6468.0	-6475.8	-6483.6	-6491.4	-6499.2	-6507.0	-6514.8	-6522.6	-6530.4	-6538.2	-6546.0	-6553.8	-6561.6	-6569.4	-6577.2	-6585.0	-6592.8	-6600.6	-6608.4	-6616.2	-6624.0	-6631.8	-6639.6	-6647.4	-6655.2	-6663.0	-6670.8	-6678.6	-6686.4	-6694.2	-6702.0	-6709.8	-6717.6	-6725.4	-6733.2	-6741.0	-6748.8	-6756.6	-6764.4	-6772.2	-6780.0	-6787.8	-6795.6	-6803.4	-6811.2	-6819.0	-6826.8	-6834.6	-6842.4	-6850.2	-6858.0	-6865.8	-6873.6	-6881.4	-6889.2	-6897.0	-6904.8	-6912.6	-6920.4	-6928.2	-6936.0	-6943.8	-6951.6	-6959.4	-6967.2	-6975.0	-6982.8	-6990.6	-6998.4	-7006.2	-7014.0	-7021.8	-7029.6	-7037.4	-7045.2	-7053.0	-7060.8	-7068.6	-7076.4	-7084.2	-7092.0	-7100.0	-7107.8	-7115.6	-7123.4	-7131.2	-7139.0	-7146.8	-7154.6	-7162.4	-7170.2	-7178.0	-7185.8	-7193.6	-7201.4	-7209.2	-7217.0	-7224.8	-7232.6	-7240.4	-7248.2	-7256.0	-7263.8	-7271.6	-7279.4	-7287.2	-7295.0	-7302.8	-7310.6	-7318.4	-7326.2	-7334.0	-7341.8	-7349.6	-7357.4	-7365.2	-7373.0	-7380.8	-7388.6	-7396.4	-7404.2	-7412.0	-7419.8	-7427.6	-7435.4	-7443.2	-7451.0	-7458.8	-7466.6	-7474.4	-7482.2	-7490.0	-7497.8	-7505.6	-7513.4	-7521.2	-7529.0	-7536.8	-7544.6	-7552.4	-7560.2	-7568.0	-7575.8	-7583.6	-7591.4	-7599.2	-7607.0	-7614.8	-7622.6	-7630.4	-7638.2	-7646.0	-7653.8	-7661.6	-7669.4	-7677.2	-7685.0	-7692.8	-7700.6	-7708.4	-7716.2	-7724.0	-7731.8	-7739.6	-7747.4	-7755.2	-7763.0	-7770.8	-7778.6	-7786.4	-7794.2	-7802.0	-7809.8	-7817.6	-7825.4	-7833.2	-7841.0	-7848.8	-7856.6	-7864.4	-7872.2	-7880.0	-7887.8	-7895.6	-7903.4	-7911.2	-7919.0	-7926.8	-7934.6	-7942.4	-7950.2	-7958.0	-7965.8	-7973.6	-7981.4	-7989.2	-7997.0	-8004.8	-8012.6	-8020.4	-8028.2	-8036.0	-8043.8	-8051.6	-8059.4	-8067.2	-8075.0	-8082.8	-8090.6	-8098.4	-8106.2	-8114.0	-8121.8	-8129.6	-8137.4	-8145.2	-8153.0	-8160.8	-8168.6	-8176.4	-8184.2	-8

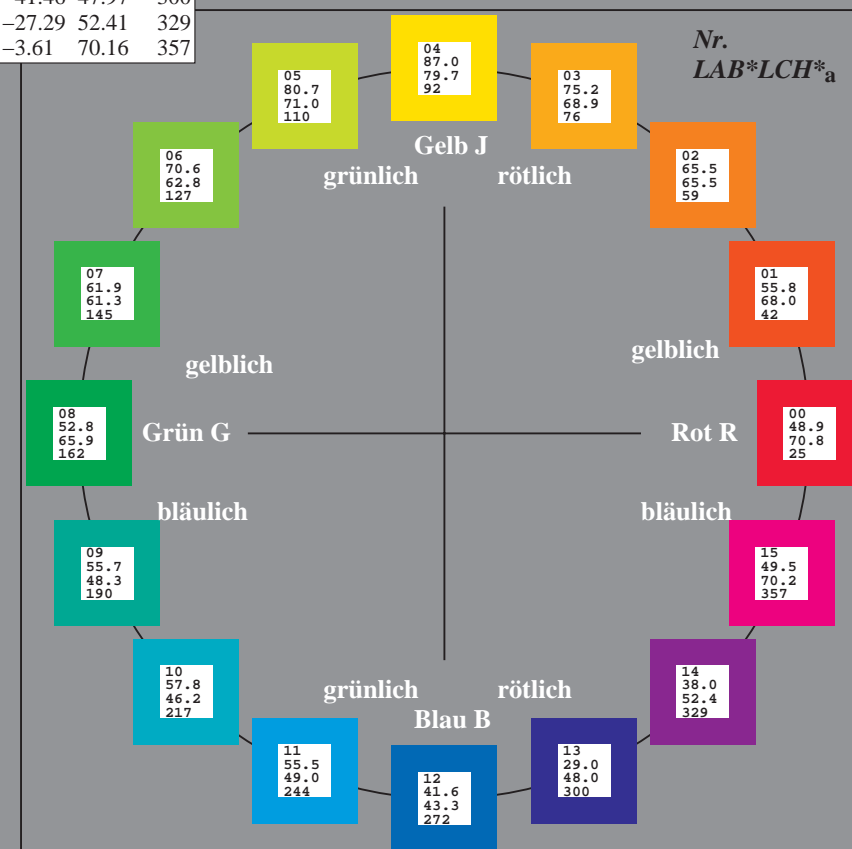
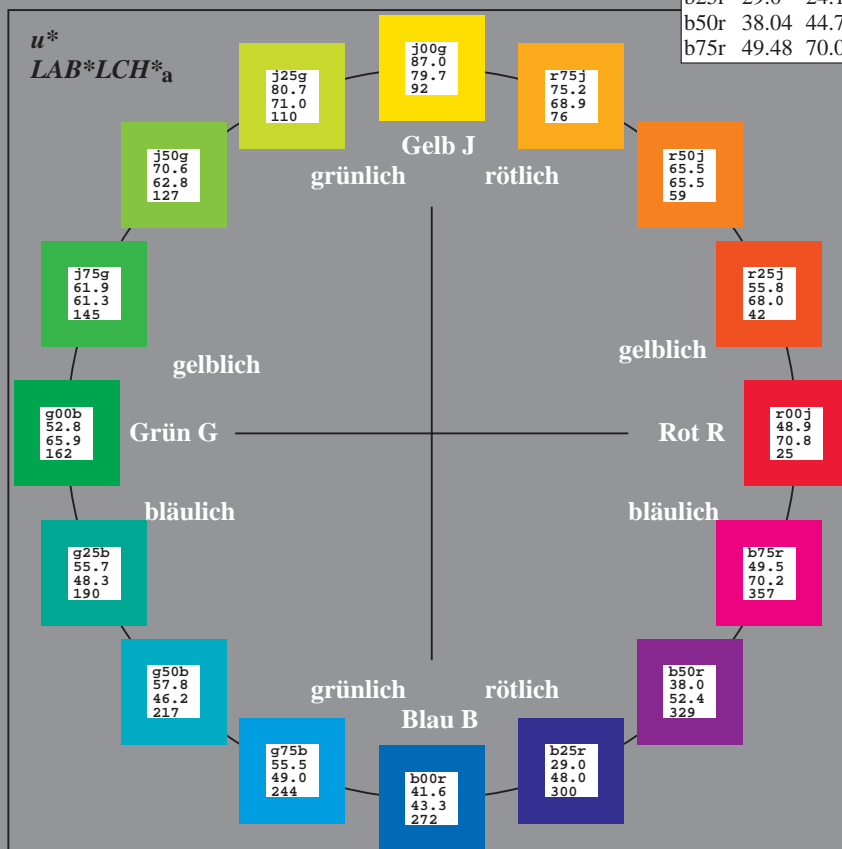
Ein und Ausgabe:
Farbmetrisches Drucker-Reflektiv-System ORS20_95a
Daten für jede Farbe:
*lab*_{ch}** und *lab*_{icu}**
Elementar-Bunntontext:
*u** = 16 Bunttöne *r00j*, *r25j*, ..., *b75r*
Kontrastreduzierungsfaktor:
c_R = 0.96

ORS20_95a; adaptierte CIELAB-Daten					
	<i>L*</i> = <i>L*</i> _a	<i>a*</i> _a	<i>b*</i> _a	<i>C*</i> _{ab,a}	<i>h*</i> _{ab,a}
r00j	48.88	63.91	30.45	70.79	25
r25j	55.85	50.36	45.65	67.97	42
r50j	65.45	33.86	56.12	65.54	59
r75j	75.19	17.13	66.73	68.89	76
j00g	87.03	-3.21	79.64	79.7	92
j25g	80.72	-24.03	66.82	71.01	110
j50g	70.64	-38.01	49.96	62.78	127
j75g	61.93	-50.08	35.41	61.34	145
g00b	52.8	-62.76	20.12	65.91	162
g25b	55.7	-47.65	-8.05	48.34	190
g50b	57.82	-36.91	-27.79	46.22	217
g75b	55.5	-21.19	-44.16	49.0	244
b00r	41.6	1.31	-43.27	43.3	272
b25r	29.0	24.11	-41.46	47.97	300
b50r	38.04	44.73	-27.29	52.41	329
b75r	49.48	70.07	-3.61	70.16	357



%Umfang
*u**_{rel} = 83
%Regularität
*g**_{H,rel} = 72
*g**_{C,rel} = 57

ORS20_95a; adaptierte CIELAB-Daten					
	<i>L*</i> = <i>L*</i> _a	<i>a*</i> _a	<i>b*</i> _a	<i>C*</i> _{ab,a}	<i>h*</i> _{ab,a}
OMa	48.75	62.56	37.91	73.15	31
YMa	90.92	-9.88	83.88	84.46	97
LMa	52.69	-62.9	19.95	66.0	162
CMa	59.61	-27.85	-44.43	52.45	238
VMa	28.39	22.72	-42.42	48.13	298
MMa	49.58	71.08	-9.19	71.67	353
NMa	20.0	0.0	0.0	0.0	0
WMa	95.0	0.0	0.0	0.0	0
RCIE	39.92	58.74	27.99	65.07	25
JCIE	81.26	-2.88	71.56	71.62	92
GCIE	52.23	-42.41	13.6	44.55	162
BCIE	30.57	1.41	-46.46	46.49	272



Ein und Ausgabe: Farbmetrisches Drucker-Reflektiv-System ORS20_95a für relativen CIELAB-Buntton $h^* = lab^*h^* = h_{ab}/360 = 25/360 = 0.071$

Daten für jede Farbe:

lab^*ch^* und lab^*icu^*

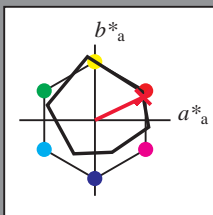
Elementar-Bunttonext:

$u^* = r00j$

Kontrastreduzierungsfaktor:

$c_R = 0.96$

Dreiecks-Helligkeit t^*



ORS20_95a; adaptierte CIELAB-Daten					
	$L^*=L^*_a$	a^*_a	b^*_a	$C^*_{ab,a}$	$h^*_{ab,a}$
O _{Ma}	48.75	62.56	37.91	73.15	31
Y _{Ma}	90.92	-9.88	83.88	84.46	97
L _{Ma}	52.69	-62.9	19.95	66.0	162
C _{Ma}	59.61	-27.85	-44.43	52.45	238
V _{Ma}	28.39	22.72	-42.42	48.13	298
M _{Ma}	49.58	71.08	-9.19	71.67	353
N _{Ma}	20.0	0.0	0.0	0.0	0
W _{Ma}	95.0	0.0	0.0	0.0	0
R _{CIE}	39.92	58.74	27.99	65.07	25
J _{CIE}	81.26	-2.88	71.56	71.62	92
G _{CIE}	52.23	-42.41	13.6	44.55	162
B _{CIE}	30.57	1.41	-46.46	46.49	272

Daten für Maximalfarbe (Ma):

$LAB^*LAB^*_{Ma}$: 49 64 30

$LAB^*LCH^*_{Ma}$: 49 71 25

$lab^*rgb^*_{Ma}$: 1.0 0.0 0.0

$lab^*olv^*_{Ma}$: 1.0 0.0 0.16

Dreiecks-Helligkeit t^*

%Umfang

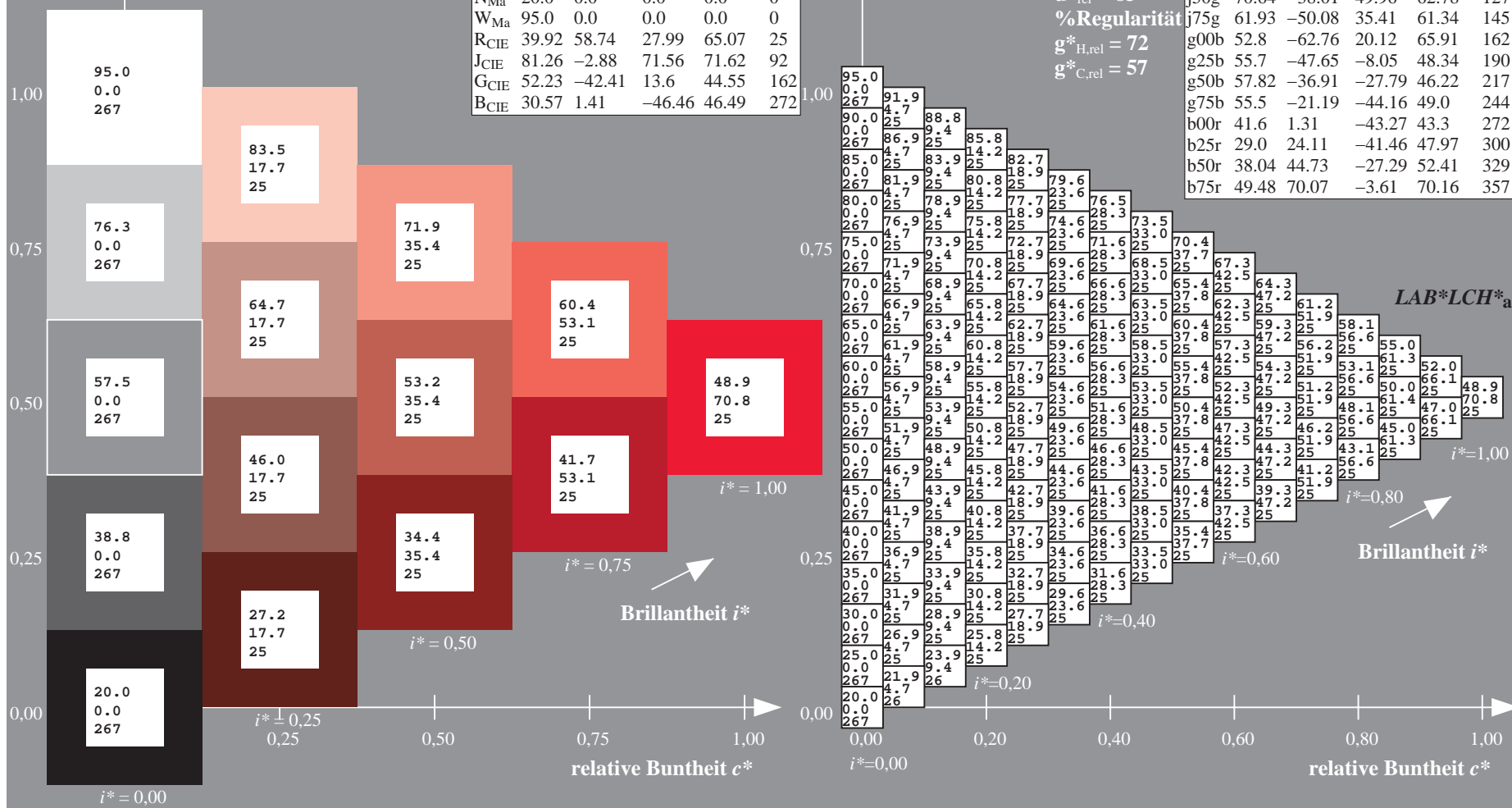
$u^*_{rel} = 83$

%Regularität

$g^*_{H,rel} = 72$

$g^*_{C,rel} = 57$

ORS20_95a; adaptierte CIELAB-Daten					
	$L^*=L^*_a$	a^*_a	b^*_a	$C^*_{ab,a}$	$h^*_{ab,a}$
r00j	48.88	63.91	30.45	70.79	25
r25j	55.85	50.36	45.65	67.97	42
r50j	65.45	33.86	56.12	65.54	59
r75j	75.19	17.13	66.73	68.89	76
j00g	87.03	-3.21	79.64	79.7	92
j25g	80.72	-24.03	66.82	71.01	110
j50g	70.64	-38.01	49.96	62.78	127
j75g	61.93	-50.08	35.41	61.34	145
g00b	52.8	-62.76	20.12	65.91	162
g25b	55.7	-47.65	-8.05	48.34	190
g50b	57.82	-36.91	-27.79	46.22	217
g75b	55.5	-21.19	-44.16	49.0	244
b00r	41.6	1.31	-43.27	43.3	272
b25r	29.0	24.11	-41.46	47.97	300
b50r	38.04	44.73	-27.29	52.41	329
b75r	49.48	70.07	-3.61	70.16	357



Ein und Ausgabe: Farbmetrisches Drucker-Reflektiv-System ORS20_95a für relativen CIELAB-Buntton $h^* = lab^*h^* = h_{ab}/360 = 42/360 = 0.117$ $u^* = r25j$

Daten für jede Farbe:

lab^*ch^* und lab^*icu^*

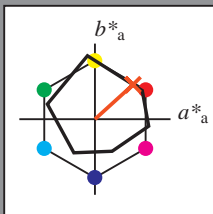
Elementar-Bunttontext:

$u^* = r25j$

Kontrastreduzierungsfaktor:

$c_R = 0.96$

Dreiecks-Helligkeit i^*



ORS20_95a; adaptierte CIELAB-Daten					
	$L^*=L^*_a$	a^*_a	b^*_a	$C^*_{ab,a}$	$h^*_{ab,a}$
O _{Ma}	48.75	62.56	37.91	73.15	31
Y _{Ma}	90.92	-9.88	83.88	84.46	97
L _{Ma}	52.69	-62.9	19.95	66.0	162
C _{Ma}	59.61	-27.85	-44.43	52.45	238
V _{Ma}	28.39	22.72	-42.42	48.13	298
M _{Ma}	49.58	71.08	-9.19	71.67	353
N _{Ma}	20.0	0.0	0.0	0.0	0
W _{Ma}	95.0	0.0	0.0	0.0	0
R _{CIE}	39.92	58.74	27.99	65.07	25
J _{CIE}	81.26	-2.88	71.56	71.62	92
G _{CIE}	52.23	-42.41	13.6	44.55	162
B _{CIE}	30.57	1.41	-46.46	46.49	272

Daten für Maximalfarbe (Ma):

$LAB^*LAB^*_{Ma}$: 56 50 46

$LAB^*LCH^*_{Ma}$: 56 68 42

$lab^*rgb^*_{Ma}$: 1.0 0.25 0.0

$lab^*olv^*_{Ma}$: 1.0 0.17 0.0

Dreiecks-Helligkeit i^*

%Umfang

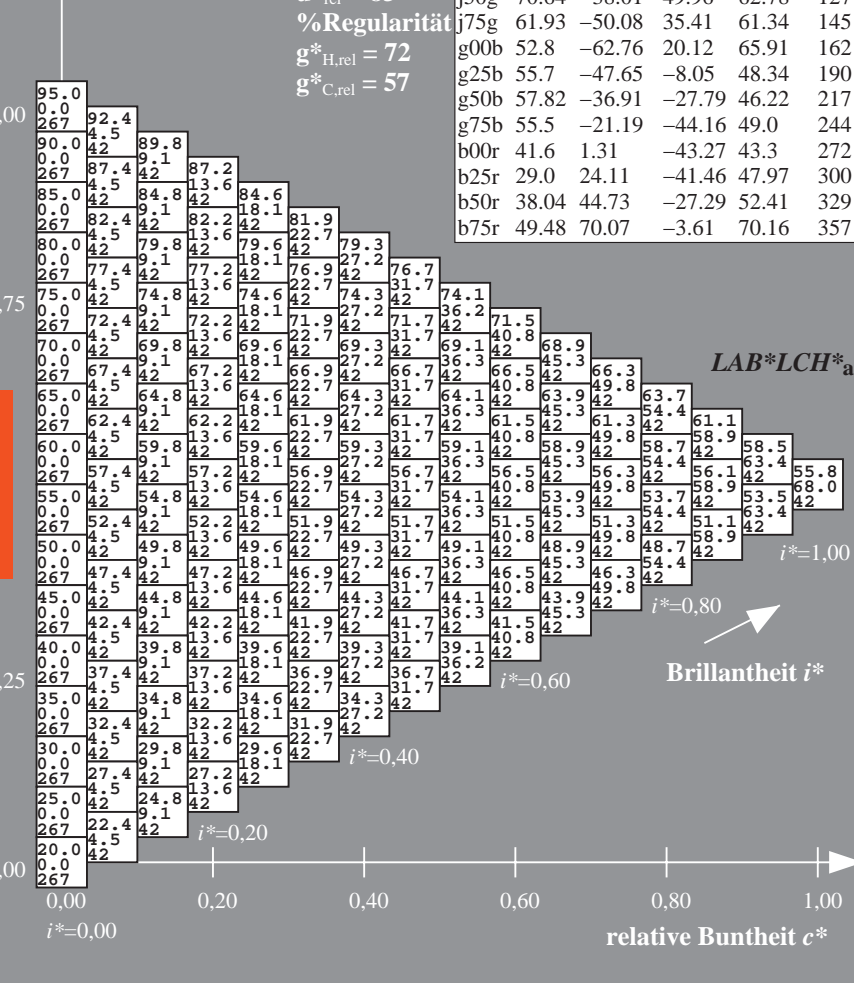
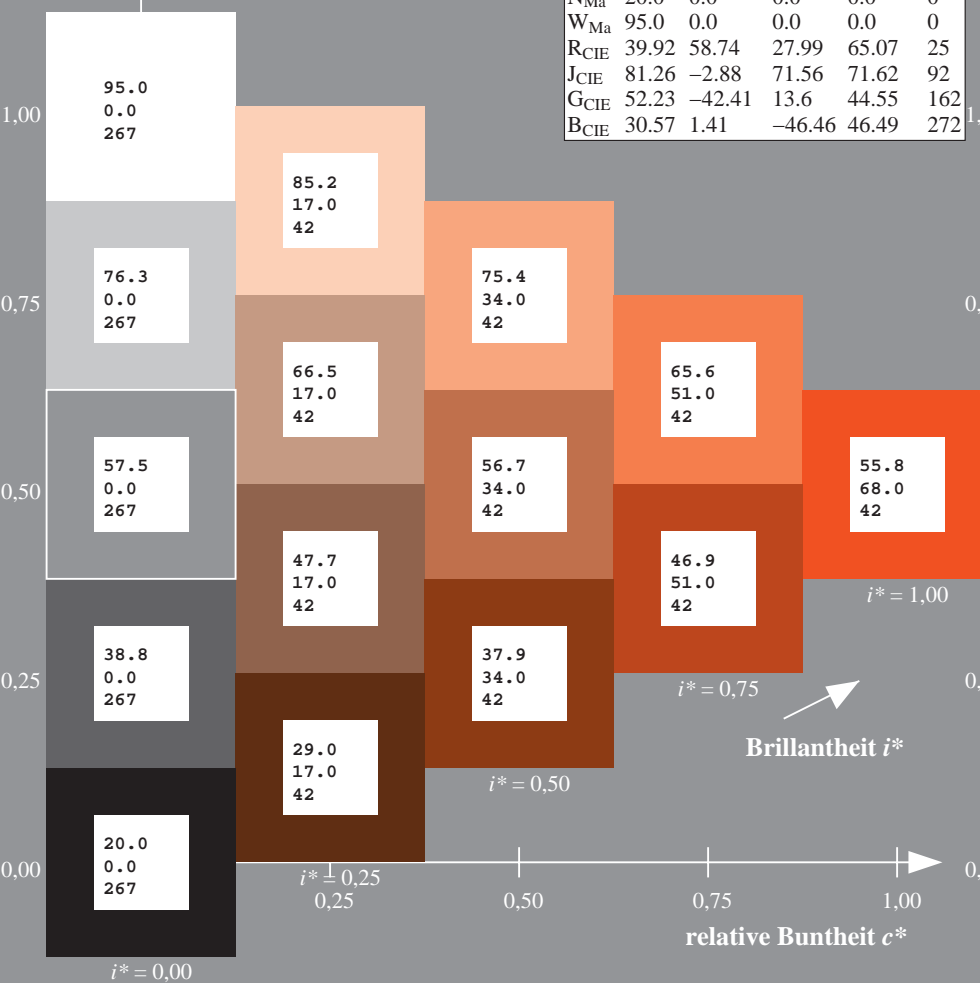
$u^*_{rel} = 83$

%Regularität

$g^*_{H,rel} = 72$

$g^*_{C,rel} = 57$

ORS20_95a; adaptierte CIELAB-Daten					
	$L^*=L^*_a$	a^*_a	b^*_a	$C^*_{ab,a}$	$h^*_{ab,a}$
r00j	48.88	63.91	30.45	70.79	25
r25j	55.85	50.36	45.65	67.97	42
r50j	65.45	33.86	56.12	65.54	59
r75j	75.19	17.13	66.73	68.89	76
j00g	87.03	-3.21	79.64	79.7	92
j25g	80.72	-24.03	66.82	71.01	110
j50g	70.64	-38.01	49.96	62.78	127
j75g	61.93	-50.08	35.41	61.34	145
g00b	52.8	-62.76	20.12	65.91	162
g25b	55.7	-47.65	-8.05	48.34	190
g50b	57.82	-36.91	-27.79	46.22	217
g75b	55.5	-21.19	-44.16	49.0	244
b00r	41.6	1.31	-43.27	43.3	272
b25r	29.0	24.11	-41.46	47.97	300
b50r	38.04	44.73	-27.29	52.41	329
b75r	49.48	70.07	-3.61	70.16	357



Ein und Ausgabe: Farbmetrisches Drucker-Reflektiv-System ORS20_95a für relativen CIELAB-Buntton $h^* = lab^*h^* = h_{ab}/360 = 59/360 = 0.164$ $u^* = r50j$

Daten für jede Farbe:

lab^*ch^* und lab^*icu^*

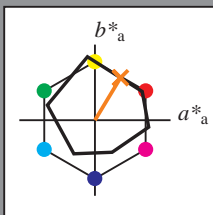
Elementar-Bunttontext:

$u^* = r50j$

Kontrastreduzierungsfaktor:

$c_R = 0.96$

Dreiecks-Helligkeit i^*



ORS20_95a; adaptierte CIELAB-Daten					
	$L^*=L^*_a$	a^*_a	b^*_a	$C^*_{ab,a}$	$h^*_{ab,a}$
O _{Ma}	48.75	62.56	37.91	73.15	31
Y _{Ma}	90.92	-9.88	83.88	84.46	97
L _{Ma}	52.69	-62.9	19.95	66.0	162
C _{Ma}	59.61	-27.85	-44.43	52.45	238
V _{Ma}	28.39	22.72	-42.42	48.13	298
M _{Ma}	49.58	71.08	-9.19	71.67	353
N _{Ma}	20.0	0.0	0.0	0.0	0
W _{Ma}	95.0	0.0	0.0	0.0	0
R _{CIE}	39.92	58.74	27.99	65.07	25
J _{CIE}	81.26	-2.88	71.56	71.62	92
G _{CIE}	52.23	-42.41	13.6	44.55	162
B _{CIE}	30.57	1.41	-46.46	46.49	272

Daten für Maximalfarbe (Ma):

$LAB^*LAB^*_{Ma}$: 65 34 56

$LAB^*LCH^*_{Ma}$: 65 66 59

$lab^*rgb^*_{Ma}$: 1.0 0.5 0.0

$lab^*olv^*_{Ma}$: 1.0 0.4 0.0

Dreiecks-Helligkeit i^*

%Umfang

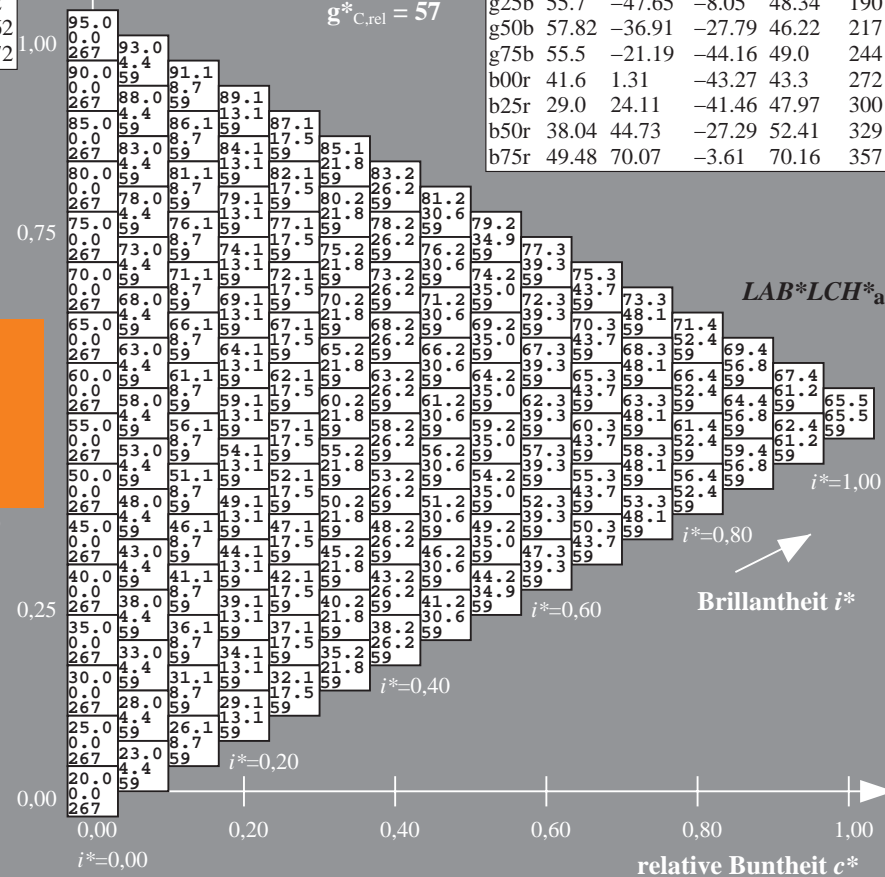
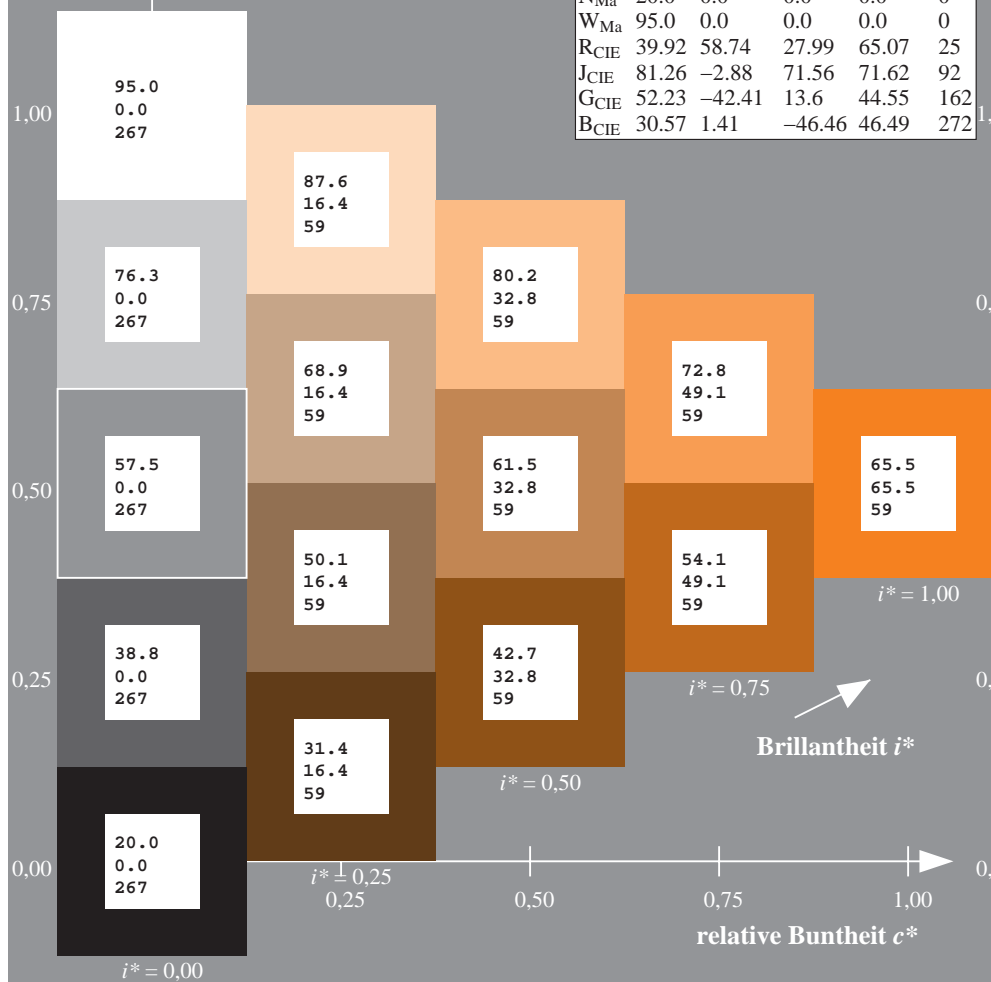
$u^*_{rel} = 83$

%Regularität

$g^*_{H,rel} = 72$

$g^*_{C,rel} = 57$

ORS20_95a; adaptierte CIELAB-Daten					
	$L^*=L^*_a$	a^*_a	b^*_a	$C^*_{ab,a}$	$h^*_{ab,a}$
r00j	48.88	63.91	30.45	70.79	25
r25j	55.85	50.36	45.65	67.97	42
r50j	65.45	33.86	56.12	65.54	59
r75j	75.19	17.13	66.73	68.89	76
j00g	87.03	-3.21	79.64	79.7	92
j25g	80.72	-24.03	66.82	71.01	110
j50g	70.64	-38.01	49.96	62.78	127
j75g	61.93	-50.08	35.41	61.34	145
g00b	52.8	-62.76	20.12	65.91	162
g25b	55.7	-47.65	-8.05	48.34	190
g50b	57.82	-36.91	-27.79	46.22	217
g75b	55.5	-21.19	-44.16	49.0	244
b00r	41.6	1.31	-43.27	43.3	272
b25r	29.0	24.11	-41.46	47.97	300
b50r	38.04	44.73	-27.29	52.41	329
b75r	49.48	70.07	-3.61	70.16	357



Ein und Ausgabe: Farbmetrisches Drucker-Reflektiv-System ORS20_95a für relativen CIELAB-Buntton $h^* = lab^*h^* = h_{ab}/360 = 76/360 = 0.21$

Daten für jede Farbe:

lab^*tch^* und lab^*icu^*

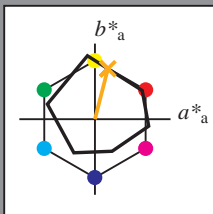
Elementar-Bunttontext:

$u^* = r75j$

Kontrastreduzierungsfaktor:

$c_R = 0.96$

Dreiecks-Helligkeit t^*



ORS20_95a; adaptierte CIELAB-Daten					
	$L^*=L_a^*$	a_a^*	b_a^*	$C^*_{ab,a}$	$h^*_{ab,a}$
O _{Ma}	48.75	62.56	37.91	73.15	31
Y _{Ma}	90.92	-9.88	83.88	84.46	97
L _{Ma}	52.69	-62.9	19.95	66.0	162
C _{Ma}	59.61	-27.85	-44.43	52.45	238
V _{Ma}	28.39	22.72	-42.42	48.13	298
M _{Ma}	49.58	71.08	-9.19	71.67	353
N _{Ma}	20.0	0.0	0.0	0.0	0
W _{Ma}	95.0	0.0	0.0	0.0	0
R _{CIE}	39.92	58.74	27.99	65.07	25
J _{CIE}	81.26	-2.88	71.56	71.62	92
G _{CIE}	52.23	-42.41	13.6	44.55	162
B _{CIE}	30.57	1.41	-46.46	46.49	272

Daten für Maximalfarbe (Ma):

$LAB^*LAB^*_{Ma}$: 75 17 67

$LAB^*LCH^*_{Ma}$: 75 69 76

$lab^*rgb^*_{Ma}$: 1.0 0.75 0.0

$lab^*olv^*_{Ma}$: 1.0 0.63 0.0

Dreiecks-Helligkeit t^*

%Umfang

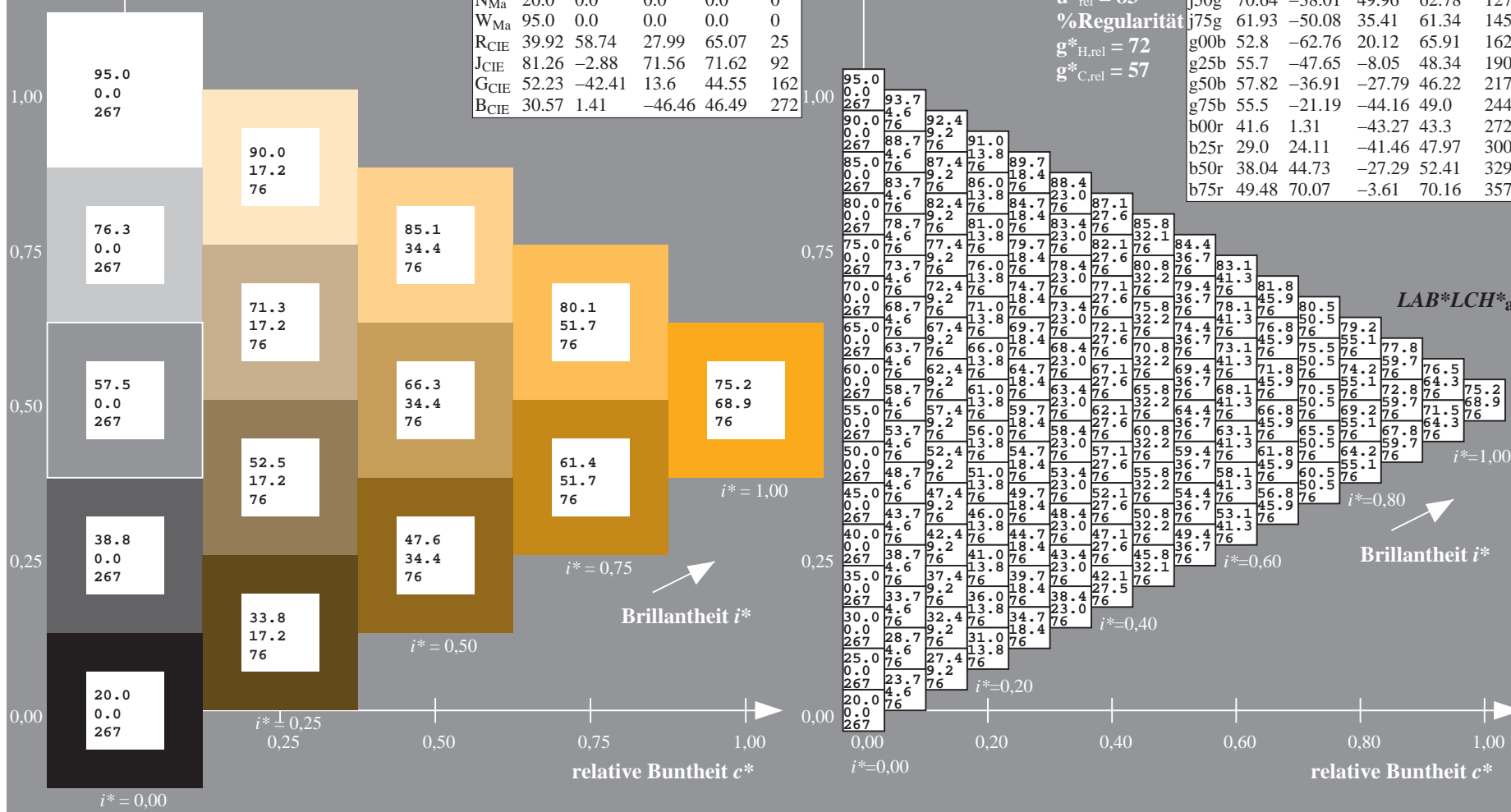
$u^*_{rel} = 83$

%Regularität

$g^*_{H,rel} = 72$

$g^*_{C,rel} = 57$

ORS20_95a; adaptierte CIELAB-Daten					
	$L^*=L_a^*$	a_a^*	b_a^*	$C^*_{ab,a}$	$h^*_{ab,a}$
r00j	48.88	63.91	30.45	70.79	25
r25j	55.85	50.36	45.65	67.97	42
r50j	65.45	33.86	56.12	65.54	59
r75j	75.19	17.13	66.73	68.89	76
j00g	87.03	-3.21	79.64	79.7	92
j25g	80.72	-24.03	66.82	71.01	110
j50g	70.64	-38.01	49.96	62.78	127
j75g	61.93	-50.08	35.41	61.34	145
g00b	52.8	-62.76	20.12	65.91	162
g25b	55.7	-47.65	-8.05	48.34	190
g50b	57.82	-36.91	-27.79	46.22	217
g75b	55.5	-21.19	-44.16	49.0	244
b00r	41.6	1.31	-43.27	43.3	272
b25r	29.0	24.11	-41.46	47.97	300
b50r	38.04	44.73	-27.29	52.41	329
b75r	49.48	70.07	-3.61	70.16	357



Ein und Ausgabe: Farbmetrisches Drucker-Reflektiv-System ORS20_95a für relativen CIELAB-Buntton $h^* = lab^*h^* = h_{ab}/360 = 92/360 = 0.256$ $u^* = j00g$

Daten für jede Farbe:

lab^*ch^* und lab^*icu^*

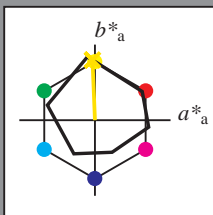
Elementar-Bunttontext:

$u^* = j00g$

Kontrastreduzierungsfaktor:

$c_R = 0.96$

Dreiecks-Helligkeit i^*



ORS20_95a; adaptierte CIELAB-Daten					
	$L^*=L^*_a$	a^*_a	b^*_a	$C^*_{ab,a}$	$h^*_{ab,a}$
O _{Ma}	48.75	62.56	37.91	73.15	31
Y _{Ma}	90.92	-9.88	83.88	84.46	97
L _{Ma}	52.69	-62.9	19.95	66.0	162
C _{Ma}	59.61	-27.85	-44.43	52.45	238
V _{Ma}	28.39	22.72	-42.42	48.13	298
M _{Ma}	49.58	71.08	-9.19	71.67	353
N _{Ma}	20.0	0.0	0.0	0.0	0
W _{Ma}	95.0	0.0	0.0	0.0	0
R _{CIE}	39.92	58.74	27.99	65.07	25
J _{CIE}	81.26	-2.88	71.56	71.62	92
G _{CIE}	52.23	-42.41	13.6	44.55	162
B _{CIE}	30.57	1.41	-46.46	46.49	272

Daten für Maximalfarbe (Ma):

$LAB^*LAB^*_{Ma}$: 87 -2 80

$LAB^*LCH^*_{Ma}$: 87 80 92

$lab^*rgb^*_{Ma}$: 1.0 1.0 0.0

$lab^*olv^*_{Ma}$: 1.0 0.91 0.0

Dreiecks-Helligkeit i^*

%Umfang

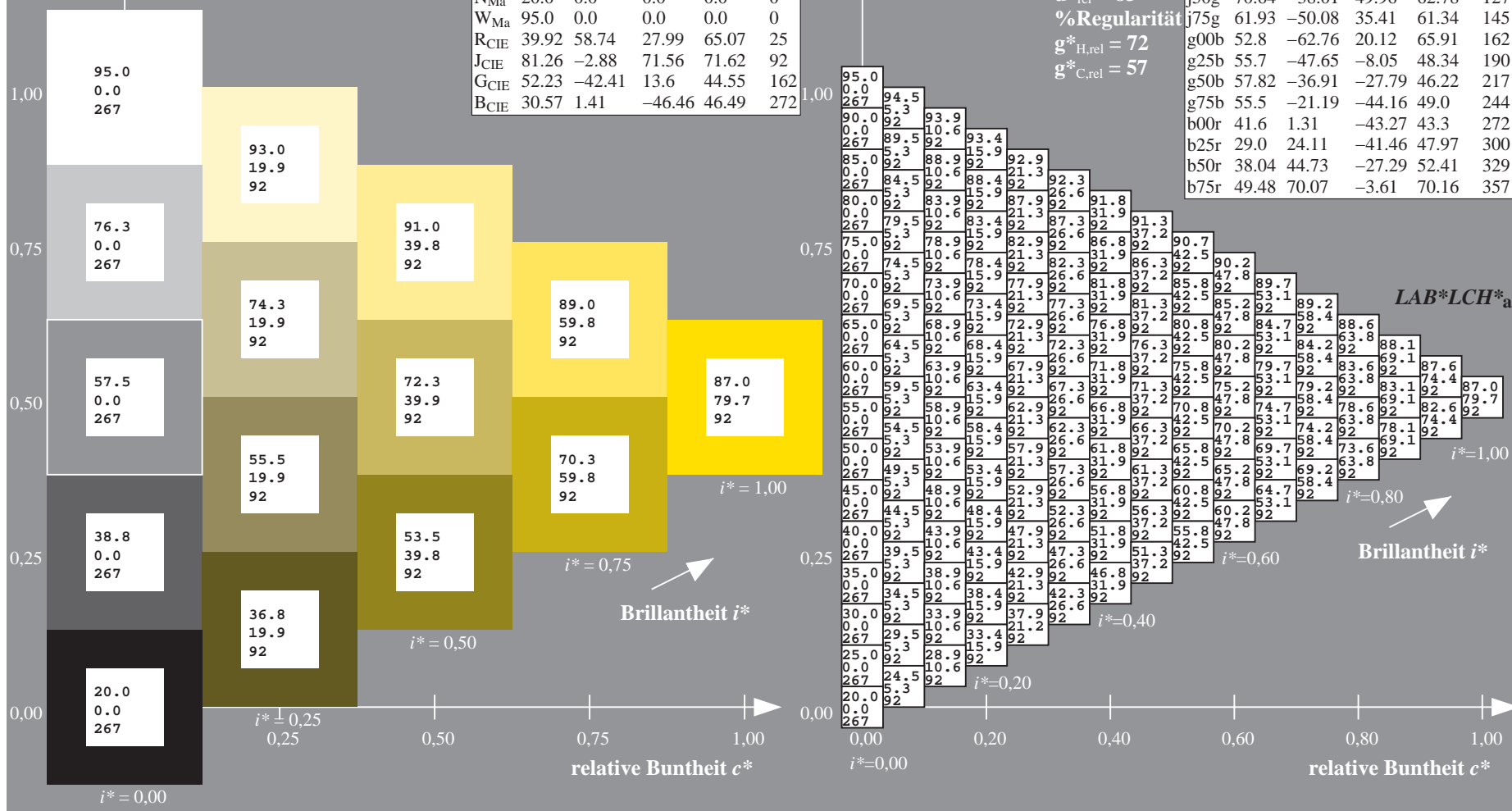
$u^*_{rel} = 83$

%Regularität

$g^*_{H,rel} = 72$

$g^*_{C,rel} = 57$

ORS20_95a; adaptierte CIELAB-Daten					
	$L^*=L^*_a$	a^*_a	b^*_a	$C^*_{ab,a}$	$h^*_{ab,a}$
r00j	48.88	63.91	30.45	70.79	25
r25j	55.85	50.36	45.65	67.97	42
r50j	65.45	33.86	56.12	65.54	59
r75j	75.19	17.13	66.73	68.89	76
j00g	87.03	-3.21	79.64	79.7	92
j25g	80.72	-24.03	66.82	71.01	110
j50g	70.64	-38.01	49.96	62.78	127
j75g	61.93	-50.08	35.41	61.34	145
g00b	52.8	-62.76	20.12	65.91	162
g25b	55.7	-47.65	-8.05	48.34	190
g50b	57.82	-36.91	-27.79	46.22	217
g75b	55.5	-21.19	-44.16	49.0	244
b00r	41.6	1.31	-43.27	43.3	272
b25r	29.0	24.11	-41.46	47.97	300
b50r	38.04	44.73	-27.29	52.41	329
b75r	49.48	70.07	-3.61	70.16	357



100

[illegible]

Eingabe: 000n / w / nnn0 / www set...
Ausgabe: ->cmyn5* setcmykcolor

BAM-Registrierung: 20080701-Dg99/10L/L99G00NA.PS/ .TXTBAM-Material: Code=rh4ta
Anwendung für Beurteilung und Messung von Drucker- oder Monitorsystemen

Ein und Ausgabe: Farbmetrisches Drucker-Reflektiv-System ORS20_95a für relativen CIELAB-Buntton $h^* = lab^*h^* = h_{ab}/360 = 127/360 = 0.354$ $u^* = j50g$

Daten für jede Farbe:

lab^*ch^* und lab^*icu^*

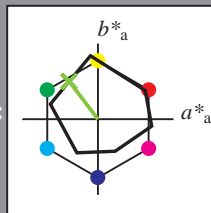
Elementar-Bunttontext:

$u^* = j50g$

Kontrastreduzierungsfaktor:

$c_R = 0.96$

Dreiecks-Helligkeit i^*



ORS20_95a; adaptierte CIELAB-Daten					
	$L^*=L^*_a$	a^*_a	b^*_a	$C^*_{ab,a}$	$h^*_{ab,a}$
O _{Ma}	48.75	62.56	37.91	73.15	31
Y _{Ma}	90.92	-9.88	83.88	84.46	97
L _{Ma}	52.69	-62.9	19.95	66.0	162
C _{Ma}	59.61	-27.85	-44.43	52.45	238
V _{Ma}	28.39	22.72	-42.42	48.13	298
M _{Ma}	49.58	71.08	-9.19	71.67	353
N _{Ma}	20.0	0.0	0.0	0.0	0
W _{Ma}	95.0	0.0	0.0	0.0	0
R _{CIE}	39.92	58.74	27.99	65.07	25
J _{CIE}	81.26	-2.88	71.56	71.62	92
G _{CIE}	52.23	-42.41	13.6	44.55	162
B _{CIE}	30.57	1.41	-46.46	46.49	272

Daten für Maximalfarbe (Ma):

$LAB^*LAB^*_{Ma}$: 71 -37 50

$LAB^*LCH^*_{Ma}$: 71 63 127

$lab^*rgb^*_{Ma}$: 0.5 1.0 0.0

$lab^*olv^*_{Ma}$: 0.47 1.0 0.0

Dreiecks-Helligkeit i^*

%Umfang

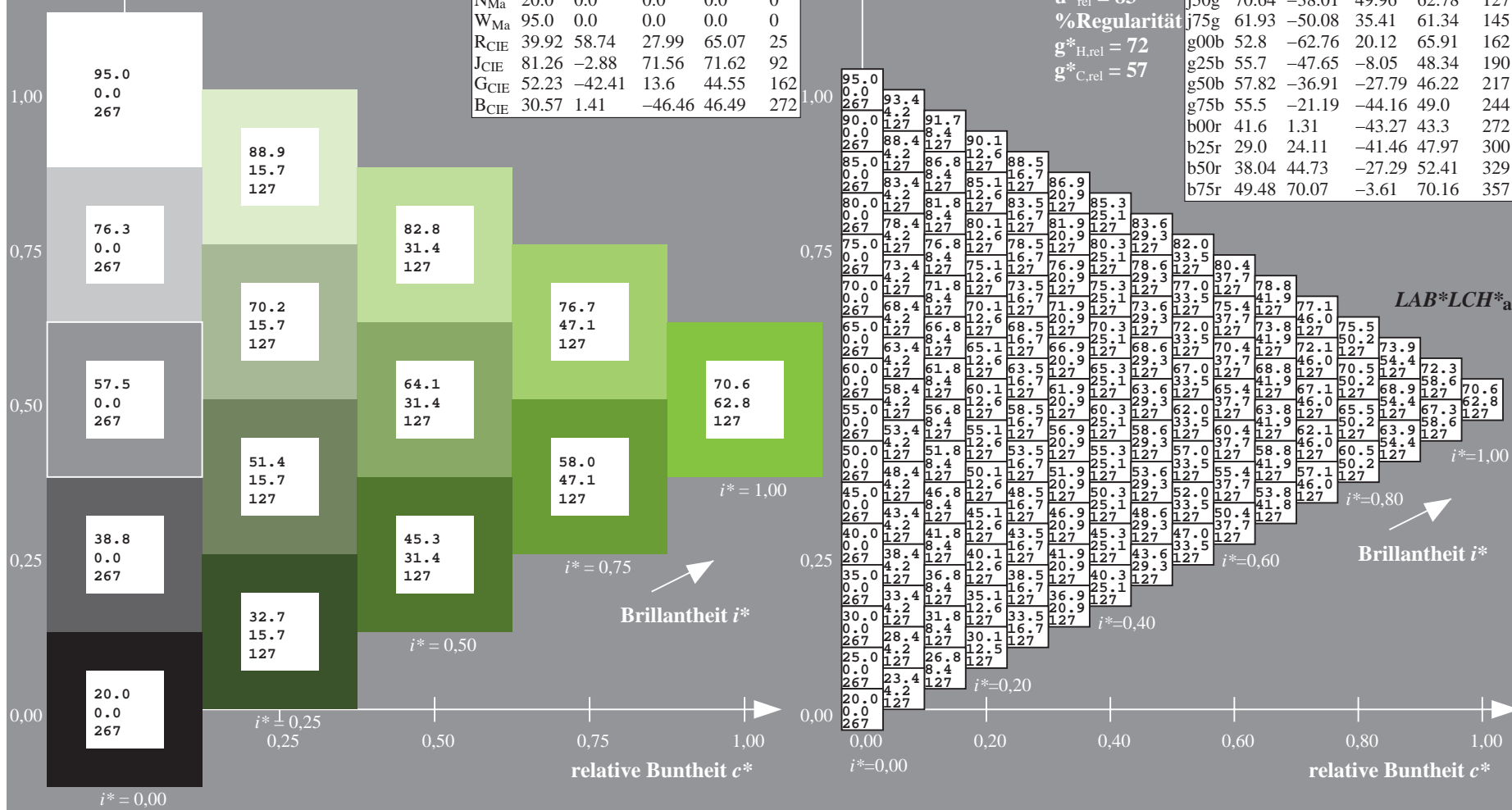
$u^*_{rel} = 83$

%Regularität

$g^*_{H,rel} = 72$

$g^*_{C,rel} = 57$

ORS20_95a; adaptierte CIELAB-Daten					
	$L^*=L^*_a$	a^*_a	b^*_a	$C^*_{ab,a}$	$h^*_{ab,a}$
r00j	48.88	63.91	30.45	70.79	25
r25j	55.85	50.36	45.65	67.97	42
r50j	65.45	33.86	56.12	65.54	59
r75j	75.19	17.13	66.73	68.89	76
j00g	87.03	-3.21	79.64	79.7	92
j25g	80.72	-24.03	66.82	71.01	110
j50g	70.64	-38.01	49.96	62.78	127
j75g	61.93	-50.08	35.41	61.34	145
g00b	52.8	-62.76	20.12	65.91	162
g25b	55.7	-47.65	-8.05	48.34	190
g50b	57.82	-36.91	-27.79	46.22	217
g75b	55.5	-21.19	-44.16	49.0	244
b00r	41.6	1.31	-43.27	43.3	272
b25r	29.0	24.11	-41.46	47.97	300
b50r	38.04	44.73	-27.29	52.41	329
b75r	49.48	70.07	-3.61	70.16	357



Ein und Ausgabe: Farbmétrisches Drucker-Reflektiv-System ORS20_95a für relativen CIELAB-Buntton $h^* = \frac{lab^*h^*}{h_{ab}/360} = \frac{145/360}{1} = 0.402$

Daten für jede Farbe:

lab^*tch^* und lab^*icu^*

Elementar-Bunttontext:

$u^* = j75g$

Kontrastreduzierungsfaktor:

$c_R = 0.96$

Dreiecks-Helligkeit t^*

ORS20_95a; adaptierte CIELAB-Daten

	$L^* = L^*_a$	a^*_a	b^*_a	$C^*_{ab,a}$	$h^*_{ab,a}$
O _{Ma}	48.75	62.56	37.91	73.15	31
Y _{Ma}	90.92	-9.88	83.88	84.46	97
L _{Ma}	52.69	-62.9	19.95	66.0	162
C _{Ma}	59.61	-27.85	-44.43	52.45	238
V _{Ma}	28.39	22.72	-42.42	48.13	298

Daten für Maximalfarbe (Ma):

$LAB^*LAB^*_{Ma}$: 62 -49 35

$LAB^*LCH^*_{Ma}$: 62 61 145

$lab^*rgb^*_{Ma}$: 0.25 1.0 0.0

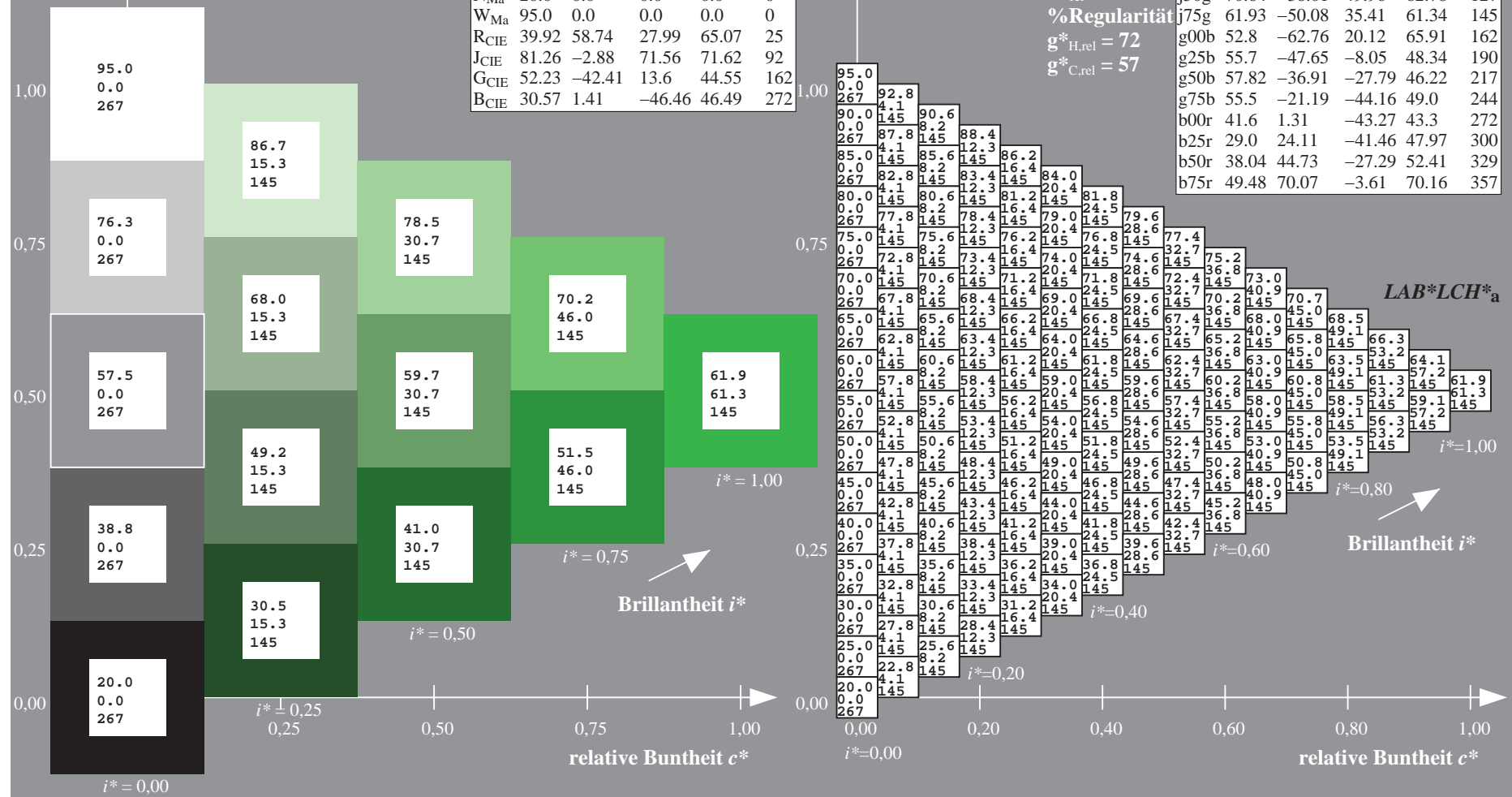
$lab^*olv^*_{Ma}$: 0.24 1.0 0.0

Dreiecks-Helligkeit t^*

	$L^* = L^*_a$	a^*_a	b^*_a
r00j	48.88	63.91	30.00
r25j	55.85	50.36	45.00
r50j	65.45	33.86	56.00
r75j	75.19	17.13	66.00
j00g	87.03	-3.21	79.00

ORS20 95a; adaptierte CIELAB-Daten						
	$L^*_{a,b}$	$a^*_{a,b}$	$b^*_{a,b}$	$C^*_{a,b}$	$h^*_{a,b}$	
O _{Ma}	48.75	62.56	37.91	73.15	31	
Y _{Ma}	90.92	-9.88	83.88	84.46	97	
L _{Ma}	52.69	-62.9	19.95	66.0	162	
C _{Ma}	59.61	-27.85	-44.43	52.45	238	
V _{Ma}	28.39	22.72	-42.42	48.13	298	
M _{Ma}	49.58	71.08	-9.19	71.67	353	
N _{Ma}	20.0	0.0	0.0	0.0	0	
W _{Ma}	95.0	0.0	0.0	0.0	0	
R _{CIE}	39.92	58.74	27.99	65.07	25	
J _{CIE}	81.26	-2.88	71.56	71.62	92	
G _{CIE}	52.23	-42.41	13.6	44.55	162	
B _{CIE}	30.57	1.41	-46.46	46.49	272	

ORS20_95a; adaptierte CIELAB-Daten						
	L^*_a	a^*_a	b^*_a	$C^*_{ab,a}$	$h^*_{ab,a}$	
r00j	48.88	63.91	30.45	70.79	25	
r25j	55.85	50.36	45.65	67.97	42	
r50j	65.45	33.86	56.12	65.54	59	
r75j	75.19	17.13	66.73	68.89	76	
j00g	87.03	-3.21	79.64	79.7	92	
j25g	80.72	-24.03	66.82	71.01	110	
j50g	70.64	-38.01	49.96	62.78	127	
j75g	61.93	-50.08	35.41	61.34	145	
g00b	52.8	-62.76	20.12	65.91	162	
g25b	55.7	-47.65	-8.05	48.34	190	
g50b	57.82	-36.91	-27.79	46.22	217	
g75b	55.5	-21.19	-44.16	49.0	244	
b00r	41.6	1.31	-43.27	43.3	272	
b25r	29.0	24.11	-41.46	47.97	300	
b50r	38.04	44.73	-27.29	52.41	329	
b75r	49.48	70.07	-3.61	70.16	357	



100


$$g^*_{C,rel} = 57$$


Ausgabe: $\rightarrow cmyk5^* setcmykcolor$

BAM-Registrierung: 20080701-Dg99/10L/L99G00NA.PS/ .TXTBAM-Material: Code=rha4ta
Anwendung für Beurteilung und Messung von Drucker- oder Monitorsystemen

Ein und Ausgabe: Farbmetrisches Drucker-Reflektiv-System ORS20_95a für relativen CIELAB-Buntton $h^* = lab^*h^* = h_{ab}/360 = 190/360 = 0.527$ $u^* = g25b$

Daten für jede Farbe:

lab^*ch^* und lab^*icu^*

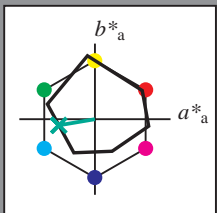
Elementar-Bunttontext:

$u^* = g25b$

Kontrastreduzierungsfaktor:

$c_R = 0.96$

Dreiecks-Helligkeit i^*



ORS20_95a; adaptierte CIELAB-Daten

	$L^*=L^*_a$	a^*_a	b^*_a	$C^*_{ab,a}$	$h^*_{ab,a}$
O _{Ma}	48.75	62.56	37.91	73.15	31
Y _{Ma}	90.92	-9.88	83.88	84.46	97
L _{Ma}	52.69	-62.9	19.95	66.0	162
C _{Ma}	59.61	-27.85	-44.43	52.45	238
V _{Ma}	28.39	22.72	-42.42	48.13	298
M _{Ma}	49.58	71.08	-9.19	71.67	353
N _{Ma}	20.0	0.0	0.0	0.0	0
W _{Ma}	95.0	0.0	0.0	0.0	0
R _{CIE}	39.92	58.74	27.99	65.07	25
J _{CIE}	81.26	-2.88	71.56	71.62	92
G _{CIE}	52.23	-42.41	13.6	44.55	162
B _{CIE}	30.57	1.41	-46.46	46.49	272

Daten für Maximalfarbe (Ma):

$LAB^*LAB^*_{Ma}$: 56 -47 -7

$LAB^*LCH^*_{Ma}$: 56 48 190

$lab^*rgb^*_{Ma}$: 0.0 1.0 0.5

$lab^*olv^*_{Ma}$: 0.0 1.0 0.44

Dreiecks-Helligkeit i^*

%Umfang

$u^*_{rel} = 83$

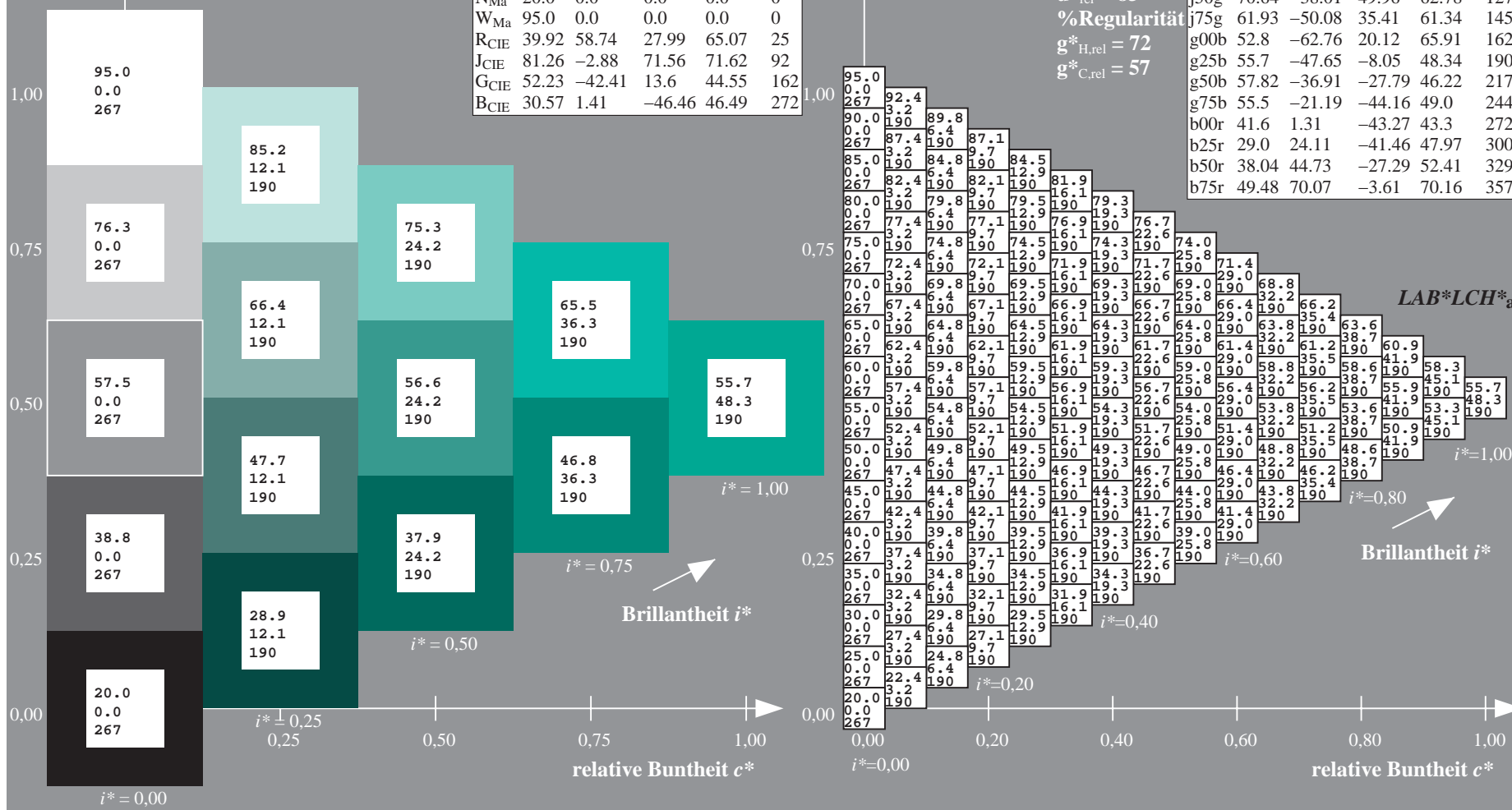
%Regularität

$g^*_{H,rel} = 72$

$g^*_{C,rel} = 57$

ORS20_95a; adaptierte CIELAB-Daten

	$L^*=L^*_a$	a^*_a	b^*_a	$C^*_{ab,a}$	$h^*_{ab,a}$
r00j	48.88	63.91	30.45	70.79	25
r25j	55.85	50.36	45.65	67.97	42
r50j	65.45	33.86	56.12	65.54	59
r75j	75.19	17.13	66.73	68.89	76
j00g	87.03	-3.21	79.64	79.7	92
j25g	80.72	-24.03	66.82	71.01	110
j50g	70.64	-38.01	49.96	62.78	127
j75g	61.93	-50.08	35.41	61.34	145
g00b	52.8	-62.76	20.12	65.91	162
g25b	55.7	-47.65	-8.05	48.34	190
g50b	57.82	-36.91	-27.79	46.22	217
g75b	55.5	-21.19	-44.16	49.0	244
b00r	41.6	1.31	-43.27	43.3	272
b25r	29.0	24.11	-41.46	47.97	300
b50r	38.04	44.73	-27.29	52.41	329
b75r	49.48	70.07	-3.61	70.16	357



Ein und Ausgabe: Farbmetrisches Drucker-Reflektiv-System ORS20_95a für relativen CIELAB-Buntton $h^* = lab^*h^* = h_{ab}/360 = 217/360 = 0.603$ $u^* = g50b$

Daten für jede Farbe:

lab^*ch^* und lab^*icu^*

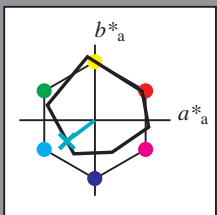
Elementar-Bunttontext:

$u^* = g50b$

Kontrastreduzierungsfaktor:

$c_R = 0.96$

Dreiecks-Helligkeit i^*



ORS20_95a; adaptierte CIELAB-Daten					
	$L^*=L^*_a$	a^*_a	b^*_a	$C^*_{ab,a}$	$h^*_{ab,a}$
O _{Ma}	48.75	62.56	37.91	73.15	31
Y _{Ma}	90.92	-9.88	83.88	84.46	97
L _{Ma}	52.69	-62.9	19.95	66.0	162
C _{Ma}	59.61	-27.85	-44.43	52.45	238
V _{Ma}	28.39	22.72	-42.42	48.13	298
M _{Ma}	49.58	71.08	-9.19	71.67	353
N _{Ma}	20.0	0.0	0.0	0.0	0
W _{Ma}	95.0	0.0	0.0	0.0	0
R _{CIE}	39.92	58.74	27.99	65.07	25
J _{CIE}	81.26	-2.88	71.56	71.62	92
G _{CIE}	52.23	-42.41	13.6	44.55	162
B _{CIE}	30.57	1.41	-46.46	46.49	272

Daten für Maximalfarbe (Ma):

$LAB^*LAB^*_{Ma}$: 58 -36 -27

$LAB^*LCH^*_{Ma}$: 58 46 217

$lab^*rgb^*_{Ma}$: 0.0 1.0 1.0

$lab^*olv^*_{Ma}$: 0.0 1.0 0.74

Dreiecks-Helligkeit i^*

%Umfang

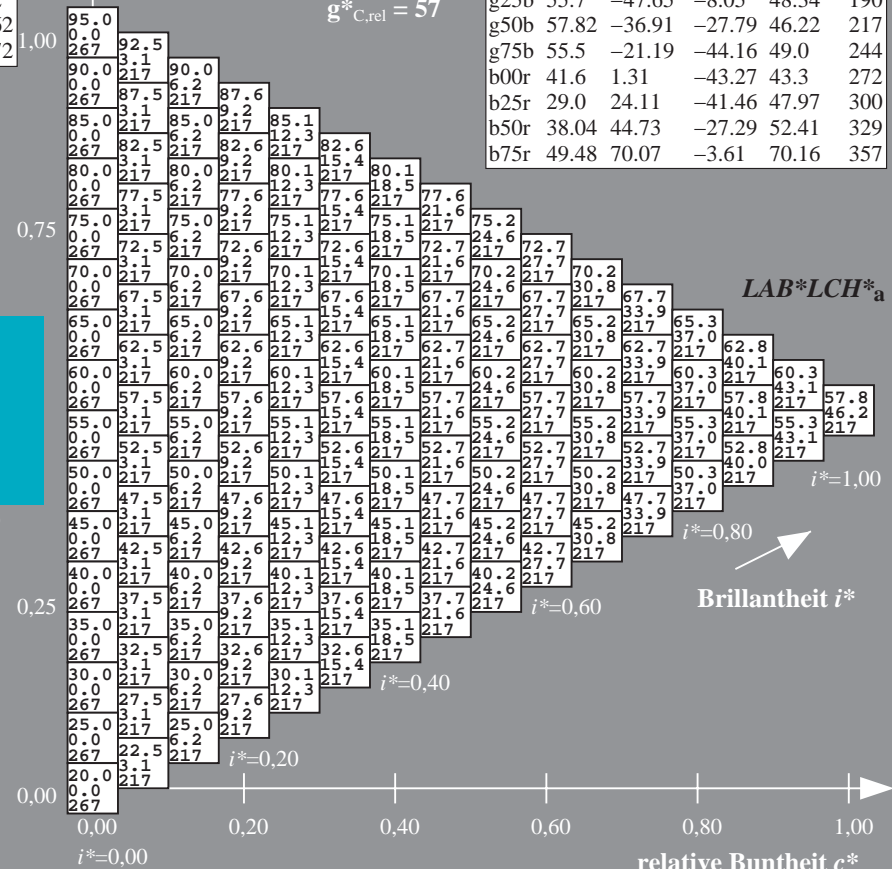
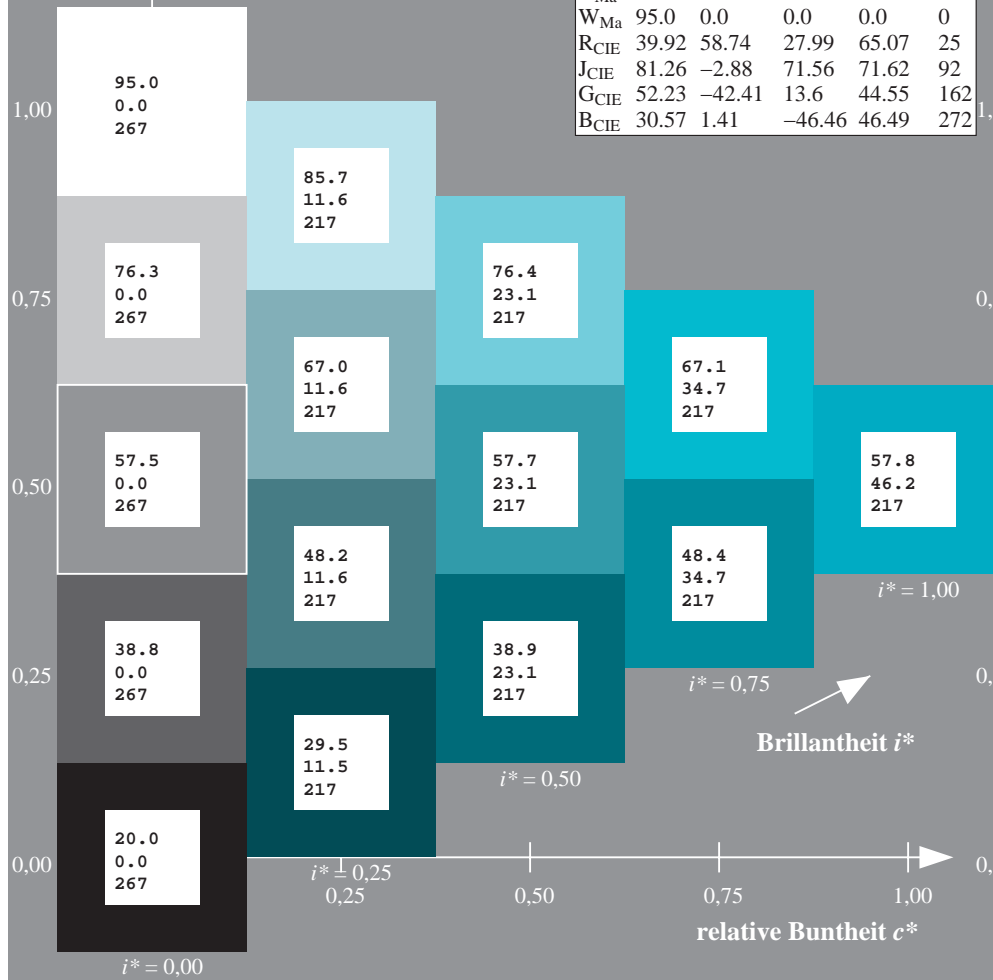
$u^*_{rel} = 83$

%Regularität

$g^*_{H,rel} = 72$

$g^*_{C,rel} = 57$

ORS20_95a; adaptierte CIELAB-Daten					
	$L^*=L^*_a$	a^*_a	b^*_a	$C^*_{ab,a}$	$h^*_{ab,a}$
r00j	48.88	63.91	30.45	70.79	25
r25j	55.85	50.36	45.65	67.97	42
r50j	65.45	33.86	56.12	65.54	59
r75j	75.19	17.13	66.73	68.89	76
j00g	87.03	-3.21	79.64	79.7	92
j25g	80.72	-24.03	66.82	71.01	110
j50g	70.64	-38.01	49.96	62.78	127
j75g	61.93	-50.08	35.41	61.34	145
g00b	52.8	-62.76	20.12	65.91	162
g25b	55.7	-47.65	-8.05	48.34	190
g50b	57.82	-36.91	-27.79	46.22	217
g75b	55.5	-21.19	-44.16	49.0	244
b00r	41.6	1.31	-43.27	43.3	272
b25r	29.0	24.11	-41.46	47.97	300
b50r	38.04	44.73	-27.29	52.41	329
b75r	49.48	70.07	-3.61	70.16	357



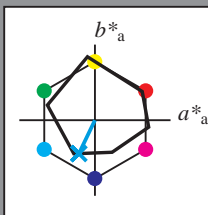
Ein und Ausgabe: Farbmimetrisches Drucker-Reflektiv-System ORS20_95a für relativen CIELAB-Buntton $h^* = lab^*h^* = h_{ab}/360 = 244/360 = 0.679$ $u^* = g75b$

Daten für jede Farbe:
 lab^*ch^* und lab^*icu^*

Elementar-Bunttontext:
 $u^* = g75b$

Kontrastreduzierungsfaktor:
 $c_R = 0.96$

Dreiecks-Helligkeit i^*



ORS20_95a; adaptierte CIELAB-Daten					
	$L^*=L^*_a$	a^*_a	b^*_a	$C^*_{ab,a}$	$h^*_{ab,a}$
O _{Ma}	48.75	62.56	37.91	73.15	31
Y _{Ma}	90.92	-9.88	83.88	84.46	97
L _{Ma}	52.69	-62.9	19.95	66.0	162
C _{Ma}	59.61	-27.85	-44.43	52.45	238
V _{Ma}	28.39	22.72	-42.42	48.13	298
M _{Ma}	49.58	71.08	-9.19	71.67	353
N _{Ma}	20.0	0.0	0.0	0.0	0
W _{Ma}	95.0	0.0	0.0	0.0	0
R _{CIE}	39.92	58.74	27.99	65.07	25
J _{CIE}	81.26	-2.88	71.56	71.62	92
G _{CIE}	52.23	-42.41	13.6	44.55	162
B _{CIE}	30.57	1.41	-46.46	46.49	272

Daten für Maximalfarbe (Ma):

$LAB^*LAB^*_{Ma}$: 55 -20 -43

$LAB^*LCH^*_{Ma}$: 55 49 244

$lab^*rgb^*_{Ma}$: 0.0 0.5 1.0

$lab^*olv^*_{Ma}$: 0.0 0.87 1.0

Dreiecks-Helligkeit i^*

%Umfang

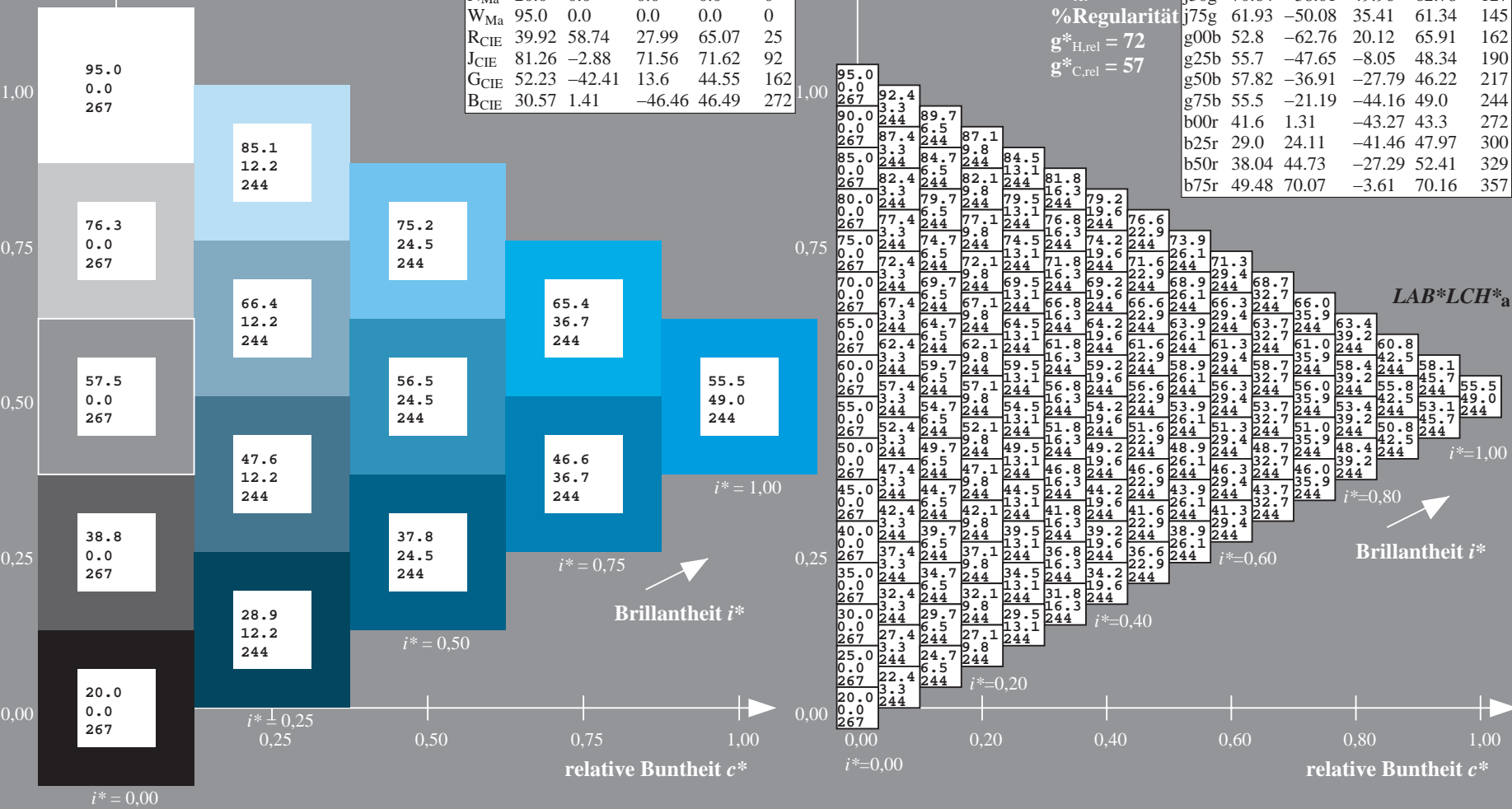
$u^*_{rel} = 83$

%Regularität

$g^*_{H,rel} = 72$

$g^*_{C,rel} = 57$

ORS20_95a; adaptierte CIELAB-Daten					
	$L^*=L^*_a$	a^*_a	b^*_a	$C^*_{ab,a}$	$h^*_{ab,a}$
r00j	48.88	63.91	30.45	70.79	25
r25j	55.85	50.36	45.65	67.97	42
r50j	65.45	33.86	56.12	65.54	59
r75j	75.19	17.13	66.73	68.89	76
j00g	87.03	-3.21	79.64	79.7	92
j25g	80.72	-24.03	66.82	71.01	110
j50g	70.64	-38.01	49.96	62.78	127
j75g	61.93	-50.08	35.41	61.34	145
g00b	52.8	-62.76	20.12	65.91	162
g25b	55.7	-47.65	-8.05	48.34	190
g50b	57.82	-36.91	-27.79	46.22	217
g75b	55.5	-21.19	-44.16	49.0	244
b00r	41.6	1.31	-43.27	43.3	272
b25r	29.0	24.11	-41.46	47.97	300
b50r	38.04	44.73	-27.29	52.41	329
b75r	49.48	70.07	-3.61	70.16	357



100





Ein und Ausgabe: Farbmetrisches Drucker-Reflektiv-System ORS20_95a für relativen CIELAB-Buntton $h^* = lab^*h^* = h_{ab}/360 = 300/360 = 0.834$ $u^* = b25r$

Daten für jede Farbe:

lab^*tch^* und lab^*icu^*

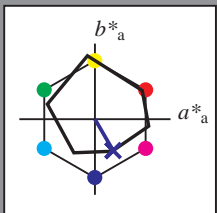
Elementar-Bunttontext:

$u^* = b25r$

Kontrastreduzierungsfaktor:

$c_R = 0.96$

Dreiecks-Helligkeit i^*



ORS20_95a; adaptierte CIELAB-Daten

	$L^*=L_a^*$	a_a^*	b_a^*	$C^*_{ab,a}$	$h^*_{ab,a}$
O _{Ma}	48.75	62.56	37.91	73.15	31
Y _{Ma}	90.92	-9.88	83.88	84.46	97
L _{Ma}	52.69	-62.9	19.95	66.0	162
C _{Ma}	59.61	-27.85	-44.43	52.45	238
V _{Ma}	28.39	22.72	-42.42	48.13	298
M _{Ma}	49.58	71.08	-9.19	71.67	353
N _{Ma}	20.0	0.0	0.0	0.0	0
W _{Ma}	95.0	0.0	0.0	0.0	0
R _{CIE}	39.92	58.74	27.99	65.07	25
J _{CIE}	81.26	-2.88	71.56	71.62	92
G _{CIE}	52.23	-42.41	13.6	44.55	162
B _{CIE}	30.57	1.41	-46.46	46.49	272

Daten für Maximalfarbe (Ma):

$LAB^*LAB^*_{Ma}$: 29 24 -40

$LAB^*LCH^*_{Ma}$: 29 48 300

$lab^*rgb^*_{Ma}$: 0.5 0.0 1.0

$lab^*olv^*_{Ma}$: 0.03 0.0 1.0

Dreiecks-Helligkeit i^*

%Umfang

$u^*_{rel} = 83$

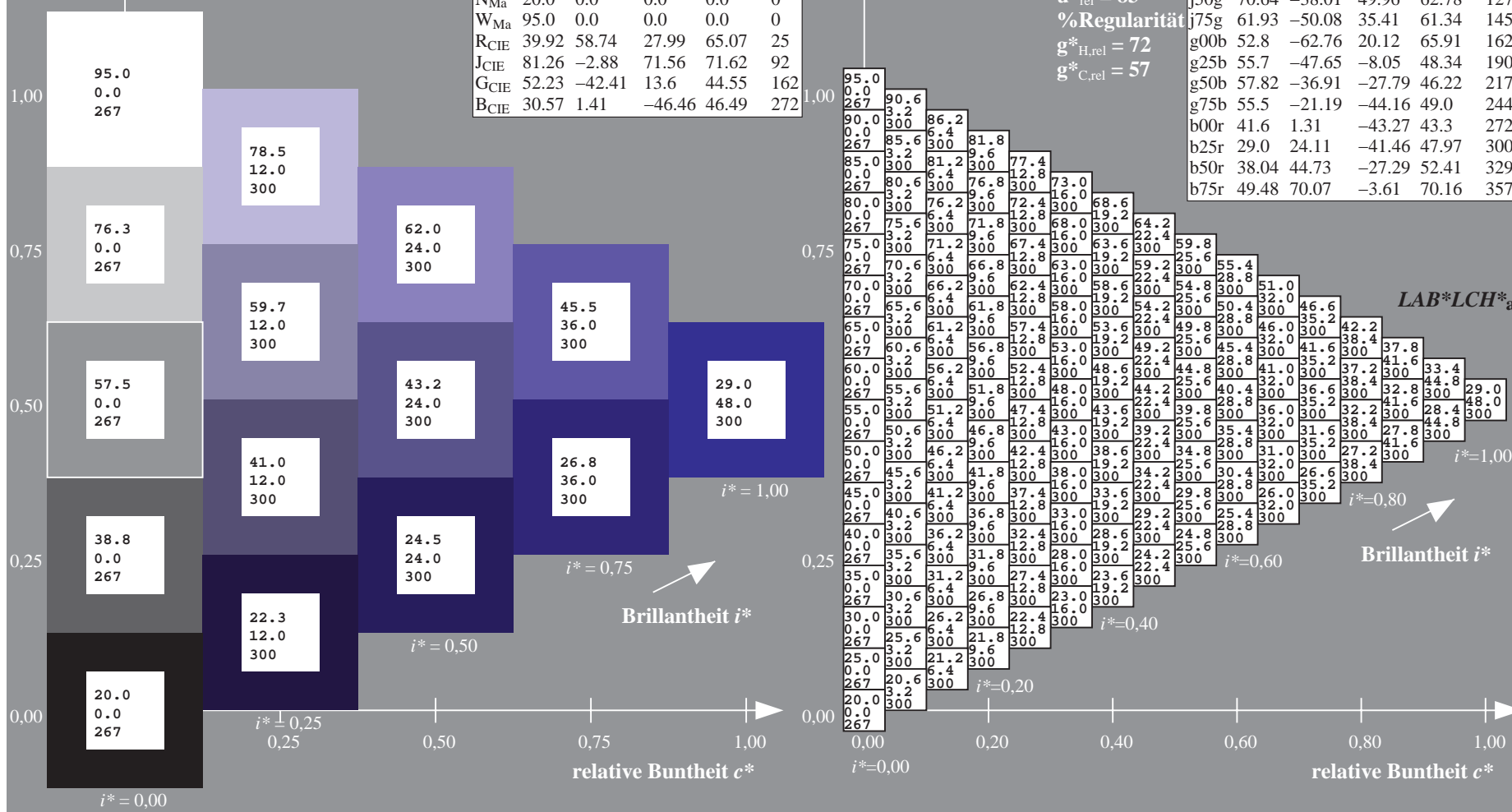
%Regularität

$g^*_{H,rel} = 72$

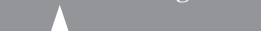
$g^*_{C,rel} = 57$

ORS20_95a; adaptierte CIELAB-Daten

	$L^*=L_a^*$	a_a^*	b_a^*	$C^*_{ab,a}$	$h^*_{ab,a}$
r00j	48.88	63.91	30.45	70.79	25
r25j	55.85	50.36	45.65	67.97	42
r50j	65.45	33.86	56.12	65.54	59
r75j	75.19	17.13	66.73	68.89	76
j00g	87.03	-3.21	79.64	79.7	92
j25g	80.72	-24.03	66.82	71.01	110
j50g	70.64	-38.01	49.96	62.78	127
j75g	61.93	-50.08	35.41	61.34	145
g00b	52.8	-62.76	20.12	65.91	162
g25b	55.7	-47.65	-8.05	48.34	190
g50b	57.82	-36.91	-27.79	46.22	217
g75b	55.5	-21.19	-44.16	49.0	244
b00r	41.6	1.31	-43.27	43.3	272
b25r	29.0	24.11	-41.46	47.97	300
b50r	38.04	44.73	-27.29	52.41	329
b75r	49.48	70.07	-3.61	70.16	357



100

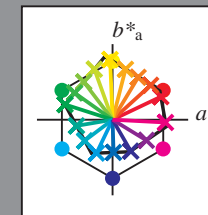
[illegible]

Siehe ähnliche Dateien: <http://www.ps.bam.de/Dg99/>; www.ps.bam.de/Dg99/10L/L99G00NA.PS/.TXT
Technische Information: [http://www.ps.bam.de/Version 2.1, io=1.1, ColSpX=1](http://www.ps.bam.de/Version%202.1,io=1.1,ColSpX=1)

	A	B	C	D	E	F	G	H	I	J	K	L	M	N	O	P	Q	R	S	T	U	V	W	X	Y	Z	a	b	c	d	e	f	g	h	i	j	k	LAB*LCH*	LCH*a						
01	20.0	24.1	28.2	32.3	36.3	40.4	44.5	48.6	52.7	56.7	60.8	64.9	68.9	73.0	77.1	81.1	85.2	89.3	93.4	97.5	101.6	105.7	109.8	113.9	118.0	122.1	126.2	130.3	134.4	138.5	142.6	146.7	150.8	154.9	159.0	163.1	167.2	171.3	175.4	179.5	183.6	187.7	191.8	195.9	200.0
02	21.1	25.0	29.0	33.1	37.2	41.3	45.4	49.5	53.6	57.7	61.8	65.9	70.0	74.1	78.2	82.3	86.4	90.5	94.6	98.7	102.8	106.9	111.0	115.1	119.2	123.3	127.4	131.5	135.6	139.7	143.8	147.9	152.0	156.1	160.2	164.3	168.4	172.5	176.6	180.7	184.8	188.9	193.0	197.1	201.2
03	22.1	26.0	30.0	34.1	38.1	42.2	46.3	50.4	54.5	58.6	62.7	66.8	70.9	75.0	79.1	83.2	87.3	91.4	95.5	99.6	103.7	107.8	111.9	116.0	120.1	124.2	128.3	132.4	136.5	140.6	144.7	148.8	152.9	157.0	161.1	165.2	169.3	173.4	177.5	181.6	185.7	189.8	193.9	198.0	202.1
04	23.2	27.1	31.0	35.0	39.0	43.1	47.2	51.3	55.4	59.5	63.6	67.7	71.8	75.9	80.0	84.1	88.2	92.3	96.4	100.5	104.6	108.7	112.8	116.9	121.0	125.1	129.2	133.3	137.4	141.5	145.6	149.7	153.8	157.9	162.0	166.1	170.2	174.3	178.4	182.5	186.6	190.7	194.8	198.9	203.0
05	24.2	28.1	32.0	36.0	40.0	44.1	48.2	52.3	56.4	60.5	64.6	68.7	72.8	76.9	81.0	85.1	89.2	93.3	97.4	101.5	105.6	109.7	113.8	117.9	122.0	126.1	130.2	134.3	138.4	142.5	146.6	150.7	154.8	158.9	163.0	167.1	171.2	175.3	179.4	183.5	187.6	191.7	195.8	199.9	204.0
06	25.3	29.2	33.1	37.1	41.1	45.2	49.3	53.4	57.5	61.6	65.7	69.8	73.9	78.0	82.1	86.2	90.3	94.4	98.5	102.6	106.7	110.8	114.9	119.0	123.1	127.2	131.3	135.4	139.5	143.6	147.7	151.8	155.9	160.0	164.1	168.2	172.3	176.4	180.5	184.6	188.7	192.8	196.9	201.0	
07	26.3	30.2	34.1	38.1	42.1	46.2	50.3	54.4	58.5	62.6	66.7	70.8	74.9	79.0	83.1	87.2	91.3	95.4	99.5	103.6	107.7	111.8	115.9	120.0	124.1	128.2	132.3	136.4	140.5	144.6	148.7	152.8	156.9	161.0	165.1	169.2	173.3	177.4	181.5	185.6	189.7	193.8	197.9	202.0	
08	27.3	31.2	35.1	39.1	43.0	47.1	51.2	55.3	59.4	63.5	67.6	71.7	75.8	79.9	84.0	88.1	92.2	96.3	100.4	104.5	108.6	112.7	116.8	120.9	125.0	129.1	133.2	137.3	141.4	145.5	149.6	153.7	157.8	161.9	166.0	170.1	174.2	178.3	182.4	186.5	190.6	194.7	198.8	202.9	
09	28.4	32.3	36.2	40.1	44.0	48.1	52.2	56.3	60.4	64.5	68.6	72.7	76.8	80.9	85.0	89.1	93.2	97.3	101.4	105.5	109.6	113.7	117.8	121.9	126.0	130.1	134.2	138.3	142.4	146.5	150.6	154.7	158.8	162.9	167.0	171.1	175.2	179.3	183.4	187.5	191.6	195.7	199.8	203.9	
10	29.4	33.3	37.2	41.1	45.0	49.1	53.2	57.3	61.4	65.5	69.6	73.7	77.8	81.9	86.0	90.1	94.2	98.3	102.4	106.5	110.6	114.7	118.8	122.9	127.0	131.1	135.2	139.3	143.4	147.5	151.6	155.7	159.8	163.9	168.0	172.1	176.2	180.3	184.4	188.5	192.6	196.7	200.8	204.9	
11	30.4	34.3	38.2	42.1	46.0	50.1	54.2	58.3	62.4	66.5	70.6	74.7	78.8	82.9	87.0	91.1	95.2	99.3	103.4	107.5	111.6	115.7	119.8	123.9	128.0	132.1	136.2	140.3	144.4	148.5	152.6	156.7	160.8	164.9	169.0	173.1	177.2	181.3	185.4	189.5	193.6	197.7	201.8	205.9	
12	31.4	35.3	39.2	43.1	47.0	51.1	55.2	59.3	63.4	67.5	71.6	75.7	79.8	83.9	88.0	92.1	96.2	100.3	104.4	108.5	112.6	116.7	120.8	124.9	129.0	133.1	137.2	141.3	145.4	149.5	153.6	157.7	161.8	165.9	170.0	174.1	178.2	182.3	186.4	190.5	194.6	198.7	202.8	206.9	
13	32.4	36.3	40.2	44.1	48.0	52.1	56.2	60.3	64.4	68.5	72.6	76.7	80.8	84.9	89.0	93.1	97.2	101.3	105.4	109.5	113.6	117.7	121.8	125.9	130.0	134.1	138.2	142.3	146.4	150.5	154.6	158.7	162.8	166.9	171.0	175.1	179.2	183.3	187.4	191.5	195.6	199.7	203.8	207.9	
14	33.4	37.3	41.2	45.1	49.0	53.1	57.2	61.3	65.4	69.5	73.6	77.7	81.8	85.9	90.0	94.1	98.2	102.3	106.4	110.5	114.6	118.7	122.8	126.9	131.0	135.1	139.2	143.3	147.4	151.5	155.6	159.7	163.8	167.9	172.0	176.1	180.2	184.3	188.4	192.5	196.6	200.7	204.8	208.9	
15	34.4	38.3	42.2	46.1	50.0	54.1	58.2	62.3	66.4	70.5	74.6	78.7	82.8	86.9	91.0	95.1	99.2	103.3	107.4	111.5	115.6	119.7	123.8	127.9	132.0	136.1	140.2	144.3	148.4	152.5	156.6	160.7	164.8	168.9	173.0	177.1	181.2	185.3	189.4	193.5	197.6	201.7	205.8	209.9	
16	35.4	39.3	43.2	47.1	51.0	55.1	59.2	63.3	67.4	71.5	75.6	79.7	83.8	87.9	92.0	96.1	100.2	104.3	108.4	112.5	116.6	120.7	124.8	128.9	133.0	137.1	141.2	145.3	149.4	153.5	157.6	161.7	165.8	169.9	174.0	178.1	182.2	186.3	190.4	194.5	198.6	202.7	206.8	210.9	
17	36.4	40.3	44.2	48.1	52.0	56.1	60.2	64.3	68.4	72.5	76.6	80.7	84.8	88.9	93.0	97.1	101.2	105.3	109.4	113.5	117.6	121.7	125.8	129.9	134.0	138.1	142.2	146.3	150.4	154.5	158.6	162.7	166.8	170.9	175.0	179.1	183.2	187.3	191.4	195.5	199.6	203.7	207.8	211.9	
18	37.4	41.3	45.2	49.1	53.0	57.1	61.2	65.3	69.4	73.5	77.6	81.7	85.8	89.9	94.0	98.1	102.2	106.3	110.4	114.5	118.6	122.7	126.8	130.9	135.0	139.1	143.2	147.3	151.4	155.5	159.6	163.7	167.8	171.9	176.0	180.1	184.2	188.3	192.4	196.5	200.6	204.7	208.8	212.9	
19	38.4	42.3	46.2	50.1	54.0	58.1	62.2	66.3	70.4	74.5	78.6	82.7	86.8	90.9	95.0	99.1	103.2	107.3	111.4	115.5	119.6	123.7	127.8	131.9	136.0	140.1	144.2	148.3	152.4	156.5	160.6	164.7	168.8	172.9	177.0	181.1	185.2	189.3	193.4	197.5	201.6	205.7	209.8	213.9	
20	39.4	43.3	47.2	51.1	55.0	59.1	63.2	67.3	71.4	75.5	79.6	83.7	87.8	91.9	96.0	100.1	104.2	108.3	112.4	116.5	120.6	124.7	128.8	132.9	137.0	141.1	145.2	149.3	153.4	157.5	161.6	165.7	169.8	173.9	178.0	182.1	186.2	190.3	194.4	198.5	202.6	206.7	210.8	214.9	
21	40.4	44.3	48.2	52.1	56.0	60.1	64.2	68.3	72.4	76.5	80.6	84.7	88.8	92.9	97.0	101.1	105.2	109.3	113.4	117.5	121.6	125.7	129.8	133.9	138.0	142.1	146.2	150.3	154.4	158.5	162.6	166.7	170.8	174.9	179.0	183.1	187.2	191.3	195.4	199.5	203.6	207.7	211.8	215.9	
22	41.4	45.3	49.2	53.1	57.0	61.1	65.2	69.3	73.4	77.5	81.6	85.7	89.8	93.9	98.0	102.1	106.2	110.3	114.4	118.5	122.6	126.7	130.8	134.9	139.0	143.1	147.2	151.3	155.4	159.5	163.6	167.7	171.8	175.9	180.0	184.1	188.2	192.3	196.4	200.5	204.6	208.7	212.8	216.9	
23	42.4	46.3	50.2	54.1	58.0	62.1	66.2	70.3	74.4	78.5	82.6	86.7	90.8	94.9	99.0	103.1	107.2	111.3	115.4	119.5	123.6	127.7	131.8	135.9	140.0	1																			

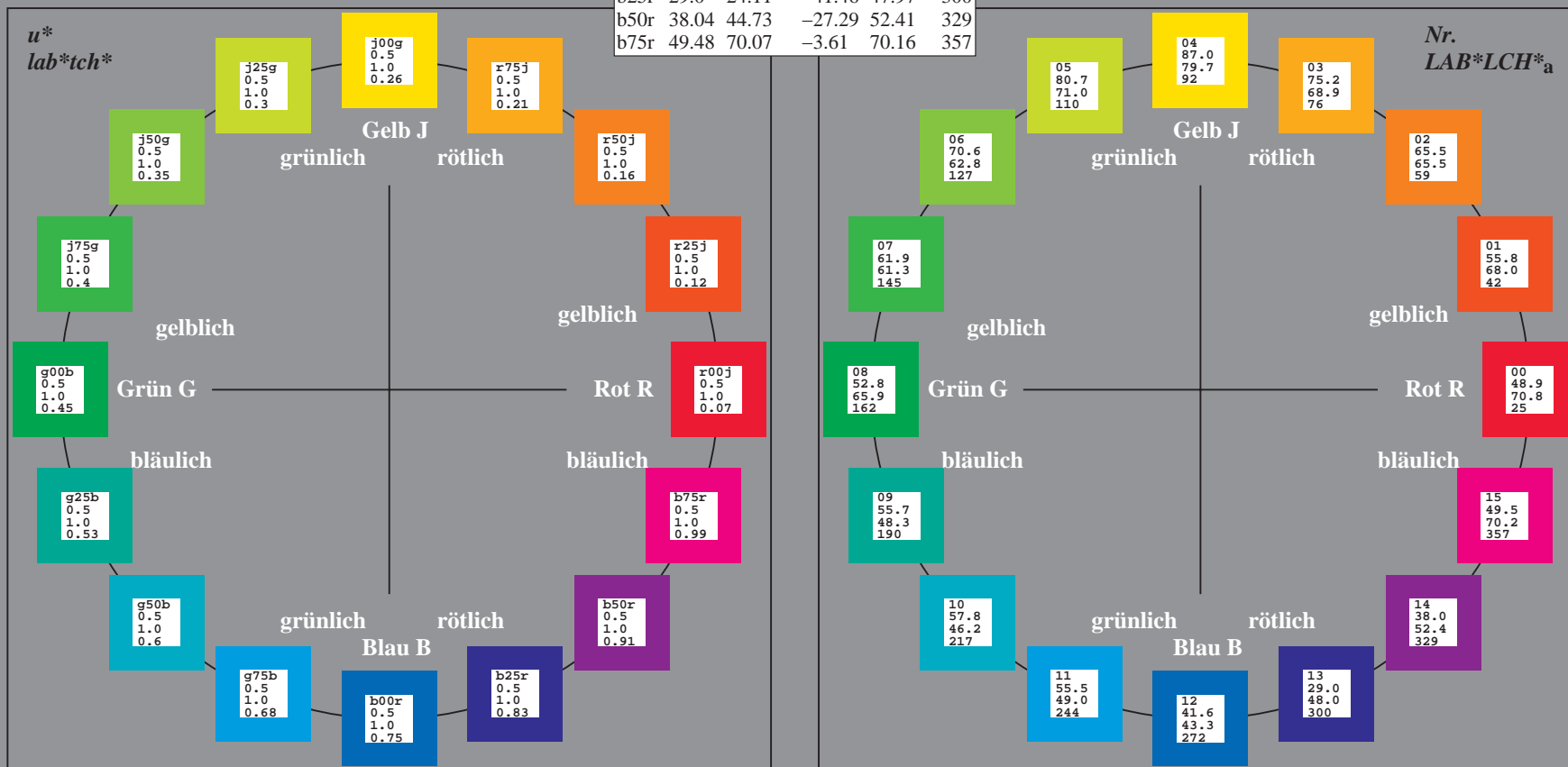
Ein und Ausgabe:
Farbmetrisches Drucker-Reflektiv-System ORS20_95a
Daten für jede Farbe:
*lab*tch** und *lab*icu**
Elementar-Bunttontext:
*u** = 16 Bunttöne *r00j*, *r25j*, ..., *b75r*
Kontrastreduzierungsfaktor:
 $c_R = 0.96$

ORS20_95a; adaptierte CIELAB-Daten					
	$L^*=L^*_a$	a^*_a	b^*_a	$C^*_{ab,a}$	$h^*_{ab,a}$
r00j	48.88	63.91	30.45	70.79	25
r25j	55.85	50.36	45.65	67.97	42
r50j	65.45	33.86	56.12	65.54	59
r75j	75.19	17.13	66.73	68.89	76
j00g	87.03	-3.21	79.64	79.7	92
j25g	80.72	-24.03	66.82	71.01	110
j50g	70.64	-38.01	49.96	62.78	127
j75g	61.93	-50.08	35.41	61.34	145
g00b	52.8	-62.76	20.12	65.91	162
g25b	55.7	-47.65	-8.05	48.34	190
g50b	57.82	-36.91	-27.79	46.22	217
g75b	55.5	-21.19	-44.16	49.0	244
b00r	41.6	1.31	-43.27	43.3	272
b25r	29.0	24.11	-41.46	47.97	300
b50r	38.04	44.73	-27.29	52.41	329
b75r	49.48	70.07	-3.61	70.16	357



%Umfang
 $u^*_{rel} = 83$
%Regularität
 $g^*_{H,rel} = 72$
 $g^*_{C,rel} = 57$

ORS20_95a; adaptierte CIELAB-Daten					
	$L^*=L^*_a$	a^*_a	b^*_a	$C^*_{ab,a}$	$h^*_{ab,a}$
OMa	48.75	62.56	37.91	73.15	31
YMa	90.92	-9.88	83.88	84.46	97
LMa	52.69	-62.9	19.95	66.0	162
CMa	59.61	-27.85	-44.43	52.45	238
VMa	28.39	22.72	-42.42	48.13	298
MMa	49.58	71.08	-9.19	71.67	353
NMa	20.0	0.0	0.0	0.0	0
WMa	95.0	0.0	0.0	0.0	0
RCIE	39.92	58.74	27.99	65.07	25
JCIE	81.26	-2.88	71.56	71.62	92
GCIE	52.23	-42.41	13.6	44.55	162
BCIE	30.57	1.41	-46.46	46.49	272



Ein und Ausgabe: Farbmetrisches Drucker-Reflektiv-System ORS20_95a für relativen CIELAB-Buntton $h^* = lab^*h^* = h_{ab}/360 = 25/360 = 0.071$ $u^* = r00j$
Daten für jede Farbe: lab^*tch^* und lab^*icu^*

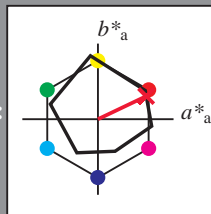
Elementar-Bunttontext:

$u^* = r00j$

Kontrastreduzierungsfaktor:

$c_R = 0.96$

Dreiecks-Helligkeit t^*



ORS20_95a; adaptierte CIELAB-Daten					
	$L^*=L_a^*$	a_a^*	b_a^*	$C_{ab,a}^*$	$h_{ab,a}^*$
O _{Ma}	48.75	62.56	37.91	73.15	31
Y _{Ma}	90.92	-9.88	83.88	84.46	97
L _{Ma}	52.69	-62.9	19.95	66.0	162
C _{Ma}	59.61	-27.85	-44.43	52.45	238
V _{Ma}	28.39	22.72	-42.42	48.13	298
M _{Ma}	49.58	71.08	-9.19	71.67	353
N _{Ma}	20.0	0.0	0.0	0.0	0
W _{Ma}	95.0	0.0	0.0	0.0	0
R _{CIE}	39.92	58.74	27.99	65.07	25
J _{CIE}	81.26	-2.88	71.56	71.62	92
G _{CIE}	52.23	-42.41	13.6	44.55	162
B _{CIE}	30.57	1.41	-46.46	46.49	272

Daten für Maximalfarbe (Ma):

$LAB^*LAB^*_{Ma}$: 49 64 30

$LAB^*LCH^*_{Ma}$: 49 71 25

$lab^*rgb^*_{Ma}$: 1.0 0.0 0.0

$lab^*olv^*_{Ma}$: 1.0 0.0 0.16

Dreiecks-Helligkeit t^*

%Umfang

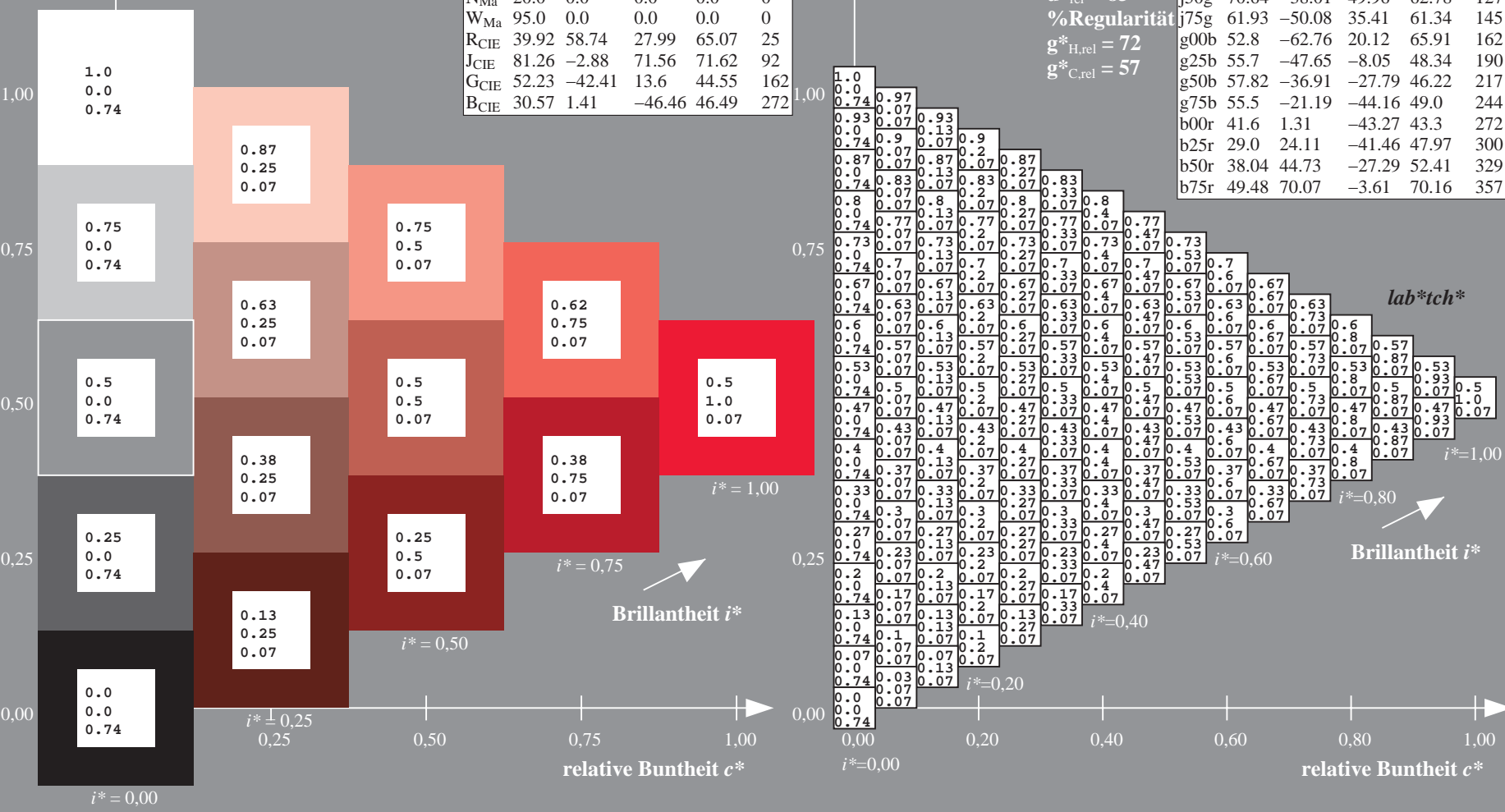
$u^*_{rel} = 83$

%Regularität

$g^*_{H,rel} = 72$

$g^*_{C,rel} = 57$

ORS20_95a; adaptierte CIELAB-Daten					
	$L^*=L_a^*$	a_a^*	b_a^*	$C_{ab,a}^*$	$h_{ab,a}^*$
r00j	48.88	63.91	30.45	70.79	25
r25j	55.85	50.36	45.65	67.97	42
r50j	65.45	33.86	56.12	65.54	59
r75j	75.19	17.13	66.73	68.89	76
j00g	87.03	-3.21	79.64	79.7	92
j25g	80.72	-24.03	66.82	71.01	110
j50g	70.64	-38.01	49.96	62.78	127
j75g	61.93	-50.08	35.41	61.34	145
g00b	52.8	-62.76	20.12	65.91	162
g25b	55.7	-47.65	-8.05	48.34	190
g50b	57.82	-36.91	-27.79	46.22	217
g75b	55.5	-21.19	-44.16	49.0	244
b00r	41.6	1.31	-43.27	43.3	272
b25r	29.0	24.11	-41.46	47.97	300
b50r	38.04	44.73	-27.29	52.41	329
b75r	49.48	70.07	-3.61	70.16	357



Ein und Ausgabe: Farbmetrisches Drucker-Reflektiv-System ORS20_95a für relativen CIELAB-Buntton $h^* = lab^*h^* = h_{ab}/360 = 42/360 = 0.117$ $u^* = r25j$
Daten für jede Farbe: lab^*ch^* und lab^*icu^*

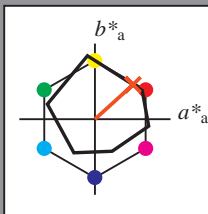
Elementar-Bunttoncontext:

$u^* = r25j$

Kontrastreduzierungsfaktor:

$c_R = 0.96$

Dreiecks-Helligkeit t^*



ORS20_95a; adaptierte CIELAB-Daten					
	$L^*=L^*_a$	a^*_a	b^*_a	$C^*_{ab,a}$	$h^*_{ab,a}$
O _{Ma}	48.75	62.56	37.91	73.15	31
Y _{Ma}	90.92	-9.88	83.88	84.46	97
L _{Ma}	52.69	-62.9	19.95	66.0	162
C _{Ma}	59.61	-27.85	-44.43	52.45	238
V _{Ma}	28.39	22.72	-42.42	48.13	298
M _{Ma}	49.58	71.08	-9.19	71.67	353
N _{Ma}	20.0	0.0	0.0	0.0	0
W _{Ma}	95.0	0.0	0.0	0.0	0
R _{CIE}	39.92	58.74	27.99	65.07	25
J _{CIE}	81.26	-2.88	71.56	71.62	92
G _{CIE}	52.23	-42.41	13.6	44.55	162
B _{CIE}	30.57	1.41	-46.46	46.49	272

Daten für Maximalfarbe (Ma):

$LAB^*LAB^*_{Ma}$: 56 50 46

$LAB^*LCH^*_{Ma}$: 56 68 42

$lab^*rgb^*_{Ma}$: 1.0 0.25 0.0

$lab^*olv^*_{Ma}$: 1.0 0.17 0.0

Dreiecks-Helligkeit t^*

%Umfang

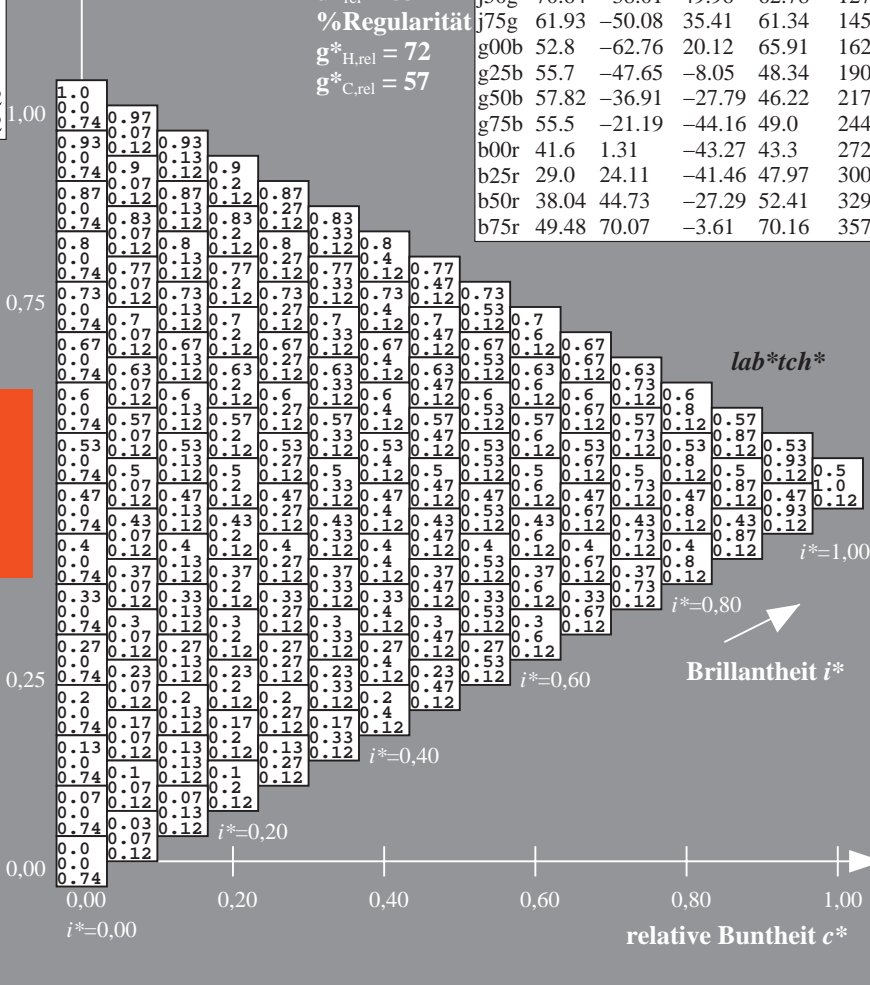
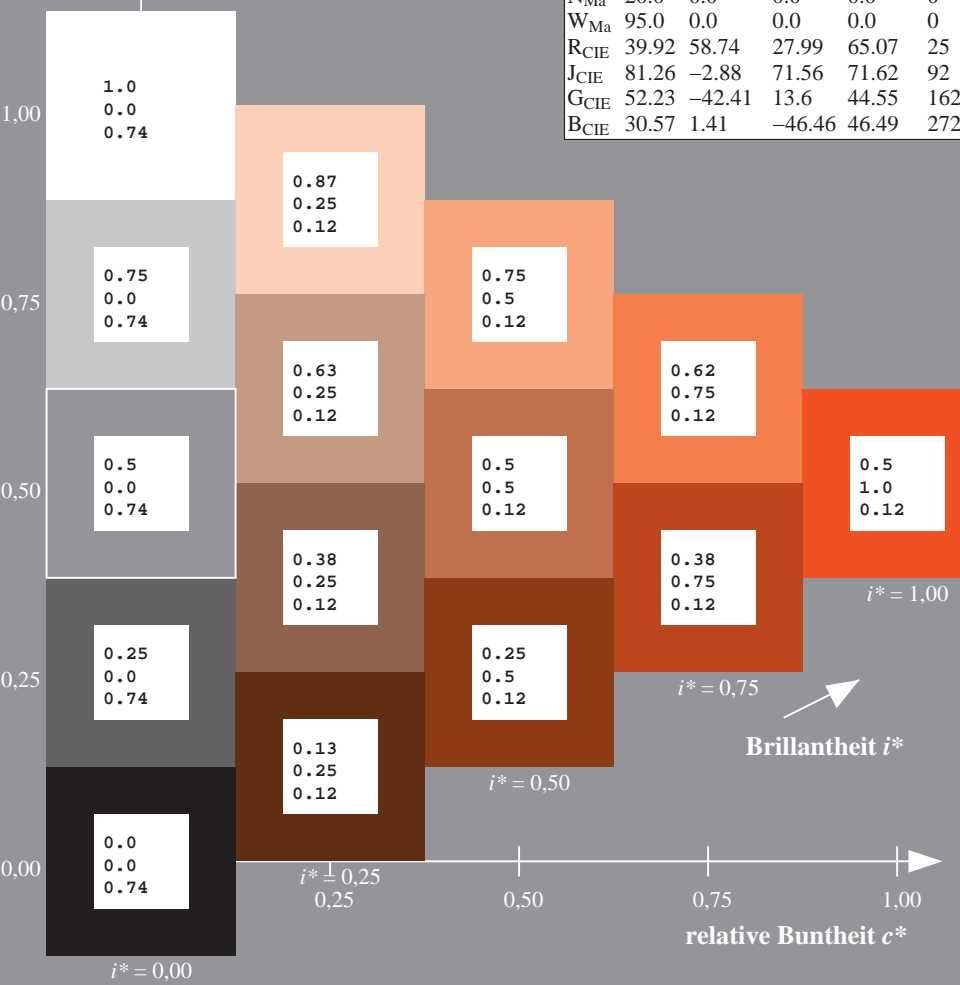
$u^*_{rel} = 83$

%Regularität

$g^*_{H,rel} = 72$

$g^*_{C,rel} = 57$

ORS20_95a; adaptierte CIELAB-Daten					
	$L^*=L^*_a$	a^*_a	b^*_a	$C^*_{ab,a}$	$h^*_{ab,a}$
r00j	48.88	63.91	30.45	70.79	25
r25j	55.85	50.36	45.65	67.97	42
r50j	65.45	33.86	56.12	65.54	59
r75j	75.19	17.13	66.73	68.89	76
j00g	87.03	-3.21	79.64	79.7	92
j25g	80.72	-24.03	66.82	71.01	110
j50g	70.64	-38.01	49.96	62.78	127
j75g	61.93	-50.08	35.41	61.34	145
g00b	52.8	-62.76	20.12	65.91	162
g25b	55.7	-47.65	-8.05	48.34	190
g50b	57.82	-36.91	-27.79	46.22	217
g75b	55.5	-21.19	-44.16	49.0	244
b00r	41.6	1.31	-43.27	43.3	272
b25r	29.0	24.11	-41.46	47.97	300
b50r	38.04	44.73	-27.29	52.41	329
b75r	49.48	70.07	-3.61	70.16	357



Ein und Ausgabe: Farbmetrisches Drucker-Reflektiv-System ORS20_95a für relativen CIELAB-Buntton $h^* = lab^*h^* = h_{ab}/360 = 59/360 = 0.164$ $u^* = r50j$
Daten für jede Farbe: lab^*ch^* und lab^*icu^*

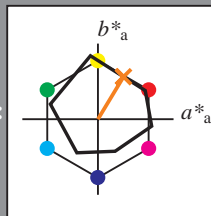
Elementar-Bunttontext:

$u^* = r50j$

Kontrastreduzierungsfaktor:

$c_R = 0.96$

Dreiecks-Helligkeit t^*



ORS20_95a; adaptierte CIELAB-Daten					
	$L^*=L_a^*$	a_a^*	b_a^*	$C^*_{ab,a}$	$h^*_{ab,a}$
O _{Ma}	48.75	62.56	37.91	73.15	31
Y _{Ma}	90.92	-9.88	83.88	84.46	97
L _{Ma}	52.69	-62.9	19.95	66.0	162
C _{Ma}	59.61	-27.85	-44.43	52.45	238
V _{Ma}	28.39	22.72	-42.42	48.13	298
M _{Ma}	49.58	71.08	-9.19	71.67	353
N _{Ma}	20.0	0.0	0.0	0.0	0
W _{Ma}	95.0	0.0	0.0	0.0	0
R _{CIE}	39.92	58.74	27.99	65.07	25
J _{CIE}	81.26	-2.88	71.56	71.62	92
G _{CIE}	52.23	-42.41	13.6	44.55	162
B _{CIE}	30.57	1.41	-46.46	46.49	272

Daten für Maximalfarbe (Ma):

$LAB^*LAB^*_{Ma}$: 65 34 56

$LAB^*LCH^*_{Ma}$: 65 66 59

$lab^*rgb^*_{Ma}$: 1.0 0.5 0.0

$lab^*olv^*_{Ma}$: 1.0 0.4 0.0

Dreiecks-Helligkeit t^*

%Umfang

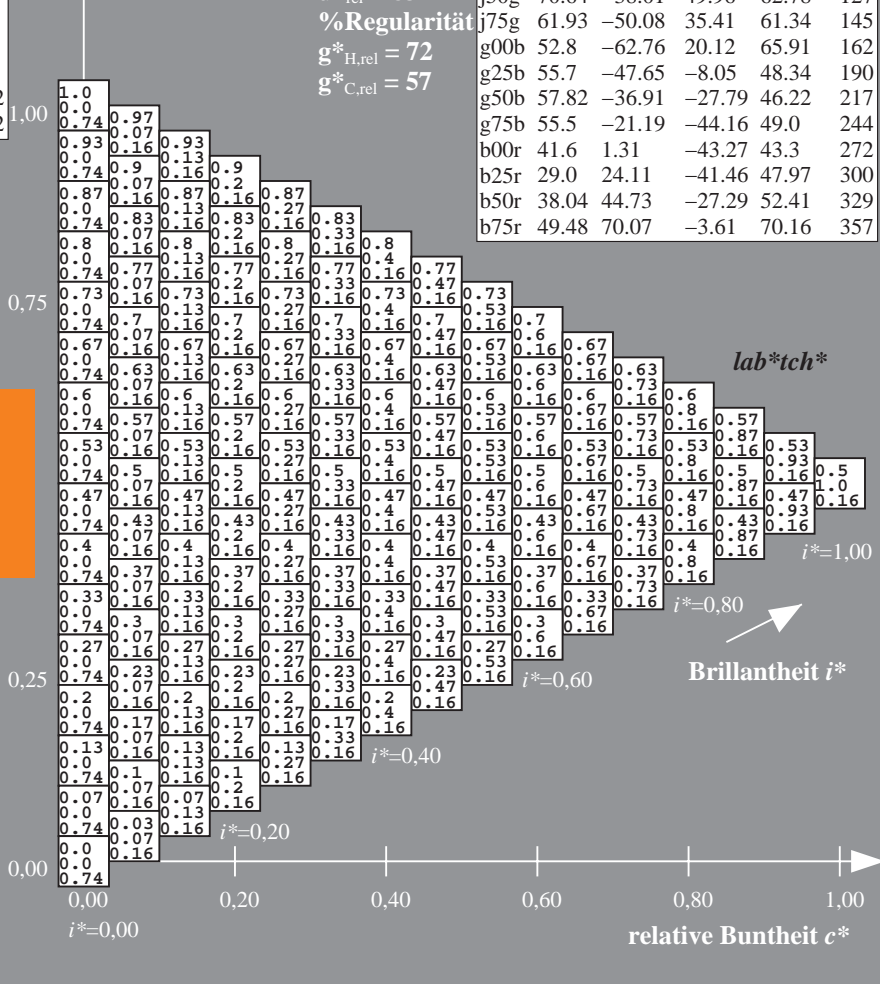
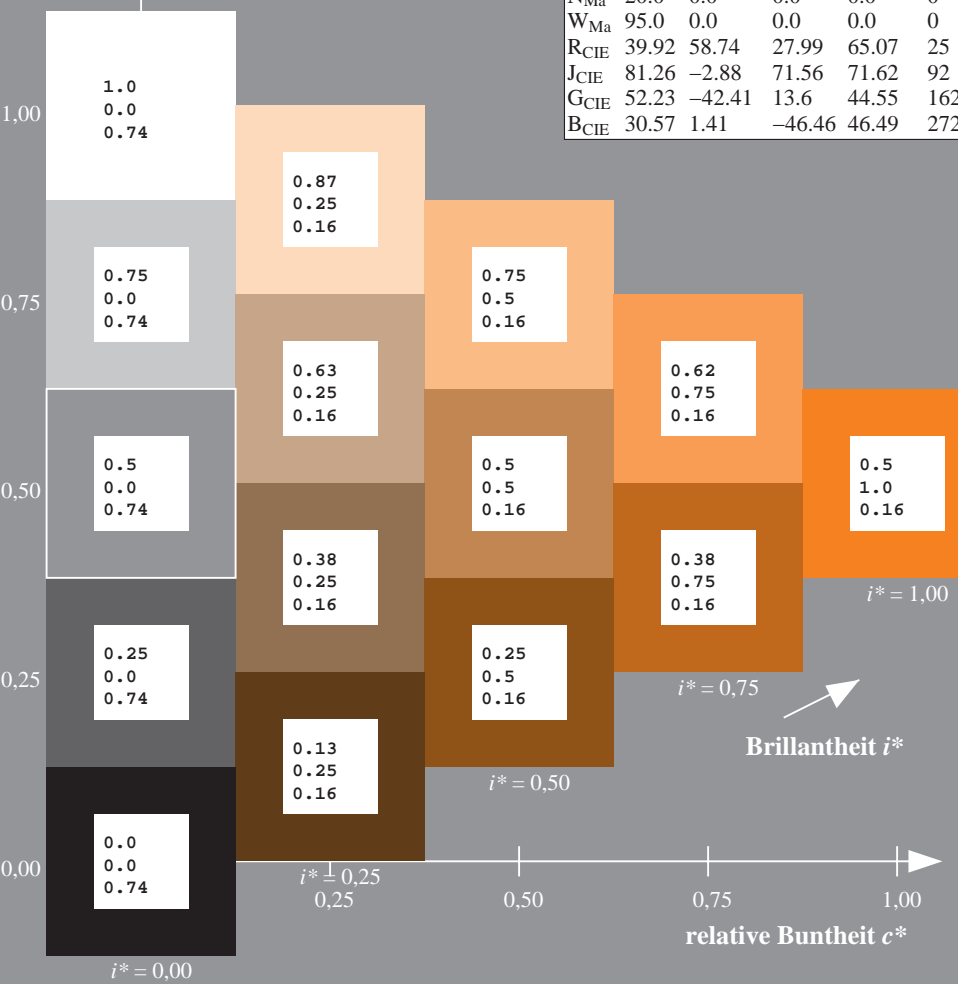
$u^*_{rel} = 83$

%Regularität

$g^*_{H,rel} = 72$

$g^*_{C,rel} = 57$

ORS20_95a; adaptierte CIELAB-Daten					
	$L^*=L_a^*$	a_a^*	b_a^*	$C^*_{ab,a}$	$h^*_{ab,a}$
r00j	48.88	63.91	30.45	70.79	25
r25j	55.85	50.36	45.65	67.97	42
r50j	65.45	33.86	56.12	65.54	59
r75j	75.19	17.13	66.73	68.89	76
j00g	87.03	-3.21	79.64	79.7	92
j25g	80.72	-24.03	66.82	71.01	110
j50g	70.64	-38.01	49.96	62.78	127
j75g	61.93	-50.08	35.41	61.34	145
g00b	52.8	-62.76	20.12	65.91	162
g25b	55.7	-47.65	-8.05	48.34	190
g50b	57.82	-36.91	-27.79	46.22	217
g75b	55.5	-21.19	-44.16	49.0	244
b00r	41.6	1.31	-43.27	43.3	272
b25r	29.0	24.11	-41.46	47.97	300
b50r	38.04	44.73	-27.29	52.41	329
b75r	49.48	70.07	-3.61	70.16	357



Ein und Ausgabe: Farbmetrisches Drucker-Reflektiv-System ORS20_95a für relativen CIELAB-Buntton $h^* = lab^*h^* = h_{ab}/360 = 76/360 = 0.21$ $u^* = r75j$
Daten für jede Farbe: lab^*tch^* und lab^*icu^*

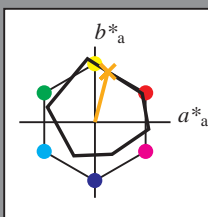
Elementar-Bunttontext:

$u^* = r75j$

Kontrastreduzierungsfaktor:

$c_R = 0.96$

Dreiecks-Helligkeit t^*



ORS20_95a; adaptierte CIELAB-Daten					
	$L^*=L_a^*$	a_a^*	b_a^*	$C^*_{ab,a}$	$h^*_{ab,a}$
O _{Ma}	48.75	62.56	37.91	73.15	31
Y _{Ma}	90.92	-9.88	83.88	84.46	97
L _{Ma}	52.69	-62.9	19.95	66.0	162
C _{Ma}	59.61	-27.85	-44.43	52.45	238
V _{Ma}	28.39	22.72	-42.42	48.13	298
M _{Ma}	49.58	71.08	-9.19	71.67	353
N _{Ma}	20.0	0.0	0.0	0.0	0
W _{Ma}	95.0	0.0	0.0	0.0	0
R _{CIE}	39.92	58.74	27.99	65.07	25
J _{CIE}	81.26	-2.88	71.56	71.62	92
G _{CIE}	52.23	-42.41	13.6	44.55	162
B _{CIE}	30.57	1.41	-46.46	46.49	272

Daten für Maximalfarbe (Ma):

$LAB^*LAB^*_{Ma}$: 75 17 67

$LAB^*LCH^*_{Ma}$: 75 69 76

$lab^*rgb^*_{Ma}$: 1.0 0.75 0.0

$lab^*olv^*_{Ma}$: 1.0 0.63 0.0

Dreiecks-Helligkeit t^*

%Umfang

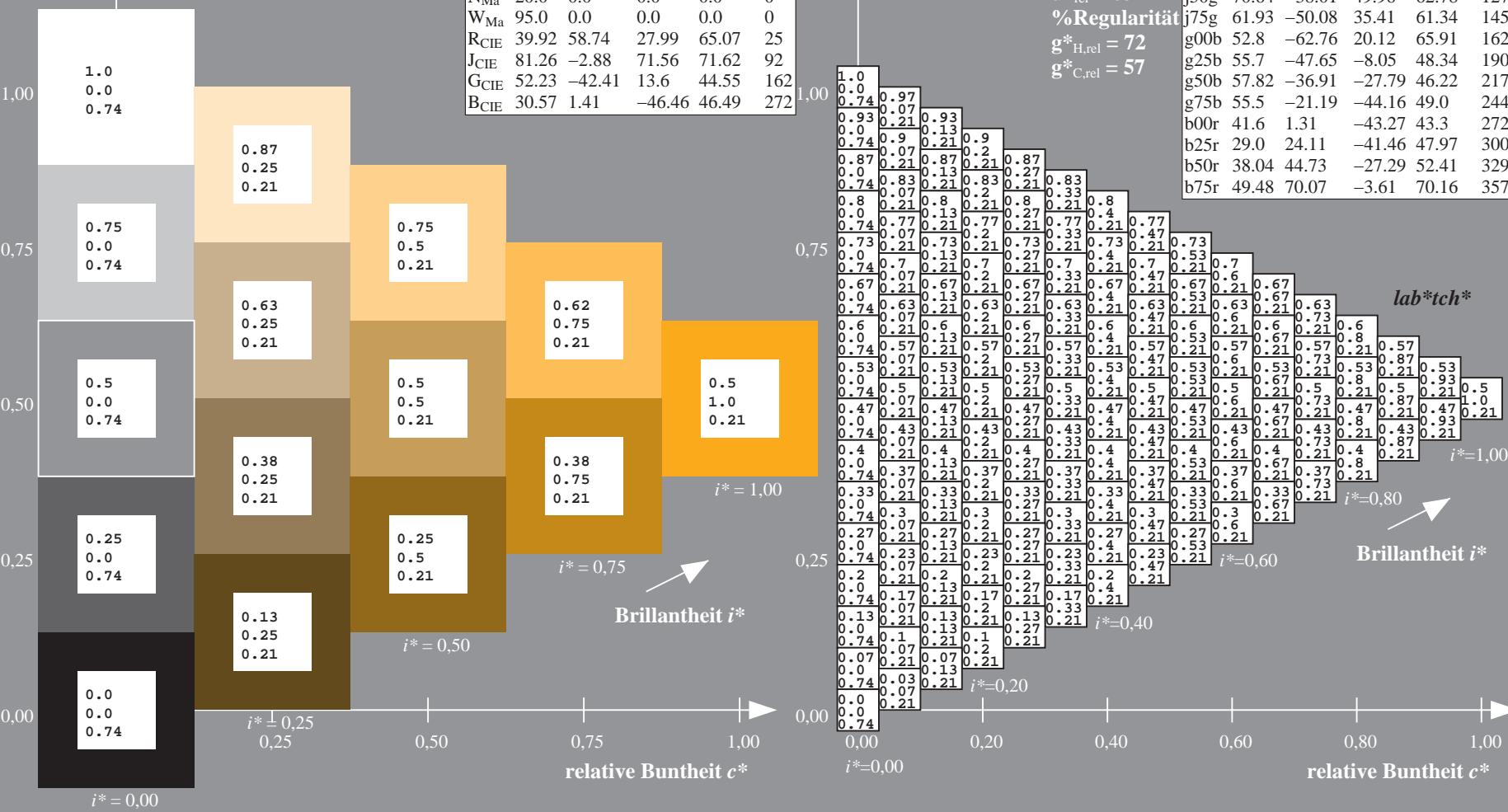
$u^*_{rel} = 83$

%Regularität

$g^*_{H,rel} = 72$

$g^*_{C,rel} = 57$

ORS20_95a; adaptierte CIELAB-Daten					
	$L^*=L_a^*$	a_a^*	b_a^*	$C^*_{ab,a}$	$h^*_{ab,a}$
r00j	48.88	63.91	30.45	70.79	25
r25j	55.85	50.36	45.65	67.97	42
r50j	65.45	33.86	56.12	65.54	59
r75j	75.19	17.13	66.73	68.89	76
j00g	87.03	-3.21	79.64	79.7	92
j25g	80.72	-24.03	66.82	71.01	110
j50g	70.64	-38.01	49.96	62.78	127
j75g	61.93	-50.08	35.41	61.34	145
g00b	52.8	-62.76	20.12	65.91	162
g25b	55.7	-47.65	-8.05	48.34	190
g50b	57.82	-36.91	-27.79	46.22	217
g75b	55.5	-21.19	-44.16	49.0	244
b00r	41.6	1.31	-43.27	43.3	272
b25r	29.0	24.11	-41.46	47.97	300
b50r	38.04	44.73	-27.29	52.41	329
b75r	49.48	70.07	-3.61	70.16	357



Ein und Ausgabe: Farbmetrisches Drucker-Reflektiv-System ORS20_95a für relativen CIELAB-Buntton $h^* = lab^*h^* = h_{ab}/360 = 92/360 = 0.256$ $u^* = j00g$
Daten für jede Farbe: lab^*ch^* und lab^*icu^*

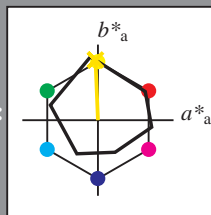
Elementar-Bunttoncontext:

$u^* = j00g$

Kontrastreduzierungsfaktor:

$c_R = 0.96$

Dreiecks-Helligkeit i^*



ORS20_95a; adaptierte CIELAB-Daten					
	$L^*=L^*_a$	a^*_a	b^*_a	$C^*_{ab,a}$	$h^*_{ab,a}$
O _{Ma}	48.75	62.56	37.91	73.15	31
Y _{Ma}	90.92	-9.88	83.88	84.46	97
L _{Ma}	52.69	-62.9	19.95	66.0	162
C _{Ma}	59.61	-27.85	-44.43	52.45	238
V _{Ma}	28.39	22.72	-42.42	48.13	298
M _{Ma}	49.58	71.08	-9.19	71.67	353
N _{Ma}	20.0	0.0	0.0	0.0	0
W _{Ma}	95.0	0.0	0.0	0.0	0
R _{CIE}	39.92	58.74	27.99	65.07	25
J _{CIE}	81.26	-2.88	71.56	71.62	92
G _{CIE}	52.23	-42.41	13.6	44.55	162
B _{CIE}	30.57	1.41	-46.46	46.49	272

Daten für Maximalfarbe (Ma):

$LAB^*LAB^*_{Ma}$: 87 -2 80

$LAB^*LCH^*_{Ma}$: 87 80 92

$lab^*rgb^*_{Ma}$: 1.0 1.0 0.0

$lab^*olv^*_{Ma}$: 1.0 0.91 0.0

Dreiecks-Helligkeit i^*

%Umfang

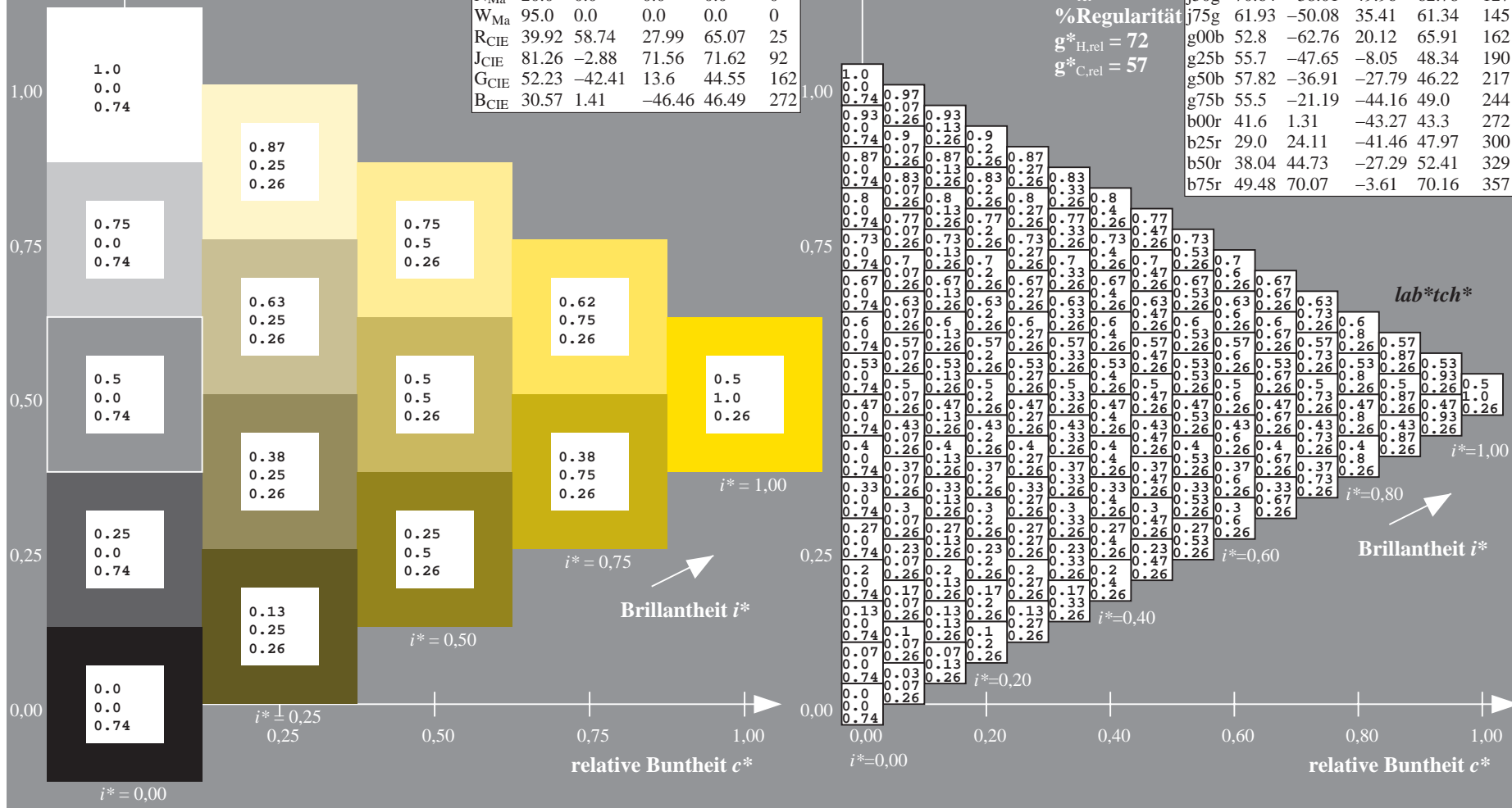
$u^*_{rel} = 83$

%Regularität

$g^*_{H,rel} = 72$

$g^*_{C,rel} = 57$

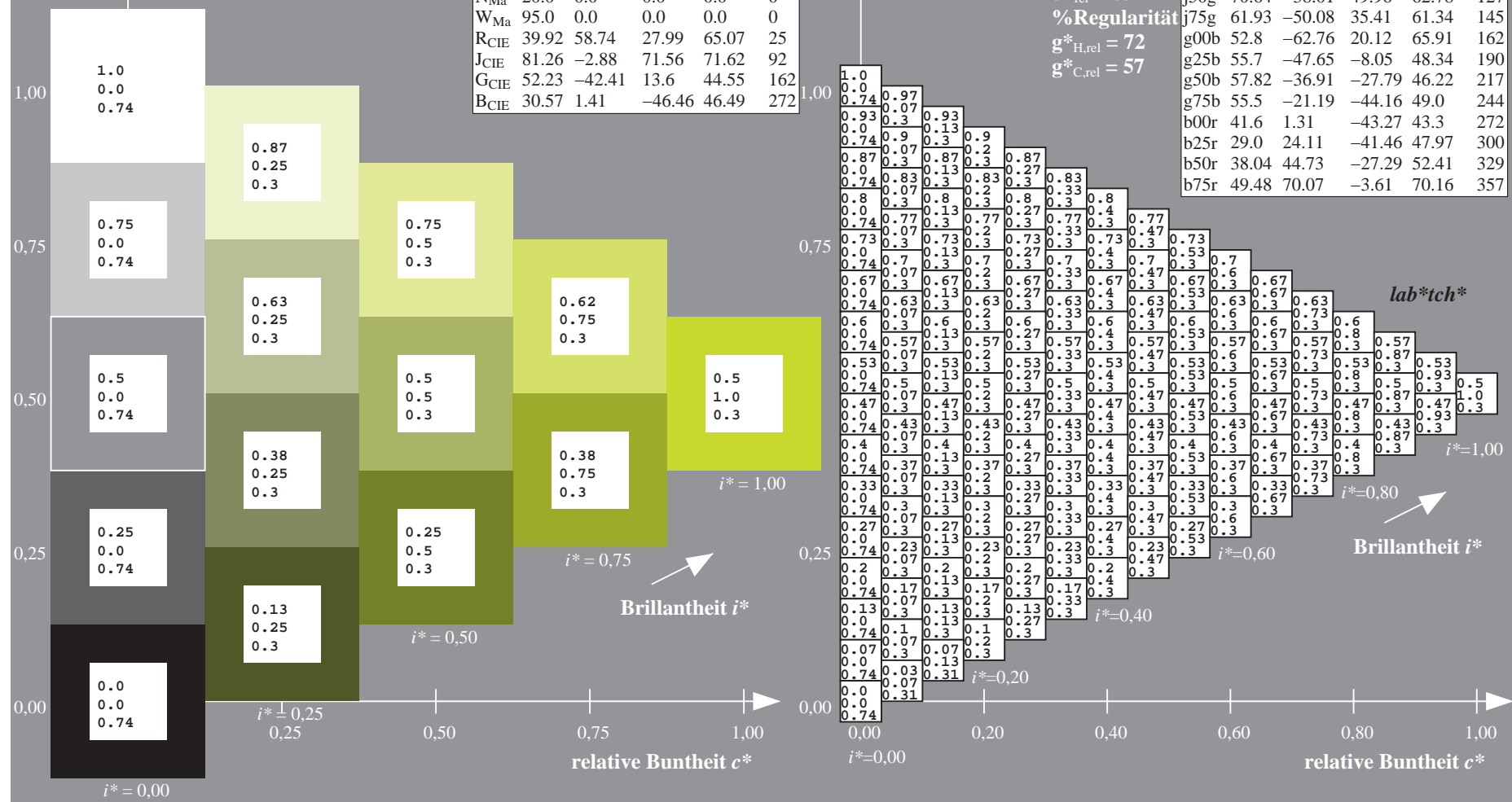
ORS20_95a; adaptierte CIELAB-Daten					
	$L^*=L^*_a$	a^*_a	b^*_a	$C^*_{ab,a}$	$h^*_{ab,a}$
r00j	48.88	63.91	30.45	70.79	25
r25j	55.85	50.36	45.65	67.97	42
r50j	65.45	33.86	56.12	65.54	59
r75j	75.19	17.13	66.73	68.89	76
j00g	87.03	-3.21	79.64	79.7	92
j25g	80.72	-24.03	66.82	71.01	110
j50g	70.64	-38.01	49.96	62.78	127
j75g	61.93	-50.08	35.41	61.34	145
g00b	52.8	-62.76	20.12	65.91	162
g25b	55.7	-47.65	-8.05	48.34	190
g50b	57.82	-36.91	-27.79	46.22	217
g75b	55.5	-21.19	-44.16	49.0	244
b00r	41.6	1.31	-43.27	43.3	272
b25r	29.0	24.11	-41.46	47.97	300
b50r	38.04	44.73	-27.29	52.41	329
b75r	49.48	70.07	-3.61	70.16	357



0



r00j	48.88	63.91	30.45	70.79	25
r25j	55.85	50.36	45.65	67.97	42
r50j	65.45	33.86	56.12	65.54	59
r75j	75.19	17.13	66.73	68.89	76
j00g	87.03	-3.21	79.64	79.7	92
j25g	80.72	-24.03	66.82	71.01	110
j50g	70.64	-38.01	49.96	62.78	127
j75g	61.93	-50.08	35.41	61.34	145
g00b	52.8	-62.76	20.12	65.91	162
g25b	55.7	-47.65	-8.05	48.34	190
g50b	57.82	-36.91	-27.79	46.22	217
g75b	55.5	-21.19	-44.16	49.0	244
b00r	41.6	1.31	-43.27	43.3	272
b25r	29.0	24.11	-41.46	47.97	300
b50r	38.04	44.73	-27.29	52.41	329
b75r	49.48	70.07	-3.61	70.16	357



Farbreihen, 8 Datentabellen für 16 Bunttöne *r00j* bis *b75r*

Ausgabe: $\rightarrow cmy\mathbf{n}5^* setcmykcolor$

BAM-Registrierung: 20080701-Dg99/10L/L99G00NA.PS/ .TXTBAM-Material: Code=rhdata - Anwendung für Beurteilung und Messung von Drucker- oder Monitorsystemen

Ein und Ausgabe: Farbmetrisches Drucker-Reflektiv-System ORS20_95a für relativen CIELAB-Buntton $h^* = lab^*h^* = h_{ab}/360 = 127/360 = 0.354$ $u^* = j50g$
Daten für jede Farbe: lab^*ch^* und lab^*icu^*

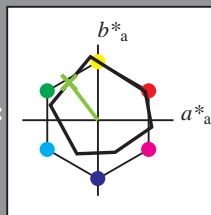
Elementar-Bunttontext:

$u^* = j50g$

Kontrastreduzierungsfaktor:

$c_R = 0.96$

Dreiecks-Helligkeit t^*



ORS20_95a; adaptierte CIELAB-Daten					
	$L^*=L_a^*$	a_a^*	b_a^*	$C^*_{ab,a}$	$h^*_{ab,a}$
O _{Ma}	48.75	62.56	37.91	73.15	31
Y _{Ma}	90.92	-9.88	83.88	84.46	97
L _{Ma}	52.69	-62.9	19.95	66.0	162
C _{Ma}	59.61	-27.85	-44.43	52.45	238
V _{Ma}	28.39	22.72	-42.42	48.13	298
M _{Ma}	49.58	71.08	-9.19	71.67	353
N _{Ma}	20.0	0.0	0.0	0.0	0
W _{Ma}	95.0	0.0	0.0	0.0	0
R _{CIE}	39.92	58.74	27.99	65.07	25
J _{CIE}	81.26	-2.88	71.56	71.62	92
G _{CIE}	52.23	-42.41	13.6	44.55	162
B _{CIE}	30.57	1.41	-46.46	46.49	272

Daten für Maximalfarbe (Ma):

$LAB^*LAB^*_{Ma}$: 71 -37 50

$LAB^*LCH^*_{Ma}$: 71 63 127

$lab^*rgb^*_{Ma}$: 0.5 1.0 0.0

$lab^*olv^*_{Ma}$: 0.47 1.0 0.0

Dreiecks-Helligkeit t^*

%Umfang

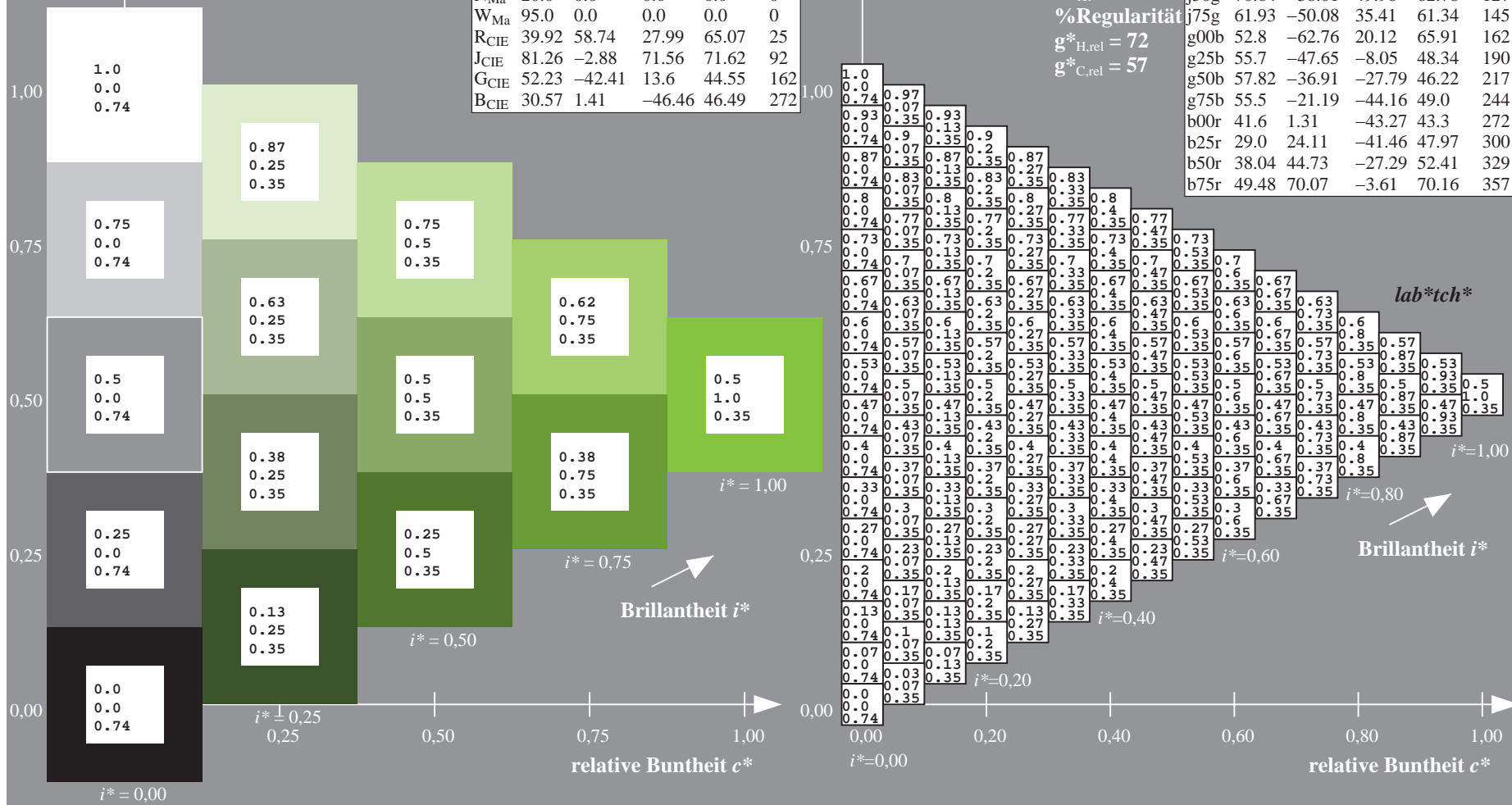
$u^*_{rel} = 83$

%Regularität

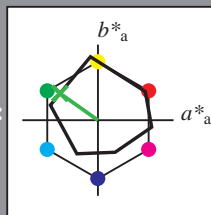
$g^*_{H,rel} = 72$

$g^*_{C,rel} = 57$

ORS20_95a; adaptierte CIELAB-Daten					
	$L^*=L_a^*$	a_a^*	b_a^*	$C^*_{ab,a}$	$h^*_{ab,a}$
r00j	48.88	63.91	30.45	70.79	25
r25j	55.85	50.36	45.65	67.97	42
r50j	65.45	33.86	56.12	65.54	59
r75j	75.19	17.13	66.73	68.89	76
j00g	87.03	-3.21	79.64	79.7	92
j25g	80.72	-24.03	66.82	71.01	110
j50g	70.64	-38.01	49.96	62.78	127
j75g	61.93	-50.08	35.41	61.34	145
g00b	52.8	-62.76	20.12	65.91	162
g25b	55.7	-47.65	-8.05	48.34	190
g50b	57.82	-36.91	-27.79	46.22	217
g75b	55.5	-21.19	-44.16	49.0	244
b00r	41.6	1.31	-43.27	43.3	272
b25r	29.0	24.11	-41.46	47.97	300
b50r	38.04	44.73	-27.29	52.41	329
b75r	49.48	70.07	-3.61	70.16	357



Ein und Ausgabe: Farbmetrisches Drucker-Reflektiv-System ORS20_95a für relativen CIELAB-Buntton $h^* = lab^*h^* = h_{ab}/360 = 145/360 = 0.402$ $u^* = j75g$
Daten für jede Farbe: lab^*tch^* und lab^*icu^*
Elementar-Bunttonextext: $u^* = j75g$
Kontrastreduzierungsfaktor: $c_R = 0.96$
Dreiecks-Helligkeit t^*



ORS20_95a; adaptierte CIELAB-Daten					
	$L^*=L_a^*$	a_a^*	b_a^*	$C^*_{ab,a}$	$h^*_{ab,a}$
O _{Ma}	48.75	62.56	37.91	73.15	31
Y _{Ma}	90.92	-9.88	83.88	84.46	97
L _{Ma}	52.69	-62.9	19.95	66.0	162
C _{Ma}	59.61	-27.85	-44.43	52.45	238
V _{Ma}	28.39	22.72	-42.42	48.13	298
M _{Ma}	49.58	71.08	-9.19	71.67	353
N _{Ma}	20.0	0.0	0.0	0.0	0
W _{Ma}	95.0	0.0	0.0	0.0	0
R _{CIE}	39.92	58.74	27.99	65.07	25
J _{CIE}	81.26	-2.88	71.56	71.62	92
G _{CIE}	52.23	-42.41	13.6	44.55	162
B _{CIE}	30.57	1.41	-46.46	46.49	272

Daten für Maximalfarbe (Ma):

$LAB^*LAB^*_{Ma}$: 62 -49 35

$LAB^*LCH^*_{Ma}$: 62 61 145

$lab^*rgb^*_{Ma}$: 0.25 1.0 0.0

$lab^*olv^*_{Ma}$: 0.24 1.0 0.0

Dreiecks-Helligkeit t^*

%Umfang

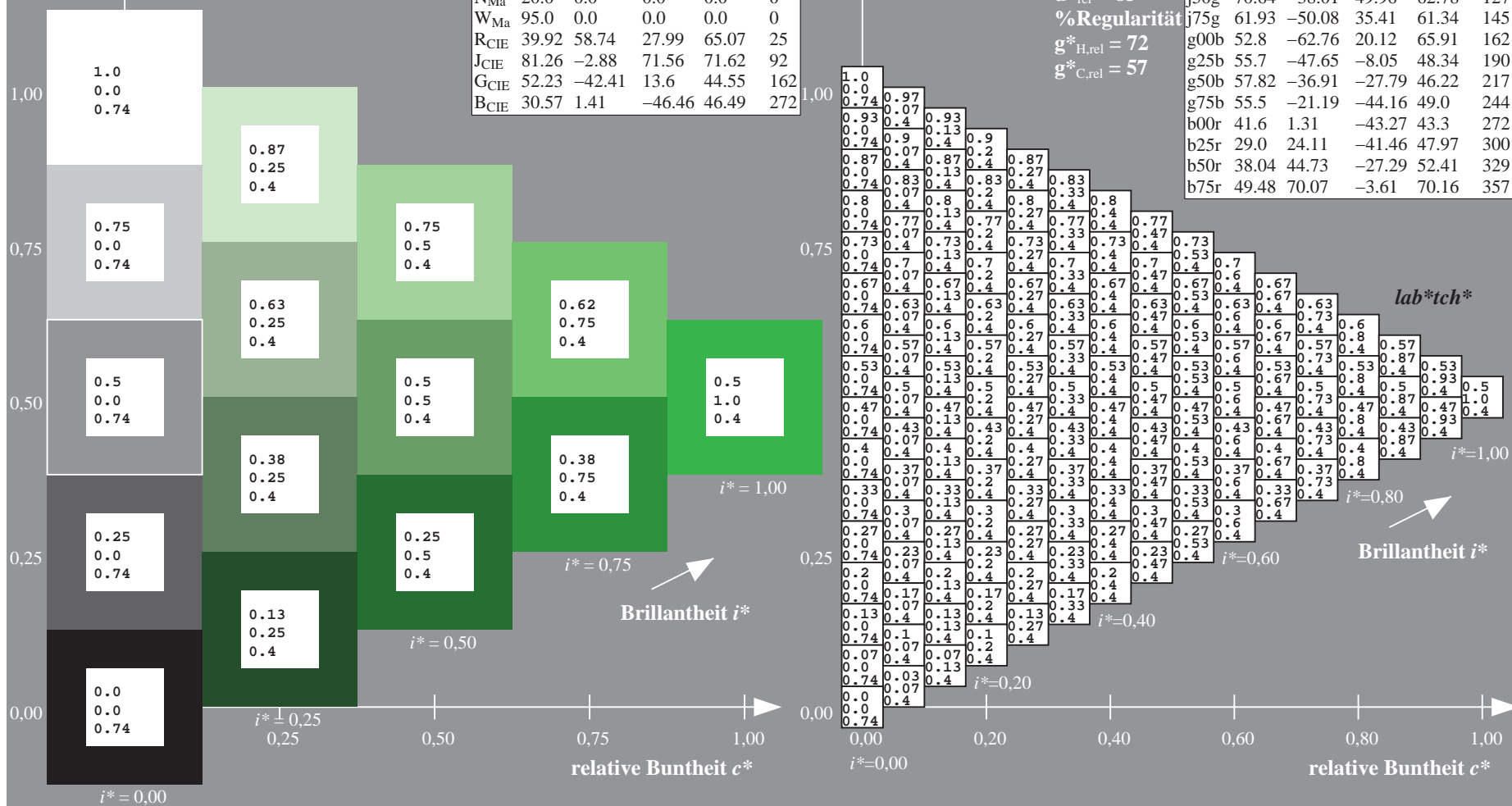
$u^*_{rel} = 83$

%Regularität

$g^*_{H,rel} = 72$

$g^*_{C,rel} = 57$

ORS20_95a; adaptierte CIELAB-Daten					
	$L^*=L_a^*$	a_a^*	b_a^*	$C^*_{ab,a}$	$h^*_{ab,a}$
r00j	48.88	63.91	30.45	70.79	25
r25j	55.85	50.36	45.65	67.97	42
r50j	65.45	33.86	56.12	65.54	59
r75j	75.19	17.13	66.73	68.89	76
j00g	87.03	-3.21	79.64	79.7	92
j25g	80.72	-24.03	66.82	71.01	110
j50g	70.64	-38.01	49.96	62.78	127
j75g	61.93	-50.08	35.41	61.34	145
g00b	52.8	-62.76	20.12	65.91	162
g25b	55.7	-47.65	-8.05	48.34	190
g50b	57.82	-36.91	-27.79	46.22	217
g75b	55.5	-21.19	-44.16	49.0	244
b00r	41.6	1.31	-43.27	43.3	272
b25r	29.0	24.11	-41.46	47.97	300
b50r	38.04	44.73	-27.29	52.41	329
b75r	49.48	70.07	-3.61	70.16	357



Ein und Ausgabe: Farbmetrisches Drucker-Reflektiv-System ORS20_95a für relativen CIELAB-Buntton $h^* = lab^*h^* = h_{ab}/360 = 162/360 = 0.451$ $u^* = g00b$

Daten für jede Farbe:

lab^*tch^* und lab^*icu^*

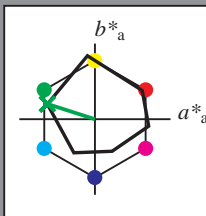
Elementar-Bunttontext:

$u^* = g00b$

Kontrastreduzierungsfaktor:

$c_R = 0.96$

Dreiecks-Helligkeit t^*



ORS20_95a; adaptierte CIELAB-Daten					
	$L^*=L_a^*$	a_a^*	b_a^*	$C^*_{ab,a}$	$h^*_{ab,a}$
O _{Ma}	48.75	62.56	37.91	73.15	31
Y _{Ma}	90.92	-9.88	83.88	84.46	97
L _{Ma}	52.69	-62.9	19.95	66.0	162
C _{Ma}	59.61	-27.85	-44.43	52.45	238
V _{Ma}	28.39	22.72	-42.42	48.13	298
M _{Ma}	49.58	71.08	-9.19	71.67	353
N _{Ma}	20.0	0.0	0.0	0.0	0
W _{Ma}	95.0	0.0	0.0	0.0	0
R _{CIE}	39.92	58.74	27.99	65.07	25
J _{CIE}	81.26	-2.88	71.56	71.62	92
G _{CIE}	52.23	-42.41	13.6	44.55	162
B _{CIE}	30.57	1.41	-46.46	46.49	272

Daten für Maximalfarbe (Ma):

$LAB^*LAB^*_{Ma}$: 53 -62 20

$LAB^*LCH^*_{Ma}$: 53 66 162

$lab^*rgb^*_{Ma}$: 0.0 1.0 0.0

$lab^*olv^*_{Ma}$: 0.0 1.0 0.0

Dreiecks-Helligkeit t^*

%Umfang

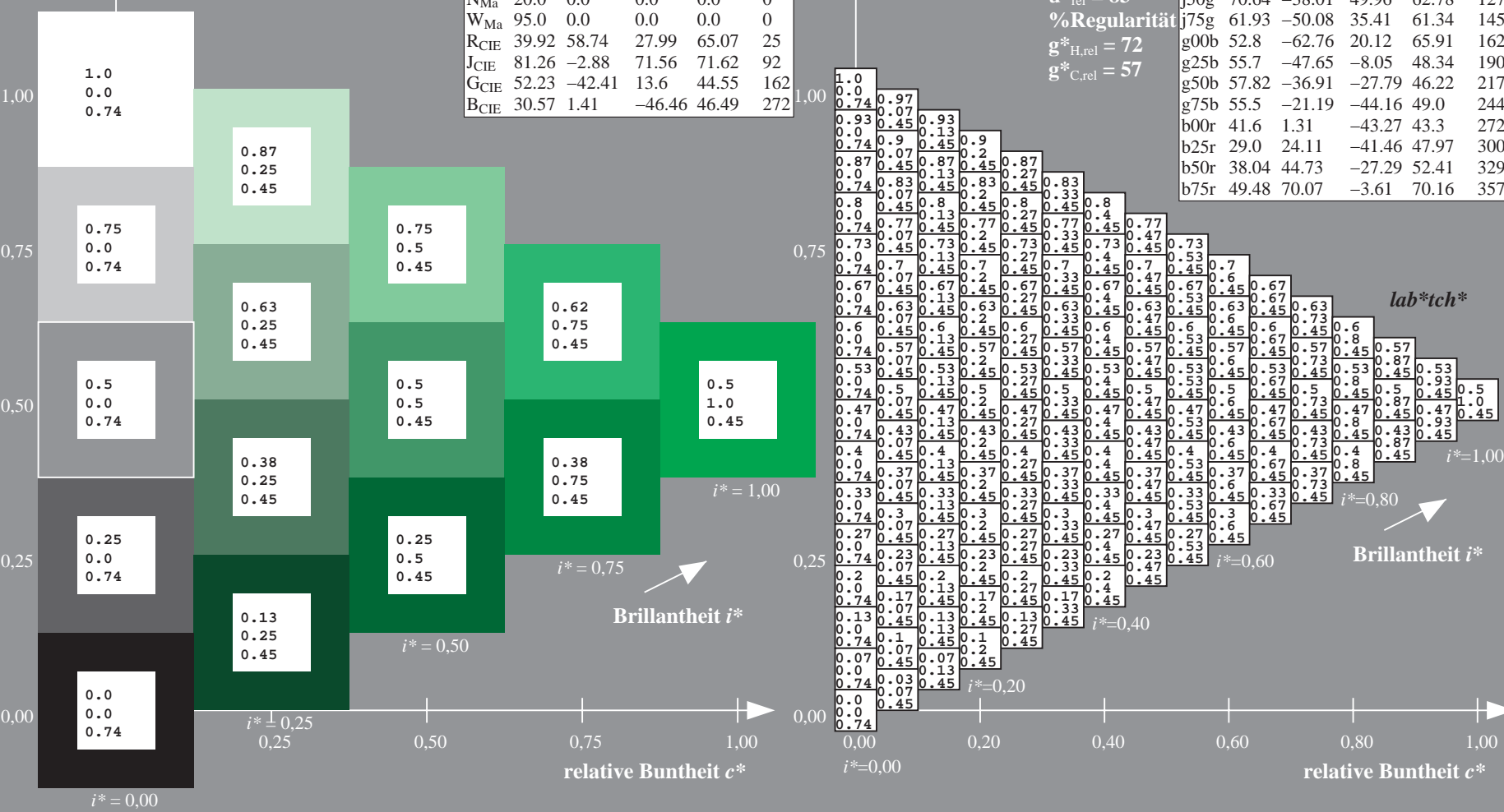
$u^*_{rel} = 83$

%Regularität

$g^*_{H,rel} = 72$

$g^*_{C,rel} = 57$

ORS20_95a; adaptierte CIELAB-Daten					
	$L^*=L_a^*$	a_a^*	b_a^*	$C^*_{ab,a}$	$h^*_{ab,a}$
r00j	48.88	63.91	30.45	70.79	25
r25j	55.85	50.36	45.65	67.97	42
r50j	65.45	33.86	56.12	65.54	59
r75j	75.19	17.13	66.73	68.89	76
j00g	87.03	-3.21	79.64	79.7	92
j25g	80.72	-24.03	66.82	71.01	110
j50g	70.64	-38.01	49.96	62.78	127
j75g	61.93	-50.08	35.41	61.34	145
g00b	52.8	-62.76	20.12	65.91	162
g25b	55.7	-47.65	-8.05	48.34	190
g50b	57.82	-36.91	-27.79	46.22	217
g75b	55.5	-21.19	-44.16	49.0	244
b00r	41.6	1.31	-43.27	43.3	272
b25r	29.0	24.11	-41.46	47.97	300
b50r	38.04	44.73	-27.29	52.41	329
b75r	49.48	70.07	-3.61	70.16	357



Ein und Ausgabe: Farbmetrisches Drucker-Reflektiv-System ORS20_95a für relativen CIELAB-Buntton $h^* = lab^*h^* = h_{ab}/360 = 190/360 = 0.527$ $u^* = g25b$

Daten für jede Farbe:

lab^*tch^* und lab^*icu^*

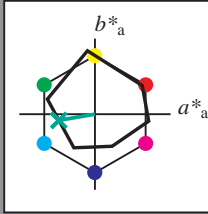
Elementar-Bunttontext:

$u^* = g25b$

Kontrastreduzierungsfaktor:

$c_R = 0.96$

Dreiecks-Helligkeit t^*



ORS20_95a; adaptierte CIELAB-Daten

	$L^*=L_a^*$	a_a^*	b_a^*	$C_{ab,a}^*$	$h_{ab,a}^*$
O _{Ma}	48.75	62.56	37.91	73.15	31
Y _{Ma}	90.92	-9.88	83.88	84.46	97
L _{Ma}	52.69	-62.9	19.95	66.0	162
C _{Ma}	59.61	-27.85	-44.43	52.45	238
V _{Ma}	28.39	22.72	-42.42	48.13	298
M _{Ma}	49.58	71.08	-9.19	71.67	353
N _{Ma}	20.0	0.0	0.0	0.0	0
W _{Ma}	95.0	0.0	0.0	0.0	0
R _{CIE}	39.92	58.74	27.99	65.07	25
J _{CIE}	81.26	-2.88	71.56	71.62	92
G _{CIE}	52.23	-42.41	13.6	44.55	162
B _{CIE}	30.57	1.41	-46.46	46.49	272

Daten für Maximalfarbe (Ma):

$LAB^*LAB^*_{Ma}$: 56 -47 -7

$LAB^*LCH^*_{Ma}$: 56 48 190

$lab^*rgb^*_{Ma}$: 0.0 1.0 0.5

$lab^*olv^*_{Ma}$: 0.0 1.0 0.44

Dreiecks-Helligkeit t^*

%Umfang

$u^*_{rel} = 83$

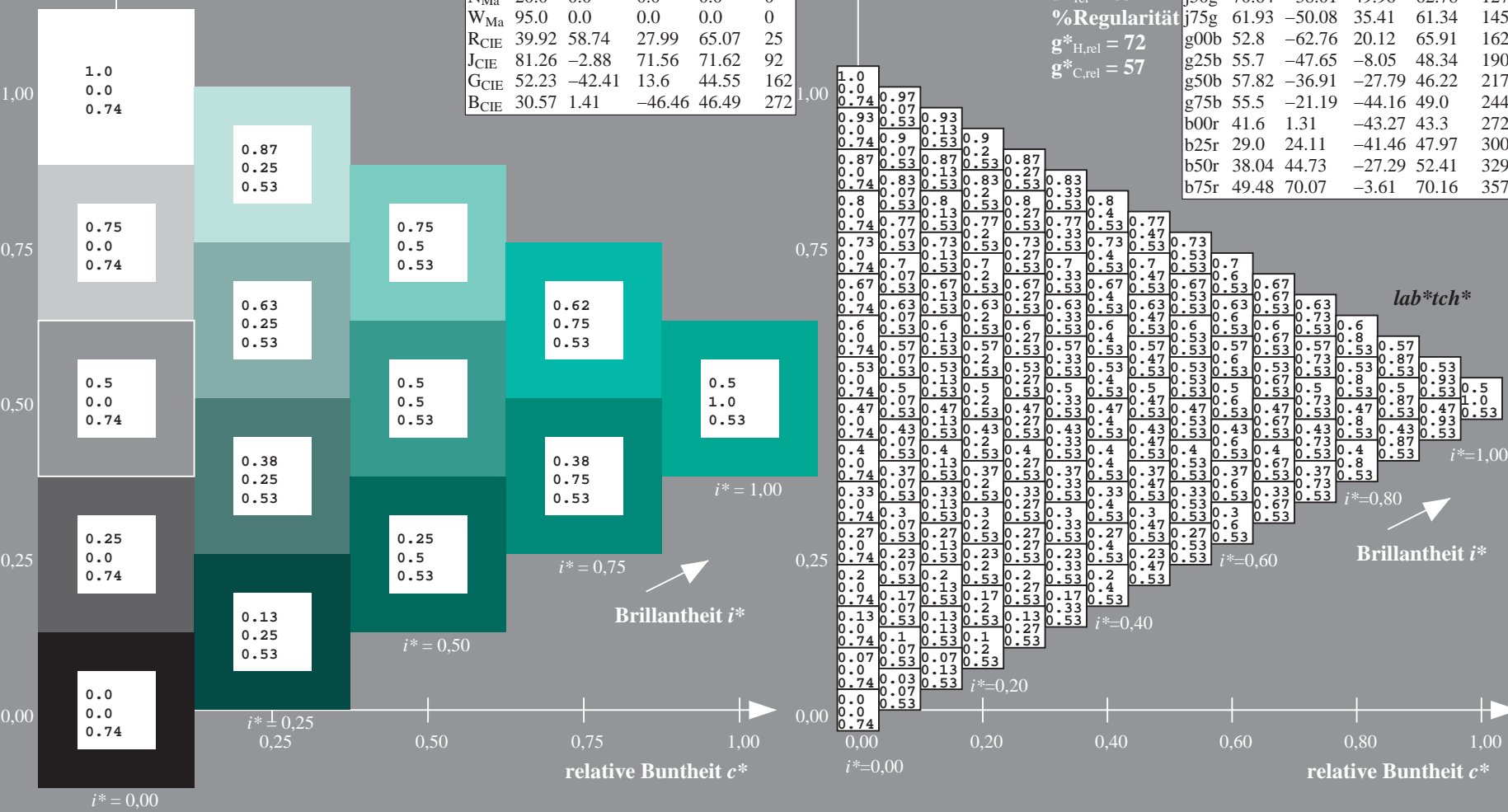
%Regularität

$g^*_{H,rel} = 72$

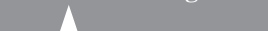
$g^*_{C,rel} = 57$

ORS20_95a; adaptierte CIELAB-Daten

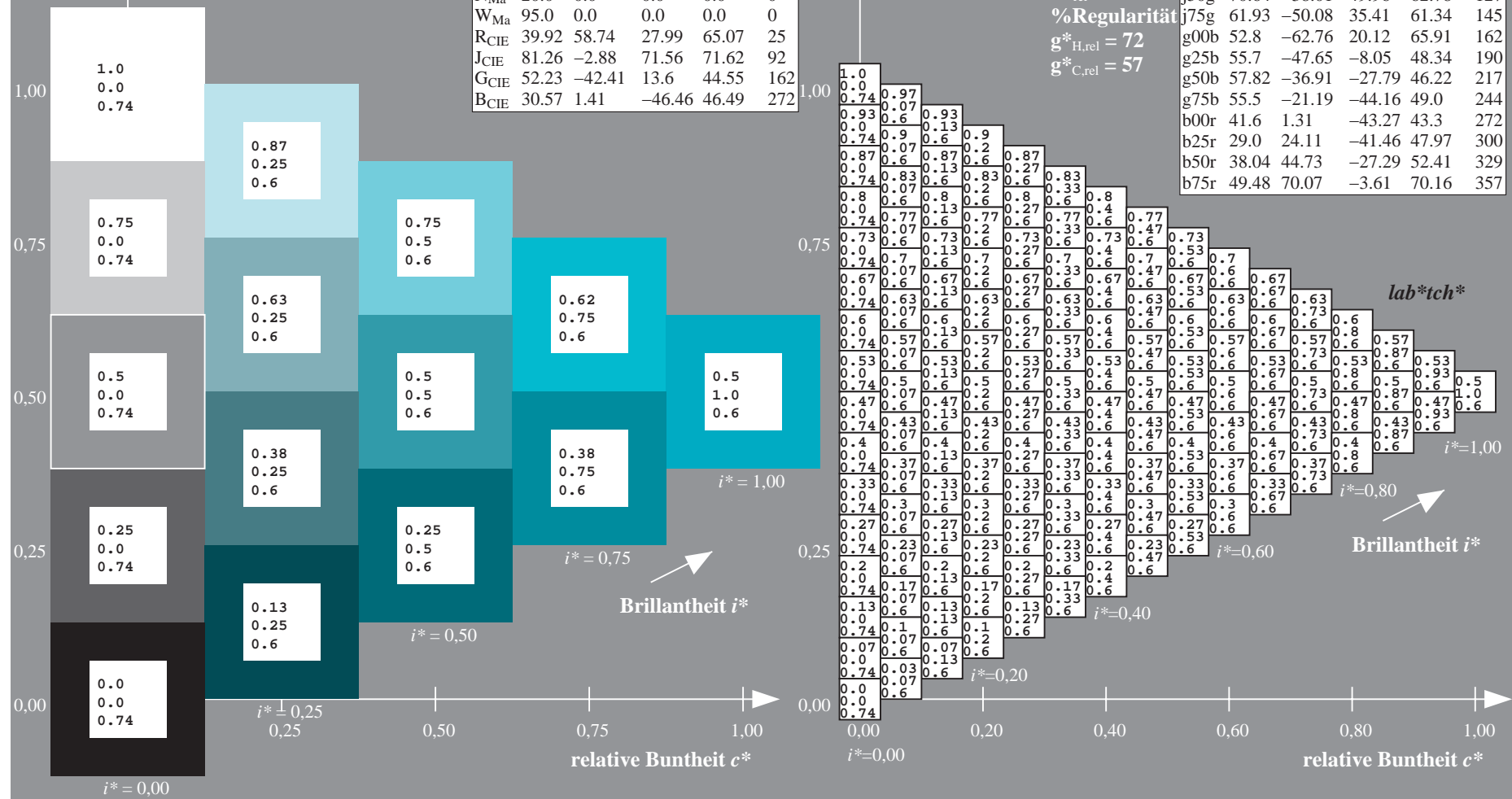
	$L^*=L_a^*$	a_a^*	b_a^*	$C_{ab,a}^*$	$h_{ab,a}^*$
r00j	48.88	63.91	30.45	70.79	25
r25j	55.85	50.36	45.65	67.97	42
r50j	65.45	33.86	56.12	65.54	59
r75j	75.19	17.13	66.73	68.89	76
j00g	87.03	-3.21	79.64	79.7	92
j25g	80.72	-24.03	66.82	71.01	110
j50g	70.64	-38.01	49.96	62.78	127
j75g	61.93	-50.08	35.41	61.34	145
g00b	52.8	-62.76	20.12	65.91	162
g25b	55.7	-47.65	-8.05	48.34	190
g50b	57.82	-36.91	-27.79	46.22	217
g75b	55.5	-21.19	-44.16	49.0	244
b00r	41.6	1.31	-43.27	43.3	272
b25r	29.0	24.11	-41.46	47.97	300
b50r	38.04	44.73	-27.29	52.41	329
b75r	49.48	70.07	-3.61	70.16	357



100



r00j	48.88	63.91	30.45	70.79	25
r25j	55.85	50.36	45.65	67.97	42
r50j	65.45	33.86	56.12	65.54	59
r75j	75.19	17.13	66.73	68.89	76
j00g	87.03	-3.21	79.64	79.7	92
j25g	80.72	-24.03	66.82	71.01	110
j50g	70.64	-38.01	49.96	62.78	127
j75g	61.93	-50.08	35.41	61.34	145
g00b	52.8	-62.76	20.12	65.91	162
g25b	55.7	-47.65	-8.05	48.34	190
g50b	57.82	-36.91	-27.79	46.22	217
g75b	55.5	-21.19	-44.16	49.0	244
b00r	41.6	1.31	-43.27	43.3	272
b25r	29.0	24.11	-41.46	47.97	300
b50r	38.04	44.73	-27.29	52.41	329
b75r	49.48	70.07	-3.61	70.16	357



Eingabe: 000n / w / nnn0 / www set...
Ausgabe: ->cmyn5* setcmykcolor

BAM-Registrierung: 20080701-Dg99/10L/L99G00NA.PS/ .TXTBAM-Material: Code=rha4ta
Anwendung für Beurteilung und Messung von Drucker- oder Monitorsystemen

Ein und Ausgabe: Farbmetrisches Drucker-Reflektiv-System ORS20_95a für relativen CIELAB-Buntton $h^* = lab^*h^* = h_{ab}/360 = 244/360 = 0.679$ $u^* = g75b$
Daten für jede Farbe: lab^*tch^* und lab^*icu^*

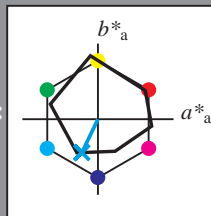
Elementar-Bunttontext:

$u^* = g75b$

Kontrastreduzierungsfaktor:

$c_R = 0.96$

Dreiecks-Helligkeit t^*



ORS20_95a; adaptierte CIELAB-Daten					
	$L^*=L_a^*$	a_a^*	b_a^*	$C_{ab,a}^*$	$h_{ab,a}^*$
O _{Ma}	48.75	62.56	37.91	73.15	31
Y _{Ma}	90.92	-9.88	83.88	84.46	97
L _{Ma}	52.69	-62.9	19.95	66.0	162
C _{Ma}	59.61	-27.85	-44.43	52.45	238
V _{Ma}	28.39	22.72	-42.42	48.13	298
M _{Ma}	49.58	71.08	-9.19	71.67	353
N _{Ma}	20.0	0.0	0.0	0.0	0
W _{Ma}	95.0	0.0	0.0	0.0	0
R _{CIE}	39.92	58.74	27.99	65.07	25
J _{CIE}	81.26	-2.88	71.56	71.62	92
G _{CIE}	52.23	-42.41	13.6	44.55	162
B _{CIE}	30.57	1.41	-46.46	46.49	272

Daten für Maximalfarbe (Ma):

$LAB^*LAB^*_{Ma}$: 55 -20 -43

$LAB^*LCH^*_{Ma}$: 55 49 244

$lab^*rgb^*_{Ma}$: 0.0 0.5 1.0

$lab^*olv^*_{Ma}$: 0.0 0.87 1.0

Dreiecks-Helligkeit t^*

%Umfang

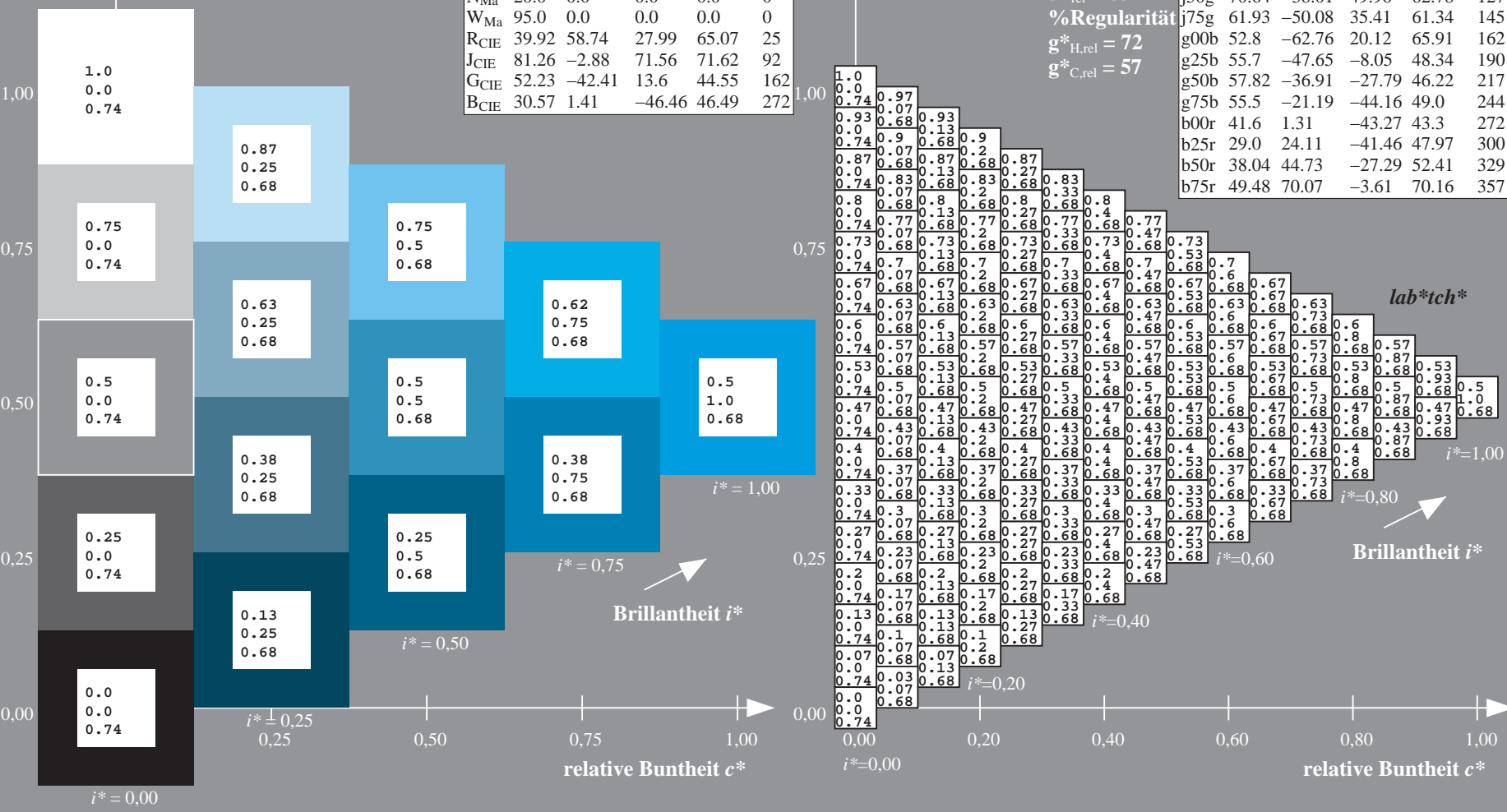
$u^*_{rel} = 83$

%Regularität

$g^*_{H,rel} = 72$

$g^*_{C,rel} = 57$

ORS20_95a; adaptierte CIELAB-Daten					
	$L^*=L_a^*$	a_a^*	b_a^*	$C_{ab,a}^*$	$h_{ab,a}^*$
r00j	48.88	63.91	30.45	70.79	25
r25j	55.85	50.36	45.65	67.97	42
r50j	65.45	33.86	56.12	65.54	59
r75j	75.19	17.13	66.73	68.89	76
j00g	87.03	-3.21	79.64	79.7	92
j25g	80.72	-24.03	66.82	71.01	110
j50g	70.64	-38.01	49.96	62.78	127
j75g	61.93	-50.08	35.41	61.34	145
g00b	52.8	-62.76	20.12	65.91	162
g25b	55.7	-47.65	-8.05	48.34	190
g50b	57.82	-36.91	-27.79	46.22	217
g75b	55.5	-21.19	-44.16	49.0	244
b00r	41.6	1.31	-43.27	43.3	272
b25r	29.0	24.11	-41.46	47.97	300
b50r	38.04	44.73	-27.29	52.41	329
b75r	49.48	70.07	-3.61	70.16	357



Ein und Ausgabe: Farbmetrisches Drucker-Reflektiv-System ORS20_95a für relativen CIELAB-Buntton $h^* = lab^*h^* = h_{ab}/360 = 272/360 = 0.755$ $u^* = b00r$
Daten für jede Farbe: lab^*tch^* und lab^*icu^*

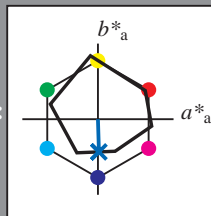
Elementar-Bunttontext:

$u^* = b00r$

Kontrastreduzierungsfaktor:

$c_R = 0.96$

Dreiecks-Helligkeit t^*



ORS20_95a; adaptierte CIELAB-Daten					
	$L^*=L_a^*$	a_a^*	b_a^*	$C^*_{ab,a}$	$h^*_{ab,a}$
O _{Ma}	48.75	62.56	37.91	73.15	31
Y _{Ma}	90.92	-9.88	83.88	84.46	97
L _{Ma}	52.69	-62.9	19.95	66.0	162
C _{Ma}	59.61	-27.85	-44.43	52.45	238
V _{Ma}	28.39	22.72	-42.42	48.13	298
M _{Ma}	49.58	71.08	-9.19	71.67	353
N _{Ma}	20.0	0.0	0.0	0.0	0
W _{Ma}	95.0	0.0	0.0	0.0	0
R _{CIE}	39.92	58.74	27.99	65.07	25
J _{CIE}	81.26	-2.88	71.56	71.62	92
G _{CIE}	52.23	-42.41	13.6	44.55	162
B _{CIE}	30.57	1.41	-46.46	46.49	272

Daten für Maximalfarbe (Ma):

$LAB^*LAB^*_{Ma}$: 42 1 -42

$LAB^*LCH^*_{Ma}$: 42 43 272

$lab^*rgb^*_{Ma}$: 0.0 0.0 1.0

$lab^*olv^*_{Ma}$: 0.0 0.42 1.0

Dreiecks-Helligkeit t^*

%Umfang

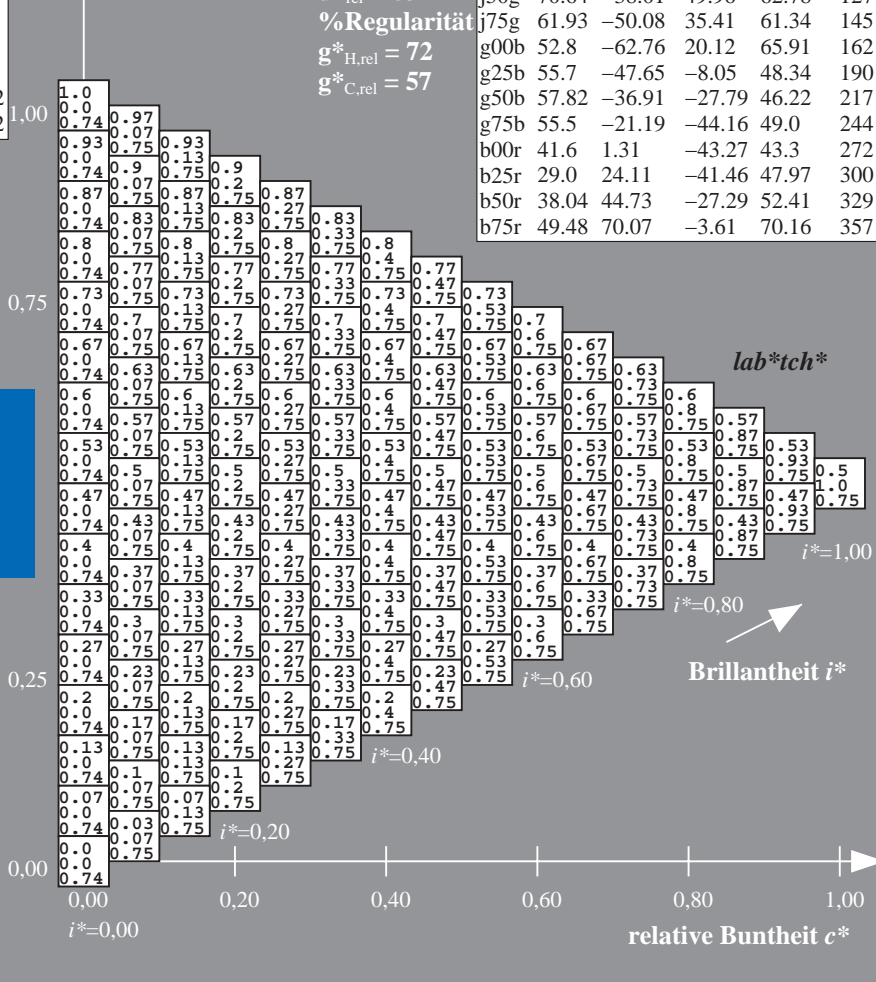
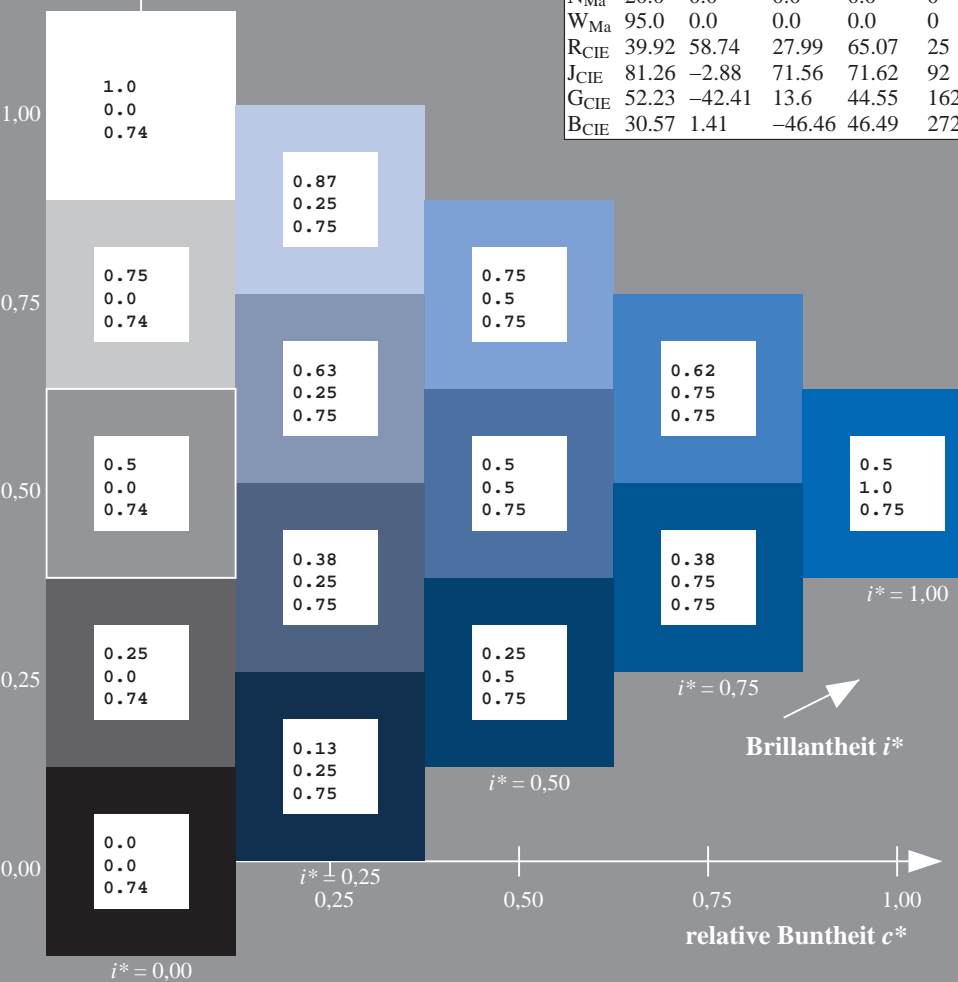
$u^*_{rel} = 83$

%Regularität

$g^*_{H,rel} = 72$

$g^*_{C,rel} = 57$

ORS20_95a; adaptierte CIELAB-Daten					
	$L^*=L_a^*$	a_a^*	b_a^*	$C^*_{ab,a}$	$h^*_{ab,a}$
r00j	48.88	63.91	30.45	70.79	25
r25j	55.85	50.36	45.65	67.97	42
r50j	65.45	33.86	56.12	65.54	59
r75j	75.19	17.13	66.73	68.89	76
j00g	87.03	-3.21	79.64	79.7	92
j25g	80.72	-24.03	66.82	71.01	110
j50g	70.64	-38.01	49.96	62.78	127
j75g	61.93	-50.08	35.41	61.34	145
g00b	52.8	-62.76	20.12	65.91	162
g25b	55.7	-47.65	-8.05	48.34	190
g50b	57.82	-36.91	-27.79	46.22	217
g75b	55.5	-21.19	-44.16	49.0	244
b00r	41.6	1.31	-43.27	43.3	272
b25r	29.0	24.11	-41.46	47.97	300
b50r	38.04	44.73	-27.29	52.41	329
b75r	49.48	70.07	-3.61	70.16	357



Ein und Ausgabe: Farbmetrisches Drucker-Reflektiv-System ORS20_95a für relativen CIELAB-Buntton $h^* = lab^*h^* = h_{ab}/360 = 300/360 = 0.834$ $u^* = b25r$

Daten für jede Farbe:

lab^*tch^* und lab^*icu^*

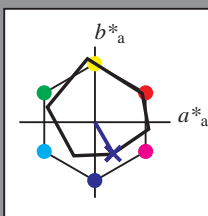
Elementar-Bunttontext:

$u^* = b25r$

Kontrastreduzierungsfaktor:

$c_R = 0.96$

Dreiecks-Helligkeit t^*



ORS20_95a; adaptierte CIELAB-Daten					
	$L^*=L_a^*$	a_a^*	b_a^*	$C_{ab,a}^*$	$h_{ab,a}^*$
O _{Ma}	48.75	62.56	37.91	73.15	31
Y _{Ma}	90.92	-9.88	83.88	84.46	97
L _{Ma}	52.69	-62.9	19.95	66.0	162
C _{Ma}	59.61	-27.85	-44.43	52.45	238
V _{Ma}	28.39	22.72	-42.42	48.13	298
M _{Ma}	49.58	71.08	-9.19	71.67	353
N _{Ma}	20.0	0.0	0.0	0.0	0
W _{Ma}	95.0	0.0	0.0	0.0	0
R _{CIE}	39.92	58.74	27.99	65.07	25
J _{CIE}	81.26	-2.88	71.56	71.62	92
G _{CIE}	52.23	-42.41	13.6	44.55	162
B _{CIE}	30.57	1.41	-46.46	46.49	272

Daten für Maximalfarbe (Ma):

$LAB^*LAB^*_{Ma}$: 29 24 -40

$LAB^*LCH^*_{Ma}$: 29 48 300

$lab^*rgb^*_{Ma}$: 0.5 0.0 1.0

$lab^*olv^*_{Ma}$: 0.03 0.0 1.0

Dreiecks-Helligkeit t^*

%Umfang

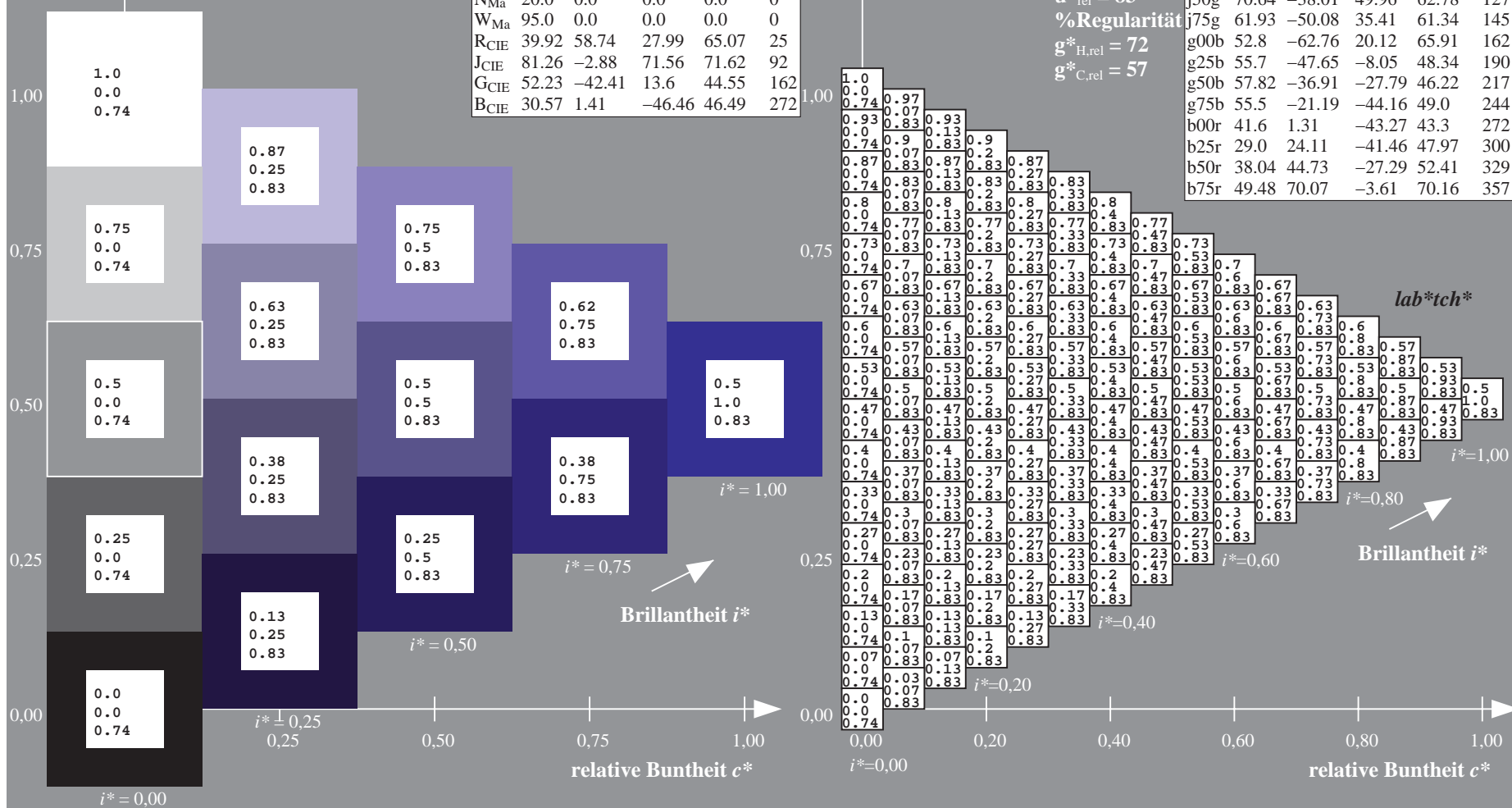
$u^*_{rel} = 83$

%Regularität

$g^*_{H,rel} = 72$

$g^*_{C,rel} = 57$

ORS20_95a; adaptierte CIELAB-Daten					
	$L^*=L_a^*$	a_a^*	b_a^*	$C_{ab,a}^*$	$h_{ab,a}^*$
r00j	48.88	63.91	30.45	70.79	25
r25j	55.85	50.36	45.65	67.97	42
r50j	65.45	33.86	56.12	65.54	59
r75j	75.19	17.13	66.73	68.89	76
j00g	87.03	-3.21	79.64	79.7	92
j25g	80.72	-24.03	66.82	71.01	110
j50g	70.64	-38.01	49.96	62.78	127
j75g	61.93	-50.08	35.41	61.34	145
g00b	52.8	-62.76	20.12	65.91	162
g25b	55.7	-47.65	-8.05	48.34	190
g50b	57.82	-36.91	-27.79	46.22	217
g75b	55.5	-21.19	-44.16	49.0	244
b00r	41.6	1.31	-43.27	43.3	272
b25r	29.0	24.11	-41.46	47.97	300
b50r	38.04	44.73	-27.29	52.41	329
b75r	49.48	70.07	-3.61	70.16	357



Ein und Ausgabe: Farbmetrisches Drucker-Reflektiv-System ORS20_95a für relativen CIELAB-Buntton $h^* = lab^*h^* = h_{ab}/360 = 329/360 = 0.913$ $u^* = b50r$
Daten für jede Farbe: lab^*tch^* und lab^*icu^*

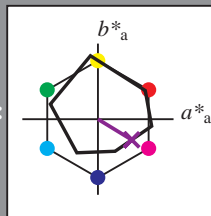
Elementar-Bunttontext:

$u^* = b50r$

Kontrastreduzierungsfaktor:

$c_R = 0.96$

Dreiecks-Helligkeit t^*



ORS20_95a; adaptierte CIELAB-Daten					
	$L^*=L_a^*$	a_a^*	b_a^*	$C^*_{ab,a}$	$h^*_{ab,a}$
O _{Ma}	48.75	62.56	37.91	73.15	31
Y _{Ma}	90.92	-9.88	83.88	84.46	97
L _{Ma}	52.69	-62.9	19.95	66.0	162
C _{Ma}	59.61	-27.85	-44.43	52.45	238
V _{Ma}	28.39	22.72	-42.42	48.13	298
M _{Ma}	49.58	71.08	-9.19	71.67	353
N _{Ma}	20.0	0.0	0.0	0.0	0
W _{Ma}	95.0	0.0	0.0	0.0	0
R _{CIE}	39.92	58.74	27.99	65.07	25
J _{CIE}	81.26	-2.88	71.56	71.62	92
G _{CIE}	52.23	-42.41	13.6	44.55	162
B _{CIE}	30.57	1.41	-46.46	46.49	272

Daten für Maximalfarbe (Ma):

$LAB^*LAB^*_{Ma}$: 38 45 -26

$LAB^*LCH^*_{Ma}$: 38 52 329

$lab^*rgb^*_{Ma}$: 1.0 0.0 1.0

$lab^*olv^*_{Ma}$: 0.46 0.0 1.0

Dreiecks-Helligkeit t^*

%Umfang

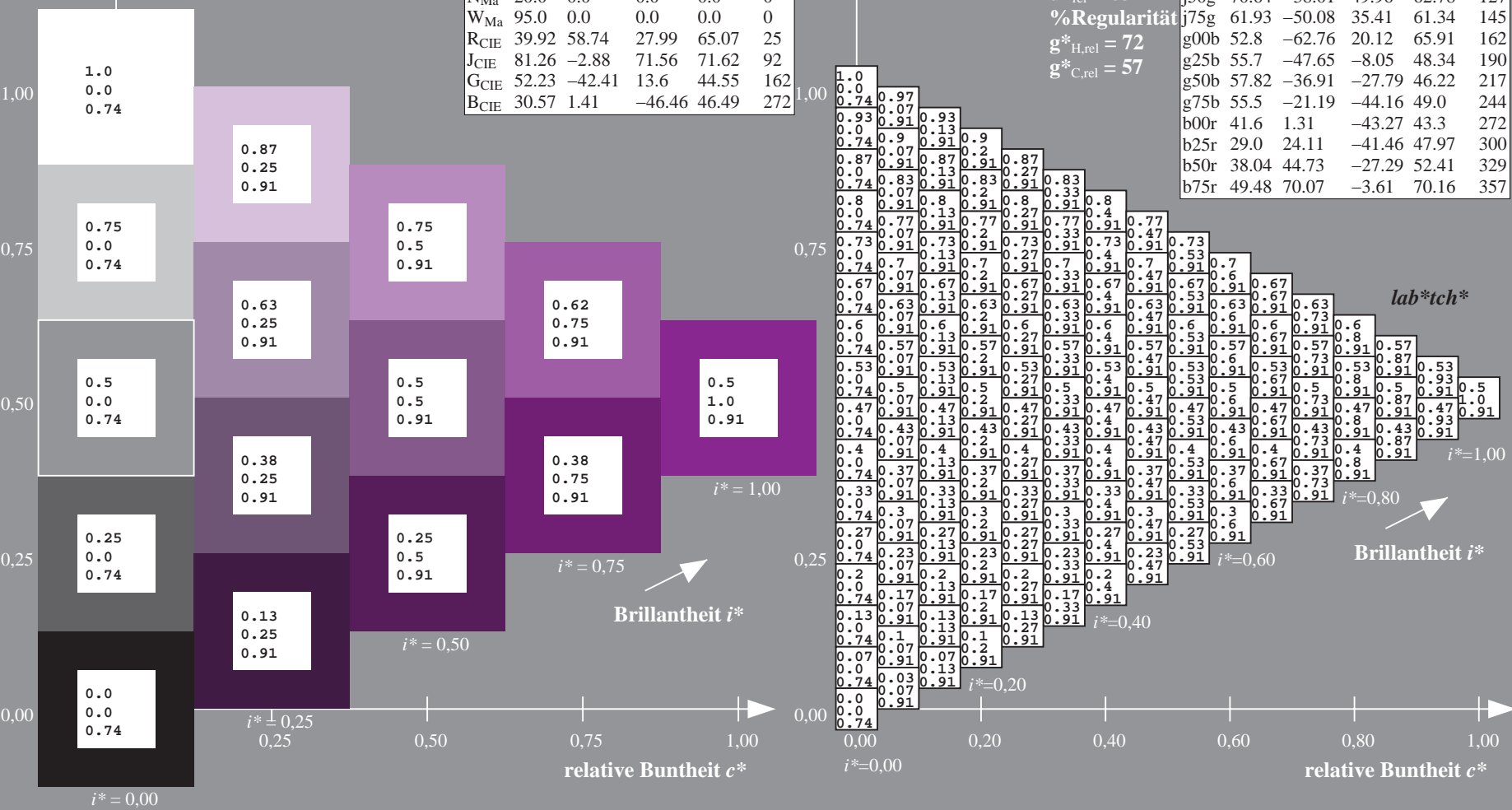
$u^*_{rel} = 83$

%Regularität

$g^*_{H,rel} = 72$

$g^*_{C,rel} = 57$

ORS20_95a; adaptierte CIELAB-Daten					
	$L^*=L_a^*$	a_a^*	b_a^*	$C^*_{ab,a}$	$h^*_{ab,a}$
r00j	48.88	63.91	30.45	70.79	25
r25j	55.85	50.36	45.65	67.97	42
r50j	65.45	33.86	56.12	65.54	59
r75j	75.19	17.13	66.73	68.89	76
j00g	87.03	-3.21	79.64	79.7	92
j25g	80.72	-24.03	66.82	71.01	110
j50g	70.64	-38.01	49.96	62.78	127
j75g	61.93	-50.08	35.41	61.34	145
g00b	52.8	-62.76	20.12	65.91	162
g25b	55.7	-47.65	-8.05	48.34	190
g50b	57.82	-36.91	-27.79	46.22	217
g75b	55.5	-21.19	-44.16	49.0	244
b00r	41.6	1.31	-43.27	43.3	272
b25r	29.0	24.11	-41.46	47.97	300
b50r	38.04	44.73	-27.29	52.41	329
b75r	49.48	70.07	-3.61	70.16	357



Ein und Ausgabe: Farbmetrisches Drucker-Reflektiv-System ORS20_95a für relativen CIELAB-Buntton $h^* = lab^*h^* = h_{ab}/360 = 357/360 = 0.992$ $u^* = b75r$
Daten für jede Farbe: lab^*ch^* und lab^*icu^*

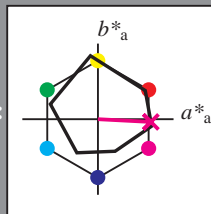
Elementar-Bunttontext:

$u^* = b75r$

Kontrastreduzierungsfaktor:

$c_R = 0.96$

Dreiecks-Helligkeit t^*



ORS20_95a; adaptierte CIELAB-Daten

	$L^*=L_a^*$	a_a^*	b_a^*	$C_{ab,a}^*$	$h_{ab,a}^*$
O _{Ma}	48.75	62.56	37.91	73.15	31
Y _{Ma}	90.92	-9.88	83.88	84.46	97
L _{Ma}	52.69	-62.9	19.95	66.0	162
C _{Ma}	59.61	-27.85	-44.43	52.45	238
V _{Ma}	28.39	22.72	-42.42	48.13	298
M _{Ma}	49.58	71.08	-9.19	71.67	353
N _{Ma}	20.0	0.0	0.0	0.0	0
W _{Ma}	95.0	0.0	0.0	0.0	0
R _{CIE}	39.92	58.74	27.99	65.07	25
J _{CIE}	81.26	-2.88	71.56	71.62	92
G _{CIE}	52.23	-42.41	13.6	44.55	162
B _{CIE}	30.57	1.41	-46.46	46.49	272

Daten für Maximalfarbe (Ma):

$LAB^*LAB^*_{Ma}$: 49 70 -3

$LAB^*LCH^*_{Ma}$: 49 70 357

$lab^*rgb^*_{Ma}$: 1.0 0.0 0.5

$lab^*olv^*_{Ma}$: 1.0 0.0 0.88

Dreiecks-Helligkeit t^*

%Umfang

$u^*_{rel} = 83$

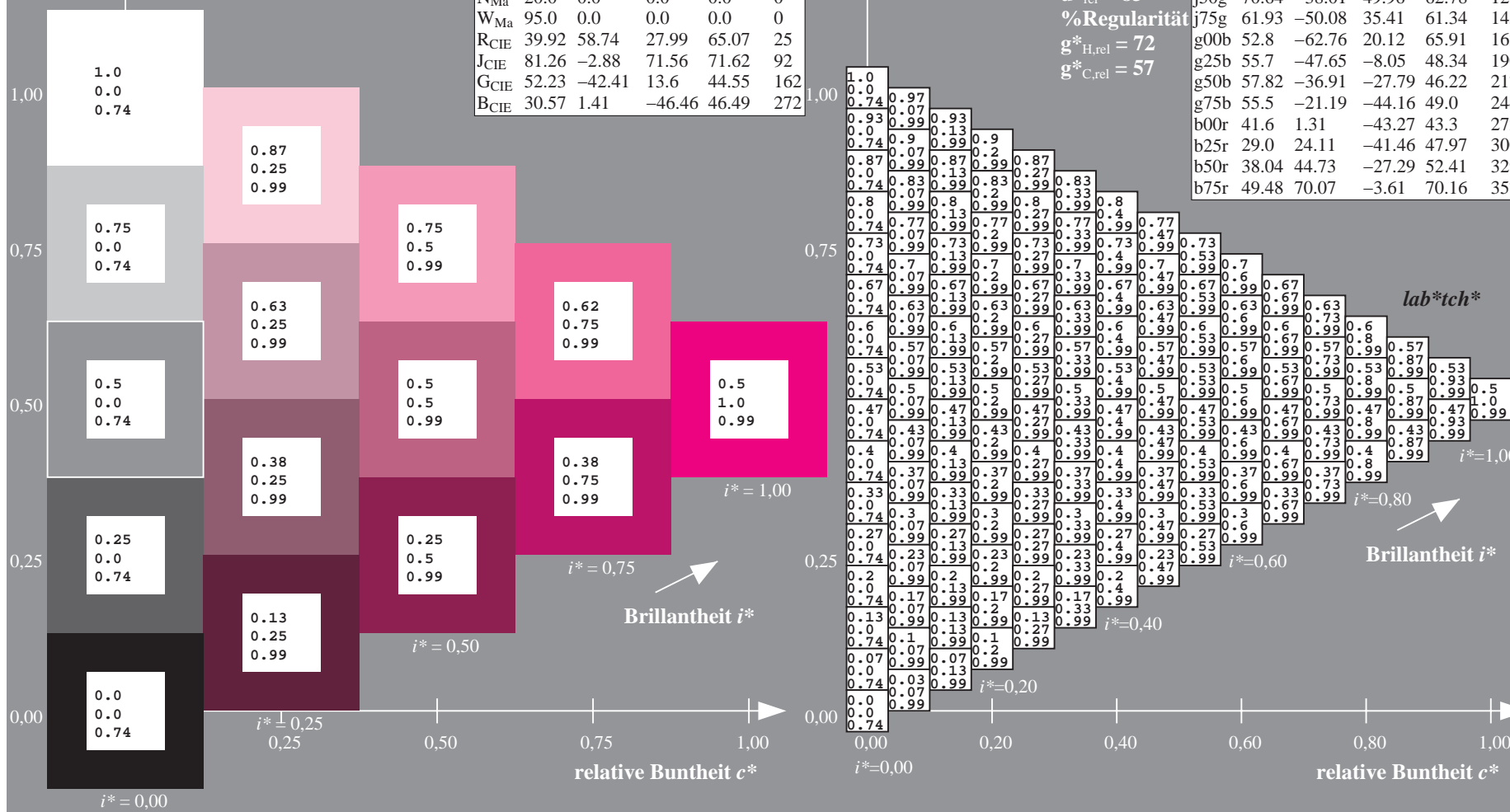
%Regularität

$g^*_{H,rel} = 72$

$g^*_{C,rel} = 57$

ORS20_95a; adaptierte CIELAB-Daten

	$L^*=L_a^*$	a_a^*	b_a^*	$C_{ab,a}^*$	$h_{ab,a}^*$
r00j	48.88	63.91	30.45	70.79	25
r25j	55.85	50.36	45.65	67.97	42
r50j	65.45	33.86	56.12	65.54	59
r75j	75.19	17.13	66.73	68.89	76
j00g	87.03	-3.21	79.64	79.7	92
j25g	80.72	-24.03	66.82	71.01	110
j50g	70.64	-38.01	49.96	62.78	127
j75g	61.93	-50.08	35.41	61.34	145
g00b	52.8	-62.76	20.12	65.91	162
g25b	55.7	-47.65	-8.05	48.34	190
g50b	57.82	-36.91	-27.79	46.22	217
g75b	55.5	-21.19	-44.16	49.0	244
b00r	41.6	1.31	-43.27	43.3	272
b25r	29.0	24.11	-41.46	47.97	300
b50r	38.04	44.73	-27.29	52.41	329
b75r	49.48	70.07	-3.61	70.16	357



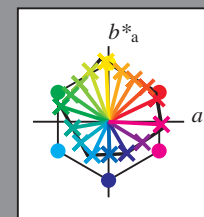
Siehe ähnliche Dateien: <http://www.ps.bam.de/Dg99/>; www.ps.bam.de/Dg.HTM
Technische Information: <http://www.ps.bam.de> Version 2.1, io=1, ColSp=1

- Anwendung für Beurteilung und Messung von Drucker- oder Monitorsystemen

	A	B	C	D	E	F	G	H	I	J	K	L	M	N	O	P	Q	R	S	T	U	V	W	X	Y	Z	a	b	c	d	e	f	g	h	i	j	k	lab*tch*			
01	0.0	0.06	0.13	0.19	0.25	0.31	0.38	0.44	0.5	0.06	0.06	0.13	0.19	0.25	0.31	0.38	0.44	0.5	0.13	0.13	0.13	0.19	0.25	0.31	0.38	0.44	0.5	1.0	0.94	0.87	0.81	0.75	0.69	0.62	0.56	0.5	0.0	0.0	0.0		
	0.0	0.12	0.25	0.37	0.5	0.62	0.75	0.87	1.0	0.12	0.12	0.25	0.37	0.5	0.62	0.75	0.87	1.0	0.25	0.25	0.25	0.37	0.5	0.62	0.75	0.87	1.0	0.0	0.12	0.25	0.37	0.5	0.62	0.75	0.87	1.0	0.0	0.0	0.0		
	0.74	0.45	0.45	0.45	0.45	0.45	0.45	0.45	0.45	0.09	0.27	0.35	0.38	0.4	0.41	0.42	0.42	0.43	0.09	0.18	0.27	0.32	0.35	0.37	0.38	0.39	0.4	0.74	0.09	0.09	0.09	0.09	0.09	0.09	0.09	0.09	0.74	0.74	0.74		
02	0.06	0.06	0.13	0.19	0.25	0.31	0.38	0.44	0.5	0.06	0.13	0.19	0.25	0.31	0.38	0.44	0.5	0.56	0.13	0.19	0.19	0.25	0.31	0.38	0.44	0.5	0.56	0.94	0.88	0.81	0.75	0.69	0.63	0.56	0.5	0.44	0.13	0.13	0.13		
	0.12	0.12	0.25	0.37	0.5	0.62	0.75	0.87	1.0	0.12	0.0	0.13	0.25	0.38	0.5	0.63	0.75	0.87	0.25	0.13	0.13	0.25	0.38	0.5	0.63	0.75	0.87	0.12	0.0	0.13	0.25	0.38	0.5	0.63	0.75	0.87	0.0	0.0	0.0		
	0.83	0.66	0.54	0.5	0.49	0.48	0.47	0.47	0.47	0.98	0.74	0.45	0.45	0.45	0.45	0.45	0.45	0.45	0.03	0.09	0.27	0.35	0.38	0.4	0.41	0.42	0.42	0.66	0.74	0.09	0.09	0.09	0.09	0.09	0.09	0.09	0.09	0.74	0.74	0.74	
03	0.13	0.13	0.13	0.19	0.25	0.31	0.38	0.44	0.5	0.13	0.19	0.19	0.25	0.31	0.38	0.44	0.5	0.56	0.13	0.19	0.25	0.31	0.38	0.44	0.5	0.56	0.62	0.87	0.81	0.75	0.69	0.63	0.56	0.5	0.44	0.38	0.25	0.25	0.25		
	0.25	0.25	0.25	0.37	0.5	0.62	0.75	0.87	1.0	0.25	0.13	0.25	0.38	0.5	0.63	0.75	0.87	0.25	0.13	0.0	0.13	0.25	0.38	0.5	0.63	0.75	0.25	0.13	0.0	0.13	0.25	0.38	0.5	0.63	0.75	0.87	0.0	0.0	0.0		
	0.63	0.74	0.66	0.58	0.54	0.52	0.5	0.49	0.92	0.83	0.55	0.54	0.5	0.49	0.48	0.47	0.47	0.47	0.98	0.98	0.74	0.45	0.45	0.45	0.45	0.45	0.45	0.66	0.66	0.66	0.66	0.66	0.66	0.66	0.66	0.66	0.66	0.74	0.74	0.74	
04	0.19	0.19	0.19	0.25	0.31	0.38	0.44	0.5	0.19	0.25	0.25	0.31	0.38	0.44	0.5	0.63	0.75	0.87	0.37	0.25	0.13	0.13	0.25	0.38	0.5	0.56	0.62	0.81	0.75	0.69	0.63	0.56	0.5	0.44	0.38	0.38	0.38	0.38	0.38		
	0.37	0.37	0.37	0.47	0.5	0.62	0.75	0.87	1.0	0.37	0.25	0.38	0.5	0.63	0.75	0.87	0.37	0.25	0.13	0.13	0.25	0.38	0.5	0.63	0.75	0.37	0.25	0.13	0.0	0.13	0.25	0.38	0.5	0.62	0.75	0.87	0.0	0.0	0.0		
	0.83	0.77	0.71	0.66	0.6	0.57	0.54	0.53	0.51	0.89	0.74	0.46	0.46	0.58	0.54	0.52	0.5	0.94	0.92	0.83	0.66	0.54	0.5	0.49	0.48	0.47	0.66	0.66	0.66	0.66	0.66	0.66	0.66	0.66	0.66	0.66	0.66	0.74	0.74	0.74	
05	0.25	0.25	0.25	0.25	0.25	0.31	0.38	0.44	0.5	0.25	0.31	0.31	0.31	0.38	0.44	0.5	0.56	0.25	0.31	0.38	0.38	0.38	0.44	0.5	0.56	0.62	0.75	0.69	0.63	0.56	0.5	0.44	0.38	0.31	0.25	0.5	0.5	0.5	0.5		
	0.5	0.5	0.5	0.5	0.5	0.62	0.75	0.87	1.0	0.5	0.38	0.38	0.38	0.38	0.5	0.63	0.75	0.87	0.5	0.38	0.25	0.25	0.38	0.5	0.63	0.75	0.5	0.38	0.25	0.13	0.0	0.13	0.25	0.38	0.5	0.0	0.0	0.0			
	0.83	0.79	0.74	0.7	0.66	0.62	0.58	0.56	0.54	0.88	0.83	0.77	0.71	0.66	0.6	0.57	0.54	0.53	0.92	0.89	0.83	0.74	0.66	0.58	0.54	0.52	0.5	0.66	0.66	0.66	0.66	0.66	0.66	0.66	0.66	0.66	0.66	0.74	0.74	0.74	
06	0.31	0.31	0.31	0.31	0.31	0.38	0.44	0.5	0.31	0.38	0.38	0.38	0.38	0.38	0.44	0.5	0.56	0.31	0.38	0.44	0.44	0.44	0.44	0.5	0.56	0.62	0.69	0.63	0.56	0.5	0.44	0.38	0.31	0.25	0.19	0.63	0.63	0.63	0.63		
	0.62	0.62	0.62	0.62	0.62	0.62	0.75	0.87	1.0	0.62	0.5	0.5	0.5	0.5	0.63	0.75	0.87	0.62	0.5	0.38	0.38	0.38	0.38	0.5	0.63	0.75	0.62	0.5	0.38	0.25	0.13	0.0	0.13	0.25	0.37	0.0	0.0	0.0			
	0.83	0.8	0.76	0.72	0.69	0.66	0.63	0.6	0.57	0.87	0.83	0.79	0.74	0.7	0.66	0.62	0.58	0.56	0.9	0.88	0.83	0.77	0.71	0.66	0.6	0.57	0.54	0.66	0.66	0.66	0.66	0.66	0.66	0.66	0.66	0.66	0.66	0.74	0.74	0.74	
07	0.38	0.38	0.38	0.38	0.38	0.38	0.38	0.44	0.5	0.38	0.44	0.44	0.44	0.44	0.44	0.44	0.5	0.56	0.38	0.44	0.5	0.5	0.5	0.5	0.5	0.5	0.56	0.62	0.62	0.56	0.5	0.44	0.38	0.31	0.25	0.19	0.13	0.75	0.75	0.75	
	0.75	0.75	0.75	0.75	0.75	0.75	0.75	0.87	1.0	0.75	0.63	0.63	0.63	0.63	0.63	0.63	0.75	0.87	0.75	0.63	0.5	0.5	0.5	0.5	0.5	0.5	0.63	0.75	0.75	0.63	0.5	0.38	0.25	0.13	0.0	0.13	0.25	0.0	0.0	0.0	
	0.83	0.8	0.77	0.74	0.71	0.68	0.66	0.63	0.6	0.86	0.83	0.8	0.76	0.72	0.69	0.66	0.63	0.6	0.89	0.87	0.83	0.79	0.74	0.7	0.66	0.62	0.58	0.66	0.66	0.66	0.66	0.66	0.66	0.66	0.66	0.66	0.66	0.74	0.74	0.74	
08	0.44	0.44	0.44	0.44	0.44	0.44	0.44	0.44	0.5	0.44	0.5	0.5	0.5	0.5	0.5	0.5	0.56	0.44	0.5	0.56	0.56	0.56	0.56	0.56	0.56	0.56	0.56	0.56	0.62	0.56	0.5	0.44	0.38	0.31	0.25	0.19	0.13	0.06	0.88	0.88	
	0.87	0.87	0.87	0.87	0.87	0.87	0.87	0.87	1.0	0.87	0.75	0.75	0.75	0.75	0.75	0.75	0.87	0.87	0.87	0.86	0.83	0.8	0.76	0.72	0.69	0.66	0.63	0.63	0.63	0.63	0.75	0.87	0.75	0.63	0.5	0.38	0.25	0.13	0.0	0.12	0.0
	0.83	0.81	0.78	0.75	0.73	0.7	0.68	0.66	0.63	0.86	0.83	0.8	0.77	0.74	0.71	0.68	0.66	0.63	0.88	0.86	0.83	0.8	0.76	0.72	0.69	0.66	0.63	0.63	0.63	0.63	0.75	0.87	0.75	0.63	0.5	0.38	0.25	0.13	0.0	0.12	0.0
09	0.5	0.5	0.5	0.5	0.5	0.5	0.5	0.5	0.5	0.5	0.56	0.56	0.56	0.56	0.56	0.56	0.56	0.5	0.56	0.62	0.62	0.62	0.62	0.62	0.62	0.62	0.62	0.62	0.5	0.44	0.38	0.31	0.25	0.19	0.13	0.06	0.0	1.0	1.0		
	1.0	1.0	1.0	1.0	1.0	1.0	1.0	1.0	1.0	1.0	0.87	0.87	0.87	0.87	0.87	0.87	0.87	1.0	0.87	0.75	0.75	0.75	0.75	0.75	0.75	0.75	0.75	0.75	1.0	0.87	0.75	0.62	0.5	0.37	0.25	0.12	0.0	0.0	0.0		
	0.83	0.81	0.79	0.76	0.74	0.72	0.7	0.68	0.66	0.85	0.83	0.81	0.78	0.75	0.73	0.7	0.68	0.66	0.88	0.86	0.83	0.8	0.77	0.74	0.71	0.68	0.66	0.66	0.66	0.66	0.66	0.66	0.66	0.66	0.66	0.66	0.66	0.66	0.74	0.74	0.74
10	0.19	0.19	0.19	0.19	0.25	0.31	0.38	0.44	0.5	0.19	0.25	0.25	0.31	0.38	0.44	0.5	0.56	0.19	0.19	0.19	0.19	0.25	0.31	0.38	0.44	0.5	0.56	0.94	0.87	0.81	0.75	0.69	0.62	0.56	0.5	0.0	0.0	0.0	0.0		
	0.37	0.37	0.37	0.37	0.5	0.62	0.75	0.87	1.0	0.37	0.5	0.5	0.5	0.5	0.62	0.75	0.87	1.0	0.62	0.62	0.62	0.62	0.62	0.62	0.62	0.62	0.62	0.62	0.62	0.62	0.62	0.62	0.62	0.62	0.62	0.62	0.62	0.62	0.62		
	0.09	0.15	0.22	0.27	0.31	0.38	0.44	0.5	0.09	0.13	0.13	0.13	0.19	0.25	0.31	0.38	0.44	0.5	0.35	0.35	0.35	0.35	0.35	0.35	0.35	0.35	0.35	0.35	0.35	0.35	0.35	0.35	0.35	0.35	0.35	0.35	0.35	0.35	0.35		
11	0.19	0.25	0.25	0.25	0.31	0.38	0.44	0.5	0.56	0.25	0.31	0.31	0.31	0.38	0.44	0.5	0.56	0.19	0.38	0.38	0.38	0.38	0.44	0.5	0.56	0.94	0.88	0.81	0.75	0.69	0.63	0.56	0.5	0.44	0.07	0.07	0.07	0.07			
	0.37	0.25	0.25	0.25	0.38	0.5	0.63	0.75	0.87	0.5	0.38	0.38	0.38	0.38	0.44	0.5	0.63	0.75	0.87	0.62	0.5	0.5	0.5	0.5	0.5	0.5	0.63	0.75	0.87	0.12	0.0	0.13	0.25	0.38	0.5	0.63	0.75	0.87	0.0		
	0.05	0.09	0.19	0.27	0.32	0.35	0.37	0.38	0.39	0.06	0.09	0.15	0.22	0.27	0.3	0.33	0.35	0.36	0.07	0.09	0.13	0.19	0.23	0.27	0.29	0.32	0.33	0.83	0.74	0.27	0.27	0.27	0.27	0.27	0.27	0.27	0.27	0.74	0.74	0.74	
12	0.19	0.25	0.31	0.31	0.38	0.44	0.5	0.56	0.62	0.25	0.31	0.38	0.38	0.38	0.44	0.5	0.56	0.62	0.31	0.38	0.44	0.44	0.44	0.44	0.5	0.56	0.62	0.87	0.81	0.75	0.69	0.63	0.56	0.5	0.44	0.38	0.13	0.13	0.13		
	0.37	0.25	0.13	0.13	0.25	0																																			

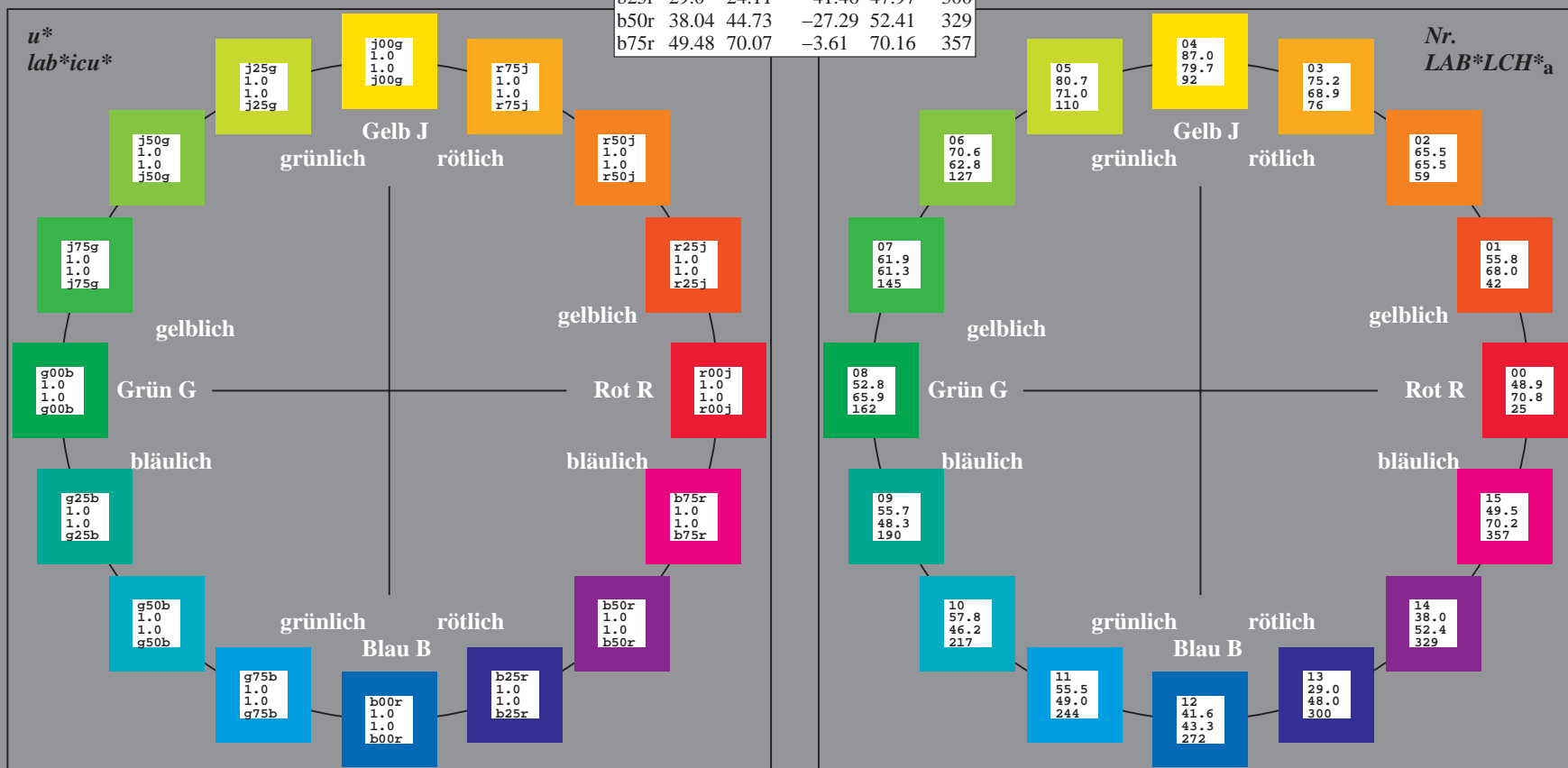
Ein und Ausgabe:
Farbmetrisches Drucker-Reflektiv-System ORS20_95a
Daten für jede Farbe:
*lab*_{ich}** und *lab*_{icu}**
Elementar-Bunttontext:
*u** = 16 Buntttöne *r00j*, *r25j*, ..., *b75r*
Kontrastreduzierungsfaktor:
c_R = 0.96

ORS20_95a; adaptierte CIELAB-Daten					
	<i>L*</i> = <i>L*</i> _a	<i>a*</i> _a	<i>b*</i> _a	<i>C*</i> _{ab,a}	<i>h*</i> _{ab,a}
r00j	48.88	63.91	30.45	70.79	25
r25j	55.85	50.36	45.65	67.97	42
r50j	65.45	33.86	56.12	65.54	59
r75j	75.19	17.13	66.73	68.89	76
j00g	87.03	-3.21	79.64	79.7	92
j25g	80.72	-24.03	66.82	71.01	110
j50g	70.64	-38.01	49.96	62.78	127
j75g	61.93	-50.08	35.41	61.34	145
g00b	52.8	-62.76	20.12	65.91	162
g25b	55.7	-47.65	-8.05	48.34	190
g50b	57.82	-36.91	-27.79	46.22	217
g75b	55.5	-21.19	-44.16	49.0	244
b00r	41.6	1.31	-43.27	43.3	272
b25r	29.0	24.11	-41.46	47.97	300
b50r	38.04	44.73	-27.29	52.41	329
b75r	49.48	70.07	-3.61	70.16	357



%Umfang
*u**_{rel} = 83
%Regularität
*g**_{H,rel} = 72
*g**_{C,rel} = 57

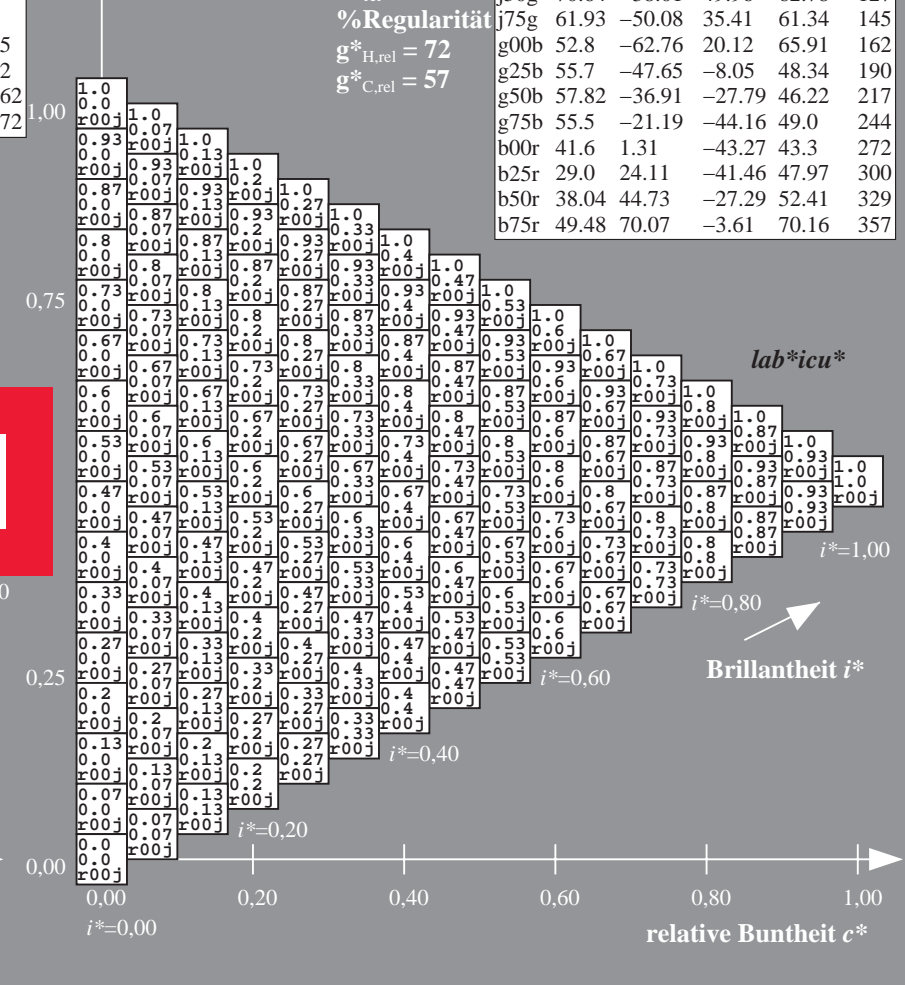
ORS20_95a; adaptierte CIELAB-Daten					
	<i>L*</i> = <i>L*</i> _a	<i>a*</i> _a	<i>b*</i> _a	<i>C*</i> _{ab,a}	<i>h*</i> _{ab,a}
OMa	48.75	62.56	37.91	73.15	31
YMa	90.92	-9.88	83.88	84.46	97
LMa	52.69	-62.9	19.95	66.0	162
CMa	59.61	-27.85	-44.43	52.45	238
VMa	28.39	22.72	-42.42	48.13	298
MMa	49.58	71.08	-9.19	71.67	353
NMa	20.0	0.0	0.0	0.0	0
WMa	95.0	0.0	0.0	0.0	0
RCIE	39.92	58.74	27.99	65.07	25
JCIE	81.26	-2.88	71.56	71.62	92
GCIE	52.23	-42.41	13.6	44.55	162
BCIE	30.57	1.41	-46.46	46.49	272



100



ORS20_95a; adaptierte CIELAB-Daten					
	L^*_a	a^*_a	b^*_a	$C^*_{ab,a}$	$h^*_{ab,a}$
r00j	48.88	63.91	30.45	70.79	25
r25j	55.85	50.36	45.65	67.97	42
r50j	65.45	33.86	56.12	65.54	59
r75j	75.19	17.13	66.73	68.89	76
j00g	87.03	-3.21	79.64	79.7	92
j25g	80.72	-24.03	66.82	71.01	110
j50g	70.64	-38.01	49.96	62.78	127
j75g	61.93	-50.08	35.41	61.34	145
g00b	52.8	-62.76	20.12	65.91	162
g25b	55.7	-47.65	-8.05	48.34	190
g50b	57.82	-36.91	-27.79	46.22	217
g75b	55.5	-21.19	-44.16	49.0	244
b00r	41.6	1.31	-43.27	43.3	272
b25r	29.0	24.11	-41.46	47.97	300
b50r	38.04	44.73	-27.29	52.41	329
b75r	49.48	70.07	-3.61	70.16	357



Eingabe: 000n / w / nnn0 / www set...
Ausgabe: ->cmyn5* setcmykcolor

BAM-Registrierung: 20080701-Dg99/10L/L99G00NA.PS/ .TXTBAM-Material: Code=rh4ta
- Anwendung für Beurteilung und Messung von Drucker- oder Monitorsystemen

Ein und Ausgabe: Farbmetrisches Drucker-Reflektiv-System ORS20_95a für relativen CIELAB-Buntton $h^* = lab^*h^* = h_{ab}/360 = 42/360 = 0.117$ $u^* = r25j$
Daten für jede Farbe:
 lab^*ch^* und lab^*icu^*

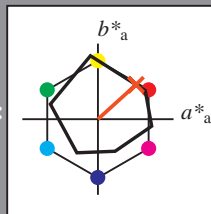
Elementar-Bunttontext:

$u^* = r25j$

Kontrastreduzierungsfaktor:

$c_R = 0.96$

Dreiecks-Helligkeit t^*



ORS20_95a; adaptierte CIELAB-Daten					
	$L^*=L_a^*$	a_a^*	b_a^*	$C^*_{ab,a}$	$h^*_{ab,a}$
O _{Ma}	48.75	62.56	37.91	73.15	31
Y _{Ma}	90.92	-9.88	83.88	84.46	97
L _{Ma}	52.69	-62.9	19.95	66.0	162
C _{Ma}	59.61	-27.85	-44.43	52.45	238
V _{Ma}	28.39	22.72	-42.42	48.13	298
M _{Ma}	49.58	71.08	-9.19	71.67	353
N _{Ma}	20.0	0.0	0.0	0.0	0
W _{Ma}	95.0	0.0	0.0	0.0	0
R _{CIE}	39.92	58.74	27.99	65.07	25
J _{CIE}	81.26	-2.88	71.56	71.62	92
G _{CIE}	52.23	-42.41	13.6	44.55	162
B _{CIE}	30.57	1.41	-46.46	46.49	272

Daten für Maximalfarbe (Ma):

$LAB^*LAB^*_{Ma}$: 56 50 46

$LAB^*LCH^*_{Ma}$: 56 68 42

$lab^*rgb^*_{Ma}$: 1.0 0.25 0.0

$lab^*olv^*_{Ma}$: 1.0 0.17 0.0

Dreiecks-Helligkeit t^*

%Umfang

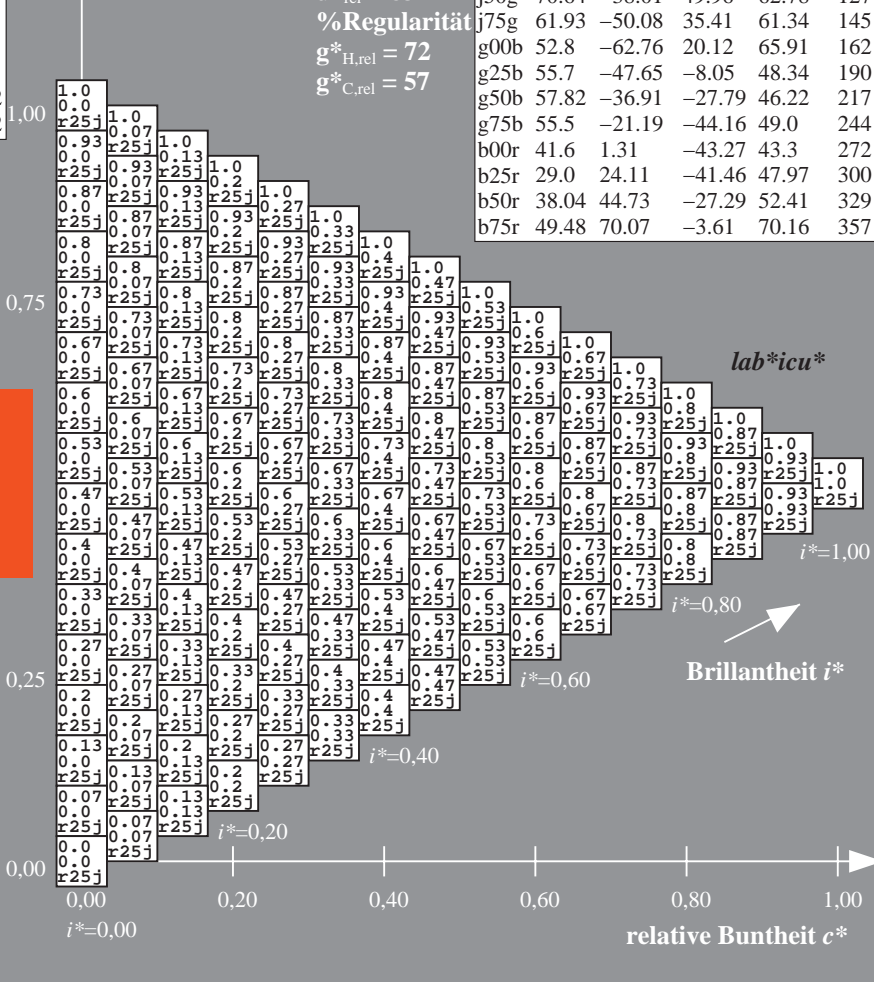
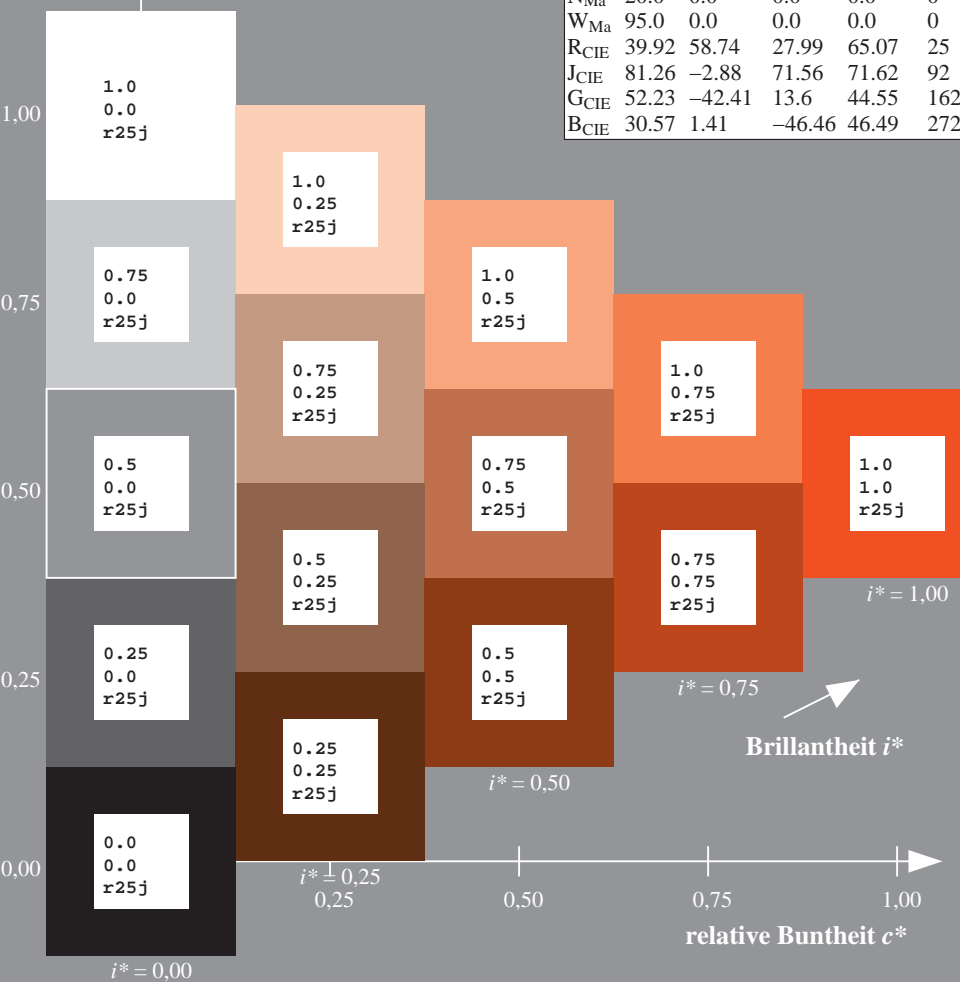
$u^*_{rel} = 83$

%Regularität

$g^*_{H,rel} = 72$

$g^*_{C,rel} = 57$

ORS20_95a; adaptierte CIELAB-Daten					
	$L^*=L_a^*$	a_a^*	b_a^*	$C^*_{ab,a}$	$h^*_{ab,a}$
r00j	48.88	63.91	30.45	70.79	25
r25j	55.85	50.36	45.65	67.97	42
r50j	65.45	33.86	56.12	65.54	59
r75j	75.19	17.13	66.73	68.89	76
j00g	87.03	-3.21	79.64	79.7	92
j25g	80.72	-24.03	66.82	71.01	110
j50g	70.64	-38.01	49.96	62.78	127
j75g	61.93	-50.08	35.41	61.34	145
g00b	52.8	-62.76	20.12	65.91	162
g25b	55.7	-47.65	-8.05	48.34	190
g50b	57.82	-36.91	-27.79	46.22	217
g75b	55.5	-21.19	-44.16	49.0	244
b00r	41.6	1.31	-43.27	43.3	272
b25r	29.0	24.11	-41.46	47.97	300
b50r	38.04	44.73	-27.29	52.41	329
b75r	49.48	70.07	-3.61	70.16	357



Ein und Ausgabe: Farbmetrisches Drucker-Reflektiv-System ORS20_95a für relativen CIELAB-Buntton $h^* = lab^*h^* = h_{ab}/360 = 59/360 = 0.164$ $u^* = r50j$
Daten für jede Farbe: lab^*tch^* und lab^*icu^*

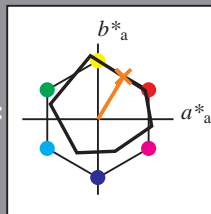
Elementar-Bunttoncontext:

$u^* = r50j$

Kontrastreduzierungsfaktor:

$c_R = 0.96$

Dreiecks-Helligkeit t^*



ORS20_95a; adaptierte CIELAB-Daten					
	$L^*=L_a^*$	a_a^*	b_a^*	$C^*_{ab,a}$	$h^*_{ab,a}$
O _{Ma}	48.75	62.56	37.91	73.15	31
Y _{Ma}	90.92	-9.88	83.88	84.46	97
L _{Ma}	52.69	-62.9	19.95	66.0	162
C _{Ma}	59.61	-27.85	-44.43	52.45	238
V _{Ma}	28.39	22.72	-42.42	48.13	298
M _{Ma}	49.58	71.08	-9.19	71.67	353
N _{Ma}	20.0	0.0	0.0	0.0	0
W _{Ma}	95.0	0.0	0.0	0.0	0
R _{CIE}	39.92	58.74	27.99	65.07	25
J _{CIE}	81.26	-2.88	71.56	71.62	92
G _{CIE}	52.23	-42.41	13.6	44.55	162
B _{CIE}	30.57	1.41	-46.46	46.49	272

Daten für Maximalfarbe (Ma):

$LAB^*LAB^*_{Ma}$: 65 34 56

$LAB^*LCH^*_{Ma}$: 65 66 59

$lab^*rgb^*_{Ma}$: 1.0 0.5 0.0

$lab^*olv^*_{Ma}$: 1.0 0.4 0.0

Dreiecks-Helligkeit t^*

%Umfang

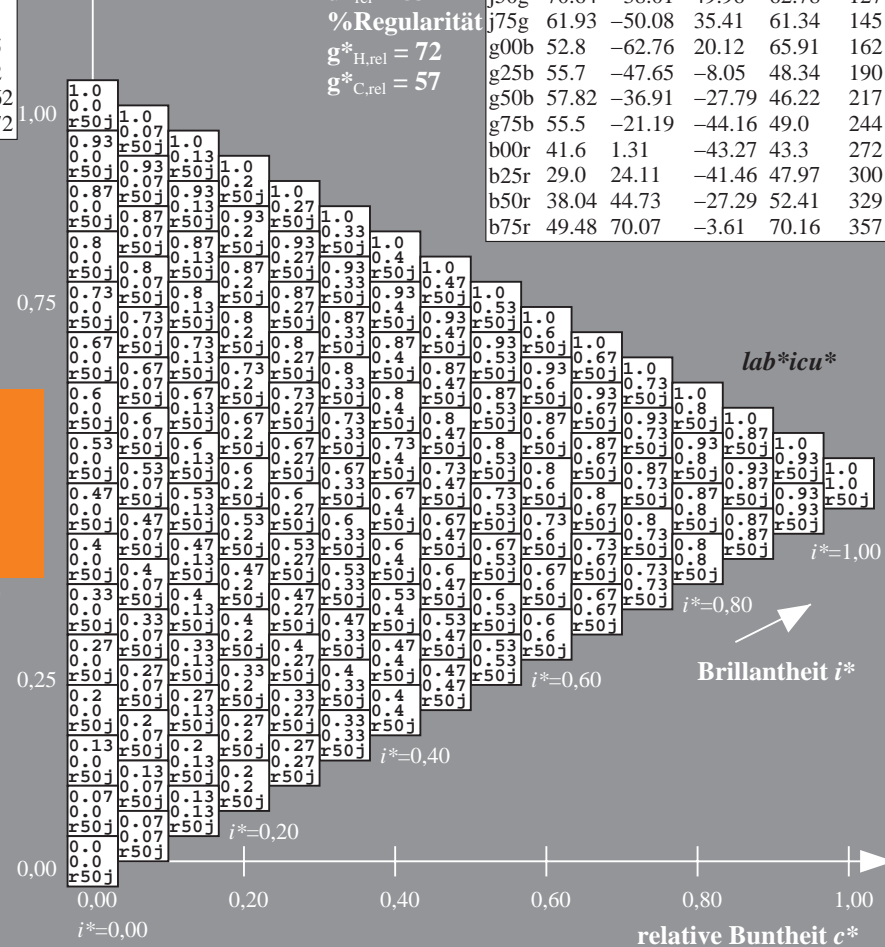
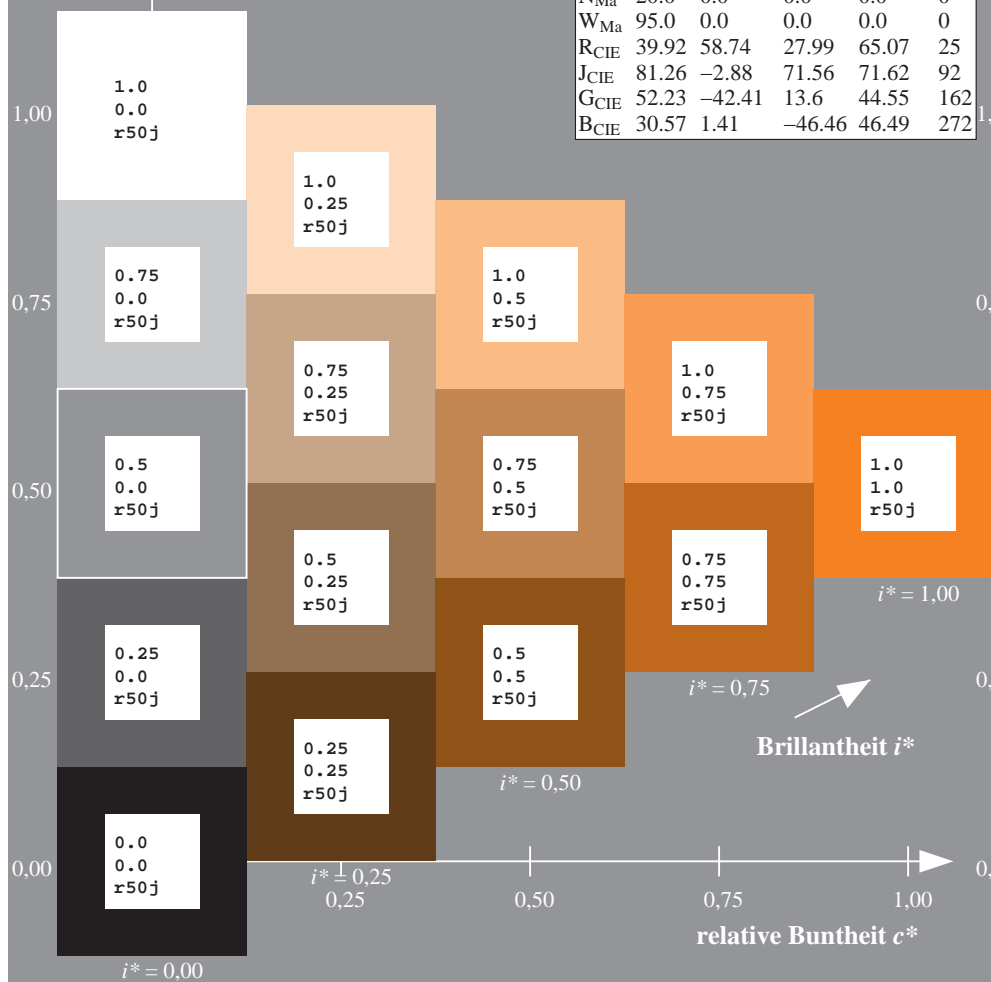
$u^*_{rel} = 83$

%Regularität

$g^*_{H,rel} = 72$

$g^*_{C,rel} = 57$

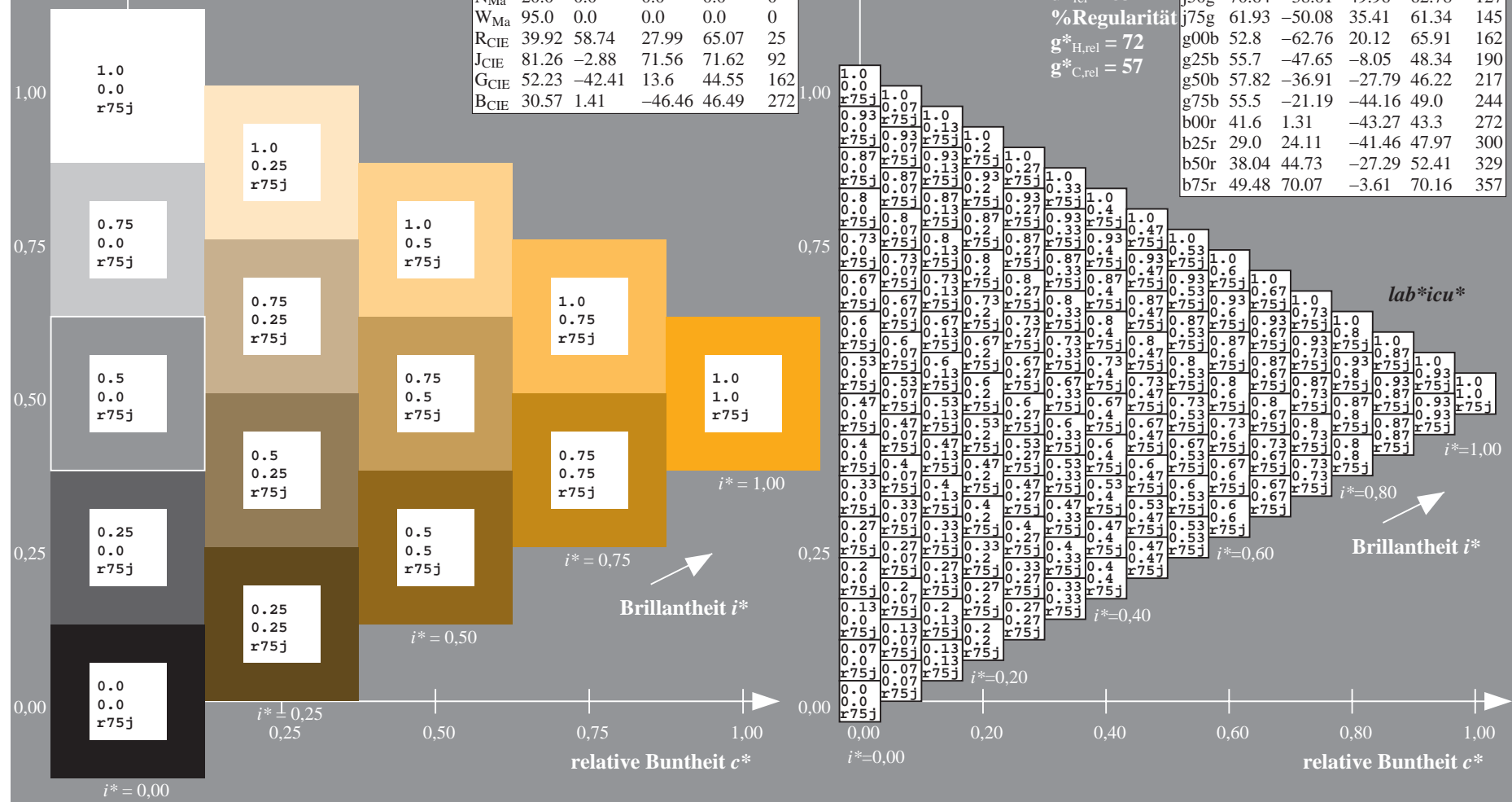
ORS20_95a; adaptierte CIELAB-Daten					
	$L^*=L_a^*$	a_a^*	b_a^*	$C^*_{ab,a}$	$h^*_{ab,a}$
r00j	48.88	63.91	30.45	70.79	25
r25j	55.85	50.36	45.65	67.97	42
r50j	65.45	33.86	56.12	65.54	59
r75j	75.19	17.13	66.73	68.89	76
j00g	87.03	-3.21	79.64	79.7	92
j25g	80.72	-24.03	66.82	71.01	110
j50g	70.64	-38.01	49.96	62.78	127
j75g	61.93	-50.08	35.41	61.34	145
g00b	52.8	-62.76	20.12	65.91	162
g25b	55.7	-47.65	-8.05	48.34	190
g50b	57.82	-36.91	-27.79	46.22	217
g75b	55.5	-21.19	-44.16	49.0	244
b00r	41.6	1.31	-43.27	43.3	272
b25r	29.0	24.11	-41.46	47.97	300
b50r	38.04	44.73	-27.29	52.41	329
b75r	49.48	70.07	-3.61	70.16	357



0



ORS20_95a; adaptierte CIELAB-Daten						
	L^*_{ab}	a^*_{ab}	b^*_{ab}	$C^*_{ab,a}$	$h^*_{ab,a}$	
r00j	48.88	63.91	30.45	70.79		25
r25j	55.85	50.36	45.65	67.97		42
r50j	65.45	33.86	56.12	65.54		59
r75j	75.19	17.13	66.73	68.89		76
j00g	87.03	-3.21	79.64	79.7		92
j25g	80.72	-24.03	66.82	71.01		110
j50g	70.64	-38.01	49.96	62.78		127
j75g	61.93	-50.08	35.41	61.34		145
g00b	52.8	-62.76	20.12	65.91		162
g25b	55.7	-47.65	-8.05	48.34		190
g50b	57.82	-36.91	-27.79	46.22		217
g75b	55.5	-21.19	-44.16	49.0		244
b00r	41.6	1.31	-43.27	43.3		272
b25r	29.0	24.11	-41.46	47.97		300
b50r	38.04	44.73	-27.29	52.41		329
b75r	49.48	70.07	-3.61	70.16		357



Ein und Ausgabe: Farbmetrisches Drucker-Reflektiv-System ORS20_95a für relativen CIELAB-Buntton $h^* = lab^*h^* = h_{ab}/360 = 92/360 = 0.256$ $u^* = j00g$
Daten für jede Farbe: lab^*ch^* und lab^*icu^*

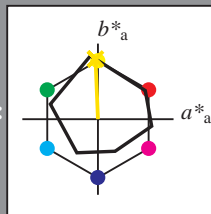
Elementar-Bunttontext:

$u^* = j00g$

Kontrastreduzierungsfaktor:

$c_R = 0.96$

Dreiecks-Helligkeit t^*



ORS20_95a; adaptierte CIELAB-Daten					
	$L^*=L_a^*$	a_a^*	b_a^*	$C^*_{ab,a}$	$h^*_{ab,a}$
O _{Ma}	48.75	62.56	37.91	73.15	31
Y _{Ma}	90.92	-9.88	83.88	84.46	97
L _{Ma}	52.69	-62.9	19.95	66.0	162
C _{Ma}	59.61	-27.85	-44.43	52.45	238
V _{Ma}	28.39	22.72	-42.42	48.13	298
M _{Ma}	49.58	71.08	-9.19	71.67	353
N _{Ma}	20.0	0.0	0.0	0.0	0
W _{Ma}	95.0	0.0	0.0	0.0	0
R _{CIE}	39.92	58.74	27.99	65.07	25
J _{CIE}	81.26	-2.88	71.56	71.62	92
G _{CIE}	52.23	-42.41	13.6	44.55	162
B _{CIE}	30.57	1.41	-46.46	46.49	272

Daten für Maximalfarbe (Ma):

$LAB^*LAB^*_{Ma}$: 87 -2 80

$LAB^*LCH^*_{Ma}$: 87 80 92

$lab^*rgb^*_{Ma}$: 1.0 1.0 0.0

$lab^*olv^*_{Ma}$: 1.0 0.91 0.0

Dreiecks-Helligkeit t^*

%Umfang

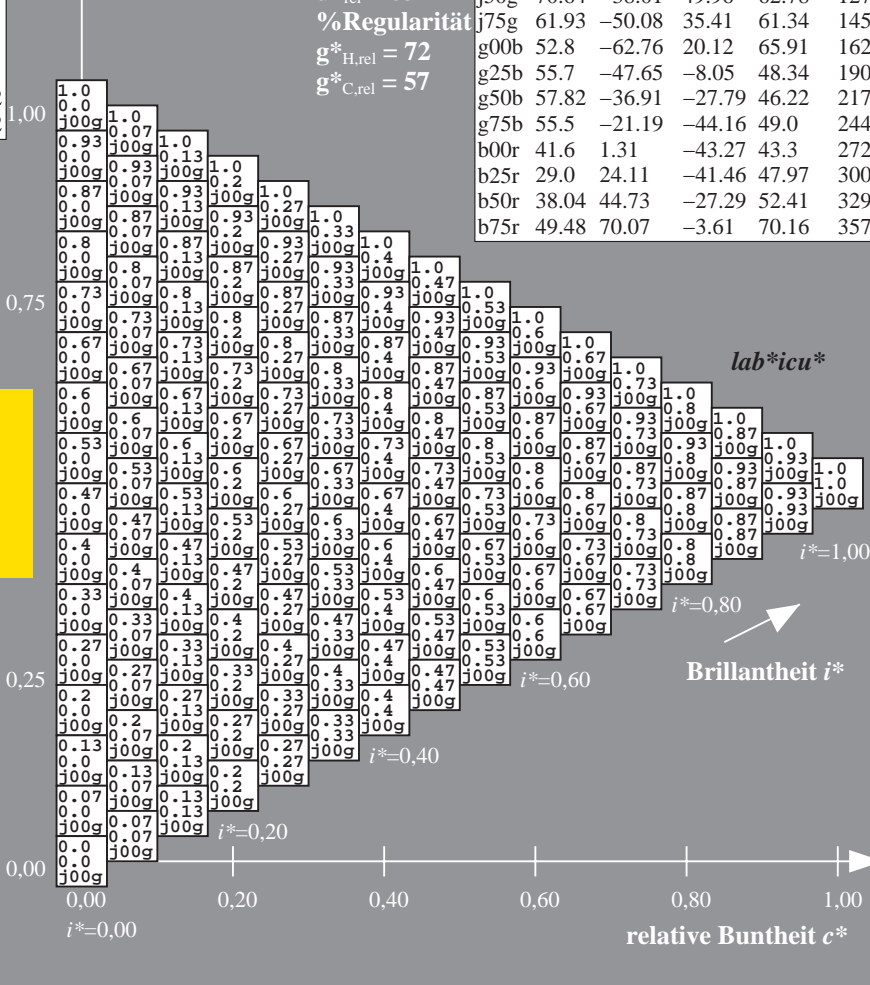
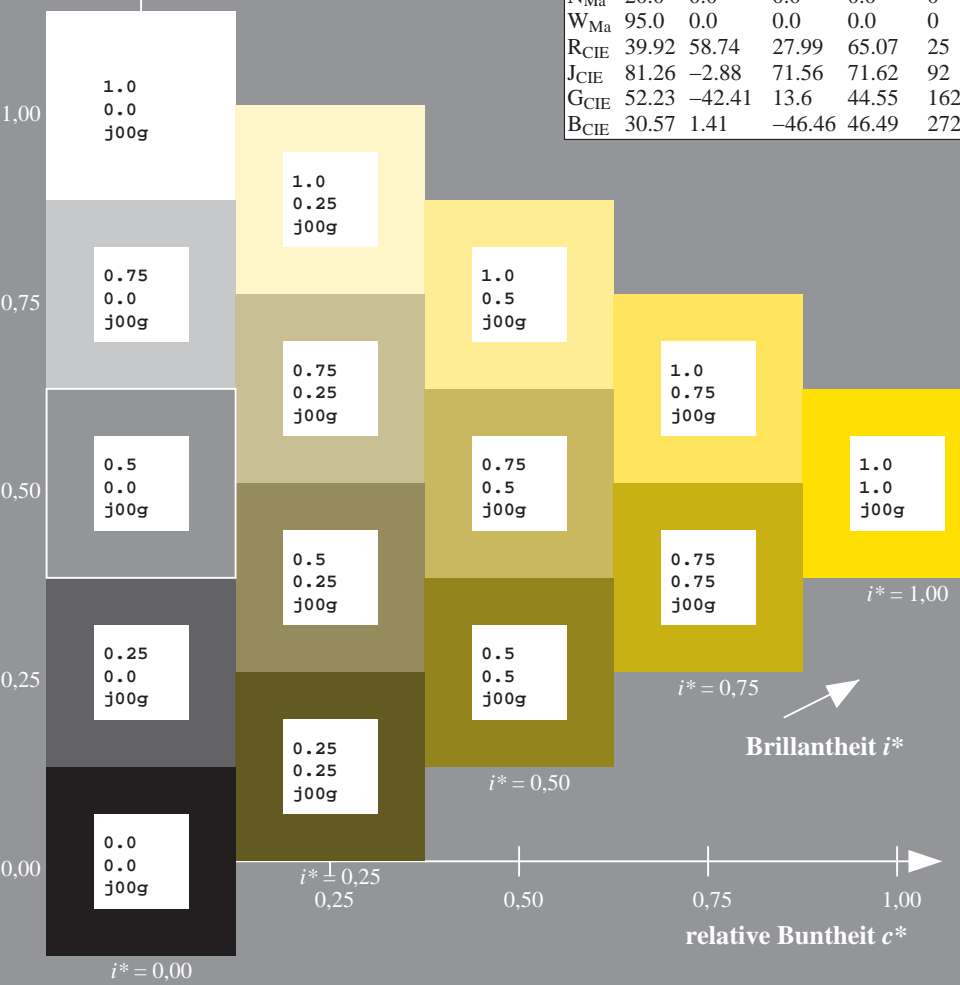
$u^*_{rel} = 83$

%Regularität

$g^*_{H,rel} = 72$

$g^*_{C,rel} = 57$

ORS20_95a; adaptierte CIELAB-Daten					
	$L^*=L_a^*$	a_a^*	b_a^*	$C^*_{ab,a}$	$h^*_{ab,a}$
r00j	48.88	63.91	30.45	70.79	25
r25j	55.85	50.36	45.65	67.97	42
r50j	65.45	33.86	56.12	65.54	59
r75j	75.19	17.13	66.73	68.89	76
j00g	87.03	-3.21	79.64	79.7	92
j25g	80.72	-24.03	66.82	71.01	110
j50g	70.64	-38.01	49.96	62.78	127
j75g	61.93	-50.08	35.41	61.34	145
g00b	52.8	-62.76	20.12	65.91	162
g25b	55.7	-47.65	-8.05	48.34	190
g50b	57.82	-36.91	-27.79	46.22	217
g75b	55.5	-21.19	-44.16	49.0	244
b00r	41.6	1.31	-43.27	43.3	272
b25r	29.0	24.11	-41.46	47.97	300
b50r	38.04	44.73	-27.29	52.41	329
b75r	49.48	70.07	-3.61	70.16	357



Ein und Ausgabe: Farbmetrisches Drucker-Reflektiv-System ORS20_95a für relativen CIELAB-Buntton $h^* = lab^*h^* = h_{ab}/360 = 110/360 = 0.305$ $u^* = j25g$
Daten für jede Farbe: lab^*ch^* und lab^*icu^*

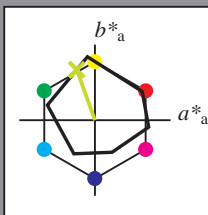
Elementar-Bunttontext:

$u^* = j25g$

Kontrastreduzierungsfaktor:

$c_R = 0.96$

Dreiecks-Helligkeit i^*



ORS20_95a; adaptierte CIELAB-Daten					
	$L^*=L^*_a$	a^*_a	b^*_a	$C^*_{ab,a}$	$h^*_{ab,a}$
O _{Ma}	48.75	62.56	37.91	73.15	31
Y _{Ma}	90.92	-9.88	83.88	84.46	97
L _{Ma}	52.69	-62.9	19.95	66.0	162
C _{Ma}	59.61	-27.85	-44.43	52.45	238
V _{Ma}	28.39	22.72	-42.42	48.13	298
M _{Ma}	49.58	71.08	-9.19	71.67	353
N _{Ma}	20.0	0.0	0.0	0.0	0
W _{Ma}	95.0	0.0	0.0	0.0	0
R _{CIE}	39.92	58.74	27.99	65.07	25
J _{CIE}	81.26	-2.88	71.56	71.62	92
G _{CIE}	52.23	-42.41	13.6	44.55	162
B _{CIE}	30.57	1.41	-46.46	46.49	272

Daten für Maximalfarbe (Ma):

$LAB^*LAB^*_{Ma}$: 81 -23 67

$LAB^*LCH^*_{Ma}$: 81 71 110

$lab^*rgb^*_{Ma}$: 0.75 1.0 0.0

$lab^*olv^*_{Ma}$: 0.73 1.0 0.0

Dreiecks-Helligkeit i^*

%Umfang

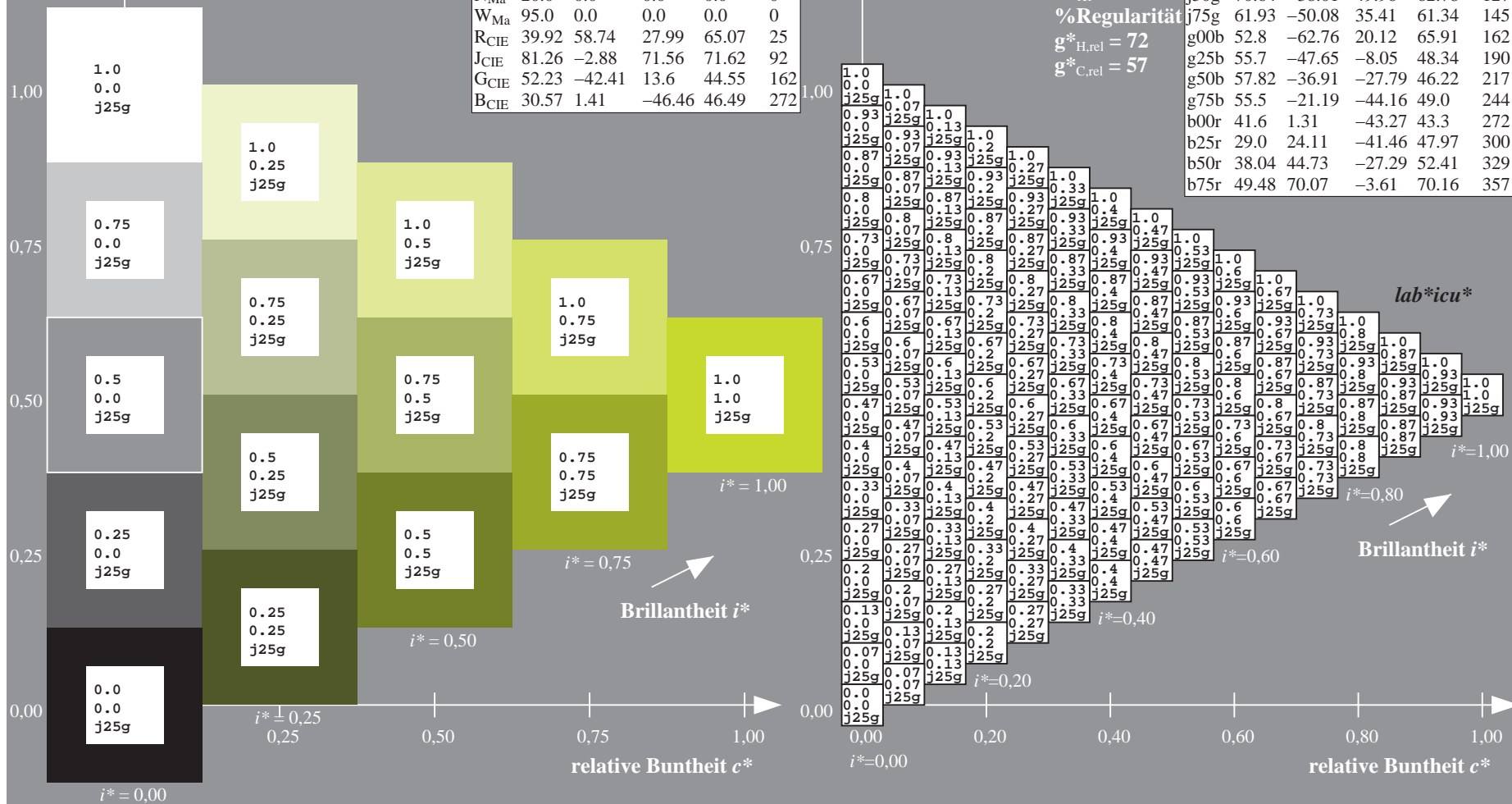
$u^*_{rel} = 83$

%Regularität

$g^*_{H,rel} = 72$

$g^*_{C,rel} = 57$

ORS20_95a; adaptierte CIELAB-Daten					
	$L^*=L^*_a$	a^*_a	b^*_a	$C^*_{ab,a}$	$h^*_{ab,a}$
r00j	48.88	63.91	30.45	70.79	25
r25j	55.85	50.36	45.65	67.97	42
r50j	65.45	33.86	56.12	65.54	59
r75j	75.19	17.13	66.73	68.89	76
j00g	87.03	-3.21	79.64	79.7	92
j25g	80.72	-24.03	66.82	71.01	110
j50g	70.64	-38.01	49.96	62.78	127
j75g	61.93	-50.08	35.41	61.34	145
g00b	52.8	-62.76	20.12	65.91	162
g25b	55.7	-47.65	-8.05	48.34	190
g50b	57.82	-36.91	-27.79	46.22	217
g75b	55.5	-21.19	-44.16	49.0	244
b00r	41.6	1.31	-43.27	43.3	272
b25r	29.0	24.11	-41.46	47.97	300
b50r	38.04	44.73	-27.29	52.41	329
b75r	49.48	70.07	-3.61	70.16	357



Ein und Ausgabe: Farbmetrisches Drucker-Reflektiv-System ORS20_95a für relativen CIELAB-Buntton $h^* = lab^*h^* = h_{ab}/360 = 127/360 = 0.354$ $u^* = j50g$
Daten für jede Farbe: lab^*ch^* und lab^*icu^*

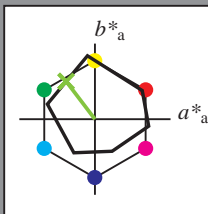
Elementar-Bunttontext:

$u^* = j50g$

Kontrastreduzierungsfaktor:

$c_R = 0.96$

Dreiecks-Helligkeit t^*



ORS20_95a; adaptierte CIELAB-Daten					
	$L^*=L^*_a$	a^*_a	b^*_a	$C^*_{ab,a}$	$h^*_{ab,a}$
O _{Ma}	48.75	62.56	37.91	73.15	31
Y _{Ma}	90.92	-9.88	83.88	84.46	97
L _{Ma}	52.69	-62.9	19.95	66.0	162
C _{Ma}	59.61	-27.85	-44.43	52.45	238
V _{Ma}	28.39	22.72	-42.42	48.13	298
M _{Ma}	49.58	71.08	-9.19	71.67	353
N _{Ma}	20.0	0.0	0.0	0.0	0
W _{Ma}	95.0	0.0	0.0	0.0	0
R _{CIE}	39.92	58.74	27.99	65.07	25
J _{CIE}	81.26	-2.88	71.56	71.62	92
G _{CIE}	52.23	-42.41	13.6	44.55	162
B _{CIE}	30.57	1.41	-46.46	46.49	272

Daten für Maximalfarbe (Ma):

$LAB^*LAB^*_{Ma}$: 71 -37 50

$LAB^*LCH^*_{Ma}$: 71 63 127

$lab^*rgb^*_{Ma}$: 0.5 1.0 0.0

$lab^*olv^*_{Ma}$: 0.47 1.0 0.0

Dreiecks-Helligkeit t^*

%Umfang

$u^*_{rel} = 83$

%Regularität

$g^*_{H,rel} = 72$

$g^*_{C,rel} = 57$

ORS20_95a; adaptierte CIELAB-Daten					
	$L^*=L^*_a$	a^*_a	b^*_a	$C^*_{ab,a}$	$h^*_{ab,a}$
r00j	48.88	63.91	30.45	70.79	25
r25j	55.85	50.36	45.65	67.97	42
r50j	65.45	33.86	56.12	65.54	59
r75j	75.19	17.13	66.73	68.89	76
j00g	87.03	-3.21	79.64	79.7	92
j25g	80.72	-24.03	66.82	71.01	110
j50g	70.64	-38.01	49.96	62.78	127
j75g	61.93	-50.08	35.41	61.34	145
g00b	52.8	-62.76	20.12	65.91	162
g25b	55.7	-47.65	-8.05	48.34	190
g50b	57.82	-36.91	-27.79	46.22	217
g75b	55.5	-21.19	-44.16	49.0	244
b00r	41.6	1.31	-43.27	43.3	272
b25r	29.0	24.11	-41.46	47.97	300
b50r	38.04	44.73	-27.29	52.41	329
b75r	49.48	70.07	-3.61	70.16	357

Ein und Ausgabe: Farbmetrisches Drucker-Reflektiv-System ORS20_95a für relativen CIELAB-Buntton $h^* = lab^*h^* = h_{ab}/360 = 145/360 = 0.402$ $u^* = j75g$

Daten für jede Farbe:

lab^*ch^* und lab^*icu^*

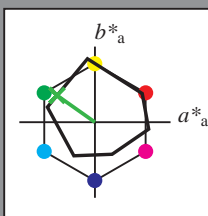
Elementar-Bunttontext:

$u^* = j75g$

Kontrastreduzierungsfaktor:

$c_R = 0.96$

Dreiecks-Helligkeit i^*



ORS20_95a; adaptierte CIELAB-Daten					
	$L^*=L_a^*$	a_a^*	b_a^*	$C^*_{ab,a}$	$h^*_{ab,a}$
O _{Ma}	48.75	62.56	37.91	73.15	31
Y _{Ma}	90.92	-9.88	83.88	84.46	97
L _{Ma}	52.69	-62.9	19.95	66.0	162
C _{Ma}	59.61	-27.85	-44.43	52.45	238
V _{Ma}	28.39	22.72	-42.42	48.13	298
M _{Ma}	49.58	71.08	-9.19	71.67	353
N _{Ma}	20.0	0.0	0.0	0.0	0
W _{Ma}	95.0	0.0	0.0	0.0	0
R _{CIE}	39.92	58.74	27.99	65.07	25
J _{CIE}	81.26	-2.88	71.56	71.62	92
G _{CIE}	52.23	-42.41	13.6	44.55	162
B _{CIE}	30.57	1.41	-46.46	46.49	272

Daten für Maximalfarbe (Ma):

$LAB^*LAB^*_{Ma}$: 62 -49 35

$LAB^*LCH^*_{Ma}$: 62 61 145

$lab^*rgb^*_{Ma}$: 0.25 1.0 0.0

$lab^*olv^*_{Ma}$: 0.24 1.0 0.0

Dreiecks-Helligkeit i^*

%Umfang

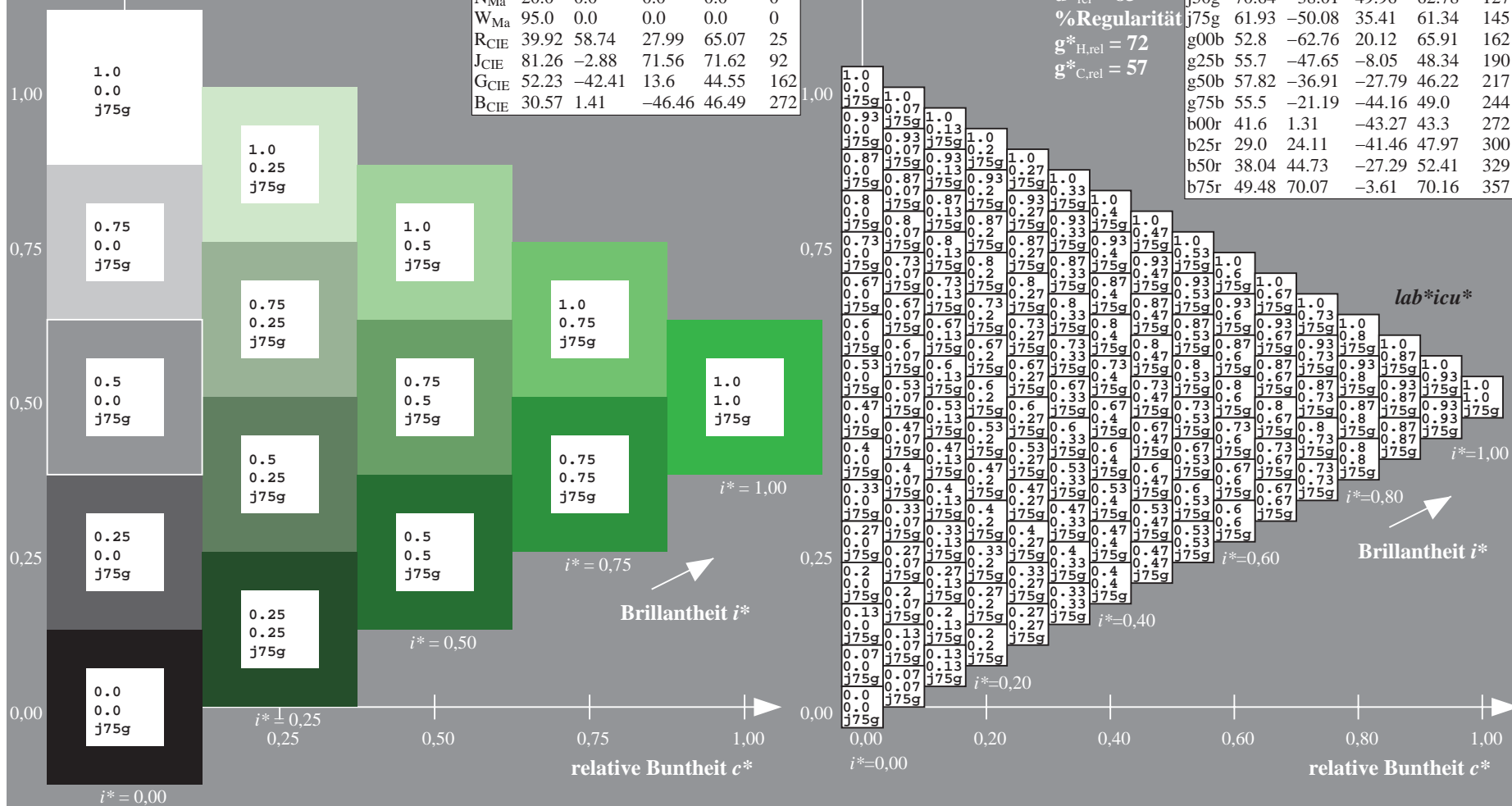
$u^*_{rel} = 83$

%Regularität

$g^*_{H,rel} = 72$

$g^*_{C,rel} = 57$

ORS20_95a; adaptierte CIELAB-Daten					
	$L^*=L_a^*$	a_a^*	b_a^*	$C^*_{ab,a}$	$h^*_{ab,a}$
r00j	48.88	63.91	30.45	70.79	25
r25j	55.85	50.36	45.65	67.97	42
r50j	65.45	33.86	56.12	65.54	59
r75j	75.19	17.13	66.73	68.89	76
j00g	87.03	-3.21	79.64	79.7	92
j25g	80.72	-24.03	66.82	71.01	110
j50g	70.64	-38.01	49.96	62.78	127
j75g	61.93	-50.08	35.41	61.34	145
g00b	52.8	-62.76	20.12	65.91	162
g25b	55.7	-47.65	-8.05	48.34	190
g50b	57.82	-36.91	-27.79	46.22	217
g75b	55.5	-21.19	-44.16	49.0	244
b00r	41.6	1.31	-43.27	43.3	272
b25r	29.0	24.11	-41.46	47.97	300
b50r	38.04	44.73	-27.29	52.41	329
b75r	49.48	70.07	-3.61	70.16	357



Ein und Ausgabe: Farbmetrisches Drucker-Reflektiv-System ORS20_95a für relativen CIELAB-Buntton $h^* = lab^*h^* = h_{ab}/360 = 162/360 = 0.451$ $u^* = g00b$
Daten für jede Farbe: lab^*ch^* und lab^*icu^*

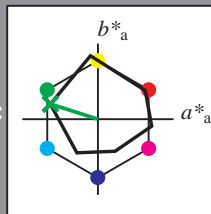
Elementar-Bunttontext:

$u^* = g00b$

Kontrastreduzierungsfaktor:

$c_R = 0.96$

Dreiecks-Helligkeit i^*



ORS20_95a; adaptierte CIELAB-Daten					
	$L^*=L^*_a$	a^*_a	b^*_a	$C^*_{ab,a}$	$h^*_{ab,a}$
O _{Ma}	48.75	62.56	37.91	73.15	31
Y _{Ma}	90.92	-9.88	83.88	84.46	97
L _{Ma}	52.69	-62.9	19.95	66.0	162
C _{Ma}	59.61	-27.85	-44.43	52.45	238
V _{Ma}	28.39	22.72	-42.42	48.13	298
M _{Ma}	49.58	71.08	-9.19	71.67	353
N _{Ma}	20.0	0.0	0.0	0.0	0
W _{Ma}	95.0	0.0	0.0	0.0	0
R _{CIE}	39.92	58.74	27.99	65.07	25
J _{CIE}	81.26	-2.88	71.56	71.62	92
G _{CIE}	52.23	-42.41	13.6	44.55	162
B _{CIE}	30.57	1.41	-46.46	46.49	272

Daten für Maximalfarbe (Ma):

$LAB^*LAB^*_{Ma}$: 53 -62 20

$LAB^*LCH^*_{Ma}$: 53 66 162

$lab^*rgb^*_{Ma}$: 0.0 1.0 0.0

$lab^*olv^*_{Ma}$: 0.0 1.0 0.0

Dreiecks-Helligkeit i^*

%Umfang

$u^*_{rel} = 83$

%Regularität

$g^*_{H,rel} = 72$

$g^*_{C,rel} = 57$

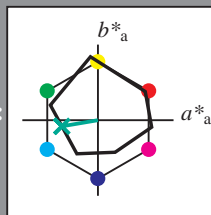
ORS20_95a; adaptierte CIELAB-Daten					
	$L^*=L^*_a$	a^*_a	b^*_a	$C^*_{ab,a}$	$h^*_{ab,a}$
r00j	48.88	63.91	30.45	70.79	25
r25j	55.85	50.36	45.65	67.97	42
r50j	65.45	33.86	56.12	65.54	59
r75j	75.19	17.13	66.73	68.89	76
j00g	87.03	-3.21	79.64	79.7	92
j25g	80.72	-24.03	66.82	71.01	110
j50g	70.64	-38.01	49.96	62.78	127
j75g	61.93	-50.08	35.41	61.34	145
g00b	52.8	-62.76	20.12	65.91	162
g25b	55.7	-47.65	-8.05	48.34	190
g50b	57.82	-36.91	-27.79	46.22	217
g75b	55.5	-21.19	-44.16	49.0	244
b00r	41.6	1.31	-43.27	43.3	272
b25r	29.0	24.11	-41.46	47.97	300
b50r	38.04	44.73	-27.29	52.41	329
b75r	49.48	70.07	-3.61	70.16	357

Ein und Ausgabe: Farbmetrisches Drucker-Reflektiv-System ORS20_95a für relativen CIELAB-Buntton $h^* = lab^*h^* = h_{ab}/360 = 190/360 = 0.527$ $u^* = g25b$
Daten für jede Farbe:
 lab^*ch^* und lab^*icu^*

Elementar-Bunttontext:
 $u^* = g25b$

Kontrastreduzierungsfaktor:
 $c_R = 0.96$

Dreiecks-Helligkeit i^*



ORS20_95a; adaptierte CIELAB-Daten					
	$L^*=L_a^*$	a_a^*	b_a^*	$C^*_{ab,a}$	$h^*_{ab,a}$
OMa	48.75	62.56	37.91	73.15	31
YMa	90.92	-9.88	83.88	84.46	97
LMa	52.69	-62.9	19.95	66.0	162
CMa	59.61	-27.85	-44.43	52.45	238
VMa	28.39	22.72	-42.42	48.13	298
MMa	49.58	71.08	-9.19	71.67	353
NMa	20.0	0.0	0.0	0.0	0
WMa	95.0	0.0	0.0	0.0	0
R_CIE	39.92	58.74	27.99	65.07	25
J_CIE	81.26	-2.88	71.56	71.62	92
G_CIE	52.23	-42.41	13.6	44.55	162
B_CIE	30.57	1.41	-46.46	46.49	272

Daten für Maximalfarbe (Ma):

$LAB^*LAB^*_{Ma}$: 56 -47 -7

$LAB^*LCH^*_{Ma}$: 56 48 190

$lab^*rgb^*_{Ma}$: 0.0 1.0 0.5

$lab^*olv^*_{Ma}$: 0.0 1.0 0.44

Dreiecks-Helligkeit i^*

%Umfang

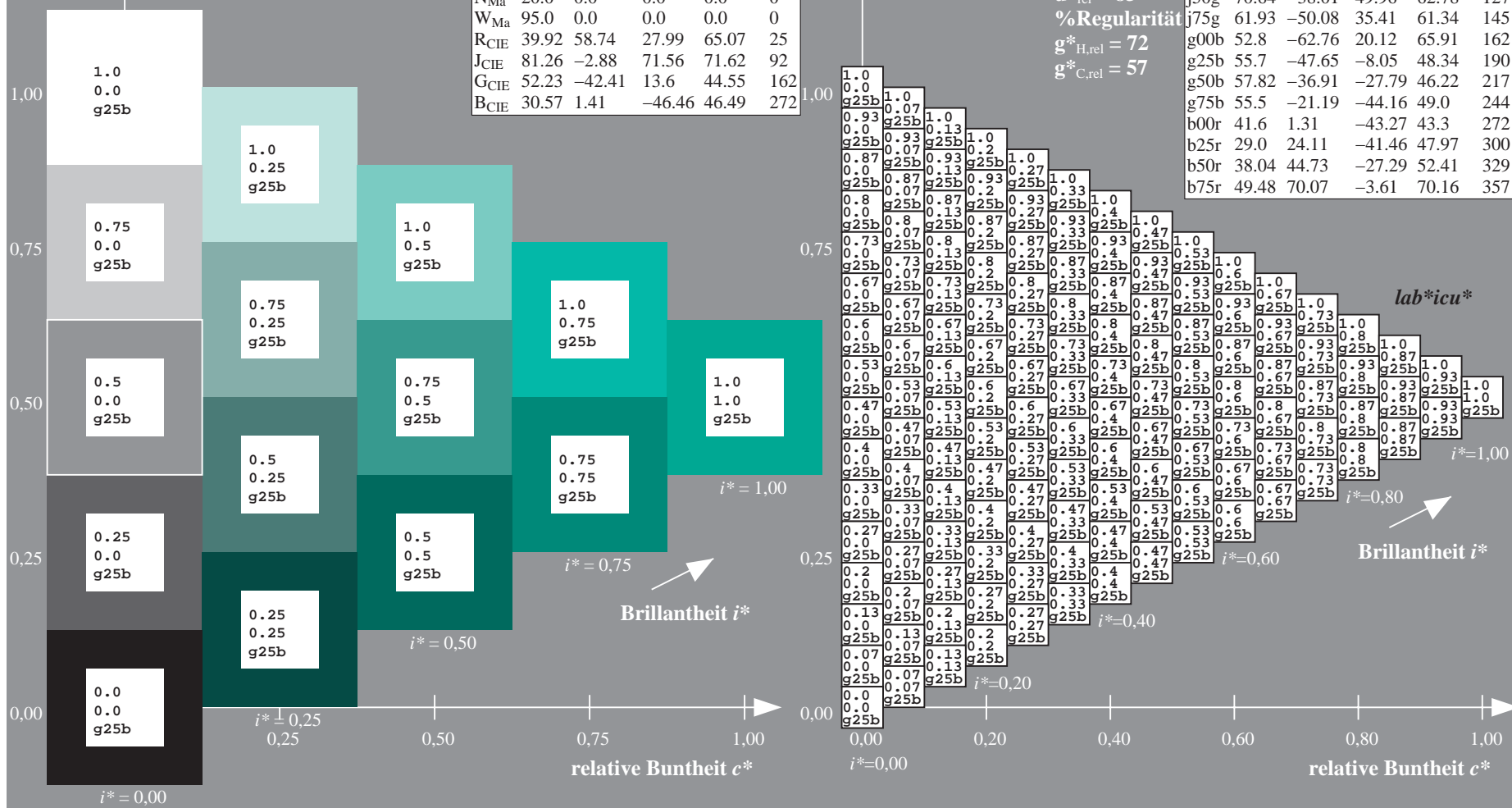
$u^*_{rel} = 83$

%Regularität

$g^*_{H,rel} = 72$

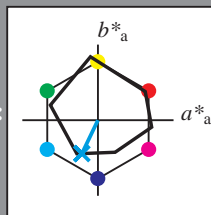
$g^*_{C,rel} = 57$

ORS20_95a; adaptierte CIELAB-Daten					
	$L^*=L_a^*$	a_a^*	b_a^*	$C^*_{ab,a}$	$h^*_{ab,a}$
r00j	48.88	63.91	30.45	70.79	25
r25j	55.85	50.36	45.65	67.97	42
r50j	65.45	33.86	56.12	65.54	59
r75j	75.19	17.13	66.73	68.89	76
j00g	87.03	-3.21	79.64	79.7	92
j25g	80.72	-24.03	66.82	71.01	110
j50g	70.64	-38.01	49.96	62.78	127
j75g	61.93	-50.08	35.41	61.34	145
g00b	52.8	-62.76	20.12	65.91	162
g25b	55.7	-47.65	-8.05	48.34	190
g50b	57.82	-36.91	-27.79	46.22	217
g75b	55.5	-21.19	-44.16	49.0	244
b00r	41.6	1.31	-43.27	43.3	272
b25r	29.0	24.11	-41.46	47.97	300
b50r	38.04	44.73	-27.29	52.41	329
b75r	49.48	70.07	-3.61	70.16	357



Ausgabe: $\rightarrow cmy\mathbf{n}5^* setcmykcolor$

Ein und Ausgabe: Farbmetrisches Drucker-Reflektiv-System ORS20_95a für relativen CIELAB-Buntton $h^* = lab^*h^* = h_{ab}/360 = 244/360 = 0.679$ $u^* = g75b$
Daten für jede Farbe:
 lab^*ch^* und lab^*icu^*
Elementar-Bunttontext:
 $u^* = g75b$
Kontrastreduzierungsfaktor:
 $c_R = 0.96$
Dreiecks-Helligkeit i^*



ORS20_95a; adaptierte CIELAB-Daten					
	$L^*=L^*_a$	a^*_a	b^*_a	$C^*_{ab,a}$	$h^*_{ab,a}$
O _{Ma}	48.75	62.56	37.91	73.15	31
Y _{Ma}	90.92	-9.88	83.88	84.46	97
L _{Ma}	52.69	-62.9	19.95	66.0	162
C _{Ma}	59.61	-27.85	-44.43	52.45	238
V _{Ma}	28.39	22.72	-42.42	48.13	298
M _{Ma}	49.58	71.08	-9.19	71.67	353
N _{Ma}	20.0	0.0	0.0	0.0	0
W _{Ma}	95.0	0.0	0.0	0.0	0
R _{CIE}	39.92	58.74	27.99	65.07	25
J _{CIE}	81.26	-2.88	71.56	71.62	92
G _{CIE}	52.23	-42.41	13.6	44.55	162
B _{CIE}	30.57	1.41	-46.46	46.49	272

Daten für Maximalfarbe (Ma):

$LAB^*LAB^*_{Ma}$: 55 -20 -43

$LAB^*LCH^*_{Ma}$: 55 49 244

$lab^*rgb^*_{Ma}$: 0.0 0.5 1.0

$lab^*olv^*_{Ma}$: 0.0 0.87 1.0

Dreiecks-Helligkeit i^*

%Umfang

$u^*_{rel} = 83$

%Regularität

$g^*_{H,rel} = 72$

$g^*_{C,rel} = 57$

ORS20_95a; adaptierte CIELAB-Daten					
	$L^*=L^*_a$	a^*_a	b^*_a	$C^*_{ab,a}$	$h^*_{ab,a}$
r00j	48.88	63.91	30.45	70.79	25
r25j	55.85	50.36	45.65	67.97	42
r50j	65.45	33.86	56.12	65.54	59
r75j	75.19	17.13	66.73	68.89	76
j00g	87.03	-3.21	79.64	79.7	92
j25g	80.72	-24.03	66.82	71.01	110
j50g	70.64	-38.01	49.96	62.78	127
j75g	61.93	-50.08	35.41	61.34	145
g00b	52.8	-62.76	20.12	65.91	162
g25b	55.7	-47.65	-8.05	48.34	190
g50b	57.82	-36.91	-27.79	46.22	217
g75b	55.5	-21.19	-44.16	49.0	244
b00r	41.6	1.31	-43.27	43.3	272
b25r	29.0	24.11	-41.46	47.97	300
b50r	38.04	44.73	-27.29	52.41	329
b75r	49.48	70.07	-3.61	70.16	357

lab^*icu^*

$i^* = 1.00$

Brillantheit i^*

$i^* = 0.80$

$i^* = 0.60$

$i^* = 0.40$

$i^* = 0.20$

$i^* = 0.00$

relative Buntheit c^*

relative Buntheit c^*

Ein und Ausgabe: Farbmetrisches Drucker-Reflektiv-System ORS20_95a für relativen CIELAB-Buntton $h^* = lab^*h^* = h_{ab}/360 = 272/360 = 0.755$ $u^* = b00r$
Daten für jede Farbe: lab^*ch^* und lab^*icu^*

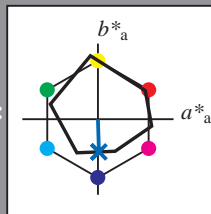
Elementar-Bunttontext:

$u^* = b00r$

Kontrastreduzierungsfaktor:

$c_R = 0.96$

Dreiecks-Helligkeit t^*



ORS20_95a; adaptierte CIELAB-Daten					
	$L^*=L^*_a$	a^*_a	b^*_a	$C^*_{ab,a}$	$h^*_{ab,a}$
O _{Ma}	48.75	62.56	37.91	73.15	31
Y _{Ma}	90.92	-9.88	83.88	84.46	97
L _{Ma}	52.69	-62.9	19.95	66.0	162
C _{Ma}	59.61	-27.85	-44.43	52.45	238
V _{Ma}	28.39	22.72	-42.42	48.13	298
M _{Ma}	49.58	71.08	-9.19	71.67	353
N _{Ma}	20.0	0.0	0.0	0.0	0
W _{Ma}	95.0	0.0	0.0	0.0	0
R _{CIE}	39.92	58.74	27.99	65.07	25
J _{CIE}	81.26	-2.88	71.56	71.62	92
G _{CIE}	52.23	-42.41	13.6	44.55	162
B _{CIE}	30.57	1.41	-46.46	46.49	272

Daten für Maximalfarbe (Ma):

$LAB^*LAB^*_{Ma}$: 42 1 -42

$LAB^*LCH^*_{Ma}$: 42 43 272

$lab^*rgb^*_{Ma}$: 0.0 0.0 1.0

$lab^*olv^*_{Ma}$: 0.0 0.42 1.0

Dreiecks-Helligkeit t^*

%Umfang

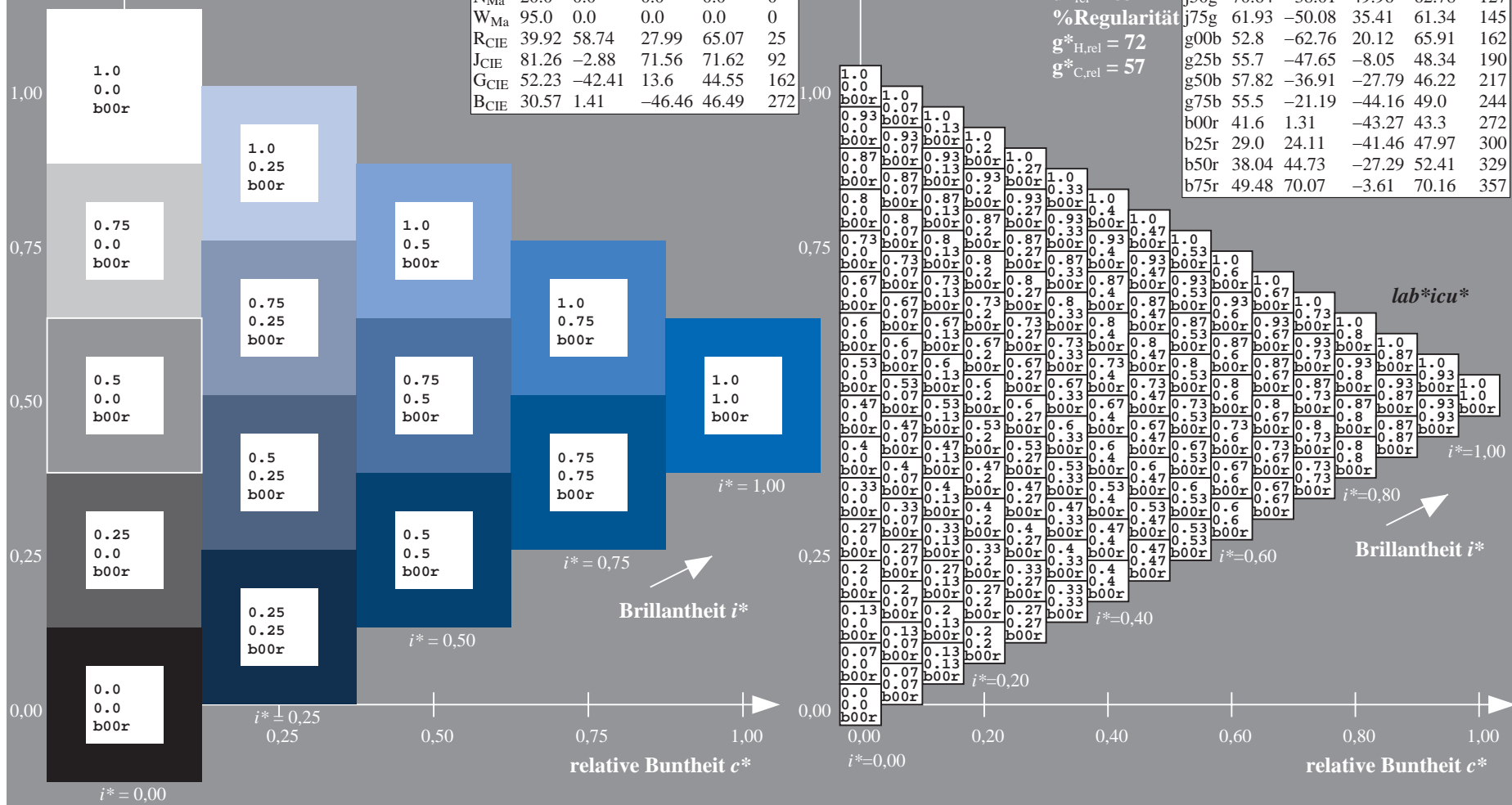
$u^*_{rel} = 83$

%Regularität

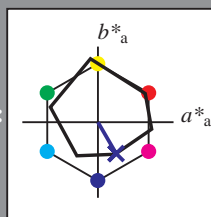
$g^*_{H,rel} = 72$

$g^*_{C,rel} = 57$

ORS20_95a; adaptierte CIELAB-Daten					
	$L^*=L^*_a$	a^*_a	b^*_a	$C^*_{ab,a}$	$h^*_{ab,a}$
r00j	48.88	63.91	30.45	70.79	25
r25j	55.85	50.36	45.65	67.97	42
r50j	65.45	33.86	56.12	65.54	59
r75j	75.19	17.13	66.73	68.89	76
j00g	87.03	-3.21	79.64	79.7	92
j25g	80.72	-24.03	66.82	71.01	110
j50g	70.64	-38.01	49.96	62.78	127
j75g	61.93	-50.08	35.41	61.34	145
g00b	52.8	-62.76	20.12	65.91	162
g25b	55.7	-47.65	-8.05	48.34	190
g50b	57.82	-36.91	-27.79	46.22	217
g75b	55.5	-21.19	-44.16	49.0	244
b00r	41.6	1.31	-43.27	43.3	272
b25r	29.0	24.11	-41.46	47.97	300
b50r	38.04	44.73	-27.29	52.41	329
b75r	49.48	70.07	-3.61	70.16	357



Ein und Ausgabe: Farbmetrisches Drucker-Reflektiv-System ORS20_95a für relativen CIELAB-Buntton $h^* = lab^*h^* = h_{ab}/360 = 300/360 = 0.834$ $u^* = b25r$
Daten für jede Farbe:
 lab^*ch^* und lab^*icu^*
Elementar-Bunttontext:
 $u^* = b25r$
Kontrastreduzierungsfaktor:
 $c_R = 0.96$
Dreiecks-Helligkeit t^*



ORS20_95a; adaptierte CIELAB-Daten					
	$L^*=L^*_a$	a^*_a	b^*_a	$C^*_{ab,a}$	$h^*_{ab,a}$
OMa	48.75	62.56	37.91	73.15	31
YMa	90.92	-9.88	83.88	84.46	97
LMa	52.69	-62.9	19.95	66.0	162
CMa	59.61	-27.85	-44.43	52.45	238
VMa	28.39	22.72	-42.42	48.13	298
MMa	49.58	71.08	-9.19	71.67	353
NMa	20.0	0.0	0.0	0.0	0
WMa	95.0	0.0	0.0	0.0	0
RCIe	39.92	58.74	27.99	65.07	25
JCIe	81.26	-2.88	71.56	71.62	92
GCIe	52.23	-42.41	13.6	44.55	162
BCIe	30.57	1.41	-46.46	46.49	272

Daten für Maximalfarbe (Ma):

LAB^*LAB^*Ma : 29 24 -40

LAB^*LCH^*Ma : 29 48 300

lab^*rgb^*Ma : 0.5 0.0 1.0

lab^*olv^*Ma : 0.03 0.0 1.0

Dreiecks-Helligkeit t^*

%Umfang

$u^*_{rel} = 83$

%Regularität

$g^*_{H,rel} = 72$

$g^*_{C,rel} = 57$

ORS20_95a; adaptierte CIELAB-Daten					
	$L^*=L^*_a$	a^*_a	b^*_a	$C^*_{ab,a}$	$h^*_{ab,a}$
r00j	48.88	63.91	30.45	70.79	25
r25j	55.85	50.36	45.65	67.97	42
r50j	65.45	33.86	56.12	65.54	59
r75j	75.19	17.13	66.73	68.89	76
j00g	87.03	-3.21	79.64	79.7	92
j25g	80.72	-24.03	66.82	71.01	110
j50g	70.64	-38.01	49.96	62.78	127
j75g	61.93	-50.08	35.41	61.34	145
g00b	52.8	-62.76	20.12	65.91	162
g25b	55.7	-47.65	-8.05	48.34	190
g50b	57.82	-36.91	-27.79	46.22	217
g75b	55.5	-21.19	-44.16	49.0	244
b00r	41.6	1.31	-43.27	43.3	272
b25r	29.0	24.11	-41.46	47.97	300
b50r	38.04	44.73	-27.29	52.41	329
b75r	49.48	70.07	-3.61	70.16	357

lab^*icu^*

$i^* = 1.00$

Brillantheit i^*

$i^* = 0.80$

$i^* = 0.60$

$i^* = 0.40$

$i^* = 0.20$

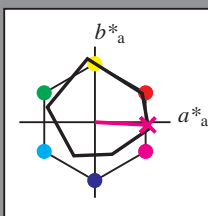
$i^* = 0.00$

relative Buntheit c^*

relative Buntheit c^*

BAM-Registrierung: 20080701-Dg99/10L/L99G00NA.PS/.TXTBAM-Material: Code=rha4ta
Anwendung für Beurteilung und Messung von Drucker- oder Monitorsystemen

Ein und Ausgabe: Farbmetrisches Drucker-Reflektiv-System ORS20_95a für relativen CIELAB-Buntton $h^* = lab^*h^* = h_{ab}/360 = 357/360 = 0.992$ $u^* = b75r$
Daten für jede Farbe:
 lab^*ch^* und lab^*icu^*
Elementar-Bunttontext:
 $u^* = b75r$
Kontrastreduzierungsfaktor:
 $c_R = 0.96$
Dreiecks-Helligkeit t^*



ORS20_95a; adaptierte CIELAB-Daten					
	$L^*=L^*_a$	a^*_a	b^*_a	$C^*_{ab,a}$	$h^*_{ab,a}$
OMa	48.75	62.56	37.91	73.15	31
YMa	90.92	-9.88	83.88	84.46	97
LMa	52.69	-62.9	19.95	66.0	162
CMa	59.61	-27.85	-44.43	52.45	238
VMa	28.39	22.72	-42.42	48.13	298
MMa	49.58	71.08	-9.19	71.67	353
NMa	20.0	0.0	0.0	0.0	0
WMa	95.0	0.0	0.0	0.0	0
R_CIE	39.92	58.74	27.99	65.07	25
J_CIE	81.26	-2.88	71.56	71.62	92
G_CIE	52.23	-42.41	13.6	44.55	162
B_CIE	30.57	1.41	-46.46	46.49	272

Daten für Maximalfarbe (Ma):

$LAB^*LAB^*_{Ma}$: 49 70 -3

$LAB^*LCH^*_{Ma}$: 49 70 357

$lab^*rgb^*_{Ma}$: 1.0 0.0 0.5

$lab^*olv^*_{Ma}$: 1.0 0.0 0.88

Dreiecks-Helligkeit t^*

%Umfang

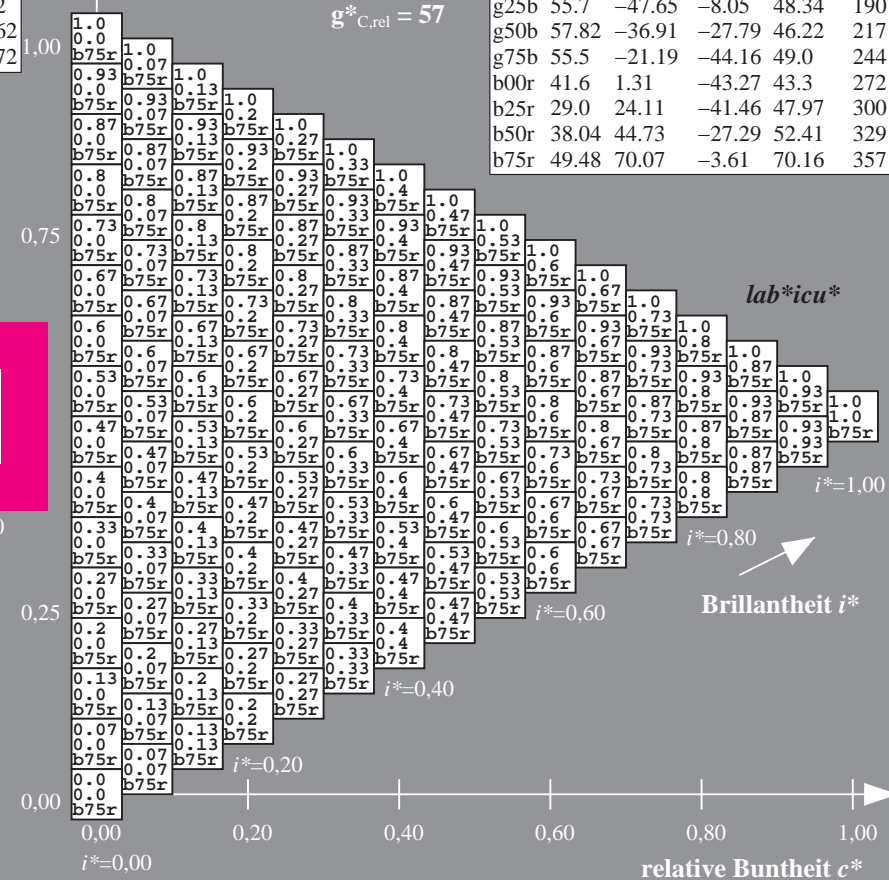
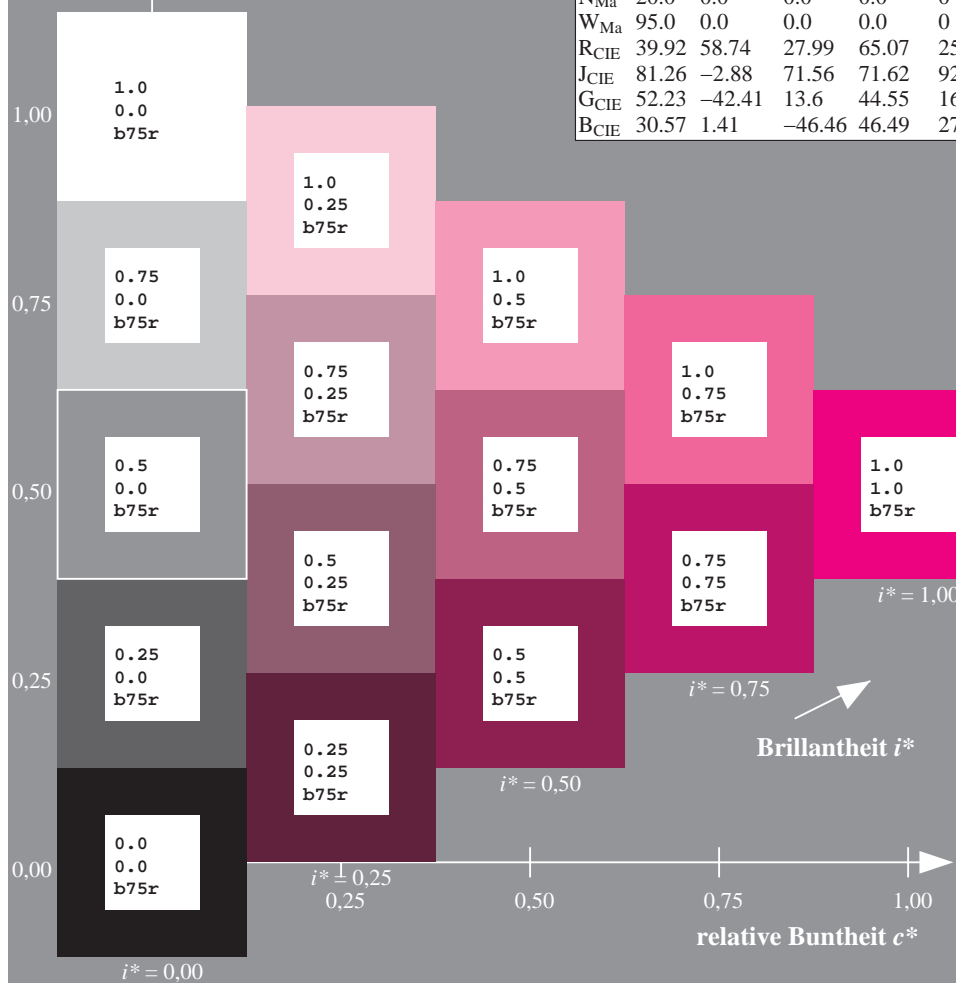
$u^*_{rel} = 83$

%Regularität

$g^*_{H,rel} = 72$

$g^*_{C,rel} = 57$

ORS20_95a; adaptierte CIELAB-Daten					
	$L^*=L^*_a$	a^*_a	b^*_a	$C^*_{ab,a}$	$h^*_{ab,a}$
r00j	48.88	63.91	30.45	70.79	25
r25j	55.85	50.36	45.65	67.97	42
r50j	65.45	33.86	56.12	65.54	59
r75j	75.19	17.13	66.73	68.89	76
j00g	87.03	-3.21	79.64	79.7	92
j25g	80.72	-24.03	66.82	71.01	110
j50g	70.64	-38.01	49.96	62.78	127
j75g	61.93	-50.08	35.41	61.34	145
g00b	52.8	-62.76	20.12	65.91	162
g25b	55.7	-47.65	-8.05	48.34	190
g50b	57.82	-36.91	-27.79	46.22	217
g75b	55.5	-21.19	-44.16	49.0	244
b00r	41.6	1.31	-43.27	43.3	272
b25r	29.0	24.11	-41.46	47.97	300
b50r	38.04	44.73	-27.29	52.41	329
b75r	49.48	70.07	-3.61	70.16	357



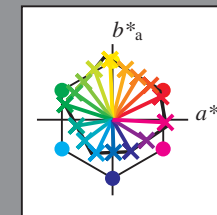
Siehe ähnliche Dateien: <http://www.ps.bam.de/Dg99/>; www.ps.bam.de/Dg99/10L/L99G00NA.PS/.TXT
Technische Information: [http://www.ps.bam.de/Version 2.1, io=1,1, ColSpX=1](http://www.ps.bam.de/Version%202.1,io=1,1,ColSpX=1)

	A	B	C	D	E	F	G	H	I	J	K	L	M	N	O	P	Q	R	S	T	U	V	W	X	Y	Z	a	b	c	d	e	f	g	h	i	j	k	lab*icu*					
01	0.0	0.13	0.25	0.38	0.5	0.63	0.75	0.88	1.0	0.13	0.13	0.25	0.38	0.5	0.63	0.75	0.88	1.0	0.25	0.25	0.25	0.38	0.5	0.63	0.75	0.88	1.0	1.0	1.0	1.0	1.0	1.0	1.0	1.0	1.0	1.0	0.0	0.0	0.0	0.0			
	g94b	g00b	g00b	g00b	g00b	g00b	g00b	g00b	g00b	r08j	j06g	j46g	j64g	j73g	j78g	j82g	j84g	j86g	r08j	r60j	j06g	j30g	j46g	j56g	j64g	j69g	j73g	g94b	r08j	r08j	r08j	r08j	r08j	r08j	r08j	r08j	r08j	g94b	g94b	g94b	g94b		
02	0.13	0.13	0.25	0.38	0.5	0.63	0.75	0.88	1.0	0.13	0.13	0.25	0.38	0.5	0.63	0.75	0.88	1.0	0.25	0.25	0.25	0.38	0.5	0.63	0.75	0.88	1.0	1.0	0.88	0.88	0.88	0.88	0.88	0.88	0.88	0.88	0.88	0.13	0.13	0.13	0.13		
	b23r	g68b	g29b	g17b	g12b	g09b	g07b	g06b	g05b	b70r	g94b	g00b	g00b	g00b	g00b	g00b	g00b	g00b	b87r	r08j	j06g	j46g	j56g	j64g	j82g	j84g	g68b	g94b	r08j	r08j	r08j	r08j	r08j	r08j	r08j	r08j	r08j	r08j	g94b	g94b	g94b	g94b	
03	0.25	0.25	0.25	0.38	0.5	0.63	0.75	0.88	1.0	0.25	0.25	0.25	0.38	0.5	0.63	0.75	0.88	1.0	0.25	0.25	0.25	0.38	0.5	0.63	0.75	0.88	1.0	1.0	0.88	0.75	0.75	0.75	0.75	0.75	0.75	0.75	0.75	0.75	0.25	0.25	0.25	0.25	
	b23r	g94b	g68b	g43b	g29b	0.5	0.62	0.75	0.87	1.0	0.25	0.13	0.25	0.38	0.5	0.63	0.75	0.87	0.87	b70r	b70r	0.0	0.13	0.25	0.38	0.5	0.63	0.75	0.25	0.13	0.0	0.13	0.25	0.38	0.5	0.63	0.75	0.0	0.0	0.0	0.0		
04	0.38	0.38	0.38	0.38	0.5	0.63	0.75	0.88	1.0	0.38	0.38	0.38	0.38	0.5	0.63	0.75	0.88	1.0	0.38	0.38	0.38	0.38	0.5	0.63	0.75	0.88	1.0	1.0	0.88	0.75	0.63	0.63	0.63	0.63	0.63	0.63	0.38	0.38	0.38	0.38			
	b23r	b05r	g94b	g68b	g50b	g37g	g29b	g24b	g20b	b42r	b23r	g94b	g68b	g43b	g29b	g22b	g17b	g14b	b59r	b51r	b23r	g68b	g29b	g17b	g12b	g09b	g07b	g68b	g68b	g68b	g94b	r08j	r08j	r08j	r08j	r08j	r08j	g94b	g94b	g94b	g94b		
05	0.5	0.5	0.5	0.5	0.5	0.63	0.75	0.88	1.0	0.5	0.5	0.5	0.5	0.5	0.63	0.75	0.88	1.0	0.5	0.5	0.5	0.5	0.5	0.63	0.75	0.88	1.0	1.0	0.88	0.75	0.63	0.63	0.63	0.63	0.63	0.63	0.5	0.5	0.5	0.5			
	b23r	b09r	g94b	g80b	g68b	g54b	g43b	g35b	g29b	b38r	b23r	b05r	g94b	g68b	g50b	g37b	g29b	g24b	b51r	b42r	b23r	g94b	g68b	g43b	g29b	g22b	g17b	g68b	g68b	g68b	g94b	r08j	r08j	r08j	r08j	r08j	r08j	g94b	g94b	g94b	g94b		
06	0.63	0.63	0.63	0.63	0.63	0.63	0.63	0.63	0.63	0.63	0.63	0.63	0.63	0.63	0.63	0.63	0.63	0.63	0.63	0.63	0.63	0.63	0.63	0.63	0.63	0.63	0.63	0.63	0.63	0.63	0.63	0.63	0.63	0.63	0.63	0.63	0.63	0.63	0.63	0.63			
	b23r	b12r	b01r	g68b	g77b	g68b	g56b	g47b	g39b	b35r	b23r	b09r	g94b	g80b	g68b	g54b	g43b	g35b	b46r	b38r	b23r	b05r	g94b	g68b	g50b	g37b	g29b	g68b	g68b	g68b	g94b	r08j	r08j	r08j	r08j	r08j	r08j	g94b	g94b	g94b	g94b		
07	0.75	0.75	0.75	0.75	0.75	0.75	0.75	0.75	0.88	1.0	0.75	0.75	0.75	0.75	0.75	0.75	0.75	0.88	1.0	0.75	0.75	0.75	0.75	0.75	0.75	0.88	1.0	1.0	0.88	0.75	0.63	0.5	0.38	0.25	0.25	0.25	0.75	0.75	0.75	0.75			
	b23r	b14r	b05r	g94b	g84b	g84b	g75b	g68b	g58b	g50b	b33r	b23r	b12r	b01r	g88b	g77b	g68b	g56b	g47b	b42r	b35r	b23r	b09r	g94b	g80b	g68b	g54b	g43b	g68b	g68b	g68b	g94b	r08j	r08j	r08j	r08j	r08j	r08j	g94b	g94b	g94b	g94b	
08	0.88	0.88	0.88	0.88	0.88	0.88	0.88	0.88	0.88	1.0	0.88	0.88	0.88	0.88	0.88	0.88	0.88	0.88	1.0	0.88	0.88	0.88	0.88	0.88	0.88	0.88	0.88	1.0	1.0	0.88	0.75	0.63	0.5	0.38	0.25	0.13	0.13	0.88	0.88	0.88	0.88		
	b23r	b15r	b07r	g98b	g90b	g82b	g74b	g68b	g59b	b31r	b23r	b14r	b05r	g94b	g84b	g75b	g68b	g58b	b40r	b33r	b23r	b12r	b01r	g88b	g77b	g68b	g56b	g68b	g68b	g68b	g94b	r08j	r08j	r08j	r08j	r08j	r08j	g94b	g94b	g94b	g94b		
09	1.0	1.0	1.0	1.0	1.0	1.0	1.0	1.0	1.0	1.0	1.0	1.0	1.0	1.0	1.0	1.0	1.0	1.0	1.0	1.0	1.0	1.0	1.0	1.0	1.0	1.0	1.0	1.0	1.0	1.0	1.0	1.0	1.0	1.0	1.0	1.0	1.0	1.0	1.0	1.0			
	b23r	b16r	b09r	b02r	g94b	g87b	g80b	g73b	g68b	b30r	b23r	b15r	b07r	g98b	g90b	g82b	g74b	g68b	b38r	b31r	b12r	b14r	b05r	g94b	g84b	g75b	g68b	g68b	g68b	g68b	g68b	g68b	g68b	g68b	g68b	g68b	g68b	g68b	g68b	g68b	g68b		
10	0.38	0.38	0.38	0.38	0.5	0.63	0.75	0.88	1.0	0.5	0.5	0.5	0.5	0.5	0.63	0.75	0.88	1.0	0.63	0.63	0.63	0.63	0.63	0.63	0.63	0.63	0.63	0.63	0.63	0.63	0.63	0.63	0.63	0.63	0.63	0.63	0.63	0.63	0.63	0.63	0.63	0.63	
	r08j	r42j	r78j	j06g	j23g	j36g	j46g	j53g	j59g	r08j	r33j	r60j	r85j	j06g	j19g	j30g	j39g	j46g	r08j	r28j	r49j	r71j	r90j	j06g	j17g	j26g	j34g	g94b	j06g	j06g	j06g	j06g	j06g	j06g	j06g	j06g	j06g	j06g	j06g	j06g	j06g	j06g	
11	0.37	0.25	0.25	0.25	0.38	0.5	0.63	0.75	0.88	1.0	0.37	0.38	0.38	0.5	0.63	0.75	0.88	1.0	0.63	0.63	0.63	0.63	0.63	0.63	0.63	0.63	0.63	0.63	0.63	0.63	0.63	0.63	0.63	0.63	0.63	0.63	0.63	0.63	0.63	0.63	0.63	0.63	
	b93r	r08j	r60j	j06g	j30g	j46g	j56g	j64g	j69g	b95r	r08j	r42j	r78j	j06g	j23g	j36g	j46g	j53g	b92r	r08j	r33j	r60j	r85j	j06g	j19g	j30g	j39g	j42j	r33r	g94b	j06g	j06g	j06g	j06g	j06g	j06g	j06g	j06g	j06g	j06g	j06g	j06g	
12	0.38	0.38	0.38	0.38	0.5	0.63	0.75	0.88	1.0	0.5	0.5	0.5	0.5	0.5	0.63	0.75	0.88	1.0	0.63	0.63	0.63	0.63	0.63	0.63	0.63	0.63	0.63	0.63	0.63	0.63	0.63	0.63	0.63	0.63	0.63	0.63	0.63	0.63	0.63	0.63	0.63	0.63	
	b81r	b87r	r08j	j06g	j46g	j64g	j73g	j78g	j82g	b87r	b93r	r08j	r60j	j06g	j30g	j46g	j56g	j64g	b90r	b95r	r08j	r42j	r78j	j06g	j23g	j36g	j46g	b23r	b23r	g94b	j06g	j06g	j06g	j06g	j06g	j06g	j06g	j06g	j06g	j06g	j06g	j06g	
13	0.38	0.38	0.38	0.38	0.5	0.63	0.75	0.88	1.0	0.5	0.5	0.5	0.5	0.5	0.63	0.75	0.88	1.0	0.63	0.63	0.63	0.63	0.63	0.63	0.63	0.63	0.63	0.63	0.63	0.63	0.63	0.63	0.63	0.63	0.63	0.63	0.63	0.63	0.63	0.63	0.63	0.63	
	b70r	b70r	b70r	g94b	g00b	g00b	g00b	g00b	g00b	b78r	b81r	b87r	r08j	j06g	j46g	j64g	j73g	j78g	b83r	b87r	b93r	r60j	j06g	j30g	j46g	j56g	b23r	b23r	b23r	g94b	j06g	j06g	j06g	j06g	j06g	j06g	j06g	j06g	j06g	j06g	j06g	j06g	
14	0.5	0.5	0.5	0.5	0.5	0.63	0.75	0.88	1.0	0.5	0.5	0.5	0.5	0.5	0.63	0.75	0.88	1.0	0.63	0.63	0.63	0.63	0.63	0.63	0.63	0.63	0.63	0.63	0.63	0.63	0.63	0.63	0.63	0.63	0.63	0.63	0.63	0.63	0.63	0.63	0.63	0.63	
	b62r	b59r	b51r	b23r	g68b	g29b	g17b	g12b	g09b	b70r	b70r	b70r	b70r	g94b	g00b	g00b	g00b	g00b	b76r	b78r	b81r	b87r	r08j	j06g	j46g	j64g	j73g	b23r	b23r	b23r	g94b	j06g	j06g	j06g	j06g	j06g	j06g	j06g	j06g	j06g	j06g	j06g	j06g
15	0.63	0.63	0.63	0.63	0.63	0.63	0.63	0.63	0.63	0.63	0.63	0.63	0.63	0.63	0.63	0.63	0.63	0.63	0.63	0.63	0.63	0.63	0.63	0.63	0.63	0.63	0.63	0.63	0.63	0.63	0.63	0.63	0.63	0.63	0.63	0.63	0.63	0.63	0.63	0.63	0.63	0.63	
	b56r	b51r	b42r	b23r	g94b	g68b	g43b	g29b	g22b	b64r	b62r	b59r	b51r	b23r	g68b	g29b	g17b	g12b	b70r	b70r	b70r	b70r	g94b	g00b	g00b	g00b	g00b	g00b	g00b	g00b	g00b	g00b	g00b	g00b	g00b	g00b	g00b	g00b	g00b	g00b	g00b	g00b	g00b
16	0.75	0.75	0.75	0.75	0.75	0.75	0.75	0.75	0.88	1.0	0.75	0.75	0.75	0.75	0.75	0.75	0.75	0.88	1.0	0.75	0.75	0.75	0.75	0.75	0.75	0.75	0.88	1.0	1.0	0.88	0.75	0.63	0.5	0.38	0.25	0.25	0.25	0.75	0.75	0.75	0.75		
	b59r	b46r	b38r	b23r	b05r	g94b	g68b	g50b	g37b	b59r	b56r	b51r	b42r	b23r	g94b	g68b	g43b	g29b	b65r	b64r	b62r	b59r	b51r	b23r	g68b	g29b	g17b	b23r	b23r	b23r	b23r	b23r	b23r	b23r	b23r	b23r	b23r	b23r	b23r	b23r	b23r	b23r	b23r
17	0.87	0.87	0.87	0.88	0.88	0.88	0.88	0.88	0.88	1.0	0.87	0.87	0.87	0.87	0.87	0.88	0.88	0.88	1.0	0.87	0.87	0.87	0.87	0.87	0.87	0.87	0.88	1.0	1.0	0.88	0.75	0.63	0.5	0.38	0.25	0.25	0.25	0.87	0.87	0.87	0.87		
	b48r	b42r	b35r	b23r	b09r	g94b	g80b	g68b	g54b	b55r	b51r	b46r	b38r	b2																													

BAM-Registrierung: 20080701-Dg99/10L/L99G00NA.PS/.TXTBAM-Material: Code=rh4ta
Anwendung für Beurteilung und Messung von Drucker- oder Monitorsystemen

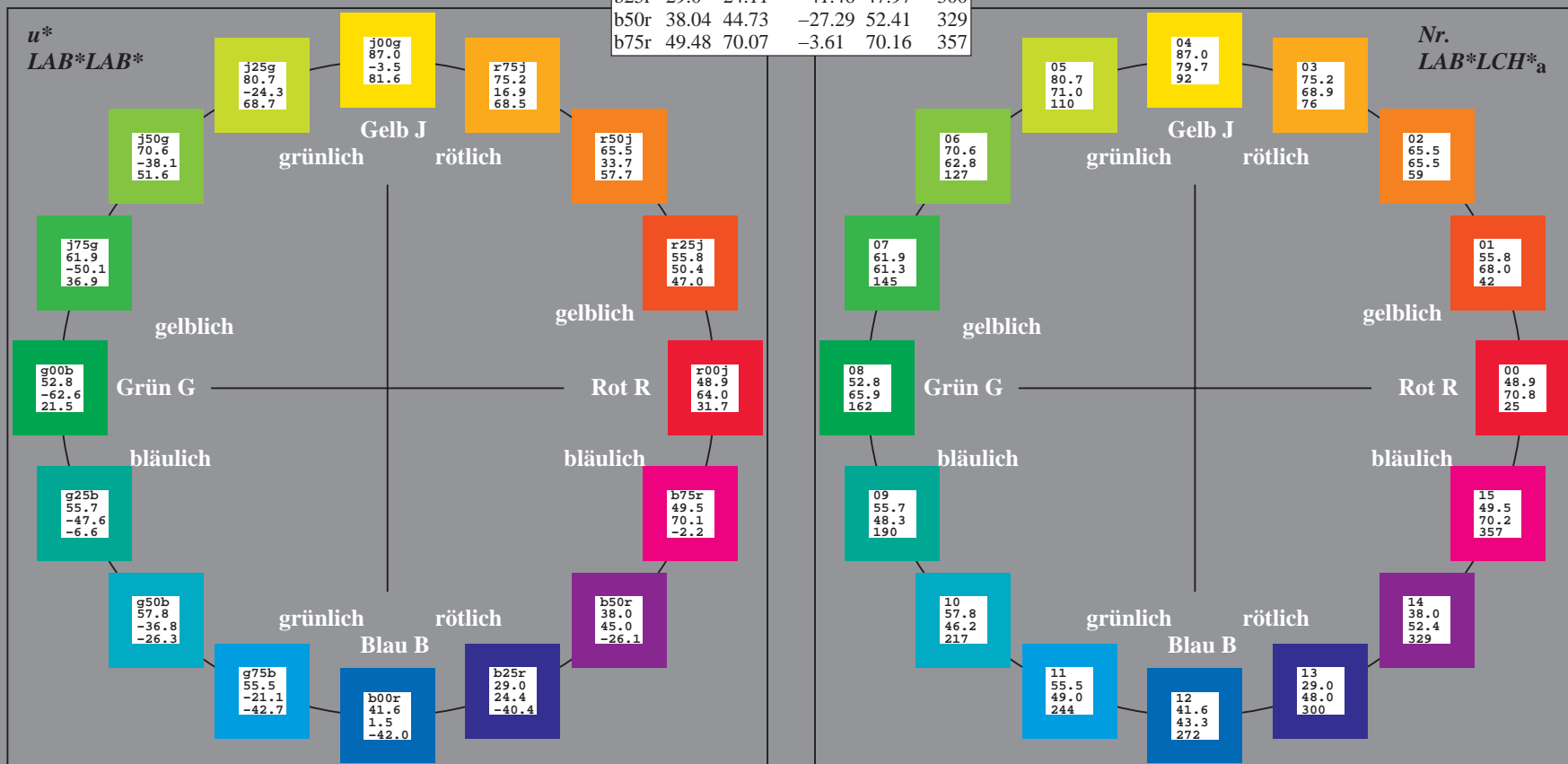
Ein und Ausgabe:
Farbmetrisches Drucker-Reflektiv-System ORS20_95a
Daten für jede Farbe:
*lab*_{ch}** und *lab*_{icu}**
Elementar-Bunntontext:
*u** = 16 Bunttöne *r00j*, *r25j*, ..., *b75r*
Kontrastreduzierungsfaktor:
 $c_R = 0.96$

ORS20_95a; adaptierte CIELAB-Daten					
	$L^*=L^*_a$	a^*_a	b^*_a	$C^*_{ab,a}$	$h^*_{ab,a}$
r00j	48.88	63.91	30.45	70.79	25
r25j	55.85	50.36	45.65	67.97	42
r50j	65.45	33.86	56.12	65.54	59
r75j	75.19	17.13	66.73	68.89	76
j00g	87.03	-3.21	79.64	79.7	92
j25g	80.72	-24.03	66.82	71.01	110
j50g	70.64	-38.01	49.96	62.78	127
j75g	61.93	-50.08	35.41	61.34	145
g00b	52.8	-62.76	20.12	65.91	162
g25b	55.7	-47.65	-8.05	48.34	190
g50b	57.82	-36.91	-27.79	46.22	217
g75b	55.5	-21.19	-44.16	49.0	244
b00r	41.6	1.31	-43.27	43.3	272
b25r	29.0	24.11	-41.46	47.97	300
b50r	38.04	44.73	-27.29	52.41	329
b75r	49.48	70.07	-3.61	70.16	357



%Umfang
 $u^*_{rel} = 83$
%Regularität
 $g^*_{H,rel} = 72$
 $g^*_{C,rel} = 57$

ORS20_95; CIELAB-Daten					
	$L^*=L^*_a$	a^*_a	b^*_a	C^*_{ab}	h^*_{ab}
O _M	48.75	62.65	39.19	73.89	32
Y _M	90.92	-10.35	85.91	86.53	97
L _M	52.69	-62.87	21.3	66.38	161
C _M	59.61	-27.91	-42.96	51.24	237
V _M	28.39	23.07	-41.5	47.5	299
M _M	49.58	71.15	-7.89	71.59	354
N _M	20.0	0.47	0.76	0.89	58
W _M	95.0	-0.51	2.11	2.17	104
R _{CIE}	39.92	58.74	27.99	65.07	25
J _{CIE}	81.26	-2.88	71.56	71.62	92
G _{CIE}	52.23	-42.41	13.6	44.55	162
B _{CIE}	30.57	1.41	-46.46	46.49	272



Ein und Ausgabe: Farbmetrisches Drucker-Reflektiv-System ORS20_95a für relativen CIELAB-Buntton $h^* = lab^*h^* = h_{ab}/360 = 25/360 = 0.071$ $u^* = r00j$

Daten für jede Farbe:

lab^*ch^* und lab^*icu^*

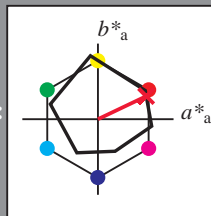
Elementar-Bunttontext:

$u^* = r00j$

Kontrastreduzierungsfaktor:

$c_R = 0.96$

Dreiecks-Helligkeit i^*



ORS20_95; CIELAB-Daten					
	$L^*=L^*$	a^*	b^*	C^*_{ab}	h^*_{ab}
O _M	48.75	62.65	39.19	73.89	32
Y _M	90.92	-10.35	85.91	86.53	97
L _M	52.69	-62.87	21.3	66.38	161
C _M	59.61	-27.91	-42.96	51.24	237
V _M	28.39	23.07	-41.5	47.5	299
M _M	49.58	71.15	-7.89	71.59	354
N _M	20.0	0.47	0.76	0.89	58
W _M	95.0	-0.51	2.11	2.17	104
R _{CIE}	39.92	58.74	27.99	65.07	25
J _{CIE}	81.26	-2.88	71.56	71.62	92
G _{CIE}	52.23	-42.41	13.6	44.55	162
B _{CIE}	30.57	1.41	-46.46	46.49	272

Daten für Maximalfarbe (Ma):

$LAB^*LAB^*_{Ma}$: 49 64 30

$LAB^*LCH^*_{Ma}$: 49 71 25

$lab^*rgb^*_{Ma}$: 1.0 0.0 0.0

$lab^*olv^*_{Ma}$: 1.0 0.0 0.16

Dreiecks-Helligkeit i^*

%Umfang

$u^*_{rel} = 83$

%Regularität

$g^*_{H,rel} = 72$

$g^*_{C,rel} = 57$

ORS20_95a; adaptierte CIELAB-Daten					
	$L^*=L^*$	a^*_a	b^*_a	$C^*_{ab,a}$	$h^*_{ab,a}$
r00j	48.88	63.91	30.45	70.79	25
r25j	55.85	50.36	45.65	67.97	42
r50j	65.45	33.86	56.12	65.54	59
r75j	75.19	17.13	66.73	68.89	76
j00g	87.03	-3.21	79.64	79.7	92
j25g	80.72	-24.03	66.82	71.01	110
j50g	70.64	-38.01	49.96	62.78	127
j75g	61.93	-50.08	35.41	61.34	145
g00b	52.8	-62.76	20.12	65.91	162
g25b	55.7	-47.65	-8.05	48.34	190
g50b	57.82	-36.91	-27.79	46.22	217
g75b	55.5	-21.19	-44.16	49.0	244
b00r	41.6	1.31	-43.27	43.3	272
b25r	29.0	24.11	-41.46	47.97	300
b50r	38.04	44.73	-27.29	52.41	329
b75r	49.48	70.07	-3.61	70.16	357

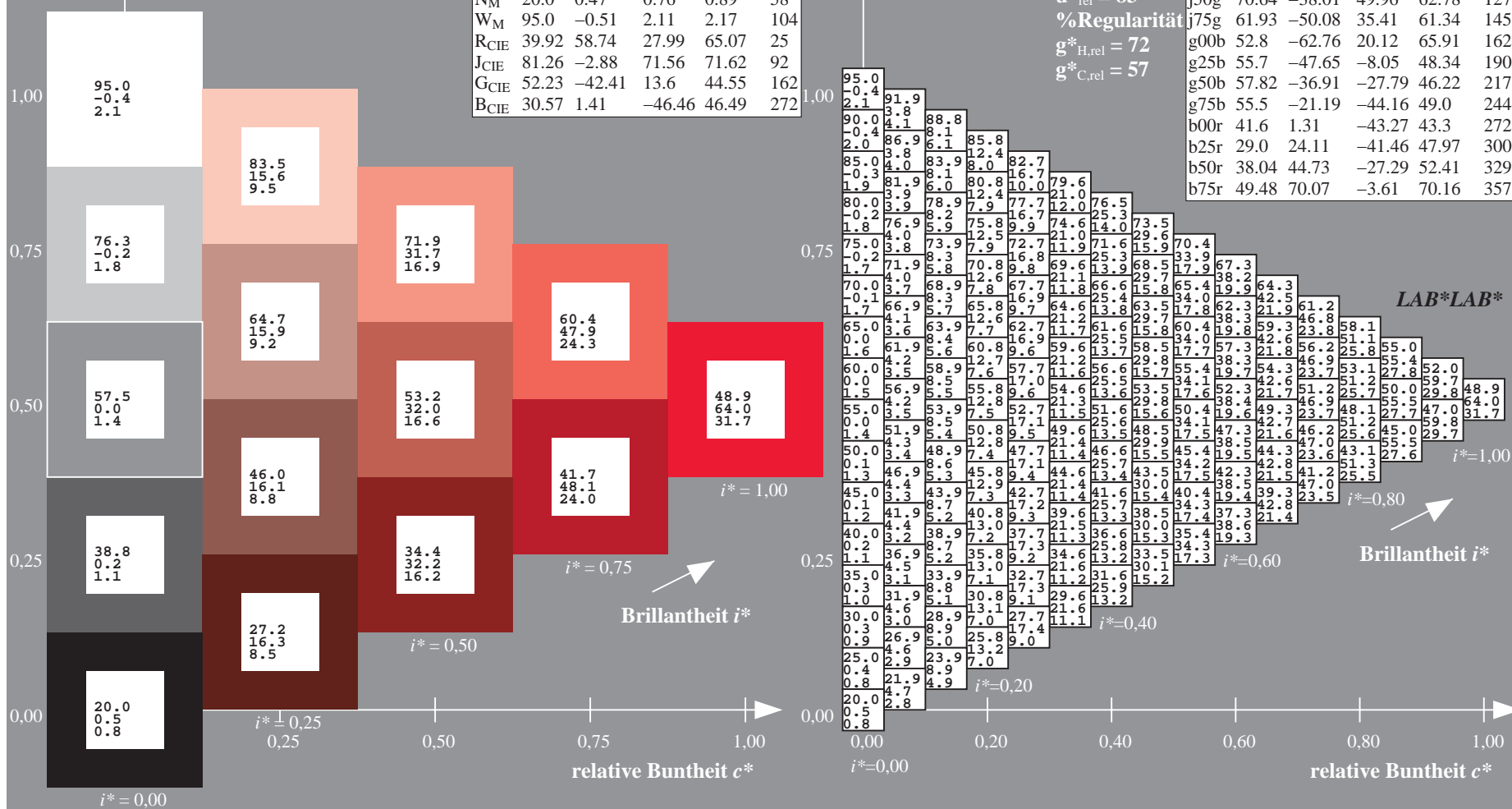
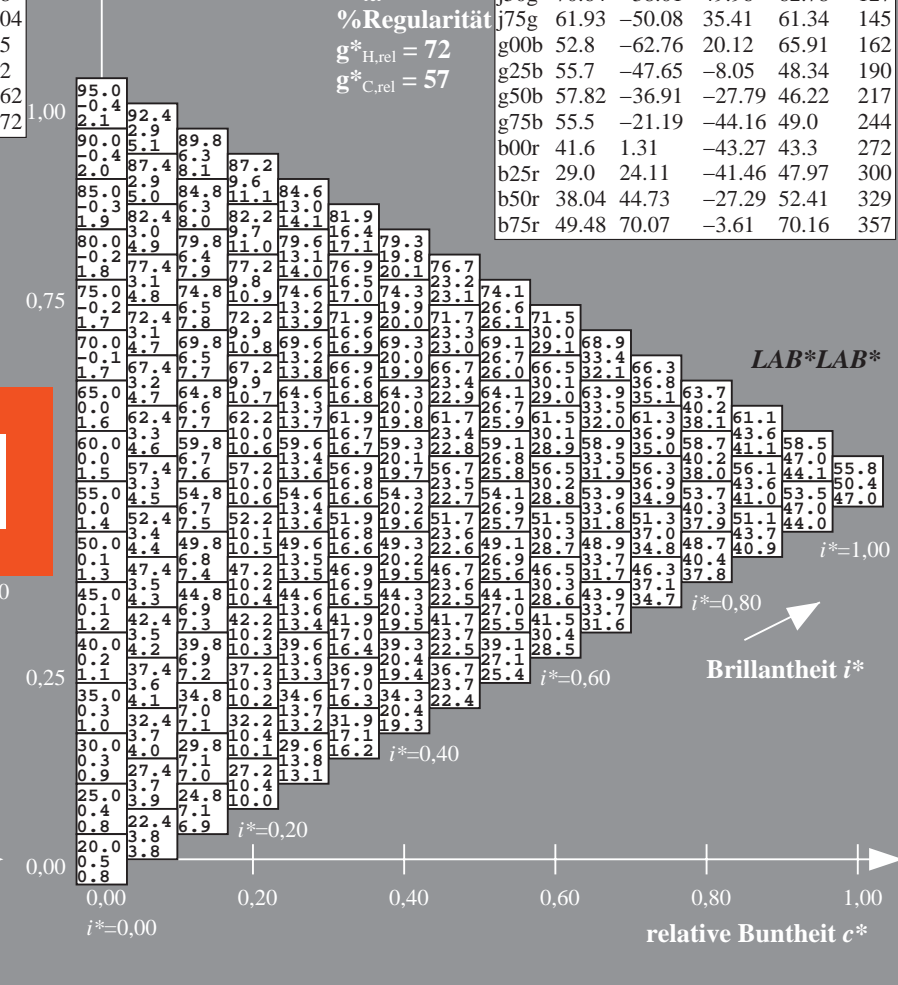


Figure 1



r00j	48.88	63.91	30.45	70.79	25
r25j	55.85	50.36	45.65	67.97	42
r50j	65.45	33.86	56.12	65.54	59
r75j	75.19	17.13	66.73	68.89	76
j00g	87.03	-3.21	79.64	79.7	92
j25g	80.72	-24.03	66.82	71.01	110
j50g	70.64	-38.01	49.96	62.78	127
j75g	61.93	-50.08	35.41	61.34	145
g00b	52.8	-62.76	20.12	65.91	162
g25b	55.7	-47.65	-8.05	48.34	190
g50b	57.82	-36.91	-27.79	46.22	217
g75b	55.5	-21.19	-44.16	49.0	244
b00r	41.6	1.31	-43.27	43.3	272
b25r	29.0	24.11	-41.46	47.97	300
b50r	38.04	44.73	-27.29	52.41	329
b75r	49.48	70.07	-3.61	70.16	357



Ausgabe: $\rightarrow cmy\mathbf{n}5^* setcmykcolor$

Ein und Ausgabe: Farbmetrisches Drucker-Reflektiv-System ORS20_95a für relativen CIELAB-Buntton $h^* = lab^*h^* = h_{ab}/360 = 59/360 = 0.164$ $u^* = r50j$

Daten für jede Farbe:

lab^*ch^* und lab^*icu^*

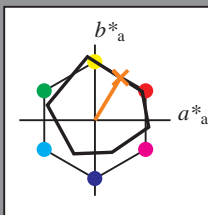
Elementar-Bunttontext:

$u^* = r50j$

Kontrastreduzierungsfaktor:

$c_R = 0.96$

Dreiecks-Helligkeit t^*



ORS20_95; CIELAB-Daten					
	$L^*=L^*$	a^*	b^*	C^*_{ab}	h^*_{ab}
O _M	48.75	62.65	39.19	73.89	32
Y _M	90.92	-10.35	85.91	86.53	97
L _M	52.69	-62.87	21.3	66.38	161
C _M	59.61	-27.91	-42.96	51.24	237
V _M	28.39	23.07	-41.5	47.5	299
M _M	49.58	71.15	-7.89	71.59	354
N _M	20.0	0.47	0.76	0.89	58
W _M	95.0	-0.51	2.11	2.17	104
R _{CIE}	39.92	58.74	27.99	65.07	25
J _{CIE}	81.26	-2.88	71.56	71.62	92
G _{CIE}	52.23	-42.41	13.6	44.55	162
B _{CIE}	30.57	1.41	-46.46	46.49	272

Daten für Maximalfarbe (Ma):

LAB^*LAB^*Ma : 65 34 56

LAB^*LCH^*Ma : 65 66 59

lab^*rgb^*Ma : 1.0 0.5 0.0

lab^*olv^*Ma : 1.0 0.4 0.0

Dreiecks-Helligkeit t^*

%Umfang

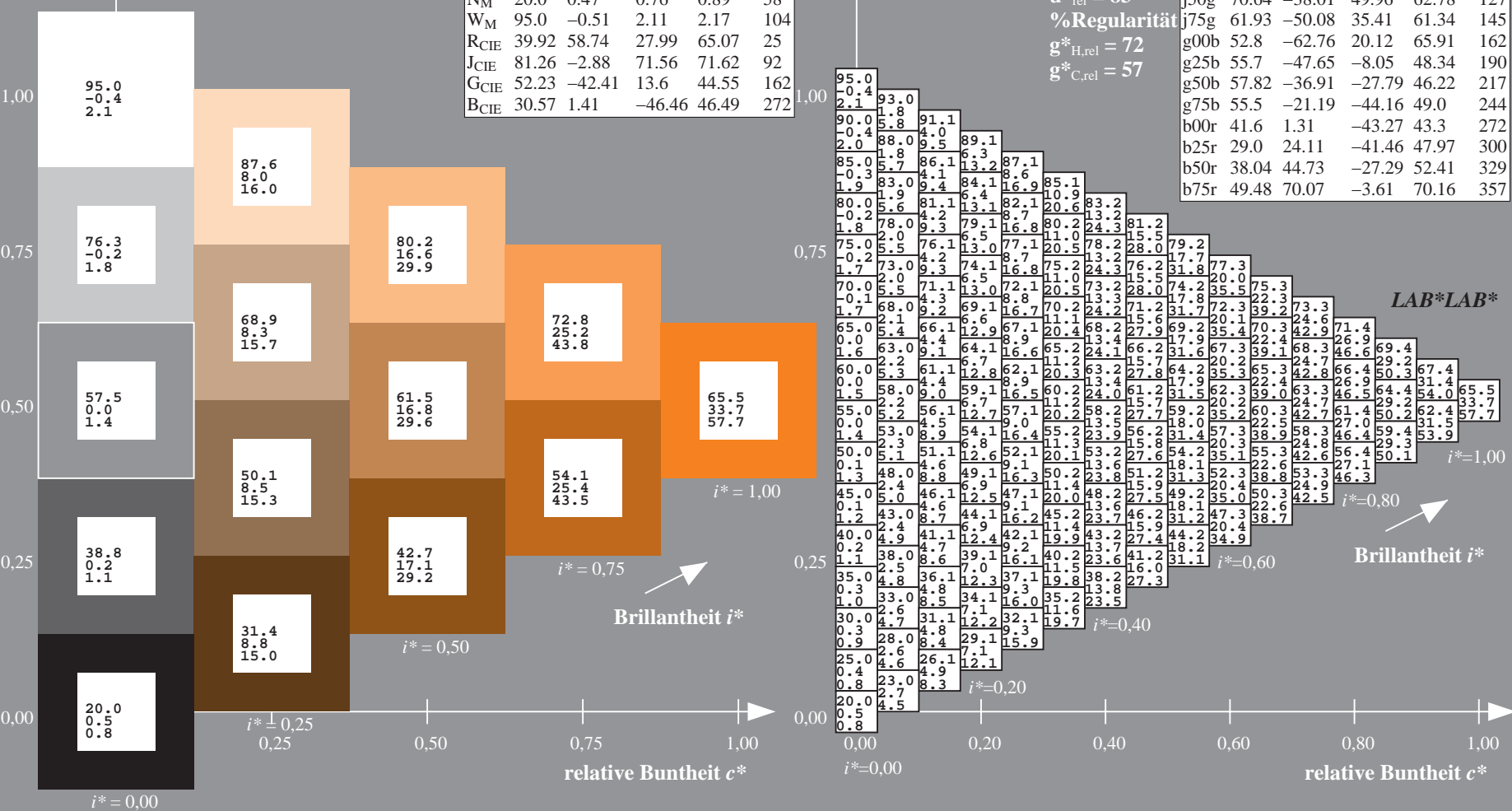
$u^*_{rel} = 83$

%Regularität

$g^*_{H,rel} = 72$

$g^*_{C,rel} = 57$

ORS20_95a; adaptierte CIELAB-Daten					
	$L^*=L^*_a$	a^*_a	b^*_a	$C^*_{ab,a}$	$h^*_{ab,a}$
r00j	48.88	63.91	30.45	70.79	25
r25j	55.85	50.36	45.65	67.97	42
r50j	65.45	33.86	56.12	65.54	59
r75j	75.19	17.13	66.73	68.89	76
j00g	87.03	-3.21	79.64	79.7	92
j25g	80.72	-24.03	66.82	71.01	110
j50g	70.64	-38.01	49.96	62.78	127
j75g	61.93	-50.08	35.41	61.34	145
g00b	52.8	-62.76	20.12	65.91	162
g25b	55.7	-47.65	-8.05	48.34	190
g50b	57.82	-36.91	-27.79	46.22	217
g75b	55.5	-21.19	-44.16	49.0	244
b00r	41.6	1.31	-43.27	43.3	272
b25r	29.0	24.11	-41.46	47.97	300
b50r	38.04	44.73	-27.29	52.41	329
b75r	49.48	70.07	-3.61	70.16	357



Ein und Ausgabe: Farbmetrisches Drucker-Reflektiv-System ORS20_95a für relativen CIELAB-Buntton $h^* = lab^*h^* = h_{ab}/360 = 76/360 = 0.21$ $u^* = r75j$
Daten für jede Farbe: lab^*ch^* und lab^*icu^*

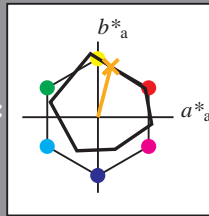
Elementar-Bunttontext:

$u^* = r75j$

Kontrastreduzierungsfaktor:

$c_R = 0.96$

Dreiecks-Helligkeit i^*



ORS20_95; CIELAB-Daten					
	$L^*=L^*$	a^*	b^*	C^*_{ab}	h^*_{ab}
O _M	48.75	62.65	39.19	73.89	32
Y _M	90.92	-10.35	85.91	86.53	97
L _M	52.69	-62.87	21.3	66.38	161
C _M	59.61	-27.91	-42.96	51.24	237
V _M	28.39	23.07	-41.5	47.5	299
M _M	49.58	71.15	-7.89	71.59	354
N _M	20.0	0.47	0.76	0.89	58
W _M	95.0	-0.51	2.11	2.17	104
R _{CIE}	39.92	58.74	27.99	65.07	25
J _{CIE}	81.26	-2.88	71.56	71.62	92
G _{CIE}	52.23	-42.41	13.6	44.55	162
B _{CIE}	30.57	1.41	-46.46	46.49	272

Daten für Maximalfarbe (Ma):

$LAB^*LAB^*Ma: 75\ 17\ 67$

$LAB^*LCH^*Ma: 75\ 69\ 76$

$lab^*rgb^*Ma: 1.0\ 0.75\ 0.0$

$lab^*olv^*Ma: 1.0\ 0.63\ 0.0$

Dreiecks-Helligkeit i^*

%Umfang

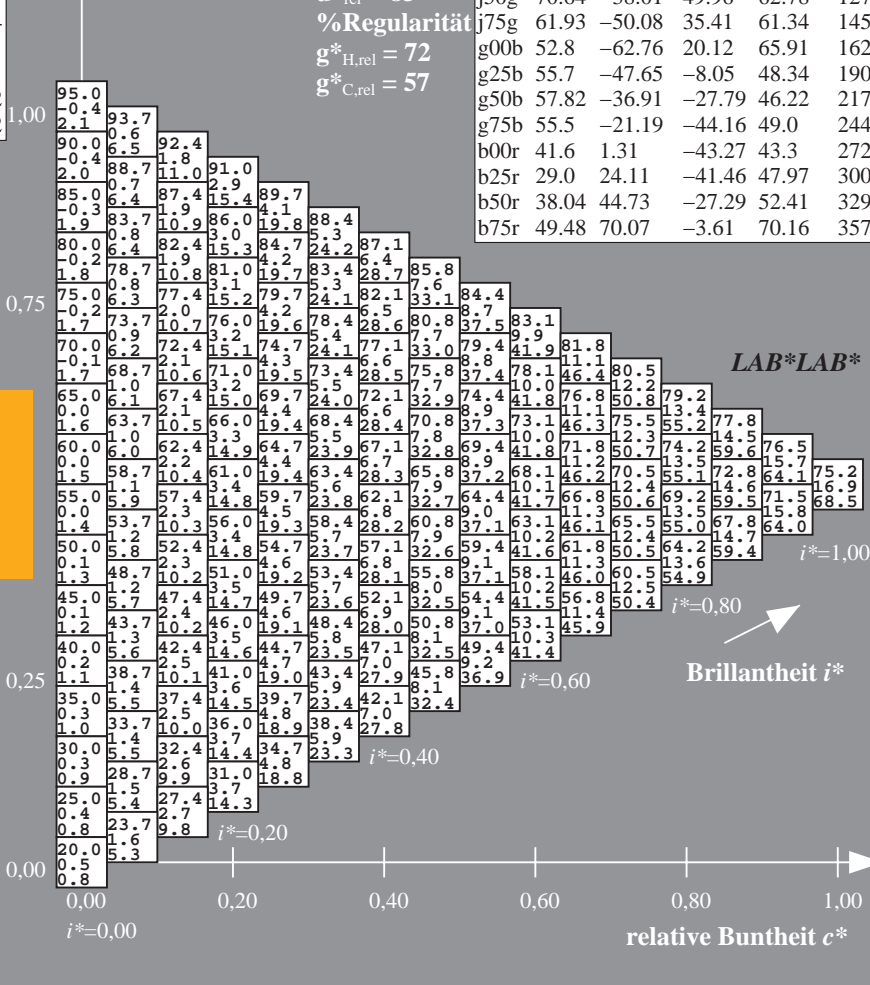
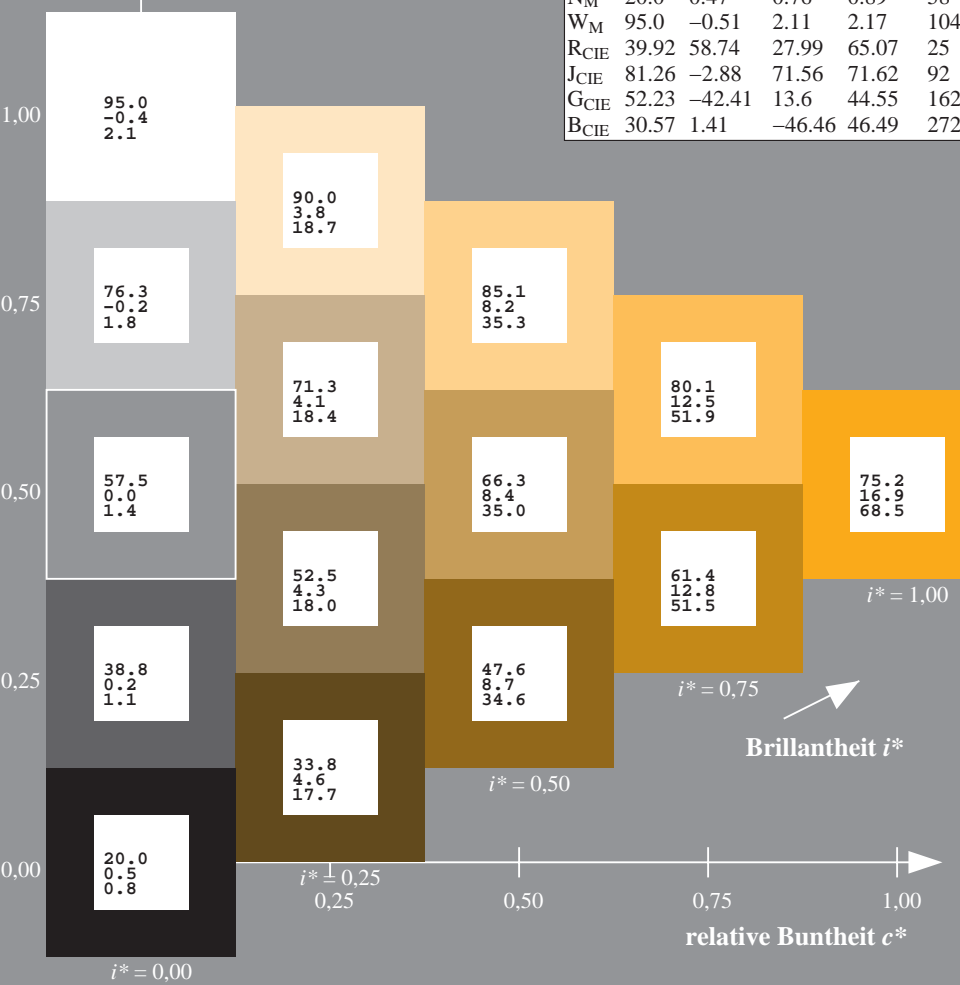
$u^*_{rel} = 83$

%Regularität

$g^*_{H,rel} = 72$

$g^*_{C,rel} = 57$

ORS20_95a; adaptierte CIELAB-Daten					
	$L^*=L^*$	a^*	b^*	$C^*_{ab,a}$	$h^*_{ab,a}$
r00j	48.88	63.91	30.45	70.79	25
r25j	55.85	50.36	45.65	67.97	42
r50j	65.45	33.86	56.12	65.54	59
r75j	75.19	17.13	66.73	68.89	76
j00g	87.03	-3.21	79.64	79.7	92
j25g	80.72	-24.03	66.82	71.01	110
j50g	70.64	-38.01	49.96	62.78	127
j75g	61.93	-50.08	35.41	61.34	145
g00b	52.8	-62.76	20.12	65.91	162
g25b	55.7	-47.65	-8.05	48.34	190
g50b	57.82	-36.91	-27.79	46.22	217
g75b	55.5	-21.19	-44.16	49.0	244
b00r	41.6	1.31	-43.27	43.3	272
b25r	29.0	24.11	-41.46	47.97	300
b50r	38.04	44.73	-27.29	52.41	329
b75r	49.48	70.07	-3.61	70.16	357



Ein und Ausgabe: Farbmimetrisches Drucker-Reflektiv-System ORS20_95a für relativen CIELAB-Buntton $h^* = \text{lab}^*h^* = h_{ab}/360 = 92/360 = 0.256$ $u^* = j00g$

Daten für jede Farbe:

lab^*ch^* und lab^*icu^*

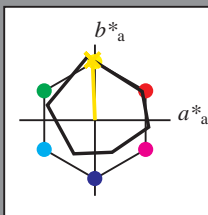
Elementar-Bunttontext:

$u^* = j00g$

Kontrastreduzierungsfaktor:

$c_R = 0.96$

Dreiecks-Helligkeit t^*



ORS20_95; CIELAB-Daten					
	$L^*=L^*$	a^*	b^*	C^*_{ab}	h^*_{ab}
O _M	48.75	62.65	39.19	73.89	32
Y _M	90.92	-10.35	85.91	86.53	97
L _M	52.69	-62.87	21.3	66.38	161
C _M	59.61	-27.91	-42.96	51.24	237
V _M	28.39	23.07	-41.5	47.5	299
M _M	49.58	71.15	-7.89	71.59	354
N _M	20.0	0.47	0.76	0.89	58
W _M	95.0	-0.51	2.11	2.17	104
R _{CIE}	39.92	58.74	27.99	65.07	25
J _{CIE}	81.26	-2.88	71.56	71.62	92
G _{CIE}	52.23	-42.41	13.6	44.55	162
B _{CIE}	30.57	1.41	-46.46	46.49	272

Daten für Maximalfarbe (Ma):

$\text{LAB}^*\text{LAB}^*_{\text{Ma}}$: 87 -2 80

$\text{LAB}^*\text{LCH}^*_{\text{Ma}}$: 87 80 92

$\text{lab}^*\text{rgb}^*_{\text{Ma}}$: 1.0 1.0 0.0

$\text{lab}^*\text{olv}^*_{\text{Ma}}$: 1.0 0.91 0.0

Dreiecks-Helligkeit t^*

%Umfang

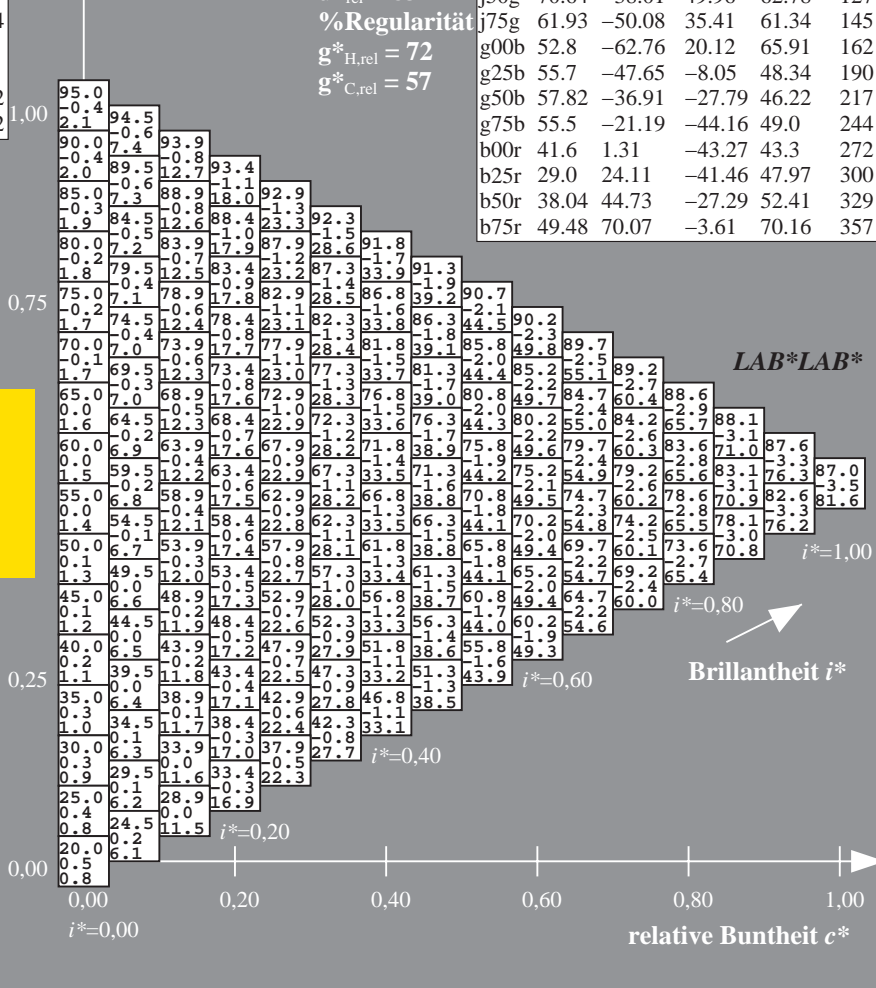
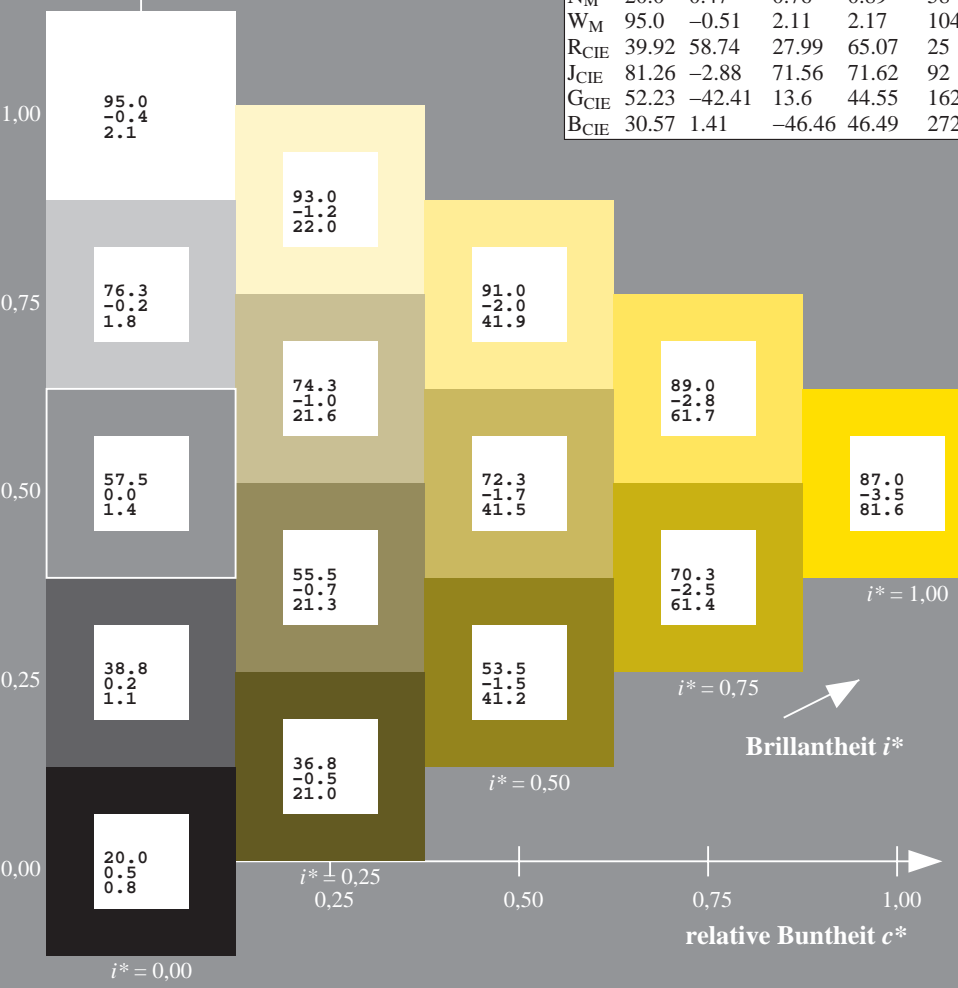
$u^*_{\text{rel}} = 83$

%Regularität

$g^*_{H,\text{rel}} = 72$

$g^*_{C,\text{rel}} = 57$

ORS20_95a; adaptierte CIELAB-Daten					
	$L^*=L^*_a$	a^*_a	b^*_a	$C^*_{ab,a}$	$h^*_{ab,a}$
r00j	48.88	63.91	30.45	70.79	25
r25j	55.85	50.36	45.65	67.97	42
r50j	65.45	33.86	56.12	65.54	59
r75j	75.19	17.13	66.73	68.89	76
j00g	87.03	-3.21	79.64	79.7	92
j25g	80.72	-24.03	66.82	71.01	110
j50g	70.64	-38.01	49.96	62.78	127
j75g	61.93	-50.08	35.41	61.34	145
g00b	52.8	-62.76	20.12	65.91	162
g25b	55.7	-47.65	-8.05	48.34	190
g50b	57.82	-36.91	-27.79	46.22	217
g75b	55.5	-21.19	-44.16	49.0	244
b00r	41.6	1.31	-43.27	43.3	272
b25r	29.0	24.11	-41.46	47.97	300
b50r	38.04	44.73	-27.29	52.41	329
b75r	49.48	70.07	-3.61	70.16	357



100



Figure 1 is a 3D visualization of the Brillantheit i^* space. The vertical axis represents relative Buntheit c^* (0.00 to 1.00), the horizontal axis represents relative Hue i^* (0.00 to 1.00), and the depth axis represents relative Saturation s^* (0.00 to 1.00). The space is filled with a grid of color patches, each labeled with its Lab* values (L*, a*, b*). The patches are arranged in a way that shows the relationship between these three color attributes. The top of the space is labeled "LAB*LAB*" and the bottom is labeled "Brillantheit i^* ". The right side of the space is labeled " $i^*=1.00$ " and the left side is labeled " $i^*=0.00$ ". The bottom right corner is labeled " $i^*=0.80$ " and " $i^*=0.60$ ".

Ausgabe: $\rightarrow cmyk5^* setcmykcolor$

BAM-Registrierung: 20080701-Dg99/10L/L99G00NA.PS/.TXTBAM-Material: Code=rha4ta
Anwendung für Beurteilung und Messung von Drucker- oder Monitorsystemen

Ein und Ausgabe: Farbmetrisches Drucker-Reflektiv-System ORS20_95a für relativen CIELAB-Buntton $h^* = lab^*h^* = h_{ab}/360 = 127/360 = 0.354$ $u^* = j50g$

Daten für jede Farbe:

lab^*ch^* und lab^*icu^*

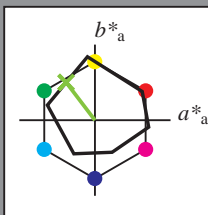
Elementar-Bunttontext:

$u^* = j50g$

Kontrastreduzierungsfaktor:

$c_R = 0.96$

Dreiecks-Helligkeit t^*



ORS20_95; CIELAB-Daten					
	$L^*=L^*$	a^*	b^*	C^*_{ab}	h^*_{ab}
O _M	48.75	62.65	39.19	73.89	32
Y _M	90.92	-10.35	85.91	86.53	97
L _M	52.69	-62.87	21.3	66.38	161
C _M	59.61	-27.91	-42.96	51.24	237
V _M	28.39	23.07	-41.5	47.5	299
M _M	49.58	71.15	-7.89	71.59	354
N _M	20.0	0.47	0.76	0.89	58
W _M	95.0	-0.51	2.11	2.17	104
R _{CIE}	39.92	58.74	27.99	65.07	25
J _{CIE}	81.26	-2.88	71.56	71.62	92
G _{CIE}	52.23	-42.41	13.6	44.55	162
B _{CIE}	30.57	1.41	-46.46	46.49	272

Daten für Maximalfarbe (Ma):

$LAB^*LAB^*Ma: 71 -37 50$

$LAB^*LCH^*Ma: 71 63 127$

$lab^*rgb^*Ma: 0.5 1.0 0.0$

$lab^*olv^*Ma: 0.47 1.0 0.0$

Dreiecks-Helligkeit t^*

%Umfang

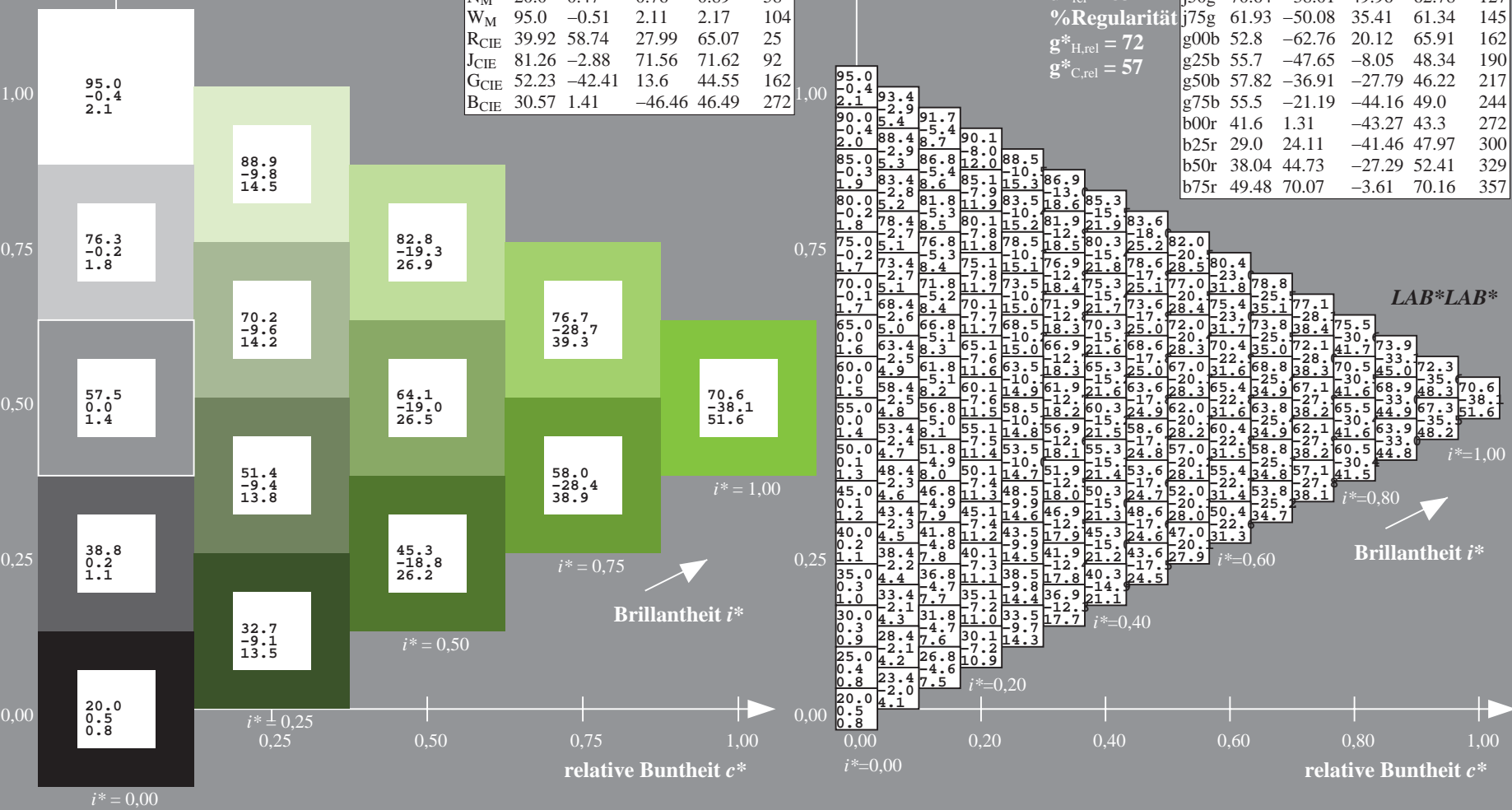
$u^*_{rel} = 83$

%Regularität

$g^*_{H,rel} = 72$

$g^*_{C,rel} = 57$

ORS20_95a; adaptierte CIELAB-Daten					
	$L^*=L^*_a$	a^*_a	b^*_a	$C^*_{ab,a}$	$h^*_{ab,a}$
r00j	48.88	63.91	30.45	70.79	25
r25j	55.85	50.36	45.65	67.97	42
r50j	65.45	33.86	56.12	65.54	59
r75j	75.19	17.13	66.73	68.89	76
j00g	87.03	-3.21	79.64	79.7	92
j25g	80.72	-24.03	66.82	71.01	110
j50g	70.64	-38.01	49.96	62.78	127
j75g	61.93	-50.08	35.41	61.34	145
g00b	52.8	-62.76	20.12	65.91	162
g25b	55.7	-47.65	-8.05	48.34	190
g50b	57.82	-36.91	-27.79	46.22	217
g75b	55.5	-21.19	-44.16	49.0	244
b00r	41.6	1.31	-43.27	43.3	272
b25r	29.0	24.11	-41.46	47.97	300
b50r	38.04	44.73	-27.29	52.41	329
b75r	49.48	70.07	-3.61	70.16	357



Ein und Ausgabe: Farbmetrisches Drucker-Reflektiv-System ORS20_95a für relativen CIELAB-Buntton $h^* = lab^*h^* = h_{ab}/360 = 145/360 = 0.402$ $u^* = j75g$

Daten für jede Farbe:

lab^*ch^* und lab^*icu^*

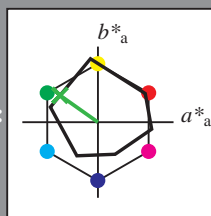
Elementar-Bunttontext:

$u^* = j75g$

Kontrastreduzierungsfaktor:

$c_R = 0.96$

Dreiecks-Helligkeit t^*



ORS20_95; CIELAB-Daten					
	$L^*=L^*$	a^*	b^*	C^*_{ab}	h^*_{ab}
O _M	48.75	62.65	39.19	73.89	32
Y _M	90.92	-10.35	85.91	86.53	97
L _M	52.69	-62.87	21.3	66.38	161
C _M	59.61	-27.91	-42.96	51.24	237
V _M	28.39	23.07	-41.5	47.5	299
M _M	49.58	71.15	-7.89	71.59	354
N _M	20.0	0.47	0.76	0.89	58
W _M	95.0	-0.51	2.11	2.17	104
R _{CIE}	39.92	58.74	27.99	65.07	25
J _{CIE}	81.26	-2.88	71.56	71.62	92
G _{CIE}	52.23	-42.41	13.6	44.55	162
B _{CIE}	30.57	1.41	-46.46	46.49	272

Daten für Maximalfarbe (Ma):

LAB^*LAB^*Ma : 62 -49 35

LAB^*LCH^*Ma : 62 61 145

lab^*rgb^*Ma : 0.25 1.0 0.0

lab^*olv^*Ma : 0.24 1.0 0.0

Dreiecks-Helligkeit t^*

%Umfang

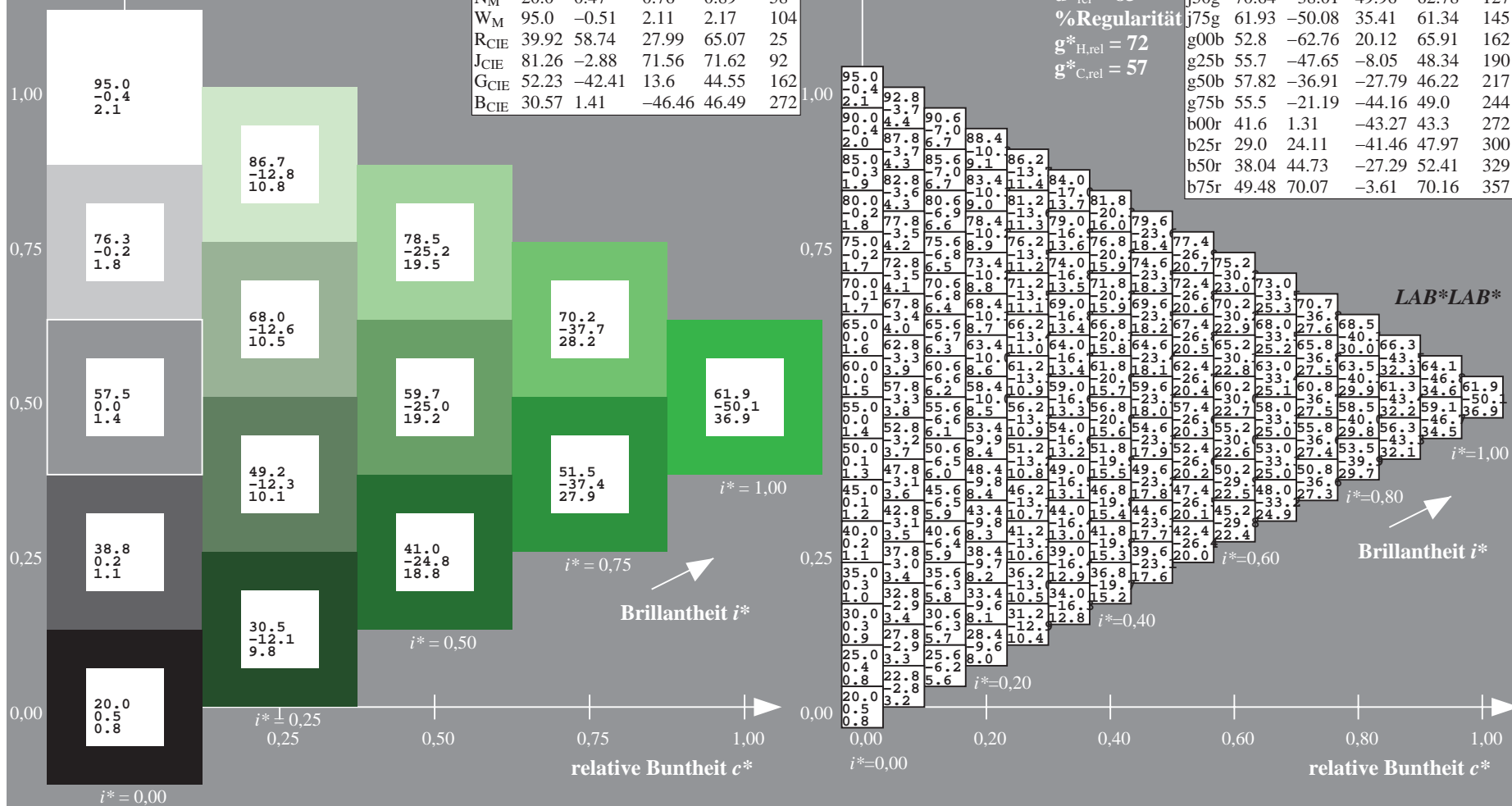
$u^*_{rel} = 83$

%Regularität

$g^*_{H,rel} = 72$

$g^*_{C,rel} = 57$

ORS20_95a; adaptierte CIELAB-Daten					
	$L^*=L^*_a$	a^*_a	b^*_a	$C^*_{ab,a}$	$h^*_{ab,a}$
r00j	48.88	63.91	30.45	70.79	25
r25j	55.85	50.36	45.65	67.97	42
r50j	65.45	33.86	56.12	65.54	59
r75j	75.19	17.13	66.73	68.89	76
j00g	87.03	-3.21	79.64	79.7	92
j25g	80.72	-24.03	66.82	71.01	110
j50g	70.64	-38.01	49.96	62.78	127
j75g	61.93	-50.08	35.41	61.34	145
g00b	52.8	-62.76	20.12	65.91	162
g25b	55.7	-47.65	-8.05	48.34	190
g50b	57.82	-36.91	-27.79	46.22	217
g75b	55.5	-21.19	-44.16	49.0	244
b00r	41.6	1.31	-43.27	43.3	272
b25r	29.0	24.11	-41.46	47.97	300
b50r	38.04	44.73	-27.29	52.41	329
b75r	49.48	70.07	-3.61	70.16	357



Ein und Ausgabe: Farbmimetrisches Drucker-Reflektiv-System ORS20_95a für relativen CIELAB-Buntton $h^* = lab^*h^* = h_{ab}/360 = 162/360 = 0.451$ $u^* = g00b$

Daten für jede Farbe:

lab^*ch^* und lab^*icu^*

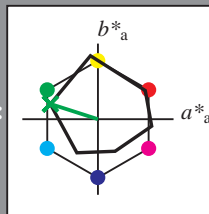
Elementar-Bunttontext:

$u^* = g00b$

Kontrastreduzierungsfaktor:

$c_R = 0.96$

Dreiecks-Helligkeit i^*



ORS20_95; CIELAB-Daten					
	$L^*=L^*$	a^*	b^*	C^*_{ab}	h^*_{ab}
O _M	48.75	62.65	39.19	73.89	32
Y _M	90.92	-10.35	85.91	86.53	97
L _M	52.69	-62.87	21.3	66.38	161
C _M	59.61	-27.91	-42.96	51.24	237
V _M	28.39	23.07	-41.5	47.5	299
M _M	49.58	71.15	-7.89	71.59	354
N _M	20.0	0.47	0.76	0.89	58
W _M	95.0	-0.51	2.11	2.17	104
R _{CIE}	39.92	58.74	27.99	65.07	25
J _{CIE}	81.26	-2.88	71.56	71.62	92
G _{CIE}	52.23	-42.41	13.6	44.55	162
B _{CIE}	30.57	1.41	-46.46	46.49	272

Daten für Maximalfarbe (Ma):

LAB^*LAB^*Ma : 53 -62 20

LAB^*LCH^*Ma : 53 66 162

lab^*rgb^*Ma : 0.0 1.0 0.0

lab^*olv^*Ma : 0.0 1.0 0.0

Dreiecks-Helligkeit i^*

%Umfang

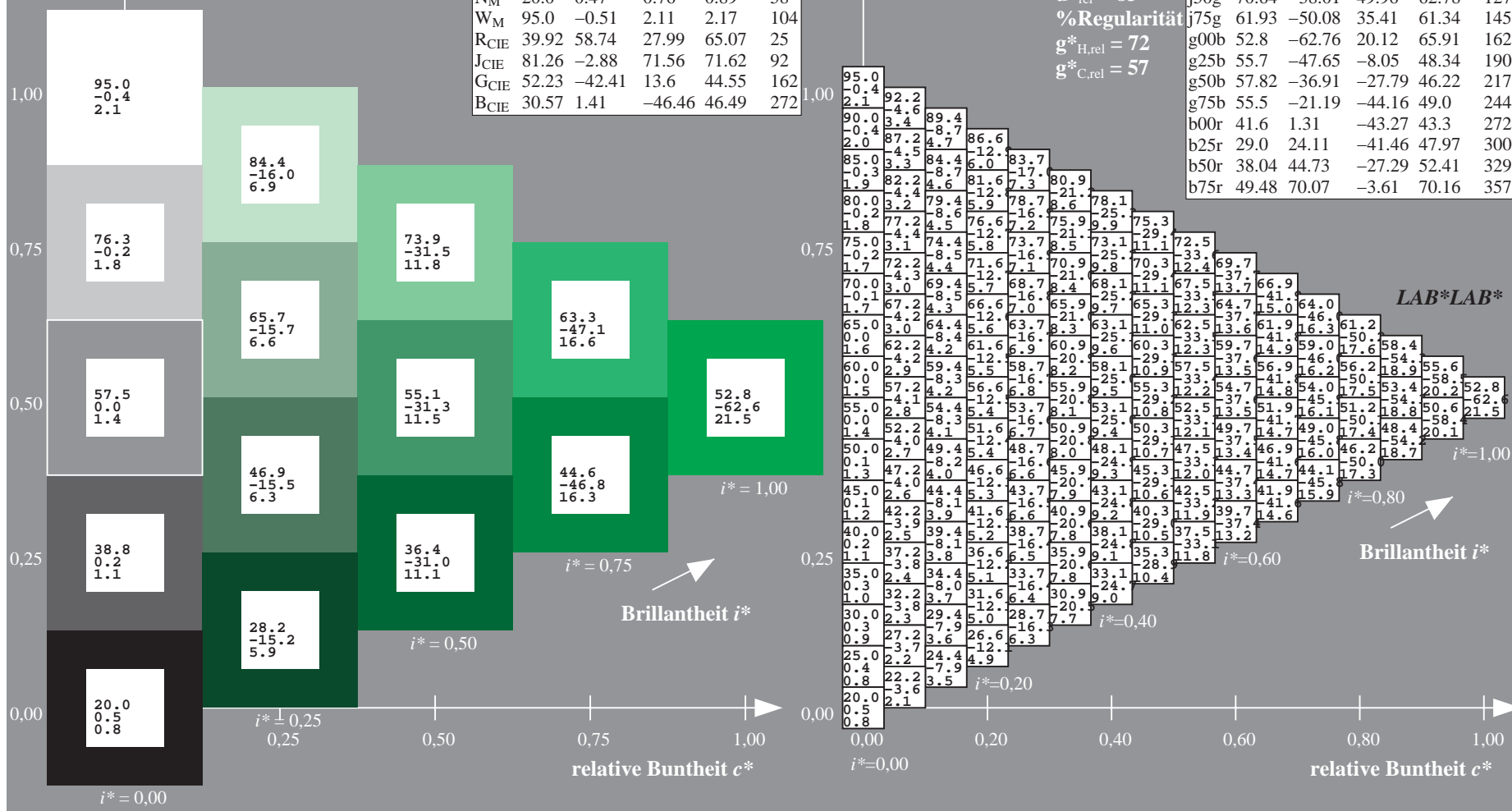
$u^*_{rel} = 83$

%Regularität

$g^*_{H,rel} = 72$

$g^*_{C,rel} = 57$

ORS20_95a; adaptierte CIELAB-Daten					
	$L^*=L^*$	a^*	b^*	$C^*_{ab,a}$	$h^*_{ab,a}$
r00j	48.88	63.91	30.45	70.79	25
r25j	55.85	50.36	45.65	67.97	42
r50j	65.45	33.86	56.12	65.54	59
r75j	75.19	17.13	66.73	68.89	76
j00g	87.03	-3.21	79.64	79.7	92
j25g	80.72	-24.03	66.82	71.01	110
j50g	70.64	-38.01	49.96	62.78	127
j75g	61.93	-50.08	35.41	61.34	145
g00b	52.8	-62.76	20.12	65.91	162
g25b	55.7	-47.65	-8.05	48.34	190
g50b	57.82	-36.91	-27.79	46.22	217
g75b	55.5	-21.19	-44.16	49.0	244
b00r	41.6	1.31	-43.27	43.3	272
b25r	29.0	24.11	-41.46	47.97	300
b50r	38.04	44.73	-27.29	52.41	329
b75r	49.48	70.07	-3.61	70.16	357



Ein und Ausgabe: Farbmimetrisches Drucker-Reflektiv-System ORS20_95a für relativen CIELAB-Buntton $h^* = lab^*h^* = h_{ab}/360 = 190/360 = 0.527$ $u^* = g25b$

Daten für jede Farbe:

lab^*ch^* und lab^*icu^*

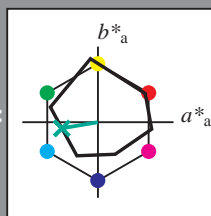
Elementar-Bunttontext:

$u^* = g25b$

Kontrastreduzierungsfaktor:

$c_R = 0.96$

Dreiecks-Helligkeit i^*



ORS20_95; CIELAB-Daten					
	$L^*=L^*$	a^*	b^*	C^*_{ab}	h^*_{ab}
O _M	48.75	62.65	39.19	73.89	32
Y _M	90.92	-10.35	85.91	86.53	97
L _M	52.69	-62.87	21.3	66.38	161
C _M	59.61	-27.91	-42.96	51.24	237
V _M	28.39	23.07	-41.5	47.5	299
M _M	49.58	71.15	-7.89	71.59	354
N _M	20.0	0.47	0.76	0.89	58
W _M	95.0	-0.51	2.11	2.17	104
R _{CIE}	39.92	58.74	27.99	65.07	25
J _{CIE}	81.26	-2.88	71.56	71.62	92
G _{CIE}	52.23	-42.41	13.6	44.55	162
B _{CIE}	30.57	1.41	-46.46	46.49	272

Daten für Maximalfarbe (Ma):

$LAB^*LAB^*_{Ma}$: 56 -47 -7

$LAB^*LCH^*_{Ma}$: 56 48 190

$lab^*rgb^*_{Ma}$: 0.0 1.0 0.5

$lab^*olv^*_{Ma}$: 0.0 1.0 0.44

Dreiecks-Helligkeit i^*

%Umfang

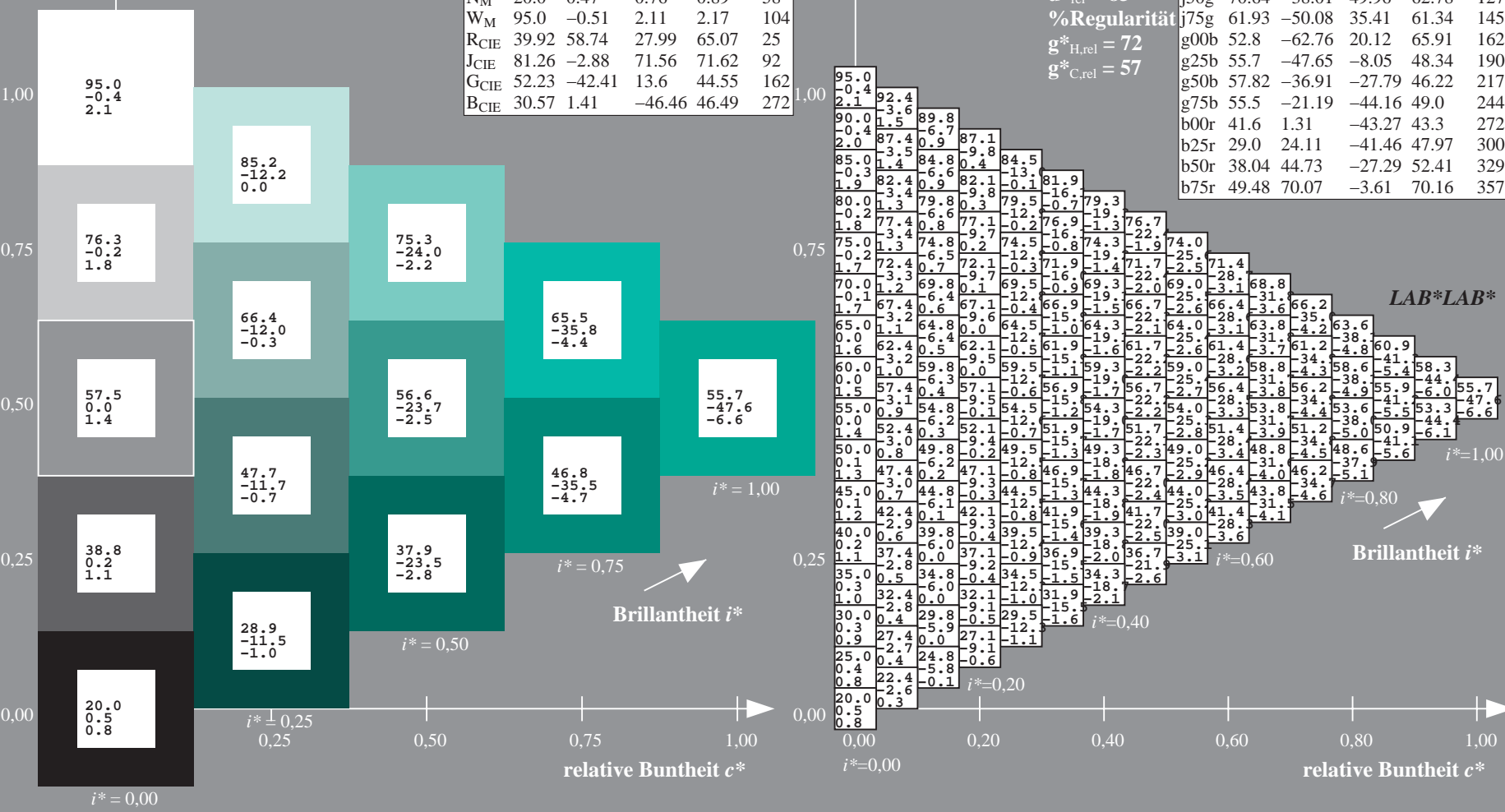
$u^*_{rel} = 83$

%Regularität

$g^*_{H,rel} = 72$

$g^*_{C,rel} = 57$

ORS20_95a; adaptierte CIELAB-Daten					
	$L^*=L^*_a$	a^*_a	b^*_a	$C^*_{ab,a}$	$h^*_{ab,a}$
r00j	48.88	63.91	30.45	70.79	25
r25j	55.85	50.36	45.65	67.97	42
r50j	65.45	33.86	56.12	65.54	59
r75j	75.19	17.13	66.73	68.89	76
j00g	87.03	-3.21	79.64	79.7	92
j25g	80.72	-24.03	66.82	71.01	110
j50g	70.64	-38.01	49.96	62.78	127
j75g	61.93	-50.08	35.41	61.34	145
g00b	52.8	-62.76	20.12	65.91	162
g25b	55.7	-47.65	-8.05	48.34	190
g50b	57.82	-36.91	-27.79	46.22	217
g75b	55.5	-21.19	-44.16	49.0	244
b00r	41.6	1.31	-43.27	43.3	272
b25r	29.0	24.11	-41.46	47.97	300
b50r	38.04	44.73	-27.29	52.41	329
b75r	49.48	70.07	-3.61	70.16	357



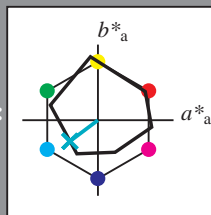
Ein und Ausgabe: Farbmimetrisches Drucker-Reflektiv-System ORS20_95a für relativen CIELAB-Buntton $h^* = lab^*h^* = h_{ab}/360 = 217/360 = 0.603$ $u^* = g50b$

Daten für jede Farbe:
 lab^*tch^* und lab^*icu^*

Elementar-Bunttonext:
 $u^* = g50b$

Kontrastreduzierungsfaktor:
 $c_R = 0.96$

Dreiecks-Helligkeit t^*



ORS20_95; CIELAB-Daten					
	$L^*=L^*$	a^*	b^*	C^*_{ab}	h^*_{ab}
O _M	48.75	62.65	39.19	73.89	32
Y _M	90.92	-10.35	85.91	86.53	97
L _M	52.69	-62.87	21.3	66.38	161
C _M	59.61	-27.91	-42.96	51.24	237
V _M	28.39	23.07	-41.5	47.5	299
M _M	49.58	71.15	-7.89	71.59	354
N _M	20.0	0.47	0.76	0.89	58
W _M	95.0	-0.51	2.11	2.17	104
R _{CIE}	39.92	58.74	27.99	65.07	25
J _{CIE}	81.26	-2.88	71.56	71.62	92
G _{CIE}	52.23	-42.41	13.6	44.55	162
B _{CIE}	30.57	1.41	-46.46	46.49	272

Daten für Maximalfarbe (Ma):

$LAB^*LAB^*_{Ma}$: 58 -36 -27

$LAB^*LCH^*_{Ma}$: 58 46 217

$lab^*rgb^*_{Ma}$: 0.0 1.0 1.0

$lab^*olv^*_{Ma}$: 0.0 1.0 0.74

Dreiecks-Helligkeit t^*

%Umfang

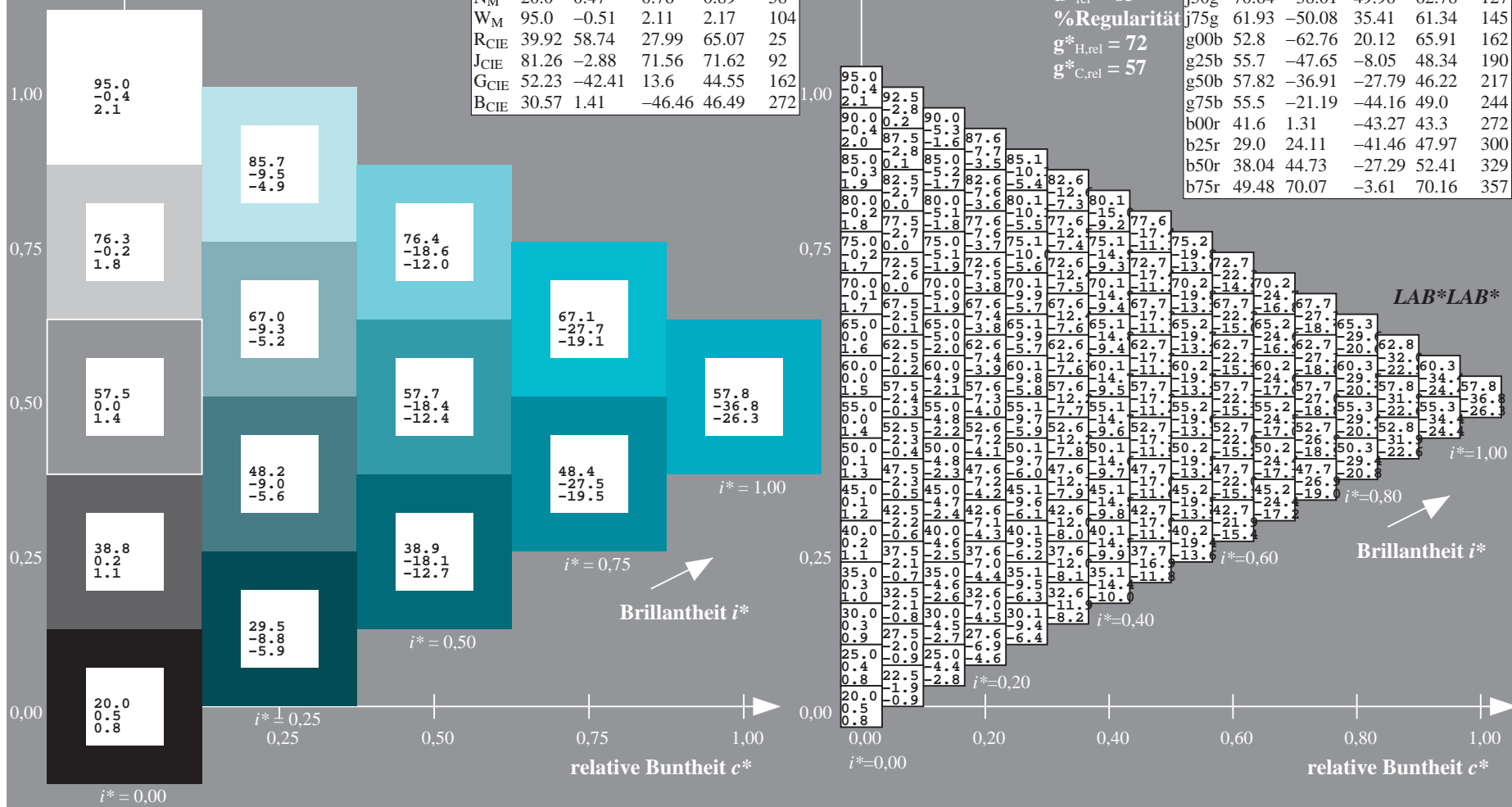
$u^*_{rel} = 83$

%Regularität

$g^*_{H,rel} = 72$

$g^*_{C,rel} = 57$

ORS20_95a; adaptierte CIELAB-Daten					
	$L^*=L^*_a$	a^*_a	b^*_a	$C^*_{ab,a}$	$h^*_{ab,a}$
r00j	48.88	63.91	30.45	70.79	25
r25j	55.85	50.36	45.65	67.97	42
r50j	65.45	33.86	56.12	65.54	59
r75j	75.19	17.13	66.73	68.89	76
j00g	87.03	-3.21	79.64	79.7	92
j25g	80.72	-24.03	66.82	71.01	110
j50g	70.64	-38.01	49.96	62.78	127
j75g	61.93	-50.08	35.41	61.34	145
g00b	52.8	-62.76	20.12	65.91	162
g25b	55.7	-47.65	-8.05	48.34	190
g50b	57.82	-36.91	-27.79	46.22	217
g75b	55.5	-21.19	-44.16	49.0	244
b00r	41.6	1.31	-43.27	43.3	272
b25r	29.0	24.11	-41.46	47.97	300
b50r	38.04	44.73	-27.29	52.41	329
b75r	49.48	70.07	-3.61	70.16	357



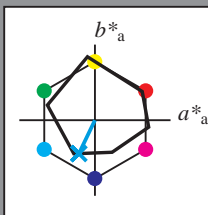
Ein und Ausgabe: Farbmetrisches Drucker-Reflektiv-System ORS20_95a für relativen CIELAB-Buntton $h^* = lab^*h^* = h_{ab}/360 = 244/360 = 0.679$ $u^* = g75b$

Daten für jede Farbe:
 lab^*tch^* und lab^*icu^*

Elementar-Bunttontext:
 $u^* = g75b$

Kontrastreduzierungsfaktor:
 $c_R = 0.96$

Dreiecks-Helligkeit t^*



ORS20_95; CIELAB-Daten					
	$L^*=L^*$	a^*	b^*	C^*_{ab}	h^*_{ab}
O _M	48.75	62.65	39.19	73.89	32
Y _M	90.92	-10.35	85.91	86.53	97
L _M	52.69	-62.87	21.3	66.38	161
C _M	59.61	-27.91	-42.96	51.24	237
V _M	28.39	23.07	-41.5	47.5	299
M _M	49.58	71.15	-7.89	71.59	354
N _M	20.0	0.47	0.76	0.89	58
W _M	95.0	-0.51	2.11	2.17	104
R _{CIE}	39.92	58.74	27.99	65.07	25
J _{CIE}	81.26	-2.88	71.56	71.62	92
G _{CIE}	52.23	-42.41	13.6	44.55	162
B _{CIE}	30.57	1.41	-46.46	46.49	272

Daten für Maximalfarbe (Ma):

$LAB^*LAB^*_{Ma}$: 55 -20 -43

$LAB^*LCH^*_{Ma}$: 55 49 244

$lab^*rgb^*_{Ma}$: 0.0 0.5 1.0

$lab^*olv^*_{Ma}$: 0.0 0.87 1.0

Dreiecks-Helligkeit t^*

%Umfang

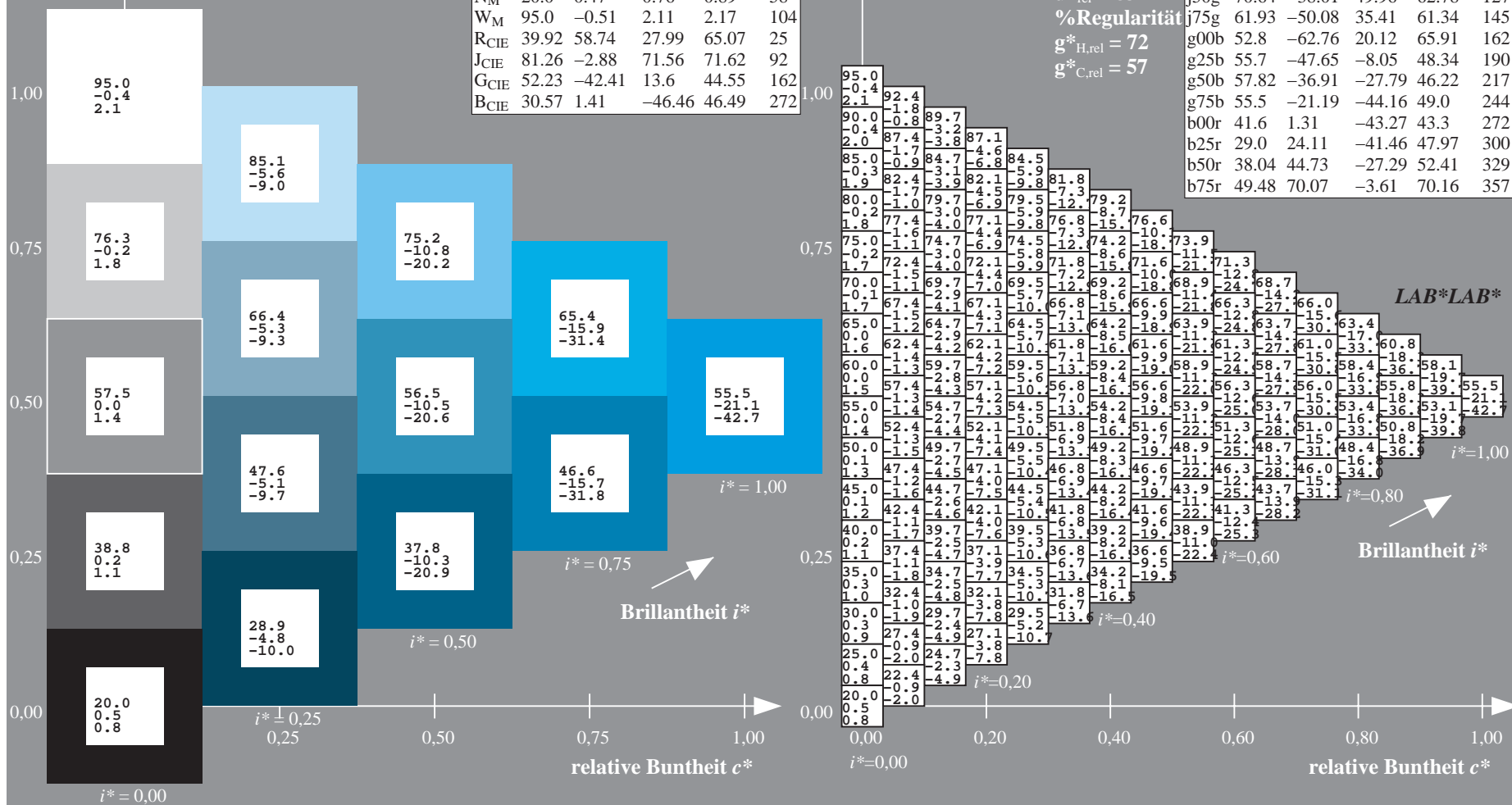
$u^*_{rel} = 83$

%Regularität

$g^*_{H,rel} = 72$

$g^*_{C,rel} = 57$

ORS20_95a; adaptierte CIELAB-Daten					
	$L^*=L^*_a$	a^*_a	b^*_a	$C^*_{ab,a}$	$h^*_{ab,a}$
r00j	48.88	63.91	30.45	70.79	25
r25j	55.85	50.36	45.65	67.97	42
r50j	65.45	33.86	56.12	65.54	59
r75j	75.19	17.13	66.73	68.89	76
j00g	87.03	-3.21	79.64	79.7	92
j25g	80.72	-24.03	66.82	71.01	110
j50g	70.64	-38.01	49.96	62.78	127
j75g	61.93	-50.08	35.41	61.34	145
g00b	52.8	-62.76	20.12	65.91	162
g25b	55.7	-47.65	-8.05	48.34	190
g50b	57.82	-36.91	-27.79	46.22	217
g75b	55.5	-21.19	-44.16	49.0	244
b00r	41.6	1.31	-43.27	43.3	272
b25r	29.0	24.11	-41.46	47.97	300
b50r	38.04	44.73	-27.29	52.41	329
b75r	49.48	70.07	-3.61	70.16	357



Ein und Ausgabe: Farbmimetrisches Drucker-Reflektiv-System ORS20_95a für relativen CIELAB-Buntton $h^* = lab^*h^* = h_{ab}/360 = 272/360 = 0.755$ $u^* = b00r$

Daten für jede Farbe:

lab^*ch^* und lab^*icu^*

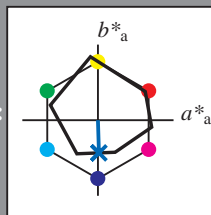
Elementar-Bunttontext:

$u^* = b00r$

Kontrastreduzierungsfaktor:

$c_R = 0.96$

Dreiecks-Helligkeit t^*



ORS20_95; CIELAB-Daten					
	$L^*=L^*$	a^*	b^*	C^*_{ab}	h^*_{ab}
O _M	48.75	62.65	39.19	73.89	32
Y _M	90.92	-10.35	85.91	86.53	97
L _M	52.69	-62.87	21.3	66.38	161
C _M	59.61	-27.91	-42.96	51.24	237
V _M	28.39	23.07	-41.5	47.5	299
M _M	49.58	71.15	-7.89	71.59	354
N _M	20.0	0.47	0.76	0.89	58
W _M	95.0	-0.51	2.11	2.17	104
R _{CIE}	39.92	58.74	27.99	65.07	25
J _{CIE}	81.26	-2.88	71.56	71.62	92
G _{CIE}	52.23	-42.41	13.6	44.55	162
B _{CIE}	30.57	1.41	-46.46	46.49	272

Daten für Maximalfarbe (Ma):

$LAB^*LAB^*_{Ma}$: 42 1 -42

$LAB^*LCH^*_{Ma}$: 42 43 272

$lab^*rgb^*_{Ma}$: 0.0 0.0 1.0

$lab^*olv^*_{Ma}$: 0.0 0.42 1.0

Dreiecks-Helligkeit t^*

%Umfang

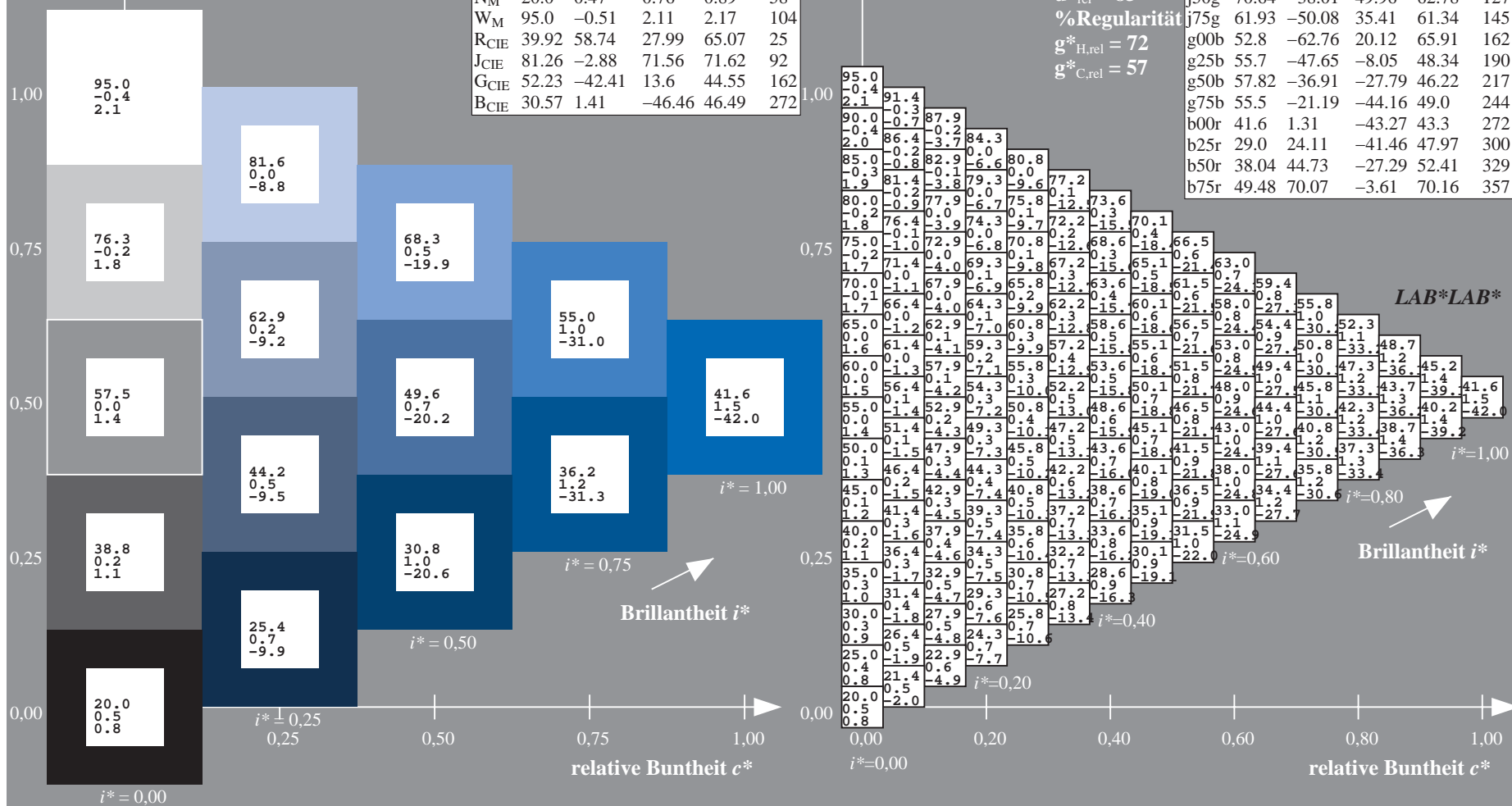
$u^*_{rel} = 83$

%Regularität

$g^*_{H,rel} = 72$

$g^*_{C,rel} = 57$

ORS20_95a; adaptierte CIELAB-Daten					
	$L^*=L^*_a$	a^*_a	b^*_a	$C^*_{ab,a}$	$h^*_{ab,a}$
r00j	48.88	63.91	30.45	70.79	25
r25j	55.85	50.36	45.65	67.97	42
r50j	65.45	33.86	56.12	65.54	59
r75j	75.19	17.13	66.73	68.89	76
j00g	87.03	-3.21	79.64	79.7	92
j25g	80.72	-24.03	66.82	71.01	110
j50g	70.64	-38.01	49.96	62.78	127
j75g	61.93	-50.08	35.41	61.34	145
g00b	52.8	-62.76	20.12	65.91	162
g25b	55.7	-47.65	-8.05	48.34	190
g50b	57.82	-36.91	-27.79	46.22	217
g75b	55.5	-21.19	-44.16	49.0	244
b00r	41.6	1.31	-43.27	43.3	272
b25r	29.0	24.11	-41.46	47.97	300
b50r	38.04	44.73	-27.29	52.41	329
b75r	49.48	70.07	-3.61	70.16	357



Ein und Ausgabe: Farbmimetrisches Drucker-Reflektiv-System ORS20_95a für relativen CIELAB-Buntton $h^* = lab^*h^* = h_{ab}/360 = 300/360 = 0.834$ $u^* = b25r$

Daten für jede Farbe:

lab^*ch^* und lab^*icu^*

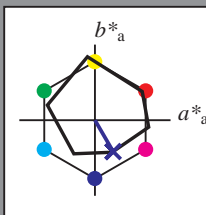
Elementar-Bunttontext:

$u^* = b25r$

Kontrastreduzierungsfaktor:

$c_R = 0.96$

Dreiecks-Helligkeit t^*



ORS20_95; CIELAB-Daten					
	$L^*=L^*$	a^*	b^*	C^*_{ab}	h^*_{ab}
O _M	48.75	62.65	39.19	73.89	32
Y _M	90.92	-10.35	85.91	86.53	97
L _M	52.69	-62.87	21.3	66.38	161
C _M	59.61	-27.91	-42.96	51.24	237
V _M	28.39	23.07	-41.5	47.5	299
M _M	49.58	71.15	-7.89	71.59	354
N _M	20.0	0.47	0.76	0.89	58
W _M	95.0	-0.51	2.11	2.17	104
R _{CIE}	39.92	58.74	27.99	65.07	25
J _{CIE}	81.26	-2.88	71.56	71.62	92
G _{CIE}	52.23	-42.41	13.6	44.55	162
B _{CIE}	30.57	1.41	-46.46	46.49	272

Daten für Maximalfarbe (Ma):

LAB^*LAB^*Ma : 29 24 -40

LAB^*LCH^*Ma : 29 48 300

lab^*rgb^*Ma : 0.5 0.0 1.0

lab^*olv^*Ma : 0.03 0.0 1.0

Dreiecks-Helligkeit t^*

%Umfang

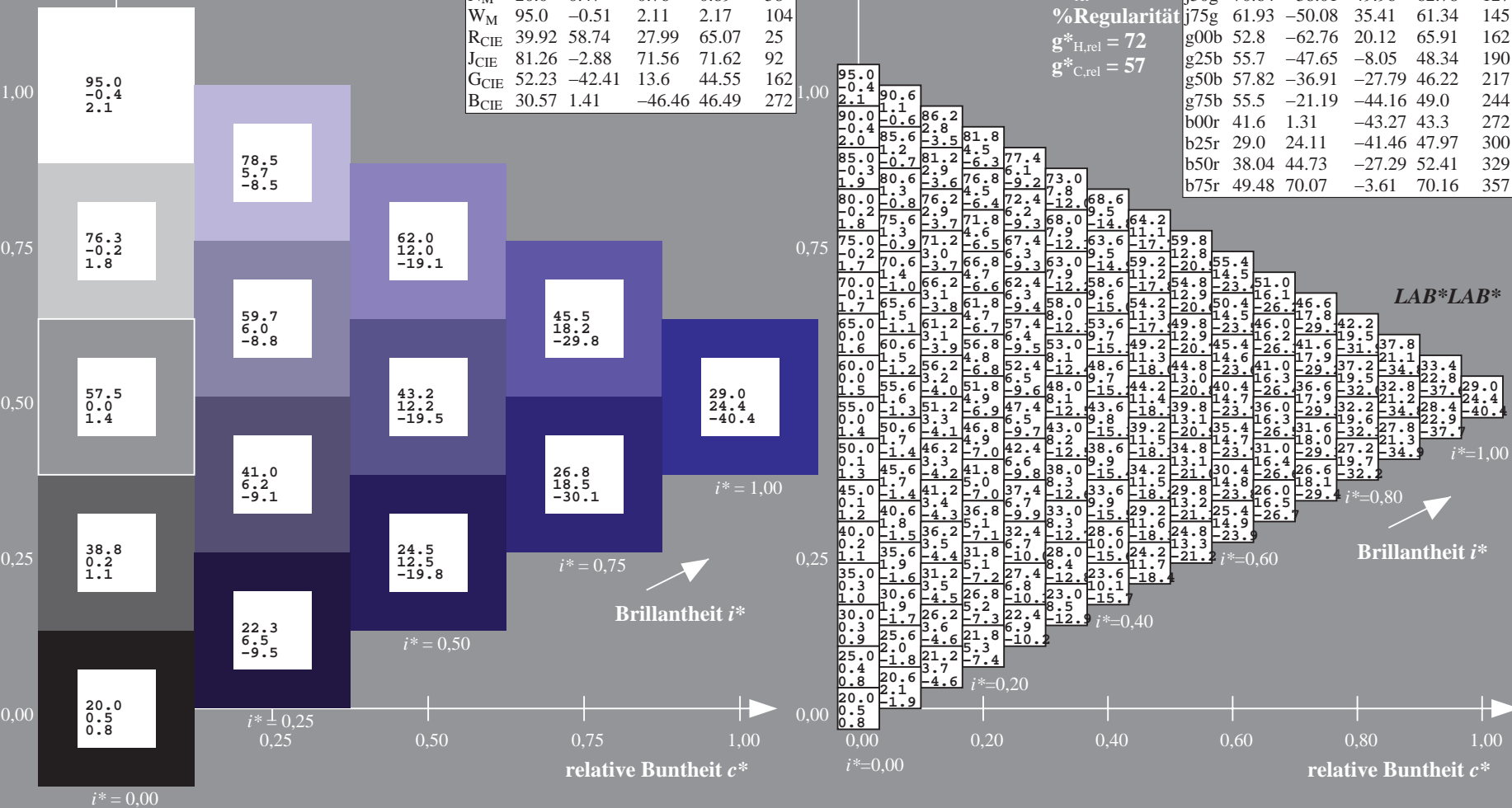
$u^*_{rel} = 83$

%Regularität

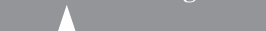
$g^*_{H,rel} = 72$

$g^*_{C,rel} = 57$

ORS20_95a; adaptierte CIELAB-Daten					
	$L^*=L^*$	a^*_a	b^*_a	$C^*_{ab,a}$	$h^*_{ab,a}$
r00j	48.88	63.91	30.45	70.79	25
r25j	55.85	50.36	45.65	67.97	42
r50j	65.45	33.86	56.12	65.54	59
r75j	75.19	17.13	66.73	68.89	76
j00g	87.03	-3.21	79.64	79.7	92
j25g	80.72	-24.03	66.82	71.01	110
j50g	70.64	-38.01	49.96	62.78	127
j75g	61.93	-50.08	35.41	61.34	145
g00b	52.8	-62.76	20.12	65.91	162
g25b	55.7	-47.65	-8.05	48.34	190
g50b	57.82	-36.91	-27.79	46.22	217
g75b	55.5	-21.19	-44.16	49.0	244
b00r	41.6	1.31	-43.27	43.3	272
b25r	29.0	24.11	-41.46	47.97	300
b50r	38.04	44.73	-27.29	52.41	329
b75r	49.48	70.07	-3.61	70.16	357



100


$$i^*=1,00$$
[illegible]

0.00 1.00

0,80 1,00

Relative Buntheit c^*

Color	Percentage
Black	10%
Dark Gray	25%
Medium Gray	35%
Light Gray	20%
White	10%



Ausgabe: $\rightarrow cmy\mathbf{n}5^* setcmy\mathbf{k}color$

Ein und Ausgabe: Farbmetrisches Drucker-Reflektiv-System ORS20_95a für relativen CIELAB-Buntton $h^* = lab^*h^* = h_{ab}/360 = 357/360 = 0.992$ $u^* = b75r$

Daten für jede Farbe:

lab^*ch^* und lab^*icu^*

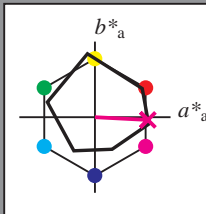
Elementar-Bunttontext:

$u^* = b75r$

Kontrastreduzierungsfaktor:

$c_R = 0.96$

Dreiecks-Helligkeit t^*



ORS20_95; CIELAB-Daten					
	$L^*=L^*$	a^*	b^*	C^*_{ab}	h^*_{ab}
O _M	48.75	62.65	39.19	73.89	32
Y _M	90.92	-10.35	85.91	86.53	97
L _M	52.69	-62.87	21.3	66.38	161
C _M	59.61	-27.91	-42.96	51.24	237
V _M	28.39	23.07	-41.5	47.5	299
M _M	49.58	71.15	-7.89	71.59	354
N _M	20.0	0.47	0.76	0.89	58
W _M	95.0	-0.51	2.11	2.17	104
R _{CIE}	39.92	58.74	27.99	65.07	25
J _{CIE}	81.26	-2.88	71.56	71.62	92
G _{CIE}	52.23	-42.41	13.6	44.55	162
B _{CIE}	30.57	1.41	-46.46	46.49	272

Daten für Maximalfarbe (Ma):

$LAB^*LAB^*_{Ma}$: 49 70 -3

$LAB^*LCH^*_{Ma}$: 49 70 357

$lab^*rgb^*_{Ma}$: 1.0 0.0 0.5

$lab^*olv^*_{Ma}$: 1.0 0.0 0.88

Dreiecks-Helligkeit t^*

%Umfang

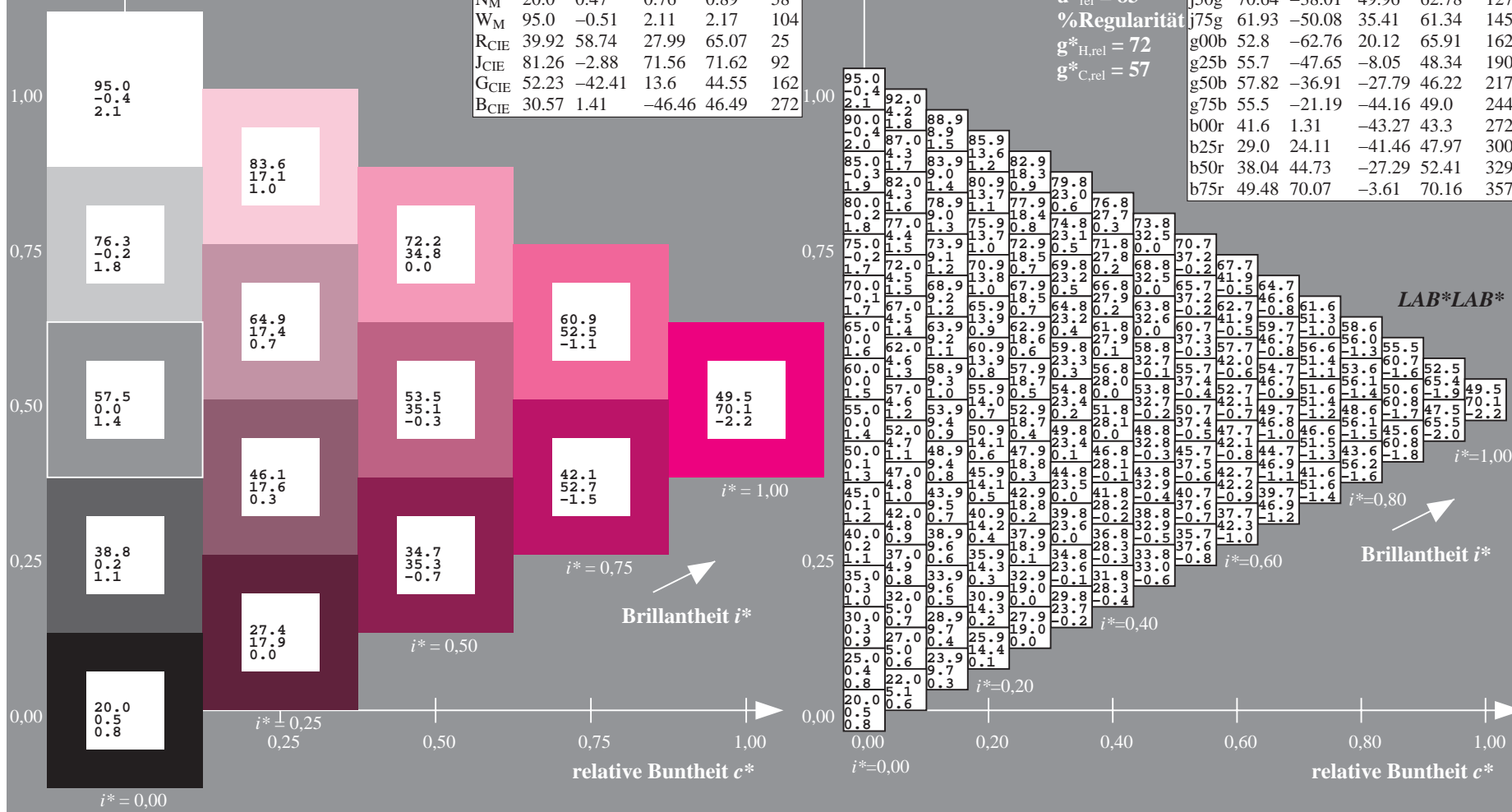
$u^*_{rel} = 83$

%Regularität

$g^*_{H,rel} = 72$

$g^*_{C,rel} = 57$

ORS20_95a; adaptierte CIELAB-Daten					
	$L^*=L^*_a$	a^*_a	b^*_a	$C^*_{ab,a}$	$h^*_{ab,a}$
r00j	48.88	63.91	30.45	70.79	25
r25j	55.85	50.36	45.65	67.97	42
r50j	65.45	33.86	56.12	65.54	59
r75j	75.19	17.13	66.73	68.89	76
j00g	87.03	-3.21	79.64	79.7	92
j25g	80.72	-24.03	66.82	71.01	110
j50g	70.64	-38.01	49.96	62.78	127
j75g	61.93	-50.08	35.41	61.34	145
g00b	52.8	-62.76	20.12	65.91	162
g25b	55.7	-47.65	-8.05	48.34	190
g50b	57.82	-36.91	-27.79	46.22	217
g75b	55.5	-21.19	-44.16	49.0	244
b00r	41.6	1.31	-43.27	43.3	272
b25r	29.0	24.11	-41.46	47.97	300
b50r	38.04	44.73	-27.29	52.41	329
b75r	49.48	70.07	-3.61	70.16	357

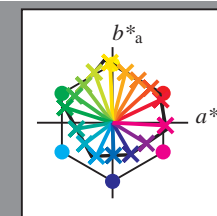


Siehe ähnliche Dateien: <http://www.ps.bam.de/Dg99/>; www.ps.bam.de/Dg99/; www.ps.bam.de/Dg99/
Technische Information: [http://www.ps.bam.de/Version 2.1,io=1.1,ColSpX=1](http://www.ps.bam.de/Version%202.1,io=1.1,ColSpX=1)

	A	B	C	D	E	F	G	H	I	J	K	L	M	N	O	P	Q	R	S	T	U	V	W	X	Y	Z	a	b	c	d	e	f	g	h	i	j	k	LAB*LAB*																																																																																																																																																																																																																																																																																																																																																																																																																																																																																																																																																																																																																																																																																																																																																																																																																																																																
01	20.0	24.1	28.2	32.3	36.3	40.4	44.5	48.6	52.7	56.8	60.9	65.0	69.1	73.2	77.3	81.4	85.5	89.6	93.7	97.8	101.9	106.0	110.1	114.2	118.3	122.4	126.5	130.6	134.7	138.8	142.9	147.0	151.1	155.2	159.3	163.4	167.5	171.6	175.7	179.8	183.9	188.0	192.1	196.2	200.3																																																																																																																																																																																																																																																																																																																																																																																																																																																																																																																																																																																																																																																																																																																																																																																																																																																									
02	0.5	-7.3	-15.3	-23.3	-31.1	-39.0	-46.9	-54.9	-62.8	-70.8	-78.7	-86.6	-94.5	-102.4	-110.3	-118.2	-126.1	-134.0	-141.9	-149.8	-157.7	-165.6	-173.5	-181.4	-189.3	-197.2	-205.1	-213.0	-220.9	-228.8	-236.7	-244.6	-252.5	-260.4	-268.3	-276.2	-284.1	-292.0	-300.0	-307.9	-315.8	-323.7	-331.6	-339.5	-347.4	-355.3	-363.2	-371.1	-379.0	-386.9	-394.8	-402.7	-410.6	-418.5	-426.4	-434.3	-442.2	-450.1	-458.0	-465.9	-473.8	-481.7	-489.6	-497.5	-505.4	-513.3	-521.2	-529.1	-537.0	-544.9	-552.8	-560.7	-568.6	-576.5	-584.4	-592.3	-600.2	-608.1	-616.0	-623.9	-631.8	-639.7	-647.6	-655.5	-663.4	-671.3	-679.2	-687.1	-695.0	-702.9	-710.8	-718.7	-726.6	-734.5	-742.4	-750.3	-758.2	-766.1	-774.0	-781.9	-789.8	-797.7	-805.6	-813.5	-821.4	-829.3	-837.2	-845.1	-853.0	-860.9	-868.8	-876.7	-884.6	-892.5	-900.4	-908.3	-916.2	-924.1	-932.0	-939.9	-947.8	-955.7	-963.6	-971.5	-979.4	-987.3	-995.2	-1003.1	-1011.0	-1018.9	-1026.8	-1034.7	-1042.6	-1050.5	-1058.4	-1066.3	-1074.2	-1082.1	-1090.0	-1097.9	-1105.8	-1113.7	-1121.6	-1129.5	-1137.4	-1145.3	-1153.2	-1161.1	-1169.0	-1176.9	-1184.8	-1192.7	-1200.6	-1208.5	-1216.4	-1224.3	-1232.2	-1240.1	-1248.0	-1255.9	-1263.8	-1271.7	-1279.6	-1287.5	-1295.4	-1303.3	-1311.2	-1319.1	-1327.0	-1334.9	-1342.8	-1350.7	-1358.6	-1366.5	-1374.4	-1382.3	-1390.2	-1398.1	-1406.0	-1413.9	-1421.8	-1429.7	-1437.6	-1445.5	-1453.4	-1461.3	-1469.2	-1477.1	-1485.0	-1492.9	-1500.8	-1508.7	-1516.6	-1524.5	-1532.4	-1540.3	-1548.2	-1556.1	-1564.0	-1571.9	-1579.8	-1587.7	-1595.6	-1603.5	-1611.4	-1619.3	-1627.2	-1635.1	-1643.0	-1650.9	-1658.8	-1666.7	-1674.6	-1682.5	-1690.4	-1698.3	-1706.2	-1714.1	-1722.0	-1729.9	-1737.8	-1745.7	-1753.6	-1761.5	-1769.4	-1777.3	-1785.2	-1793.1	-1801.0	-1808.9	-1816.8	-1824.7	-1832.6	-1840.5	-1848.4	-1856.3	-1864.2	-1872.1	-1880.0	-1887.9	-1895.8	-1903.7	-1911.6	-1919.5	-1927.4	-1935.3	-1943.2	-1951.1	-1959.0	-1966.9	-1974.8	-1982.7	-1990.6	-1998.5	-2006.4	-2014.3	-2022.2	-2030.1	-2038.0	-2045.9	-2053.8	-2061.7	-2069.6	-2077.5	-2085.4	-2093.3	-2101.2	-2109.1	-2117.0	-2124.9	-2132.8	-2140.7	-2148.6	-2156.5	-2164.4	-2172.3	-2180.2	-2188.1	-2196.0	-2203.9	-2211.8	-2219.7	-2227.6	-2235.5	-2243.4	-2251.3	-2259.2	-2267.1	-2275.0	-2282.9	-2290.8	-2298.7	-2306.6	-2314.5	-2322.4	-2330.3	-2338.2	-2346.1	-2354.0	-2361.9	-2369.8	-2377.7	-2385.6	-2393.5	-2401.4	-2409.3	-2417.2	-2425.1	-2433.0	-2440.9	-2448.8	-2456.7	-2464.6	-2472.5	-2480.4	-2488.3	-2496.2	-2504.1	-2512.0	-2519.9	-2527.8	-2535.7	-2543.6	-2551.5	-2559.4	-2567.3	-2575.2	-2583.1	-2591.0	-2598.9	-2606.8	-2614.7	-2622.6	-2630.5	-2638.4	-2646.3	-2654.2	-2662.1	-2670.0	-2677.9	-2685.8	-2693.7	-2701.6	-2709.5	-2717.4	-2725.3	-2733.2	-2741.1	-2749.0	-2756.9	-2764.8	-2772.7	-2780.6	-2788.5	-2796.4	-2804.3	-2812.2	-2820.1	-2828.0	-2835.9	-2843.8	-2851.7	-2859.6	-2867.5	-2875.4	-2883.3	-2891.2	-2899.1	-2907.0	-2914.9	-2922.8	-2930.7	-2938.6	-2946.5	-2954.4	-2962.3	-2970.2	-2978.1	-2986.0	-2993.9	-3001.8	-3009.7	-3017.6	-3025.5	-3033.4	-3041.3	-3049.2	-3057.1	-3065.0	-3072.9	-3080.8	-3088.7	-3096.6	-3104.5	-3112.4	-3120.3	-3128.2	-3136.1	-3144.0	-3151.9	-3159.8	-3167.7	-3175.6	-3183.5	-3191.4	-3199.3	-3207.2	-3215.1	-3223.0	-3230.9	-3238.8	-3246.7	-3254.6	-3262.5	-3270.4	-3278.3	-3286.2	-3294.1	-3302.0	-3309.9	-3317.8	-3325.7	-3333.6	-3341.5	-3349.4	-3357.3	-3365.2	-3373.1	-3381.0	-3388.9	-3396.8	-3404.7	-3412.6	-3420.5	-3428.4	-3436.3	-3444.2	-3452.1	-3460.0	-3467.9	-3475.8	-3483.7	-3491.6	-3499.5	-3507.4	-3515.3	-3523.2	-3531.1	-3539.0	-3546.9	-3554.8	-3562.7	-3570.6	-3578.5	-3586.4	-3594.3	-3602.2	-3610.1	-3618.0	-3625.9	-3633.8	-3641.7	-3649.6	-3657.5	-3665.4	-3673.3	-3681.2	-3689.1	-3697.0	-3704.9	-3712.8	-3720.7	-3728.6	-3736.5	-3744.4	-3752.3	-3760.2	-3768.1	-3776.0	-3783.9	-3791.8	-3799.7	-3807.6	-3815.5	-3823.4	-3831.3	-3839.2	-3847.1	-3855.0	-3862.9	-3870.8	-3878.7	-3886.6	-3894.5	-3902.4	-3910.3	-3918.2	-3926.1	-3934.0	-3941.9	-3949.8	-3957.7	-3965.6	-3973.5	-3981.4	-3989.3	-3997.2	-4005.1	-4013.0	-4020.9	-4028.8	-4036.7	-4044.6	-4052.5	-4060.4	-4068.3	-4076.2	-4084.1	-4092.0	-4100.0	-4107.9	-4115.8	-4123.7	-4131.6	-4139.5	-4147.4	-4155.3	-4163.2	-4171.1	-4179.0	-4186.9	-4194.8	-4202.7	-4210.6	-4218.5	-4226.4	-4234.3	-4242.2	-4250.1	-4258.0	-4265.9	-4273.8	-4281.7	-4289.6	-4297.5	-4305.4	-4313.3	-4321.2	-4329.1	-4337.0	-4344.9	-4352.8	-4360.7	-4368.6	-4376.5	-4384.4	-4392.3	-4400.2	-4408.1	-4416.0	-4423.9	-4431.8	-4439.7	-4447.6	-4455.5	-4463.4	-4471.3	-4479.2	-4487.1	-4495.0	-4502.9	-4510.8	-4518.7	-4526.6	-4534.5	-4542.4	-4550.3	-4558.2	-4566.1	-4574.0	-4581.9	-4589.8	-4597.7	-4605.6	-4613.5	-4621.4	-4629.3	-4637.2	-4645.1	-4653.0	-4660.9	-4668.8	-4676.7	-4684.6	-4692.5	-4700.4	-4708.3	-4716.2	-4724.1	-4732.0	-4739.9	-4747.8	-4755.7	-4763.6	-4771.5	-4779.4	-4787.3	-4795.2	-4803.1	-4811.0	-4818.9	-4826.8	-4834.7	-4842.6	-4850.5	-4858.4	-4866.3	-4874.2	-4882.1	-4890.0	-4897.9	-4905.8	-4913.7	-4921.6	-4929.5	-4937.4	-4945.3	-4953.2	-4961.1	-4969.0	-4976.9	-4984.8	-4992.7	-5000.6	-5008.5	-5016.4	-5024.3	-5032.2	-5040.1	-5048.0	-5055.9	-5063.8	-5071.7	-5079.6	-5087.5	-5095.4	-5103.3	-5111.2	-5119.1	-5127.0	-5134.9	-5142.8	-5150.7	-5158.6	-5166.5	-5174.4	-5182.3	-5190.2	-5198.1	-5206.0	-5213.9	-5221.8	-5229.7	-5237.6	-5245.5	-5253.4	-5261.3	-5269.2	-5277.1	-5285.0	-5292.9	-5300.8	-5308.7	-5316.6	-5324.5	-5332.4	-5340.3	-5348.2	-5356.1	-5364.0	-5371.9	-5379.8	-5387.7	-5395.6	-5403.5	-5411.4	-5419.3	-5427.2	-5435.1	-5443.0	-5450.9	-5458.8	-5466.7	-5474.6	-5482.5	-5490.4	-5498.3	-5506.2	-5514.1	-5522.0	-5529.9	-5537.8	-5545.7	-5553.6	-5561.5	-5569.4	-5577.3	-5585.2	-5593.1	-5601.0	-5608.9	-5616.8	-5624.7	-5632.6	-5640.5	-5648.4	-5656.3	-5664.2	-5672.1	-5680.0	-5687.9	-5695.8	-5703.7	-5711.6	-5719.5	-5727.4	-5735.3	-5743.2	-5751.1	-5759.0	-5766.9	-5774.8	-5782.7	-5790.6	-5798.5	-5806.4	-5814.3	-5822.2	-5830.1	-5838.0	-5845.9	-5853.8	-5861.7	-5869.6	-5877.5	-5885.4	-5893.3	-5901.2	-5909.1	-5917.0	-5924.9	-5932.8	-5940.7	-5948.6	-5956.5	-5964.4	-5972.3	-5980.2	-5988.1	-5996.0	-6003.9	-6011.8	-6019.7	-6027.6	-6035.5	-6043.4	-6051.3	-6059.2	-6067.1	-6075.0	-6082.9	-6090.8	-6098.7	-6106.6	-6114.5	-6122.4	-6130.3	-6138.2	-6146.1	-6154.0	-6161.9	-6169.8	-6177.7	-6185.6	-6193.5	-6201.4	-6209.3	-6217.2	-6225.1	-6233.0	-6240.9	-6248.8	-6256.7	-6264.6	-6272.5	-6280.4	-6288.3	-6296.2	-6304.1	-6312.0	-6319.9	-6327.8	-6335.7	-6343.6	-6351.5	-6359.4	-6367.3	-6375.2	-6383.1	-6391.0	-6398.9	-6406.8	-6414.7	-6422.6	-6430.5	-6438.4	-6446.3	-6454.2	-6462.1	-6470.0	-6477.9	-6485.8	-6493.7	-6501.6	-6509.5	-6517.4	-6525.3	-6533.2	-6541.1	-6549.0	-6556.9	-6564.8	-6572.7	-6580.6	-6588.5	-6596.4	-6604.3	-6612.2	-6620.1	-6628.0	-6635.9	-6643.8	-6651.7	-6659.6	-6667.5	-6675.4	-6683.3	-6691.2	-6699.1	-6707.0	-6714.9	-6722.8	-6730.7	-6738.6	-6746.5	-6754.4	-6762.3	-6770.2	-6778.1	-6786.0	-6793.9	-6801.8	-6809.7	-6817.6	-6825.5	-6833.4	-6841.3	-6849.2	-6857.1	-6865

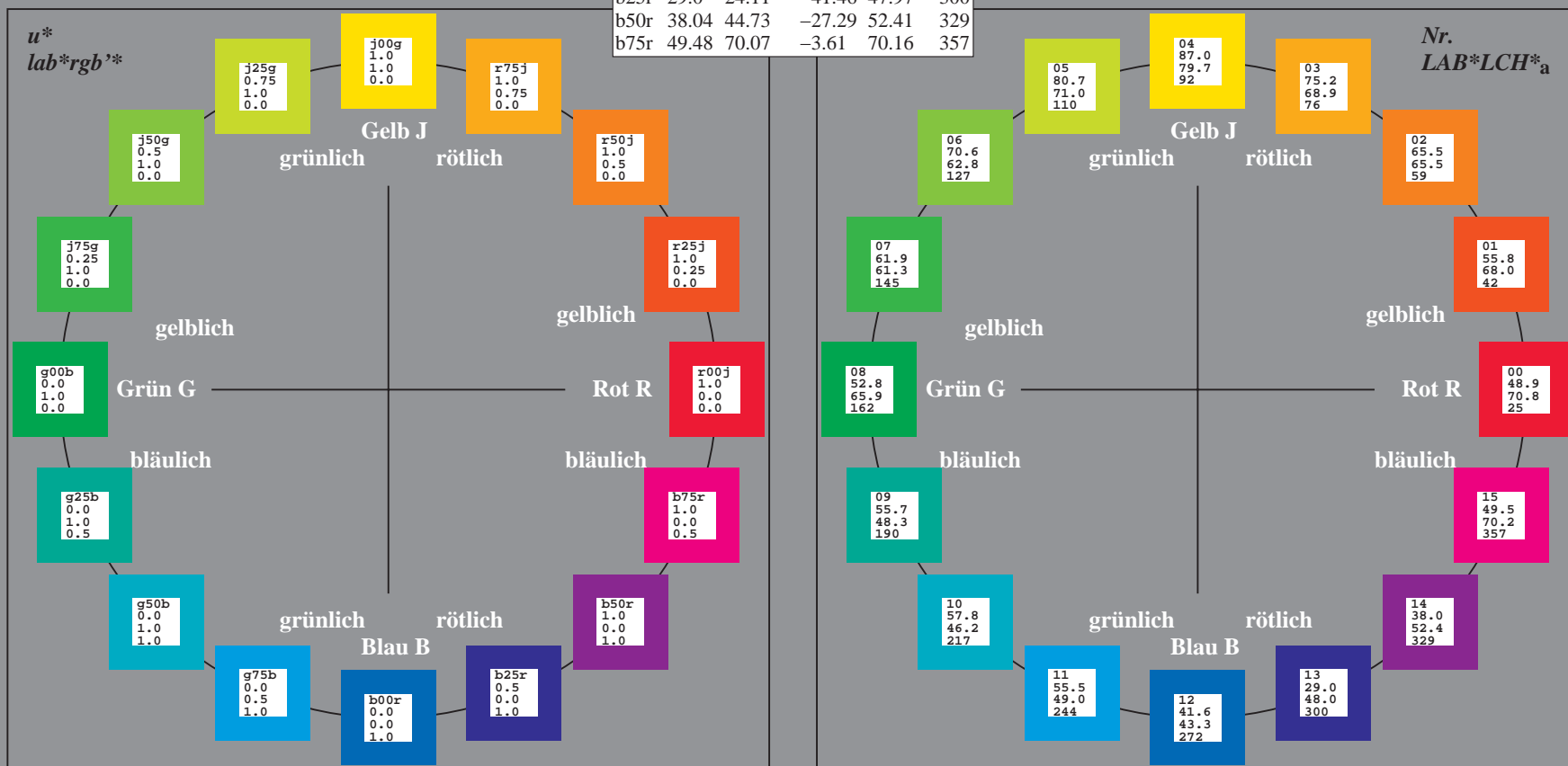
Ein und Ausgabe:
Farbmetrisches Drucker-Reflektiv-System ORS20_95a
Daten für jede Farbe:
*lab*_{rgb}** und *lab*_{icu}**
Elementar-Bunttontext:
*u** = 16 Buntttöne *r00j*, *r25j*, ..., *b75r*
Kontrastreduzierungsfaktor:
c_R = 0.96

ORS20_95a; adaptierte CIELAB-Daten					
	<i>L*</i> = <i>L*</i> _a	<i>a*</i> _a	<i>b*</i> _a	<i>C*</i> _{ab,a}	<i>h*</i> _{ab,a}
r00j	48.88	63.91	30.45	70.79	25
r25j	55.85	50.36	45.65	67.97	42
r50j	65.45	33.86	56.12	65.54	59
r75j	75.19	17.13	66.73	68.89	76
j00g	87.03	-3.21	79.64	79.7	92
j25g	80.72	-24.03	66.82	71.01	110
j50g	70.64	-38.01	49.96	62.78	127
j75g	61.93	-50.08	35.41	61.34	145
g00b	52.8	-62.76	20.12	65.91	162
g25b	55.7	-47.65	-8.05	48.34	190
g50b	57.82	-36.91	-27.79	46.22	217
g75b	55.5	-21.19	-44.16	49.0	244
b00r	41.6	1.31	-43.27	43.3	272
b25r	29.0	24.11	-41.46	47.97	300
b50r	38.04	44.73	-27.29	52.41	329
b75r	49.48	70.07	-3.61	70.16	357



%Umfang
*u**_{rel} = 83
%Regularität
*g**_{H,rel} = 72
*g**_{C,rel} = 57

ORS20_95a; CIELAB-Daten					
	<i>L*</i> = <i>L*</i>	<i>a*</i>	<i>b*</i>	<i>C*</i> _{ab}	<i>h*</i> _{ab}
O _M	48.75	62.65	39.19	73.89	32
Y _M	90.92	-10.35	85.91	86.53	97
L _M	52.69	-62.87	21.3	66.38	161
C _M	59.61	-27.91	-42.96	51.24	237
V _M	28.39	23.07	-41.5	47.5	299
M _M	49.58	71.15	-7.89	71.59	354
N _M	20.0	0.47	0.76	0.89	58
W _M	95.0	-0.51	2.11	2.17	104
R _{CIE}	39.92	58.74	27.99	65.07	25
J _{CIE}	81.26	-2.88	71.56	71.62	92
G _{CIE}	52.23	-42.41	13.6	44.55	162
B _{CIE}	30.57	1.41	-46.46	46.49	272



Ein und Ausgabe: Farbmetrisches Drucker-Reflektiv-System ORS20_95a für relativen CIELAB-Buntton $h^* = lab^*h^* = h_{ab}/360 = 25/360 = 0.071$ $u^* = r00j$ lab^*rgb^*

Daten für jede Farbe:

lab^*ch^* und lab^*icu^*

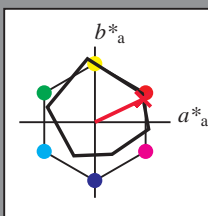
Elementar-Bunttontext:

$u^* = r00j$

Kontrastreduzierungsfaktor:

$c_R = 0.96$

Dreiecks-Helligkeit t^*



ORS20_95a; CIELAB-Daten					
	$L^*=L^*$	a^*	b^*	C^*_{ab}	h^*_{ab}
O _M	48.75	62.65	39.19	73.89	32
Y _M	90.92	-10.35	85.91	86.53	97
L _M	52.69	-62.87	21.3	66.38	161
C _M	59.61	-27.91	-42.96	51.24	237
V _M	28.39	23.07	-41.5	47.5	299
M _M	49.58	71.15	-7.89	71.59	354
N _M	20.0	0.47	0.76	0.89	58
W _M	95.0	-0.51	2.11	2.17	104
R _{CIE}	39.92	58.74	27.99	65.07	25
J _{CIE}	81.26	-2.88	71.56	71.62	92
G _{CIE}	52.23	-42.41	13.6	44.55	162
B _{CIE}	30.57	1.41	-46.46	46.49	272

Daten für Maximalfarbe (Ma):

$LAB^*LAB^*_{Ma}$: 49 64 30

$LAB^*LCH^*_{Ma}$: 49 71 25

$lab^*rgb^*_{Ma}$: 1.0 0.0 0.0

$lab^*olv^*_{Ma}$: 1.0 0.0 0.16

Dreiecks-Helligkeit t^*

%Umfang

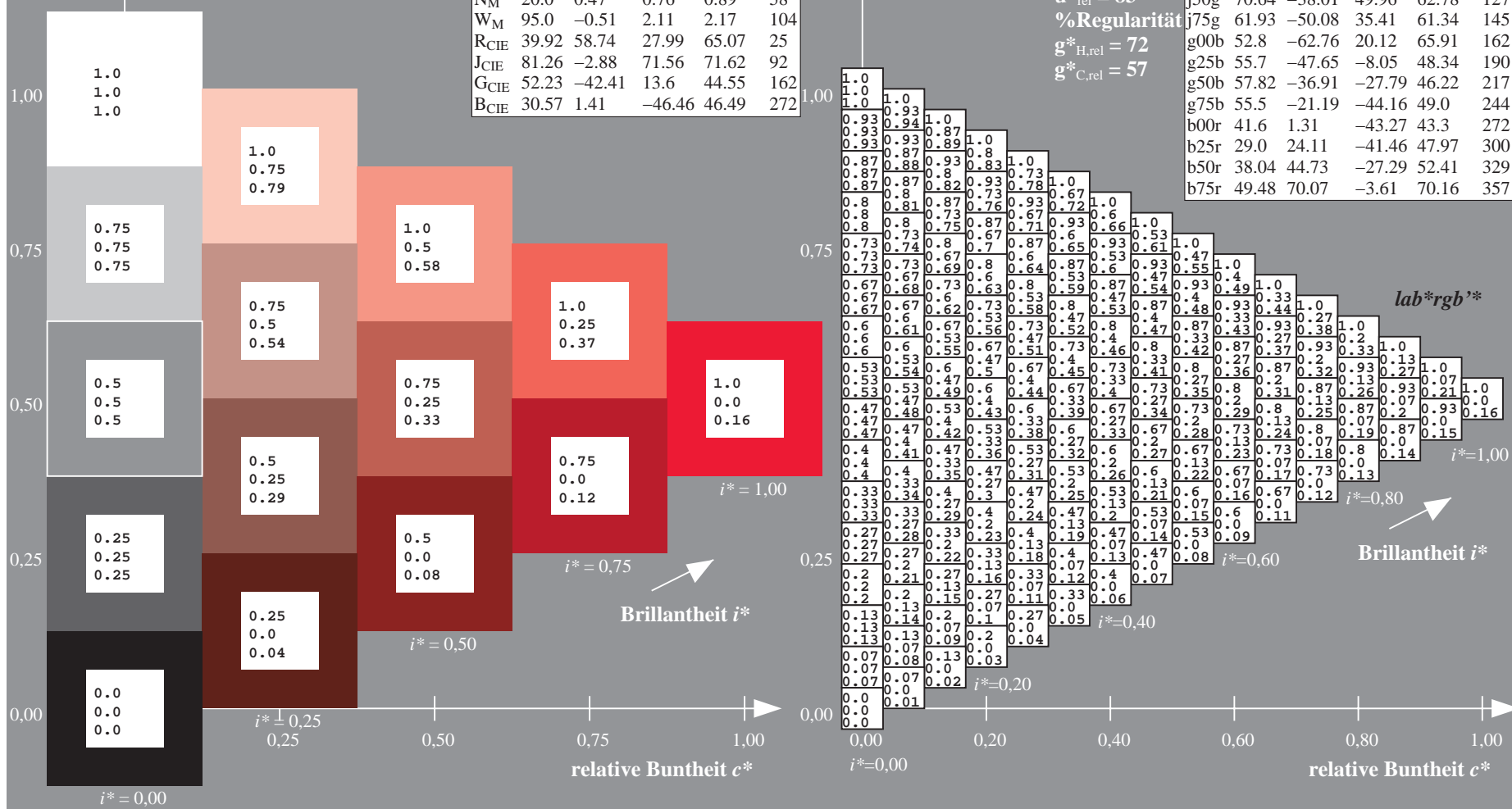
$u^*_{rel} = 83$

%Regularität

$g^*_{H,rel} = 72$

$g^*_{C,rel} = 57$

ORS20_95a; adaptierte CIELAB-Daten					
	$L^*=L^*_a$	a^*_a	b^*_a	$C^*_{ab,a}$	$h^*_{ab,a}$
r00j	48.88	63.91	30.45	70.79	25
r25j	55.85	50.36	45.65	67.97	42
r50j	65.45	33.86	56.12	65.54	59
r75j	75.19	17.13	66.73	68.89	76
j00g	87.03	-3.21	79.64	79.7	92
j25g	80.72	-24.03	66.82	71.01	110
j50g	70.64	-38.01	49.96	62.78	127
j75g	61.93	-50.08	35.41	61.34	145
g00b	52.8	-62.76	20.12	65.91	162
g25b	55.7	-47.65	-8.05	48.34	190
g50b	57.82	-36.91	-27.79	46.22	217
g75b	55.5	-21.19	-44.16	49.0	244
b00r	41.6	1.31	-43.27	43.3	272
b25r	29.0	24.11	-41.46	47.97	300
b50r	38.04	44.73	-27.29	52.41	329
b75r	49.48	70.07	-3.61	70.16	357



Ein und Ausgabe: Farbmetrisches Drucker-Reflektiv-System ORS20_95a für relativen CIELAB-Buntton $h^* = lab^*h^* = h_{ab}/360 = 42/360 = 0.117$ $u^* = r25j$
Daten für jede Farbe: lab^*ch^* und lab^*icu^*

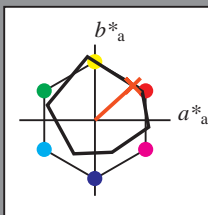
Elementar-Bunttontext:

$u^* = r25j$

Kontrastreduzierungsfaktor:

$c_R = 0.96$

Dreiecks-Helligkeit t^*



ORS20_95a; CIELAB-Daten					
	$L^*=L^*$	a^*	b^*	C^*_{ab}	h^*_{ab}
O _M	48.75	62.65	39.19	73.89	32
Y _M	90.92	-10.35	85.91	86.53	97
L _M	52.69	-62.87	21.3	66.38	161
C _M	59.61	-27.91	-42.96	51.24	237
V _M	28.39	23.07	-41.5	47.5	299
M _M	49.58	71.15	-7.89	71.59	354
N _M	20.0	0.47	0.76	0.89	58
W _M	95.0	-0.51	2.11	2.17	104
R _{CIE}	39.92	58.74	27.99	65.07	25
J _{CIE}	81.26	-2.88	71.56	71.62	92
G _{CIE}	52.23	-42.41	13.6	44.55	162
B _{CIE}	30.57	1.41	-46.46	46.49	272

Daten für Maximalfarbe (Ma):

$LAB^*LAB^*_{Ma}$: 56 50 46

$LAB^*LCH^*_{Ma}$: 56 68 42

$lab^*rgb^*_{Ma}$: 1.0 0.25 0.0

$lab^*olv^*_{Ma}$: 1.0 0.17 0.0

Dreiecks-Helligkeit t^*

%Umfang

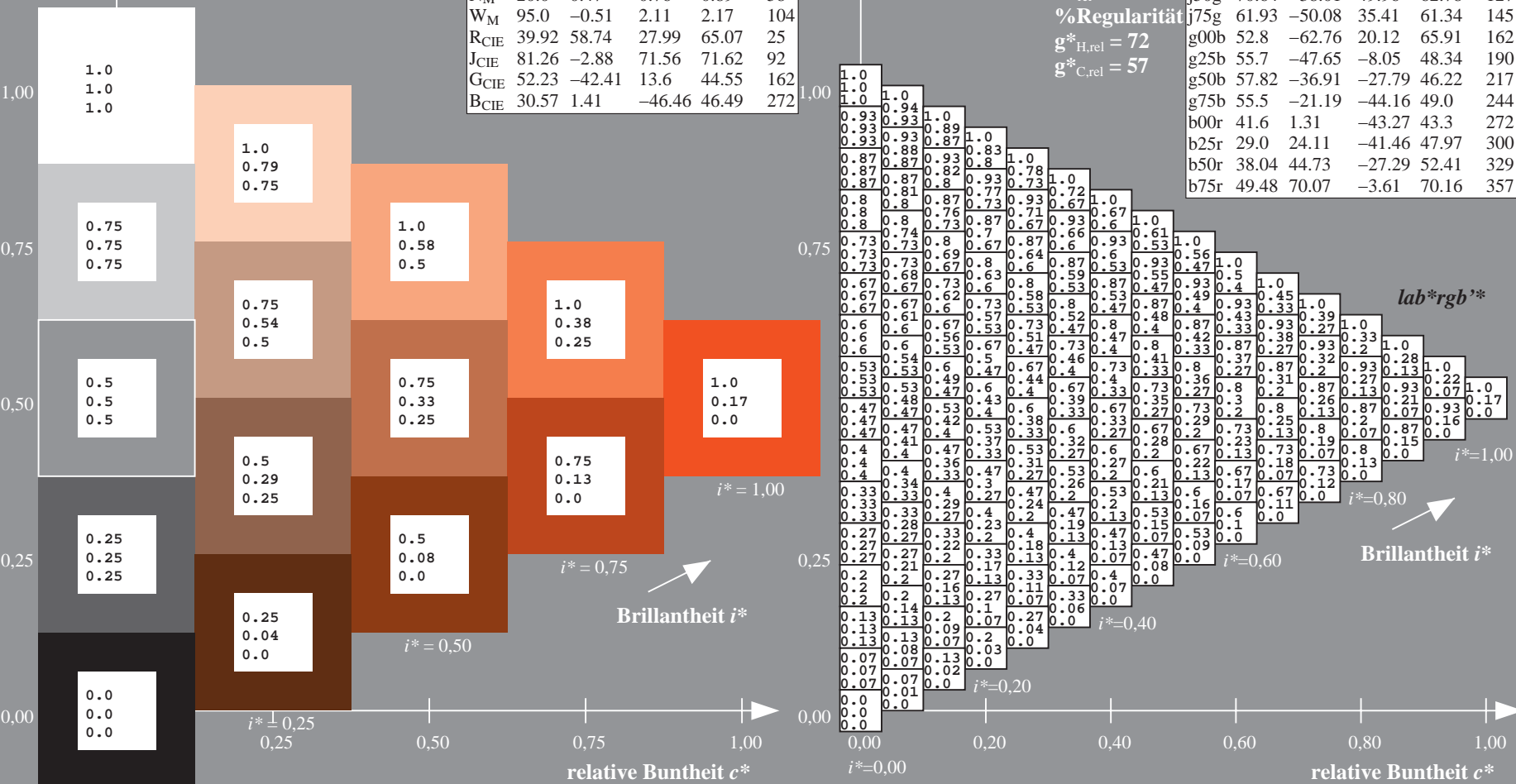
$u^*_{rel} = 83$

%Regularität

$g^*_{H,rel} = 72$

$g^*_{C,rel} = 57$

ORS20_95a; adaptierte CIELAB-Daten					
	$L^*=L^*_a$	a^*_a	b^*_a	$C^*_{ab,a}$	$h^*_{ab,a}$
r00j	48.88	63.91	30.45	70.79	25
r25j	55.85	50.36	45.65	67.97	42
r50j	65.45	33.86	56.12	65.54	59
r75j	75.19	17.13	66.73	68.89	76
j00g	87.03	-3.21	79.64	79.7	92
j25g	80.72	-24.03	66.82	71.01	110
j50g	70.64	-38.01	49.96	62.78	127
j75g	61.93	-50.08	35.41	61.34	145
g00b	52.8	-62.76	20.12	65.91	162
g25b	55.7	-47.65	-8.05	48.34	190
g50b	57.82	-36.91	-27.79	46.22	217
g75b	55.5	-21.19	-44.16	49.0	244
b00r	41.6	1.31	-43.27	43.3	272
b25r	29.0	24.11	-41.46	47.97	300
b50r	38.04	44.73	-27.29	52.41	329
b75r	49.48	70.07	-3.61	70.16	357



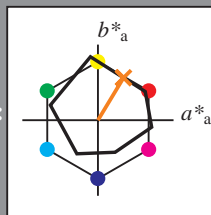
Ein und Ausgabe: Farbmetrisches Drucker-Reflektiv-System ORS20_95a für relativen CIELAB-Buntton $h^* = lab^*h^* = h_{ab}/360 = 59/360 = 0.164$ $u^* = r50j$

Daten für jede Farbe:
 lab^*ch^* und lab^*icu^*

Elementar-Bunttontext:
 $u^* = r50j$

Kontrastreduzierungsfaktor:
 $c_R = 0.96$

Dreiecks-Helligkeit t^*



ORS20_95a; CIELAB-Daten					
	$L^*=L^*$	a^*	b^*	C^*_{ab}	h^*_{ab}
O _M	48.75	62.65	39.19	73.89	32
Y _M	90.92	-10.35	85.91	86.53	97
L _M	52.69	-62.87	21.3	66.38	161
C _M	59.61	-27.91	-42.96	51.24	237
V _M	28.39	23.07	-41.5	47.5	299
M _M	49.58	71.15	-7.89	71.59	354
N _M	20.0	0.47	0.76	0.89	58
W _M	95.0	-0.51	2.11	2.17	104
R _{CIE}	39.92	58.74	27.99	65.07	25
J _{CIE}	81.26	-2.88	71.56	71.62	92
G _{CIE}	52.23	-42.41	13.6	44.55	162
B _{CIE}	30.57	1.41	-46.46	46.49	272

Daten für Maximalfarbe (Ma):

LAB^*LAB^*Ma : 65 34 56

LAB^*LCH^*Ma : 65 66 59

lab^*rgb^*Ma : 1.0 0.5 0.0

lab^*olv^*Ma : 1.0 0.4 0.0

Dreiecks-Helligkeit t^*

%Umfang

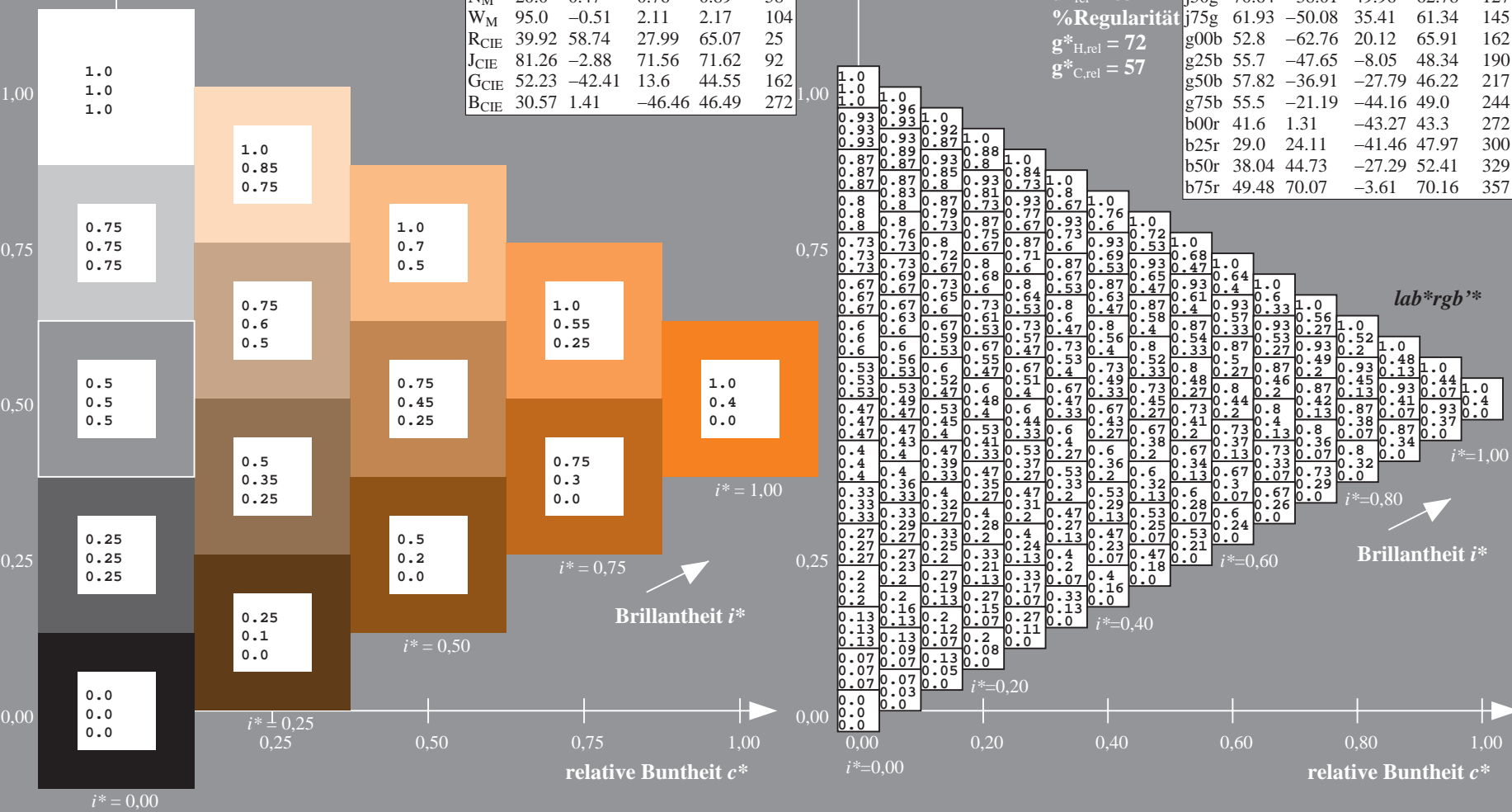
$u^*_{rel} = 83$

%Regularität

$g^*_{H,rel} = 72$

$g^*_{C,rel} = 57$

ORS20_95a; adaptierte CIELAB-Daten					
	$L^*=L^*_a$	a^*_a	b^*_a	$C^*_{ab,a}$	$h^*_{ab,a}$
r00j	48.88	63.91	30.45	70.79	25
r25j	55.85	50.36	45.65	67.97	42
r50j	65.45	33.86	56.12	65.54	59
r75j	75.19	17.13	66.73	68.89	76
j00g	87.03	-3.21	79.64	79.7	92
j25g	80.72	-24.03	66.82	71.01	110
j50g	70.64	-38.01	49.96	62.78	127
j75g	61.93	-50.08	35.41	61.34	145
g00b	52.8	-62.76	20.12	65.91	162
g25b	55.7	-47.65	-8.05	48.34	190
g50b	57.82	-36.91	-27.79	46.22	217
g75b	55.5	-21.19	-44.16	49.0	244
b00r	41.6	1.31	-43.27	43.3	272
b25r	29.0	24.11	-41.46	47.97	300
b50r	38.04	44.73	-27.29	52.41	329
b75r	49.48	70.07	-3.61	70.16	357



Ein und Ausgabe: Farbmetrisches Drucker-Reflektiv-System ORS20_95a für relativen CIELAB-Buntton $h^* = lab^*h^* = h_{ab}/360 = 76/360 = 0.21$ $u^* = r75j$
Daten für jede Farbe: lab^*ch^* und lab^*icu^*

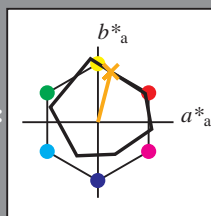
Elementar-Bunttontext:

$u^* = r75j$

Kontrastreduzierungsfaktor:

$c_R = 0.96$

Dreiecks-Helligkeit t^*



ORS20_95a; CIELAB-Daten					
	$L^*=L^*$	a^*	b^*	C^*_{ab}	h^*_{ab}
O _M	48.75	62.65	39.19	73.89	32
Y _M	90.92	-10.35	85.91	86.53	97
L _M	52.69	-62.87	21.3	66.38	161
C _M	59.61	-27.91	-42.96	51.24	237
V _M	28.39	23.07	-41.5	47.5	299
M _M	49.58	71.15	-7.89	71.59	354
N _M	20.0	0.47	0.76	0.89	58
W _M	95.0	-0.51	2.11	2.17	104
R _{CIE}	39.92	58.74	27.99	65.07	25
J _{CIE}	81.26	-2.88	71.56	71.62	92
G _{CIE}	52.23	-42.41	13.6	44.55	162
B _{CIE}	30.57	1.41	-46.46	46.49	272

Daten für Maximalfarbe (Ma):

$LAB^*LAB^*_{Ma}$: 75 17 67

$LAB^*LCH^*_{Ma}$: 75 69 76

$lab^*rgb^*_{Ma}$: 1.0 0.75 0.0

$lab^*olv^*_{Ma}$: 1.0 0.63 0.0

Dreiecks-Helligkeit t^*

%Umfang

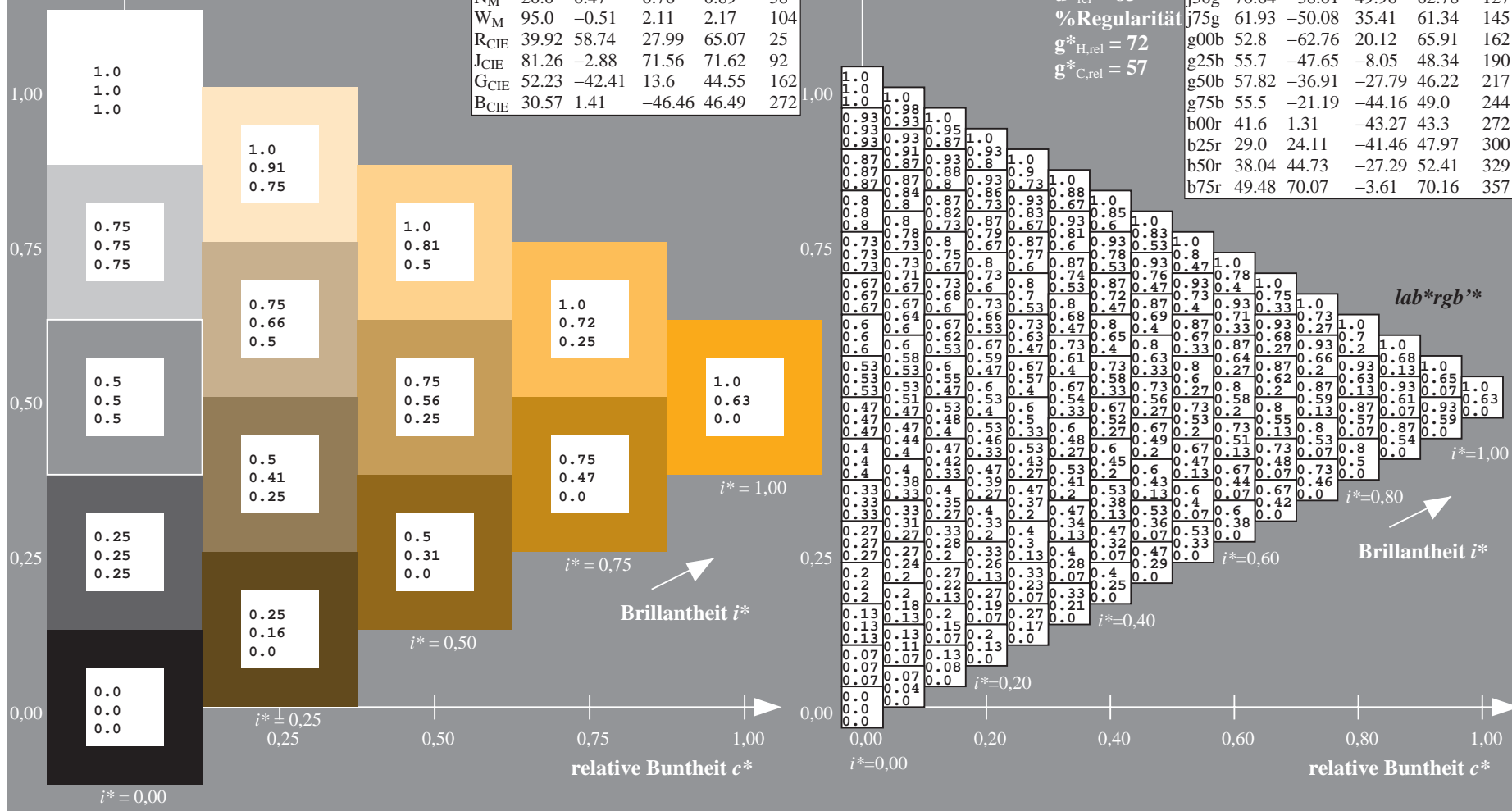
$u^*_{rel} = 83$

%Regularität

$g^*_{H,rel} = 72$

$g^*_{C,rel} = 57$

ORS20_95a; adaptierte CIELAB-Daten					
	$L^*=L^*_a$	a^*_a	b^*_a	$C^*_{ab,a}$	$h^*_{ab,a}$
r00j	48.88	63.91	30.45	70.79	25
r25j	55.85	50.36	45.65	67.97	42
r50j	65.45	33.86	56.12	65.54	59
r75j	75.19	17.13	66.73	68.89	76
j00g	87.03	-3.21	79.64	79.7	92
j25g	80.72	-24.03	66.82	71.01	110
j50g	70.64	-38.01	49.96	62.78	127
j75g	61.93	-50.08	35.41	61.34	145
g00b	52.8	-62.76	20.12	65.91	162
g25b	55.7	-47.65	-8.05	48.34	190
g50b	57.82	-36.91	-27.79	46.22	217
g75b	55.5	-21.19	-44.16	49.0	244
b00r	41.6	1.31	-43.27	43.3	272
b25r	29.0	24.11	-41.46	47.97	300
b50r	38.04	44.73	-27.29	52.41	329
b75r	49.48	70.07	-3.61	70.16	357



Ein und Ausgabe: Farbmetrisches Drucker-Reflektiv-System ORS20_95a für relativen CIELAB-Buntton $h^* = lab^*h^* = h_{ab}/360 = 92/360 = 0.256$ $u^* = j00g$
Daten für jede Farbe: lab^*ch^* und lab^*icu^*

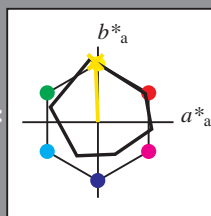
Elementar-Bunttontext:

$u^* = j00g$

Kontrastreduzierungsfaktor:

$c_R = 0.96$

Dreiecks-Helligkeit t^*



ORS20_95a; CIELAB-Daten					
	$L^*=L^*$	a^*	b^*	C^*_{ab}	h^*_{ab}
O _M	48.75	62.65	39.19	73.89	32
Y _M	90.92	-10.35	85.91	86.53	97
L _M	52.69	-62.87	21.3	66.38	161
C _M	59.61	-27.91	-42.96	51.24	237
V _M	28.39	23.07	-41.5	47.5	299
M _M	49.58	71.15	-7.89	71.59	354
N _M	20.0	0.47	0.76	0.89	58
W _M	95.0	-0.51	2.11	2.17	104
R _{CIE}	39.92	58.74	27.99	65.07	25
J _{CIE}	81.26	-2.88	71.56	71.62	92
G _{CIE}	52.23	-42.41	13.6	44.55	162
B _{CIE}	30.57	1.41	-46.46	46.49	272

Daten für Maximalfarbe (Ma):

$LAB^*LAB^*_{Ma}$: 87 -2 80

$LAB^*LCH^*_{Ma}$: 87 80 92

$lab^*rgb^*_{Ma}$: 1.0 1.0 0.0

$lab^*olv^*_{Ma}$: 1.0 0.91 0.0

Dreiecks-Helligkeit t^*

%Umfang

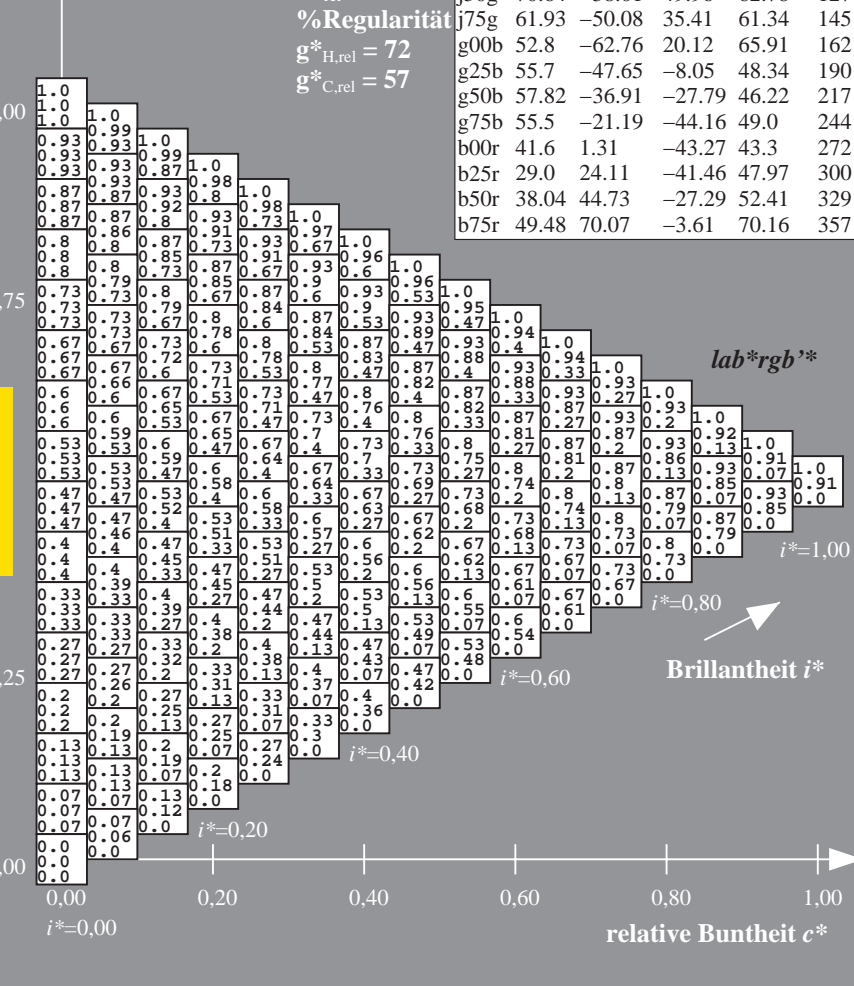
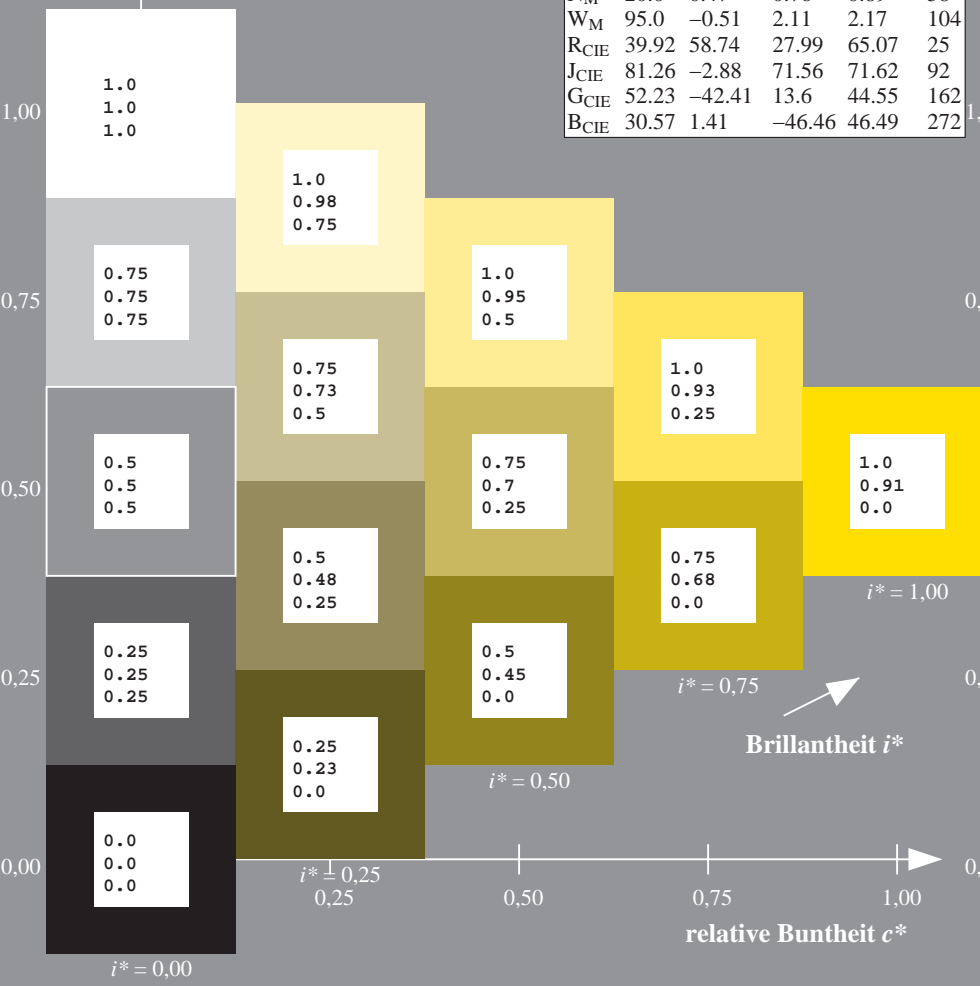
$u^*_{rel} = 83$

%Regularität

$g^*_{H,rel} = 72$

$g^*_{C,rel} = 57$

ORS20_95a; adaptierte CIELAB-Daten					
	$L^*=L^*_a$	a^*_a	b^*_a	$C^*_{ab,a}$	$h^*_{ab,a}$
r00j	48.88	63.91	30.45	70.79	25
r25j	55.85	50.36	45.65	67.97	42
r50j	65.45	33.86	56.12	65.54	59
r75j	75.19	17.13	66.73	68.89	76
j00g	87.03	-3.21	79.64	79.7	92
j25g	80.72	-24.03	66.82	71.01	110
j50g	70.64	-38.01	49.96	62.78	127
j75g	61.93	-50.08	35.41	61.34	145
g00b	52.8	-62.76	20.12	65.91	162
g25b	55.7	-47.65	-8.05	48.34	190
g50b	57.82	-36.91	-27.79	46.22	217
g75b	55.5	-21.19	-44.16	49.0	244
b00r	41.6	1.31	-43.27	43.3	272
b25r	29.0	24.11	-41.46	47.97	300
b50r	38.04	44.73	-27.29	52.41	329
b75r	49.48	70.07	-3.61	70.16	357



BAM-Registrierung: 20080701-Dg99/10L/L99G00NA.PS/ .TXTBAM-Material: Code=rha4ta
- Anwendung für Beurteilung und Messung von Drucker- oder Monitorsystemen

Ein und Ausgabe: Farbmetrisches Drucker-Reflektiv-System ORS20_95a für relativen CIELAB-Buntton $h^* = lab^*h^* = h_{ab}/360 = 127/360 = 0.354$ $u^* = j50g$
Daten für jede Farbe: lab^*ch^* und lab^*icu^*

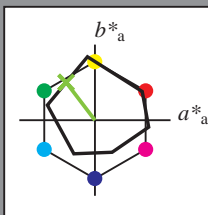
Elementar-Bunttontext:

$u^* = j50g$

Kontrastreduzierungsfaktor:

$c_R = 0.96$

Dreiecks-Helligkeit t^*



ORS20_95a; CIELAB-Daten					
	$L^*=L^*$	a^*	b^*	C^*_{ab}	h^*_{ab}
O _M	48.75	62.65	39.19	73.89	32
Y _M	90.92	-10.35	85.91	86.53	97
L _M	52.69	-62.87	21.3	66.38	161
C _M	59.61	-27.91	-42.96	51.24	237
V _M	28.39	23.07	-41.5	47.5	299
M _M	49.58	71.15	-7.89	71.59	354
N _M	20.0	0.47	0.76	0.89	58
W _M	95.0	-0.51	2.11	2.17	104
R _{CIE}	39.92	58.74	27.99	65.07	25
J _{CIE}	81.26	-2.88	71.56	71.62	92
G _{CIE}	52.23	-42.41	13.6	44.55	162
B _{CIE}	30.57	1.41	-46.46	46.49	272

Daten für Maximalfarbe (Ma):

$LAB^*LAB^*_{Ma}$: 71 -37 50

$LAB^*LCH^*_{Ma}$: 71 63 127

$lab^*rgb^*_{Ma}$: 0.5 1.0 0.0

$lab^*olv^*_{Ma}$: 0.47 1.0 0.0

Dreiecks-Helligkeit t^*

%Umfang

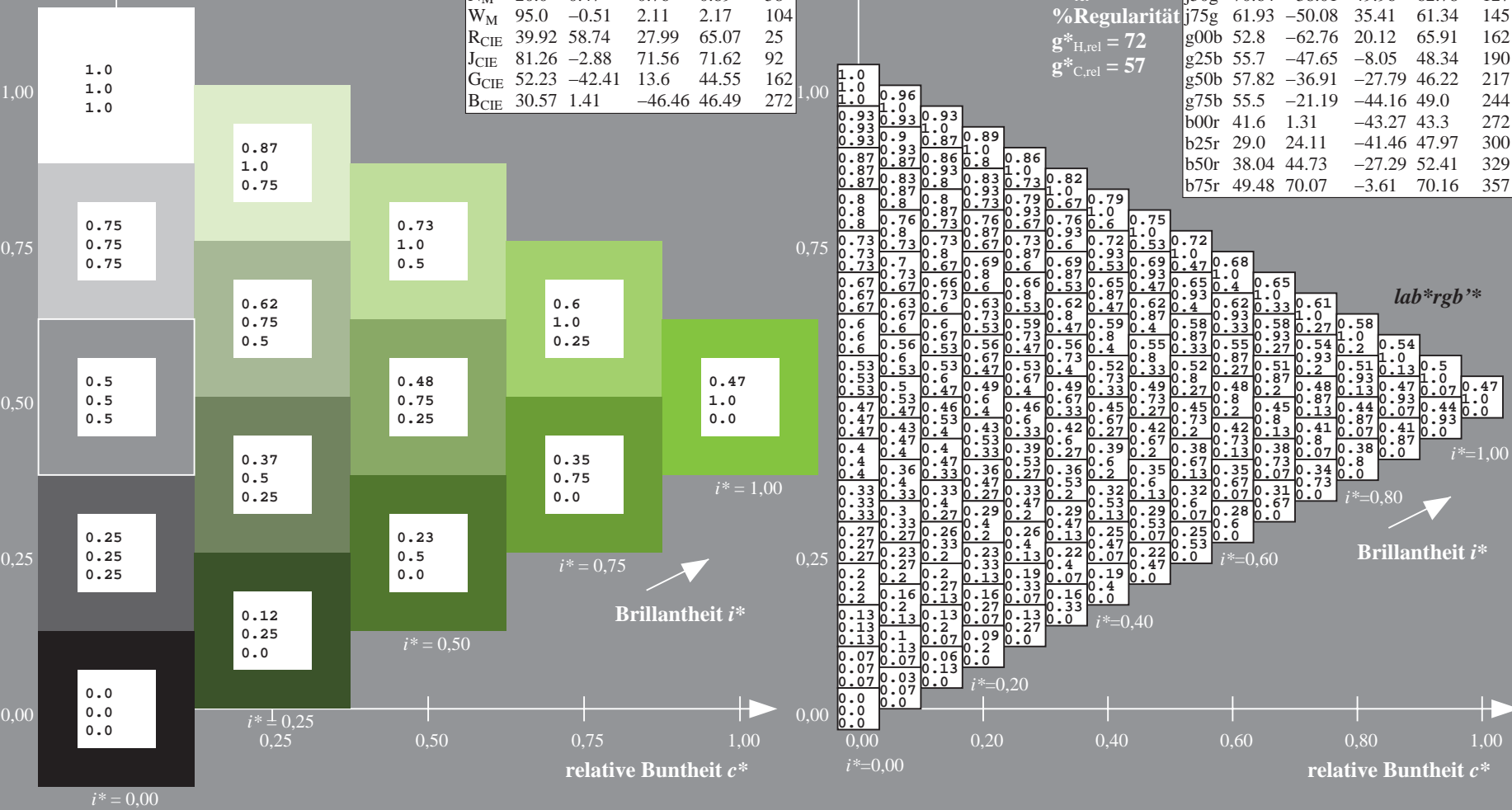
$u^*_{rel} = 83$

%Regularität

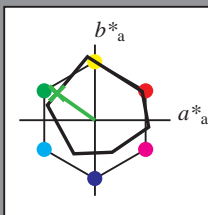
$g^*_{H,rel} = 72$

$g^*_{C,rel} = 57$

ORS20_95a; adaptierte CIELAB-Daten					
	$L^*=L^*_a$	a^*_a	b^*_a	$C^*_{ab,a}$	$h^*_{ab,a}$
r00j	48.88	63.91	30.45	70.79	25
r25j	55.85	50.36	45.65	67.97	42
r50j	65.45	33.86	56.12	65.54	59
r75j	75.19	17.13	66.73	68.89	76
j00g	87.03	-3.21	79.64	79.7	92
j25g	80.72	-24.03	66.82	71.01	110
j50g	70.64	-38.01	49.96	62.78	127
j75g	61.93	-50.08	35.41	61.34	145
g00b	52.8	-62.76	20.12	65.91	162
g25b	55.7	-47.65	-8.05	48.34	190
g50b	57.82	-36.91	-27.79	46.22	217
g75b	55.5	-21.19	-44.16	49.0	244
b00r	41.6	1.31	-43.27	43.3	272
b25r	29.0	24.11	-41.46	47.97	300
b50r	38.04	44.73	-27.29	52.41	329
b75r	49.48	70.07	-3.61	70.16	357



Ein und Ausgabe: Farbmetrisches Drucker-Reflektiv-System ORS20_95a für relativen CIELAB-Buntton $h^* = lab^*h^* = h_{ab}/360 = 145/360 = 0.402$ $u^* = j75g$
Daten für jede Farbe: lab^*ch^* und lab^*icu^*
Elementar-Bunttontext: $u^* = j75g$
Kontrastreduzierungsfaktor: $c_R = 0.96$
Dreiecks-Helligkeit i^*



ORS20_95a; CIELAB-Daten					
	$L^*=L^*$	a^*	b^*	C^*_{ab}	h^*_{ab}
O _M	48.75	62.65	39.19	73.89	32
Y _M	90.92	-10.35	85.91	86.53	97
L _M	52.69	-62.87	21.3	66.38	161
C _M	59.61	-27.91	-42.96	51.24	237
V _M	28.39	23.07	-41.5	47.5	299
M _M	49.58	71.15	-7.89	71.59	354
N _M	20.0	0.47	0.76	0.89	58
W _M	95.0	-0.51	2.11	2.17	104
R _{CIE}	39.92	58.74	27.99	65.07	25
J _{CIE}	81.26	-2.88	71.56	71.62	92
G _{CIE}	52.23	-42.41	13.6	44.55	162
B _{CIE}	30.57	1.41	-46.46	46.49	272

Daten für Maximalfarbe (Ma):

LAB^*LAB^*Ma : 62 -49 35

LAB^*LCH^*Ma : 62 61 145

lab^*rgb^*Ma : 0.25 1.0 0.0

lab^*olv^*Ma : 0.24 1.0 0.0

Dreiecks-Helligkeit i^*

%Umfang

$u^*_{rel} = 83$

%Regularität

$g^*_{H,rel} = 72$

$g^*_{C,rel} = 57$

ORS20_95a; adaptierte CIELAB-Daten					
	$L^*=L^*_a$	a^*_a	b^*_a	$C^*_{ab,a}$	$h^*_{ab,a}$
r00j	48.88	63.91	30.45	70.79	25
r25j	55.85	50.36	45.65	67.97	42
r50j	65.45	33.86	56.12	65.54	59
r75j	75.19	17.13	66.73	68.89	76
j00g	87.03	-3.21	79.64	79.7	92
j25g	80.72	-24.03	66.82	71.01	110
j50g	70.64	-38.01	49.96	62.78	127
j75g	61.93	-50.08	35.41	61.34	145
g00b	52.8	-62.76	20.12	65.91	162
g25b	55.7	-47.65	-8.05	48.34	190
g50b	57.82	-36.91	-27.79	46.22	217
g75b	55.5	-21.19	-44.16	49.0	244
b00r	41.6	1.31	-43.27	43.3	272
b25r	29.0	24.11	-41.46	47.97	300
b50r	38.04	44.73	-27.29	52.41	329
b75r	49.48	70.07	-3.61	70.16	357

lab^*rgb^*

$i^*=1.00$

Brillantheit i^*

$i^*=0.80$

$i^*=0.60$

$i^*=0.40$

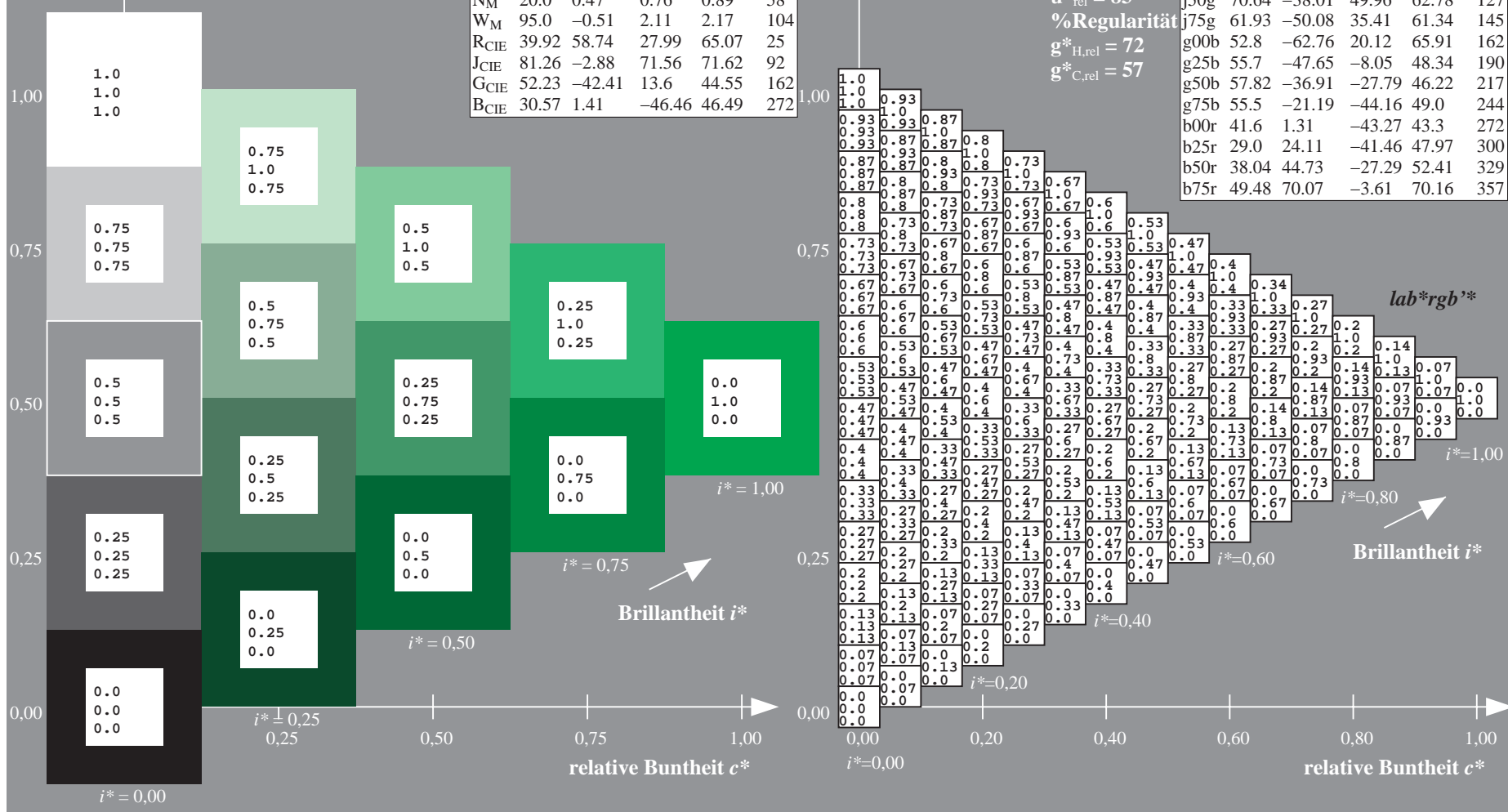
$i^*=0.20$

$i^*=0.00$

Directs attention to



Figure 1 illustrates the relationship between Brillhantheit (i^*) and relative Buntheit (c^*). The top part of the figure shows a staircase-like structure of squares, each containing a numerical value. The values range from 0.0 to 0.8. An arrow points from the text "Brillhantheit i^* " to the top right of the structure. The bottom part of the figure shows a horizontal axis labeled "relative Buntheit c^* " with tick marks at 0.60, 0.80, and 1.00. The axis ends with a right-pointing arrow.



Eingabe: 000n / w / nnn0 / www set...
Ausgabe: ->cmyn5* setcmykcolor

Ein und Ausgabe: Farbmetrisches Drucker-Reflektiv-System ORS20_95a für relativen CIELAB-Buntton $h^* = lab^*h^* = h_{ab}/360 = 190/360 = 0.527$ $u^* = g25b$

Daten für jede Farbe:

lab^*ch^* und lab^*icu^*

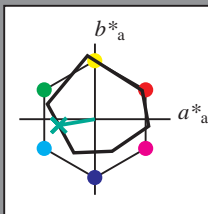
Elementar-Bunttontext:

$u^* = g25b$

Kontrastreduzierungsfaktor:

$c_R = 0.96$

Dreiecks-Helligkeit i^*



ORS20_95a; CIELAB-Daten

	$L^*=L^*$	a^*	b^*	C^*_{ab}	h^*_{ab}
O _M	48.75	62.65	39.19	73.89	32
Y _M	90.92	-10.35	85.91	86.53	97
L _M	52.69	-62.87	21.3	66.38	161
C _M	59.61	-27.91	-42.96	51.24	237
V _M	28.39	23.07	-41.5	47.5	299
M _M	49.58	71.15	-7.89	71.59	354
N _M	20.0	0.47	0.76	0.89	58
W _M	95.0	-0.51	2.11	2.17	104
R _{CIE}	39.92	58.74	27.99	65.07	25
J _{CIE}	81.26	-2.88	71.56	71.62	92
G _{CIE}	52.23	-42.41	13.6	44.55	162
B _{CIE}	30.57	1.41	-46.46	46.49	272

Daten für Maximalfarbe (Ma):

$LAB^*LAB^*_{Ma}$: 56 -47 -7

$LAB^*LCH^*_{Ma}$: 56 48 190

$lab^*rgb^*_{Ma}$: 0.0 1.0 0.5

$lab^*olv^*_{Ma}$: 0.0 1.0 0.44

Dreiecks-Helligkeit i^*

%Umfang

$u^*_{rel} = 83$

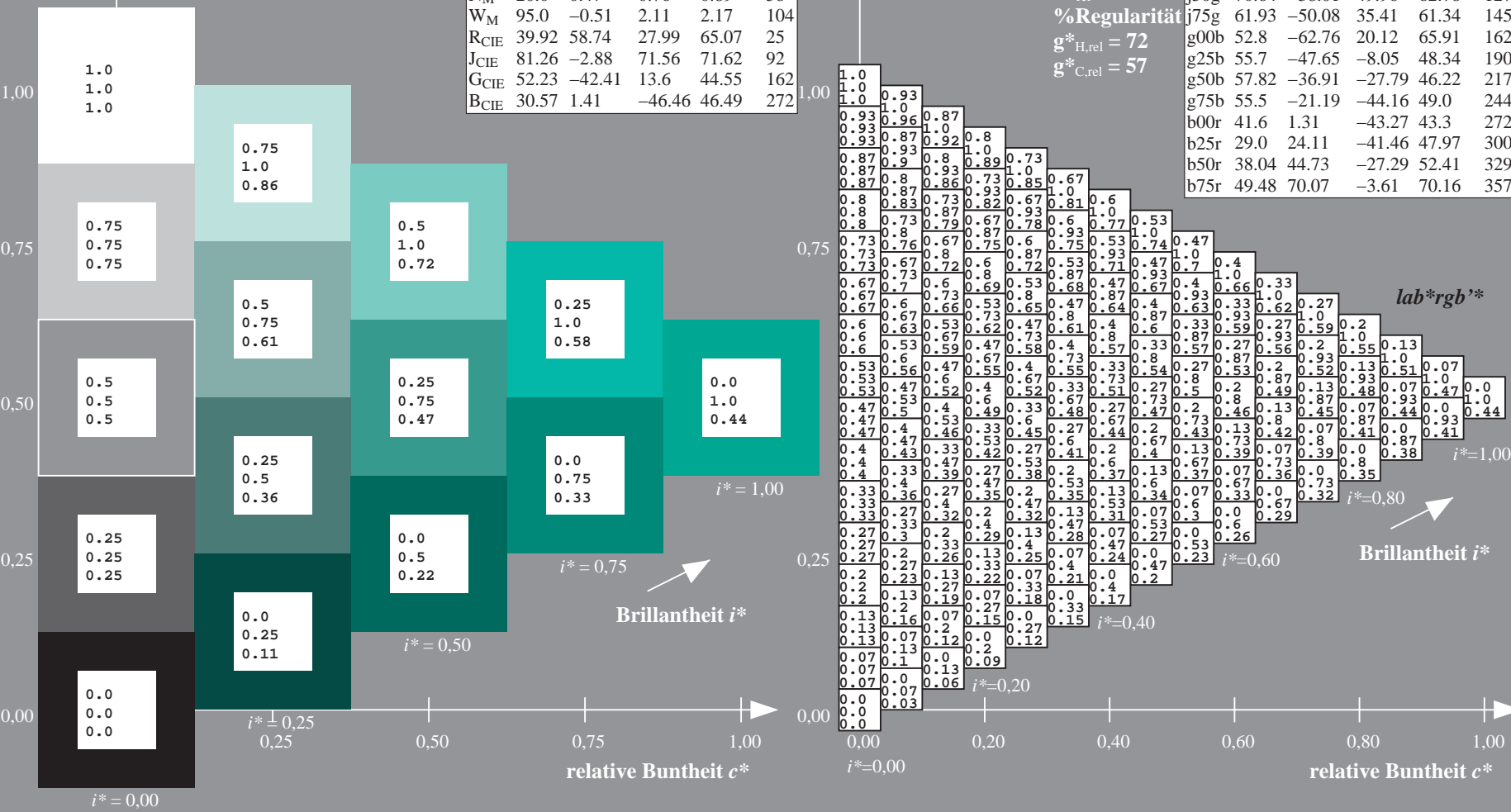
%Regularität

$g^*_{H,rel} = 72$

$g^*_{C,rel} = 57$

ORS20_95a; adaptierte CIELAB-Daten

	$L^*=L^*_a$	a^*_a	b^*_a	$C^*_{ab,a}$	$h^*_{ab,a}$
r00j	48.88	63.91	30.45	70.79	25
r25j	55.85	50.36	45.65	67.97	42
r50j	65.45	33.86	56.12	65.54	59
r75j	75.19	17.13	66.73	68.89	76
j00g	87.03	-3.21	79.64	79.7	92
j25g	80.72	-24.03	66.82	71.01	110
j50g	70.64	-50.08	49.96	62.78	127
j75g	61.93	-38.01	35.41	61.34	145
g00b	52.8	-62.76	20.12	65.91	162
g25b	55.7	-47.65	-8.05	48.34	190
g50b	57.82	-36.91	-27.79	46.22	217
g75b	55.5	-21.19	-44.16	49.0	244
b00r	41.6	1.31	-43.27	43.3	272
b25r	29.0	24.11	-41.46	47.97	300
b50r	38.04	44.73	-27.29	52.41	329
b75r	49.48	70.07	-3.61	70.16	357



Ein und Ausgabe: Farbmetrisches Drucker-Reflektiv-System ORS20_95a für relativen CIELAB-Buntton $h^* = lab^*h^* = h_{ab}/360 = 217/360 = 0.603$ $u^* = g50b$

Daten für jede Farbe:

lab^*ch^* und lab^*icu^*

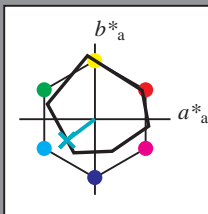
Elementar-Bunttontext:

$u^* = g50b$

Kontrastreduzierungsfaktor:

$c_R = 0.96$

Dreiecks-Helligkeit i^*



ORS20_95a; CIELAB-Daten

	$L^*=L^*$	a^*	b^*	C^*_{ab}	h^*_{ab}
O _M	48.75	62.65	39.19	73.89	32
Y _M	90.92	-10.35	85.91	86.53	97
L _M	52.69	-62.87	21.3	66.38	161
C _M	59.61	-27.91	-42.96	51.24	237
V _M	28.39	23.07	-41.5	47.5	299
M _M	49.58	71.15	-7.89	71.59	354
N _M	20.0	0.47	0.76	0.89	58
W _M	95.0	-0.51	2.11	2.17	104
R _{CIE}	39.92	58.74	27.99	65.07	25
J _{CIE}	81.26	-2.88	71.56	71.62	92
G _{CIE}	52.23	-42.41	13.6	44.55	162
B _{CIE}	30.57	1.41	-46.46	46.49	272

Daten für Maximalfarbe (Ma):

$LAB^*LAB^*_{Ma}$: 58 -36 -27

$LAB^*LCH^*_{Ma}$: 58 46 217

$lab^*rgb^*_{Ma}$: 0.0 1.0 1.0

$lab^*olv^*_{Ma}$: 0.0 1.0 0.74

Dreiecks-Helligkeit i^*

%Umfang

$u^*_{rel} = 83$

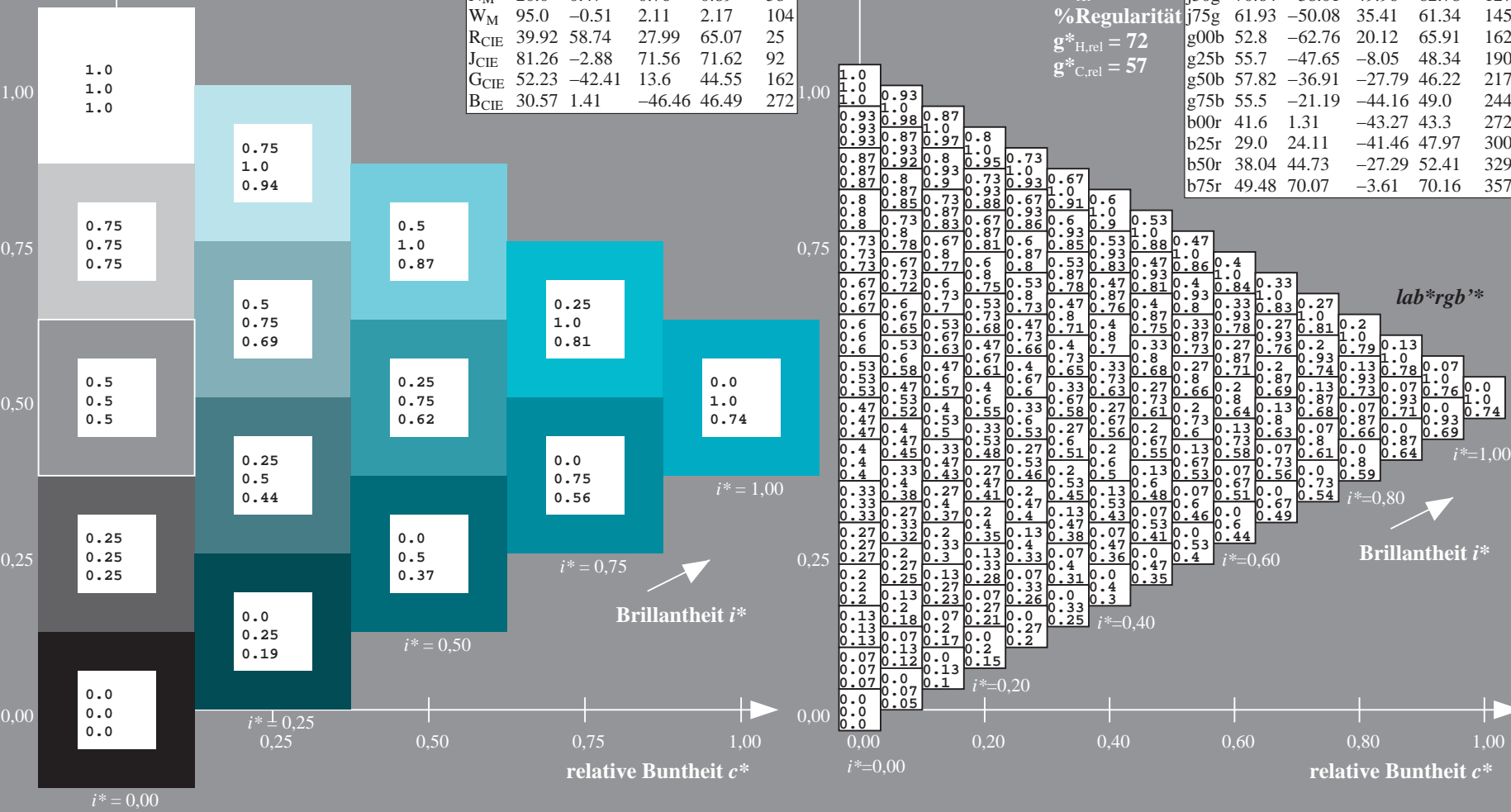
%Regularität

$g^*_{H,rel} = 72$

$g^*_{C,rel} = 57$

ORS20_95a; adaptierte CIELAB-Daten

	$L^*=L^*_a$	a^*_a	b^*_a	$C^*_{ab,a}$	$h^*_{ab,a}$
r00j	48.88	63.91	30.45	70.79	25
r25j	55.85	50.36	45.65	67.97	42
r50j	65.45	33.86	56.12	65.54	59
r75j	75.19	17.13	66.73	68.89	76
j00g	87.03	-3.21	79.64	79.7	92
j25g	80.72	-24.03	66.82	71.01	110
j50g	70.64	-30.08	49.96	62.78	127
j75g	61.93	-50.08	35.41	61.34	145
g00b	52.8	-62.76	20.12	65.91	162
g25b	55.7	-47.65	-8.05	48.34	190
g50b	57.82	-36.91	-27.79	46.22	217
g75b	55.5	-21.19	-44.16	49.0	244
b00r	41.6	1.31	-43.27	43.3	272
b25r	29.0	24.11	-41.46	47.97	300
b50r	38.04	44.73	-27.29	52.41	329
b75r	49.48	70.07	-3.61	70.16	357



Ein und Ausgabe: Farbmetrisches Drucker-Reflektiv-System ORS20_95a für relativen CIELAB-Buntton $h^* = lab^*h^* = h_{ab}/360 = 244/360 = 0.679$ $u^* = g75b$

Daten für jede Farbe:

lab^*ch^* und lab^*icu^*

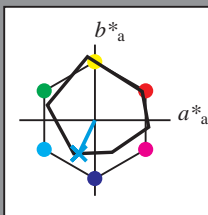
Elementar-Bunttontext:

$u^* = g75b$

Kontrastreduzierungsfaktor:

$c_R = 0.96$

Dreiecks-Helligkeit i^*



ORS20_95a; CIELAB-Daten					
	$L^*=L^*$	a^*	b^*	C^*_{ab}	h^*_{ab}
O _M	48.75	62.65	39.19	73.89	32
Y _M	90.92	-10.35	85.91	86.53	97
L _M	52.69	-62.87	21.3	66.38	161
C _M	59.61	-27.91	-42.96	51.24	237
V _M	28.39	23.07	-41.5	47.5	299
M _M	49.58	71.15	-7.89	71.59	354
N _M	20.0	0.47	0.76	0.89	58
W _M	95.0	-0.51	2.11	2.17	104
R _{CIE}	39.92	58.74	27.99	65.07	25
J _{CIE}	81.26	-2.88	71.56	71.62	92
G _{CIE}	52.23	-42.41	13.6	44.55	162
B _{CIE}	30.57	1.41	-46.46	46.49	272

Daten für Maximalfarbe (Ma):

$LAB^*LAB^*_{Ma}$: 55 -20 -43

$LAB^*LCH^*_{Ma}$: 55 49 244

$lab^*rgb^*_{Ma}$: 0.0 0.5 1.0

$lab^*olv^*_{Ma}$: 0.0 0.87 1.0

Dreiecks-Helligkeit i^*

%Umfang

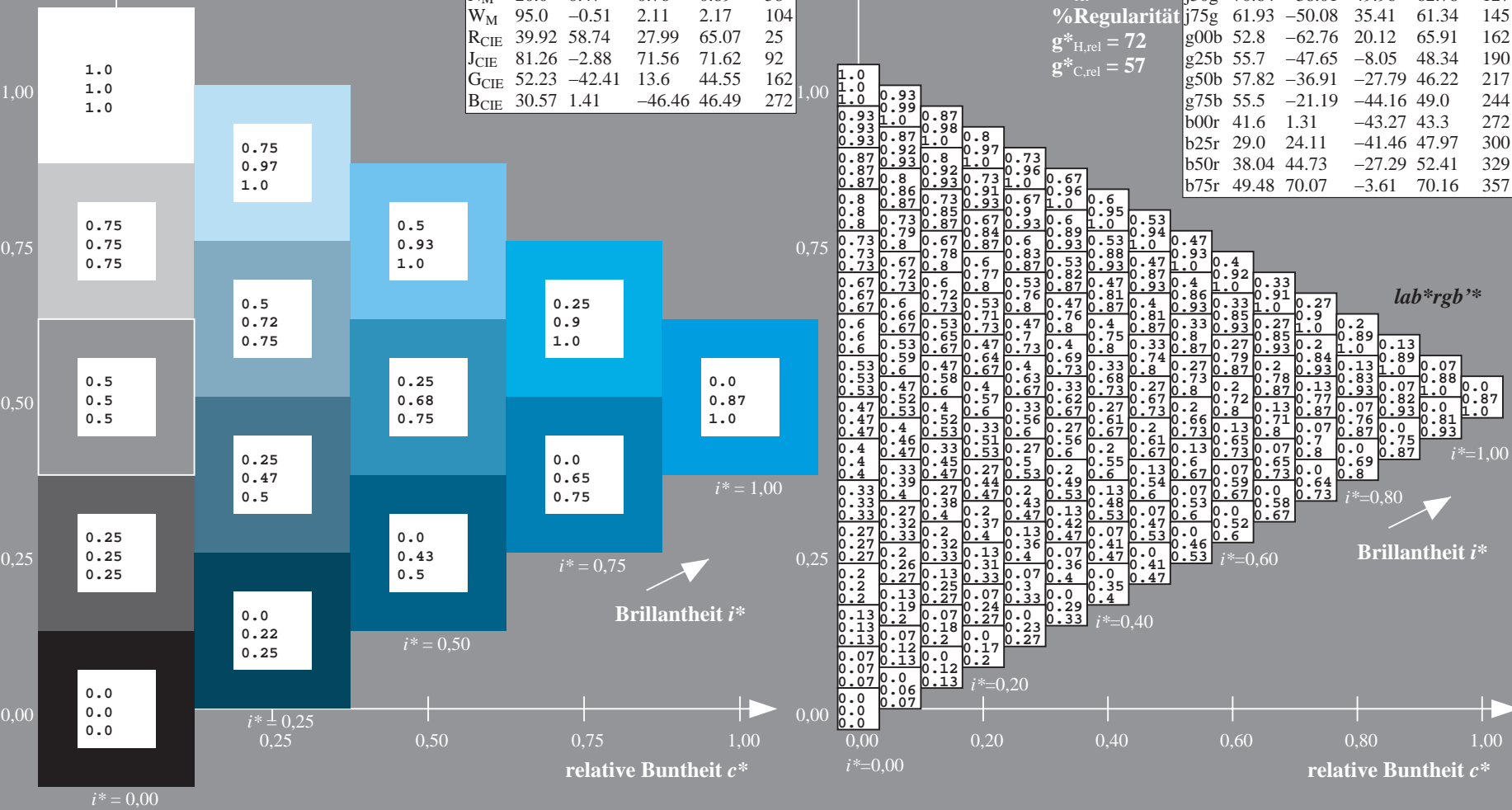
$u^*_{rel} = 83$

%Regularität

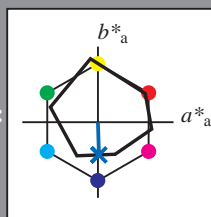
$g^*_{H,rel} = 72$

$g^*_{C,rel} = 57$

ORS20_95a; adaptierte CIELAB-Daten					
	$L^*=L^*_a$	a^*_a	b^*_a	$C^*_{ab,a}$	$h^*_{ab,a}$
r00j	48.88	63.91	30.45	70.79	25
r25j	55.85	50.36	45.65	67.97	42
r50j	65.45	33.86	56.12	65.54	59
r75j	75.19	17.13	66.73	68.89	76
j00g	87.03	-3.21	79.64	79.7	92
j25g	80.72	-24.03	66.82	71.01	110
j50g	70.64	-38.01	49.96	62.78	127
j75g	61.93	-50.08	35.41	61.34	145
g00b	52.8	-62.76	20.12	65.91	162
g25b	55.7	-47.65	-8.05	48.34	190
g50b	57.82	-36.91	-27.79	46.22	217
g75b	55.5	-21.19	-44.16	49.0	244
b00r	41.6	1.31	-43.27	43.3	272
b25r	29.0	24.11	-41.46	47.97	300
b50r	38.04	44.73	-27.29	52.41	329
b75r	49.48	70.07	-3.61	70.16	357



Ein und Ausgabe: Farbmetrisches Drucker-Reflektiv-System ORS20_95a für relativen CIELAB-Buntton $h^* = lab^*h^* = h_{ab}/360 = 272/360 = 0.755$ $u^* = b00r$
Daten für jede Farbe:
 lab^*ch^* und lab^*icu^*
Elementar-Bunttontext:
 $u^* = b00r$
Kontrastreduzierungsfaktor:
 $c_R = 0.96$
Dreiecks-Helligkeit t^*



ORS20_95a; CIELAB-Daten					
	$L^*=L^*$	a^*	b^*	C^*_{ab}	h^*_{ab}
O _M	48.75	62.65	39.19	73.89	32
Y _M	90.92	-10.35	85.91	86.53	97
L _M	52.69	-62.87	21.3	66.38	161
C _M	59.61	-27.91	-42.96	51.24	237
V _M	28.39	23.07	-41.5	47.5	299
M _M	49.58	71.15	-7.89	71.59	354
N _M	20.0	0.47	0.76	0.89	58
W _M	95.0	-0.51	2.11	2.17	104
R _{CIE}	39.92	58.74	27.99	65.07	25
J _{CIE}	81.26	-2.88	71.56	71.62	92
G _{CIE}	52.23	-42.41	13.6	44.55	162
B _{CIE}	30.57	1.41	-46.46	46.49	272

Daten für Maximalfarbe (Ma):

$LAB^*LAB^*_{Ma}$: 42 1 -42

$LAB^*LCH^*_{Ma}$: 42 43 272

$lab^*rgb^*_{Ma}$: 0.0 0.0 1.0

$lab^*olv^*_{Ma}$: 0.0 0.42 1.0

Dreiecks-Helligkeit t^*

%Umfang

$u^*_{rel} = 83$

%Regularität

$g^*_{H,rel} = 72$

$g^*_{C,rel} = 57$

ORS20_95a; adaptierte CIELAB-Daten					
	$L^*=L^*_a$	a^*_a	b^*_a	$C^*_{ab,a}$	$h^*_{ab,a}$
r00j	48.88	63.91	30.45	70.79	25
r25j	55.85	50.36	45.65	67.97	42
r50j	65.45	33.86	56.12	65.54	59
r75j	75.19	17.13	66.73	68.89	76
j00g	87.03	-3.21	79.64	79.7	92
j25g	80.72	-24.03	66.82	71.01	110
j50g	70.64	-38.01	49.96	62.78	127
j75g	61.93	-50.08	35.41	61.34	145
g00b	52.8	-62.76	20.12	65.91	162
g25b	55.7	-47.65	-8.05	48.34	190
g50b	57.82	-36.91	-27.79	46.22	217
g75b	55.5	-21.19	-44.16	49.0	244
b00r	41.6	1.31	-43.27	43.3	272
b25r	29.0	24.11	-41.46	47.97	300
b50r	38.04	44.73	-27.29	52.41	329
b75r	49.48	70.07	-3.61	70.16	357

lab^*rgb^*

$i^*=1.00$

Brillantheit i^*

$i^*=0.80$

$i^*=0.60$

$i^*=0.40$

$i^*=0.20$

$i^*=0.00$

relative Buntheit c^*

relative Buntheit c^*

Ein und Ausgabe: Farbmetrisches Drucker-Reflektiv-System ORS20_95a für relativen CIELAB-Buntton $h^* = lab^*h^* = h_{ab}/360 = 300/360 = 0.834$ $u^* = b25r$

Daten für jede Farbe:

lab^*ch^* und lab^*icu^*

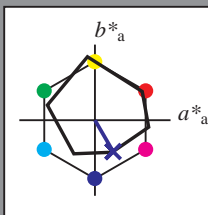
Elementar-Bunttontext:

$u^* = b25r$

Kontrastreduzierungsfaktor:

$c_R = 0.96$

Dreiecks-Helligkeit t^*



ORS20_95a; CIELAB-Daten					
	$L^*=L^*$	a^*	b^*	C^*_{ab}	h^*_{ab}
O _M	48.75	62.65	39.19	73.89	32
Y _M	90.92	-10.35	85.91	86.53	97
L _M	52.69	-62.87	21.3	66.38	161
C _M	59.61	-27.91	-42.96	51.24	237
V _M	28.39	23.07	-41.5	47.5	299
M _M	49.58	71.15	-7.89	71.59	354
N _M	20.0	0.47	0.76	0.89	58
W _M	95.0	-0.51	2.11	2.17	104
R _{CIE}	39.92	58.74	27.99	65.07	25
J _{CIE}	81.26	-2.88	71.56	71.62	92
G _{CIE}	52.23	-42.41	13.6	44.55	162
B _{CIE}	30.57	1.41	-46.46	46.49	272

Daten für Maximalfarbe (Ma):

$LAB^*LAB^*_{Ma}$: 29 24 -40

$LAB^*LCH^*_{Ma}$: 29 48 300

$lab^*rgb^*_{Ma}$: 0.5 0.0 1.0

$lab^*olv^*_{Ma}$: 0.03 0.0 1.0

Dreiecks-Helligkeit t^*

%Umfang

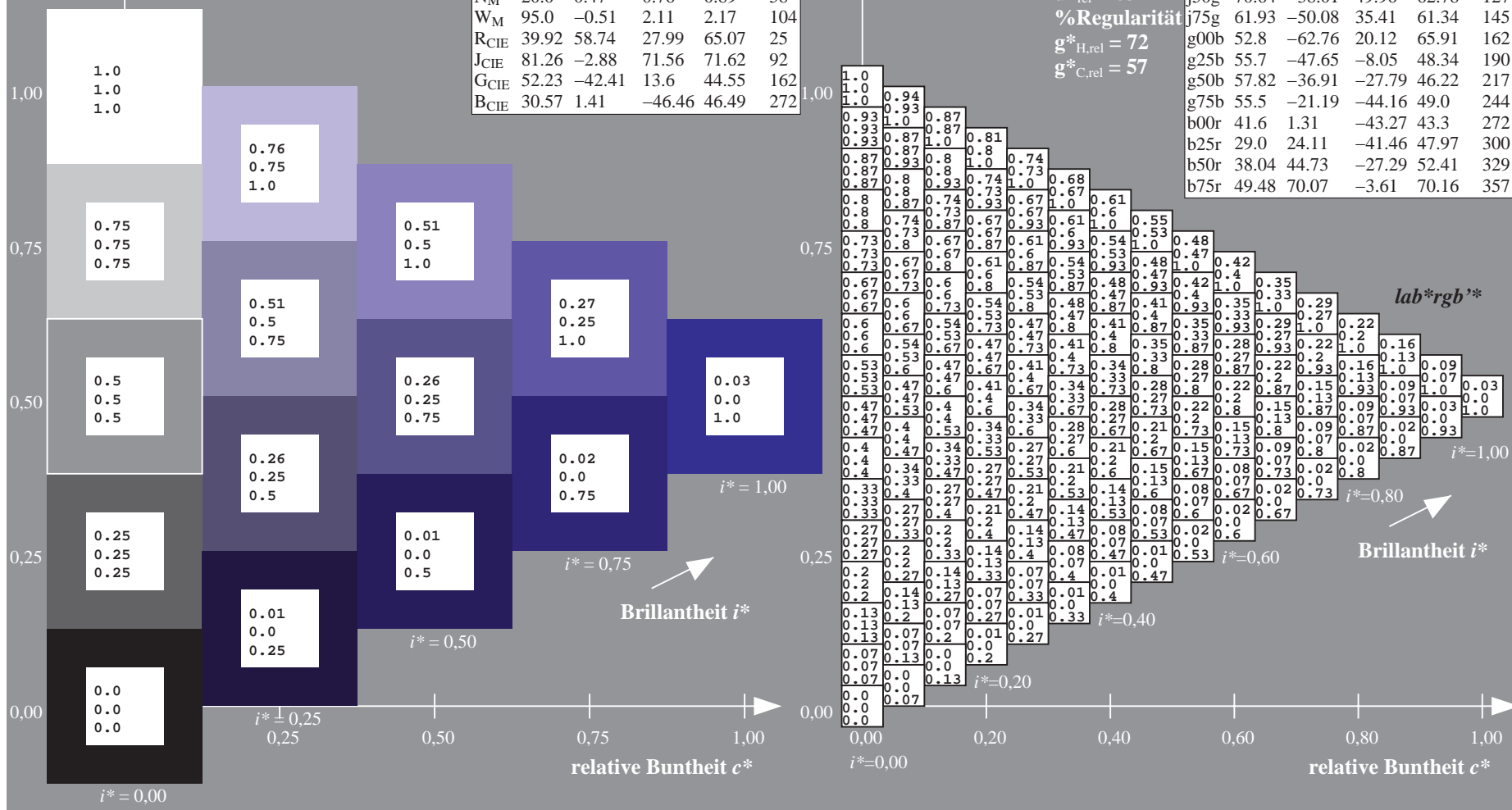
$u^*_{rel} = 83$

%Regularität

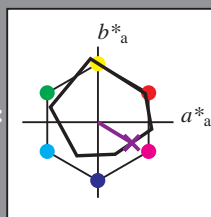
$g^*_{H,rel} = 72$

$g^*_{C,rel} = 57$

ORS20_95a; adaptierte CIELAB-Daten					
	$L^*=L^*_a$	a^*_a	b^*_a	$C^*_{ab,a}$	$h^*_{ab,a}$
r00j	48.88	63.91	30.45	70.79	25
r25j	55.85	50.36	45.65	67.97	42
r50j	65.45	33.86	56.12	65.54	59
r75j	75.19	17.13	66.73	68.89	76
j00g	87.03	-3.21	79.64	79.7	92
j25g	80.72	-24.03	66.82	71.01	110
j50g	70.64	-38.01	49.96	62.78	127
j75g	61.93	-50.08	35.41	61.34	145
g00b	52.8	-62.76	20.12	65.91	162
g25b	55.7	-47.65	-8.05	48.34	190
g50b	57.82	-36.91	-27.79	46.22	217
g75b	55.5	-21.19	-44.16	49.0	244
b00r	41.6	1.31	-43.27	43.3	272
b25r	29.0	24.11	-41.46	47.97	300
b50r	38.04	44.73	-27.29	52.41	329
b75r	49.48	70.07	-3.61	70.16	357



Ein und Ausgabe: Farbmetrisches Drucker-Reflektiv-System ORS20_95a für relativen CIELAB-Buntton $h^* = lab^*h^* = h_{ab}/360 = 329/360 = 0.913$ $u^* = b50r$
Daten für jede Farbe:
 lab^*ch^* und lab^*icu^*
Elementar-Bunttontext:
 $u^* = b50r$
Kontrastreduzierungsfaktor:
 $c_R = 0.96$
Dreiecks-Helligkeit t^*



ORS20_95a; CIELAB-Daten					
	$L^*=L^*$	a^*	b^*	C^*_{ab}	h^*_{ab}
O _M	48.75	62.65	39.19	73.89	32
Y _M	90.92	-10.35	85.91	86.53	97
L _M	52.69	-62.87	21.3	66.38	161
C _M	59.61	-27.91	-42.96	51.24	237
V _M	28.39	23.07	-41.5	47.5	299
M _M	49.58	71.15	-7.89	71.59	354
N _M	20.0	0.47	0.76	0.89	58
W _M	95.0	-0.51	2.11	2.17	104
R _{CIE}	39.92	58.74	27.99	65.07	25
J _{CIE}	81.26	-2.88	71.56	71.62	92
G _{CIE}	52.23	-42.41	13.6	44.55	162
B _{CIE}	30.57	1.41	-46.46	46.49	272

Daten für Maximalfarbe (Ma):

$LAB^*LAB^*_{Ma}$: 38 45 -26

$LAB^*LCH^*_{Ma}$: 38 52 329

$lab^*rgb^*_{Ma}$: 1.0 0.0 1.0

$lab^*olv^*_{Ma}$: 0.46 0.0 1.0

Dreiecks-Helligkeit t^*

%Umfang

$u^*_{rel} = 83$

%Regularität

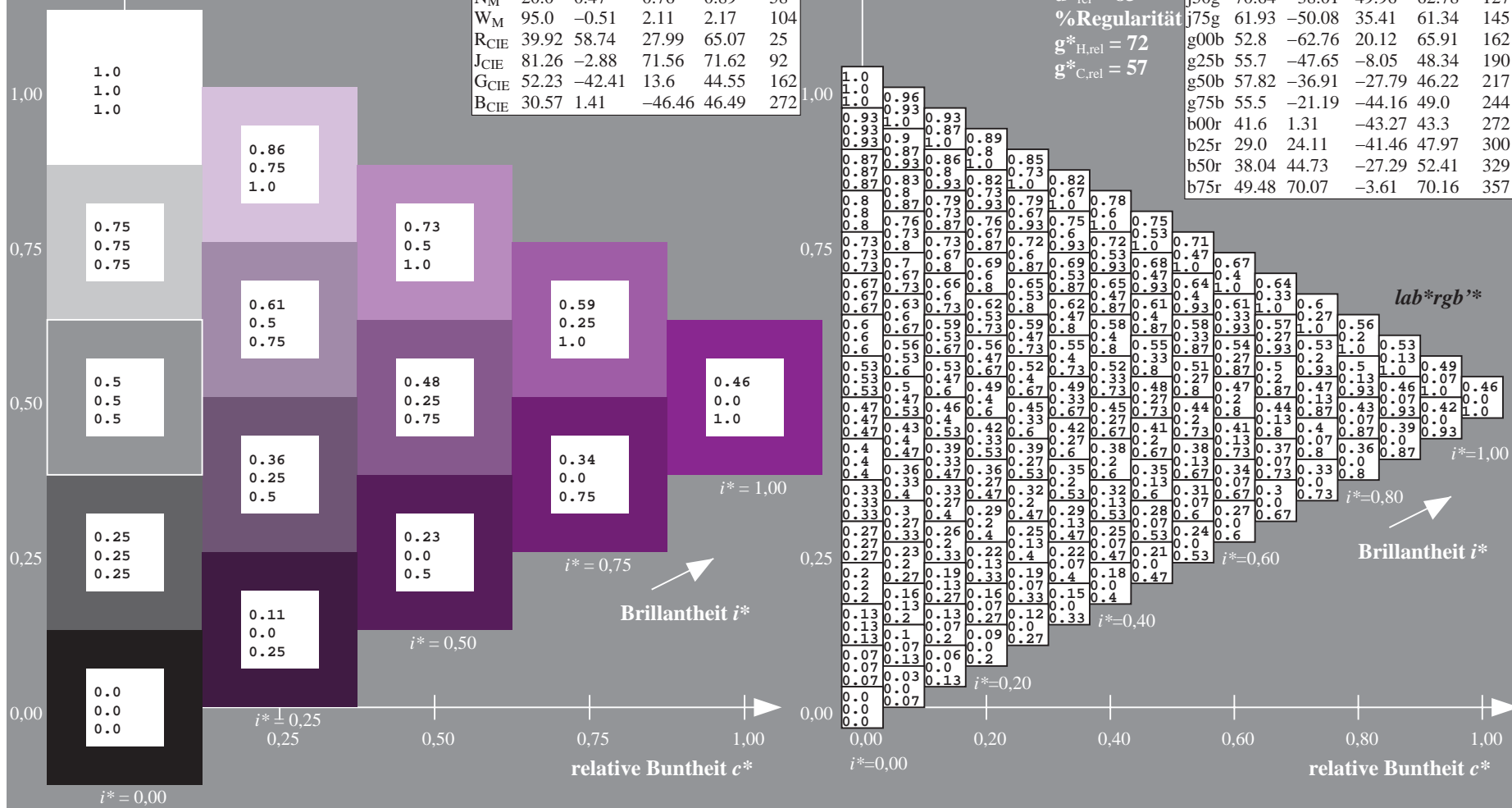
$g^*_{H,rel} = 72$

$g^*_{C,rel} = 57$

ORS20_95a; adaptierte CIELAB-Daten					
	$L^*=L^*_a$	a^*_a	b^*_a	$C^*_{ab,a}$	$h^*_{ab,a}$
r00j	48.88	63.91	30.45	70.79	25
r25j	55.85	50.36	45.65	67.97	42
r50j	65.45	33.86	56.12	65.54	59
r75j	75.19	17.13	66.73	68.89	76
j00g	87.03	-3.21	79.64	79.7	92
j25g	80.72	-24.03	66.82	71.01	110
j50g	70.64	-38.01	49.96	62.78	127
j75g	61.93	-50.08	35.41	61.34	145
g00b	52.8	-62.76	20.12	65.91	162
g25b	55.7	-47.65	-8.05	48.34	190
g50b	57.82	-36.91	-27.79	46.22	217
g75b	55.5	-21.19	-44.16	49.0	244
b00r	41.6	1.31	-43.27	43.3	272
b25r	29.0	24.11	-41.46	47.97	300
b50r	38.04	44.73	-27.29	52.41	329
b75r	49.48	70.07	-3.61	70.16	357

Siehe ähnliche Dateien: <http://www.ps.bam.de/Dg99/>; www.ps.bam.de/Dg99/10L/L99G00NA.PS/.TXT
Technische Information: <http://www.ps.bam.de> Version 2.1, io=1,1, ColSpx=1

BAM-Registrierung: 20080701-Dg99/10L/L99G00NA.PS/.TXTBAM-Material: Code=rh4ta
Anwendung für Beurteilung und Messung von Drucker- oder Monitorsystemen



Ein und Ausgabe: Farbmetrisches Drucker-Reflektiv-System ORS20_95a für relativen CIELAB-Buntton $h^* = lab^*h^* = h_{ab}/360 = 357/360 = 0.992$ $u^* = b75r$

Daten für jede Farbe:

lab^*ch^* und lab^*icu^*

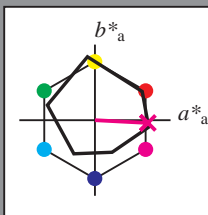
Elementar-Bunttontext:

$u^* = b75r$

Kontrastreduzierungsfaktor:

$c_R = 0.96$

Dreiecks-Helligkeit t^*



ORS20_95a; CIELAB-Daten					
	$L^*=L^*$	a^*	b^*	C^*_{ab}	h^*_{ab}
O _M	48.75	62.65	39.19	73.89	32
Y _M	90.92	-10.35	85.91	86.53	97
L _M	52.69	-62.87	21.3	66.38	161
C _M	59.61	-27.91	-42.96	51.24	237
V _M	28.39	23.07	-41.5	47.5	299
M _M	49.58	71.15	-7.89	71.59	354
N _M	20.0	0.47	0.76	0.89	58
W _M	95.0	-0.51	2.11	2.17	104
R _{CIE}	39.92	58.74	27.99	65.07	25
J _{CIE}	81.26	-2.88	71.56	71.62	92
G _{CIE}	52.23	-42.41	13.6	44.55	162
B _{CIE}	30.57	1.41	-46.46	46.49	272

Daten für Maximalfarbe (Ma):

$LAB^*LAB^*_{Ma}$: 49 70 -3

$LAB^*LCH^*_{Ma}$: 49 70 357

$lab^*rgb^*_{Ma}$: 1.0 0.0 0.5

$lab^*olv^*_{Ma}$: 1.0 0.0 0.88

Dreiecks-Helligkeit t^*

%Umfang

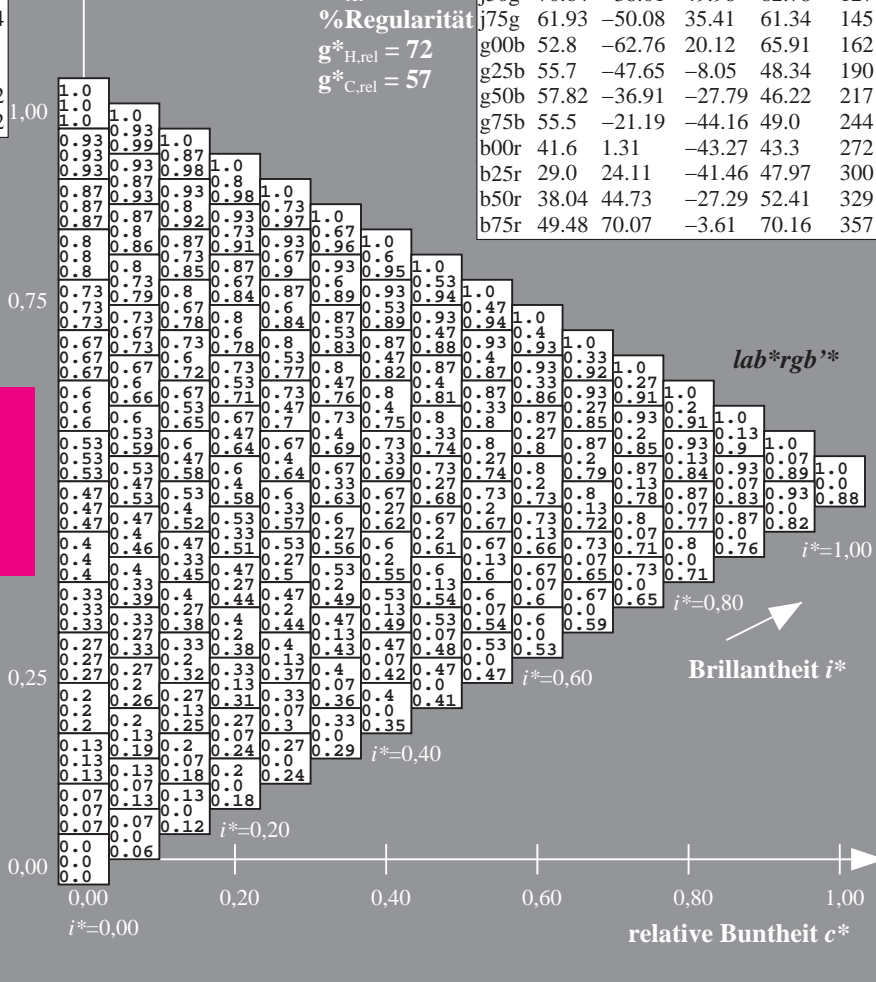
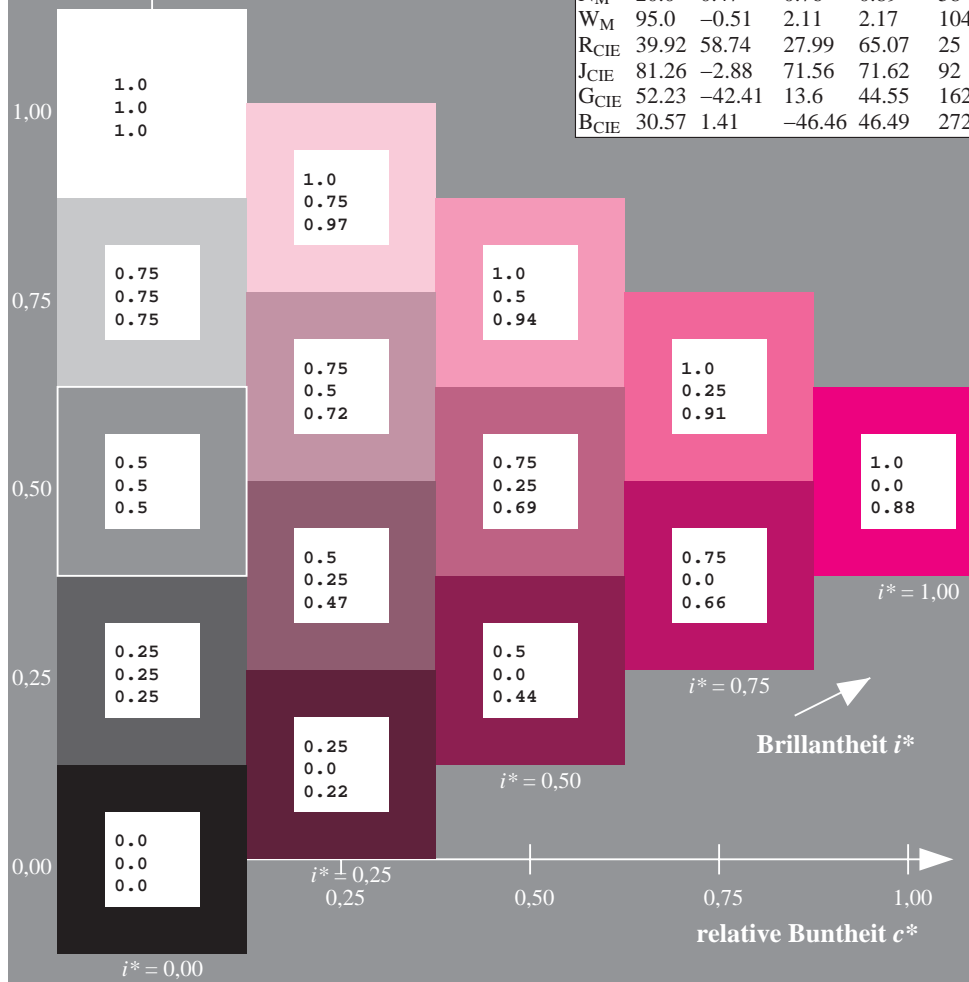
$u^*_{rel} = 83$

%Regularität

$g^*_{H,rel} = 72$

$g^*_{C,rel} = 57$

ORS20_95a; adaptierte CIELAB-Daten					
	$L^*=L^*_a$	a^*_a	b^*_a	$C^*_{ab,a}$	$h^*_{ab,a}$
r00j	48.88	63.91	30.45	70.79	25
r25j	55.85	50.36	45.65	67.97	42
r50j	65.45	33.86	56.12	65.54	59
r75j	75.19	17.13	66.73	68.89	76
j00g	87.03	-3.21	79.64	79.7	92
j25g	80.72	-24.03	66.82	71.01	110
j50g	70.64	-38.01	49.96	62.78	127
j75g	61.93	-50.08	35.41	61.34	145
g00b	52.8	-62.76	20.12	65.91	162
g25b	55.7	-47.65	-8.05	48.34	190
g50b	57.82	-36.91	-27.79	46.22	217
g75b	55.5	-21.19	-44.16	49.0	244
b00r	41.6	1.31	-43.27	43.3	272
b25r	29.0	24.11	-41.46	47.97	300
b50r	38.04	44.73	-27.29	52.41	329
b75r	49.48	70.07	-3.61	70.16	357



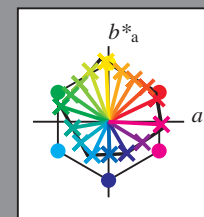
Siehe ähnliche Dateien: <http://www.ps.bam.de/Dg99/>; www.ps.bam.de/Dg99/10L/L99G00NA.PS/.TXT
Technische Information: [http://www.ps.bam.de/Version 2.1, io=1.1, ColSpX=1](http://www.ps.bam.de/Version%202.1,%20io=1.1,%20ColSpX=1)

	A	B	C	D	E	F	G	H	I	J	K	L	M	N	O	P	Q	R	S	T	U	V	W	X	Y	Z	a	b	c	d	e	f	g	h	i	j	k	lab*rgb**						
01	0.0	0.0	0.0	0.0	0.0	0.0	0.0	0.0	0.0	0.0	0.13	0.13	0.13	0.13	0.13	0.13	0.13	0.13	0.13	0.25	0.25	0.25	0.25	0.25	0.25	0.25	0.25	1.0	1.0	1.0	1.0	1.0	1.0	1.0	1.0	1.0	1.0	0.0	0.0	0.0	0.0			
	0.0	0.13	0.25	0.38	0.5	0.63	0.75	0.88	1.0	0.0	0.13	0.25	0.38	0.5	0.63	0.75	0.88	1.0	0.0	0.13	0.25	0.38	0.5	0.63	0.75	0.88	1.0	1.0	0.88	0.75	0.63	0.5	0.38	0.25	0.13	0.0	0.0	0.0	0.0	0.0	0.0	0.0		
	0.0	0.0	0.0	0.0	0.0	0.0	0.0	0.0	0.0	0.0	0.0	0.0	0.0	0.0	0.0	0.0	0.0	0.0	0.0	0.0	0.0	0.0	0.0	0.0	0.0	0.0	0.0	1.0	1.0	0.88	0.75	0.63	0.5	0.38	0.25	0.13	0.0	0.0	0.0	0.0	0.0	0.0	0.0	
02	0.0	0.0	0.0	0.0	0.0	0.0	0.0	0.0	0.0	0.13	0.13	0.13	0.13	0.13	0.13	0.13	0.13	0.13	0.25	0.25	0.25	0.25	0.25	0.25	0.25	0.25	0.25	0.88	0.88	0.88	0.88	0.88	0.88	0.88	0.88	0.88	0.88	0.88	0.13	0.13	0.13	0.13		
	0.0	0.13	0.25	0.38	0.5	0.63	0.75	0.88	1.0	0.0	0.13	0.25	0.38	0.5	0.63	0.75	0.88	1.0	0.0	0.13	0.25	0.38	0.5	0.63	0.75	0.88	1.0	1.0	0.88	0.75	0.63	0.5	0.38	0.25	0.13	0.0	0.13	0.13	0.13	0.13	0.13	0.13		
	0.13	0.13	0.13	0.13	0.13	0.13	0.13	0.13	0.13	0.13	0.13	0.13	0.13	0.13	0.13	0.13	0.13	0.13	0.13	0.13	0.13	0.13	0.13	0.13	0.13	0.13	0.13	1.0	1.0	0.88	0.75	0.63	0.5	0.38	0.25	0.13	0.0	0.13	0.13	0.13	0.13	0.13	0.13	
03	0.0	0.0	0.0	0.0	0.0	0.0	0.0	0.0	0.0	0.13	0.13	0.13	0.13	0.13	0.13	0.13	0.13	0.13	0.25	0.25	0.25	0.25	0.25	0.25	0.25	0.25	0.25	0.75	0.75	0.75	0.75	0.75	0.75	0.75	0.75	0.75	0.75	0.25	0.25	0.25	0.25			
	0.0	0.13	0.25	0.38	0.5	0.63	0.75	0.88	1.0	0.0	0.13	0.25	0.38	0.5	0.63	0.75	0.88	1.0	0.0	0.13	0.25	0.38	0.5	0.63	0.75	0.88	1.0	1.0	0.88	0.75	0.63	0.5	0.38	0.25	0.13	0.0	0.25	0.25	0.25	0.25	0.25	0.25		
	0.25	0.25	0.25	0.25	0.25	0.25	0.25	0.25	0.25	0.25	0.25	0.25	0.25	0.25	0.25	0.25	0.25	0.25	0.25	0.25	0.25	0.25	0.25	0.25	0.25	0.25	0.25	1.0	1.0	0.88	0.75	0.63	0.5	0.38	0.25	0.13	0.0	0.25	0.25	0.25	0.25	0.25	0.25	
04	0.0	0.0	0.0	0.0	0.0	0.0	0.0	0.0	0.0	0.13	0.13	0.13	0.13	0.13	0.13	0.13	0.13	0.13	0.25	0.25	0.25	0.25	0.25	0.25	0.25	0.25	0.25	0.63	0.63	0.63	0.63	0.63	0.63	0.63	0.63	0.63	0.63	0.38	0.38	0.38	0.38			
	0.0	0.13	0.25	0.38	0.5	0.63	0.75	0.88	1.0	0.0	0.13	0.25	0.38	0.5	0.63	0.75	0.88	1.0	0.0	0.13	0.25	0.38	0.5	0.63	0.75	0.88	1.0	1.0	0.88	0.75	0.63	0.5	0.38	0.25	0.13	0.0	0.38	0.38	0.38	0.38	0.38	0.38	0.38	
	0.38	0.38	0.38	0.38	0.38	0.38	0.38	0.38	0.38	0.38	0.38	0.38	0.38	0.38	0.38	0.38	0.38	0.38	0.38	0.38	0.38	0.38	0.38	0.38	0.38	0.38	0.38	1.0	1.0	0.88	0.75	0.63	0.5	0.38	0.25	0.13	0.0	0.38	0.38	0.38	0.38	0.38	0.38	0.38
05	0.0	0.13	0.25	0.38	0.5	0.63	0.75	0.88	1.0	0.0	0.13	0.25	0.38	0.5	0.63	0.75	0.88	1.0	0.0	0.13	0.25	0.38	0.5	0.63	0.75	0.88	1.0	1.0	0.88	0.75	0.63	0.5	0.38	0.25	0.13	0.0	0.5	0.5	0.5	0.5	0.5	0.5	0.5	
	0.5	0.5	0.5	0.5	0.5	0.5	0.5	0.5	0.5	0.5	0.5	0.5	0.5	0.5	0.5	0.5	0.5	0.5	0.5	0.5	0.5	0.5	0.5	0.5	0.5	0.5	0.5	1.0	1.0	0.88	0.75	0.63	0.5	0.38	0.25	0.13	0.0	0.5	0.5	0.5	0.5	0.5	0.5	0.5
06	0.0	0.0	0.0	0.0	0.0	0.0	0.0	0.0	0.0	0.13	0.13	0.13	0.13	0.13	0.13	0.13	0.13	0.13	0.25	0.25	0.25	0.25	0.25	0.25	0.25	0.25	0.25	0.38	0.38	0.38	0.38	0.38	0.38	0.38	0.38	0.38	0.38	0.63	0.63	0.63	0.63			
	0.0	0.13	0.25	0.38	0.5	0.63	0.75	0.88	1.0	0.0	0.13	0.25	0.38	0.5	0.63	0.75	0.88	1.0	0.0	0.13	0.25	0.38	0.5	0.63	0.75	0.88	1.0	1.0	0.88	0.75	0.63	0.5	0.38	0.25	0.13	0.0	0.63	0.63	0.63	0.63	0.63	0.63	0.63	
	0.63	0.63	0.63	0.63	0.63	0.63	0.63	0.63	0.63	0.63	0.63	0.63	0.63	0.63	0.63	0.63	0.63	0.63	0.63	0.63	0.63	0.63	0.63	0.63	0.63	0.63	0.63	1.0	1.0	0.88	0.75	0.63	0.5	0.38	0.25	0.13	0.0	0.63	0.63	0.63	0.63	0.63	0.63	0.63
07	0.0	0.0	0.0	0.0	0.0	0.0	0.0	0.0	0.0	0.13	0.13	0.13	0.13	0.13	0.13	0.13	0.13	0.13	0.25	0.25	0.25	0.25	0.25	0.25	0.25	0.25	0.25	0.25	0.25	0.25	0.25	0.25	0.25	0.25	0.25	0.25	0.25	0.75	0.75	0.75	0.75			
	0.0	0.13	0.25	0.38	0.5	0.63	0.75	0.88	1.0	0.0	0.13	0.25	0.38	0.5	0.63	0.75	0.88	1.0	0.0	0.13	0.25	0.38	0.5	0.63	0.75	0.88	1.0	1.0	0.88	0.75	0.63	0.5	0.38	0.25	0.13	0.0	0.75	0.75	0.75	0.75	0.75	0.75	0.75	
	0.75	0.75	0.75	0.75	0.75	0.75	0.75	0.75	0.75	0.75	0.75	0.75	0.75	0.75	0.75	0.75	0.75	0.75	0.75	0.75	0.75	0.75	0.75	0.75	0.75	0.75	0.75	1.0	1.0	0.88	0.75	0.63	0.5	0.38	0.25	0.13	0.0	0.75	0.75	0.75	0.75	0.75	0.75	0.75
08	0.0	0.0	0.0	0.0	0.0	0.0	0.0	0.0	0.0	0.13	0.13	0.13	0.13	0.13	0.13	0.13	0.13	0.13	0.25	0.25	0.25	0.25	0.25	0.25	0.25	0.25	0.25	0.13	0.13	0.13	0.13	0.13	0.13	0.13	0.13	0.13	0.13	0.88	0.88	0.88	0.88			
	0.0	0.13	0.25	0.38	0.5	0.63	0.75	0.88	1.0	0.0	0.13	0.25	0.38	0.5	0.63	0.75	0.88	1.0	0.0	0.13	0.25	0.38	0.5	0.63	0.75	0.88	1.0	1.0	0.88	0.75	0.63	0.5	0.38	0.25	0.13	0.0	0.88	0.88	0.88	0.88	0.88	0.88	0.88	
	0.88	0.88	0.88	0.88	0.88	0.88	0.88	0.88	0.88	0.88	0.88	0.88	0.88	0.88	0.88	0.88	0.88	0.88	0.88	0.88	0.88	0.88	0.88	0.88	0.88	0.88	0.88	1.0	1.0	0.88	0.75	0.63	0.5	0.38	0.25	0.13	0.0	0.88	0.88	0.88	0.88	0.88	0.88	0.88
09	0.0	0.0	0.0	0.0	0.0	0.0	0.0	0.0	0.0	0.13	0.13	0.13	0.13	0.13	0.13	0.13	0.13	0.13	0.25	0.25	0.25	0.25	0.25	0.25	0.25	0.25	0.25	0.0	0.0	0.0	0.0	0.0	0.0	0.0	0.0	0.0	0.0	1.0	1.0	1.0	1.0			
	0.0	0.13	0.25	0.38	0.5	0.63	0.75	0.88	1.0	0.0	0.13	0.25	0.38	0.5	0.63	0.75	0.88	1.0	0.0	0.13	0.25	0.38	0.5	0.63	0.75	0.88	1.0	1.0	0.88	0.75	0.63	0.5	0.38	0.25	0.13	0.0	1.0	1.0	1.0	1.0	1.0	1.0	1.0	
	1.0	1.0	1.0	1.0	1.0	1.0	1.0	1.0	1.0	1.0	1.0	1.0	1.0	1.0	1.0	1.0	1.0	1.0	1.0	1.0	1.0	1.0	1.0	1.0	1.0	1.0	1.0	1.0	1.0	0.88	0.75	0.63	0.5	0.38	0.25	0.13	0.0	1.0	1.0	1.0	1.0	1.0	1.0	
10	0.38	0.38	0.38	0.38	0.38	0.38	0.38	0.38	0.38	0.38	0.38	0.38	0.38	0.38	0.38	0.38	0.38	0.38	0.38	0.63	0.63	0.63	0.63	0.63	0.63	0.63	0.63	0.63	1.0	1.0	1.0	1.0	1.0	1.0	1.0	1.0	1.0	1.0	0.0	0.0	0.0	0.0		
	0.0	0.13	0.25	0.38	0.5	0.63	0.75	0.88	1.0	0.0	0.13	0.25	0.38	0.5	0.63	0.75	0.88	1.0	0.0	0.13	0.25	0.38	0.5	0.63	0.75	0.88	1.0	1.0	1.0	1.0	1.0	1.0	1.0	1.0	1.0	1.0	1.0	1.0	0.0	0.0	0.0	0.0	0.0	0.0
	0.38	0.38	0.38	0.38	0.38	0.38	0.38	0.38	0.38	0.38	0.38	0.38	0.38	0.38	0.38	0.38	0.38	0.38	0.38	0.63	0.63	0.63	0.63	0.63	0.63	0.63	0.63	0.63	1.0	1.0	0.88	0.75	0.63	0.5	0.38	0.25	0.13	0.0	0.88	0.88	0.88	0.88	0.88	0.88
11	0.0	0.13	0.25	0.38	0.5	0.63	0.75	0.88	1.0	0.0	0.13	0.25	0.38	0.5	0.63	0.75	0.88	1.0	0.0	0.13	0.25	0.38	0.5	0.63	0.75	0.88	1.0	1.0	0.88	0.88	0.88	0.88	0.88	0.88	0.88	0.88	0.88	0.88	0.88	0.88	0.88	0.88	0.88	
	0.13	0.13	0.13	0.13	0.13	0.13	0.13	0.13	0.13	0.13	0.13	0.13	0.13	0.13	0.13	0.13	0.13	0.13	0.13	0.13	0.13	0.13	0.13	0.13	0.13	0.13	0.13																	

BAM-Registrierung: 20080701-Dg99/10L/L99G00NA.PS/.TXT
Anwendung für Beurteilung und Messung von Drucker- oder Monitorsystemen

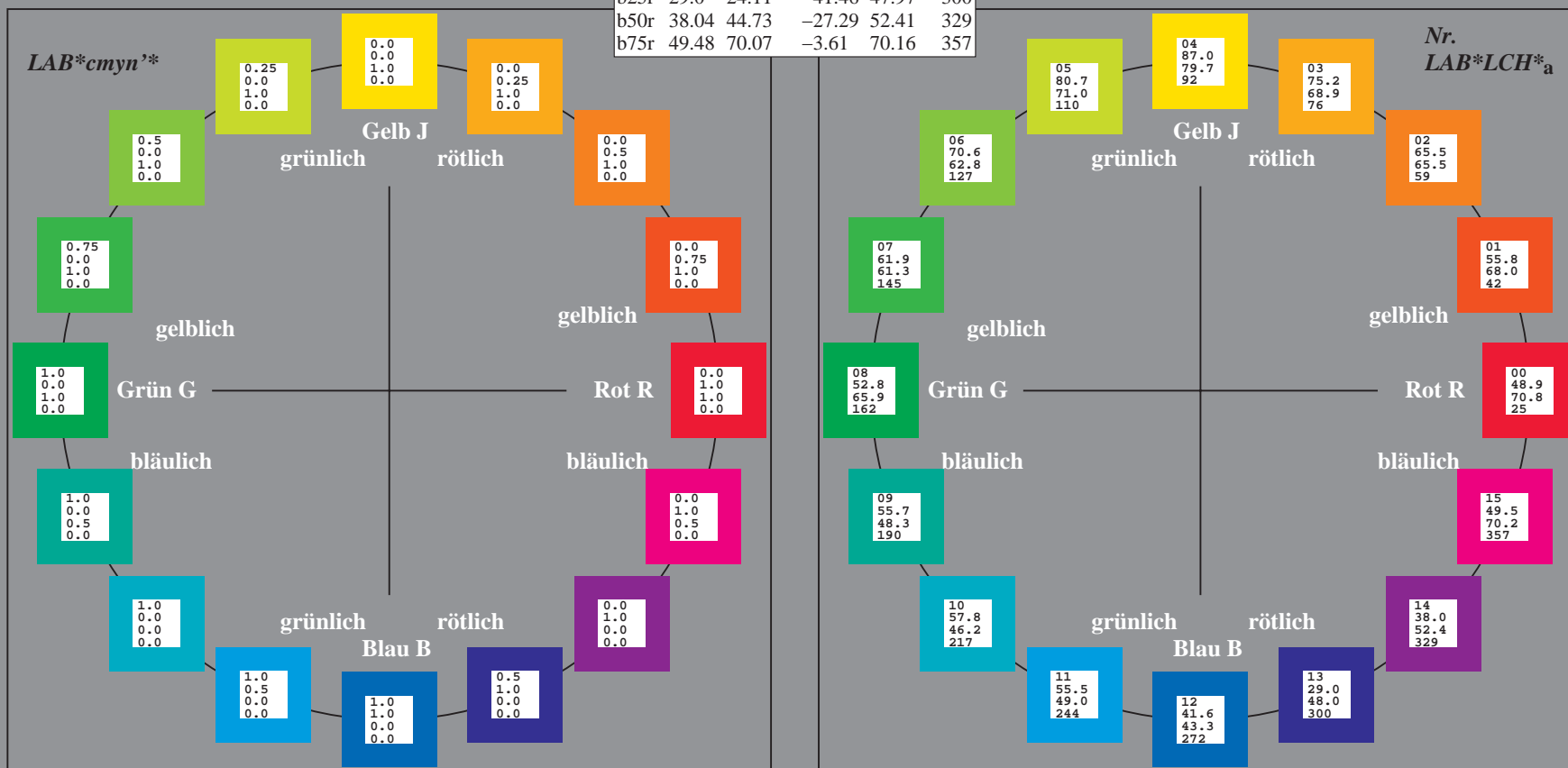
Ein und Ausgabe:
Farbmetrisches Drucker-Reflektiv-System ORS20_95a
Daten für jede Farbe:
*lab*_{rch}** und *lab*_{icu}**
Elementar-Bunntontext:
*u** = 16 Bunttöne *r00j*, *r25j*, ..., *b75r*
Kontrastreduzierungsfaktor:
c_R = 0.96

ORS20_95a; adaptierte CIELAB-Daten					
	<i>L*</i> = <i>L*</i> _a	<i>a*</i> _a	<i>b*</i> _a	<i>C*</i> _{ab,a}	<i>h*</i> _{ab,a}
r00j	48.88	63.91	30.45	70.79	25
r25j	55.85	50.36	45.65	67.97	42
r50j	65.45	33.86	56.12	65.54	59
r75j	75.19	17.13	66.73	68.89	76
j00g	87.03	-3.21	79.64	79.7	92
j25g	80.72	-24.03	66.82	71.01	110
j50g	70.64	-38.01	49.96	62.78	127
j75g	61.93	-50.08	35.41	61.34	145
g00b	52.8	-62.76	20.12	65.91	162
g25b	55.7	-47.65	-8.05	48.34	190
g50b	57.82	-36.91	-27.79	46.22	217
g75b	55.5	-21.19	-44.16	49.0	244
b00r	41.6	1.31	-43.27	43.3	272
b25r	29.0	24.11	-41.46	47.97	300
b50r	38.04	44.73	-27.29	52.41	329
b75r	49.48	70.07	-3.61	70.16	357



%Umfang
*u**_{rel} = 83
%Regularität
*g**_{H,rel} = 72
*g**_{C,rel} = 57

ORS20_95a; CIELAB-Daten					
	<i>L*</i> = <i>L*</i>	<i>a*</i>	<i>b*</i>	<i>C*</i> _{ab}	<i>h*</i> _{ab}
O _M	48.75	62.65	39.19	73.89	32
Y _M	90.92	-10.35	85.91	86.53	97
L _M	52.69	-62.87	21.3	66.38	161
C _M	59.61	-27.91	-42.96	51.24	237
V _M	28.39	23.07	-41.5	47.5	299
M _M	49.58	71.15	-7.89	71.59	354
N _M	20.0	0.47	0.76	0.89	58
W _M	95.0	-0.51	2.11	2.17	104
R _{CIE}	39.92	58.74	27.99	65.07	25
J _{CIE}	81.26	-2.88	71.56	71.62	92
G _{CIE}	52.23	-42.41	13.6	44.55	162
B _{CIE}	30.57	1.41	-46.46	46.49	272



Ein und Ausgabe: Farbmetrisches Drucker-Reflektiv-System ORS20_95a für relativen CIELAB-Buntton $h^* = lab^*h^* = h_{ab}/360 = 25/360 = 0.071$

Daten für jede Farbe:

lab^*ch^* und lab^*icu^*

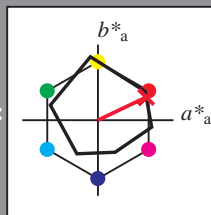
Elementar-Bunttontext:

$u^* = r00j$

Kontrastreduzierungsfaktor:

$c_R = 0.96$

Dreiecks-Helligkeit t^*



ORS20_95a; CIELAB-Daten					
	$L^*=L^*$	a^*	b^*	C^*_{ab}	h^*_{ab}
O _M	48.75	62.65	39.19	73.89	32
Y _M	90.92	-10.35	85.91	86.53	97
L _M	52.69	-62.87	21.3	66.38	161
C _M	59.61	-27.91	-42.96	51.24	237
V _M	28.39	23.07	-41.5	47.5	299
M _M	49.58	71.15	-7.89	71.59	354
N _M	20.0	0.47	0.76	0.89	58
W _M	95.0	-0.51	2.11	2.17	104
R _{CIE}	39.92	58.74	27.99	65.07	25
J _{CIE}	81.26	-2.88	71.56	71.62	92
G _{CIE}	52.23	-42.41	13.6	44.55	162
B _{CIE}	30.57	1.41	-46.46	46.49	272

Daten für Maximalfarbe (Ma):

LAB^*LAB^*Ma : 49 64 30

LAB^*LCH^*Ma : 49 71 25

lab^*rgb^*Ma : 1.0 0.0 0.0

lab^*olv^*Ma : 1.0 0.0 0.16

Dreiecks-Helligkeit t^*

%Umfang

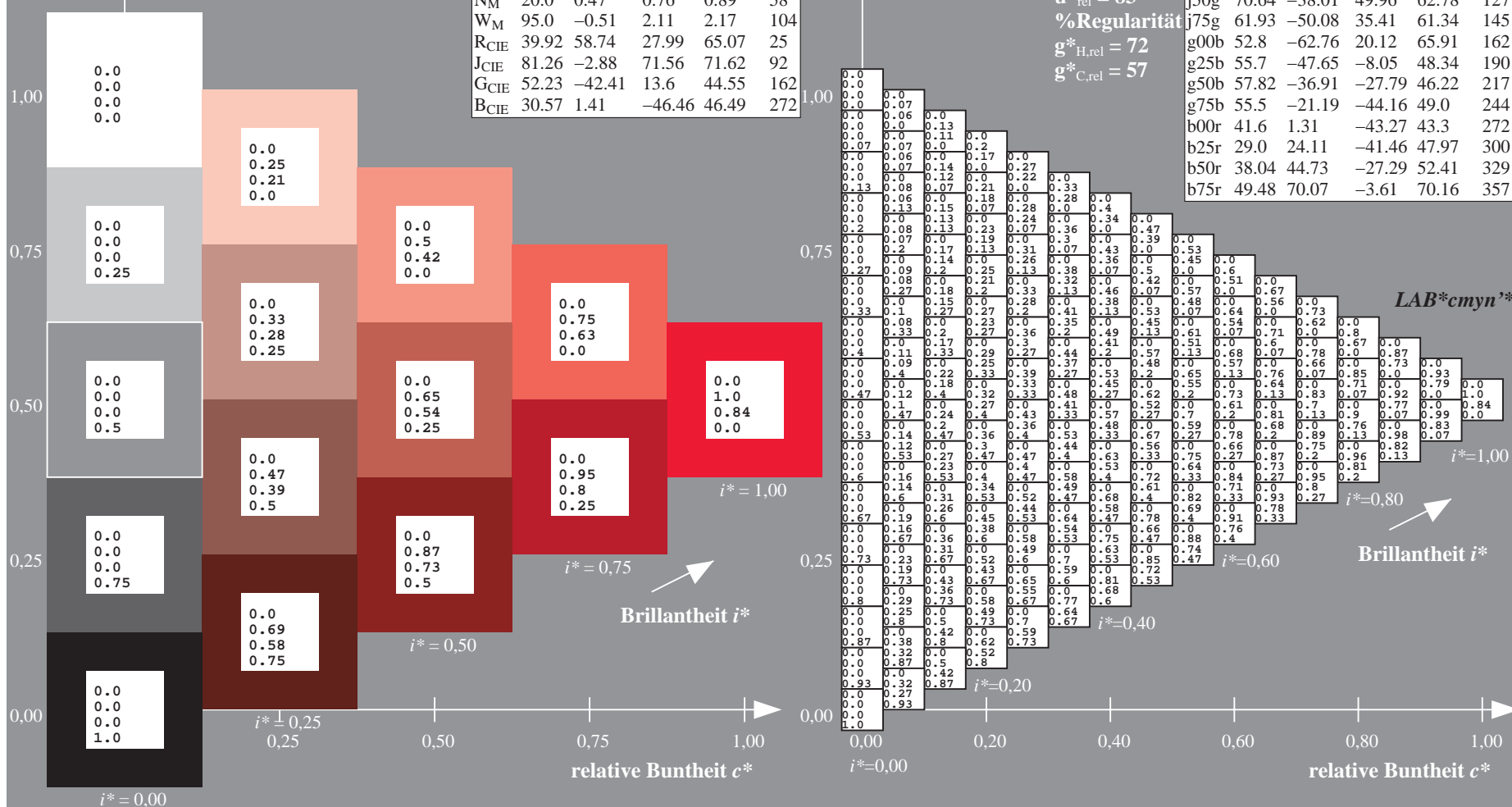
$u^*_{rel} = 83$

%Regularität

$g^*_{H,rel} = 72$

$g^*_{C,rel} = 57$

ORS20_95a; adaptierte CIELAB-Daten					
	$L^*=L^*_a$	a^*_a	b^*_a	$C^*_{ab,a}$	$h^*_{ab,a}$
r00j	48.88	63.91	30.45	70.79	25
r25j	55.85	50.36	45.65	67.97	42
r50j	65.45	33.86	56.12	65.54	59
r75j	75.19	17.13	66.73	68.89	76
j00g	87.03	-3.21	79.64	79.7	92
j25g	80.72	-24.03	66.82	71.01	110
j50g	70.64	-38.01	49.96	62.78	127
j75g	61.93	-50.08	35.41	61.34	145
g00b	52.8	-62.76	20.12	65.91	162
g25b	55.7	-47.65	-8.05	48.34	190
g50b	57.82	-36.91	-27.79	46.22	217
g75b	55.5	-21.19	-44.16	49.0	244
b00r	41.6	1.31	-43.27	43.3	272
b25r	29.0	24.11	-41.46	47.97	300
b50r	38.04	44.73	-27.29	52.41	329
b75r	49.48	70.07	-3.61	70.16	357



Ein und Ausgabe: Farbmetrisches Drucker-Reflektiv-System ORS20_95a für relativen CIELAB-Buntton $h^* = lab^*h^* = h_{ab}/360 = 42/360 = 0.117$ $u^* = r25j$

Daten für jede Farbe:

lab^*ch^* und lab^*icu^*

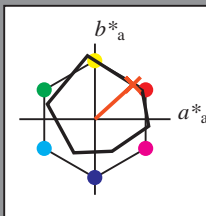
Elementar-Bunttontext:

$u^* = r25j$

Kontrastreduzierungsfaktor:

$c_R = 0.96$

Dreiecks-Helligkeit t^*



ORS20_95a; CIELAB-Daten					
	$L^*=L^*$	a^*	b^*	C^*_{ab}	h^*_{ab}
O _M	48.75	62.65	39.19	73.89	32
Y _M	90.92	-10.35	85.91	86.53	97
L _M	52.69	-62.87	21.3	66.38	161
C _M	59.61	-27.91	-42.96	51.24	237
V _M	28.39	23.07	-41.5	47.5	299
M _M	49.58	71.15	-7.89	71.59	354
N _M	20.0	0.47	0.76	0.89	58
W _M	95.0	-0.51	2.11	2.17	104
R _{CIE}	39.92	58.74	27.99	65.07	25
J _{CIE}	81.26	-2.88	71.56	71.62	92
G _{CIE}	52.23	-42.41	13.6	44.55	162
B _{CIE}	30.57	1.41	-46.46	46.49	272

Daten für Maximalfarbe (Ma):

$LAB^*LAB^*_{Ma}$: 56 50 46

$LAB^*LCH^*_{Ma}$: 56 68 42

$lab^*rgb^*_{Ma}$: 1.0 0.25 0.0

$lab^*olv^*_{Ma}$: 1.0 0.17 0.0

Dreiecks-Helligkeit t^*

%Umfang

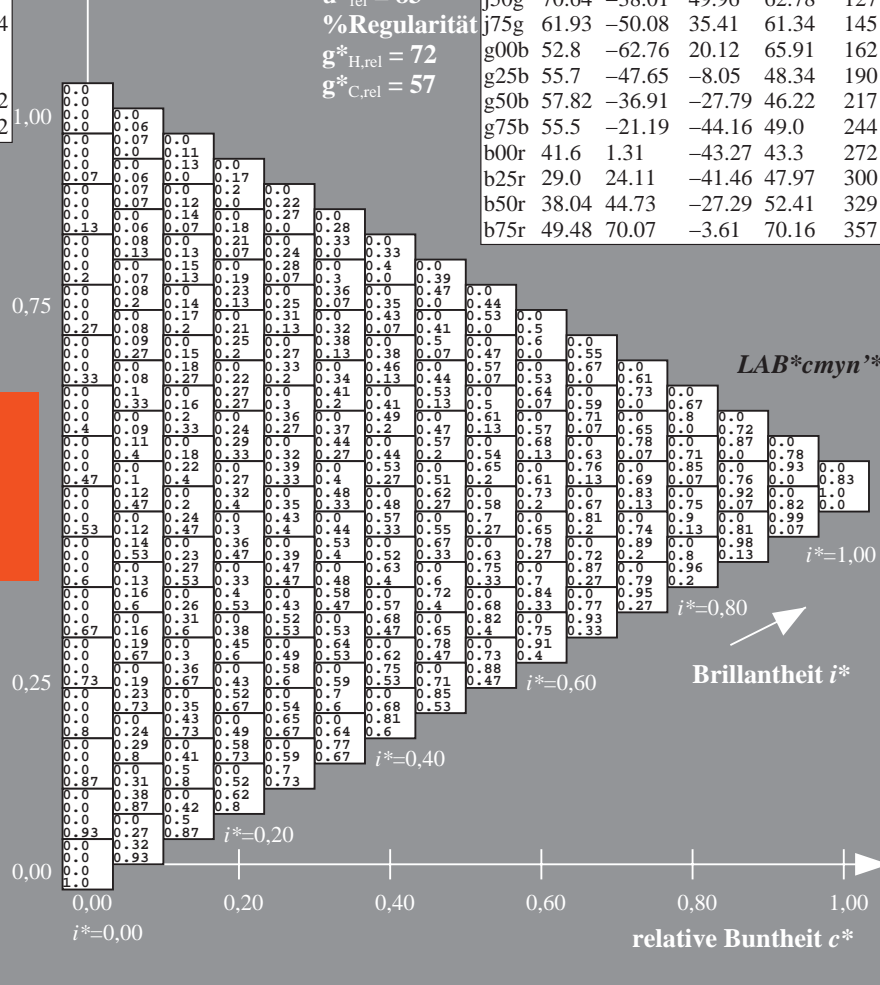
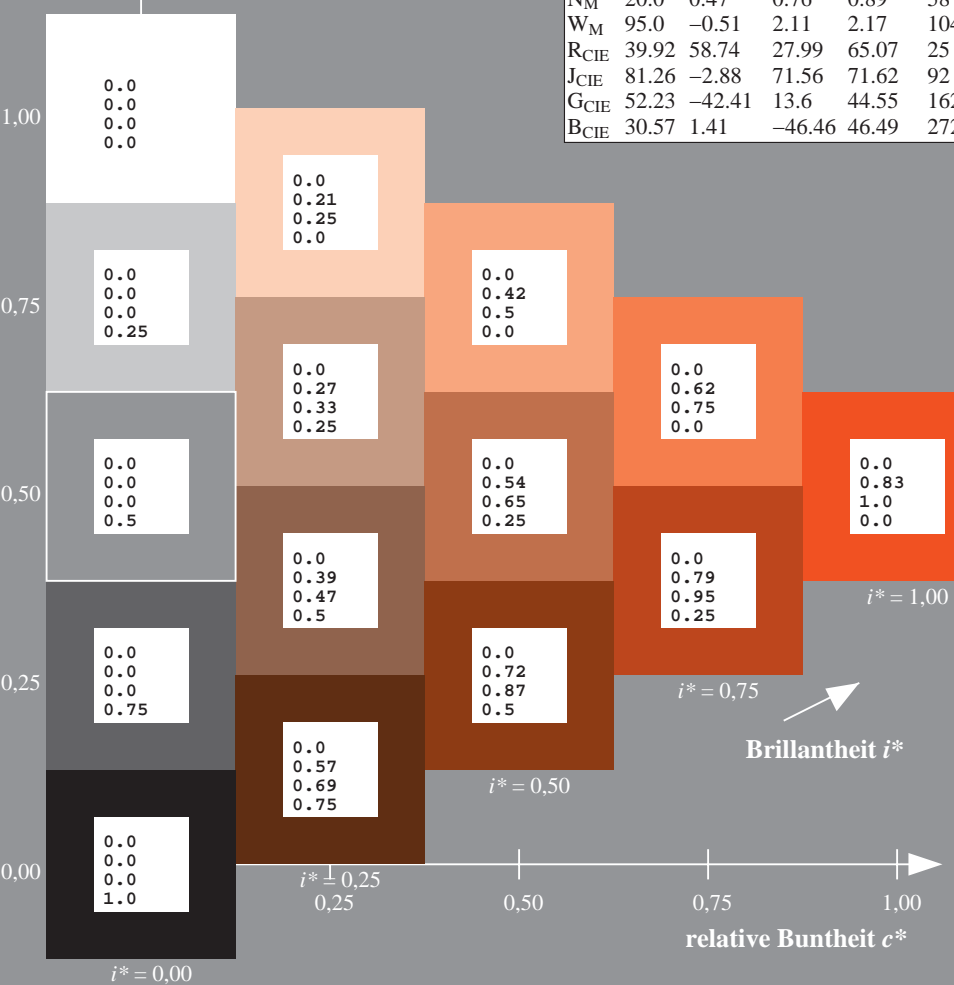
$u^*_{rel} = 83$

%Regularität

$g^*_{H,rel} = 72$

$g^*_{C,rel} = 57$

ORS20_95a; adaptierte CIELAB-Daten					
	$L^*=L^*_a$	a^*_a	b^*_a	$C^*_{ab,a}$	$h^*_{ab,a}$
r00j	48.88	63.91	30.45	70.79	25
r25j	55.85	50.36	45.65	67.97	42
r50j	65.45	33.86	56.12	65.54	59
r75j	75.19	17.13	66.73	68.89	76
j00g	87.03	-3.21	79.64	79.7	92
j25g	80.72	-24.03	66.82	71.01	110
j50g	70.64	-38.01	49.96	62.78	127
j75g	61.93	-50.08	35.41	61.34	145
g00b	52.8	-62.76	20.12	65.91	162
g25b	55.7	-47.65	-8.05	48.34	190
g50b	57.82	-36.91	-27.79	46.22	217
g75b	55.5	-21.19	-44.16	49.0	244
b00r	41.6	1.31	-43.27	43.3	272
b25r	29.0	24.11	-41.46	47.97	300
b50r	38.04	44.73	-27.29	52.41	329
b75r	49.48	70.07	-3.61	70.16	357



Ein und Ausgabe: Farbmetrisches Drucker-Reflektiv-System ORS20_95a für relativen CIELAB-Buntton $h^* = lab^*h^* = h_{ab}/360 = 59/360 = 0.164$ $u^* = r50j$

Daten für jede Farbe:

lab^*ch^* und lab^*icu^*

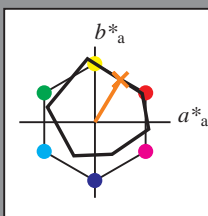
Elementar-Bunttontext:

$u^* = r50j$

Kontrastreduzierungsfaktor:

$c_R = 0.96$

Dreiecks-Helligkeit t^*



ORS20_95a; CIELAB-Daten					
	$L^*=L^*$	a^*	b^*	C^*_{ab}	h^*_{ab}
O _M	48.75	62.65	39.19	73.89	32
Y _M	90.92	-10.35	85.91	86.53	97
L _M	52.69	-62.87	21.3	66.38	161
C _M	59.61	-27.91	-42.96	51.24	237
V _M	28.39	23.07	-41.5	47.5	299
M _M	49.58	71.15	-7.89	71.59	354
N _M	20.0	0.47	0.76	0.89	58
W _M	95.0	-0.51	2.11	2.17	104
R _{CIE}	39.92	58.74	27.99	65.07	25
J _{CIE}	81.26	-2.88	71.56	71.62	92
G _{CIE}	52.23	-42.41	13.6	44.55	162
B _{CIE}	30.57	1.41	-46.46	46.49	272

Daten für Maximalfarbe (Ma):

$LAB^*LAB^*_{Ma}$: 65 34 56

$LAB^*LCH^*_{Ma}$: 65 66 59

$lab^*rgb^*_{Ma}$: 1.0 0.5 0.0

$lab^*olv^*_{Ma}$: 1.0 0.4 0.0

Dreiecks-Helligkeit t^*

%Umfang

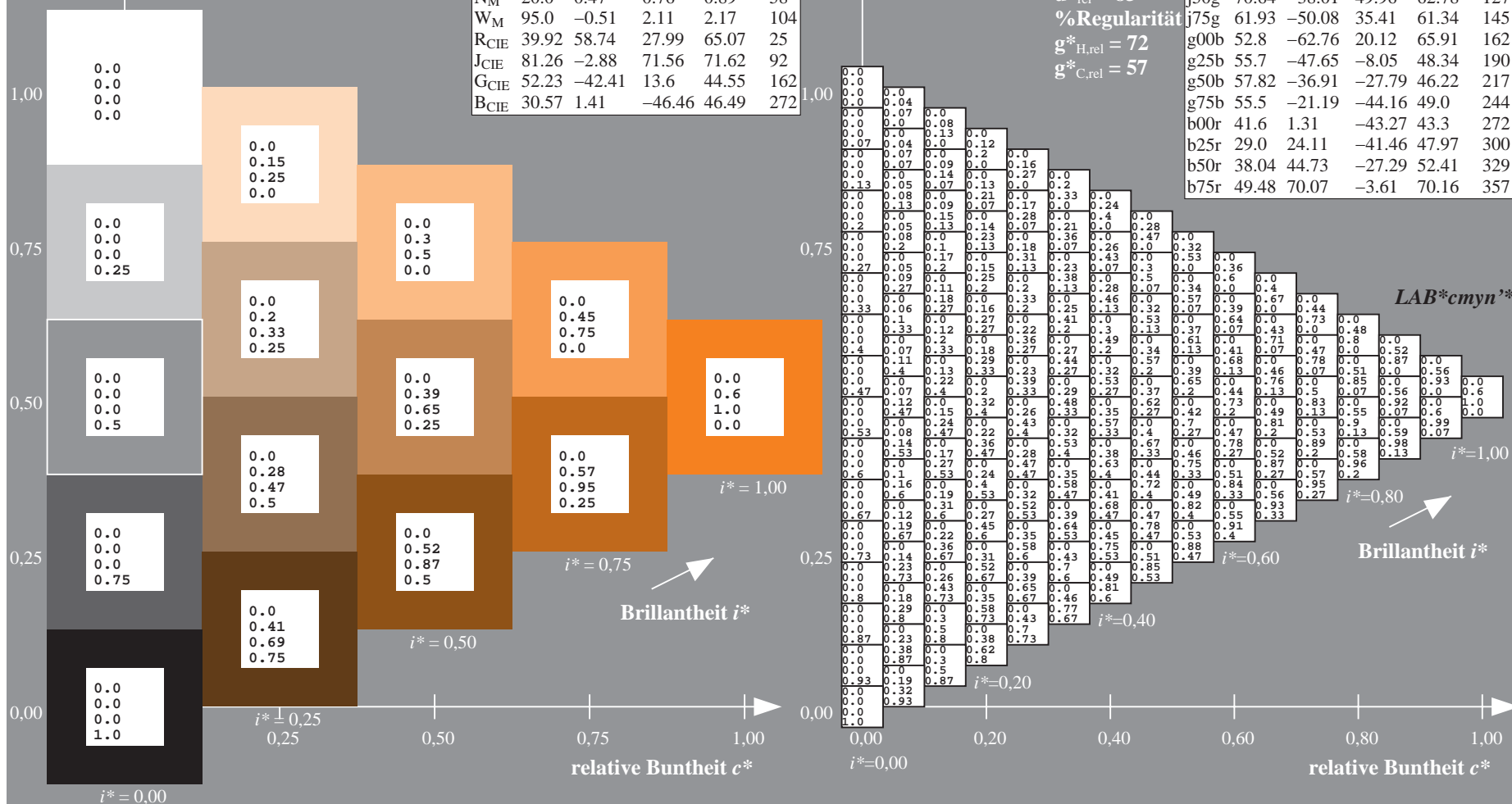
$u^*_{rel} = 83$

%Regularität

$g^*_{H,rel} = 72$

$g^*_{C,rel} = 57$

ORS20_95a; adaptierte CIELAB-Daten					
	$L^*=L^*_a$	a^*_a	b^*_a	$C^*_{ab,a}$	$h^*_{ab,a}$
r00j	48.88	63.91	30.45	70.79	25
r25j	55.85	50.36	45.65	67.97	42
r50j	65.45	33.86	56.12	65.54	59
r75j	75.19	17.13	66.73	68.89	76
j00g	87.03	-3.21	79.64	79.7	92
j25g	80.72	-24.03	66.82	71.01	110
j50g	70.64	-38.01	49.96	62.78	127
j75g	61.93	-50.08	35.41	61.34	145
g00b	52.8	-62.76	20.12	65.91	162
g25b	55.7	-47.65	-8.05	48.34	190
g50b	57.82	-36.91	-27.79	46.22	217
g75b	55.5	-21.19	-44.16	49.0	244
b00r	41.6	1.31	-43.27	43.3	272
b25r	29.0	24.11	-41.46	47.97	300
b50r	38.04	44.73	-27.29	52.41	329
b75r	49.48	70.07	-3.61	70.16	357



Ein und Ausgabe: Farbmimetrisches Drucker-Reflektiv-System ORS20_95a für relativen CIELAB-Buntton $h^* = lab^*h^* = h_{ab}/360 = 76/360 = 0.21$

Daten für jede Farbe:

lab^*ch^* und lab^*icu^*

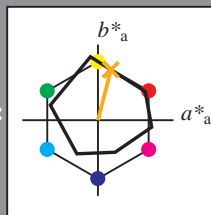
Elementar-Bunttonext:

$u^* = r75j$

Kontrastreduzierungsfaktor:

$c_R = 0.96$

Dreiecks-Helligkeit i^*



ORS20_95a; CIELAB-Daten					
	$L^*=L^*$	a^*	b^*	C^*_{ab}	h^*_{ab}
O _M	48.75	62.65	39.19	73.89	32
Y _M	90.92	-10.35	85.91	86.53	97
L _M	52.69	-62.87	21.3	66.38	161
C _M	59.61	-27.91	-42.96	51.24	237
V _M	28.39	23.07	-41.5	47.5	299
M _M	49.58	71.15	-7.89	71.59	354
N _M	20.0	0.47	0.76	0.89	58
W _M	95.0	-0.51	2.11	2.17	104
R _{CIE}	39.92	58.74	27.99	65.07	25
J _{CIE}	81.26	-2.88	71.56	71.62	92
G _{CIE}	52.23	-42.41	13.6	44.55	162
B _{CIE}	30.57	1.41	-46.46	46.49	272

Daten für Maximalfarbe (Ma):

LAB^*LAB^*Ma : 75 17 67

LAB^*LCH^*Ma : 75 69 76

lab^*rgb^*Ma : 1.0 0.75 0.0

lab^*olv^*Ma : 1.0 0.63 0.0

Dreiecks-Helligkeit i^*

%Umfang

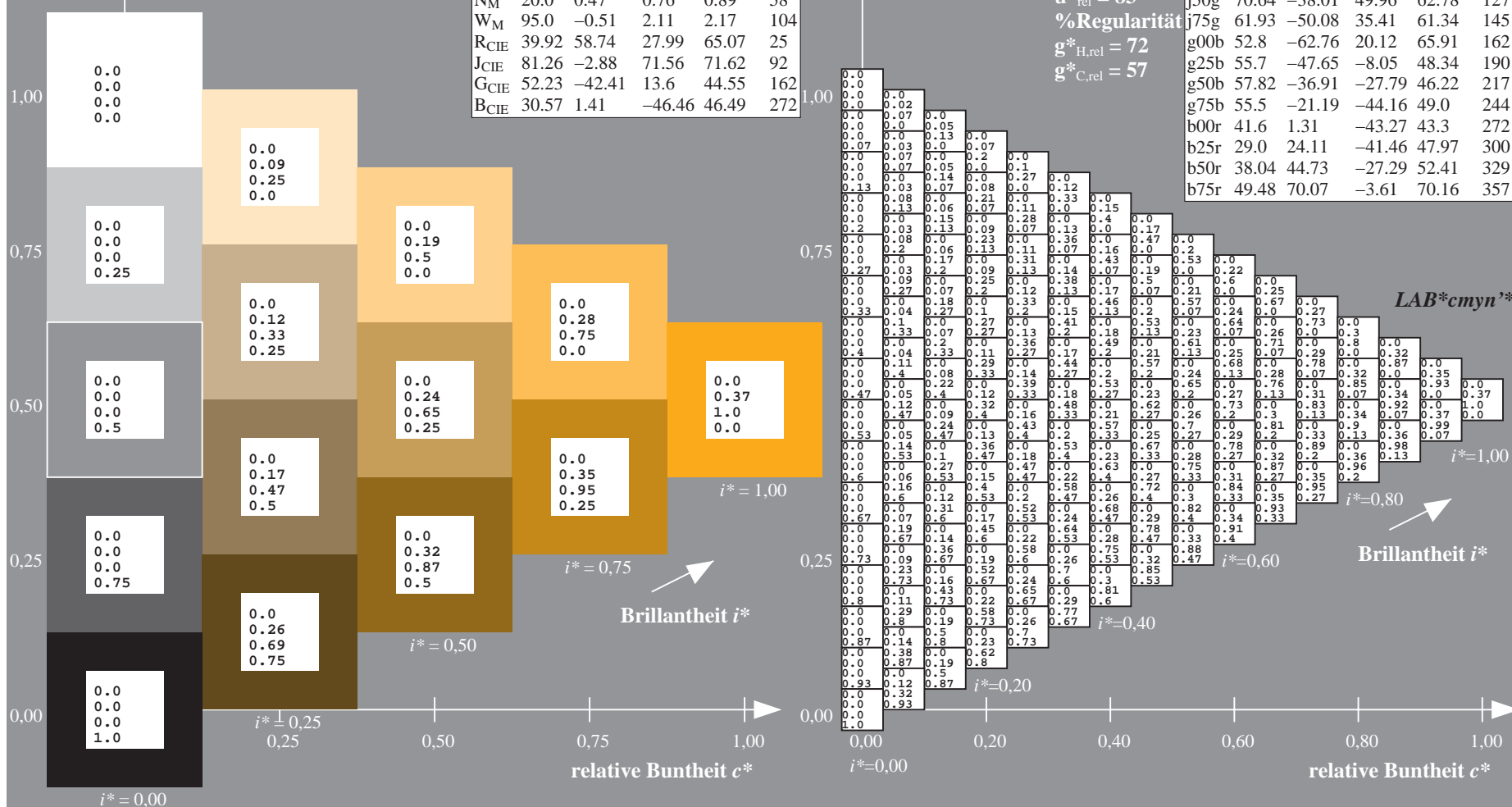
$u^*_{rel} = 83$

%Regularität

$g^*_{H,rel} = 72$

$g^*_{C,rel} = 57$

ORS20_95a; adaptierte CIELAB-Daten					
	$L^*=L^*_a$	a^*_a	b^*_a	$C^*_{ab,a}$	$h^*_{ab,a}$
r00j	48.88	63.91	30.45	70.79	25
r25j	55.85	50.36	45.65	67.97	42
r50j	65.45	33.86	56.12	65.54	59
r75j	75.19	17.13	66.73	68.89	76
j00g	87.03	-3.21	79.64	79.7	92
j25g	80.72	-24.03	66.82	71.01	110
j50g	70.64	-38.01	49.96	62.78	127
j75g	61.93	-50.08	35.41	61.34	145
g00b	52.8	-62.76	20.12	65.91	162
g25b	55.7	-47.65	-8.05	48.34	190
g50b	57.82	-36.91	-27.79	46.22	217
g75b	55.5	-21.19	-44.16	49.0	244
b00r	41.6	1.31	-43.27	43.3	272
b25r	29.0	24.11	-41.46	47.97	300
b50r	38.04	44.73	-27.29	52.41	329
b75r	49.48	70.07	-3.61	70.16	357



Ein und Ausgabe: Farbmetrisches Drucker-Reflektiv-System ORS20_95a für relativen CIELAB-Buntton $h^* = lab^*h^* = h_{ab}/360 = 92/360 = 0.256$ $u^* = j00g$

Daten für jede Farbe:

lab^*tch^* und lab^*icu^*

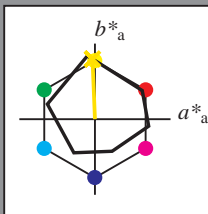
Elementar-Bunttontext:

$u^* = j00g$

Kontrastreduzierungsfaktor:

$c_R = 0.96$

Dreiecks-Helligkeit t^*



ORS20_95a; CIELAB-Daten					
	$L^*=L^*$	a^*	b^*	C^*_{ab}	h^*_{ab}
O _M	48.75	62.65	39.19	73.89	32
Y _M	90.92	-10.35	85.91	86.53	97
L _M	52.69	-62.87	21.3	66.38	161
C _M	59.61	-27.91	-42.96	51.24	237
V _M	28.39	23.07	-41.5	47.5	299
M _M	49.58	71.15	-7.89	71.59	354
N _M	20.0	0.47	0.76	0.89	58
W _M	95.0	-0.51	2.11	2.17	104
R _{CIE}	39.92	58.74	27.99	65.07	25
J _{CIE}	81.26	-2.88	71.56	71.62	92
G _{CIE}	52.23	-42.41	13.6	44.55	162
B _{CIE}	30.57	1.41	-46.46	46.49	272

Daten für Maximalfarbe (Ma):

$LAB^*LAB^*_{Ma}$: 87 -2 80

$LAB^*LCH^*_{Ma}$: 87 80 92

$lab^*rgb^*_{Ma}$: 1.0 1.0 0.0

$lab^*olv^*_{Ma}$: 1.0 0.91 0.0

Dreiecks-Helligkeit t^*

%Umfang

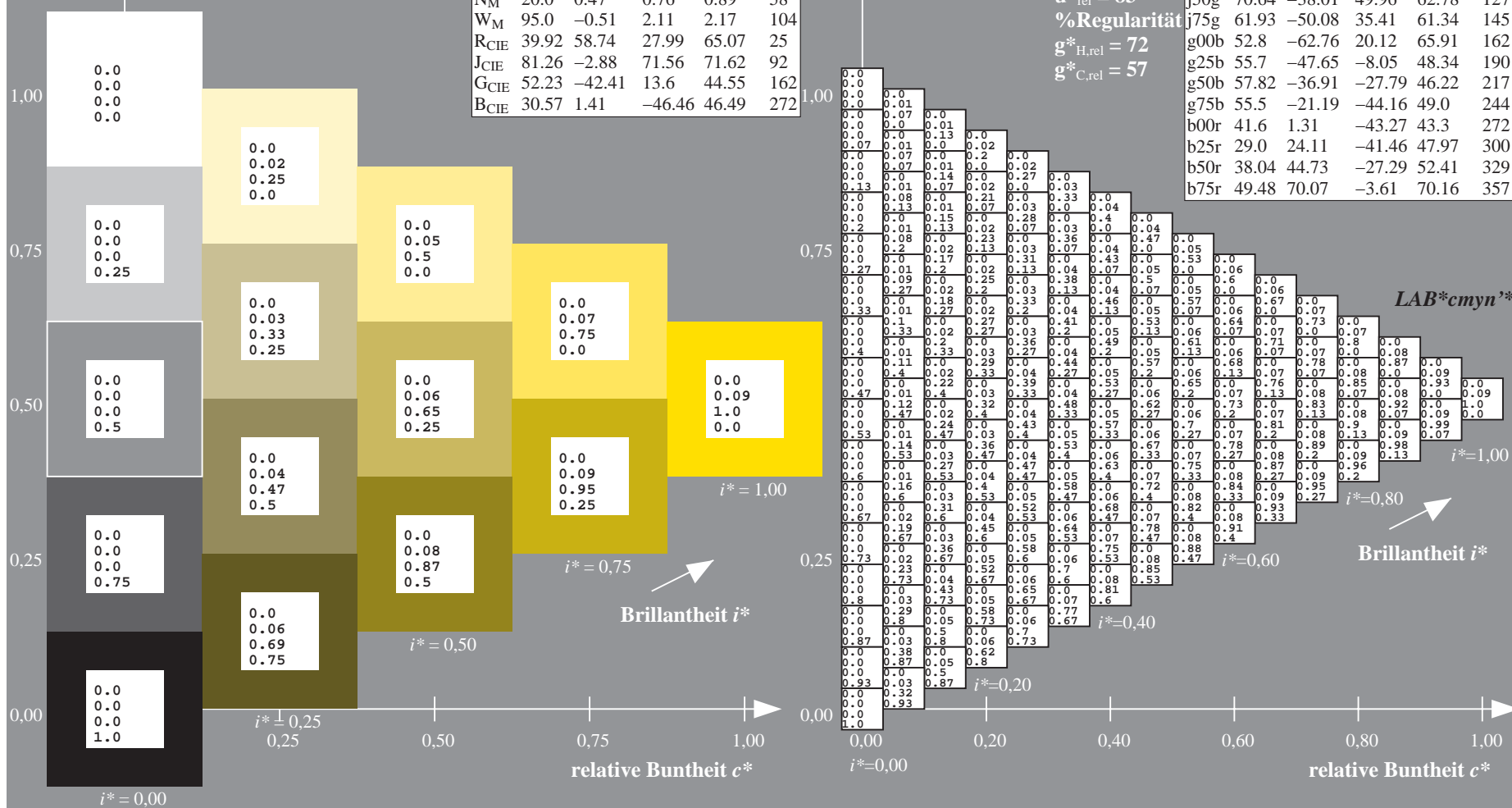
$u^*_{rel} = 83$

%Regularität

$g^*_{H,rel} = 72$

$g^*_{C,rel} = 57$

ORS20_95a; adaptierte CIELAB-Daten					
	$L^*=L^*_a$	a^*_a	b^*_a	$C^*_{ab,a}$	$h^*_{ab,a}$
r00j	48.88	63.91	30.45	70.79	25
r25j	55.85	50.36	45.65	67.97	42
r50j	65.45	33.86	56.12	65.54	59
r75j	75.19	17.13	66.73	68.89	76
j00g	87.03	-3.21	79.64	79.7	92
j25g	80.72	-24.03	66.82	71.01	110
j50g	70.64	-38.01	49.96	62.78	127
j75g	61.93	-50.08	35.41	61.34	145
g00b	52.8	-62.76	20.12	65.91	162
g25b	55.7	-47.65	-8.05	48.34	190
g50b	57.82	-36.91	-27.79	46.22	217
g75b	55.5	-21.19	-44.16	49.0	244
b00r	41.6	1.31	-43.27	43.3	272
b25r	29.0	24.11	-41.46	47.97	300
b50r	38.04	44.73	-27.29	52.41	329
b75r	49.48	70.07	-3.61	70.16	357



Ein und Ausgabe: Farbmetrisches Drucker-Reflektiv-System ORS20_95a für relativen CIELAB-Buntton $h^* = lab^*h^* = h_{ab}/360 = 110/360 = 0.305$ $u^* = j25g$

Daten für jede Farbe:

lab^*ch^* und lab^*icu^*

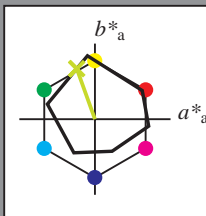
Elementar-Bunttontext:

$u^* = j25g$

Kontrastreduzierungsfaktor:

$c_R = 0.96$

Dreiecks-Helligkeit t^*



ORS20_95a; CIELAB-Daten					
	$L^*=L^*$	a^*	b^*	C^*_{ab}	h^*_{ab}
O _M	48.75	62.65	39.19	73.89	32
Y _M	90.92	-10.35	85.91	86.53	97
L _M	52.69	-62.87	21.3	66.38	161
C _M	59.61	-27.91	-42.96	51.24	237
V _M	28.39	23.07	-41.5	47.5	299
M _M	49.58	71.15	-7.89	71.59	354
N _M	20.0	0.47	0.76	0.89	58
W _M	95.0	-0.51	2.11	2.17	104
R _{CIE}	39.92	58.74	27.99	65.07	25
J _{CIE}	81.26	-2.88	71.56	71.62	92
G _{CIE}	52.23	-42.41	13.6	44.55	162
B _{CIE}	30.57	1.41	-46.46	46.49	272

Daten für Maximalfarbe (Ma):

$LAB^*LAB^*_{Ma}$: 81 -23 67

$LAB^*LCH^*_{Ma}$: 81 71 110

$lab^*rgb^*_{Ma}$: 0.75 1.0 0.0

$lab^*olv^*_{Ma}$: 0.73 1.0 0.0

Dreiecks-Helligkeit t^*

%Umfang

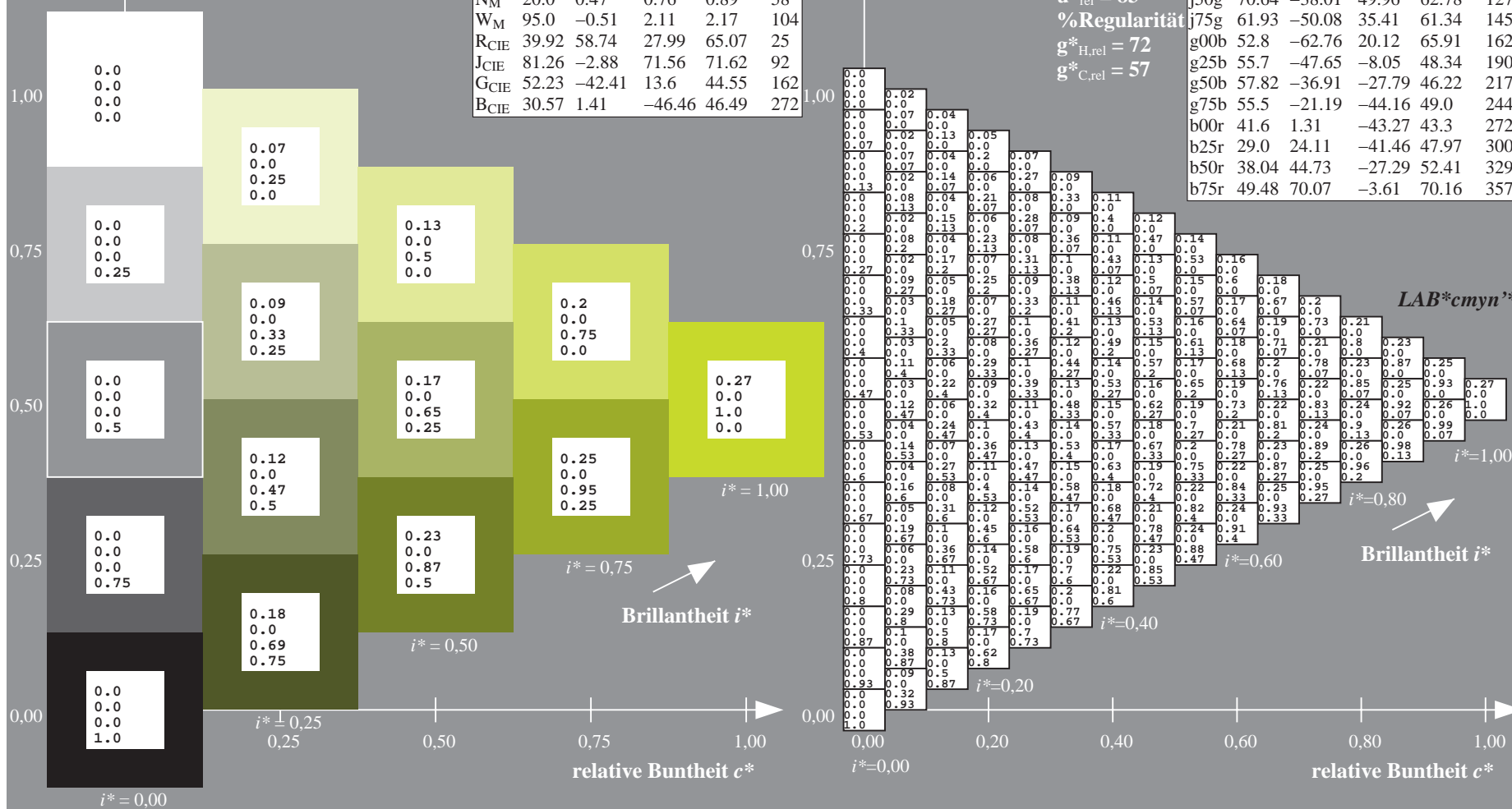
$u^*_{rel} = 83$

%Regularität

$g^*_{H,rel} = 72$

$g^*_{C,rel} = 57$

ORS20_95a; adaptierte CIELAB-Daten					
	$L^*=L^*_a$	a^*_a	b^*_a	$C^*_{ab,a}$	$h^*_{ab,a}$
r00j	48.88	63.91	30.45	70.79	25
r25j	55.85	50.36	45.65	67.97	42
r50j	65.45	33.86	56.12	65.54	59
r75j	75.19	17.13	66.73	68.89	76
j00g	87.03	-3.21	79.64	79.7	92
j25g	80.72	-24.03	66.82	71.01	110
j50g	70.64	-38.01	49.96	62.78	127
j75g	61.93	-50.08	35.41	61.34	145
g00b	52.8	-62.76	20.12	65.91	162
g25b	55.7	-47.65	-8.05	48.34	190
g50b	57.82	-36.91	-27.79	46.22	217
g75b	55.5	-21.19	-44.16	49.0	244
b00r	41.6	1.31	-43.27	43.3	272
b25r	29.0	24.11	-41.46	47.97	300
b50r	38.04	44.73	-27.29	52.41	329
b75r	49.48	70.07	-3.61	70.16	357



Ein und Ausgabe: Farbmetrisches Drucker-Reflektiv-System ORS20_95a für relativen CIELAB-Buntton $h^* = lab^*h^* = h_{ab}/360 = 127/360 = 0.354$ $u^* = j50g$

Daten für jede Farbe:

lab^*tch^* und lab^*icu^*

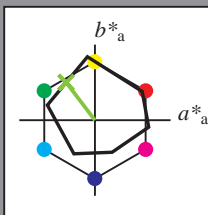
Elementar-Bunttontext:

$u^* = j50g$

Kontrastreduzierungsfaktor:

$c_R = 0.96$

Dreiecks-Helligkeit t^*



ORS20_95a; CIELAB-Daten					
	$L^*=L^*$	a^*	b^*	C^*_{ab}	h^*_{ab}
O _M	48.75	62.65	39.19	73.89	32
Y _M	90.92	-10.35	85.91	86.53	97
L _M	52.69	-62.87	21.3	66.38	161
C _M	59.61	-27.91	-42.96	51.24	237
V _M	28.39	23.07	-41.5	47.5	299
M _M	49.58	71.15	-7.89	71.59	354
N _M	20.0	0.47	0.76	0.89	58
W _M	95.0	-0.51	2.11	2.17	104
R _{CIE}	39.92	58.74	27.99	65.07	25
J _{CIE}	81.26	-2.88	71.56	71.62	92
G _{CIE}	52.23	-42.41	13.6	44.55	162
B _{CIE}	30.57	1.41	-46.46	46.49	272

Daten für Maximalfarbe (Ma):

$LAB^*LAB^*_{Ma}$: 71 -37 50

$LAB^*LCH^*_{Ma}$: 71 63 127

$lab^*rgb^*_{Ma}$: 0.5 1.0 0.0

$lab^*olv^*_{Ma}$: 0.47 1.0 0.0

Dreiecks-Helligkeit t^*

%Umfang

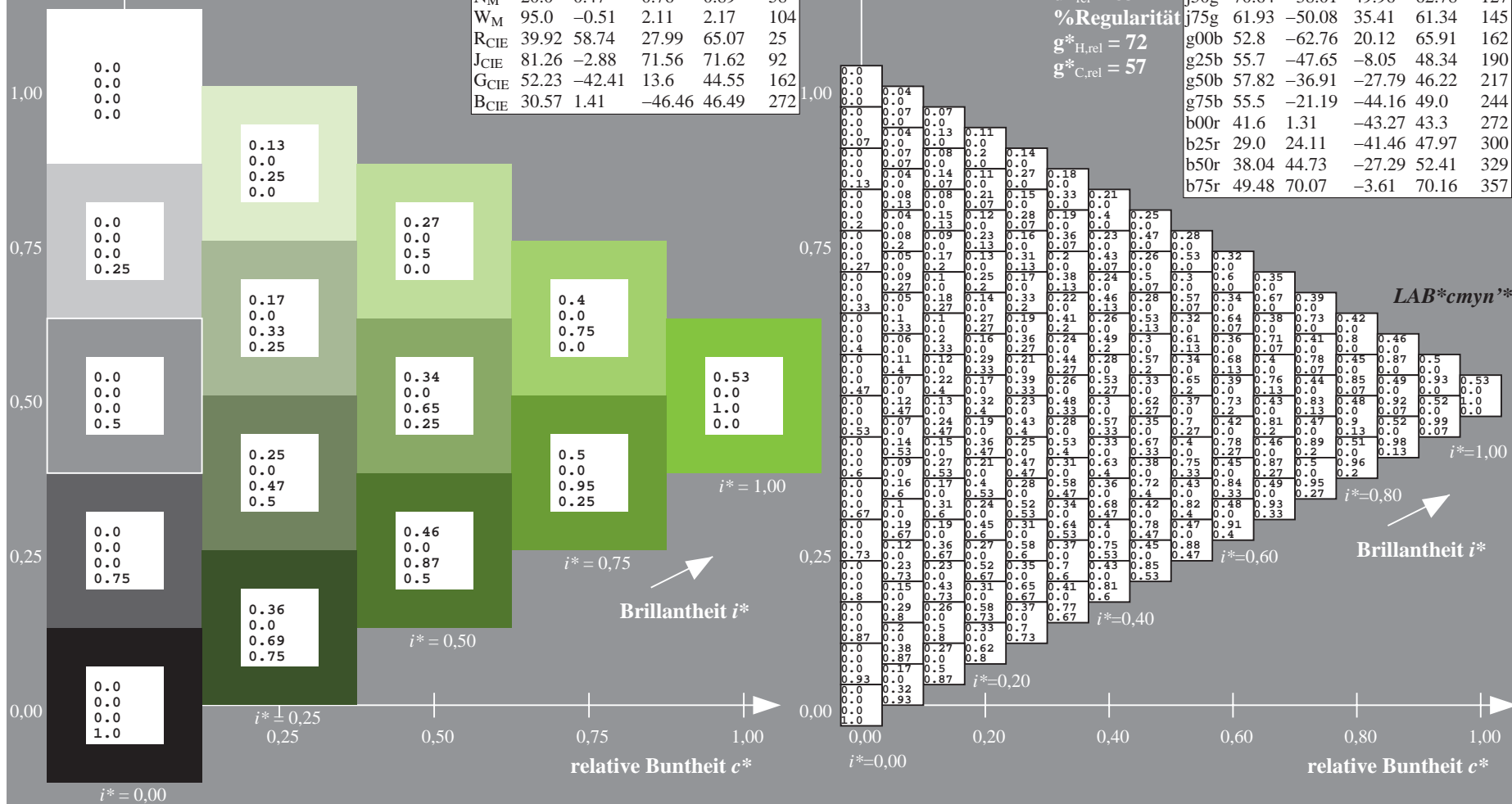
$u^*_{rel} = 83$

%Regularität

$g^*_{H,rel} = 72$

$g^*_{C,rel} = 57$

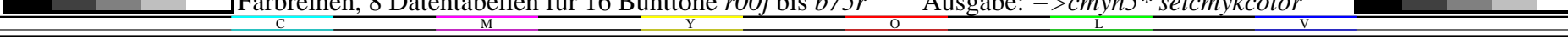
ORS20_95a; adaptierte CIELAB-Daten					
	$L^*=L^*_a$	a^*_a	b^*_a	$C^*_{ab,a}$	$h^*_{ab,a}$
r00j	48.88	63.91	30.45	70.79	25
r25j	55.85	50.36	45.65	67.97	42
r50j	65.45	33.86	56.12	65.54	59
r75j	75.19	17.13	66.73	68.89	76
j00g	87.03	-3.21	79.64	79.7	92
j25g	80.72	-24.03	66.82	71.01	110
j50g	70.64	-38.01	49.96	62.78	127
j75g	61.93	-50.08	35.41	61.34	145
g00b	52.8	-62.76	20.12	65.91	162
g25b	55.7	-47.65	-8.05	48.34	190
g50b	57.82	-36.91	-27.79	46.22	217
g75b	55.5	-21.19	-44.16	49.0	244
b00r	41.6	1.31	-43.27	43.3	272
b25r	29.0	24.11	-41.46	47.97	300
b50r	38.04	44.73	-27.29	52.41	329
b75r	49.48	70.07	-3.61	70.16	357



Products from here:



mykcolor



Ein und Ausgabe: Farbmetrisches Drucker-Reflektiv-System ORS20_95a für relativen CIELAB-Buntton $h^* = lab^*h^* = h_{ab}/360 = 162/360 = 0.451$ $u^* = g00b$

Daten für jede Farbe:

lab^*ch^* und lab^*icu^*

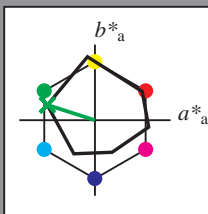
Elementar-Bunttontext:

$u^* = g00b$

Kontrastreduzierungsfaktor:

$c_R = 0.96$

Dreiecks-Helligkeit i^*



ORS20_95a; CIELAB-Daten					
	$L^*=L^*$	a^*	b^*	C^*_{ab}	h^*_{ab}
O _M	48.75	62.65	39.19	73.89	32
Y _M	90.92	-10.35	85.91	86.53	97
L _M	52.69	-62.87	21.3	66.38	161
C _M	59.61	-27.91	-42.96	51.24	237
V _M	28.39	23.07	-41.5	47.5	299
M _M	49.58	71.15	-7.89	71.59	354
N _M	20.0	0.47	0.76	0.89	58
W _M	95.0	-0.51	2.11	2.17	104
R _{CIE}	39.92	58.74	27.99	65.07	25
J _{CIE}	81.26	-2.88	71.56	71.62	92
G _{CIE}	52.23	-42.41	13.6	44.55	162
B _{CIE}	30.57	1.41	-46.46	46.49	272

Daten für Maximalfarbe (Ma):

$LAB^*LAB^*_{Ma}$: 53 -62 20

$LAB^*LCH^*_{Ma}$: 53 66 162

$lab^*rgb^*_{Ma}$: 0.0 1.0 0.0

$lab^*olv^*_{Ma}$: 0.0 1.0 0.0

Dreiecks-Helligkeit i^*

%Umfang

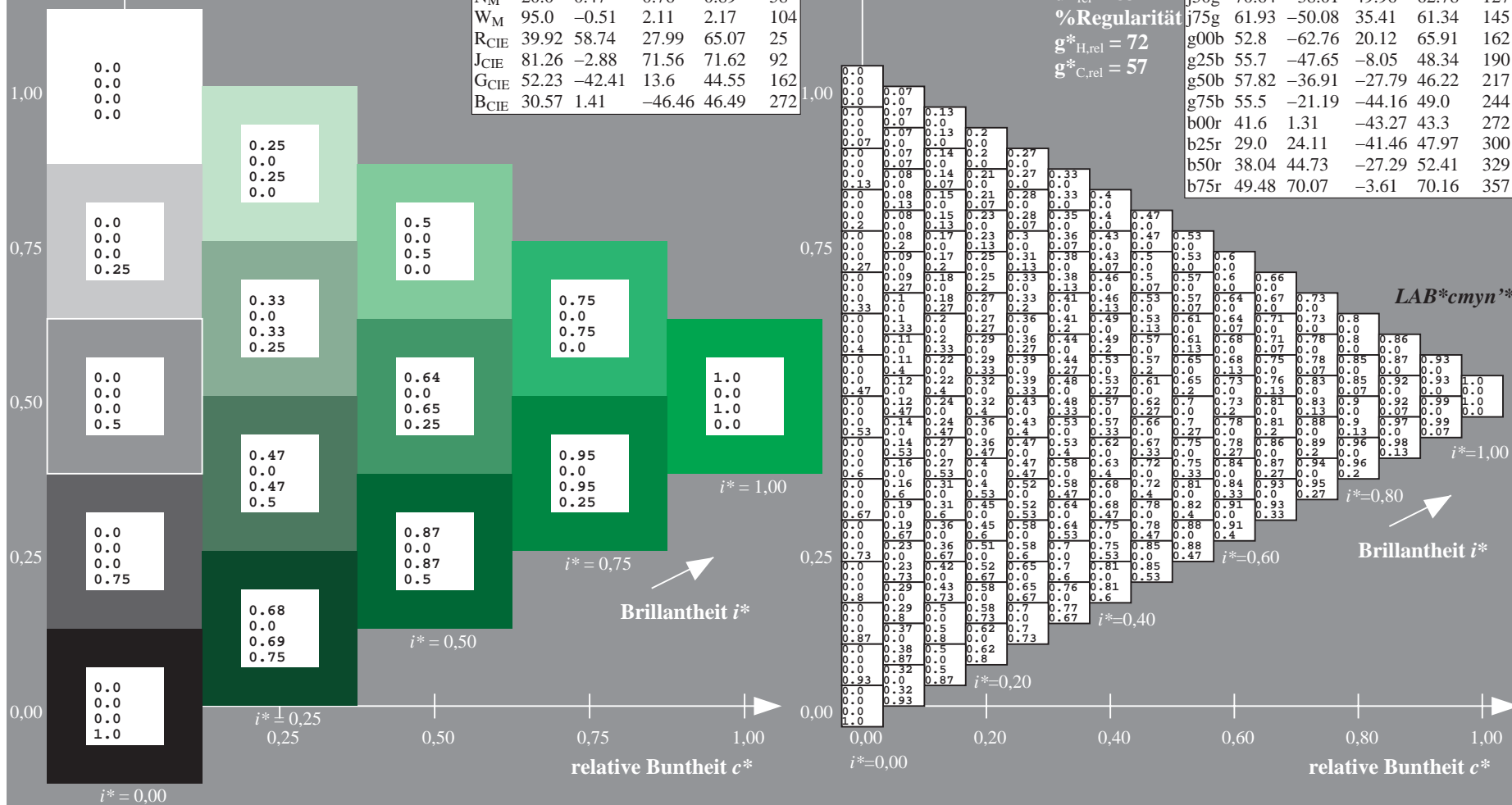
$u^*_{rel} = 83$

%Regularität

$g^*_{H,rel} = 72$

$g^*_{C,rel} = 57$

ORS20_95a; adaptierte CIELAB-Daten					
	$L^*=L^*_a$	a^*_a	b^*_a	$C^*_{ab,a}$	$h^*_{ab,a}$
r00j	48.88	63.91	30.45	70.79	25
r25j	55.85	50.36	45.65	67.97	42
r50j	65.45	33.86	56.12	65.54	59
r75j	75.19	17.13	66.73	68.89	76
j00g	87.03	-3.21	79.64	79.7	92
j25g	80.72	-24.03	66.82	71.01	110
j50g	70.64	-38.01	49.96	62.78	127
j75g	61.93	-50.08	35.41	61.34	145
g00b	52.8	-62.76	20.12	65.91	162
g25b	55.7	-47.65	-8.05	48.34	190
g50b	57.82	-36.91	-27.79	46.22	217
g75b	55.5	-21.19	-44.16	49.0	244
b00r	41.6	1.31	-43.27	43.3	272
b25r	29.0	24.11	-41.46	47.97	300
b50r	38.04	44.73	-27.29	52.41	329
b75r	49.48	70.07	-3.61	70.16	357



Ein und Ausgabe: Farbmetrisches Drucker-Reflektiv-System ORS20_95a für relativen CIELAB-Buntton $h^* = lab^*h^* = h_{ab}/360 = 190/360 = 0.527$ $u^* = g25b$

Daten für jede Farbe:

lab^*ch^* und lab^*icu^*

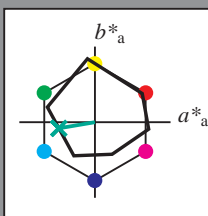
Elementar-Bunttontext:

$u^* = g25b$

Kontrastreduzierungsfaktor:

$c_R = 0.96$

Dreiecks-Helligkeit i^*



ORS20_95a; CIELAB-Daten					
	$L^*=L^*$	a^*	b^*	C^*_{ab}	h^*_{ab}
O _M	48.75	62.65	39.19	73.89	32
Y _M	90.92	-10.35	85.91	86.53	97
L _M	52.69	-62.87	21.3	66.38	161
C _M	59.61	-27.91	-42.96	51.24	237
V _M	28.39	23.07	-41.5	47.5	299
M _M	49.58	71.15	-7.89	71.59	354
N _M	20.0	0.47	0.76	0.89	58
W _M	95.0	-0.51	2.11	2.17	104
R _{CIE}	39.92	58.74	27.99	65.07	25
J _{CIE}	81.26	-2.88	71.56	71.62	92
G _{CIE}	52.23	-42.41	13.6	44.55	162
B _{CIE}	30.57	1.41	-46.46	46.49	272

Daten für Maximalfarbe (Ma):

$LAB^*LAB^*_{Ma}$: 56 -47 -7

$LAB^*LCH^*_{Ma}$: 56 48 190

$lab^*rgb^*_{Ma}$: 0.0 1.0 0.5

$lab^*olv^*_{Ma}$: 0.0 1.0 0.44

Dreiecks-Helligkeit i^*

%Umfang

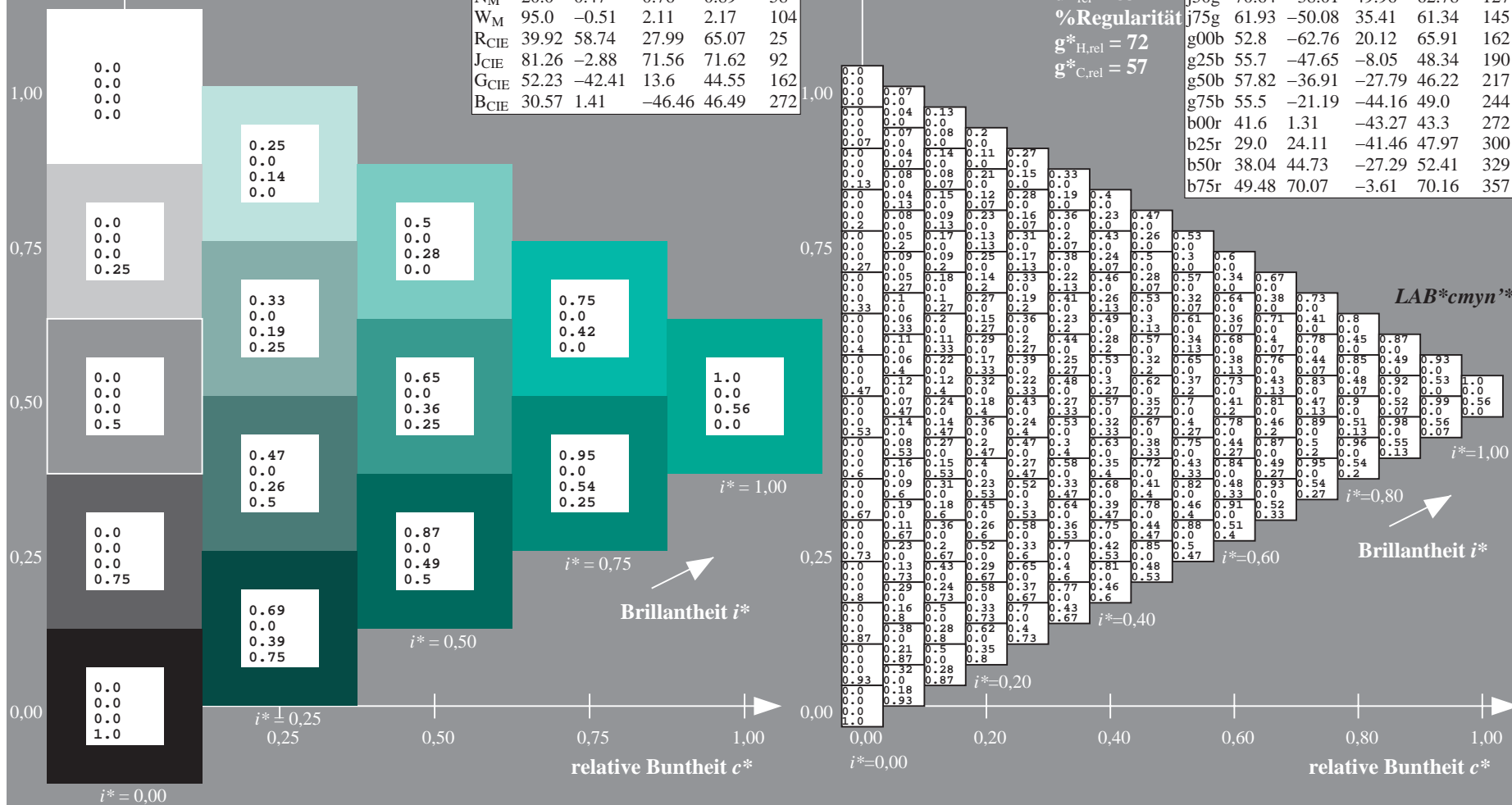
$u^*_{rel} = 83$

%Regularität

$g^*_{H,rel} = 72$

$g^*_{C,rel} = 57$

ORS20_95a; adaptierte CIELAB-Daten					
	$L^*=L^*_a$	a^*_a	b^*_a	$C^*_{ab,a}$	$h^*_{ab,a}$
r00j	48.88	63.91	30.45	70.79	25
r25j	55.85	50.36	45.65	67.97	42
r50j	65.45	33.86	56.12	65.54	59
r75j	75.19	17.13	66.73	68.89	76
j00g	87.03	-3.21	79.64	79.7	92
j25g	80.72	-24.03	66.82	71.01	110
j50g	70.64	-38.01	49.96	62.78	127
j75g	61.93	-50.08	35.41	61.34	145
g00b	52.8	-62.76	20.12	65.91	162
g25b	55.7	-47.65	-8.05	48.34	190
g50b	57.82	-36.91	-27.79	46.22	217
g75b	55.5	-21.19	-44.16	49.0	244
b00r	41.6	1.31	-43.27	43.3	272
b25r	29.0	24.11	-41.46	47.97	300
b50r	38.04	44.73	-27.29	52.41	329
b75r	49.48	70.07	-3.61	70.16	357



Ein und Ausgabe: Farbmetrisches Drucker-Reflektiv-System ORS20_95a für relativen CIELAB-Buntton $h^* = lab^*h^* = h_{ab}/360 = 217/360 = 0.603$ $u^* = g50b$

Daten für jede Farbe:

lab^*ch^* und lab^*icu^*

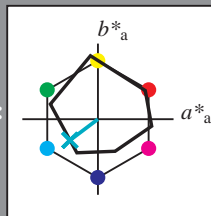
Elementar-Bunttontext:

$u^* = g50b$

Kontrastreduzierungsfaktor:

$c_R = 0.96$

Dreiecks-Helligkeit t^*



ORS20_95a; CIELAB-Daten					
	$L^*=L^*$	a^*	b^*	C^*_{ab}	h^*_{ab}
O _M	48.75	62.65	39.19	73.89	32
Y _M	90.92	-10.35	85.91	86.53	97
L _M	52.69	-62.87	21.3	66.38	161
C _M	59.61	-27.91	-42.96	51.24	237
V _M	28.39	23.07	-41.5	47.5	299
M _M	49.58	71.15	-7.89	71.59	354
N _M	20.0	0.47	0.76	0.89	58
W _M	95.0	-0.51	2.11	2.17	104
R _{CIE}	39.92	58.74	27.99	65.07	25
J _{CIE}	81.26	-2.88	71.56	71.62	92
G _{CIE}	52.23	-42.41	13.6	44.55	162
B _{CIE}	30.57	1.41	-46.46	46.49	272

Daten für Maximalfarbe (Ma):

$LAB^*LAB^*_{Ma}$: 58 -36 -27

$LAB^*LCH^*_{Ma}$: 58 46 217

$lab^*rgb^*_{Ma}$: 0.0 1.0 1.0

$lab^*olv^*_{Ma}$: 0.0 1.0 0.74

Dreiecks-Helligkeit t^*

%Umfang

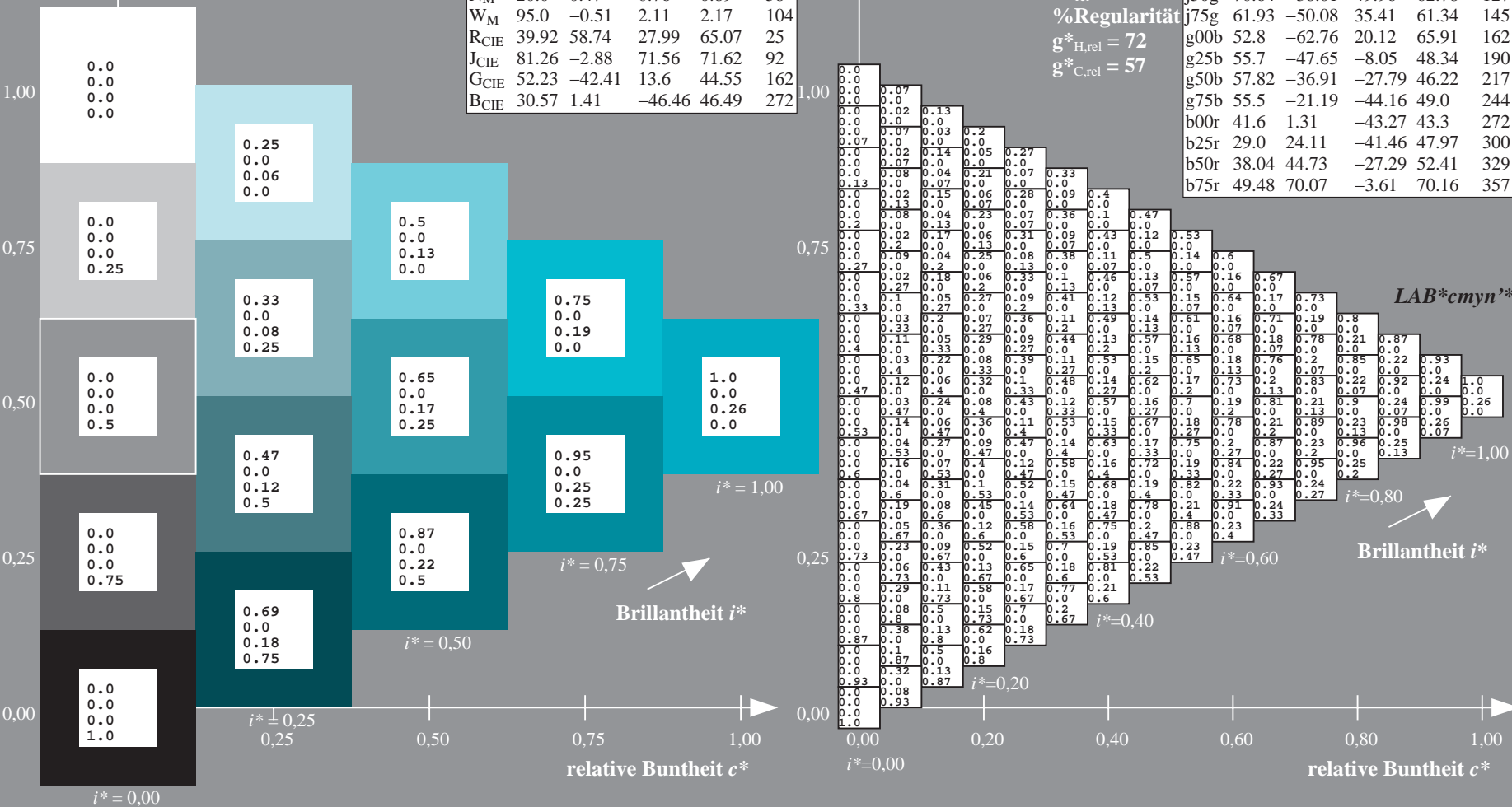
$u^*_{rel} = 83$

%Regularität

$g^*_{H,rel} = 72$

$g^*_{C,rel} = 57$

ORS20_95a; adaptierte CIELAB-Daten					
	$L^*=L^*_a$	a^*_a	b^*_a	$C^*_{ab,a}$	$h^*_{ab,a}$
r00j	48.88	63.91	30.45	70.79	25
r25j	55.85	50.36	45.65	67.97	42
r50j	65.45	33.86	56.12	65.54	59
r75j	75.19	17.13	66.73	68.89	76
j00g	87.03	-3.21	79.64	79.7	92
j25g	80.72	-24.03	66.82	71.01	110
j50g	70.64	-38.01	49.96	62.78	127
j75g	61.93	-50.08	35.41	61.34	145
g00b	52.8	-62.76	20.12	65.91	162
g25b	55.7	-47.65	-8.05	48.34	190
g50b	57.82	-36.91	-27.79	46.22	217
g75b	55.5	-21.19	-44.16	49.0	244
b00r	41.6	1.31	-43.27	43.3	272
b25r	29.0	24.11	-41.46	47.97	300
b50r	38.04	44.73	-27.29	52.41	329
b75r	49.48	70.07	-3.61	70.16	357



Ein und Ausgabe: Farbmetrisches Drucker-Reflektiv-System ORS20_95a für relativen CIELAB-Buntton $h^* = lab^*h^* = h_{ab}/360 = 244/360 = 0.679$ $u^* = g75b$

Daten für jede Farbe:

lab^*ch^* und lab^*icu^*

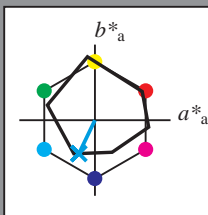
Elementar-Bunttontext:

$u^* = g75b$

Kontrastreduzierungsfaktor:

$c_R = 0.96$

Dreiecks-Helligkeit i^*



ORS20_95a; CIELAB-Daten					
	$L^*=L^*$	a^*	b^*	C^*_{ab}	h^*_{ab}
O _M	48.75	62.65	39.19	73.89	32
Y _M	90.92	-10.35	85.91	86.53	97
L _M	52.69	-62.87	21.3	66.38	161
C _M	59.61	-27.91	-42.96	51.24	237
V _M	28.39	23.07	-41.5	47.5	299
M _M	49.58	71.15	-7.89	71.59	354
N _M	20.0	0.47	0.76	0.89	58
W _M	95.0	-0.51	2.11	2.17	104
R _{CIE}	39.92	58.74	27.99	65.07	25
J _{CIE}	81.26	-2.88	71.56	71.62	92
G _{CIE}	52.23	-42.41	13.6	44.55	162
B _{CIE}	30.57	1.41	-46.46	46.49	272

Daten für Maximalfarbe (Ma):

$LAB^*LAB^*_{Ma}$: 55 -20 -43

$LAB^*LCH^*_{Ma}$: 55 49 244

$lab^*rgb^*_{Ma}$: 0.0 0.5 1.0

$lab^*olv^*_{Ma}$: 0.0 0.87 1.0

Dreiecks-Helligkeit i^*

%Umfang

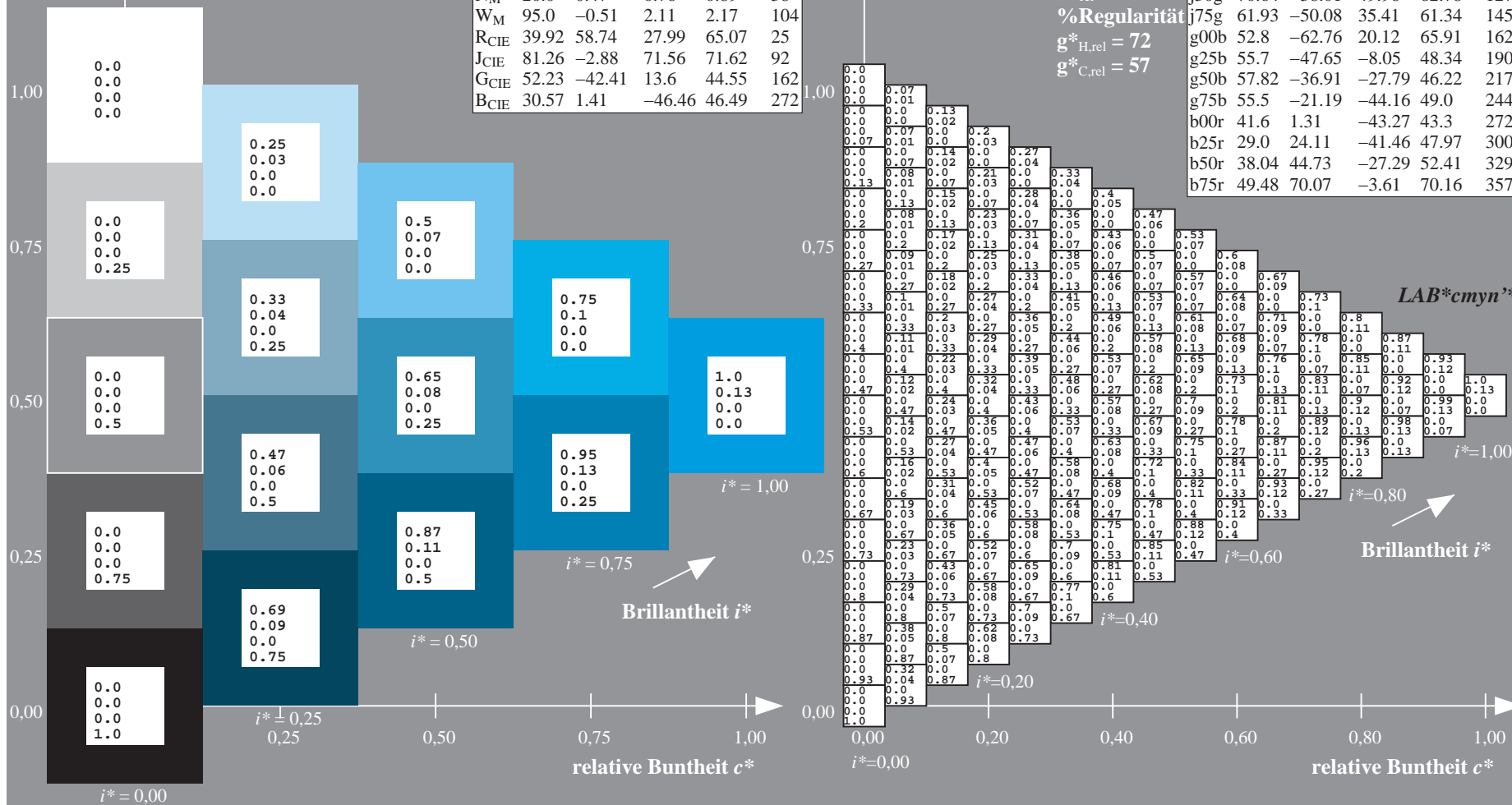
$u^*_{rel} = 83$

%Regularität

$g^*_{H,rel} = 72$

$g^*_{C,rel} = 57$

ORS20_95a; adaptierte CIELAB-Daten					
	$L^*=L^*_a$	a^*_a	b^*_a	$C^*_{ab,a}$	$h^*_{ab,a}$
r00j	48.88	63.91	30.45	70.79	25
r25j	55.85	50.36	45.65	67.97	42
r50j	65.45	33.86	56.12	65.54	59
r75j	75.19	17.13	66.73	68.89	76
j00g	87.03	-3.21	79.64	79.7	92
j25g	80.72	-24.03	66.82	71.01	110
j50g	70.64	-38.01	49.96	62.78	127
j75g	61.93	-50.08	35.41	61.34	145
g00b	52.8	-62.76	20.12	65.91	162
g25b	55.7	-47.65	-8.05	48.34	190
g50b	57.82	-36.91	-27.79	46.22	217
g75b	55.5	-21.19	-44.16	49.0	244
b00r	41.6	1.31	-43.27	43.3	272
b25r	29.0	24.11	-41.46	47.97	300
b50r	38.04	44.73	-27.29	52.41	329
b75r	49.48	70.07	-3.61	70.16	357



Ein und Ausgabe: Farbmimetrisches Drucker-Reflektiv-System ORS20_95a für relativen CIELAB-Buntton $h^* = lab^*h^* = h_{ab}/360 = 272/360 = 0.755$ $u^* = b00r$

Daten für jede Farbe:

lab^*ch^* und lab^*icu^*

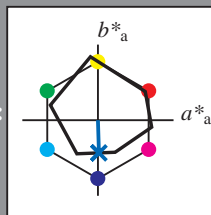
Elementar-Bunttonext:

$u^* = b00r$

Kontrastreduzierungsfaktor:

$c_R = 0.96$

Dreiecks-Helligkeit i^*



ORS20_95a; CIELAB-Daten					
	$L^*=L^*$	a^*	b^*	C^*_{ab}	h^*_{ab}
O _M	48.75	62.65	39.19	73.89	32
Y _M	90.92	-10.35	85.91	86.53	97
L _M	52.69	-62.87	21.3	66.38	161
C _M	59.61	-27.91	-42.96	51.24	237
V _M	28.39	23.07	-41.5	47.5	299
M _M	49.58	71.15	-7.89	71.59	354
N _M	20.0	0.47	0.76	0.89	58
W _M	95.0	-0.51	2.11	2.17	104
R _{CIE}	39.92	58.74	27.99	65.07	25
J _{CIE}	81.26	-2.88	71.56	71.62	92
G _{CIE}	52.23	-42.41	13.6	44.55	162
B _{CIE}	30.57	1.41	-46.46	46.49	272

Daten für Maximalfarbe (Ma):

$LAB^*LAB^*_{Ma}$: 42 1 -42

$LAB^*LCH^*_{Ma}$: 42 43 272

$lab^*rgb^*_{Ma}$: 0.0 0.0 1.0

$lab^*olv^*_{Ma}$: 0.0 0.42 1.0

Dreiecks-Helligkeit i^*

%Umfang

$u^*_{rel} = 83$

%Regularität

$g^*_{H,rel} = 72$

$g^*_{C,rel} = 57$

ORS20_95a; adaptierte CIELAB-Daten					
	$L^*=L^*_a$	a^*_a	b^*_a	$C^*_{ab,a}$	$h^*_{ab,a}$
r00j	48.88	63.91	30.45	70.79	25
r25j	55.85	50.36	45.65	67.97	42
r50j	65.45	33.86	56.12	65.54	59
r75j	75.19	17.13	66.73	68.89	76
j00g	87.03	-3.21	79.64	79.7	92
j25g	80.72	-24.03	66.82	71.01	110
j50g	70.64	-38.01	49.96	62.78	127
j75g	61.93	-50.08	35.41	61.34	145
g00b	52.8	-62.76	20.12	65.91	162
g25b	55.7	-47.65	-8.05	48.34	190
g50b	57.82	-36.91	-27.79	46.22	217
g75b	55.5	-21.19	-44.16	49.0	244
b00r	41.6	1.31	-43.27	43.3	272
b25r	29.0	24.11	-41.46	47.97	300
b50r	38.04	44.73	-27.29	52.41	329
b75r	49.48	70.07	-3.61	70.16	357

Ein und Ausgabe: Farbmetrisches Drucker-Reflektiv-System ORS20_95a für relativen CIELAB-Buntton $h^* = lab^*h^* = h_{ab}/360 = 300/360 = 0.834$ $u^* = b25r$

Daten für jede Farbe:

lab^*ch^* und lab^*icu^*

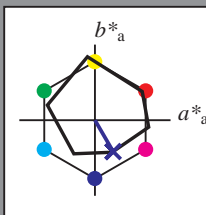
Elementar-Bunttontext:

$u^* = b25r$

Kontrastreduzierungsfaktor:

$c_R = 0.96$

Dreiecks-Helligkeit t^*



ORS20_95a; CIELAB-Daten					
	$L^*=L^*$	a^*	b^*	C^*_{ab}	h^*_{ab}
O _M	48.75	62.65	39.19	73.89	32
Y _M	90.92	-10.35	85.91	86.53	97
L _M	52.69	-62.87	21.3	66.38	161
C _M	59.61	-27.91	-42.96	51.24	237
V _M	28.39	23.07	-41.5	47.5	299
M _M	49.58	71.15	-7.89	71.59	354
W _M	20.0	0.47	0.76	0.89	58
N _M	95.0	-0.51	2.11	2.17	104
R _{CIE}	39.92	58.74	27.99	65.07	25
J _{CIE}	81.26	-2.88	71.56	71.62	92
G _{CIE}	52.23	-42.41	13.6	44.55	162
B _{CIE}	30.57	1.41	-46.46	46.49	272

Daten für Maximalfarbe (Ma):

$LAB^*LAB^*_{Ma}$: 29 24 -40

$LAB^*LCH^*_{Ma}$: 29 48 300

$lab^*rgb^*_{Ma}$: 0.5 0.0 1.0

$lab^*olv^*_{Ma}$: 0.03 0.0 1.0

Dreiecks-Helligkeit t^*

%Umfang

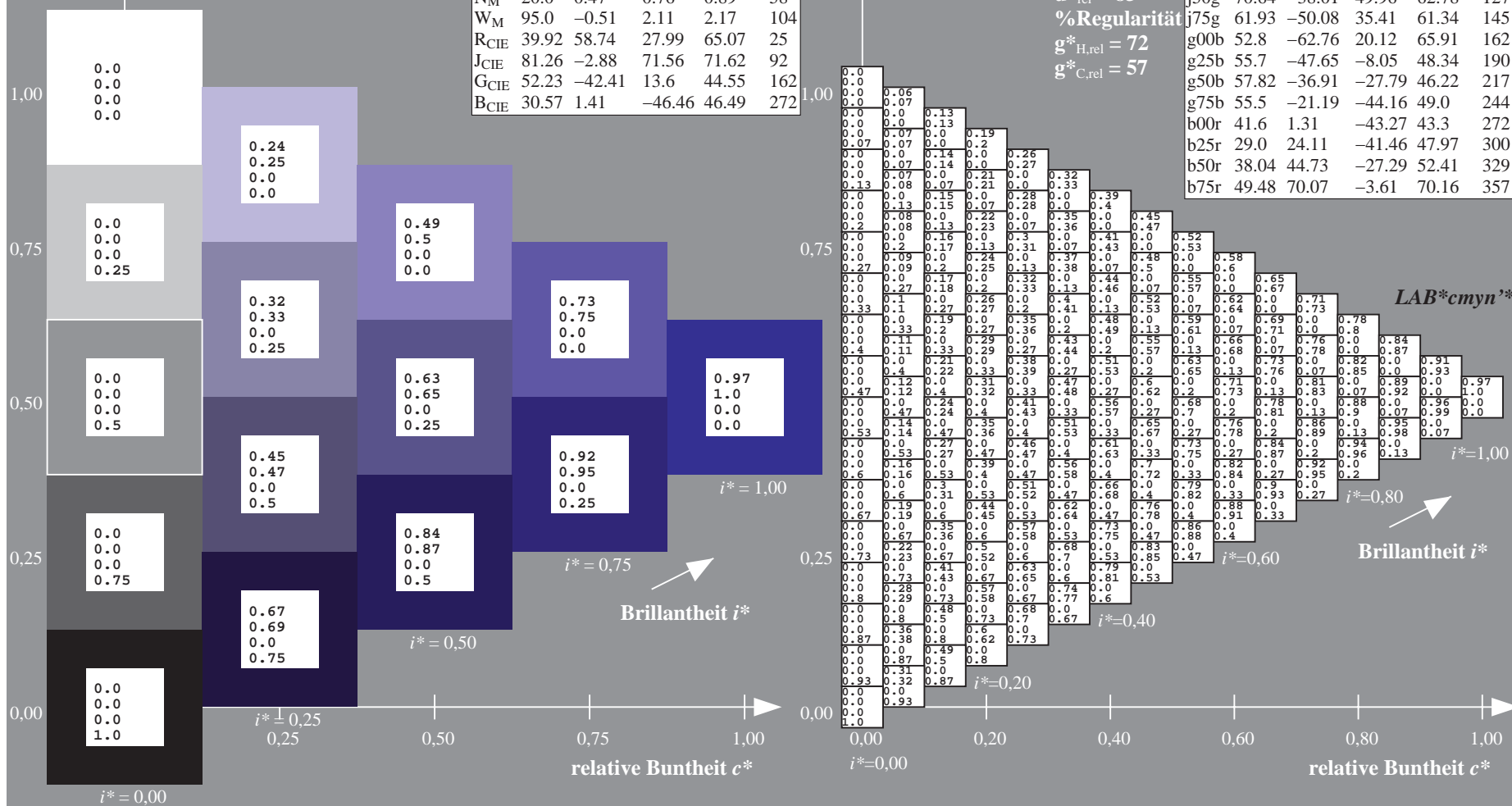
$u^*_{rel} = 83$

%Regularität

$g^*_{H,rel} = 72$

$g^*_{C,rel} = 57$

ORS20_95a; adaptierte CIELAB-Daten					
	$L^*=L^*_a$	a^*_a	b^*_a	$C^*_{ab,a}$	$h^*_{ab,a}$
r00j	48.88	63.91	30.45	70.79	25
r25j	55.85	50.36	45.65	67.97	42
r50j	65.45	33.86	56.12	65.54	59
r75j	75.19	17.13	66.73	68.89	76
j00g	87.03	-3.21	79.64	79.7	92
j25g	80.72	-24.03	66.82	71.01	110
j50g	70.64	-38.01	49.96	62.78	127
j75g	61.93	-50.08	35.41	61.34	145
g00b	52.8	-62.76	20.12	65.91	162
g25b	55.7	-47.65	-8.05	48.34	190
g50b	57.82	-36.91	-27.79	46.22	217
g75b	55.5	-21.19	-44.16	49.0	244
b00r	41.6	1.31	-43.27	43.3	272
b25r	29.0	24.11	-41.46	47.97	300
b50r	38.04	44.73	-27.29	52.41	329
b75r	49.48	70.07	-3.61	70.16	357



Ein und Ausgabe: Farbmetrisches Drucker-Reflektiv-System ORS20_95a für relativen CIELAB-Buntton $h^* = lab^*h^* = h_{ab}/360 = 329/360 = 0.913$ $u^* = b50r$

Daten für jede Farbe:

lab^*ch^* und lab^*icu^*

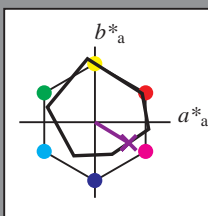
Elementar-Bunttontext:

$u^* = b50r$

Kontrastreduzierungsfaktor:

$c_R = 0.96$

Dreiecks-Helligkeit t^*



ORS20_95a; CIELAB-Daten					
	$L^*=L^*$	a^*	b^*	C^*_{ab}	h^*_{ab}
O _M	48.75	62.65	39.19	73.89	32
Y _M	90.92	-10.35	85.91	86.53	97
L _M	52.69	-62.87	21.3	66.38	161
C _M	59.61	-27.91	-42.96	51.24	237
V _M	28.39	23.07	-41.5	47.5	299
M _M	49.58	71.15	-7.89	71.59	354
W _M	20.0	0.47	0.76	0.89	58
N _M	95.0	-0.51	2.11	2.17	104
R _{CIE}	39.92	58.74	27.99	65.07	25
J _{CIE}	81.26	-2.88	71.56	71.62	92
G _{CIE}	52.23	-42.41	13.6	44.55	162
B _{CIE}	30.57	1.41	-46.46	46.49	272

Daten für Maximalfarbe (Ma):

$LAB^*LAB^*_{Ma}$: 38 45 -26

$LAB^*LCH^*_{Ma}$: 38 52 329

$lab^*rgb^*_{Ma}$: 1.0 0.0 1.0

$lab^*olv^*_{Ma}$: 0.46 0.0 1.0

Dreiecks-Helligkeit t^*

%Umfang

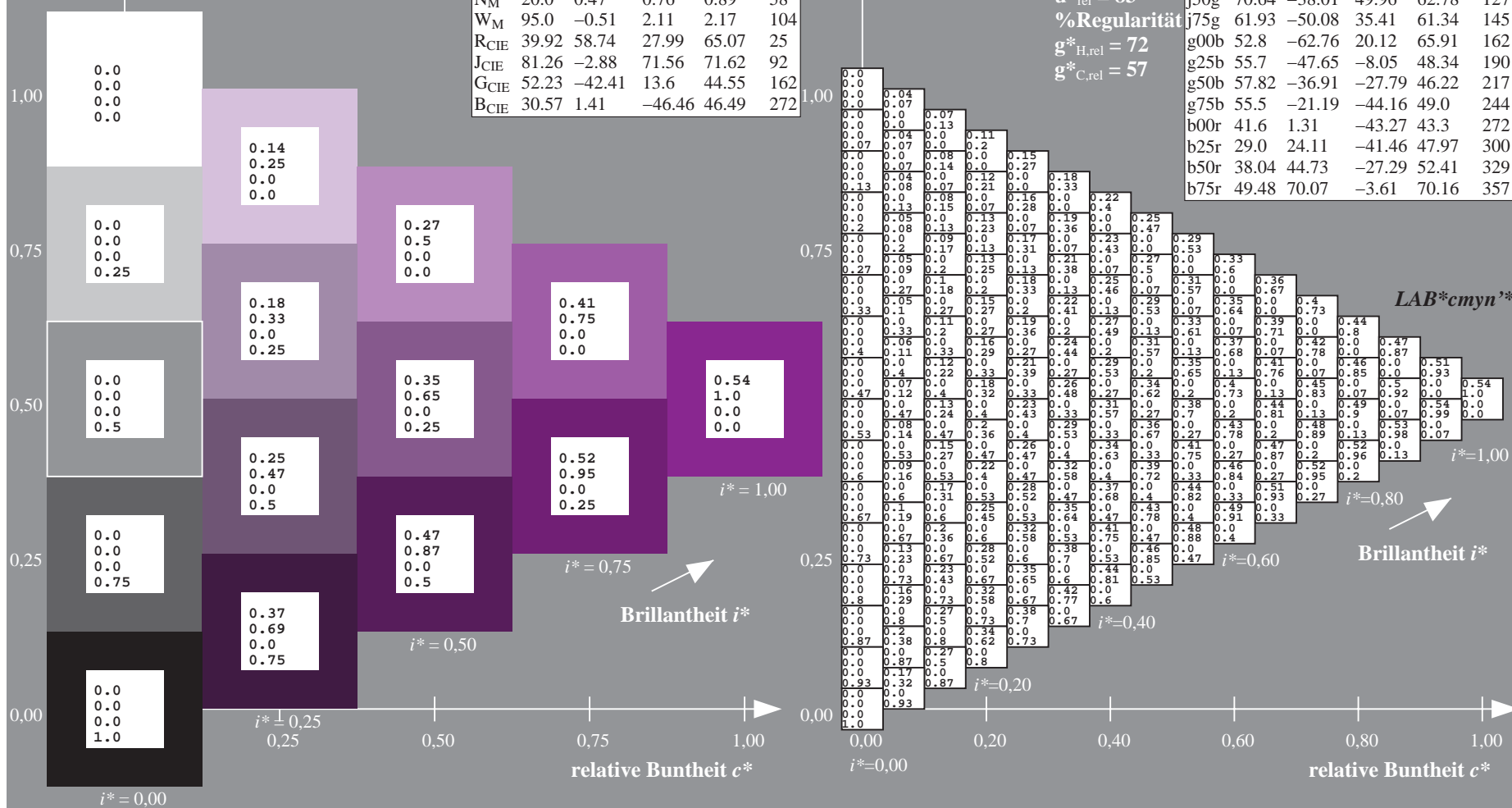
$u^*_{rel} = 83$

%Regularität

$g^*_{H,rel} = 72$

$g^*_{C,rel} = 57$

ORS20_95a; adaptierte CIELAB-Daten					
	$L^*=L^*_a$	a^*_a	b^*_a	$C^*_{ab,a}$	$h^*_{ab,a}$
r00j	48.88	63.91	30.45	70.79	25
r25j	55.85	50.36	45.65	67.97	42
r50j	65.45	33.86	56.12	65.54	59
r75j	75.19	17.13	66.73	68.89	76
j00g	87.03	-3.21	79.64	79.7	92
j25g	80.72	-24.03	66.82	71.01	110
j50g	70.64	-38.01	49.96	62.78	127
j75g	61.93	-50.08	35.41	61.34	145
g00b	52.8	-62.76	20.12	65.91	162
g25b	55.7	-47.65	-8.05	48.34	190
g50b	57.82	-36.91	-27.79	46.22	217
g75b	55.5	-21.19	-44.16	49.0	244
b00r	41.6	1.31	-43.27	43.3	272
b25r	29.0	24.11	-41.46	47.97	300
b50r	38.04	44.73	-27.29	52.41	329
b75r	49.48	70.07	-3.61	70.16	357



Ein und Ausgabe: Farbmetrisches Drucker-Reflektiv-System ORS20_95a für relativen CIELAB-Buntton $h^* = lab^*h^* = h_{ab}/360 = 357/360 = 0.992$ $u^* = b75r$

Daten für jede Farbe:

lab^*ch^* und lab^*icu^*

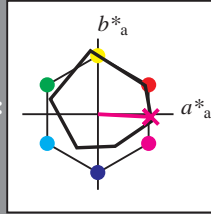
Elementar-Bunttontext:

$u^* = b75r$

Kontrastreduzierungsfaktor:

$c_R = 0.96$

Dreiecks-Helligkeit t^*



ORS20_95a; CIELAB-Daten					
	$L^*=L^*$	a^*	b^*	C^*_{ab}	h^*_{ab}
O _M	48.75	62.65	39.19	73.89	32
Y _M	90.92	-10.35	85.91	86.53	97
L _M	52.69	-62.87	21.3	66.38	161
C _M	59.61	-27.91	-42.96	51.24	237
V _M	28.39	23.07	-41.5	47.5	299
M _M	49.58	71.15	-7.89	71.59	354
N _M	20.0	0.47	0.76	0.89	58
W _M	95.0	-0.51	2.11	2.17	104
R _{CIE}	39.92	58.74	27.99	65.07	25
J _{CIE}	81.26	-2.88	71.56	71.62	92
G _{CIE}	52.23	-42.41	13.6	44.55	162
B _{CIE}	30.57	1.41	-46.46	46.49	272

Daten für Maximalfarbe (Ma):

$LAB^*LAB^*_{Ma}$: 49 70 -3

$LAB^*LCH^*_{Ma}$: 49 70 357

$lab^*rgb^*_{Ma}$: 1.0 0.0 0.5

$lab^*olv^*_{Ma}$: 1.0 0.0 0.88

Dreiecks-Helligkeit t^*

%Umfang

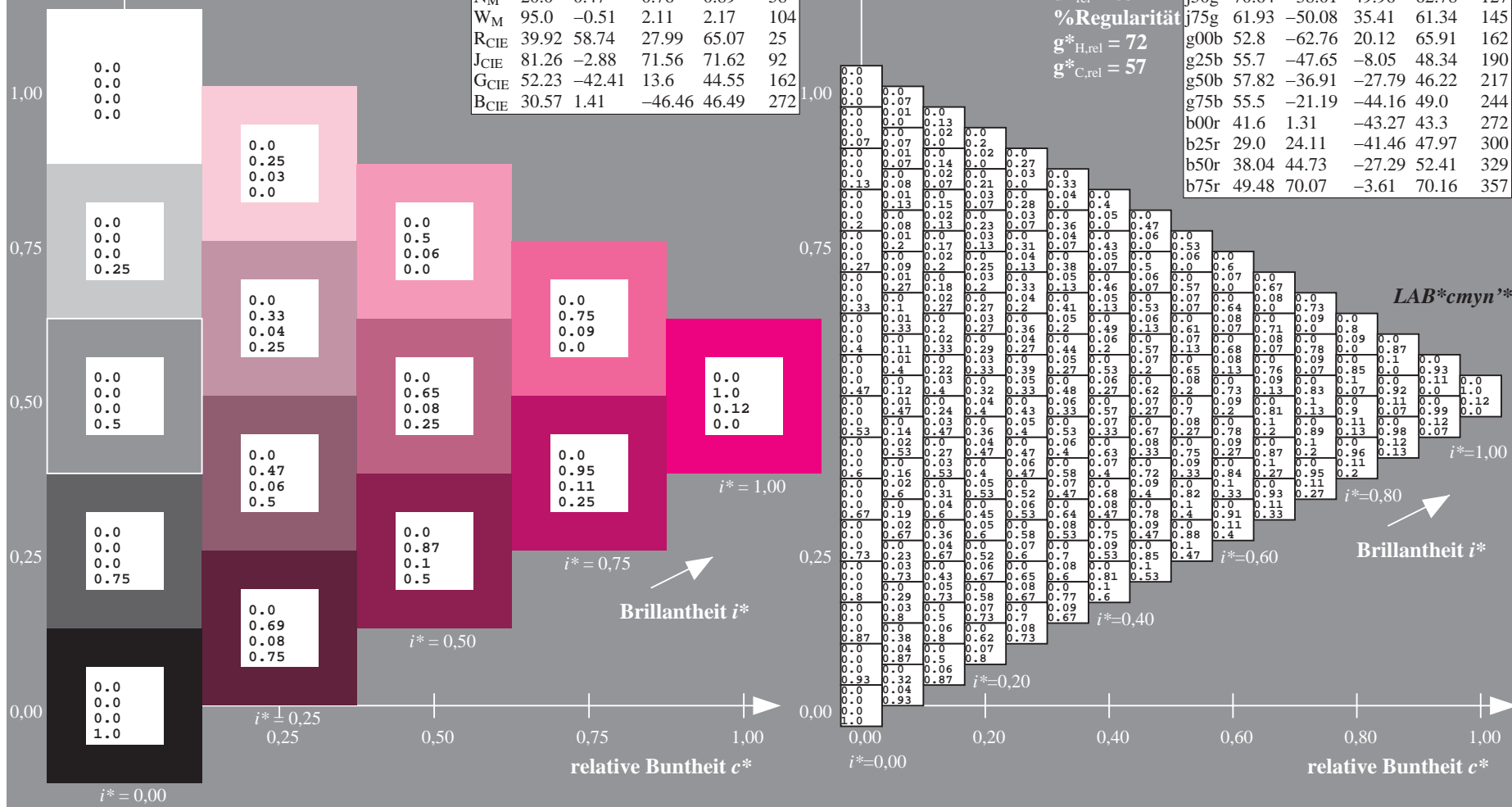
$u^*_{rel} = 83$

%Regularität

$g^*_{H,rel} = 72$

$g^*_{C,rel} = 57$

ORS20_95a; adaptierte CIELAB-Daten					
	$L^*=L^*_a$	a^*_a	b^*_a	$C^*_{ab,a}$	$h^*_{ab,a}$
r00j	48.88	63.91	30.45	70.79	25
r25j	55.85	50.36	45.65	67.97	42
r50j	65.45	33.86	56.12	65.54	59
r75j	75.19	17.13	66.73	68.89	76
j00g	87.03	-3.21	79.64	79.7	92
j25g	80.72	-24.03	66.82	71.01	110
j50g	70.64	-38.01	49.96	62.78	127
j75g	61.93	-50.08	35.41	61.34	145
g00b	52.8	-62.76	20.12	65.91	162
g25b	55.7	-47.65	-8.05	48.34	190
g50b	57.82	-36.91	-27.79	46.22	217
g75b	55.5	-21.19	-44.16	49.0	244
b00r	41.6	1.31	-43.27	43.3	272
b25r	29.0	24.11	-41.46	47.97	300
b50r	38.04	44.73	-27.29	52.41	329
b75r	49.48	70.07	-3.61	70.16	357



[illegible]